

Peter Schneider

**Vergleich von Entwurfsvarianten  
einer zweisechiffigen Industriehalle aus Stahl  
mit zwei übereinander angeordneten Kranen  
nach statischen, konstruktiven und wirtschaftlichen Aspekten**

eingereicht als

BACHELORARBEIT

an der

HOCHSCHULE MITTWEIDA  
UNIVERSITY OF APPLIED SCIENCES

Fakultät Maschinenbau  
Fachgruppe Stahl- und Metallbau

Mittweida, 2011

Erstprüfer: Prof. Dr.-Ing. Torsten Laufs

Zweitprüfer: Dipl. Ing. Horst Hobler

Vorgelegte Arbeit wurde verteidigt am:

## Bibliographische Beschreibung:

Schneider, Peter:

Vergleich von Entwurfsvarianten einer zweischiffigen Industriehalle aus Stahl mit zwei übereinander angeordneten Kranen nach statischen, konstruktiven und wirtschaftlichen Aspekten. - 2011. - 221 S.

Mittweida, Hochschule Mittweida, Fakultät Maschinenbau, Bachelorarbeit, 2011

## Referat:

Ziel dieser Bachelorarbeit ist die Ermittlung des Stahlbedarfes der Haupttragelemente – Stützen, Riegel, Kranbahnträger und Kranbahnträgerkonsolen – einer zweischiffigen Industriehalle aus Stahl, die mit zwei übereinander angeordneten Brückenlaufkranen ausgerüstet ist, unter Berücksichtigung unterschiedlicher Rahmenabstände und variierender Traglasten der Krane. Des weiteren erfolgt die Erläuterung der Berechnungen der Kräfte infolge Kranbetrieb sowie die erforderlichen Nachweise für Kranbahnträger. Ebenso werden die Normen zur Auslegung von Hallentragwerken aus Stahl sowie die erforderlichen Nachweise zur Berechnung von Hallenrahmen dargestellt.



## Inhaltsverzeichnis

Abbildungsverzeichnis.....	V
Tabellenverzeichnis.....	VII
1 Einleitung.....	1
1.1 Allgemeines.....	1
1.2 Zielstellung der Arbeit.....	1
1.3 Abgrenzung.....	2
2 Theoretische Grundlagen.....	2
2.1 Kranbahnträger von Brückenlaufkranen.....	2
2.1.1 Normen für die Berechnung von Kranbahnträgern.....	2
2.1.2 Kräfte infolge Kranbetrieb.....	3
2.1.3 Berechnung von Kranbahnträgern.....	10
2.1.3.1 Schnittgrößenberechnung.....	10
2.1.3.2 Hubklassen und Beanspruchungsgruppen.....	13
2.1.3.3 Tragsicherheitsnachweise.....	15
2.1.3.4 Gebrauchstauglichkeitsnachweis.....	24
2.1.4 Ablaufdiagramme.....	27
2.1.5 Berechnungsbeispiel.....	53
2.1.5.1 Kräfte infolge Kranbetrieb.....	53
2.1.5.2 Schnittgrößenberechnung.....	57
2.1.5.3 Spannungsnachweis.....	60
2.1.5.4 Biegedrillknicknachweis.....	64
2.1.5.5 Beulnachweis.....	69
2.1.5.6 Betriebsfestigkeitsnachweis.....	73
2.1.5.7 Gebrauchstauglichkeitsnachweis.....	77
2.2 Hallentragwerke aus Stahl in Rahmenbauweise.....	78
2.2.1 Stabilisierung von Hallentragwerken aus Zweigelenkrahmen.....	78
2.2.2 Einwirkungen auf Hallentragwerke.....	78
2.2.3 Normen für die Berechnung von Hallentragwerken aus Stahl.....	79
2.2.4 Tragsicherheitsnachweise für Hallenrahmen.....	79
2.2.5 Gebrauchstauglichkeitsnachweis.....	80
2.2.6 Ansatz der Dachlasten eines Pfettendaches auf den Rahmenriegel.....	82

---

3 Variantenvergleich einer zweischiffigen Industriehalle aus Stahl.....	84
3.1 Festlegung der Rahmenabmessungen.....	84
3.2 Festlegung des statischen Systems.....	85
3.3 Bestimmung der Positionen von zwei übereinander angeordneten Kranen mit unterschiedlicher Traglast für eine wirtschaftliche Dimensionierung.....	86
3.4 Kräfte infolge Verbandswirkung.....	87
3.5 Lastannahmen.....	88
3.5.1 Eigengewicht.....	88
3.5.2 Windlastannahme.....	89
3.5.3 Schneelastannahme.....	91
3.5.4 Kräfte infolge Kranbetrieb.....	91
3.6 Einwirkungskombinationen.....	96
3.7 Erforderliche Rahmenquerschnitte in Abhängigkeit unterschiedlicher Kran- Kombinationen und Rahmenabständen.....	98
4 Fazit.....	105
Anlageverzeichnis.....	IX
Literaturverzeichnis.....	CXIV
Erklärung zur selbstständigen Anfertigung der Arbeit.....	CXV

## Abbildungsverzeichnis

Abbildung 1: Radbezeichnung.....	4
Abbildung 2: Radlasten.....	4
Abbildung 3: Anordnung der horizontalen Radlasten infolge Beschleunigen und Bremsen längs und quer zur Fahrbahn .....	6
Abbildung 4: Darstellung des Schräglaufwinkels $\alpha$ und des Abstandes $h$ .....	8
Abbildung 5: Anordnung der horizontalen Radlasten aus Schräglauf längs und quer zur Fahrbahn.....	9
Abbildung 6: Culmansche Laststellung.....	11
Abbildung 7: Systemmaße am Zweifeldträger.....	12
Abbildung 8: Schwingbeiwert $\phi$ .....	13
Abbildung 9: Hubklassen und Beanspruchungsgruppen.....	14
Abbildung 10: Tragwirkungssplitting.....	15
Abbildung 11: Höhe $h$ für die Bestimmung von $\sigma_z$ .....	16
Abbildung 12: Trägerquerschnitt.....	18
Abbildung 13: Systemmaße am Einfeldträger.....	19
Abbildung 14: Ansatz der Schneelast als Knotenlast auf die Rahmenriegel.....	83
Abbildung 15: Ansatz der Schneelast als Streckenlast auf die Rahmenriegel.....	83
Abbildung 16: Struktur des Hallenrahmens.....	84
Abbildung 17: Eigengewicht (Kranbahnträger HEB 300 als 1-Feldträger mit 6 m Rahmenabstand).....	89
Abbildung 18: Wind $\theta = 90^\circ$ mit negativem Innendruck (6 m Rahmenabstand).....	90
Abbildung 19: Wind $\theta = 0^\circ$ von links mit negativem Innendruck (6 m Rahmenabstand).....	90
Abbildung 20: Wind $\theta = 0^\circ$ von rechts mit negativem Innendruck (6 m Rahmenabstand).....	90
Abbildung 21: Ansatz der Schneelast (6 m Rahmenabstand).....	91
Abbildung 22: Ansatz der Auflagereaktionen des Typs 10t-6m-2Feld mit linker Katzstellung.....	94
Abbildung 23: Ansatz der Auflagereaktionen des Typs 10t-6m-2Feld mit rechter Katzstellung.....	95
Abbildung 24: Stahlbedarf in Abhängigkeit der Hallenlänge – ohne Kranbetrieb.....	100
Abbildung 25: Stahlbedarf in Abhängigkeit der Hallenlänge – Kranbetrieb mit 2 x ELK 2 t x 18000 mm.....	100

Abbildung 26: Stahlbedarf in Abhängigkeit der Hallenlänge – Kranbetrieb mit ELK 2 t x 18000 mm und ELK 5 t x 18000 mm.....	101
Abbildung 27: Stahlbedarf in Abhängigkeit der Hallenlänge – Kranbetrieb mit ELK 2 t x 18000 mm und ELK 10 t x 18000 mm.....	101
Abbildung 28: Stahlbedarf in Abhängigkeit der Hallenlänge – Kranbetrieb mit ELK 2 t x 18000 mm und ZLK 16 t x 18000 mm.....	102
Abbildung 29: Stahlbedarf in Abhängigkeit der Hallenlänge – Kranbetrieb mit 2 x ELK 5 t x 18000 mm.....	102
Abbildung 30: Stahlbedarf in Abhängigkeit der Hallenlänge – Kranbetrieb mit ELK 5 t x 18000 mm und ELK 10 t x 18000 mm.....	103
Abbildung 31: Stahlbedarf in Abhängigkeit der Hallenlänge – Kranbetrieb mit ELK 5 t x 18000 mm und ZLK 16 t x 18000 mm.....	103
Abbildung 32: Stahlbedarf in Abhängigkeit der Hallenlänge – Kranbetrieb mit 2 x ELK 10 t x 18000 mm.....	104
Abbildung 33: Stahlbedarf in Abhängigkeit der Hallenlänge – Kranbetrieb mit ELK 10 t x 18000 mm und ZLK 16 t x 18000 mm.....	104
Abbildung 34: Stahlbedarf in Abhängigkeit der Hallenlänge – Kranbetrieb mit 2 x ZLK 16 t x 18000 mm.....	105
Abbildung 35: Kran-Datenblatt – ELK 2t x 18000 mm.....	X
Abbildung 36: Kran-Datenblatt – ELK 5t x 18000 mm.....	XI
Abbildung 37: Kran-Datenblatt – ELK 10t x 18000 mm.....	XII
Abbildung 38: Kran-Datenblatt – ZLK 16t x 18000 mm.....	XIII

## Tabellenverzeichnis

Tabelle 1: Bezeichnung von Fahrwerksysteme.....	3
Tabelle 2: Dynamischer Vergrößerungsfaktor $\varphi_5$ .....	5
Tabelle 3: Bestimmung von $\alpha_F$ , $\alpha_V$ und $\alpha_0$ .....	7
Tabelle 4: Bestimmung des Abstandes $h$ .....	8
Tabelle 5: Bestimmung der $\lambda_{S,i,j,k}$ -Werte.....	9
Tabelle 6: Tafelwerte zur Berechnung von zweifeldrigen Kranbahnträgern.....	13
Tabelle 7: Nachweisstellen für den Spannungsnachweis.....	17
Tabelle 8: Beulwerte $k_{oy}$ .....	20
Tabelle 9: Beulwerte $k$ für unversteifte, an allen 4 Rändern einspannungsfrei gelagerte Beulfelder nach DIN 4114-1.....	21
Tabelle 10: Kappung von grenz $\sigma_{Be}$ und grenz $\tau_{Be}$ auf die früheren "zulässigen Spannungen im Lastfall H" nach DIN 4132 Kap. 4.4.5.....	23
Tabelle 11: Nachweisstellen für den Betriebsfestigkeitsnachweis.....	24
Tabelle 12: Grenzwerte für Verformungen.....	25
Tabelle 13: Grenzwerte für horizontale Verformung.....	26
Tabelle 14: Grenzwerte für vertikale Verformung.....	26
Tabelle 15: Vergleich der ermittelten Kräfte infolge Kranbetrieb mit denen des Kran-Datenblattes.....	56
Tabelle 16: Schnittgrößen infolge Radlaststellungen tabellarisiert.....	60
Tabelle 17: Nachweisstellen für den Betriebsfestigkeitsnachweis.....	73
Tabelle 18: Verformungsgrenzwerte für Stahltrapezprofile nach DIN 18807-3 Kap. 3.3.4.2.....	81
Tabelle 19: Grenzwerte für Stützenverschiebung.....	81
Tabelle 20: Vergleich von Knoten- und Streckenlastansatz auf den Rahmenriegel.....	82
Tabelle 21: Vergleich der statischen Systeme „3-stieliger Rahmen“ und „Zweigelenkrahmen mit gelenkig angeschlossenen 2. Hallenschiff“.....	85
Tabelle 22: Vergleich der Auslastung des Rahmens bei unterschiedlicher Kranposition.....	86
Tabelle 23: Vergleich der Auslastungen des Hallenrahmens mit und ohne Kräfte infolge von Verbandswirkung.....	87
Tabelle 24: Erforderliche Kranbahnträgerquerschnitte als HEB-Walzträger in S235....	88
Tabelle 25: Kräfte infolge Kranbetrieb.....	93

Tabelle 26: Einfluss der Krane auf den Stahlbedarf bezogen auf 60 m bzw. 63 m Hallenlänge .....	99
Tabelle 27: Erforderliche Rahmenquerschnitte – ohne Kranbetrieb.....	100
Tabelle 28: Erforderliche Rahmenquerschnitte – Kranbetrieb mit 2 x ELK 2 t x 18000 mm.....	100
Tabelle 29: Erforderliche Rahmenquerschnitte – Kranbetrieb mit ELK 2 t x 18000 mm und ELK 5 t x 18000 mm.....	101
Tabelle 30: Erforderliche Rahmenquerschnitte – Kranbetrieb mit ELK 2 t x 18000 mm und ELK 10 t x 18000 mm.....	101
Tabelle 31: Erforderliche Rahmenquerschnitte – Kranbetrieb mit ELK 2 t x 18000 mm und ZLK 16 t x 18000 mm.....	102
Tabelle 32: Erforderliche Rahmenquerschnitte – Kranbetrieb mit 2 x ELK 5 t x 18000 mm.....	102
Tabelle 33: Erforderliche Rahmenquerschnitte – Kranbetrieb mit ELK 5 t x 18000 mm und ELK 10 t x 18000 mm.....	103
Tabelle 34: Erforderliche Rahmenquerschnitte – Kranbetrieb mit ELK 5 t x 18000 mm und ZLK 16 t x 18000 mm.....	103
Tabelle 35: Erforderliche Rahmenquerschnitte – Kranbetrieb mit 2 x ELK 10 t x 18000 mm.....	104
Tabelle 36: Erforderliche Rahmenquerschnitte – Kranbetrieb mit ELK 10 t x 18000 mm und ZLK 16 t x 18000 mm.....	104
Tabelle 37: Erforderliche Rahmenquerschnitte – Kranbetrieb mit 2 x ZLK 16 t x 18000 mm.....	105

## **1 Einleitung**

### **1.1 Allgemeines**

Hallentragwerke sind aus unseren heutigen Industrie- und Gewerbegebieten nicht mehr wegzudenken. Für Lager- und Produktionshallen etc. sind architektonische Belange oft nebensächlich. Hauptaugenmerk ist meist die erforderliche Lager- oder Produktionsfläche, die den Anforderungen an die geplante Nutzung der Halle entsprechen muss, möglichst kostengünstig vor Witterungseinflüssen zu schützen. In Zeiten stark steigender Rohstoffpreise gewinnt die Materialeinsparung bei der Konstruktion immer mehr an Bedeutung, um dem Anspruch an preiswertes Bauen gerecht zu werden.

Konstruktiv können die Tragstrukturen einer Halle, unter Berücksichtigung des zu verwendenden Baustoffs – Stahl, Stahlbeton oder Holz – auf unterschiedlichste Weise realisiert werden. In der Praxis werden für die Haupttragelemente von Stahlbetonkonstruktionen vor allem Stützen und Binder eingesetzt, wohingegen bei Stahlkonstruktionen Rahmen Verwendung finden. Dies ist in der relativ einfachen Ausbildung von biegesteifen Trägerverbindungen begründet.

Zu den typische Einwirkungen auf die Tragstrukturen kommen, neben den Eigengewichten aus den Tragelementen selbst, der Hüllkonstruktion sowie den Wind- und Schneelasten, häufig zusätzliche Belastungen aus der technischen Ausrüstung der Hallen. Die Nutzung der Halle erfordert meist die Installation von Beleuchtungseinrichtungen, Klimatechnik, usw.. Insbesondere bei Produktionshallen kommt darüber hinaus noch der Einbau von Krananlagen hinzu.

Es gibt zahlreiche Bauarten von Krananlagen, wobei häufig Brückenlaufkrane eingesetzt werden. Die Ableitung der Lasten von Brückenlaufkrane erfolgt über Kranbahnträger, die meist auf Konsolen, angeschlossen an die Hallenstützen, gelagert sind.

### **1.2 Zielstellung der Arbeit**

Ausgangspunkt der Arbeit ist eine zweischiffige Industriehalle aus Stahl die mit zwei übereinander angeordneten Kranen ausgerüstet ist. Zielstellung ist die Ermittlung des Stahlbedarfes der Haupttragelemente – Stützen, Riegel, Kranbahnträger und Kranbahnträgerkonsolen – unter Berücksichtigung unterschiedlicher Rahmenabstände und variierender Traglasten der Krane. Des weiteren erfolgt die Erläuterung der Berechnung der Kräfte infolge Kranbetrieb sowie die erforderlichen Nachweise für Kranbahnträger. Ebenso werden die Normen zur Auslegung von Hallentragwerken aus Stahl sowie die erforderlichen Nachweise zur Berechnung von Hallenrahmen dargestellt.

### **1.3 Abgrenzung**

Die Tragstruktur der zu untersuchenden zweischiffigen Halle mit einer Spannweite von  $2 \times 19$  m und einer Länge von 60 m ist ein „3-stieliger Rahmen“, dessen Stützenfüße als Festlager ausgebildet sind. Die Ermittlung des Stahlbedarfs erfolgt für die Rahmenabstände 5 m, 6 m und 7 m. Für die Haupttragelemente werden Walzprofile (DIN EN 10034) in der Stahlsorte S235 (DIN EN 10025-2) verwendet.

In dieser Arbeit wird ausschließlich auf die Kranbauart „Brückenlaufkran“ eingegangen. Es wird der Einfluss von Brückenlaufkränen mit 2 t, 5 t, 10 t und 16 t Traglast auf die Haupttragelemente untersucht.

Für die Berechnung der Kräfte infolge Kranbetrieb von Brückenlaufkränen wird die DIN 1055-10 vorgestellt. Die Vorgehensweise zur Berechnung von Kranbahnträger erfolgt mit der DIN 4132 mit der Anpassungsrichtlinie Stahlbau. Das Hallentragwerk wird mit der Normenreihe DIN 18800 nachgewiesen und für die Ermittlung der Einwirkungen aus Wind und Schnee wird auf die Normenreihe DIN 1055 zurückgegriffen.

## **2 Theoretische Grundlagen**

### **2.1 Kranbahnträger von Brückenlaufkränen**

Im folgenden Kapitel werden die Normen zur Berechnung von Kräften infolge Kranbetrieb von Brückenlaufkränen sowie von Kranbahnträgern erläutert.

#### **2.1.1 Normen für die Berechnung von Kranbahnträgern**

Die Berechnung von Kranbahnträgern ist in der DIN 4132 mit der Anpassungsrichtlinie Stahlbau aus dem Jahr 1995 geregelt. Durch die Anpassungsrichtlinie Stahlbau wurde die DIN 4132, basierend auf dem alten Sicherheitskonzept der zulässigen Spannungen, in das neue Sicherheitskonzept überführt. Alle Tragsicherheitsnachweise, ausgenommen des Betriebsfestigkeitsnachweises, sind nun mit dem neuen semiprobabilistischen Sicherheitskonzept zu führen.

Einwirkungen auf Kranbahnen infolge der Kranbrücke können derzeit entweder nach der noch gültigen DIN 15018 Teil 1 oder nach der noch nicht bauaufsichtlich eingeführten - aber im Weißdruck vorliegenden - DIN 1055-10 berechnet werden. Die Berechnung der Einwirkungen nach DIN 1055-10 entspricht in den aller meisten Punkten denen der DIN 15018 Teil 1.

Neben den Einwirkungen der Kranbrücke auf den Kranbahnträger sind weitere Einwirkungen der DIN 1055 gegebenenfalls zu berücksichtigen.



### 2.1.2 Kräfte infolge Kranbetrieb

In diesem Kapitel werden folgende Themen dargestellt:

- (1) Fahrwerksysteme von Brückenlaufkranen (Seite 3)
- (2) Antriebskraft K – DIN 1055-10 Kap. 5.7.3 (Seite 4)
- (3) Horizontale Lasten längs und quer zur Fahrbahn aus Beschleunigen und Bremsen von Kranen – DIN 1055-10 Kap. 5.7.2 (Seite 5)
- (4) Horizontale Seitenlasten und Führungskraft infolge Schräglauf von Kranen – DIN 1055-10 Kap. 5.7.4 (Seite 7)
- (5) Pufferkräfte (Seite 10)

#### (1) Fahrwerksysteme von Brückenlaufkranen

Die Definition des Kranfahrwerksystems erfolgt durch den Achstyp und die Radlagerung. Es wird zwischen folgenden Achstypen unterschieden:

- Einzelradantrieb: Jedes Rad der Antriebsachse wird durch einen eigenen Motor angetrieben (keine Drehzahlkopplung der Räder untereinander).
- Zentralantrieb: Die Räder der Antriebsachse werden gemeinsam von einem Antrieb bewegt (die Räder sind drehzahlgekoppelt).

Als Radlagerung ist das Fest- und das Loslager in Achslängsrichtung definiert:

- Festlager: Kräfte quer zur Fahrtrichtung werden weitergeleitet.
- Loslager: Die Räder in Achslängsrichtung sind beweglich montiert und können somit nur vertikale Kräfte weiterleiten.

Die Unterschiede in der Nomenklatur zu den Fahrwerkssystemen in der DIN 4132 und der DIN 1055-10 werden im Folgenden gegenübergestellt.

DIN 4132	DIN 1055-10	Bedeutung
EFF	IFF	Einzelradantrieb/Festlager/Festlager
EFL	IFM	Einzelradantrieb/Festlager/Loslager
WFF	CFF	Zentralantrieb/Festlager/Festlager
WFL	CFM	Zentralantrieb/Festlager/Loslager

**Tabelle 1: Bezeichnung von Fahrwerksysteme**

Quelle: Eigene Darstellung

Die Räder des Kranfahrwerkes übertragen unterschiedliche Kräfte infolge Kranbetrieb und müssen deshalb einzeln definierbar sein. Der Index  $i$  kennzeichnet den Kranbahnträger auf dem das Rad steht. Die Beschreibung der Achse erfolgt mit dem Index  $j$ .

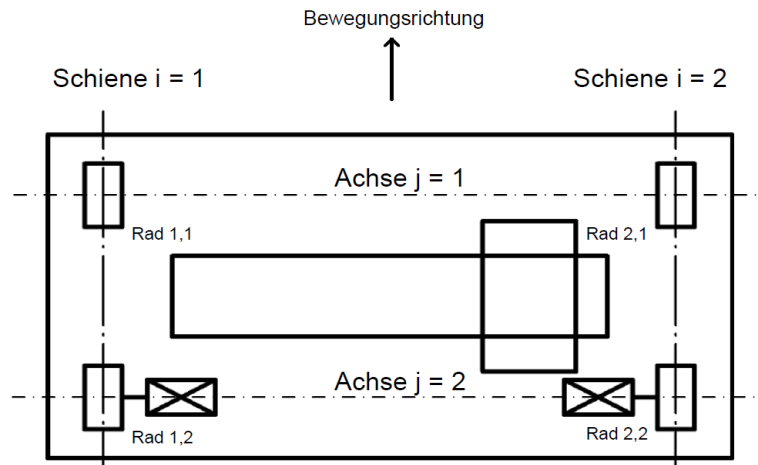


Abbildung 1: Radbezeichnung

Quelle: Eigene Darstellung in Anlehnung an DIN 1055-10:2004-07 Bild 7

**(2) Antriebskraft K – DIN 1055-10 Kap. 5.7.3**

„Die Antriebskraft K eines angetriebenen Rades sollte so bemessen werden, dass ein Durchrutschen der Räder verhindert wird“<sup>1</sup> und somit der Verschleiß am angetriebenen Rad und der Kranbahnschiene möglichst begrenzt wird.

Die Antriebskraft errechnet sich entweder aus dem Produkt des Reibungsbeiwertes  $\mu$  zwischen Rad und Schiene und

- der minimalen Radlast des unbelasteten Kranes mit äußerster Katzstellung beim Einzelradantrieb oder
- der Summe der minimalen und maximalen Radlast eines unbelasteten Kranes mit äußerster Katzstellung beim Zentralantrieb.

Antriebskraft  $K = K_1 + K_2 = \mu * \sum Q_{r,min}^*$

Einzelradantrieb  $\sum Q_{r,min}^* = m_w * Q_{r,min}^*$  mit  $m_w$  = Anzahl der einzeln angetriebenen Räder

Zentralantrieb  $\sum Q_{r,min}^* = Q_{r,min}^* + Q_{r,max}^*$  mit  $Q_{r,i}^*$  = Radlast des unbelasteten Kranes

Reibungswert  $\mu = 0,2$  bei Stahl auf Stahl  $\mu = 0,5$  bei Stahl auf Gummi

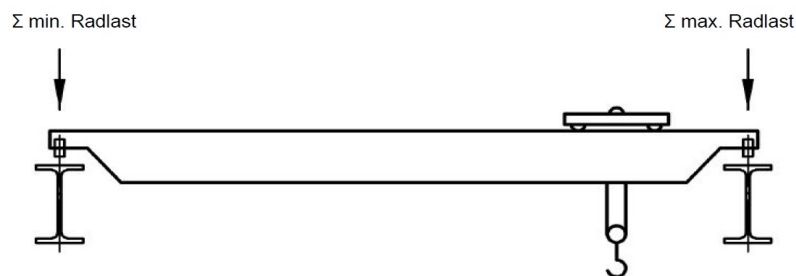


Abbildung 2: Radlasten

Quelle: Eigene Darstellung in Anlehnung an DIN 1055-10:2004-07 Bild 5

<sup>1</sup> DIN 1055-10:2004-07 Kap. 5.7.3 Abs. 1.

### (3) Horizontale Lasten längs und quer zur Fahrbahn aus Beschleunigen und Bremsen von Kranen – DIN 1055-10 Kap. 5.7.2

Die horizontalen Lasten  $H_{L,i}$  und  $H_{T,i}$  entstehen aus Kranfahren der Kranbrücke. „Die entlang der Kranbahn wirkende horizontale Last  $H_{L,i}$  wird durch das Beschleunigen und Bremsen eines Krans verursacht. Sie resultiert aus der Antriebskraft, die in der Kontaktfläche zwischen Schiene und dem angetriebenen Rad wirkt“<sup>2</sup>, und wird mit einem dynamischen Vergrößerungsfaktor  $\varphi_5$  multipliziert.

Horizontale Last längs der Fahrbahn  $H_{L,i} = \varphi_5 * K * \frac{1}{n_r}$

mit

Anzahl der Kranbahnträger  $n_r$

dynamische Vergrößerungsfaktor  $\varphi_5$

$\varphi_5 = 1,0$	für Fliehkräfte
$1,0 \leq \varphi_5 \leq 1,5$	für Systeme mit stetiger Veränderung der Kräfte
$1,5 \leq \varphi_5 \leq 2,0$	wenn plötzliche Veränderungen der Kräfte auftreten
$\varphi_5 = 3,0$	bei Antrieben mit beträchtlichem Spiel

**Tabelle 2: Dynamischer Vergrößerungsfaktor  $\varphi_5$**

Quelle: DIN 1055-10 Tab. 6

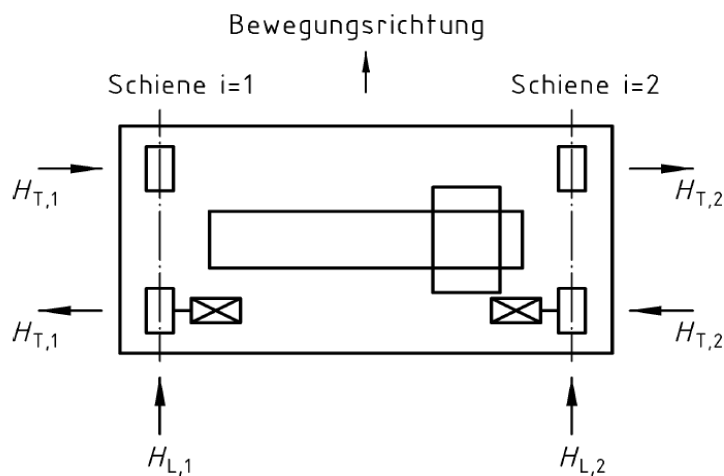
Folgende Anmerkung erfolgt als Hinweis: Der dynamische Vergrößerungsfaktor  $\varphi_5$  wird in der DIN 15018 Teil 1 nicht explizit ausgewiesen, jedoch wird die Antriebskraft  $K$  mit dem Faktor 1,5 multipliziert. Somit wäre nach DIN 15018  $\varphi_5 = 1,5$ .

Die quer zur Kranbahn wirkende horizontale Last  $H_{T,i}$  entsteht aufgrund des Abstandes  $l_s$  zwischen der Wirkungslinie der Resultierenden der Antriebskraft (verläuft durch die geometrische Mitte der Kranbrücke) und dem Masseschwerpunkt  $S$  der belasteten Kranbrücke mit äußerster Katzstellung. Das hieraus entstehende Moment wird durch ein Kräftepaar mit dem Hebelarm  $a$  (= Abstand der Führungsrollen bzw. der Spurkränze) ersetzt.

Die Aufteilung des Kräftepaares erfolgt im Verhältnis der Radlasten des belasteten Kranes und wird mit dem dynamischen Vergrößerungsfaktor  $\varphi_5$  multipliziert.

<sup>2</sup> DIN 1055-10 Kap. 5.7.2.

Horizontale Lasten quer der Fahrbahn	$H_{T,1} = \varphi_5 * \xi_2 * \frac{M}{a}$
	$H_{T,2} = \varphi_5 * \xi_1 * \frac{M}{a}$
mit	
Wichtungsfaktoren	$\xi_1 = \frac{\sum Q_{r,max}}{\sum Q_r} \quad \xi_2 = 1 - \xi_1$
maximale Last je Rad des belasteten Kranes	$Q_{r,max}$
	$l_s = (\xi_1 - 0,5) * l$
Moment	$M = K * l_s$
Spannweite der Kranbrücke	$l$



**Abbildung 3: Anordnung der horizontalen Radlasten infolge Beschleunigen und Bremsen längs und quer zur Fahrbahn**

Quelle: DIN 1055-10 Bild 7

Es wird darauf hingewiesen, dass die horizontalen Lasten  $H_{L,i}$  für die Berechnung des Kranbahnträgers nicht dimensionierend sind. Die Überlagerung der horizontalen Lasten  $H_{T,i}$  mit den horizontalen Seitenlasten  $H_{S,i,j,k}$  dürfen vereinfacht mit einem Zuschlag von 10 % zu den horizontalen Seitenlasten  $H_{S,i,j,k}$  berücksichtigt werden<sup>3</sup>. Dies bedeutet, dass die horizontalen Lasten  $H_{L,i}$  und  $H_{T,i}$  bei der Bemessung des Kranbahnträgers vernachlässigt werden dürfen.

<sup>3</sup> Vgl. DIN 4132 Kap. 3.2.1.1.

#### (4) Horizontale Seitenlasten und Führungskraft infolge Schräglauf von Kranen – DIN 1055-10 Kap. 5.7.4

Die Grundlagen der Berechnung der Schräglaufräfte basieren auf der Theorie der Spurführungsmechanik von Gleisfahrzeugen. Diese sehr komplexen Zusammenhänge wurden zur leichteren Handhabung in DIN 1055-10 vereinfacht und liegen auf der sicheren Seite unter Verwendung dieser Annahmen:

- „• Bewegungen sind stationär; alle dynamischen Vorgänge werden durch den Ansatz von Schwingbeiwerten auf eine quasi-statische Betrachtungsweise reduziert.
- Die Kranfahrbahn wird als ideal-gerade und ideal-horizontal betrachtet.
- Kranbrücke und Kranbahn werden als starre Körper angesehen.
- Die Laufräder sind spielfrei und haben alle den gleichen Durchmesser.
- Die Kranbrücke wird mit ihrem in Fahrtrichtung vordersten rechten oder linken Führungsmittel (Seitenführungsrolle oder Spurkranz) geführt, während alle anderen Räder als freilaufend betrachtet werden.“<sup>4</sup>

Zur Berechnung der horizontalen Seitenlasten  $H_{S,ij,k}$  und der Führungskraft  $S$  sind die beiden nachfolgenden Hilfswerte zu berechnen:

- 1. Kraftschlussbeiwertes  $f$

Die Bestimmung des Kraftschlussbeiwertes  $f$  erfolgt entweder unter Berücksichtigung des Schräglaufwinkels  $\alpha$  oder vereinfacht mit  $f = 0,3$ . Der Schräglaufwinkel  $\alpha$  kann mithilfe der DIN 1055-10 Tab. 7 wie folgt bestimmt werden.

$$\text{Kraftschlussbeiwert } f = 0,3 * (1 - e^{-250 * \alpha})$$

$$\text{mit Schräglaufwinkel } \alpha = \alpha_F + \alpha_V + \alpha_o$$

Winkel $\alpha_i$	Mindestwerte von $\alpha_i$
$\alpha_F = \frac{0,75x}{a}$	$0,75x \geq 5 \text{ mm}$ bei Führungsrollen
	$0,75x \geq 10 \text{ mm}$ bei Spurkränzen
$\alpha_V = \frac{y}{a}$	$y \geq 0,03b$ in mm bei Führungsrollen
	$y \geq 0,10b$ in mm bei Spurkränzen
$\alpha_o = 0,001$	
Dabei ist $a$ der Abstand der Führungsrollen bzw. der Spurkränze; $b$ die Schienenkopfbreite; $x$ der Querschleif; $y$ der Verschleiß der Schiene.	

**Tabelle 3: Bestimmung von  $\alpha_F$ ,  $\alpha_V$  und  $\alpha_o$**

Quelle: DIN 1055-10 Tab. 7

<sup>4</sup> Seeßelberg, C.: Kranbahnen Bemessung und konstruktive Gestaltung, 3. Auflage, Bauwerk-Verlag, Berlin 2009, S.26.

– 2. Kraftbeiwert  $\lambda_{S,ij,k}$ 

Der Kraftbeiwert  $\lambda_{S,ij,k}$  (DIN 1055-10 Tab. 9) ist abhängig vom Abstand  $h$  (DIN 1055-10 Tab. 8) zwischen dem momentanen Gleitpol und dem relevanten Führungsmittel.

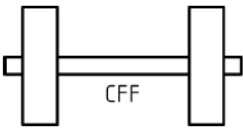
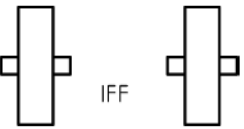
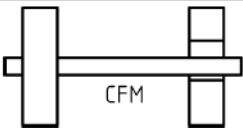
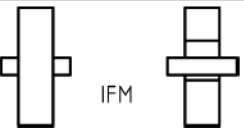
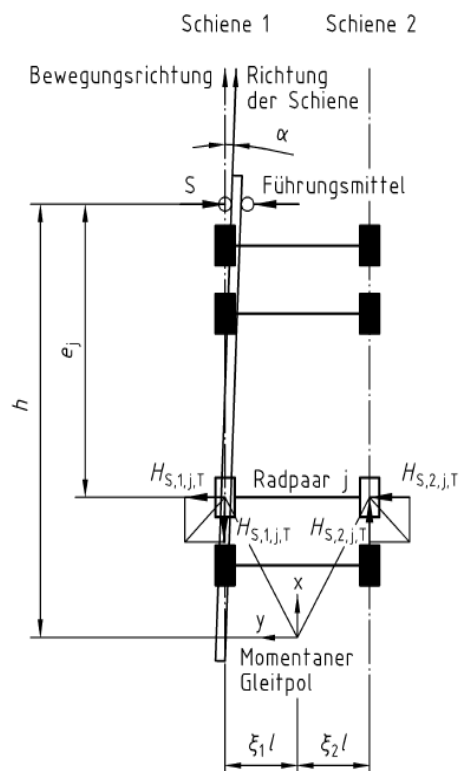
Radaufhängung	Kombination von Radpaaren		$h$
	Gekoppelt (C)	Unabhängig (I)	
Fest/Fest FF			$\frac{m \cdot \xi_1 \cdot \xi_2 \cdot l^2 + \sum e_j^2}{\sum e_j}$
Fest/Beweglich FM			$\frac{m \cdot \xi_1 \cdot l^2 + \sum e_j^2}{\sum e_j}$
<p>Dabei ist</p> <p><math>h</math> der Abstand zwischen dem momentanen Gleitpol und dem relevanten Führungsmittel;</p> <p><math>m</math> die Anzahl der Paare mit gekoppelten Rädern (<math>m = 0</math> für unabhängige Radpaare);</p> <p><math>\xi_1 \cdot l</math> der Abstand zwischen dem momentanen Gleitpol und der Kranbahnachse 1;</p> <p><math>\xi_2 \cdot l</math> der Abstand zwischen dem momentanen Gleitpol und der Kranbahnachse 2;</p> <p><math>l</math> die Spannweite des Krans;</p> <p><math>e_j</math> der Abstand zwischen der Radpaarachse <math>j</math> und dem relevanten Führungsmittel.</p>			

Tabelle 4: Bestimmung des Abstandes  $h$ 

Quelle: DIN 1055-10 Tab. 8

Abbildung 4: Darstellung des Schräglaufwinkels  $\alpha$  und des Abstandes  $h$ 

Quelle: DIN 1055-10 Bild 12

System	$\lambda_{s,j}$	$\lambda_{s,1,j,L}$	$\lambda_{s,1,j,T}$	$\lambda_{s,2,j,L}$	$\lambda_{s,2,j,T}$
CFF	$1 - \frac{\sum e_j}{n \cdot h}$	$\frac{\xi_1 \cdot \xi_2}{n} \cdot \frac{l}{h}$	$\frac{\xi_2}{n} \cdot \left(1 - \frac{e_j}{h}\right)$	$\frac{\xi_1 \cdot \xi_2}{n} \cdot \frac{l}{h}$	$\frac{\xi_1}{n} \cdot \left(1 - \frac{e_j}{h}\right)$
IFF		0	$\frac{\xi_2}{n} \cdot \left(1 - \frac{e_j}{h}\right)$	0	$\frac{\xi_1}{n} \cdot \left(1 - \frac{e_j}{h}\right)$
CFM	$\xi_2 \cdot \left(1 - \frac{\sum e_j}{n \cdot h}\right)$	$\frac{\xi_1 \cdot \xi_2}{n} \cdot \frac{l}{h}$	$\frac{\xi_2}{n} \cdot \left(1 - \frac{e_j}{h}\right)$	$\frac{\xi_1 \cdot \xi_2}{n} \cdot \frac{l}{h}$	0
IFM		0	$\frac{\xi_2}{n} \cdot \left(1 - \frac{e_j}{h}\right)$	0	0

Dabei ist  
 $n$  die Anzahl der Radpaare;  
 $\xi_1 \cdot l$  der Abstand zwischen dem momentanen Gleitpol und der Kranbahnachse 1;  
 $\xi_2 \cdot l$  der Abstand zwischen dem momentanen Gleitpol und der Kranbahnachse 2;  
 $l$  die Spannweite des Krans;  
 $e_j$  der Abstand zwischen der Radpaarachse  $j$  und dem relevanten Führungsmittel;  
 $h$  der Abstand zwischen dem momentanen Gleitpol und dem relevanten Führungsmittel.

**Tabelle 5: Bestimmung der  $\lambda_{s,i,j,k}$ -Werte**

Quelle: DIN 1055-10 Tab. 9

Mit den ermittelten Hilfswerten berechnen sich die horizontalen Seitenlasten  $H_{s,i,j,k}$  und die Führungskraft  $S$  wie folgt nach DIN 1055-10 Gl. (6)-(10):

$$S = f \cdot \lambda_s \cdot \sum Q_r$$

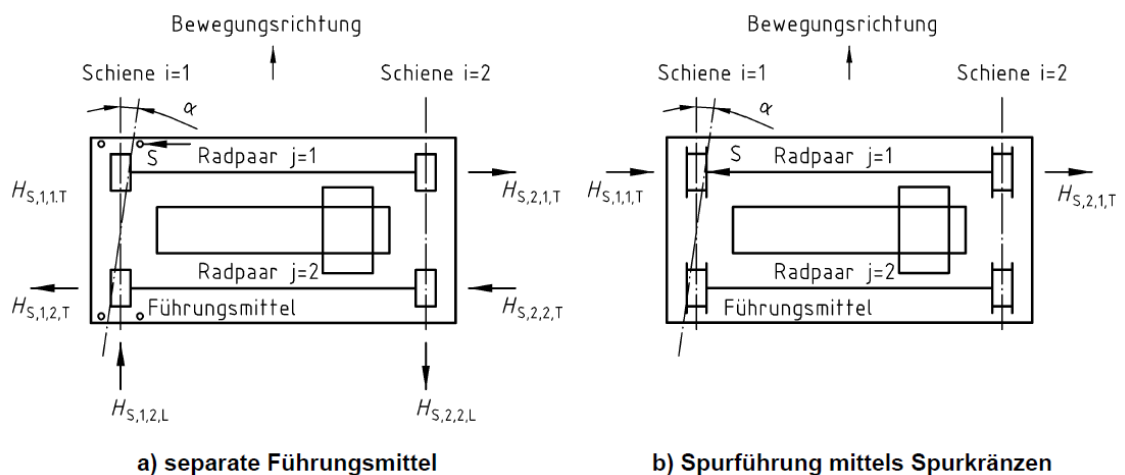
$$H_{s,1,j,L} = f \cdot \lambda_{s,1,j,L} \cdot \sum Q_r$$

$$H_{s,2,j,L} = f \cdot \lambda_{s,2,j,L} \cdot \sum Q_r$$

$$H_{s,1,j,T} = f \cdot \lambda_{s,1,j,T} \cdot \sum Q_r$$

$$H_{s,2,j,T} = f \cdot \lambda_{s,2,j,T} \cdot \sum Q_r$$

mit

 $\sum Q_r$  = Summe aller Radlasten des belasteten Krans, ohne Schwingbeiwert  $\varphi$ 
**Abbildung 5: Anordnung der horizontalen Radlasten aus Schräglauf längs und quer zur Fahrbahn**

Quelle: DIN 1055-10 Bild 8

### **(5) Pufferkräfte**

Die Montage der Puffer erfolgt an den Stirnseiten der Brückenkopfträger. Sie dienen einerseits der Dämpfung des Anpralls der Kranbrücke gegen die Endanschläge der Kranbahn und andererseits der Dämpfung eines Zusammenstoßes der Kranbrücken beim Betrieb mehrerer Krane auf der gleichen Kranbahn.

Die Pufferkräfte errechnen sich aus der kinetischen Energie der Kranbrücke und den Pufferkenngrößen, die abhängig vom Material und den Abmessungen des Puffers sind. Der Anprall der Kranbrücke gegen die Endanschläge der Kranbahn wird als außergewöhnliche Beanspruchung definiert und ist in der Regel für die Bemessung der Kranbahn nicht dimensionierend.

Auf die Berechnung der Pufferkräfte wird nicht näher eingegangen. Diese Kräfte können den Datenblätter der Kranhersteller entnommen werden.

## **2.1.3 Berechnung von Kranbahnträgern**

### **2.1.3.1 Schnittgrößenberechnung**

Die Orte maximaler Schnittgrößen bei vorwiegend ruhend beanspruchten Bauteilen lassen sich in der Regel relativ einfach bestimmen. Kranbahnträger hingegen werden nicht vorwiegend ruhend beansprucht durch Radlastgruppen mit mindestens zwei vertikalen Radlasten, die mit einem konstanten Abstand zueinander über den Kranbahnträger wandern. Deshalb wäre die Ermittlung der maximalen Schnittgrößen eines Kranbahnträgers ohne die Untersuchungen von Culmann (bei Einfeldträgern) und von Rose (bei Mehrfeldträgern) manuell äußerst aufwändig. Mit geeigneter Software lassen sich heute auch für komplizierte Systeme Grenzlinien ermitteln, die an jeder Stelle des Trägers die maximalen und minimalen Schnittgrößen darstellen.

### **(1) Schnittgrößenberechnung an Einfeldträgern nach Culmann**

Karl Culmann entwickelte einen einfachen Algorithmus zur Bestimmung des maximalen Biegemomentes an Einfeldträgern, die durch Wanderlasten mit konstantem Abstand zu einander belastet werden.

Zunächst erfolgt die Bestimmung des Angriffspunktes der Resultierenden der Einzellasten. Im Anschluss wird der Abstand der Resultierenden zur linken Einzellast halbiert und der so ermittelte Punkt mittig des Trägers gestellt. In Folge stellt sich nun an der Stelle der linken Einzellast das maximale Biegemoment ein.

Es gilt: linke Einzellast  $F_1 \geq$  rechte Einzellast  $F_2$ .



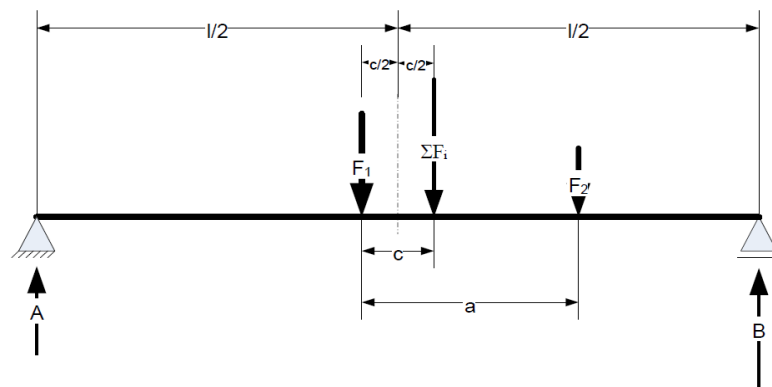


Abbildung 6: Culmansche Laststellung

Quelle: Seeßelberg, C.: Kranbahnen Bemessung und konstruktive Gestaltung, 3. Auflage, Bauwerk-Verlag, Berlin 2009, Abb. 4-3, S.122

## (2) Schnittgrößenberechnung an Zweifeldträgern nach Rose

Die Ermittlung der maximalen Schnittgrößen von Mehrfeldträgern, die durch Wanderlasten beansprucht werden, wurde von Rose untersucht. Mit Hilfe der Tabellenwerte von Rose wird im Folgenden die Berechnung der Schnittgrößen eines Zweifeldträgers mit gleichen Stützweiten, der von zwei Wanderlasten mit konstantem Abstand belastet wird, dargestellt.

Für die Bestimmung der Tafelwerte ist das Verhältnis des Abstandes der Einzellasten  $a$  zur Stützweite  $l$  sowie das Verhältnis der rechten zur linken Einzellast erforderlich. Die Tafelwerte werden in einfache Formeln zur Berechnung der Schnittgrößen eingesetzt.

Es gilt: linke Einzellast  $F_1 \geq$  rechte Einzellast  $F_2$ .

Neben der Position des maximalen Biegemomentes und den maximalen Auflagerlasten kann das minimale Biegemoment an der Stelle des maximalen Biegemomentes ermittelt werden. Hierbei handelt es sich um eine wichtige Schnittgröße für den Betriebsfestigkeitsnachweis.

$$\text{Hilfswerte} \quad \alpha = \frac{a}{l} \quad \beta = \frac{F_2}{F_1}$$

Maximales Feldmoment	$\max M_{y,F} = \gamma_{MF} * F_1 * l \quad \text{bei} \quad x_{MF} = l * \xi_{MF}$
Extremales Stützmoment	$\max M_{y,St} = -\gamma_{MSt} * F_1 * l \quad \text{bei} \quad x_{MSt} = l * \xi_{MSt}$
Maximales Randauflagekraft	$\max A = \gamma_A * F_1$
Maximale Mittenauflagekraft	$\max B = \gamma_B * F_1$
Minimales Moment an der Stelle x	$\min M_{y,F} = -\gamma_{\min MF} * F_1 * x / 10$

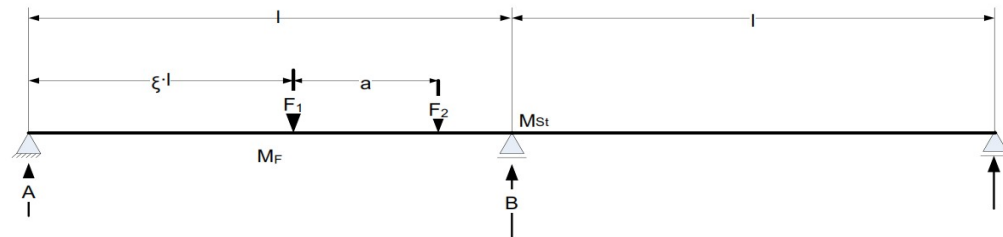


Abbildung 7: Systemmaße am Zweifeldträger

Quelle: Seeßelberg, C.: Kranbahnen Bemessung und konstruktive Gestaltung, 3. Auflage, Bauwerk-Verlag, Berlin 2009, Abb. 4-14, S. 131

Bezugnehmend auf die dargestellte Berechnung wird folgender Berechnungshinweis gegeben: Das maximale Biegemoment  $M_z$  infolge Schräglauf  $H_s$  kann mit oben genannten Formeln berechnet werden, unter Annahme zweier Kräfte mit der Größe  $H_s/2$  und dem Abstand  $a = 0$ .

$\gamma_{MF}$	$\beta$				
$\alpha$	1,0	0,9	0,8	0,6	0,4
0,0	0,415	0,394	0,373	0,332	0,290
0,1	0,369	0,353	0,337	0,304	0,272
0,2	0,328	0,316	0,304	0,279	0,255
0,3	0,292	0,283	0,274	0,257	0,240
0,4	0,260	0,254	0,248	0,237	0,227
0,5	0,233	0,229	0,226	0,221	0,216
0,6	0,210	0,209	0,208	0,207	0,207
0,7 *)	0,193	0,193	0,194	0,197	0,200
0,8 *)	0,180	0,182	0,185	0,189	0,195
0,9 *)	0,172	0,175	0,178	0,185	0,192
1,0 *)	0,169	0,172	0,176	0,183	0,191

\*)  $\gamma_{MF} > 0,207$ , wenn Räder Träger verlassen

$\gamma_A$	$\beta$				
$\alpha$	1,0	0,9	0,8	0,6	0,4
0,0	2,000	1,900	1,800	1,600	1,400
0,1	1,875	1,788	1,700	1,525	1,350
0,2	1,752	1,677	1,602	1,451	1,301
0,3	1,632	1,569	1,505	1,379	1,253
0,4	1,516	1,464	1,413	1,310	1,206
0,5	1,406	1,366	1,325	1,244	1,163
0,6	1,304	1,274	1,243	1,182	1,122
0,7	1,211	1,190	1,169	1,127	1,084
0,8	1,128	1,115	1,102	1,077	1,051
0,9	1,057	1,052	1,046	1,034	1,023
1,0	1,000	1,000	1,000	1,000	1,000

$\xi_{MF}$	$\beta$				
$\alpha$	1,0	0,9	0,8	0,6	0,4
0,0	0,432	0,432	0,432	0,432	0,432
0,1	0,412	0,413	0,414	0,417	0,421
0,2	0,393	0,396	0,398	0,404	0,411
0,3	0,377	0,381	0,384	0,393	0,403
0,4	0,364	0,368	0,373	0,384	0,397
0,5	0,354	0,359	0,365	0,378	0,393
0,6	0,347	0,354	0,361	0,376	0,393
0,7	0,348	0,355	0,363	0,378	0,395
0,8	0,353	0,360	0,368	0,383	0,399
0,9	0,363	0,370	0,377	0,391	0,405
1,0	0,377	0,383	0,389	0,401	0,412

$\gamma_{MSt}$	$\beta$				
$\alpha$	1,0	0,9	0,8	0,6	0,4
0,0	0,193	0,183	0,173	0,154	0,135
0,1	0,190	0,181	0,171	0,152	0,134
0,2	0,184	0,175	0,166	0,147	0,130
0,3	0,173	0,165	0,156	0,139	0,123
0,4	0,159	0,151	0,143	0,127	0,114
0,44	0,152	0,145	0,138	0,124	0,110
0,5	0,164	0,156	0,148	0,133	0,118
0,6	0,179	0,170	0,161	0,144	0,127
0,7	0,188	0,177	0,169	0,150	0,132
0,8	0,192	0,182	0,173	0,154	0,135
1,0	0,188	0,178	0,169	0,150	0,132

$\gamma_B$	$\beta$				
$\alpha$	1,0	0,9	0,8	0,6	0,4
0,0	2,000	1,900	1,800	1,600	1,400
0,1	1,993	1,893	1,793	1,595	1,396
0,2	1,971	1,873	1,774	1,578	1,384
0,3	1,936	1,839	1,743	1,552	1,364
0,4	1,888	1,794	1,696	1,516	1,337
0,5	1,828	1,737	1,647	1,472	1,304
0,6	1,757	1,670	1,584	1,419	1,265
0,7	1,675	1,593	1,512	1,359	1,220
0,8	1,584	1,506	1,431	1,292	1,171
0,9	1,484	1,411	1,343	1,219	1,119
1,0	1,375	1,309	1,247	1,141	1,063

$\xi_{MSt}$	$\beta$				
$\alpha$	1,0	0,9	0,8	0,6	0,4
0,0	0,577	0,577	0,577	0,577	0,577
0,1	0,525	0,528	0,531	0,538	0,547
0,2	0,469	0,474	0,480	0,494	0,513
0,3	0,408	0,416	0,425	0,446	0,476
0,4	0,342	0,352	0,364	0,394	0,434
<0,44	0,316	0,326	0,340	0,373	0,417
>0,44	0,780	0,771	0,760	0,736	0,702
0,5	0,750	0,742	0,733	0,712	0,683
0,6	0,700	0,694	0,688	0,672	0,651
0,8	0,600	0,599	0,597	0,594	0,590
1,0	0,500	0,504	0,509	0,521	0,535

$\gamma_{\min MF}$	$\beta$ – Räder können Träger verlassen					$\gamma_{\min MF}$	$\beta$ – Beide Räder bleiben auf Träger				
$\alpha$	1,0	0,9	0,8	0,6	0,4	$\alpha$	1,0	0,9	0,8	0,6	0,4
0,0	1,92	1,82	1,73	1,54	1,34	0,0	1,92	1,82	1,73	1,54	1,34
0,1	1,90	1,8	1,71	1,52	1,33	0,1	1,90	1,8	1,71	1,52	1,33
0,2	1,83	1,74	1,65	1,47	1,30	0,2	1,83	1,74	1,65	1,47	1,30
0,3	1,73	1,65	1,56	1,40	1,23	0,3	1,73	1,65	1,56	1,40	1,23
0,4	1,57	1,51	1,44	1,30	1,17	0,4	1,57	1,51	1,44	1,30	1,17
0,5	1,40	1,33	1,28	1,18	1,08	0,5	1,40	1,33	1,28	1,18	1,08
0,6	1,20	1,15	1,11	1,04	0,99	0,6	1,20	1,15	1,11	1,04	0,99
0,7	0,96	0,96	0,96	0,96	0,96	0,7	0,89	0,89	0,89	0,89	0,89
0,8	0,96	0,96	0,96	0,96	0,96	0,8	0,72	0,72	0,72	0,72	0,72
0,9	0,96	0,96	0,96	0,96	0,96	0,9	0,43	0,43	0,43	0,43	0,43
1,0	0,96	0,96	0,96	0,96	0,96	1,0	0	0	0	0	0

Tabelle 6: Tafelwerte zur Berechnung von zweifeldrigen Kranbahnträgern

Quelle: Seeßelberg, C.: Kranbahnen Bemessung und konstruktive Gestaltung, 3. Auflage, Bauwerk-Verlag, Berlin 2009, Abb. 4-1, S. 131f

### 2.1.3.2 Hubklassen und Beanspruchungsgruppen

Die Einordnung von Kranen in bestimmte Hubklassen H1-H4 dient der Berücksichtigung der dynamischen Einwirkung des Kranes auf die Tragkonstruktion. Beim Kran- und Katzfahren sowie den Hubvorgängen entstehen Schwingungen, die zu einer zusätzlichen Belastung der Tragkonstruktion führen. Um diese zusätzliche Belastung vereinfacht erfassen zu können, wurden Hubklassen eingeführt, denen ein bestimmter Schwingbeiwert  $\phi$  zugeordnet ist, mit dem die vertikalen Radlasten zu multiplizieren sind.

Bauteil	Hubklasse des Krans			
	H 1	H 2	H 3	H 4
Träger	1,1	1,2	1,3	1,4
Unterstützungen oder Aufhängungen	1,0	1,1	1,2	1,3

Abbildung 8: Schwingbeiwert  $\phi$ 

Quelle: DIN 4132 Tab. 1

Es wird darauf hingewiesen, dass die Berechnung von Grundbauten, Bodenpressung und Formänderungen ohne Berücksichtigung des Schwingbeiwertes  $\phi$  erfolgt.

Die Anzahl der zu erwartenden Spannungsspiele mit einem bestimmten Spannungskollektiv über die vorgesehene Lebensdauer der Krananlage wird mit den Beanspruchungsgruppen B1-B6 ausgedrückt. Die Beanspruchungsgruppe steigt mit zunehmender Spannungsspielzahl und mit größerer Völligkeit des Spannungskollektivs. Im Betriebsfestigkeitsnachweis werden die zulässigen Spannungen aufgrund der festgelegten Beanspruchungsgruppe abgemindert.

Bei genauer Kenntnis der zu erwartenden Betriebsbedingungen des Kranes kann die Beanspruchungsgruppe nach DIN 15018 Teil 1 Kap. 7.4.2 bestimmt werden.

Empfehlungen zur Zuordnung bestimmter Kranarten zu einer Belastungsgruppe und Hubklasse beinhaltet die DIN 15018 Teil 1 Tab. 23.

Lfd. Nr	Kranart		Hubklassen	Beanspruchungsgruppen
1	Handkrane		H 1	B 1, B 2
2	Montagekrane		H 1, H 2	B 1, B 2
3	Maschinenhauskrane		H 1	B 2, B 3
4	Lagerkrane	unterbrochener Betrieb	H 2	B 4
5	Lagerkrane, Traversenkrane, Schrottplatzkrane	Dauerbetrieb	H 3, H 4	B 5, B 6
6	Werkstattkrane		H 2, H 3	B 3, B 4
7	Brückenkrane, Fallwerkkrane	Greifer- oder Magnetbetrieb	H 3, H 4	B 5, B 6
8	Gießkrane		H 2, H 3	B 5, B 6
9	Tiefenkrane		H 3, H 4	B 6
10	Stripperkrane, Chargierkrane		H 4	B 6
11	Schmiedekrane		H 4	B 5, B 6
12	Verladebrücken, Halbportalkrane, Vollportalkrane mit Laufkatze oder Drehkran	Hakenbetrieb	H 2	B 4, B 5
13	Verladebrücken, Halbportalkrane, Vollportalkrane mit Laufkatze oder Drehkran	Greifer- oder Magnetbetrieb	H 3, H 4	B 5, B 6
14	Fahrbare Bandbrücken mit fest eingebautem oder verschiebbarem Band (Bändern)		H 1	B 3, B 4
15	Dockkrane, Hellingkrane, Ausrüstungskrane	Hakenbetrieb	H 2	B 3, B 4
16	Hafenkrane, Drehkrane, Schwimmkrane, Wippdrehkrane	Hakenbetrieb	H 2	B 4, B 5
17	Hafenkrane, Drehkrane, Schwimmkrane, Wippdrehkrane	Greifer- oder Magnetbetrieb	H 3, H 4	B 5, B 6
18	Schwerlast-Schwimmkrane, Bockkrane		H 1	B 2, B 3
19	Bordkrane	Hakenbetrieb	H 2	B 3, B 4
20	Bordkrane	Greifer- oder Magnetbetrieb	H 3, H 4	B 4, B 5
21	Turmdrehkrane für den Baubetrieb		H 1	B 3
22	Montagekrane, Derrickkrane	Hakenbetrieb	H 1, H 2	B 2, B 3
23	Schienenendrehkrane	Hakenbetrieb	H 2	B 3, B 4
24	Schienenendrehkrane	Greifer- oder Magnetbetrieb	H 3, H 4	B 4, B 5
25	Eisenbahnkrane, in Zügen zugelassene		H 2	B 4
26	Autokrane, Mobilkrane	Hakenbetrieb	H 2	B 3, B 4
27	Autokrane, Mobilkrane	Greifer- oder Magnetbetrieb	H 3, H 4	B 4, B 5
28	Auto-Schwerlastkrane, Mobil-Schwerlastkrane		H 1	B 1, B 2

**Abbildung 9: Hubklassen und Beanspruchungsgruppen**

Quelle: DIN 15018 Teil 1 Tabelle 23

### 2.1.3.3 Tragsicherheitsnachweise

Folgende Tragsicherheitsnachweise für Kranbahntäger sind zu führen und werden nachfolgend erläutert:

- (1) allgemeiner Spannungsnachweis (Grundwerkstoff und Schweißnähte)
- (2) Stabilitätsnachweise (Biegedrillknicknachweis und Beulnachweis)
- (3) Betriebsfestigkeitsnachweis<sup>5</sup>.

#### (1) Allgemeiner Spannungsnachweis

Der Spannungsnachweis wird nach dem Verfahren elastisch – elastisch nach DIN 18800-1 vorgestellt.

Kranbahnträger werden auf Biegung um die y- und z-Achse sowie auf Torsion beansprucht. Die Ursache für die Entstehung der Torsion liegt in dem Abstand des Lastangriffspunktes des Rades zum Schubmittelpunkt des Kranbahnträgers. Des weiteren ist ein Nachweis des Trägers lokal an der Radlasteinleitungsstelle erforderlich.

Die Spannungsermittlung infolge Torsion ist manuell nur mit sehr großem Aufwand erfassbar. Vor diesem Hintergrund wurde das Modell des Tragwirkungssplittings entwickelt. Beim Tragwirkungssplitting wird der Obergurt + 1/5 Steg gedanklich aus dem Gesamtquerschnitt herausgeschnitten und mit der quer zum Kranbahnträger angreifenden horizontalen Last belastet. Die geringe Außermittigkeit zwischen Radlasteinleitungsstelle und dem Schubmittelpunkt des Obergurtes + 1/5 Steg wird vernachlässigt. Folglich ist die Torsionsbeanspruchung in ein reines Biegeproblem überführt.

$$\sigma_x = \frac{M_y}{W_y} + \frac{M_z}{W_{z,OG}} \quad \text{mit } W_{z,OG} \approx \frac{W_z}{2}$$

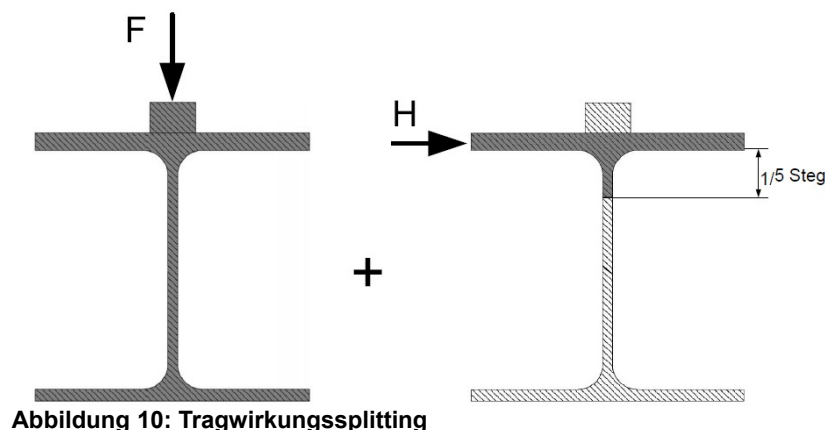


Abbildung 10: Tragwirkungssplitting

Quelle: Seeßelberg, C.: Kranbahnen Bemessung und konstruktive Gestaltung, 3. Auflage, Bauwerk-Verlag, Berlin 2009, Abb. 5-1, S. 141

Eine wirtschaftlichere Bemessung lässt sich mit geeigneter Software, die das Torsionsproblem vollständig erfassen kann, durchführen.

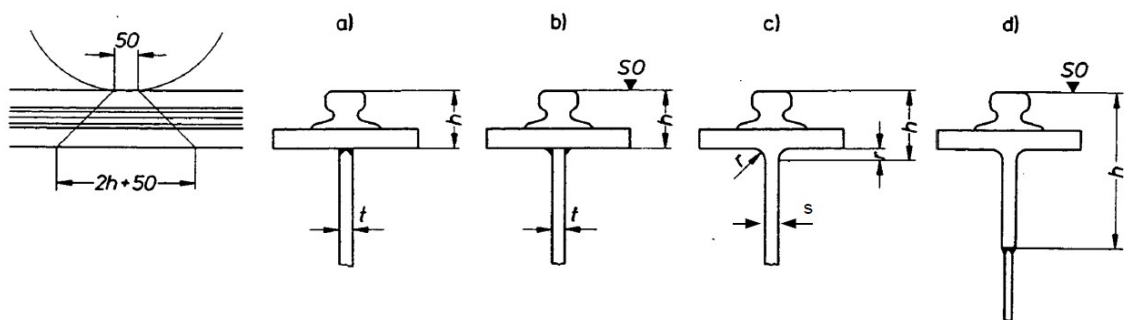
<sup>5</sup> Vgl. Lohse, W.: Stahlbau 2, 20. Auflage, Teubner Verlag, Wiesbaden 2005, S. 132.

Die lokale Spannung  $\bar{\sigma}_z$  infolge Radlasteinleitung muss nach Beiblatt 1 zu DIN 4132 Kap. 4.1.2 mit den Spannungen aus globaler Biegung überlagert werden. Jedoch wird die lokale Schubspannung  $\bar{\tau}_{xz}$  beim Spannungsnachweis vernachlässigt, da sich die Maxima von Spannung  $\bar{\sigma}_z$  und  $\bar{\tau}_{xz}$  nicht am gleichen Ort befinden. Für die Berechnung der lokalen Spannung  $\bar{\sigma}_z$  darf die Lasteinleitungslänge zwischen Rad und Schienenoberkante nach DIN 4132 Kap. 4.1.2 mit 50 mm angenommen werden. Allerdings ist die Schienenhöhe aufgrund Verschleißerscheinungen während der Lebensdauer der Schiene um 25 % zu reduzieren.

Der Nachweis des Grundquerschnitts erfolgt mit der lokalen Spannung  $\bar{\sigma}_z$  am Stegansatz zum Obergurt. Die lokale Spannung  $\bar{\sigma}_z$  darf als konstant über die Lasteinleitungslänge angenommen werden.

Lasteinleitungslänge für gewalzte Träger  $c = 2 * (t + h_{0,75 * \text{Schiene}} + r) + 5 \text{ cm}$

Radlasteinleitungsspannung für gewalzte Träger  $\bar{\sigma}_z = \frac{F}{c * s}$



**Abbildung 11: Höhe h für die Bestimmung von  $\bar{\sigma}_z$**

Quelle: Eigene Darstellung in Anlehnung an DIN 4132 Bild 2

Anzumerken ist, dass durch elastische Schienenunterlagen die lokale Spannung  $\bar{\sigma}_z$  reduziert werden kann. Hierauf wird an dieser Stelle nicht näher eingegangen.

Neben den Kranschiene mit Fußflansch, die auf die Obergurt-Oberseite des Kranbahnträgers meist aufgeklemmt werden, kommen angeschweißte Flachstahlschienen zum Einsatz. Der Nachweis durchgehender Kehlnähte zwischen Kranschiene und Obergurt wird im Folgenden dargestellt.

Bei der Berechnung von Spannungen infolge globaler Biegung des Kranbahnträgers wird zur Vereinfachung die Schiene oft als nicht mittragend betrachtet. Beim Schweißnahtnachweis muss jedoch die Berücksichtigung der vorhandenen schubsteifen Verbindung zwischen Schiene und Obergurt erfolgen. Deshalb muss die aus globaler Biegung resultierende Schubspannung  $\tau_{\parallel}$  mit den Spannungen aus Radlasteinleitung

überlagert werden. Es darf nicht unterstellt werden, dass die Radlast über Kontakt zwischen Schiene und Obergurt übertragen wird. Aus diesem Grund ist es erforderlich, dass die gesamte Radlast rechnerisch über die Kehlnähte weitergeleitet wird. Hieraus resultiert die Normalspannung  $\bar{\sigma}_{\perp}$  und ein weiterer Anteil, die Schubspannung  $\bar{\tau}_{\perp}$ , aus der horizontalen Last infolge Schräglauf. Bei der Schweißnahtberechnung sind demnach diese Spannungen zu berücksichtigen:

$$\tau_{\parallel} = \frac{V * S_{y, \text{Schiene}}}{I_y * 2 * a_w} \quad \bar{\sigma}_{\perp} = \frac{F}{(2 * h_{\text{Schiene} * 0,75} + 5 \text{ cm}) * 2 * a_w} \quad \bar{\tau}_{\perp} = \frac{H_s^*}{(b_{\text{Schiene}} + 5 \text{ cm}) * 2 * a_w}$$

Eine Zusammenstellung möglicher Nachweisstellen für den Spannungsnachweis ist in nachfolgender Tabelle angegeben. Weitere Nachweisstellen sind, je nach Konstruktion, zu ergänzen.

Nr.	NW-Stelle in Trägerlängsrichtung	NW-Stelle im Querschnitt	Zu berücksichtigende Schnittgrößen	Nachzuweisende Spannung
1	Feld 1. max $M_y$ 2. max $M_z$	Außenkante Obergurt	$M_y, M_z$	$\sigma_x$
2	lokal	Stegansatz	Radlasteinleitung $F$	$\bar{\sigma}_z$
3	Feld	Stegansatz	max $M_y$ , Radlasteinleitung $F$	$\sigma_x, \tau_{xz}, \bar{\sigma}_z$
4	Auflager	Stegansatz	max $V_z$ , Radlasteinleitung $F$	$\tau_{xz}, \bar{\sigma}_z$
5	Auflager	Kehlnaht Schiene/Obergurt	max $V_z$ , Radlasteinleitung $F$	$\tau_{\parallel}, \bar{\tau}_{\perp}, \bar{\sigma}_{\perp}$
...	...	...	...	...

**Tabelle 7: Nachweisstellen für den Spannungsnachweis**

Quelle: Eigene Darstellung

## (2) Stabilitätsnachweise

Der Kranbahnträger muss, sofern er als offener Querschnitt ausgebildet ist, neben dem Nachweis gegen Beulen auch gegen das Stabilitätsversagen Biegedrillknicken nachgewiesen werden. Im Anschluss werden nun diese Nachweise erläutert.

### ➤ Biegedrillknicknachweis

Der Nachweis gegen Biegedrillknicken kann mit dem Verfahren nach Theorie II. Ordnung geführt werden, allerdings ist die Anwendung nur mit geeigneter Software wirtschaftlich möglich.

Manuell lässt sich das Biegedrillknicken mit dem Ersatzstabverfahren nach DIN 18800-



2 nachweisen. Gleichwohl kann die Torsionsbeanspruchung des Kranbahnträgers nur durch die Umrechnung in ein zusätzliches Biegemoment um die z-Achse berücksichtigt werden, was zu einer Erhöhung des Berechnungsaufwands führt. Das Verfahren auf Grundlage des Tragwirkungssplittings umgeht den Biegedrillknicknachweis, indem das Gedankenmodell des herausgelösten Obergurtes + 1/5 Steg gegen Biegeknicken um die z-Achse nachgewiesen wird.

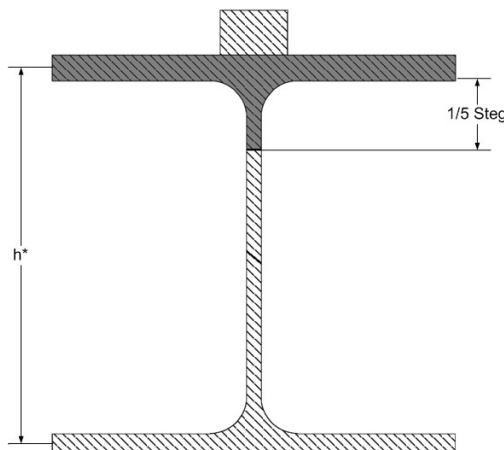
Nachfolgend werden die beiden letztgenannten Biegedrillknicknachweis dargestellt.

➤ Nachweis des Obergurtes + 1/5 Steg gegen Biegeknicken

Das Gedankenmodell des herausgelösten Obergurtes + 1/5 Steg wird mit der horizontalen Last infolge Schräglauf belastet, welche ein Biegemoment um die z-Achse erzeugt. Infolge globaler Biegung entsteht im Obergurt des Kranbahnträgers eine Druckspannung, die in eine Druckkraft umgerechnet wird. Mit dem ermittelten Biegemoment und der Druckkraft wird der Biegeknicknachweis nach DIN 18800-2 für den Ersatzquerschnitt, Obergurt + 1/5 Steg, geführt.

Die Normalkraft berechnet sich zu:

$$N_d = \frac{M_{y,d} \cdot S_{y,OG}}{I_y} \quad \text{vereinfacht} \quad N_d \approx \frac{M_{y,d}}{h^*} \quad \text{mit } h^* = h - t$$



**Abbildung 12: Trägerquerschnitt**

Quelle: Seeßelberg, C.: Kranbahnen Bemessung und konstruktive Gestaltung, 3. Auflage, Bauwerk-Verlag, Berlin 2009, Abb. 6-3, S.170



- Nachweis des Kranbahnträgers gegen Biegedrillknicken nach dem Ersatzstabverfahren

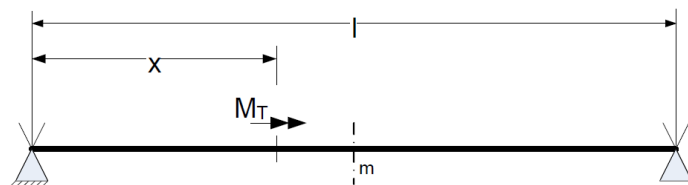
Der Nachweis gegen Biegedrillknicken nach dem Ersatzstabverfahren der DIN 18800-2 kann nur bei Stäben mit konstanter Normalkraft und mit doppelt- oder einfach-symmetrischen I-förmigen Querschnitten angewendet werden<sup>6</sup>. Des weiteren müssen die grenz b/t-Verhältnisse nach DIN 18800-1 Tab. 12 und 13 eingehalten werden. Das Torsionsmoment kann standardmäßig nicht in diesem Nachweis erfasst werden, so dass eine Umrechnung in ein zusätzliches Querbiegemoment nach folgender Vorgehensweise durchgeführt wird.

Das Torsionsmoment aus dem Produkt von horizontaler Last infolge Schräglauf  $H_s^*$  und dem Abstand zwischen Schubmittelpunkt des Kranbahnträgers und dem Lastangriffspunkt  $e_z$  erzeugt ein Wölbbimoment  $M_\omega$ . Das Wölbbimoment wird in ein Momentenpaar im Ober- und Untergurt aufgeteilt und mit dem Faktor 2 multipliziert, da der gesamte Querschnitt, demnach 2 Gurte, beim Biegedrillknickenachweis berücksichtigt wird.

$$M_\omega = \frac{M_T}{\lambda} * \left( \frac{\sinh(\lambda * (1-x))}{\sinh(\lambda * 1)} * \sinh(\lambda * x) \right)$$

$$M_z^* = 2 * \frac{M_\omega}{h-t}$$

vereinfacht, auf der sicheren Seite liegend, darf  $M_{z,d}^* = M_{z,d}^\circ$  angenommen werden



**Abbildung 13: Systemmaße am Einfeldträger**

Quelle: Seeßelberg, C.: Kranbahnen Bemessung und konstruktive Gestaltung, 3. Auflage, Bauwerk-Verlag, Berlin 2009, Tab. 5-1, S. 145

Der Nachweis gegen Biegedrillknicken lautet:

$$\frac{M_y}{\kappa_M * M_{pl,y,d}} * k_y + \frac{M_z + M_z^*}{M_{pl,z,d}} * k_z \leq 1,00$$

<sup>6</sup> Vgl. DIN 18800-2 EI. (323).

### ➤ Beulnachweis

Die Beulsicherheit der Kranbahnträgersgurte kann mit dem grenz b/t- Verfahren der DIN 18800-1 Tab. 12 und 13 nachgewiesen werden. An dieser Stellen wird hierauf nicht näher eingegangen.

Grundsätzlich besteht die Möglichkeit die Beulsicherheit des Steges von Trägern auch mit dem grenz b/t-Verfahren nachzuweisen. Da Kranbahnträger jedoch lokal durch eine zusätzliche Normalspannung  $\bar{\sigma}_z = \sigma_y$  (gemäß DIN 18800-3) infolge der Radlasteinleitung beansprucht werden und diese zusätzliche Beanspruchung beim grenz b/t-Verfahren nicht berücksichtigt werden kann, ist der Beulnachweis nach DIN 18800-3 erforderlich. Die folgenden Schritte gliedern das Verfahren des Beulnachweises:

1. Berechnung der Spannungen  $\sigma_x$ ,  $\sigma_y$ ,  $\tau_{xz}$
2. Bestimmung der Hilfswerte
  - Verhältnis von Beulfeldlänge zu Beulfeldbreite  $\alpha$
  - Verhältnis von Radlasteinleitungslänge zu Beulfeldlänge  $\beta$
  - Randspannungsverhältnis  $\psi$
3. Bestimmung der Beulwerte  $k_i$ : Die DIN 18800-3 stellt keine Algorithmen zur Berechnung der Beulwerte  $k$  zur Verfügung, deshalb sind diese aus der Literatur zu entnehmen.
4. Berechnung der idealen Einzelbeulspannungen  $\sigma_{x, Pi}$ ,  $\sigma_{y, Pi}$ ,  $\tau_{Pi}$
5. Berechnung der bezogenen Schlankheitsgrade  $\bar{\lambda}_{p,i}$  und Abminderungsfaktoren  $\kappa_i$
6. Überprüfen auf knickstabähnliches Verhalten
7. Berechnung der Grenzbeulspannungen
8. Nachweisführung

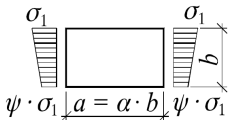
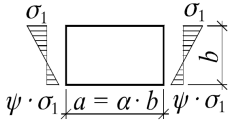
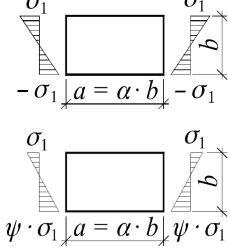
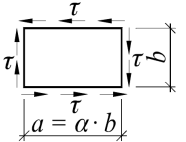
Es wird unterstellt, dass an den Auflagerpunkten des Kranbahnträgers Quersteifen angeordnet sind, die die notwendige Gabellagerung für den Biegedrillknicknachweis realisieren.

$\beta = \frac{c}{a}$	$\alpha = a/b$									
	0,5	1	2	3	4	6	8	10	20	30
0,0	12,5	3,23	1,17	0,73	0,52	0,34	0,25	0,20	0,10	–
0,1	13	3,27	1,21	0,79	0,59	0,47	0,40	0,35	0,24	0,19
0,2	13,5	3,35	1,27	0,86	0,68	0,60	0,54	0,51	0,42	0,37
0,4	15	3,67	1,45	1,06	0,91	0,84	0,80	0,77	0,70	0,67
0,6	17	4,22	1,72	1,33	1,19	1,12	1,09	1,06	1,00	0,98
1,0	21	6,08	2,55	2,03	1,93	1,81	1,77	1,72	1,68	1,65

**Tabelle 8: Beulwerte  $k_{\sigma y}$**

Quelle: Seeßelberg, C.: Kranbahnen Bemessung und konstruktive Gestaltung, 3. Auflage, Bauwerk-Verlag, Berlin 2009, Tab. 7-1, S.190

Es besteht die Möglichkeit, den Beulwert  $k_{\sigma y}$  für  $\alpha > 10$  und  $\beta < 0,1$  wie folgt zu bestimmen: Mit  $\alpha^* = \alpha/2$  und  $\beta = 2\beta$  wird der Parameter  $k_{\sigma y}^*$  abgelesen. Der Beulwert  $k_{\sigma y}$  ergibt sich näherungsweise zu  $k_{\sigma y}^*/2$ .

1	Beanspruchung		Ideale Beulspannung	Gültigkeitsbereich	Beulwert
2	Geradlinig verteilte Druckspannungen $0 \leq \psi \leq 1$		$\sigma_{x, Pi} = k_{\sigma} \cdot \sigma_e$	$\alpha \geq 1$	$k_{\sigma} = \frac{8,4}{\psi + 1,1}$
				$\alpha < 1$	$k_{\sigma} = \left[ \alpha + \frac{1}{\alpha} \right]^2 \cdot \frac{2,1}{\psi + 1,1}$
3	Geradlinig verteilte Druck- und Zugspannungen mit überwiegendem Druck $-1 < \psi < 0$		$\sigma_{x, Pi} = k_{\sigma} \cdot \sigma_e$		$k_{\sigma} = (1 + \psi) \cdot k' - \psi \cdot k''$ $\hookrightarrow + 10 \psi \cdot (1 + \psi)$ $k'$ : Beulwert für $\psi = 0$ nach Zeile 2 $k''$ : Beulwert für $\psi = -1$ nach Zeile 4
4	Geradlinig verteilte Druck- und Zugspannungen mit gegengleichen Randwerten $\psi = -1$ oder mit überwiegendem Zug <sup>1)</sup> $\psi < -1$		$\sigma_{x, Pi} = k_{\sigma} \cdot \sigma_e$	$\alpha \geq \frac{2}{3}$	$k_{\sigma} = 23,9$
				$\alpha < \frac{2}{3}$	$k_{\sigma} = 15,87 + \frac{1,87}{\alpha^2}$ $\hookrightarrow + 8,6 \cdot \alpha^2$
5	Gleichmäßig verteilte Schubspannungen		$\tau_{Pi} = k_{\tau} \cdot \sigma_e$	$\alpha \geq 1$	$k_{\tau} = 5,34 + \frac{4,00}{\alpha^2}$
				$\alpha < 1$	$k_{\tau} = 4,00 + \frac{5,34}{\alpha^2}$

<sup>1)</sup> Bei der Berechnung des Seitenverhältnisses  $\alpha$  und der Eulerspannung  $\sigma_e$  ist hier  $b$  durch den ideellen Wert  $b_i = 2 \cdot b_D$  zu ersetzen, wobei  $b_D < 0,5 \cdot b$  die Breite der Druckzone ist. Dies ist jedoch nicht zulässig für die Berechnung des Beulwertes  $k$  gleichzeitig wirkender Schubspannungen und der Bezugsspannung  $\sigma_e$  zur Ermittlung der Beulspannung  $\tau_{Pi}$ .

**Tabelle 9: Beulwerte  $k$  für unversteifte, an allen 4 Rändern einspannungsfrei gelagerte Beulfelder nach DIN 4114-1**

Quelle: Schneider K.-J., Goris A.: Bautabellen für Ingenieure, 18. Auflage, Werner Verlag, Köln 2008, Tafel 8.61, S. 8.61

Neben den bereits ausgeführten Tragsicherheitsnachweisen für Kranbahnträger (allgemeiner Spannungsnachweis und Stabilitätsnachweise) folgt nun die Darstellung des Betriebsfestigkeitsnachweises.

### (3) Betriebsfestigkeitsnachweis

Kranbahnen sind nicht vorwiegend ruhend beanspruchte Bauteile, die während ihrer Nutzungsdauer häufig mit wechselnden Belastungen unterschiedlicher Intensität beansprucht werden. Vor diesem Hintergrund ist es erforderlich, Kranbahnträger gegen Materialermüdung nachzuweisen.

Der sogenannte Betriebsfestigkeitsnachweis der DIN 4132 basiert auf dem alten Sicherheitskonzept der zulässigen Spannungen. Deshalb werden die Teilsicherheitsbeiwerte  $\gamma_M$  und  $\gamma_F$  des neuen Sicherheitskonzepts auf den Wert 1,0 reduziert. Mit der Umstellung des Sicherheitskonzepts werden die zulässigen Spannungen der DIN 4132 als Grenzspannungen definiert. Aus diesem Grund ist folgende Umbenennung eingeführt:  $zul_\tau^\sigma Be \equiv grenz_\tau^\sigma Be$ .

Der Betriebsfestigkeitsnachweis berücksichtigt

- die Stahlsorte,
- die Beanspruchungsgruppe,
- den Kerbfall an der Nachweisstelle,
- das Spannungsverhältnis aus Unter- und Oberspannung an der Nachweisstelle, sowie
- eine aus den genannten Faktoren ermittelte Grenzspannung.

Die Kerbfälle sind in Gruppen zusammengefasst, wobei W0-W2 Kerbfälle beschreiben, die an Bauteilen und geschraubt oder genieteten Verbindungen vorzufinden sind. Kerbfälle an geschweißten Bauteilen werden in den Gruppen K0-K4 zusammengefasst. Die Zahl 0 steht für geringe Kerbwirkung und die Zahl 4 für besonders starke Kerbwirkung. Darüber hinaus sind schubbeanspruchte Schweißnähte sowie Schrauben ebenfalls auf Ermüdung zu untersuchen.

Der Betriebsfestigkeitsnachweis von Schrauben wird in dieser Arbeit nicht ausgeführt.

Kranbahnträger werden während des Kranfahrens ständig von vertikalen Radlasten beansprucht, wohingegen die horizontalen Kräfte im Verhältnis marginal auftreten. Deshalb sind horizontale Kranlasten für die Betriebsfestigkeitsuntersuchung (BFU) nicht relevant.

Mit den Radlasten (multipliziert mit dem Schwingbeiwert  $\phi$ ) werden die Unter- und Oberspannung an den unterschiedlichen Nachweisstellen berechnet.

Die Grenzspannungen können entweder mit der Tabelle 3 der DIN 4132 berechnet werden oder aus den Tabellen 7 – 18 der DIN 4132 abgelesen werden. Wichtig hierbei

ist, dass die ermittelten Grenzspannungen oberhalb der zulässigen Spannungen im Lastfall H liegen können und deshalb begrenzt werden müssen.

In nachfolgender Tabelle sind die Grenzwerte für die Grenzspannungen aufgelistet.

Kappung	Regelfall Grenzspannungen [kN/cm <sup>2</sup> ]		Ausnahmefall <sup>1)</sup> Grenzspannungen [kN/cm <sup>2</sup> ]	
	S 235	S 355	S 235	S 355
grenz $\sigma_{Be}$	16	24	24	36
grenz $\tau_{Be}$ - Bauteil	9	13,5	13,9	20,8
grenz $\tau_{Be}$ - Schweißnaht	13,5	17	17	25,5
1) Grenzspannungen des Ausnahmefalls anwendbar bei: <ul style="list-style-type: none"> <li>– wenn Zwängungsspannungen berücksichtigt werden, z.B. bei der Radlasteinleitung in die Kranbahnträger oder bei Fachwerk-Kranbahnträgern</li> <li>– bei Anwendung der Kombinationsformel nach DIN 4132 Gl. 4</li> <li>– wenn der Tragsicherheitsnachweis nach dem Verfahren elastisch – plastisch geführt wird</li> </ul>				

**Tabelle 10: Kappung von grenz  $\sigma_{Be}$  und grenz  $\tau_{Be}$  auf die früheren "zulässigen Spannungen im Lastfall H" nach DIN 4132 Kap. 4.4.5**

Quelle: Seeßelberg, C.: Kranbahnen Bemessung und konstruktive Gestaltung, 3. Auflage, Bauwerk Verlag, Berlin 2009, Tab. 8-5, S. 219

Beim Nachweis von Kehlnähten dürfen nach DIN 4132 Kap. 4.4.5 nur 60 % der ermittelten Grenzscherbuckelspannungen angesetzt werden.

Bei Kranen ab Beanspruchungsgruppe B4 wird eine außermittige Radlasteinleitung in die Kranschiene unterstellt. Die Radlasten müssen mit einer Außermittigkeit von  $\frac{1}{4}$  der Schienenkopfbreite angesetzt werden und erzeugen somit eine Stegbiegung. Diese Stegbiegung ist zwingend bei der BFU zu berücksichtigen.

Es erfolgt keine Erläuterung der Berechnung von Kranen ab Beanspruchungsgruppe B4.

Zusammenfassend ist der Betriebsfestigkeitsnachweis wie folgt zu führen:

1. Auswahl eines Konstruktionsdetails
2. Bestimmung des Kerbfalls
3. Berechnung der Unter- und Oberspannung an der Nachweisstelle
4. Berechnung des Spannungsverhältnisses  $\kappa$ :

Die betragsmäßig kleinere Spannung wird als Unterspannung definiert und durch die betragsmäßig größere Spannung (Oberspannung) dividiert – unter Berücksichtigung der Vorzeichen

5. Ermittlung der Grenzspannung
6. Nachweisführung

Eine Zusammenstellung möglicher Nachweisstellen für den Betriebsfestigkeitsnachweis ist in nachfolgender Tabelle angegeben. Weitere Nachweisstellen sind, je nach Konstruktion, zu ergänzen.

Nr.	NW-Stelle in Trägerlängsrichtung	NW-Stelle im Querschnitt	Kerbfall	Nachzuweisende Spannung
1	Überall	Kehlnaht Schiene/Obergurt	K 453	$\bar{\sigma}_{\perp}$
2	Überall	Kehlnaht Schiene/Obergurt	-	$\bar{\tau}_{\perp}$
3	Überall	Stegansatz	W 13	$\bar{\sigma}_z$
4	Feld, $\max M_y$	Obergurt-Oberseite	K 123	$\sigma_x$
5	Auflager	Kehlnaht Schiene/Obergurt	-	$\bar{\tau}_{\parallel} + \tau_{\parallel}$
6	Auflager	Stegansatz	-	$\bar{\tau}_{xz} + \tau_{xz}$
...	...	...	...	...
Zusätzlich bei Mehrfeldträgern				
7	Mittelauflager	Obergurt-Unterseite	K333	$\sigma_x$
...	...	...	...	...

**Tabelle 11: Nachweisstellen für den Betriebsfestigkeitsnachweis**

Quelle: Eigene Darstellung in Anlehnung an Lohse, W.: Stahlbau 2, 20. Auflage, Teubner Verlag, Wiesbaden 2005, Tafel 5.10, S. 203

### 2.1.3.4 Gebrauchstauglichkeitsnachweis

Der Gebrauchstauglichkeitsnachweis wird in der DIN 4132 nicht behandelt. Dies macht es erforderlich, Grenzwerte der zulässigen Verformung projektbezogen festzulegen. Im EC 3-6 (DIN EN 1993-6) dagegen sind Festlegungen bezüglich des Nachweises im Grenzzustand der Gebrauchstauglichkeit klar geregelt. Ziel des Gebrauchstauglichkeitsnachweises ist es, Verformungen des Tragwerkes zu begrenzen, um einen störungsfreien und verschleißarmen Betrieb der Krananlage sicher zu stellen.

Im Folgenden werden die Grenzwerte für vertikale und horizontale Verformungen nach EC 3-6 vorgestellt.

Der nationale Anhang der DIN EN 1993-6 trifft Regelungen, die bei der Anwendung dieser Norm in Deutschland zu berücksichtigen sind:

Die horizontale Verschiebung des Tragwerkes in Höhe der Kranauflagerung, geregelt in Tab. 7.1, Zeile b), sowie die Änderung des Abstandes  $\Delta s$  der Schwerlinien der Kranschiene, geregelt in Tab. 7.1, Zeile e), brauchen nur mit Lasten infolge Kranbetrieb berechnet zu werden.

Des weiteren gelten für die Grenzwerte der horizontalen Verschiebung des Tragwerkes aus Tab. 7.1, Zeile b) die Werte der Tab. NA.2 in Abhängigkeit der Hubklasse.

Hubklasse	grenz $\delta_y$
HC 1	$h_c / 250$
HC 2	$h_c / 300$
HC 3	$h_c / 350$
HC 4	$h_c / 400$

Tabelle 12: Grenzwerte für Verformungen

Quelle: DIN EN 1993-6/NA Tab. NA.2

Die vertikale Durchbiegung eines Kranbahnträgers, geregelt in Tab. 7.2, Zeile a), wird erweitert auf  $\delta_z \leq L/500$  und  $\delta_z \leq 25$  mm.

Beschreibung der Verformung (Durchbiegung oder Verschiebung)	Skizze
<p>a) Horizontale Durchbiegung <math>\delta_y</math> eines Kranbahnträgers in Höhe der Oberkante Kranschiene:</p> <p><math>\delta_y \leq L/600</math></p>	
<p>b) Horizontale Verschiebung <math>\delta_y</math> eines Tragwerks (oder einer Stütze) in Höhe der Kranauflagerung:</p> <p><math>\delta_y \leq h_c/400</math></p> <p>Dabei ist <math>h_c</math> der Abstand zu der Ebene, in der der Kran gelagert ist (auf einer Kranschiene oder auf einem Flansch)</p>	
<p>c) Differenz <math>\Delta\delta_y</math> der horizontalen Verschiebungen benachbarter Tragwerke (oder Stützen), auf denen Träger einer innen liegenden Kranbahn lagern.</p> <p><math>\Delta\delta_y \leq L/600</math></p>	
<p>d) Differenz <math>\Delta\delta_y</math> der horizontalen Verschiebungen benachbarter Stützen (oder Tragkonstruktionen), auf denen Träger einer außen liegenden Kranbahn lagern:</p> <p>– infolge der Lastfallkombination von seitlichen Krankräften und Windlast während des Betriebes:</p> <p><math>\Delta\delta_y \leq L/600</math></p> <p>– infolge Windlast außer Betrieb:</p> <p><math>\Delta\delta_y \leq L/400</math></p>	

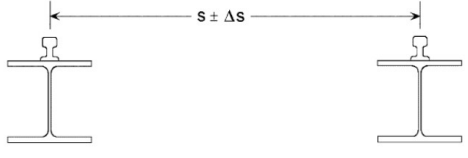
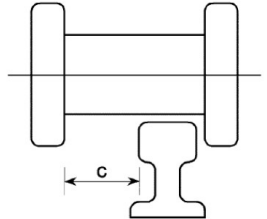
<p>e) Änderung des Abstandes <math>\Delta_s</math> der Schwerlinien der Kranschiene, einschließlich der Auswirkungen von Temperaturänderungen:</p> <p><math>\Delta_s \leq 10 \text{ mm}</math> [siehe Anmerkung]</p>	
<p>ANMERKUNG Horizontale Verformungen und Abweichungen von Kranbahnträgern werden bei der Berechnung von Kranbahnen gemeinsam berücksichtigt. Die zulässigen Verformungen und Toleranzen sind abhängig von der Detailausbildung und den Abständen der Kranführungsmittel. Unter der Voraussetzung, dass das Spiel <math>c</math> zwischen Spurkranz und Kranschiene (oder zwischen anderen Führungsmitteln und dem Kranbahnträger) ausreichend ist, um die erforderlichen Toleranzen aufzunehmen, können nach Vereinbarung zwischen dem Kranhersteller und dem Bauherrn auch größere Verformungsgrenzwerte für die einzelnen Projekte vereinbart werden.</p>	
	

Tabelle 13: Grenzwerte für horizontale Verformung

Quelle: DIN EN 1993-6 Tab. 7.1

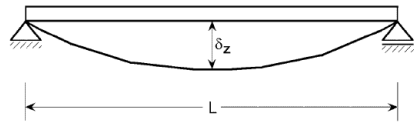
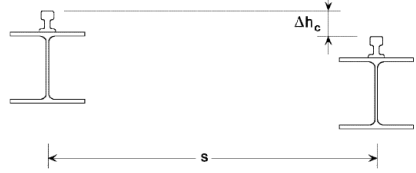
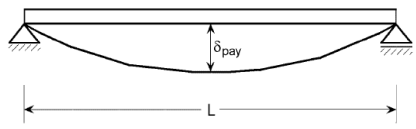
Beschreibung der Verformung (Durchbiegung und Verschiebung)	Skizze
<p>a) Vertikale Durchbiegung <math>\delta_z</math> eines Kranbahnträgers:</p> <p><math>\delta_z \leq L/600</math> und <math>\delta_z \leq 25 \text{ mm}</math></p> <p>Die vertikale Durchbiegung <math>\delta_z</math> sollte als Gesamtdurchbiegung infolge vertikaler Lasten abzüglich möglicher Überhöhungen, analog zu <math>\delta_{\max}</math> in EN 1990, Bild A1.1 bestimmt werden.</p>	
<p>b) Differenz <math>\Delta h_c</math> der vertikalen Durchbiegung zweier benachbarter Träger, die eine Kranbahn bilden:</p> <p><math>\Delta h_c \leq s/600</math></p>	
<p>c) Vertikale Durchbiegung <math>\delta_{\text{pay}}</math> infolge der Nutzlast eines Kranbahnträgers bei einer Unterflansch-Laufkatze:</p> <p><math>\delta_{\text{pay}} \leq L/500</math></p>	

Tabelle 14: Grenzwerte für vertikale Verformung

Quelle: DIN EN 1993-6 Tab. 7.2



## 2.1.4 Ablaufdiagramme

## Flussdiagramm zur Berechnung der Einwirkungen auf Tragwerke infolge Brückenlaufkrane mit Einzelradantrieb nach DIN 1055-10:2004-07

## Antriebskraft K DIN 1055-10 Abs. 5.7.3

Eigengewicht der Kranbrücke  $m_{Qc,Brücke}$ ,  
 Eigengewicht der Laufkatze  $m_{Qc,Katze}$ , Abstand der  
 Kranbahnträger  $l$ , minimaler Abstand der  
 Laufkatze von einem Kranbahnträger  $l_{min}$ ,  
 Anzahl der einzeln angetriebenen Räder  $m_w$ ,  
 Reibungsbeiwert  $\mu=0,2$  (Stahl/Stahl),  
 Erdbeschleunigung  $g=9,81 \text{ m/s}^2$

Berechnung der Summe der minimalen Last  
 je Rad des unbelasteten Krans  $\Sigma Q_{r,min}$

$$Q_{r,min} = \frac{1}{2 \cdot l} \cdot \left( m_{Qc,Brücke} \cdot \frac{1}{2} + m_{Qc,Katze} \cdot l_{min} \right) \cdot g$$

$$\Sigma Q_{r,min} = m_w \cdot Q_{r,min}$$

Antriebskraft K

$$K = K_1 + K_2 = \mu \cdot \Sigma Q_{r,min}$$

Antriebskraft K

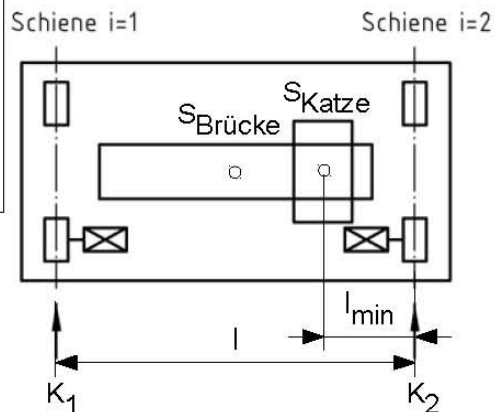


Abbildung: Systemmaße der Kranbrücke

Horizontale Lasten  $H_{L,i}$  längs der Fahrbahn DIN 1055-10 Abs. 5.7.2

Antriebskraft K, Anzahl der Kranbahnträger  $n_r$

Bestimmung des dynamischen Vergrößerungsfaktor  $\varphi_5$  DIN 1055-10 Tab. 6

$\varphi_5 = 1,0$	für Fliehkräfte
$1,0 \leq \varphi_5 \leq 1,5$	für Systeme mit stetiger Veränderung der Kräfte
$1,5 \leq \varphi_5 \leq 2,0$	wenn plötzliche Veränderungen der Kräfte auftreten
$\varphi_5 = 3,0$	bei Antrieben mit beträchtlichem Spiel

Berechnung der horizontalen Lasten  $H_{L,i}$  längs der Fahrbahn

$$H_{L,i} = \varphi_5 \cdot K \cdot \frac{1}{n_r}$$

Horizontalen Lasten  $H_{L,i}$

### Horizontale Lasten $H_{T,i}$ quer der Fahrbahn DIN 1055-10 Abs. 5.7.2

Eigengewicht der Kranbrücke  $m_{Qc,Brücke}$ ,  
 Eigengewicht der Laufkatze  $m_{Qc,Katze}$ ,  
 Hublast  $m_{Qc}$ , Abstand der Kranbahnträger  $l$ ,  
 minimaler Abstand der Laufkatze von einem  
 Kranbahnträger  $l_{min}$ , Antriebskraft  $K$ ,  
 Rad- bzw. Führungsrollenabstand  $a$ ,  
 dynamischer Vergrößerungsfaktor  $\varphi_5$ ,  
 Erdbeschleunigung  $g = 9,81 \text{ m/s}^2$

Berechnung der Summe der maximalen Radlasten  $Q_{r,max}$   
 je Kranbahn des belasteten Krans

$$\sum Q_{r,max} = \frac{1}{l} * \left( m_{Qc,Brücke} * \frac{l}{2} + (m_{Qc,Katze} + m_{Qc}) * (l - l_{min}) \right) * g$$

Berechnung der Summe aus Eigengewicht und Hublast

$$\sum Q_r = (m_{Qc,Brücke} + m_{Qc,Katze} + m_{Qc}) * g$$

Berechnung der Wichtungsfaktoren

$$\xi_1 = \frac{\sum Q_{r,max}}{\sum Q_r} \quad \xi_2 = 1 - \xi_1$$

Berechnung des Abstandes des Masseschwerpunktes  
 vom Antriebsschwerpunkt (Brückenmitte)

$$l_s = (\xi_1 - 0,5) * l$$

Berechnung des Momentes  
 infolge Anfahren/Bremsen

$$M = K * l_s$$

Berechnung der horizontale  
 Lasten quer der Fahrbahn

$$H_{T,1} = \varphi_5 * \xi_2 * \frac{M}{a}$$

$$H_{T,2} = \varphi_5 * \xi_1 * \frac{M}{a}$$

Horizontalen Lasten  $H_{T,i}$

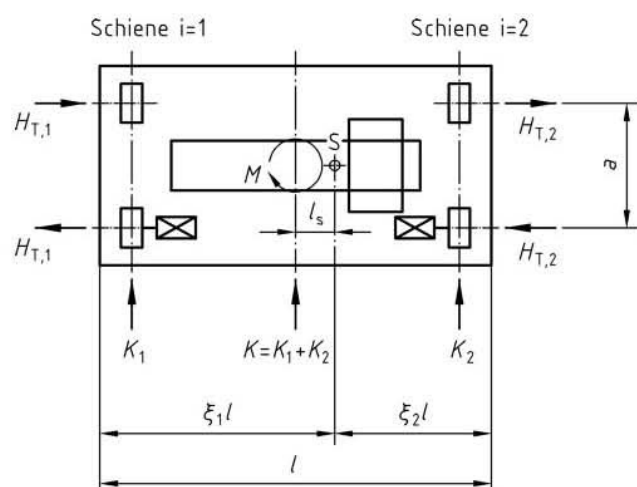


Abbildung: Horizontale Massekräfte  $H_{T,i}$  quer zur Fahrbahn  
 (DIN 1055-10 Bild 10)

**Horizontale Seitenlasten  $H_{S,i,j,k}$  und Führungskraft  $S$  infolge  
Schräglauf von Kranen DIN 1055-10 Abs. 5.7.4**

Summe aus Eigengewicht und Hublast  $\Sigma Q_r$   
Anzahl der Radpaare  $n$ , Radabstand  $a$ ,  
Schienenkopfbreite  $b$

Berechnung des Schräglaufwinkels  $\alpha$  nach DIN 1055-10 Tab. 7

$$\alpha = \alpha_F + \alpha_V + \alpha_o$$

Winkel $\alpha_i$	Mindestwerte von $\alpha_i$
$\alpha_F = \frac{0,75 \cdot x}{a}$	$0,75x \geq 5 \text{ mm}$ bei Führungsrollen
	$0,75x \geq 10 \text{ mm}$ bei Spurkränzen
$\alpha_V = \frac{y}{a}$	$y \geq 0,03b$ in mm bei Führungsrollen
	$y \geq 0,10b$ in mm bei Spurkränzen
$\alpha_o = 0,001$	

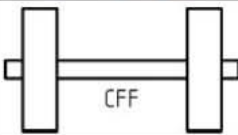
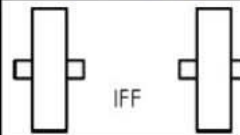
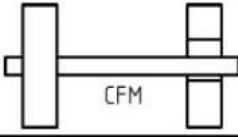
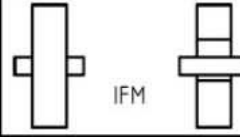
Dabei ist

$a$  der Abstand der Führungsrollen bzw. der Spurkränze;  
 $b$  die Schienenkopfbreite;  
 $x$  der Querschleif;  
 $y$  der Verschleiß der Schiene.

Berechnung des Kraftschlussbeiwerts

$$f = 0,3 * (1 - e^{-250 * \alpha})$$

Berechnung des Abstandes zwischen dem momentanen Gleitpol und dem  
relevanten Führungsmittel DIN 1055-10 Tab. 8

Radaufhängung	Kombination von Radpaaren		$h$
	Gekoppelt (C)	Unabhängig (I)	
Fest/Fest FF	 CFF	 IFF	$\frac{m \cdot \xi_1 \cdot \xi_2 \cdot l^2 + \sum e_j^2}{\sum e_j}$
Fest/Beweglich FM	 CFM	 IFM	$\frac{m \cdot \xi_1 \cdot l^2 + \sum e_j^2}{\sum e_j}$

Dabei ist

$h$  der Abstand zwischen dem momentanen Gleitpol und dem relevanten Führungsmittel;  
 $m$  die Anzahl der Paare mit gekoppelten Rädern ( $m = 0$  für unabhängige Radpaare);  
 $\xi_1 \cdot l$  der Abstand zwischen dem momentanen Gleitpol und der Kranbahnachse 1;  
 $\xi_2 \cdot l$  der Abstand zwischen dem momentanen Gleitpol und der Kranbahnachse 2;  
 $l$  die Spannweite des Krans;  
 $e_j$  der Abstand zwischen der Radpaarachse  $j$  und dem relevanten Führungsmittel.



Bestimmung der Kraftbeiwerte $\lambda_{S,i,j,k}$ nach DIN 1055-10 Tab. 9					
System	$\lambda_{S,j}$	$\lambda_{S,1,j,L}$	$\lambda_{S,1,j,T}$	$\lambda_{S,2,j,L}$	$\lambda_{S,2,j,T}$
CFF	$1 - \frac{\sum e_j}{n \cdot h}$	$\frac{\xi_1 \cdot \xi_2}{n} \cdot \frac{l}{h}$	$\frac{\xi_2}{n} \cdot \left(1 - \frac{e_j}{h}\right)$	$\frac{\xi_1 \cdot \xi_2}{n} \cdot \frac{l}{h}$	$\frac{\xi_1}{n} \cdot \left(1 - \frac{e_j}{h}\right)$
IFF		0	$\frac{\xi_2}{n} \cdot \left(1 - \frac{e_j}{h}\right)$	0	$\frac{\xi_1}{n} \cdot \left(1 - \frac{e_j}{h}\right)$
CFM	$\xi_2 \cdot \left(1 - \frac{\sum e_j}{n \cdot h}\right)$	$\frac{\xi_1 \cdot \xi_2}{n} \cdot \frac{l}{h}$	$\frac{\xi_2}{n} \cdot \left(1 - \frac{e_j}{h}\right)$	$\frac{\xi_1 \cdot \xi_2}{n} \cdot \frac{l}{h}$	0
IFM		0	$\frac{\xi_2}{n} \cdot \left(1 - \frac{e_j}{h}\right)$	0	0
<div>Dabei ist</div> <div><div><math>n</math></div><div>die Anzahl der Radpaare;</div></div> <div><div><math>\xi_1, l</math></div><div>der Abstand zwischen dem momentanen Gleitpol und der Kranbahnachse 1;</div></div> <div><div><math>\xi_2, l</math></div><div>der Abstand zwischen dem momentanen Gleitpol und der Kranbahnachse 2;</div></div> <div><div><math>l</math></div><div>die Spannweite des Krans;</div></div> <div><div><math>e_j</math></div><div>der Abstand zwischen der Radpaarachse <math>j</math> und dem relevanten Führungsmittel;</div></div> <div><div><math>h</math></div><div>der Abstand zwischen dem momentanen Gleitpol und dem relevanten Führungsmittel.</div></div>					



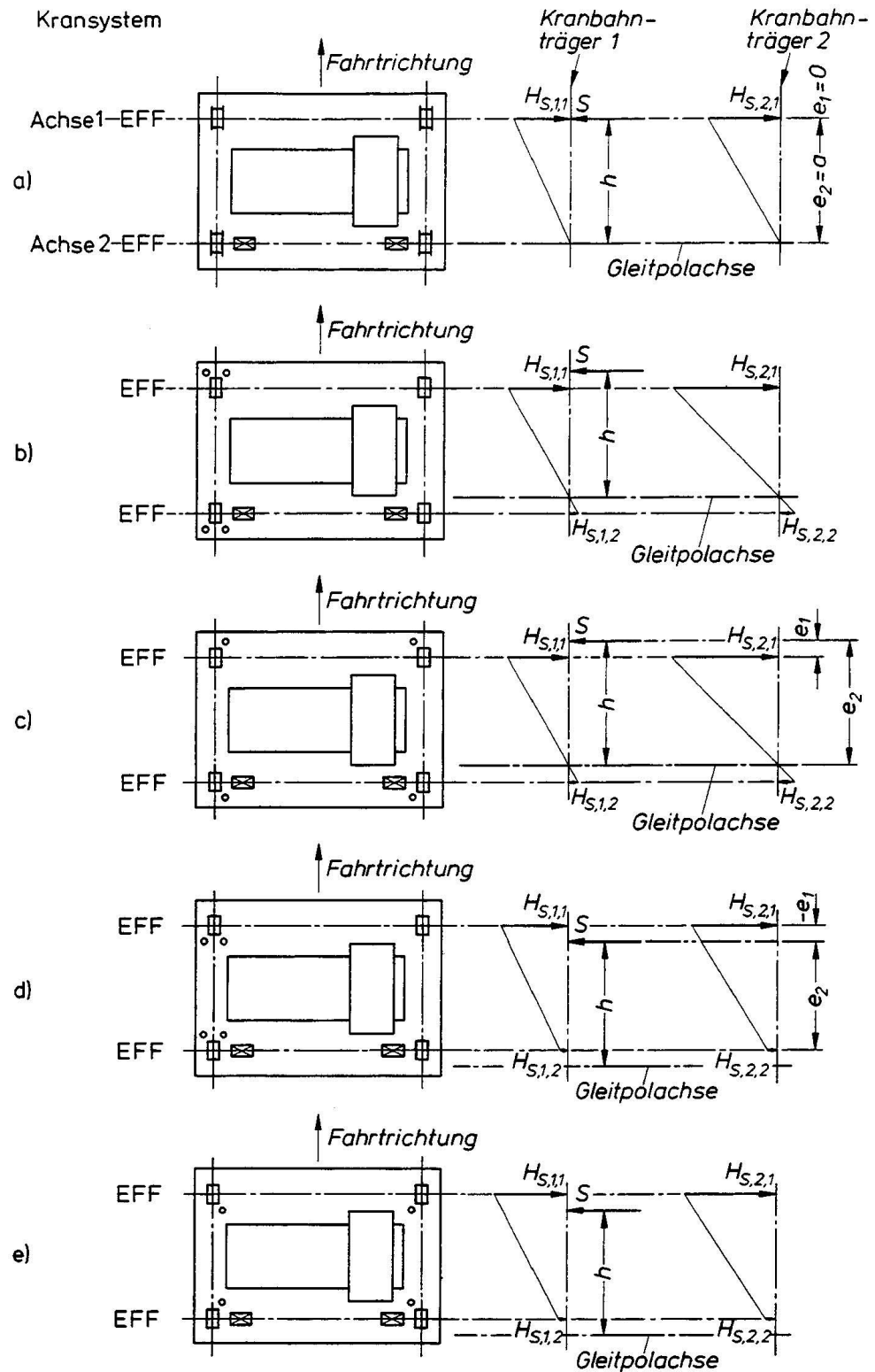
Berechnung der Horizontale Seitenlasten  $H_{S,ij,k}$  und Führungskraft  $S$

$$\begin{aligned}
 S &= f \cdot \lambda_S \cdot \sum Q_r \\
 H_{S,1,j,L} &= f \cdot \lambda_{S,1,j,L} \cdot \sum Q_r = 0 \\
 H_{S,2,j,L} &= f \cdot \lambda_{S,2,j,L} \cdot \sum Q_r = 0 \\
 H_{S,1,j,T} &= f \cdot \lambda_{S,1,j,T} \cdot \sum Q_r \\
 H_{S,2,j,T} &= f \cdot \lambda_{S,2,j,T} \cdot \sum Q_r
 \end{aligned}$$



Horizontale Seitenlasten  $H_{S,ij,k}$  und Führungskraft  $S$

### Schräglaufrkraft $S$ und Horizontallasten $H_S$

Abbildung: Schräglaufrkraft  $S$  und Horizontallasten (Bildausschnitt: DIN 4132, Beiblatt 1; Bild 5)

### Cullmannsche Laststellung für Einfeldträger

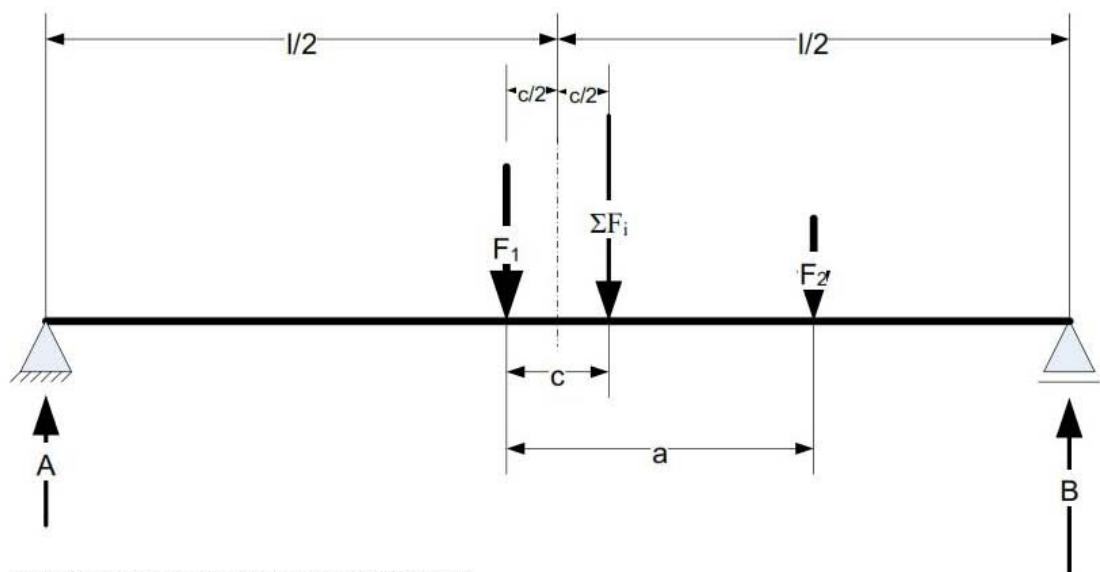
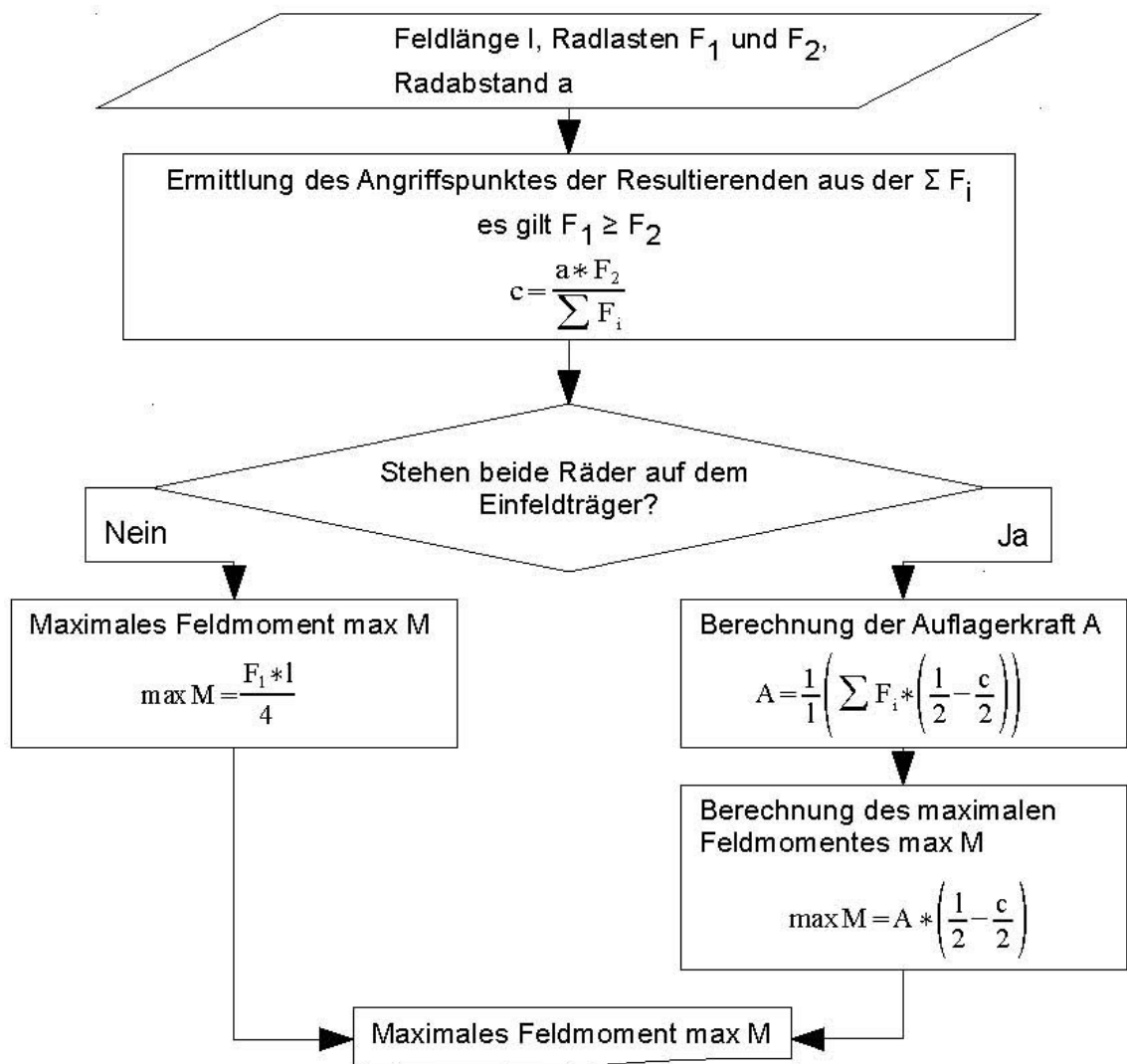


Abbildung: Systemmaße des Einfeldträgers

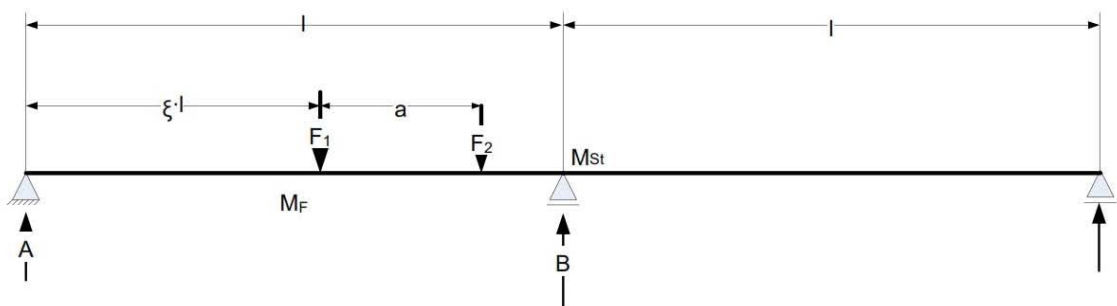
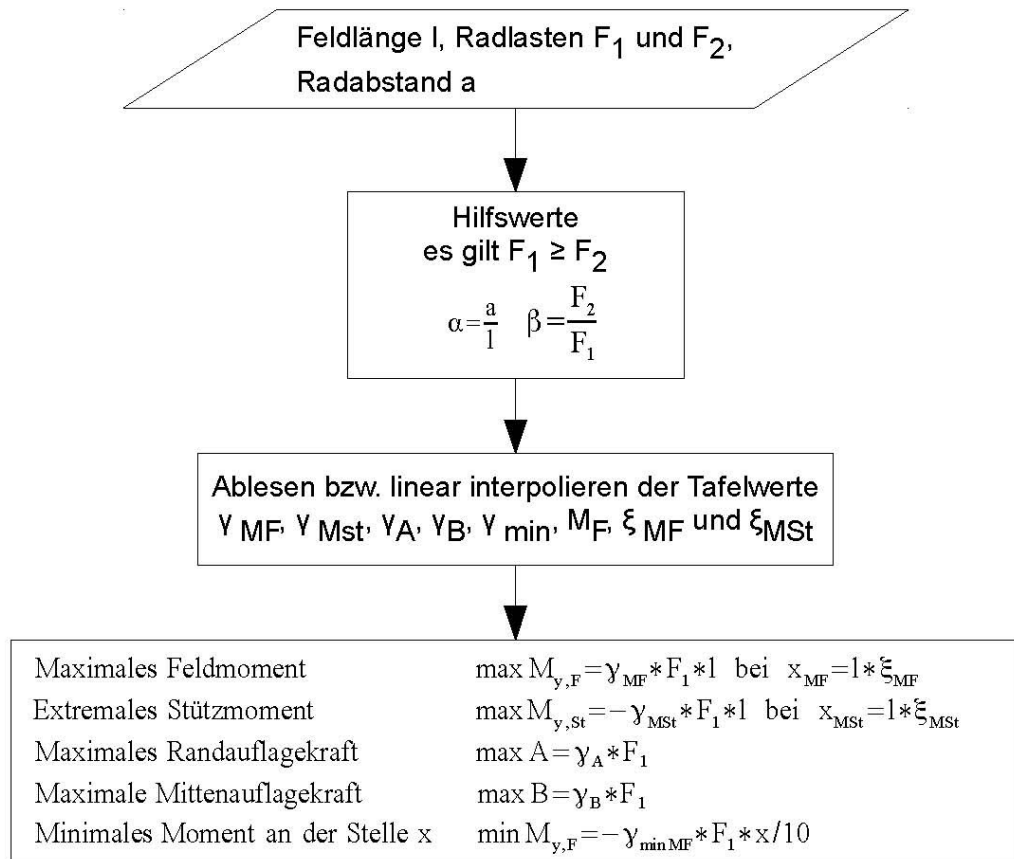
**Maximale Schnittgrößen und Auflagerkräfte für Zweifeldträger nach Rose**


Abbildung: Systemmaße des Zweifeldträgers



## Tafelwerte zur Berechnung von zweifeldrigen Kranbahnträgern

$\gamma_{MF}$	$\beta$				
$\alpha$	1,0	0,9	0,8	0,6	0,4
0,0	0,415	0,394	0,373	0,332	0,290
0,1	0,369	0,353	0,337	0,304	0,272
0,2	0,328	0,316	0,304	0,279	0,255
0,3	0,292	0,283	0,274	0,257	0,240
0,4	0,260	0,254	0,248	0,237	0,227
0,5	0,233	0,229	0,226	0,221	0,216
0,6	0,210	0,209	0,208	0,207	0,207
0,7 *)	0,193	0,193	0,194	0,197	0,200
0,8 *)	0,180	0,182	0,185	0,189	0,195
0,9 *)	0,172	0,175	0,178	0,185	0,192
1,0 *)	0,169	0,172	0,176	0,183	0,191

\*)  $\gamma_{MF} > 0,207$ , wenn Räder Träger verlassen

$\gamma_A$	$\beta$				
$\alpha$	1,0	0,9	0,8	0,6	0,4
0,0	2,000	1,900	1,800	1,600	1,400
0,1	1,875	1,788	1,700	1,525	1,350
0,2	1,752	1,677	1,602	1,451	1,301
0,3	1,632	1,569	1,505	1,379	1,253
0,4	1,516	1,464	1,413	1,310	1,206
0,5	1,406	1,366	1,325	1,244	1,163
0,6	1,304	1,274	1,243	1,182	1,122
0,7	1,211	1,190	1,169	1,127	1,084
0,8	1,128	1,115	1,102	1,077	1,051
0,9	1,057	1,052	1,046	1,034	1,023
1,0	1,000	1,000	1,000	1,000	1,000

$\gamma_{MSt}$	$\beta$				
$\alpha$	1,0	0,9	0,8	0,6	0,4
0,0	0,193	0,183	0,173	0,154	0,135
0,1	0,190	0,181	0,171	0,152	0,134
0,2	0,184	0,175	0,166	0,147	0,130
0,3	0,173	0,165	0,156	0,139	0,123
0,4	0,159	0,151	0,143	0,127	0,114
0,44	0,152	0,145	0,138	0,124	0,110
0,5	0,164	0,156	0,148	0,133	0,118
0,6	0,179	0,170	0,161	0,144	0,127
0,7	0,188	0,177	0,169	0,150	0,132
0,8	0,192	0,182	0,173	0,154	0,135
1,0	0,188	0,178	0,169	0,150	0,132

$\gamma_B$	$\beta$				
$\alpha$	1,0	0,9	0,8	0,6	0,4
0,0	2,000	1,900	1,800	1,600	1,400
0,1	1,993	1,893	1,793	1,595	1,396
0,2	1,971	1,873	1,774	1,578	1,384
0,3	1,936	1,839	1,743	1,552	1,364
0,4	1,888	1,794	1,696	1,516	1,337
0,5	1,828	1,737	1,647	1,472	1,304
0,6	1,757	1,670	1,584	1,419	1,265
0,7	1,675	1,593	1,512	1,359	1,220
0,8	1,584	1,506	1,431	1,292	1,171
0,9	1,484	1,411	1,343	1,219	1,119
1,0	1,375	1,309	1,247	1,141	1,063

$\xi_{MF}$	$\beta$				
$\alpha$	1,0	0,9	0,8	0,6	0,4
0,0	0,432	0,432	0,432	0,432	0,432
0,1	0,412	0,413	0,414	0,417	0,421
0,2	0,393	0,396	0,398	0,404	0,411
0,3	0,377	0,381	0,384	0,393	0,403
0,4	0,364	0,368	0,373	0,384	0,397
0,5	0,354	0,359	0,365	0,378	0,393
0,6	0,347	0,354	0,361	0,376	0,393
0,7	0,348	0,355	0,363	0,378	0,395
0,8	0,353	0,360	0,368	0,383	0,399
0,9	0,363	0,370	0,377	0,391	0,405
1,0	0,377	0,383	0,389	0,401	0,412

$\xi_{MSt}$	$\beta$				
$\alpha$	1,0	0,9	0,8	0,6	0,4
0,0	0,577	0,577	0,577	0,577	0,577
0,1	0,525	0,528	0,531	0,538	0,547
0,2	0,469	0,474	0,480	0,494	0,513
0,3	0,408	0,416	0,425	0,446	0,476
0,4	0,342	0,352	0,364	0,394	0,434
<0,44	0,316	0,326	0,340	0,373	0,417
>0,44	0,780	0,771	0,760	0,736	0,702
0,5	0,750	0,742	0,733	0,712	0,683
0,6	0,700	0,694	0,688	0,672	0,651
0,8	0,600	0,599	0,597	0,594	0,590
1,0	0,500	0,504	0,509	0,521	0,535

$\gamma_{minMF}$	$\beta$ – Räder können Träger verlassen				
$\alpha$	1,0	0,9	0,8	0,6	0,4
0,0	1,92	1,82	1,73	1,54	1,34
0,1	1,90	1,8	1,71	1,52	1,33
0,2	1,83	1,74	1,65	1,47	1,30
0,3	1,73	1,65	1,56	1,40	1,23
0,4	1,57	1,51	1,44	1,30	1,17
0,5	1,40	1,33	1,28	1,18	1,08
0,6	1,20	1,15	1,11	1,04	0,99
0,7	0,96	0,96	0,96	0,96	0,96
0,8	0,96	0,96	0,96	0,96	0,96
0,9	0,96	0,96	0,96	0,96	0,96
1,0	0,96	0,96	0,96	0,96	0,96

$\gamma_{minMF}$	$\beta$ – Beide Räder bleiben auf Träger				
$\alpha$	1,0	0,9	0,8	0,6	0,4
0,0	1,92	1,82	1,73	1,54	1,34
0,1	1,90	1,8	1,71	1,52	1,33
0,2	1,83	1,74	1,65	1,47	1,30
0,3	1,73	1,65	1,56	1,40	1,23
0,4	1,57	1,51	1,44	1,30	1,17
0,5	1,40	1,33	1,28	1,18	1,08
0,6	1,20	1,15	1,11	1,04	0,99
0,7	0,89	0,89	0,89	0,89	0,89
0,8	0,72	0,72	0,72	0,72	0,72
0,9	0,43	0,43	0,43	0,43	0,43
1,0	0	0	0	0	0

Tabelle: Seeßelberg, C.: Kranbahnen Bemessung und konstruktive Gestaltung, 3. Auflage, Bauwerk Verlag, Berlin 2009; Tab. 4-1



## Spannungsnachweise DIN 18800-1

Schnittgrößen  $M_y$ ,  $M_z$  und  $V_z$ , Radlast  $F$ ,  
Schräglaufrkraft  $H^*_{S1}$ , Querschnittswerte des  
Kranbahnträgers und der Schiene ( $h$ ,  $s$ ,  $t$ ,  $r$ ,  $A_{\text{Steg}}$ ,  
 $I_y$ ,  $W_y$ ,  $W_z$ ,  $h_{\text{Schiene}}$ ,  $b_{\text{Schiene}}$ ), Kehlnahtdicke  $a_w$   
(Schiene/OG), Streckgrenze  $f_{y,k}$

Berechnung der Radlasteinleitungslänge  
 $c = 2 * (t + h_{0,75 * \text{Schiene}} + r) + 5 \text{ cm}$

Flächenmoment 1. Grades der Schiene  $S_{y,\text{Schiene}}$

$$S_{y,\text{Schiene}} \approx A_{\text{Schiene}} * \left( \frac{h}{2} + \frac{h_{\text{Schiene}+0,75}}{2} \right)$$

Widerstandsmoment des Obergurtes  $W_{z,\text{OG}}$

$$W_{z,\text{OG}} \approx \frac{W_z}{2} = \frac{571}{2} = 285,5 \text{ cm}^3$$

Festlegung der zu untersuchenden Nachweisstellen

Nr.	NW-Stelle in Trägerlängsrichtung	NW-Stelle im Querschnitt	Zu berücksichtigende Schnittgrößen	Nachzuweisende Spannung
1	Feld 1. max $M_y$ 2. max $M_z$	Außenkante Obergurt	$M_y$ , $M_z$	$\sigma_x$
2	lokal	Stegansatz	Radlasteinleitung $F$	$\bar{\sigma}_z$
3	Feld	Stegansatz	max $M_y$ , Radlasteinleitung $F$	$\sigma_x$ , $\tau_{xz}$ , $\bar{\sigma}_z$
4	Auflager	Stegansatz	max $V_z$ , Radlasteinleitung $F$	$\tau_{xz}$ , $\bar{\sigma}_z$
5	Auflager	Kehlnaht Schiene/Obergurt	max $V_z$ , Radlasteinleitung $F$	$\tau_{\parallel}$ , $\bar{\tau}_{\perp}$ , $\bar{\sigma}_{\perp}$
...	...	...	...	...

Nachweis der festgelegten Stellen

Berechnung der Spannungen  $\sigma_d$  bzw.  $\tau_d$

Nachweise (DIN 18800 – 1 El. 747):  $\frac{\sigma_d}{\sigma_{r,d}} \leq 1$   $\frac{\tau_d}{\tau_{r,d}} \leq 1$   $\frac{\sigma_{v,d}}{\sigma_{r,d}} \leq 1$   $\frac{\sigma_{v,d}}{\sigma_{w,r,d}} \leq 1$

## Hinweise zum Spannungsnachweis

## Berechnung der Spannungen

$$\text{Radlasteinleitungsspannung } \bar{\sigma}_z = \frac{F}{c \cdot s} \quad \bar{\tau}_{\perp, k} = \frac{H_s^*}{(b_{\text{Schiene}} + 5 \text{ cm}) 2 \cdot a_w}$$

## Lastfallkombination DIN 18800-1 El. 710

$$\begin{aligned} \sigma_{1,d} &= \gamma_F \cdot \text{ständige Einwirkung} + \gamma_F \cdot \text{veränderliche Einwirkung} \\ &= 1,35 \cdot \text{ständige Einwirkung} + 1,5 \cdot \text{veränderliche Einwirkung} \\ \sigma_{2,d} &= \gamma_F \cdot \text{ständige Einwirkung} + \gamma_F \cdot \psi_i \cdot \sum \text{veränderliche Einwirkungen} \\ &= 1,35 \cdot \text{ständige Einwirkung} + 1,5 \cdot 0,9 \sum \text{veränderliche Einwirkungen} \end{aligned}$$

## Vergleichsspannungen

Grundmaterial (DIN 18800-1 El. 748):

$$\sigma_v = \sqrt{\sigma_x^2 + \sigma_y^2 + \sigma_z^2 - \sigma_x \cdot \sigma_y - \sigma_x \cdot \sigma_z - \sigma_y \cdot \sigma_z + 3 \cdot \tau_{xy}^2 + 3 \cdot \tau_{xz}^2 + 3 \cdot \tau_{yz}^2}$$

Schweißnaht (DIN 18800-1 El. 825):

$$\sigma_{w,v} = \sqrt{\sigma_{\perp}^2 + \tau_{\perp}^2 + \tau_{\parallel}^2}$$

## Nahtdickenbegrenzung für Kehlnähte DIN 18800-1 El. 519

$$2 \text{ mm} \leq a \leq 0,7 \min t$$

Empfehlung:  $\max t \geq 30 \text{ mm} \rightarrow a \geq 5 \text{ mm}$ 

## Grenzspannungen

$$\text{Grundmaterial (DIN 18800-1 El. 746): } \sigma_{r,d} = \frac{f_{y,k}}{\gamma_M} \quad \tau_{r,d} = \frac{f_{y,k}}{\gamma_M \cdot \sqrt{3}}$$

$$\text{Schweißnaht (DIN 18800-1 El. 829): } \sigma_{w,r,d} = \alpha_w \cdot \frac{f_{y,k}}{\gamma_M}$$

 $\alpha_w$ -Werte für Grenzschnitzspannungen DIN 18800-1 Tab. 21

	1	2	3	4	5	6	7
	Nähte nach Tabelle 19	Nahtgüte	Beanspruchungsart	S235 GS200, GS240, G17Mn5+QT	S275, P275	S355, P355 G20Mn5+N, G20Mn5+QT	S420, S450, S460
1	Zeilen 1 bis 4	alle Nahtgüten	Druck	1,0 <sup>a</sup>	1,0 <sup>a</sup>	1,0 <sup>a</sup>	1,0 <sup>a</sup>
2		Nahtgüte nachgewiesen	Zug, Schub				
3		Nahtgüte nicht nachgewiesen					
4	Zeilen 5 bis 15	alle Nahtgüten	Druck, Zug, Schub	0,95	0,85	0,80	0,70

<sup>a</sup> Diese Nähte brauchen im Allgemeinen rechnerisch nicht nachgewiesen zu werden, da der Bauteilwiderstand maßgebend ist.

### BDK-Nachweis als Nachweis des Obergurtes gegen Biegeknicken

Feldmoment  $M_{y,d}$  und zugehöriges  
Feldmoment  $M_{z,d}$ , Stützweite  $l$ , Querschnittswerte  
des Kranbahnträgers ( $h, b, s, t, A, I_y$ ),  
Streckgrenze  $f_{y,k}$ , Knicklängenbeiwert  $\beta$

Querschnittswerte des  
Obergurtes + 1/5 Steg

$$A_{OG} = b * t + \frac{h - 2 * t}{5} * s$$

$$S_{y,OG} = \sum A_{i,OG} * z_{S,i}$$

$$S_{z,OG} = \sum A_{i,OG} * y_{S,i}$$

$$I_{z,OG} = \sum I_{z,i}$$

$$W_{z,OG} = \sum \frac{I_{z,OG}}{\frac{b}{2}}$$

$$i_{z,OG} = \sqrt{I_{z,OG} * A_{OG}}$$

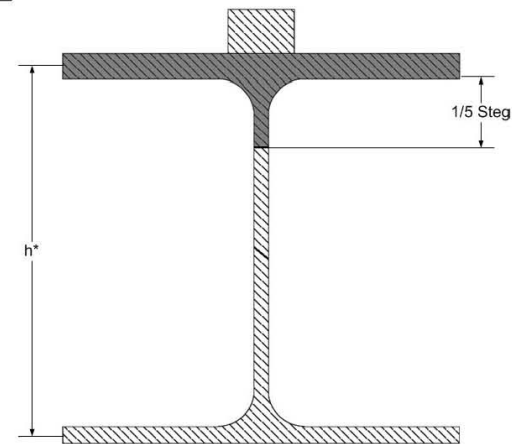


Abbildung: Trägerquerschnitt

Vollplastische Schnittgrößen des Druckgurtes + 1/5 Steg

$$N_{OG,pl,d} = A_{OG} * \frac{f_{y,k}}{\gamma_M}$$

$$M_{z,OG,pl,d} = 2 * S_{z,OG} * \frac{f_{y,k}}{\gamma_M} \leq 1,25 * \frac{f_{y,k}}{\gamma_M} * W_{z,OG}$$

Normalkraft im Obergurt + 1/5 Steg

$$N_d = \frac{M_{y,d} * S_{y,OG}}{I_y} \quad \text{vereinfacht} \quad N_d \approx \frac{M_{y,d}}{h^*} \quad \text{mit } h^* = h - t$$

Nachweis des Obergurtes gegen Biegeknicken DIN 18800-2, EL. 314

Knicklänge  $s_k = \beta * l$

Schlankheitsgrad  $\lambda_k = \frac{s_k}{i_{z,OG}}$

Bezogener Schlankheitsgrad  $\bar{\lambda}_k = \frac{\lambda_k}{\lambda_a}$

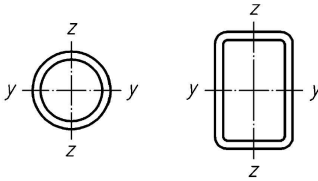
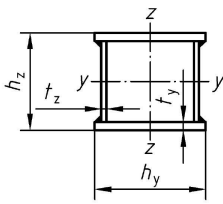
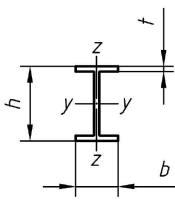
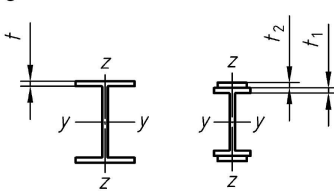
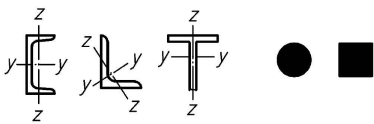
Festlegung der Knickspannungslinie und Bestimmung des Abminderungsfaktors  $\kappa$

Berechnung von  $\Delta n_1 = \frac{N_{1,OG,d}}{\kappa * N_{OG,pl,d}} * \left( 1 - \frac{N_{1,OG,d}}{\kappa * N_{OG,pl,d}} \right) * \kappa^2 * \bar{\lambda}_k^2 \leq 0,1$

Bestimmung des Momentenbeiwertes  $\beta_m$  für Biegeknicken DIN 18800-2 Tab.11

Biegeknicknachweis  $\frac{N_{1,OG,d}}{\kappa * N_{OG,pl,d}} + \frac{\beta_m * M_{1,z,d}}{M_{z,OG,pl,d}} \leq 1,0$

Zuordnung der Querschnitte zu den Knickspannungslinien  
DIN 18000-2:2008-11 Tab. 5

	1	2	3
	Querschnitt	Ausweichen rechtwinklig zur Achse	Knick- spannungs- linie
1	Hohlprofile 	warm gefertigt $y - y$ $z - z$	$a^a$
	kalt gefertigt $y - y$ $z - z$	$b^a$	
2	geschweißte Kastenquerschnitte 	$y - y$ $z - z$	b
	dicke Schweißnaht und $h_y/t_y < 30$ $h_z/t_z < 30$	$y - y$ $z - z$	c
3	gewalzte I-Profile 	$h/b > 1,2; t \leq 40 \text{ mm}$ $y - y$ $z - z$	$a^a$
	$h/b > 1,2; 40 < t \leq 80 \text{ mm}$ $y - y$ $z - z$	$b^a$	
	$h/b \leq 1,2; t \leq 80 \text{ mm}$ $y - y$ $z - z$	$c^a$	
	$t > 80 \text{ mm}$ $y - y$ $z - z$	$d^a$	
4	geschweißte I-Querschnitte 	$t_1 \leq 40 \text{ mm}$ $y - y$ $z - z$	c
	$t_1 > 40 \text{ mm}$ $y - y$ $z - z$	d	
5	U-, L-, T- und Vollquerschnitte 	$y - y$ $z - z$	c
	und mehrteilige Stäbe nach 4.4		
6	Hier nicht aufgeführte Profile sind sinngemäß einzuordnen. Die Einordnung soll dabei nach den möglichen Eigenspannungen und Blechdicken erfolgen.		

<sup>a</sup> Bei Bauteilen aus den Stahlsorten S460 darf  $a_0$  statt a, a statt b, b statt c und c statt d verwendet werden.

Abminderungsfaktor  $\kappa$  für BiegeknickenParameter  $\alpha$  zur Berechnung des Abminderungsfaktors  $\kappa$  DIN 18800-2:2008-11 Tab. 4

Knickspannungslinie	$a_0$	$a$	$b$	$c$	$d$
$\alpha$	0,13	0,21	0,34	0,49	0,76

Berechnung des Abminderungsfaktors  $\kappa$ 

$$\bar{\lambda}_k \leq 0,2: \kappa = 1$$

$$\bar{\lambda}_k > 0,2: \kappa = \frac{1}{k + \sqrt{k^2 - 5\lambda_k^2}} \quad \text{mit } k = 0,5 * [1 + \alpha * (\bar{\lambda}_k - 0,2) + \bar{\lambda}_k^2]$$

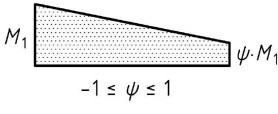
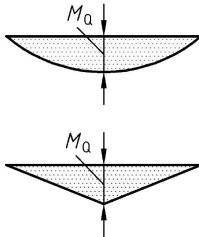
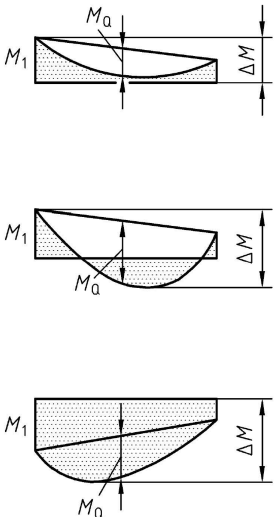
$$\bar{\lambda}_k > 3,0: \kappa = \frac{1}{\bar{\lambda}_k * (\bar{\lambda}_k + \alpha)}$$

Bestimmung des Abminderungsfaktors  $\kappa$  aus Tabellen

Bezogener Schlankheitsgrad $\bar{\lambda}_k$ für Knickspannungslinie:				$\kappa$	Bezogener Schlankheitsgrad $\bar{\lambda}_k$ für Knickspannungslinie:				$\kappa$
$a$	$b$	$c$	$d$		$a$	$b$	$c$	$d$	
0,20	0,20	0,20	0,20	1,00	1,17	1,08	0,98	0,85	0,55
0,25	0,23	0,22	0,21	0,99	1,18	1,09	1,00	0,87	0,54
0,29	0,26	0,24	0,23	0,98	1,20	1,11	1,02	0,88	0,53
0,33	0,28	0,26	0,24	0,97	1,22	1,13	1,03	0,90	0,52
0,37	0,31	0,28	0,25	0,96	1,23	1,14	1,05	0,92	0,51
0,41	0,34	0,30	0,26	0,95	1,25	1,16	1,07	0,94	0,50
0,45	0,36	0,32	0,28	0,94	1,27	1,18	1,09	0,96	0,49
0,48	0,39	0,34	0,29	0,93	1,28	1,20	1,11	0,98	0,48
0,51	0,42	0,36	0,30	0,92	1,30	1,22	1,13	0,99	0,47
0,54	0,44	0,38	0,32	0,91	1,32	1,23	1,15	1,01	0,46
0,57	0,46	0,39	0,33	0,90	1,34	1,25	1,17	1,03	0,45
0,60	0,49	0,41	0,35	0,89	1,36	1,27	1,19	1,05	0,44
0,63	0,51	0,43	0,36	0,88	1,38	1,29	1,21	1,08	0,43
0,65	0,53	0,45	0,37	0,87	1,40	1,31	1,23	1,10	0,42
0,67	0,55	0,47	0,39	0,86	1,42	1,34	1,25	1,12	0,41
0,70	0,57	0,49	0,40	0,85	1,44	1,36	1,27	1,14	0,40
0,72	0,59	0,51	0,41	0,84	1,46	1,38	1,30	1,17	0,39
0,74	0,61	0,52	0,43	0,83	1,48	1,40	1,32	1,19	0,38
0,76	0,63	0,54	0,44	0,82	1,51	1,43	1,35	1,22	0,37
0,77	0,65	0,56	0,46	0,81	1,53	1,45	1,37	1,24	0,36
0,79	0,67	0,58	0,47	0,80	1,56	1,48	1,40	1,27	0,35
0,81	0,69	0,59	0,48	0,79	1,58	1,51	1,43	1,30	0,34
0,83	0,71	0,61	0,50	0,78	1,61	1,53	1,45	1,32	0,33
0,84	0,72	0,63	0,51	0,77	1,64	1,56	1,48	1,35	0,32
0,86	0,74	0,64	0,53	0,76	1,67	1,59	1,51	1,39	0,31
0,88	0,76	0,66	0,54	0,75	1,70	1,63	1,55	1,42	0,30
0,89	0,77	0,68	0,56	0,74	1,73	1,66	1,58	1,45	0,29
0,91	0,79	0,69	0,57	0,73	1,76	1,69	1,61	1,49	0,28
0,92	0,81	0,71	0,59	0,72	1,80	1,73	1,65	1,53	0,27
0,94	0,82	0,72	0,60	0,71	1,84	1,77	1,69	1,56	0,26
0,95	0,84	0,74	0,61	0,70	1,88	1,81	1,73	1,60	0,25
0,96	0,86	0,76	0,63	0,69	1,92	1,85	1,78	1,65	0,24
0,98	0,87	0,77	0,64	0,68	1,97	1,90	1,82	1,69	0,23
0,99	0,89	0,79	0,66	0,67	2,01	1,95	1,87	1,74	0,22
1,01	0,90	0,80	0,67	0,66	2,07	2,00	1,92	1,80	0,21
1,02	0,92	0,82	0,69	0,65	2,12	2,05	1,98	1,85	0,20
1,04	0,93	0,84	0,70	0,64	2,18	2,11	2,04	1,91	0,19
1,05	0,95	0,85	0,72	0,63	2,24	2,18	2,10	1,98	0,18
1,07	0,96	0,87	0,74	0,62	2,31	2,25	2,17	2,05	0,17
1,08	0,98	0,88	0,75	0,61	2,39	2,32	2,25	2,12	0,16
1,09	1,00	0,90	0,77	0,60	2,47	2,40	2,33	2,21	0,15
1,11	1,01	0,92	0,78	0,59	2,56	2,50	2,42	2,30	0,14
1,12	1,03	0,93	0,80	0,58	2,66	2,60	2,53	2,40	0,13
1,14	1,04	0,95	0,82	0,57	2,78	2,71	2,64	2,52	0,12
1,15	1,06	0,97	0,83	0,56	2,91	2,84	2,77	2,65	0,11
					3,06	2,99	2,92	2,79	0,10

Abbildung: Schneider K.-J., Goris A.: Bautabellen für Ingenieure, 18. Auflage, Werner Verlag, Köln 2008; Tafel 8.38

Momentenbeiwerte DIN 18800-2:2008-11 Tab. 11

	1	2	3
	Momentenverlauf	Momentenbeiwerte $\beta_m$ für Biegeknicken	Momentenbeiwerte $\beta_M$ für Biegedrillknicken und Biegeknicken
1	<p>Stabendmomente</p>  <p><math>-1 \leq \psi \leq 1</math></p>	$\beta_{m,\psi} = 0,66 + 0,44 \psi$ jedoch $\beta_{m,\psi} \geq 1 - \frac{1}{\eta_{Ki}}$ und $\beta_{m,\psi} \geq 0,44$	$\beta_{M,\psi} = 1,8 - 0,7 \psi$
2	<p>Momente aus Querlast</p> 	$\beta_{m,Q} = 1,0$	$\beta_{M,Q} = 1,3$ $\beta_{M,Q} = 1,4$
3	<p>Momente aus Querlasten mit Stabendmomenten</p> 	$\psi \leq 0,77$ : $\beta_m = 1,0$ $\psi > 0,77$ : $\beta_m = \frac{M_Q + M_1 \cdot \beta_{m,\psi}}{M_Q + M_1}$	$\beta_M = \beta_{m,\psi} + \frac{M_Q}{\Delta M} (\beta_{M,Q} - \beta_{m,\psi})$ $M_Q =  \max M $ nur aus Querlast $\Delta M = \begin{cases}  \max M  & \text{bei nicht durchschlagendem Momentenverlauf} \\  \max M  +  \min M  & \text{bei durchschlagendem Momentenverlauf} \end{cases}$

### Biegedrillknicknachweis nach dem Ersatzstabverfahren DIN 18800-2 EL. 323

Feldmoment  $M_{y,d}$  und zugehöriges  
 Feldmoment  $M_{z,d}$ , Schräglauflast  $H_{S,k}^*$ , Stützweite  $l$ ,  
 Querschnittswerte des Kranbahnträgers und der  
 Schiene ( $h, b, s, t, A, I_y, \lambda$  (Abklingfaktor),  $h_{\text{Schiene}}$ ,  
 $b_{\text{Schiene}}$ ), Biegemomente im plastischen Zustand,  
 Streckgrenze  $f_{y,k}$ , E-Modul

Berechnung des Abstandes der Schienenoberkante zum  
 Schubmittelpunkt (=Schwerpunkt) des Kranbahnträgers

$$e_z = \frac{h}{2} + h_{\text{Schiene}}$$

Berechnung des  
 Torsionsmoments  $M_{T,d}$

$$M_{T,d} = \gamma_F \cdot \psi \cdot H_{S,k}^* \cdot e_z$$

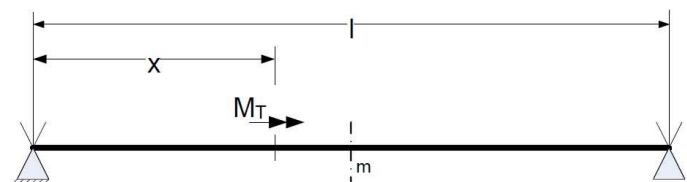


Abbildung: Systemmaße am Einfeldträger

Umrechnung des Torsionsmoments in ein Zusatzbiegemoment  $M_{z,d}^*$

$$M_{\omega,d} = \frac{M_{T,d}}{\lambda} \cdot \left( \frac{\sinh(\lambda \cdot (1-x))}{\sinh(\lambda \cdot 1)} \cdot \sinh(\lambda \cdot x) \right)$$

$$M_{z,d}^* = 2 \cdot \frac{M_{\omega,d}}{h-t}$$

vereinfacht, auf der sicheren Seite liegend, darf  $M_{z,d}^* = M_{z,d}^\circ$  angenommen werden

### BDK-Nachweis DIN 18800-2 El. 321

Ideales Biegedrillknickmoment  $M_{ki,y,d}$  DIN 18800 – 2 Gl. 20:

Einschränkung:  $h < 600 \text{ mm}$

$$M_{ki,y,d} = \frac{1,32 \cdot b \cdot t \cdot E \cdot I_y}{1 \cdot h^2 \cdot \gamma_M}$$

Bezogener Schlankheitsgrad:  $\bar{\lambda}_M = \sqrt{\frac{M_{pl,y,d}}{M_{ki,y,d}}}$

Bestimmung des Trägerbeiwertes  $n$  und des Abminderungsfaktors  $\kappa_M$

Beiwerte zur Berücksichtigung des Momentenverlaufes:

$k_y = 1,0$  und  $k_z = 1,0$  da, keine Normalkraft berücksichtigt wird DIN 18800 – 2 El. 321

$$\text{Biegedrillknicknachweis: } \frac{M_{1,y,d}}{\kappa_M \cdot M_{pl,y,d}} \cdot k_y + \frac{M_{1,z,d} + M_{1,z,d}^*}{M_{pl,z,d}} \cdot k_z \leq 1,00$$



### Abminderungsfaktor $\kappa_M$ DIN 18800-2

Berechnung des Abminderungsfaktor  $\kappa_M$  DIN 18800-2 Gl. 17-18

$$\kappa_M = 1 \quad \text{für } \bar{\lambda}_M \leq 0,4$$

$$\kappa_M = \left( \frac{1}{1 + \bar{\lambda}_M^{2n}} \right)^{\frac{1}{n}} \quad \text{für } \bar{\lambda}_M > 0,4$$

### Bestimmung des Abminderungsfaktor $\kappa_M$ aus Tabellen

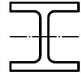

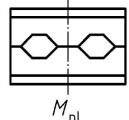
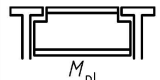
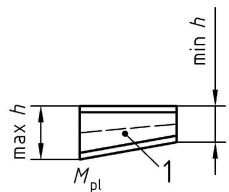
Bezogener Schlankheitsgrad $\bar{\lambda}_M$ für Trägerbeiwert:			$\kappa_M$	Bezogener Schlankheitsgrad $\bar{\lambda}_M$ für Trägerbeiwert:			$\kappa_M$
$n = 1,5$	$n = 2,0$	$n = 2,5$		$n = 1,5$	$n = 2,0$	$n = 2,5$	
0,40	0,40	0,40	1,00	1,13	1,23	1,28	0,55
		0,48	0,99	1,15	1,25	1,30	0,54
	0,45	0,55	0,98	1,17	1,26	1,31	0,53
	0,50	0,60	0,97	1,19	1,28	1,33	0,52
	0,54	0,64	0,96	1,20	1,30	1,34	0,51
0,43	0,57	0,67	0,95	1,22	1,32	1,36	0,50
0,46	0,60	0,70	0,94	1,24	1,33	1,38	0,49
0,49	0,63	0,72	0,93	1,26	1,35	1,39	0,48
0,51	0,65	0,75	0,92	1,28	1,37	1,41	0,47
0,53	0,68	0,77	0,91	1,30	1,39	1,43	0,46
0,56	0,70	0,79	0,90	1,32	1,41	1,45	0,45
0,58	0,72	0,81	0,89	1,34	1,43	1,47	0,44
0,60	0,73	0,82	0,88	1,37	1,45	1,49	0,43
0,61	0,75	0,84	0,87	1,39	1,47	1,51	0,42
0,63	0,77	0,86	0,86	1,41	1,49	1,53	0,41
0,65	0,79	0,87	0,85	1,43	1,51	1,55	0,40
0,67	0,80	0,89	0,84	1,46	1,54	1,57	0,39
0,69	0,82	0,90	0,83	1,48	1,56	1,59	0,38
0,70	0,84	0,92	0,82	1,51	1,58	1,62	0,37
0,72	0,85	0,93	0,81	1,54	1,61	1,64	0,36
0,74	0,87	0,94	0,80	1,56	1,64	1,66	0,35
0,75	0,88	0,96	0,79	1,59	1,66	1,69	0,34
0,77	0,90	0,97	0,78	1,62	1,69	1,72	0,33
0,78	0,91	0,98	0,77	1,65	1,72	1,75	0,32
0,80	0,92	1,00	0,76	1,69	1,75	1,78	0,31
0,81	0,94	1,01	0,75	1,72	1,78	1,81	0,30
0,83	0,95	1,02	0,74	1,75	1,82	1,84	0,29
0,85	0,97	1,04	0,73	1,79	1,85	1,87	0,28
0,86	0,98	1,05	0,72	1,83	1,89	1,91	0,27
0,88	1,00	1,06	0,71	1,87	1,93	1,95	0,26
0,89	1,01	1,08	0,70	1,91	1,97	1,99	0,25
0,91	1,02	1,09	0,69	1,96	2,01	2,03	0,24
0,92	1,04	1,10	0,68	2,01	2,06	2,07	0,23
0,94	1,05	1,11	0,67	2,06	2,11	2,12	0,22
0,95	1,07	1,13	0,66	2,11	2,16	2,17	0,21
0,97	1,08	1,14	0,65	2,17	2,21	2,23	0,20
0,98	1,10	1,15	0,64	2,23	2,27	2,29	0,19
1,00	1,11	1,17	0,63	2,30	2,34	2,35	0,18
1,02	1,12	1,18	0,62	2,37	2,41	2,42	0,17
1,03	1,14	1,20	0,61	2,45	2,48	2,49	0,16
1,05	1,15	1,21	0,60	2,53	2,57	2,58	0,15
1,06	1,17	1,22	0,59	2,62	2,66	2,67	0,14
1,08	1,19	1,24	0,58	2,73	2,76	2,77	0,13
1,10	1,20	1,25	0,57	2,85	2,88	2,88	0,12
1,12	1,22	1,27	0,56	2,98	3,01	3,01	0,11
				3,13	3,16	3,16	0,10

Abbildung: Schneider K.-J., Goris A.: Bautabellen für Ingenieure, 18. Auflage, Werner Verlag, Köln 2008; Tafel 8.44



## Trägerbeiwert n DIN 18800-2 Tab. 9

Bei Randmomenten mit einem Verhältnis  $\psi > 0,5$  mit dem Faktor  $k_n$  zu multiplizieren  
DIN 18800-2 Bild 14.

	Profil	$n$
1	gewalzte Träger 	2,5
2	geschweißte Träger 	2,0
3	Wabenträger 	1,5
4	Ausgeklinte Träger 	2,0
5	Voutenträger <sup>a</sup>  <div style="display: inline-block; vertical-align: middle; margin-left: 20px;">             1 Schweißnaht  <math>\frac{\min h}{\max h} \geq 0,25</math> </div>	$0,7 + 1,8 \frac{\min h}{\max h}$

<sup>a</sup> Wenn die Flansche an den Steg geschweißt sind, ist der Trägerbeiwert  $n$  zusätzlich mit 0,8 zu multiplizieren.

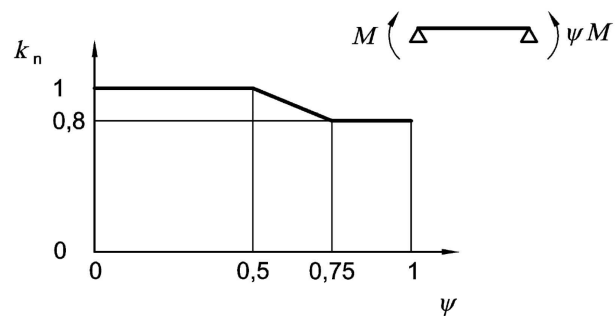


Abbildung: Faktor  $k_n$  für den Trägerbeiwert  
(DIN 18800-2 Bild 14)

# Beulnachweis von Kranbahnträgern ohne Längssteifen DIN 18800-3:2008-11

Maximales Feldmoment  $M_{y,d}$  und zugehörige Querkraft  $V_{z,d}$ , Radlast  $F_d$ , Beulfeldlänge  $a$ , Beulfeldbreite  $b$ , Beulfelddicke  $t$ , Trägheitsmoment 2. Grades  $I_y$  des Trägers

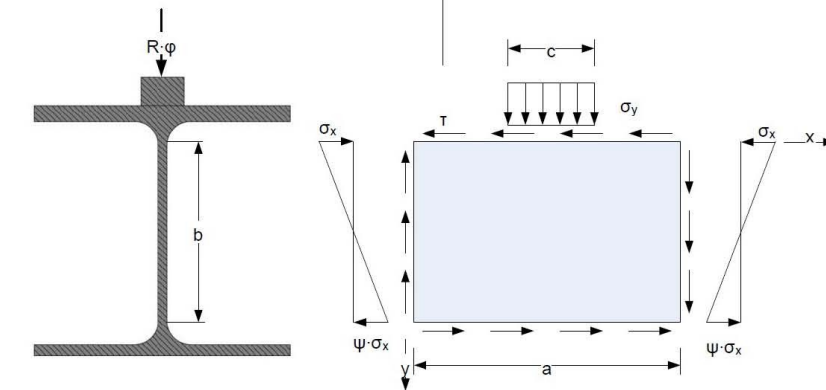


Abbildung: Systemmaße Beulfeld

Radlasteinleitungslänge

$$c = 2 * (t + h_{0,75 * \text{Schiene}} + r) + 5 \text{ cm}$$

Berechnung der Spannungen

$$\sigma_{x,d} = \frac{M_{y,d}}{I_y} * \frac{b}{2} \quad \sigma_{y,d} = \frac{F_d}{c * t} \quad \tau_{xz,d} = \frac{Q_{z,d}}{A_{\text{Steg}}}$$

Berechnung der Hilfswerte

$$\alpha = \frac{a}{b} \quad \beta = \frac{c}{a} \quad \psi = \frac{\sigma_{x1}}{\sigma_{x0}}$$

Bezugsspannung  $\sigma_e$

$$\sigma_e = 18980 * \left( \frac{t}{b} \right)^2$$

Berechnung der Beulwerte  $k_{\sigma_x}$ ,  $k_{\sigma_y}$  und  $k_\tau$

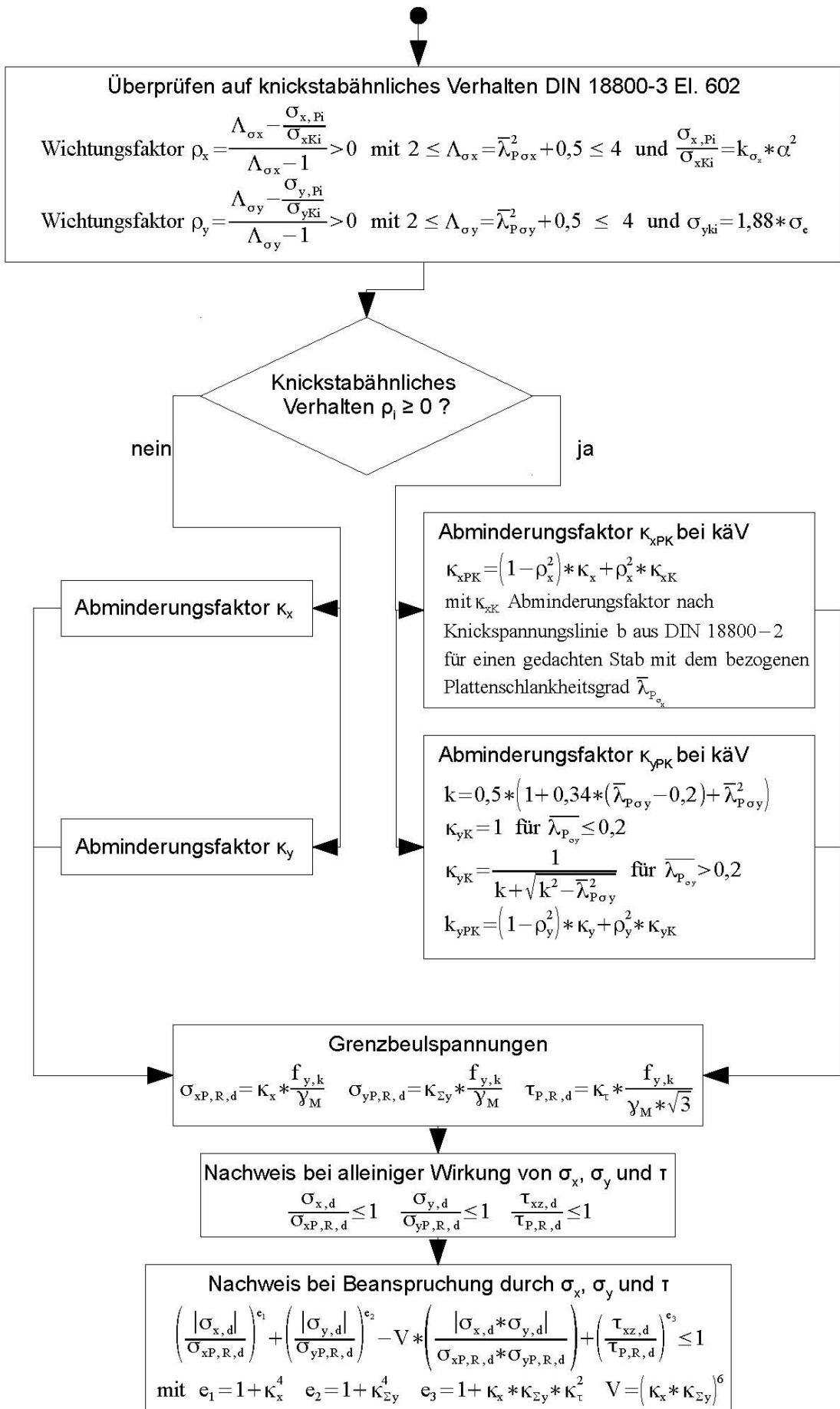
Berechnung der idealen Einzelbeulspannungen

$$\sigma_{x,pi} = k_{\sigma_x} * \sigma_e \quad \sigma_{y,pi} = k_{\sigma_y} * \sigma_e * \frac{a}{c} \quad \tau_{pi} = k_\tau * \sigma_e$$

Berechnung des bezogenen Schlankheitsgrades  $\bar{\lambda}_{p_{\sigma_x}}$  und des Abminderungsfaktors  $\kappa_x$

Berechnung des bezogenen Schlankheitsgrades  $\bar{\lambda}_{p_{\sigma_y}}$  und des Abminderungsfaktors  $\kappa_y$  ( $c_y = 1,0$ )

Berechnung des bezogenen Schlankheitsgrades  $\bar{\lambda}_{p_\tau}$  und des Abminderungsfaktors  $\kappa_\tau$



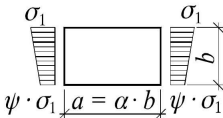
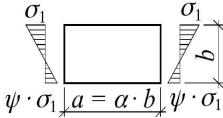
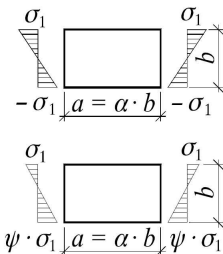
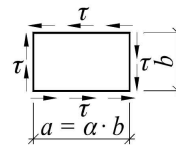
Beulwerte k DIN 4114-1					
1	Beanspruchung		Ideale Beulspannung	Gültigkeitsbereich	Beulwert
2	Geradlinig verteilte Druckspannungen $0 \leq \psi \leq 1$		$\sigma_{x, Pi} = k_{\sigma} \cdot \sigma_e$	$\alpha \geq 1$	$k_{\sigma} = \frac{8,4}{\psi + 1,1}$
				$\alpha < 1$	$k_{\sigma} = \left[ \alpha + \frac{1}{\alpha} \right]^2 \cdot \frac{2,1}{\psi + 1,1}$
3	Geradlinig verteilte Druck- und Zugspannungen mit überwiegendem Druck $-1 < \psi < 0$		$\sigma_{x, Pi} = k_{\sigma} \cdot \sigma_e$		$k_{\sigma} = (1 + \psi) \cdot k' - \psi \cdot k''$ $\hookrightarrow + 10 \psi \cdot (1 + \psi)$ $k'$ : Beulwert für $\psi = 0$ nach Zeile 2 $k''$ : Beulwert für $\psi = -1$ nach Zeile 4
4	Geradlinig verteilte Druck- und Zugspannungen mit gegengleichen Randwerten $\psi = -1$ oder mit überwiegendem Zug <sup>1)</sup> $\psi < -1$		$\sigma_{x, Pi} = k_{\sigma} \cdot \sigma_e$	$\alpha \geq \frac{2}{3}$	$k_{\sigma} = 23,9$
				$\alpha < \frac{2}{3}$	$k_{\sigma} = 15,87 + \frac{1,87}{\alpha^2}$ $\hookrightarrow + 8,6 \cdot \alpha^2$
5	Gleichmäßig verteilte Schubspannungen		$\tau_{Pi} = k_{\tau} \cdot \sigma_e$	$\alpha \geq 1$	$k_{\tau} = 5,34 + \frac{4,00}{\alpha^2}$
				$\alpha < 1$	$k_{\tau} = 4,00 + \frac{5,34}{\alpha^2}$
<sup>1)</sup> Bei der Berechnung des Seitenverhältnisses $\alpha$ und der Eulerspannung $\sigma_e$ ist hier $b$ durch den ideellen Wert $b_i = 2 \cdot b_D$ zu ersetzen, wobei $b_D < 0,5 \cdot b$ die Breite der Druckzone ist. Dies ist jedoch nicht zulässig für die Berechnung des Beulwertes $k$ gleichzeitig wirkender Schubspannungen und der Bezugsspannung $\sigma_e$ zur Ermittlung der Beulspannung $\tau_{Pi}$ .					

Abbildung: Schneider K.-J., Goris A.: Bautabellen für Ingenieure, 18. Auflage, Werner Verlag, Köln 2008; Tafel 8.61 Beulwerte k für unversteifte, an allen 4 Rändern einspannungsfrei gelagerte Beulfelder nach DIN 4114-1

Beulwerte $k_{\sigma y}$										
$\beta = c/a$	$\alpha = a/b$									
	0,5	1	2	3	4	6	8	10	20	30
0,0	12,5	3,23	1,17	0,73	0,52	0,34	0,25	0,20	0,10	—
0,1	13	3,27	1,21	0,79	0,59	0,47	0,40	0,35	0,24	0,19
0,2	13,5	3,35	1,27	0,86	0,68	0,60	0,54	0,51	0,42	0,37
0,4	15	3,67	1,45	1,06	0,91	0,84	0,80	0,77	0,70	0,67
0,6	17	4,22	1,72	1,33	1,19	1,12	1,09	1,06	1,00	0,98
1,0	21	6,08	2,55	2,03	1,93	1,81	1,77	1,72	1,68	1,65

Abbildung: Seeßelberg, C.: Kranbahnen Bemessung und konstruktive Gestaltung, 3. Auflage, Bauwerk Verlag, Berlin 2009; Tab. 7-1

Bezogene Schlankheitsgrade und Abminderungsfaktoren DIN 18800-3 Tab. 1

	1	2	3	4	5
	Beulfeld	Lagerung	Beanspruchung	Bezogener Schlankheitsgrad	Abminderungsfaktor
1	Einzel-feld	allseitig gelagert	Normalspannungen $\sigma$ mit dem Randspannungs-verhältnis $\psi_T \leq 1$ <sup>a</sup>	$\bar{\lambda}_P = \sqrt{\frac{f_{y,k}}{\sigma_{Pi}}}$	$\kappa = c \left( \frac{1}{\bar{\lambda}_P} - \frac{0,22}{\bar{\lambda}_P^2} \right) \leq 1$ mit $c = 1,25 - 0,12 \psi_T \leq 1,25$
2		allseitig gelagert	Schubspannungen $\tau$	$\bar{\lambda}_P = \sqrt{\frac{f_{y,k}}{\tau_{Pi} \cdot \sqrt{3}}}$	$\kappa_\tau = \frac{0,84}{\bar{\lambda}_P} \leq 1$
3	Teil- und Gesamt-feld	allseitig gelagert	Normalspannungen $\sigma$ mit dem Randspannungs-verhältnis $\psi \leq 1$	$\bar{\lambda}_P = \sqrt{\frac{f_{y,k}}{\sigma_{Pi}}}$	$\kappa = c \left( \frac{1}{\bar{\lambda}_P} - \frac{0,22}{\bar{\lambda}_P^2} \right) \leq 1$ mit $c = 1,25 - 0,25 \psi \leq 1,25$
4		dreiseitig gelagert	Normalspannungen $\sigma$	$\bar{\lambda}_P = \sqrt{\frac{f_{y,k}}{\sigma_{Pi}}}$ <sup>b</sup>	$\kappa = \frac{1}{\bar{\lambda}_P^2 + 0,51} \leq 1$
5		dreiseitig gelagert	konstante Rand-verschiebung $u$	$\bar{\lambda}_P = \sqrt{\frac{f_{y,k}}{\sigma_{Pi}}}$ <sup>b</sup>	$\kappa = \frac{0,7}{\bar{\lambda}_P} \leq 1$
6		allseitig gelagert, ohne Längssteifen	Schubspannungen $\tau$	$\bar{\lambda}_P = \sqrt{\frac{f_{y,k}}{\tau_{Pi} \cdot \sqrt{3}}}$	$\kappa_\tau = \frac{0,84}{\bar{\lambda}_P} \leq 1$
7		allseitig gelagert, mit Längssteifen	Schubspannungen $\tau$	$\bar{\lambda}_P = \sqrt{\frac{f_{y,k}}{\tau_{Pi} \cdot \sqrt{3}}}$	$\kappa_\tau = \frac{0,84}{\bar{\lambda}_P} \leq 1$ für $\bar{\lambda}_P \leq 1,38$ $\kappa_\tau = \frac{1,16}{\bar{\lambda}_P^2} \leq 1$ für $\bar{\lambda}_P > 1,38$
<sup>a</sup> Bei Einzelfeldern ist $\psi_T$ das Randspannungsverhältnis des Teilfeldes, in dem das Einzelfeld liegt.					
<sup>b</sup> Zur Ermittlung von $\sigma_{Pi}$ ist der Beulwert $k_\sigma(\alpha)$ für $\psi = 1$ einzusetzen.					

Abminderungsfaktor  $\kappa$  für BiegeknickenParameter  $\alpha$  zur Berechnung des Abminderungsfaktors  $\kappa$  DIN 18800-2:2008-11 Tab. 4

Knickspannungslinie	$a_0$	$a$	$b$	$c$	$d$
$\alpha$	0,13	0,21	0,34	0,49	0,76

Berechnung des Abminderungsfaktors  $\kappa$ 

$$\bar{\lambda}_k \leq 0,2: \kappa = 1$$

$$\bar{\lambda}_k > 0,2: \kappa = \frac{1}{k + \sqrt{k^2 - 5\bar{\lambda}_k^2}} \quad \text{mit } k = 0,5 * [1 + \alpha * (\bar{\lambda}_k - 0,2) + \bar{\lambda}_k^2]$$

$$\bar{\lambda}_k > 3,0: \kappa = \frac{1}{\bar{\lambda}_k * (\bar{\lambda}_k + \alpha)}$$

Bestimmung des Abminderungsfaktors  $\kappa$  aus Tabellen

Bezogener Schlankheitsgrad $\bar{\lambda}_k$ für Knickspannungslinie:				$\kappa$	Bezogener Schlankheitsgrad $\bar{\lambda}_k$ für Knickspannungslinie:				$\kappa$
$a$	$b$	$c$	$d$		$a$	$b$	$c$	$d$	
0,20	0,20	0,20	0,20	<b>1,00</b>	1,17	1,08	0,98	0,85	<b>0,55</b>
0,25	0,23	0,22	0,21	<b>0,99</b>	1,18	1,09	1,00	0,87	<b>0,54</b>
0,29	0,26	0,24	0,23	<b>0,98</b>	1,20	1,11	1,02	0,88	<b>0,53</b>
0,33	0,28	0,26	0,24	<b>0,97</b>	1,22	1,13	1,03	0,90	<b>0,52</b>
0,37	0,31	0,28	0,25	<b>0,96</b>	1,23	1,14	1,05	0,92	<b>0,51</b>
0,41	0,34	0,30	0,26	<b>0,95</b>	1,25	1,16	1,07	0,94	<b>0,50</b>
0,45	0,36	0,32	0,28	<b>0,94</b>	1,27	1,18	1,09	0,96	<b>0,49</b>
0,48	0,39	0,34	0,29	<b>0,93</b>	1,28	1,20	1,11	0,98	<b>0,48</b>
0,51	0,42	0,36	0,30	<b>0,92</b>	1,30	1,22	1,13	0,99	<b>0,47</b>
0,54	0,44	0,38	0,32	<b>0,91</b>	1,32	1,23	1,15	1,01	<b>0,46</b>
0,57	0,46	0,39	0,33	<b>0,90</b>	1,34	1,25	1,17	1,03	<b>0,45</b>
0,60	0,49	0,41	0,35	<b>0,89</b>	1,36	1,27	1,19	1,05	<b>0,44</b>
0,63	0,51	0,43	0,36	<b>0,88</b>	1,38	1,29	1,21	1,08	<b>0,43</b>
0,65	0,53	0,45	0,37	<b>0,87</b>	1,40	1,31	1,23	1,10	<b>0,42</b>
0,67	0,55	0,47	0,39	<b>0,86</b>	1,42	1,34	1,25	1,12	<b>0,41</b>
0,70	0,57	0,49	0,40	<b>0,85</b>	1,44	1,36	1,27	1,14	<b>0,40</b>
0,72	0,59	0,51	0,41	<b>0,84</b>	1,46	1,38	1,30	1,17	<b>0,39</b>
0,74	0,61	0,52	0,43	<b>0,83</b>	1,48	1,40	1,32	1,19	<b>0,38</b>
0,76	0,63	0,54	0,44	<b>0,82</b>	1,51	1,43	1,35	1,22	<b>0,37</b>
0,77	0,65	0,56	0,46	<b>0,81</b>	1,53	1,45	1,37	1,24	<b>0,36</b>
0,79	0,67	0,58	0,47	<b>0,80</b>	1,56	1,48	1,40	1,27	<b>0,35</b>
0,81	0,69	0,59	0,48	<b>0,79</b>	1,58	1,51	1,43	1,30	<b>0,34</b>
0,83	0,71	0,61	0,50	<b>0,78</b>	1,61	1,53	1,45	1,32	<b>0,33</b>
0,84	0,72	0,63	0,51	<b>0,77</b>	1,64	1,56	1,48	1,35	<b>0,32</b>
0,86	0,74	0,64	0,53	<b>0,76</b>	1,67	1,59	1,51	1,39	<b>0,31</b>
0,88	0,76	0,66	0,54	<b>0,75</b>	1,70	1,63	1,55	1,42	<b>0,30</b>
0,89	0,77	0,68	0,56	<b>0,74</b>	1,73	1,66	1,58	1,45	<b>0,29</b>
0,91	0,79	0,69	0,57	<b>0,73</b>	1,76	1,69	1,61	1,49	<b>0,28</b>
0,92	0,81	0,71	0,59	<b>0,72</b>	1,80	1,73	1,65	1,53	<b>0,27</b>
0,94	0,82	0,72	0,60	<b>0,71</b>	1,84	1,77	1,69	1,56	<b>0,26</b>
0,95	0,84	0,74	0,61	<b>0,70</b>	1,88	1,81	1,73	1,60	<b>0,25</b>
0,96	0,86	0,76	0,63	<b>0,69</b>	1,92	1,85	1,78	1,65	<b>0,24</b>
0,98	0,87	0,77	0,64	<b>0,68</b>	1,97	1,90	1,82	1,69	<b>0,23</b>
0,99	0,89	0,79	0,66	<b>0,67</b>	2,01	1,95	1,87	1,74	<b>0,22</b>
1,01	0,90	0,80	0,67	<b>0,66</b>	2,07	2,00	1,92	1,80	<b>0,21</b>
1,02	0,92	0,82	0,69	<b>0,65</b>	2,12	2,05	1,98	1,85	<b>0,20</b>
1,04	0,93	0,84	0,70	<b>0,64</b>	2,18	2,11	2,04	1,91	<b>0,19</b>
1,05	0,95	0,85	0,72	<b>0,63</b>	2,24	2,18	2,10	1,98	<b>0,18</b>
1,07	0,96	0,87	0,74	<b>0,62</b>	2,31	2,25	2,17	2,05	<b>0,17</b>
1,08	0,98	0,88	0,75	<b>0,61</b>	2,39	2,32	2,25	2,12	<b>0,16</b>
1,09	1,00	0,90	0,77	<b>0,60</b>	2,47	2,40	2,33	2,21	<b>0,15</b>
1,11	1,01	0,92	0,78	<b>0,59</b>	2,56	2,50	2,42	2,30	<b>0,14</b>
1,12	1,03	0,93	0,80	<b>0,58</b>	2,66	2,60	2,53	2,40	<b>0,13</b>
1,14	1,04	0,95	0,82	<b>0,57</b>	2,78	2,71	2,64	2,52	<b>0,12</b>
1,15	1,06	0,97	0,83	<b>0,56</b>	2,91	2,84	2,77	2,65	<b>0,11</b>
					3,06	2,99	2,92	2,79	<b>0,10</b>

Abbildung: Schneider K.-J., Goris A.: Bautabellen für Ingenieure, 18. Auflage, Werner Verlag, Köln 2008; Tafel 8.38

## Betriebsfestigkeitsnachweis DIN4132

Schnittgrößen  $M_{y,d}$  und  $V_{z,d}$ , Radlast  $F_d$ ,  
 Querschnittswerte des Kranbahnträgers und der  
 Schiene ( $h, s, t, r, A_{\text{Steg}}, I_y, h_{\text{Schiene}}, b_{\text{Schiene}}$ ),  
 Kehlnahtdicke  $a_w$  (Schiene/OG), Werkstoff,  
 Beanspruchungsgruppe

Flächenmoment 1. Grades der Schiene  $S_{y,\text{Schiene}}$

$$S_{y,\text{Schiene}} \approx A_{\text{Schiene}} * \left( \frac{h}{2} + \frac{h_{\text{Schiene}*0,75}}{2} \right)$$

Radlasteinleitungslänge

$$c = 2 * (t + h_{0,75 * \text{Schiene}} + r) + 5 \text{ cm}$$

## Festlegung der zu untersuchenden Nachweisstellen

Nr.	NW-Stelle in Trägerlängsrichtung	NW-Stelle im Querschnitt	Kerbfall	Nachzuweisende Spannung
1	Überall	Kehlnaht Schiene/Obergurt	K 453	$\bar{\sigma}_\perp$
2	Überall	Kehlnaht Schiene/Obergurt	-	$\bar{\tau}_\perp$
3	Überall	Stegansatz	W 13	$\bar{\sigma}_z$
4	Feld, $\max M_y$	Obergurt-Oberseite	K 123	$\sigma_x$
5	Auflager	Kehlnaht Schiene/Obergurt	-	$\bar{\tau}_\parallel + \tau_\parallel$
6	Auflager	Stegansatz	-	$\bar{\tau}_{xz} + \tau_{xz}$
...	...	...	...	...
Zusätzlich bei Mehrfeldträgern				
7	Mittelaufleger	Obergurt-Unterseite	K333	$\sigma_x$
...	...	...	...	...

## Nachweis der festgelegten Stellen

Berechnung der Unter- und Oberspannung  $\sigma_u$  und  $\sigma_o$  bzw.  $\tau_u$  und  $\tau_o$

Berechnung des Spannungsverhältnisses

$$\kappa_o = \frac{\sigma_u}{\max \sigma_o} \text{ bzw. } \kappa_r = \frac{\tau_u}{\max \tau_o} \text{ mit } |\sigma_u| < |\sigma_o| \text{ bzw. } |\tau_u| < |\tau_o|$$

Festlegung der zulässigen Spannung  $\text{grenz } \sigma_{Be}$  bzw.  $\text{grenz } \tau_{Be}$

$$\text{Einzelnachweis } \frac{\max \sigma_o}{\text{grenz } \sigma_{Be}} \text{ bzw. } \frac{\max \tau_o}{\text{grenz } \tau_{Be}}$$

$$\text{kombinierter Nachweis } \sum \left( \frac{\max \sigma_{\tau}}{\text{grenz } \sigma_{Be}} \right)_i^k + \left( \frac{\max \tau_{\sigma}}{\text{grenz } \tau_{Be}} \right)^k \leq 1$$

Einzelkrane i      alle Krane gemeinsam

Zulässige Spannungen grenz  $\sigma_{Be} \equiv \text{zul } \sigma_{Be}$  und grenz  $\tau_{Be} \equiv \text{zul } \tau_{Be}$   
DIN 4132:1981-02 Tab. 3

Beanspruchungsgruppe „m“			St 37			St 52			St 37 und St 52 <sup>6)</sup>				
			W 0	W 1	W 2	W 0	W 1	W 2	K 0	K 1	K 2	K 3	K 4
1	Normalspannung zul $\sigma_{Be, x=-1}$	B 1	285,4	228,3	199,8	388,4	308,9	247,2	[475,2]	[424,2]	(356,4)	254,6	152,7
		B 2	240,0	192,0	168,0	313,0	249,0	199,2	[336,0]	(300,0)	(252,0)	180,0	108,0
		B 3	201,8	161,4	141,3	252,2	200,6	160,5	(237,6)	(212,1)	178,2	127,3	76,4
		B 4	169,7	135,8	118,8	203,2	161,7	129,3	168,0	150,0	126,0	90,0	54,0
		B 5	142,7	114,2	99,9	163,8	130,3	104,2	118,8	106,1	89,1	63,6	38,2
		B 6	120,0	96,0	84,0	132,0	105,0	84,0	84,0	75,0	63,0	45,0	27,0
2	$\frac{\text{zul } \sigma_{Be, m}}{\text{zul } \sigma_{Be, m+1}}$		1,189			1,241			1,414				
3	zul $\sigma_{Be, x < 0}$ (Wechselbereich)		zul $\sigma_{Be, z, x < 0} = \frac{5}{3-2x} \cdot \text{zul } \sigma_{Be, -1}$						zul $\sigma_{Be, d, x < 0} = \frac{2}{1-x} \cdot \text{zul } \sigma_{Be, -1}$				
4	zul $\sigma_{Be, x=0}$		zul $\sigma_{Be, z, 0} = \frac{5}{3} \cdot \text{zul } \sigma_{Be, -1}$						zul $\sigma_{Be, d, 0} = 2 \cdot \text{zul } \sigma_{Be, -1}$				
5	zul $\sigma_{Be, x > 0}$ (Schwellbereich)		zul $\sigma_{Be, z, x > 0} = \frac{\text{zul } \sigma_{Be, z, 0}}{1 - \left(1 - \frac{\text{zul } \sigma_{Be, z, 0}}{\text{zul } \sigma_{Be, z, +1}}\right) \cdot x}$						zul $\sigma_{Be, d, x > 0} = \frac{\text{zul } \sigma_{Be, d, 0}}{1 - \left(1 - \frac{\text{zul } \sigma_{Be, d, 0}}{\text{zul } \sigma_{Be, d, +1}}\right) \cdot x} = 1,2 \text{ zul } \sigma_{Be, z, x > 0}$				
6	zul $\sigma_{Be, x=+1}$ und $\sigma_B$		zul $\sigma_{Be, z, +1} = \frac{\sigma_B}{\nu_{Be}} = \frac{\sigma_B}{4/3} = 0,75 \cdot \sigma_B$						zul $\sigma_{Be, d, +1} = 1,2 \cdot \frac{\sigma_B}{\nu_{Be}} = 1,2 \cdot \frac{\sigma_B}{4/3} = 0,9 \cdot \sigma_B$				
						St 37			St 52				
			$\sigma_B$			370,0			520,0				
			zul $\sigma_{Be, z, +1}$			277,5			390,0				
			zul $\sigma_{Be, d, +1}$			333,0			468,0				
7	Schubspannung zul $\tau_{Be, x}$	Bauteil	zul $\tau_{Be, x} = \text{zul } \sigma_{Be, z, x} / \sqrt{3}$ mit zul $\sigma_{Be, z, x}$ nach Kerbfall W 0										
		Schweißnaht	zul $\tau_{Be, x} = \text{zul } \sigma_{Be, z, x} / \sqrt{2}$ mit zul $\sigma_{Be, z, x}$ nach Kerbfall K 0; nach W 0, wenn dafür zul $\sigma_{Be, z, x}$ niedriger										
8	Scherspannung zul $\tau_{a, Be, x}$		zul $\tau_{a, Be, x} = 0,8 \cdot \text{zul } \sigma_{Be, z, x}$				mit zul $\sigma_{Be, z, x}$ nach Kerbfall W 2		Für einschnittige, ungestützte Verbindungen sind vorstehende Werte auf 75 % abzumindern.				
9	Leibungsspannung zul $\sigma_{l, Be, x}$		zul $\sigma_{l, Be, x} = 2,0 \cdot \text{zul } \sigma_{Be, z, x}$										
6) ( ): zul $\sigma_{Be}$ des Kerbfalles W 0 ist überschritten bei St 37 [ ]: zul $\sigma_{Be}$ des Kerbfalles W 0 ist überschritten bei St 37 und St 52													

**Alternativ:**

Bestimmung der Zulässigen Spannungen grenz  $\sigma_{Be} \equiv \text{zul } \sigma_{Be}$  und grenz  $\tau_{Be} \equiv \text{zul } \tau_{Be}$   
DIN 4132:1981-02 Tab. 7-18



Kappung der zulässigen Spannungen grenz $\sigma_{Be}$ und grenz $\tau_{Be}$ DIN 4132:1981-02 Kap. 4.4.5				
Kappung	Regelfall Grenzspannungen [kN/cm <sup>2</sup> ]		Ausnahmefall <sup>1)</sup> Grenzspannungen [kN/cm <sup>2</sup> ]	
	S 235	S 355	S 235	S 355
Stahl				
grenz $\sigma_{Be}$	16	24	24	36
grenz $\tau_{Be}$ - Bauteil	9	13,5	13,9	20,8
grenz $\tau_{Be}$ - Schweißnaht	13,5	17	17	25,5
1) Grenzspannungen des Ausnahmefalls anwendbar bei: <ul style="list-style-type: none"> <li>– wenn Zwängungsspannungen berücksichtigt werden, z.B. bei der Radlasteinleitung in die Kranbahnträger oder bei Fachwerk-Kranbahnträgern</li> <li>– bei Anwendung der Kombinationsformel nach DIN 4132 Gl. 4</li> <li>– wenn der Tragsicherheitsnachweis nach dem Verfahren elastisch – plastisch geführt wird</li> </ul>				

## Bestimmung der Kerbfälle aus Tabellen DIN 4132:1981-02 Tab. 5-6

## Kerbfall W0 und Kerbfall W1

Ordnungs- Nummer	Beschreibung und Darstellung		Sinn- bild
W01	Teile mit normaler Oberflächenbeschaffenheit und mit Seitenflächen als Walzkanten oder durch Sägeschnitte, wenn überlagerte geometrische Kerbwirkungen nicht vorhanden oder bei der Spannungsermittlung berücksichtigt sind, z.B. bei Ausschnitten. Brennschnittene Flächen müssen mindestens die Güte 12 nach DIN 2310 Teil 3, Ausgabe Februar 1975, Abschnitt 2, haben.		
W11	Teile mit Scherenschnitt- oder mit Brennschnittflächen mit mindestens Güte 23 nach DIN 2310 Teil 3, Ausgabe Februar 1975, Abschnitt 2, wenn überlagerte geometrische Kerbwirkungen nicht vorhanden oder bei der Spannungsermittlung berücksichtigt sind, z.B. bei Ausschnitten.		
W12	Gelochte Teile auch mit Nieten und Schrauben bei Beanspruchung der Nieten und Schrauben bis höchstens 20%, der hochfesten Schrauben in GV-Verbindungen bis 100% der zulässigen Werte Für einschrittige Verbindungen gelten die Einschränkungen der Kerbfälle W22 und W23 auch hier.		
W13	Stegansatz von Walzprofilen bei Angriff von Radlasten		

## Kerbfall W2 – Nietung, Paßschrauben nach DIN 7968, SLP- und GVP-Verbindungen

W21	Gelochte Bauteile mit einschrittigem Niet- oder		
-----	---	--	--

## Gebrauchstauglichkeit DIN EN 1993-6:2010-12

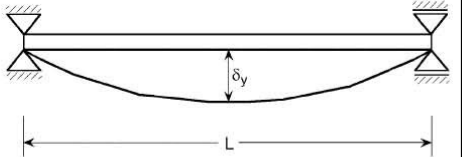
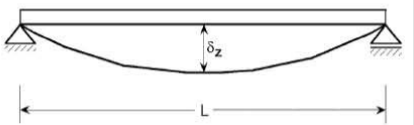
Einwirkungen: Eigengewicht  $g_k$ , Radlasten  $F_{i,k}$   
(ohne Schwingbeiwert), Schräglauflast  $H_{s,k}^*$ ;  
Querschnittswerte, Material, statisches System,  
Systemabmessungen

## Einwirkungskombination

$$\gamma_F * g_k + \gamma_F * F_{1,k} + \gamma_F * F_{2,k} + \gamma_F * H_{s,k}^* = 1,0 * g_k + 1,0 * F_{1,k} + 1,0 * F_{2,k} + 1,0 * H_{s,k}^*$$

Ermittlung der vorhandenen Durchbiegungen  $\delta_y$  und  $\delta_z$   
mit geeigneten Formelapparaten oder Programmen

Ermittlung der zulässigen Durchbiegungen zu  $\delta_y$  und zu  $\delta_z$   
DIN EN 1993-6 Tab. 7.1 und 7.2

Beschreibung der Verformung (Durchbiegung oder Verschiebung)	Skizze
a) Horizontale Durchbiegung $\delta_y$ eines Kranbahnträgers in Höhe der Oberkante Kranschiene: $\delta_y \leq L/600$	
a) Vertikale Durchbiegung $\delta_z$ eines Kranbahnträgers: $\delta_z \leq L/600$ und $\delta_z \leq 25 \text{ mm}$ Die vertikale Durchbiegung $\delta_z$ sollte als Gesamtdurchbiegung infolge vertikaler Lasten abzüglich möglicher Überhöhungen, analog zu $\delta_{\max}$ in EN 1990, Bild A1.1 bestimmt werden.	
<b>Anmerkung:</b> Der Grenzwert der vertikalen Verformung wird auf $\delta_z \leq L/500$ und $\delta_z \leq 25 \text{ mm}$ erweitert (DIN EN 1993-6/NA:2010-12)	

## Nachweisführung

$$\text{vorh } \delta_z \leq \text{zul } \delta_z \quad \text{vorh } \delta_y \leq \text{zul } \delta_y$$

### 2.1.5 Berechnungsbeispiel

Technische Daten des Brückenlaufkrans:

Einträgerbrückenlaufkran: ELK 10t x 18000mm

Antriebsart: IFF (Einzelradantrieb; Radaufhängung Fest/Fest)  
EFF (n. DIN 15018 T.1 )

Eigengewicht der Kranbrücke:  $m_{Q_c, \text{Brücke}} = m_{Q_c, \text{Gesamt}} - m_{Q_c, \text{Katze}} = 4990 - 658 = 4332 \text{ kg}$

Eigengewicht der Laufkatze:  $m_{Q_c, \text{Katze}} = 658 \text{ kg}$

Hublast:  $m_{Q_h} = 10000 \text{ kg}$

Abstand der Kranbahnträger (Spurmittenmaß):  $l = 18,00 \text{ m}$

minimaler Abstand der Laufkatze von einem  
Kranbahnträger:  $l_{\min} = 0,94 \text{ m}$

Radabstand:  $a = 2,70 \text{ m}$

Schienenkopfbreite:  $b = 50 \text{ mm}$

Anzahl der Kranbahnträger:  $n_r = 2$

Anzahl der einzeln angetriebenen Räder:  $m_w = 2$

Anzahl der Radpaare:  $n = 2$

Erdbeschleunigung:  $g = 9,81 \frac{\text{m}}{\text{s}^2}$

#### 2.1.5.1 Kräfte infolge Kranbetrieb

##### ➤ Antriebskraft K – DIN 1055-10 Abs. 5.7.3

Reibungsbeiwert  $\mu = 0,2$  (Stahl auf Stahl)

Summe der minimalen Last je Rad des unbelasteten Kranes

$$Q_{r, \min}^* = \frac{1}{2 * l} * \left( m_{Q_c, \text{Brücke}} * \frac{l}{2} + m_{Q_c, \text{Katze}} * l_{\min} \right) * g = \frac{1}{2 * 18} * \left( 4,332 * \frac{18}{2} + 0,658 * 0,94 \right) * 9,81 = 10,79 \text{ kN}$$

$$\sum Q_{r, \min}^* = m_w * Q_{r, \min}^* = 2 * 10,79 = 21,58 \text{ kN}$$

Antriebskraft

$$K = K_1 + K_2 = \mu * \sum Q_{r, \min}^* = 0,2 * 21,58 = 4,32 \text{ kN}$$

➤ **Horizontale Lasten längs der Fahrbahn – DIN 1055-10 Abs. 5.7.2**

Dynamischer Vergrößerungsfaktor nach DIN 1055-10 Tab. 6

$$1,0 < \varphi_5 = 1,25 < 1,5 \quad (\text{Systeme mit stetiger Veränderung der Kräfte})$$

horizontale Lasten längs der Fahrbahn

$$H_{L,i} = \varphi_5 * K * \frac{1}{n_r} \quad H_{L,1} = H_{L,2} = 1,25 * 4,32 * \frac{1}{2} = 2,7 \text{ kN}$$

➤ **Horizontale Lasten quer der Fahrbahn – DIN 1055-10 Abs. 5.7.2**

Summe der maximalen Radlasten  $Q_{r,\max}$  je Kranbahn des belasteten Kranes

$$\sum Q_{r,\max} = \frac{1}{l} * \left( m_{Q_{c,\text{Brücke}}} * \frac{l}{2} + (m_{Q_{c,\text{Katze}}} + m_{Q_h}) * (l - l_{\min}) \right) * g$$

$$\sum Q_{r,\max} = \frac{1}{18,0} * \left( 4,332 * \frac{18,0}{2} + (0,658 + 10,0) * (18,0 - 0,94) \right) = 120,34 \text{ kN}$$

Summe aus Eigengewicht und Hublast

$$\sum Q_r = (m_{Q_{c,\text{Brücke}}} + m_{Q_{c,\text{Katze}}} + m_{Q_h}) * g = (4,332 + 0,658 + 10,0) * 9,81 = 147,05 \text{ kN}$$

Wichtungsfaktoren

$$\xi_1 = \frac{\sum Q_{r,\max}}{\sum Q_r} = \frac{120,34}{147,05} = 0,818 \quad \xi_2 = 1 - \xi_1 = 1 - 0,818 = 0,182$$

Abstand des Masseschwerpunktes der Kranbrücke von der Wirkungsline der Antriebskraft (Brückenmitte)

$$l_s = (\xi_1 - 0,5) * l = (0,818 - 0,5) * 18,0 = 5,72 \text{ m}$$

Moment infolge Anfahren/Bremsen

$$M = K * l_s = 4,32 * 5,72 = 24,71 \text{ kNm}$$

horizontale Lasten quer der Fahrbahn

$$H_{T,1} = \varphi_5 * \xi_2 * \frac{M}{a} = 1,25 * 0,182 * \frac{24,71}{2,7} = 2,08 \text{ kN}$$

$$H_{T,2} = \varphi_5 * \xi_1 * \frac{M}{a} = 1,25 * 0,818 * \frac{24,71}{2,7} = 9,36 \text{ kN}$$

➤ **Horizontale Seitenlasten und Führungskraft infolge Schräglauf von Kranen**

Schräglaufwinkel  $\alpha$  nach DIN 1055-10 Tab. 7

$$\alpha_F = \frac{0,75x}{a} = \frac{10}{2700} = 0,0037 \quad (0,75x \geq 10 \text{ mm bei Spurkränzen})$$

$$\alpha_V = \frac{y}{a} = \frac{0,10*b}{a} = \frac{0,10*50}{2700} = 0,0019 \quad (y \geq 0,10b \text{ mm bei Spurkränzen})$$

$$\alpha_o = 0,001$$

$$\alpha = \alpha_F + \alpha_V + \alpha_o = 0,0037 + 0,0019 + 0,001 = 0,0066 \leq 0,015 \text{ rad}$$

Kraftschlussbeiwert

$$f = 0,3 * (1 - e^{-250 * \alpha}) = 0,3 * (1 - e^{-250 * 0,0066}) = 0,24 \leq 0,3$$

Summe der Abstände zwischen den Radpaarachsen  $j$  und dem relevanten Führungsmittel

$$\sum e_j = e_1 + e_2 = 0 + 2,7 = 2,7 \text{ m}$$

Abstand zwischen dem momentanen Gleitpol und dem relevanten Führungsmittel nach DIN 1055-10 Tab. 8

$$h = \frac{m * \xi_1 * \xi_2 * l^2 + \sum e_i^2}{\sum e_j} = \frac{0 * 0,818 * 0,182 * 6,0^2 + 2,7^2}{2,7} = 2,7 \text{ m}$$

Kraftbeiwerte

$$\lambda_{S,1} = 1 - \frac{\sum e_j}{n * h} = 1 - \frac{2,7}{2} * 2,7 = 0,5$$

$$\lambda_{S,1,j,L} = 0$$

$$\lambda_{S,1,1,T} = \frac{\xi_2}{n} * \left(1 - \frac{e_1}{n}\right) = \frac{0,182}{2} * \left(1 - \frac{0}{2,7}\right) = 0,091$$

$$\lambda_{S,1,2,T} = \frac{\xi_2}{n} * \left(1 - \frac{e_2}{n}\right) = \frac{0,182}{2} * \left(1 - \frac{2,7}{2,7}\right) = 0$$

$$\lambda_{S,2,i,L} = 0$$

$$\lambda_{S,2,1,T} = \frac{\xi_1}{n} * \left(1 - \frac{e_1}{n}\right) = \frac{0,818}{2} * \left(1 - \frac{0}{2,7}\right) = 0,409$$

$$\lambda_{S,2,2,T} = \frac{\xi_1}{n} * \left(1 - \frac{e_1}{n}\right) = \frac{0,818}{2} * \left(1 - \frac{2,7}{2,7}\right) = 0$$

## Führungskraft

$$S = f * \lambda_s * \sum Q_r = 0,24 * 0,5 * 147,05 = 17,65 \text{ kN}$$

## horizontale Seitenlasten

$$H_{S,1,j,L} = f * \lambda_{S,1,j,L} * \sum Q_r = 0,24 * 0 * 147,05 = 0$$

$$H_{S,2,j,L} = f * \lambda_{S,2,j,L} * \sum Q_r = 0,24 * 0 * 147,05 = 0$$

$$H_{S,1,1,T} = f * \lambda_{S,1,1,T} * \sum Q_r = 0,24 * 0,091 * 147,05 = 3,21 \text{ kN}$$

$$H_{S,1,2,T} = f * \lambda_{S,1,2,T} * \sum Q_r = 0,24 * 0 * 147,05 = 0$$

$$H_{S,2,1,T} = f * \lambda_{S,2,1,T} * \sum Q_r = 0,24 * 0,409 * 147,05 = 14,43 \text{ kN}$$

$$H_{S,2,2,T} = f * \lambda_{S,2,2,T} * \sum Q_r = 0,24 * 0 * 147,05 = 0$$

## ➤ Radlasten

$$R_{\min} = \frac{\sum Q_r - \sum Q_{r,\max}}{2} = \frac{147,05 - 120,34}{2} = 13,36 \text{ kN}$$

$$R_{\max} = \frac{\sum Q_{r,\max}}{2} = \frac{120,34}{2} = 60,17 \text{ kN}$$

## ➤ Vergleich der Ergebnisse mit dem Kran-Datenblatt der Anlage 1

	Werte aus Berechnung	Werte aus dem Datenblatt
Radlast $R_{\min}$	13,36 kN	$(13,3 + 13,5) / 2 = 13,4 \text{ kN}$
Radlast $R_{\max}$	60,17 kN	$(60,0 + 60,4) / 2 = 60,2 \text{ kN}$
Massekraft $H_{T,1}$	2,08 kN	2,1 kN
Massekraft $H_{T,2}$	9,36 kN	9,3 kN
Schräglaukraft S	17,65 kN	17,7 kN
Horizontallast aus Schräglau $H_{S,1,1,T}$	3,21 kN	3,2 kN
Horizontallast aus Schräglau $H_{S,2,1,T}$	14,43 kN	14,5 kN
Massekraft $H_{L,1} = H_{L,2}$	2,70 kN	2,7 kN

Tabelle 15: Vergleich der ermittelten Kräfte infolge Kranbetrieb mit denen des Kran-Datenblattes

Quelle: Eigene Darstellung

Die berechneten Werte stimmen mit den Werten aus dem Kran-Datenblatt überein.

### 2.1.5.2 Schnittgrößenberechnung

Technische Daten der Krananlage:

Statisches System:	Einfeldträger
Feldlänge:	$l = 6,00 \text{ m}$
Hubklasse:	H2
Beanspruchungsgruppe:	B3
Radlasten:	$R_{1,k} = 60,40 \text{ kN}$ $R_{2,k} = 60,00 \text{ kN}$
Radabstand:	$a = 2,7 \text{ m}$
Schräglaukraft:	$H_{S,k} = 14,50 \text{ kN}$
Kranbahnträger:	HEB 300 $g = 1,17 \text{ kN/m}$
Schiene (bxh):	50x40 mm $g = 0,16 \text{ kN/m}$ (mit $\rho = 78,50 \text{ kN/m}^3$ )
Werkstoff:	S235 $f_{y,k} = 24 \text{ kN/cm}^2$

Einwirkungen:

Eigengewicht:  $g = 1,17 + 0,16 = 1,33 \text{ kN/m}$

Radlast: Schwingbeiwert  $\varphi = 1,2$  (Hubklasse H2 n. DIN 4132 Tab.1)

$$F_{1,k} = R_{1,k} * \varphi = 60,40 * 1,2 = 72,48 \text{ kN} \quad F_{2,k} = R_{2,k} * \varphi = 60,00 * 1,2 = 72,00 \text{ kN}$$

Schräglaukraft: Die Überlagerung der Seitenlasten  $H_S$  und  $S$  als „Kräfte aus Schräglau“ mit den waagrechten Seitenlasten  $H_M$  infolge der „Massenkräfte aus Antrieben“ ist durch einen Zuschlag von 10 % auf die Seitenlasten  $H_S$  und  $S$  (Schräglaukräfte) zu berücksichtigen<sup>7</sup>.

$$H_{s,k}^* = H_{S,k} * 1,1 = 14,50 * 1,1 = 15,95 \text{ kN}$$

Schnittgrößenberechnung:

- Radlaststellung 1 für maximales Feldmoment  $M_{y,k}$

Culmannsche Laststellung

Bedingung 1:  $F_{1,k} = 72,48 \text{ kN} > F_{2,k} = 72,00 \text{ kN}$

Hilfswert: 
$$c = \frac{a * F_{2,k}}{\sum F_{i,k}} = \frac{2,7 * 72}{72,48 + 72,00} = 1,35 \text{ m}$$

Bedingung 2:  $c = 1,35 \text{ m} < 0,5 * l = 0,5 * 6,00 = 3,00 \text{ m}$

→ beide Räder stehen auf dem Einfeldträger

Abstand der Radlast  $F_{1,k}$  vom Auflager A:

$$x = \frac{l - c}{2} = \frac{6,00 - 1,35}{2} = 2,33 \text{ m}$$

<sup>7</sup> Vgl. DIN 4132 Abs. 3.2.1.1.

Auflagerkraft  $A_{1,z,k}$  infolge der Radlasten:

$$A_{1,z,k} = \frac{1}{l} * \left( \sum F_{i,k} * \left( \frac{l}{2} - \frac{c}{2} \right) \right) = \frac{1}{6,00} * \left( (72,48 + 72,00) * \left( \frac{6,00}{2} - \frac{1,35}{2} \right) \right) = 56,00 \text{ kN}$$

Maximales Feldmoment  $M_{1,y,k}$ :

$$M_{1,y,k} = A_{1,z,k} * x = 56,00 * 2,33 = 130,48 \text{ kNm}$$

Querkraft an der Stelle  $x = 2,33 \text{ m}$   $V_{1,z,k}$ :

$$V_{1,z,k} = A_{1,z,k} = 56,00 \text{ kN}$$

Auflagerkraft  $A_{z,g,k}$  infolge Eigengewicht:

$$A_{z,g,k} = \frac{g * l}{2} = \frac{1,33 * 6,00}{2} = 3,99 \text{ kN}$$

Feldmoment an der Stelle  $x = 2,33 \text{ m}$   $M_{1,y,g,k}$ :

$$M_{1,y,g,k} = A_{z,g,k} * x - \frac{g * x^2}{2} = 3,99 * 2,33 - \frac{1,33 * 2,33^2}{2} = 5,69 \text{ kNm}$$

Querkraft an der Stelle  $x = 2,33 \text{ m}$   $V_{1,z,g,k}$ :

$$V_{1,z,g,k} = A_{z,g,k} - g * x = 3,99 - 1,33 * 2,33 = 0,89 \text{ kN}$$

Auflagerkraft  $A_{1,y,k}$  infolge Schräglaufrkraft:

$$A_{1,y,k} = \frac{1}{l} * \left( H_{s,k} * \left( \frac{l}{2} + \frac{c}{2} \right) \right) = \frac{1}{6,00} * \left( 15,95 * \left( \frac{6,00}{2} + \frac{1,35}{2} \right) \right) = 9,77 \text{ kN}$$

Feldmoment an der Stelle  $x = 2,33 \text{ m}$   $M_{1,z,k}$ :

$$M_{1,z,k} = A_{1,y,k} * x = 9,77 * 2,33 = 22,76 \text{ kNm}$$

Querkraft an der Stelle  $x = 2,33 \text{ m}$   $V_{1,y,k}$ :

$$V_{1,y,k} = A_{1,y,k} = 9,77 \text{ kN}$$

– Radlaststellung 2 für maximales Feldmoment  $\max M_{z,k}$

Radlast  $F_{1,k}$  steht an der Stelle  $l/2$

Auflagerkraft  $A_{2,z,k}$  infolge der Radlasten:

$$A_{2,z,k} = \frac{1}{l} * \left( F_{1,k} * \frac{l}{2} + F_{2,k} * \left( \frac{l}{2} - a \right) \right) = \frac{1}{6,00} * \left( 72,48 * \frac{6,00}{2} + 72,00 * \left( \frac{6,00}{2} - 2,7 \right) \right) = 39,84 \text{ kN}$$

Feldmoment an der Stelle  $l/2$   $M_{2,y,k}$ :

$$M_{2,y,k} = A_{2,z,k} * \frac{l}{2} = 39,84 * \frac{6,00}{2} = 119,52 \text{ kNm}$$

Querkraft an der Stelle  $l/2$   $V_{2,z,k}$ :

$$V_{2,z,k} = A_{2,z,k} = 39,84 \text{ kN}$$



Maximales Feldmoment  $M_{2,y,g,k}$ :

$$M_{2,y,g,k} = \frac{g \cdot l^2}{8} = \frac{1,33 \cdot 6,00^2}{8} = 5,99 \text{ kNm}$$

Querkraft an der Stelle  $l/2$   $V_{2,z,g,k}$ :

$$V_{2,z,g,k} = 0 \text{ kN}$$

Auflagerkraft  $A_{2,y,k}$  infolge Schräglauflkraft:

$$A_{2,y,k} = \frac{H_{S,k}^*}{2} = \frac{15,95}{2} = 7,98 \text{ kN}$$

Maximales Feldmoment  $M_{2,z,k}$ :

$$M_{2,z,k} = \frac{H_{S,k}^* \cdot l}{4} = \frac{15,95 \cdot 6,00}{4} = 23,93 \text{ kNm}$$

Querkraft an der Stelle  $l/2$   $V_{2,y,k}$ :

$$V_{2,y,k} = A_{2,y,k} = 7,98 \text{ kN}$$

- Radlaststellung 3 für maximale Querkraft  $\max Q_{i,k}$

Radlast  $F_{1,k}$  steht im Auflager A

Auflagerkraft  $A_{3,z,k}$  infolge der Radlasten:

$$A_{3,z,k} = \frac{1}{l} \cdot (F_{1,k} \cdot l + F_{2,k} \cdot (l - a)) = \frac{1}{6,00} \cdot (72,48 \cdot 6,00 + 72,00 \cdot (6,00 - 2,7)) = 112,08 \text{ kN}$$

Moment am Auflager A  $M_{3,y,k}$ :

$$M_{3,y,k} = 0 \text{ kNm}$$

Querkraft am Auflager A  $V_{3,z,k}$ :

$$V_{3,z,k} = A_{3,z,k} = 112,08 \text{ kN}$$

Auflagerkraft  $A_{z,g,k}$  infolge Eigengewicht:

$$A_{z,g,k} = \frac{g \cdot l}{2} = \frac{1,33 \cdot 6,00}{2} = 3,99 \text{ kN}$$

Moment am Auflager A  $M_{3,y,g,k}$ :

$$M_{3,y,g,k} = 0 \text{ kNm}$$

Querkraft am Auflager A  $V_{3,z,g,k}$ :

$$V_{3,z,g,k} = A_{z,g,k} = 3,99 \text{ kN}$$

Auflagerkraft  $A_{3,y,k}$  infolge Schräglaufkraft:

$$A_{3,y,k} = H_{S,k}^* = 15,95 \text{ kN}$$

Moment am Auflager A  $M_{3,z,k}$ :

$$M_{3,z,k} = 0 \text{ kNm}$$

Querkraft am Auflager A  $V_{3,y,k}$ :

$$V_{3,y,k} = A_{3,y,k} = 15,95 \text{ kN}$$

Einwirkung	Schnittgrößen	Radlaststellung 1	Radlaststellung 2	Radlaststellung 3
		Stelle max $M_{y,k}$ bei $x = 2,33 \text{ m}$	Stelle max $M_{z,k}$ bei $l/2$	Stelle max $V_{z,k}$ am Auflager A
Radlasten $F_{l,k}$	$M_{y,k} \text{ [kNm]}$	130,48	119,52	0
	$Q_{z,k} \text{ [kN]}$	56,00	39,84	112,08
Eigengewicht $g$	$M_{y,k} \text{ [kNm]}$	5,69	5,99	0
	$Q_{z,k} \text{ [kN]}$	0,89	0	3,99
Schräglaufkraft $H_{s,k}^*$	$M_{z,k} \text{ [kNm]}$	22,76	23,93	0
	$Q_{y,k} \text{ [kN]}$	9,77	7,98	15,95

**Tabelle 16: Schnittgrößen infolge Radlaststellungen tabellarisiert**

Quelle: Eigene Darstellung

### 2.1.5.3 Spannungsnachweis

Querschnittswerte:

Stegdicke  $s = 1,1 \text{ cm}$

Widerstandsmomente  $W_y = 1680 \text{ cm}^3$   $W_{z,OG} \approx \frac{W_z}{2} = \frac{571}{2} = 285,5 \text{ cm}^3$

Radlasteinleitungslänge  $c = 2 * (t + h_{0,75 * \text{Schiene}} + r) + 5 \text{ cm} = 2 * (1,9 + 3 + 2,7) + 5 = 20,2 \text{ cm}$

Nachweisführung:

- Spannung im Steg infolge Radlasteinleitung

Einwirkung  $F_{1,k} = 72,48 \text{ kN}$

Spannungen

$$\bar{\sigma}_{z,k} = \frac{F_{l,k}}{c * s} = \frac{72,48}{20,2 * 1,1} = -3,26 \frac{\text{kN}}{\text{cm}^2}$$

$$\bar{\sigma}_{z,d} = \gamma_F * \bar{\sigma}_{z,k} = 1,5 * 3,26 = -4,89 \frac{\text{kN}}{\text{cm}^2}$$

$$\sigma_{r,d} = \frac{f_{y,k}}{\gamma_M} = \frac{24}{1,1} = 21,8 \frac{\text{kN}}{\text{cm}^2}$$

Nachweis

$$\frac{\bar{\sigma}_{z,d}}{\sigma_{r,d}} = \frac{4,89}{21,8} = 0,22 < 1,0$$

– NW-Stelle Außenkante Obergurt-Oberseite

Radlaststellung 1 max  $M_{y,k}$

Schnittgrößen  $M_{1,y,k} = 130,48 \text{ kNm}$   $M_{1,y,g,k} = 5,69 \text{ kNm}$   $M_{1,z,k} = 22,76 \text{ kNm}$

Spannungen

$$\sigma_{x,k} = \frac{M_{1,y,k}}{W_y} = \frac{130,48 \cdot 100}{1680} = -7,77 \frac{\text{kN}}{\text{cm}^2}$$

$$\sigma_{x,g,k} = \frac{M_{1,y,g,k}}{W_y} = \frac{5,69 \cdot 100}{1680} = -0,34 \frac{\text{kN}}{\text{cm}^2}$$

$$\sigma_{x,Hs,k} = \frac{M_{1,z,k}}{W_{z,OG}} = \frac{22,76 \cdot 100}{285,5} = -7,97 \frac{\text{kN}}{\text{cm}^2}$$

Lastfallkombinationen nach DIN 18800-1 El. (710)

$$\sigma_{1,d} = \gamma_F \cdot \sigma_{x,g,k} + \gamma_F \cdot \sigma_{x,k} = 1,35 \cdot (-0,34) + 1,5 \cdot (-7,77) = -12,11 \frac{\text{kN}}{\text{cm}^2}$$

$$\sigma_{2,d} = \gamma_F \cdot \sigma_{x,g,k} + \gamma_F \cdot \psi_i \cdot (\sigma_{x,k} + \sigma_{x,Hs,k}) = 1,35 \cdot (-0,34) + 1,5 \cdot 0,9 \cdot (-7,77 - 7,95) = -21,71 \frac{\text{kN}}{\text{cm}^2}$$

Nachweis

$$\frac{\sigma_{2,d}}{\sigma_{r,d}} = \frac{21,71}{21,8} = 0,996 < 1,0$$

Radlaststellung 2 max  $M_{z,k}$

Schnittgrößen  $M_{2,y,k} = 119,52 \text{ kNm}$   $M_{2,y,g,k} = 5,99 \text{ kNm}$   $M_{2,z,k} = 23,93 \text{ kNm}$

Spannungen

$$\sigma_{x,k} = \frac{M_{2,y,k}}{W_y} = \frac{119,52 \cdot 100}{1680} = -7,11 \frac{\text{kN}}{\text{cm}^2}$$

$$\sigma_{x,g,k} = \frac{M_{2,y,g,k}}{W_y} = \frac{5,99 \cdot 100}{1680} = -0,36 \frac{\text{kN}}{\text{cm}^2}$$

Lastfallkombinationen nach DIN 18800-1 El. (710)

$$\sigma_{1,d} = \gamma_F \cdot \sigma_{x,g,k} + \gamma_F \cdot \sigma_{x,k} = 1,35 \cdot (-0,36) + 1,5 \cdot (-7,11) = -11,15 \frac{\text{kN}}{\text{cm}^2}$$

$$\sigma_{2,d} = \gamma_F \cdot \sigma_{x,g,k} + \gamma_F \cdot \psi_i \cdot (\sigma_{x,k} + \sigma_{x,Hs,k}) = 1,35 \cdot (-0,36) + 1,5 \cdot 0,9 \cdot (-7,11 - 8,38) = -21,40 \frac{\text{kN}}{\text{cm}^2}$$

Nachweis

$$\frac{\sigma_{2,d}}{\sigma_{r,d}} = \frac{21,40}{21,8} = 0,98 < 1,0$$

- NW-Stelle oberer Stegansatz unterhalb der Ausrundung

Radlaststellung 1 max  $M_{y,k}$

Schnittgrößen

$$M_{1,y,k} = 130,48 \text{ kNm} \quad M_{1,y,g,k} = 5,69 \text{ kNm} \quad M_{1,z,k} = 22,76 \text{ kNm} \quad V_{1,z,k} = 56,00 \text{ kN}$$

Spannungen

$$\sigma_{x,k} = \frac{M_{1,y,k}}{I_y} * z = \frac{130,48 * 100}{25170} * \left( \frac{30}{2} - 1,9 - 2,7 \right) = -5,39 \frac{\text{kN}}{\text{cm}^2}$$

$$\sigma_{x,g,k} = \frac{M_{1,y,g,k}}{I_y} * z = \frac{5,69 * 100}{25170} * \left( \frac{30}{2} - 1,9 - 2,7 \right) = -0,24 \frac{\text{kN}}{\text{cm}^2}$$

$$\tau_{xz,k} = \frac{V_{1,z,k}}{A_{\text{Steg}}} = \frac{56,00}{30,9} = 1,81 \frac{\text{kN}}{\text{cm}^2}$$

Lastfallkombinationen nach DIN 18800-1 El. (710)

$$\sigma_d = \gamma_F * \sigma_{x,g,k} + \gamma_F * \sigma_{x,k} = 1,35 * (-0,24) + 1,5 * (-5,39) = -8,41 \frac{\text{kN}}{\text{cm}^2}$$

$$\bar{\sigma}_{z,d} = -4,89 \frac{\text{kN}}{\text{cm}^2}$$

$$\tau_{xz,d} = \gamma_F * \tau_{xz,k} = 1,5 * 1,81 = 2,72 \frac{\text{kN}}{\text{cm}^2}$$

Vergleichsspannung nach DIN 18800-1 El. (748)

$$\sigma_{v,d} = \sqrt{\sigma_d^2 + \bar{\sigma}_{z,d}^2 - \sigma_d * \bar{\sigma}_{z,d} + 3 * \tau_{xz,d}^2}$$

$$\sigma_{v,d} = \sqrt{(-8,41)^2 + (-4,89)^2 - (-8,41) * (-4,89) + 3 * 2,72^2} = 8,70 \frac{\text{kN}}{\text{cm}^2}$$

Nachweis

$$\frac{\sigma_d}{\sigma_{r,d}} = \frac{8,41}{21,8} = 0,39 < 1,0$$

$$\frac{\tau_{xz,d}}{\tau_{r,d}} = \frac{2,72}{12,6} = 0,22 < 1,0$$

$$\frac{\sigma_{v,d}}{\sigma_{r,d}} = \frac{8,7}{21,8} = 0,40 < 1,0$$

Radlastlaststellung 3 max  $V_{z,k}$

$$\text{Schnittgrößen} \quad V_{3,z,k} = 112,08 \text{ kN} \quad V_{3,z,g,k} = 3,99 \text{ kN}$$

Spannungen

$$\tau_{3,xz,k} = \frac{V_{3,z,k}}{A_{\text{Steg}}} = \frac{112,08}{30,9} = 3,63 \frac{\text{kN}}{\text{cm}^2}$$

$$\tau_{3,xz,g,k} = \frac{V_{3,z,g,k}}{A_{\text{Steg}}} = \frac{3,99}{30,9} = 0,13 \frac{\text{kN}}{\text{cm}^2}$$

Lastfallkombinationen nach DIN 18800-1 El. (710)

$$\tau_{3,xz,d} = \gamma_F * \tau_{3,xz,g,k} + \gamma_F * \tau_{3,xz,k} = 1,35 * 0,13 + 1,5 * 3,63 = 5,62 \frac{\text{kN}}{\text{cm}^2}$$

$$\bar{\sigma}_{z,d} = -4,89 \frac{\text{kN}}{\text{cm}^2}$$

Vergleichsspannung nach DIN 18800-1 El. (748)

$$\sigma_{v,d} = \sqrt{\bar{\sigma}_{z,d}^2 + 3 * \tau_{3,xz,d}^2} = \sqrt{(-4,89)^2 + 3 * 5,62^2} = 10,89 \frac{\text{kN}}{\text{cm}^2}$$

Nachweis

$$\frac{\tau_{3,xz,d}}{\tau_{r,d}} = \frac{5,62}{12,6} = 0,45 < 1,0$$

$$\frac{\sigma_{v,d}}{\sigma_{r,d}} = \frac{10,89}{21,8} = 0,50 < 1,0$$

– Nachweis der Schweißnaht Schiene/Obergurt

Radlaststellung 3 max  $V_{z,k}$

Kehlnahtdicke: 5 mm

$$S_{y,\text{Schiene}} = A_{\text{Schiene}} * \left( \frac{h_{\text{HEB300}}}{2} + \frac{h_{\text{Schiene}*0,75}}{2} \right) = 3,0 * 5,0 * \left( \frac{30}{2} + \frac{3,0}{2} \right) = 247,5 \text{ cm}^3$$

Schnittgrößen

$$V_{3,z,k} = 112,08 \text{ kN} \quad V_{3,z,g,k} = 3,99 \text{ kN} \quad F_{1,k} = 72,48 \text{ kN} \quad H_{s,k}^* = 15,95 \text{ kN}$$

Nahtdickenbegrenzung für Kehlnähte nach DIN 18800-1 El. (519)

$$2 \text{ mm} \leq a = 5 \text{ mm} \leq 0,7 \text{ min } t = 0,7 * 1,9 = 13,3 \text{ mm}$$

$$\text{Empfehlung : max } t = 40 \text{ mm} > 30 \text{ mm} \rightarrow a = 5 \text{ mm} (\geq 5 \text{ mm})$$

Spannungen

$$\bar{\sigma}_{\perp,k} = \frac{F_{1,k}}{(2 * h_{\text{Schiene}*0,75} + 5 \text{ cm}) * 2 * a_w} = \frac{72,48}{(2 * 3 + 5) * 2 * 0,5} = 6,59 \frac{\text{kN}}{\text{cm}^2}$$

$$\bar{\tau}_{\perp,k} = \frac{H_{s,k}^*}{(b_{\text{Schiene}} + 5 \text{ cm}) * 2 * a_w} = \frac{15,95}{(5 + 5) * 2 * 0,5} = 1,60 \frac{\text{kN}}{\text{cm}^2}$$

$$\tau_{\parallel,k} = \frac{V_{3,z,d} * S_{y,\text{Schiene}}}{I_y * 2 * a_w} = \frac{112,08 * 247,5}{25170 * 2 * 0,5} = 1,10 \frac{\text{kN}}{\text{cm}^2}$$

$$\tau_{\parallel, g, k} = \frac{V_{3, z, g, d} * S_{y, Schiene}}{I_y * 2 * a_w} = \frac{3,99 * 247,5}{25170 * 2 * 0,5} = 0,04 \frac{\text{kN}}{\text{cm}^2}$$

$$\sigma_{w, r, d} = \alpha_w * \frac{f_{y, k}}{\gamma_M} = 0,95 * \frac{24}{1,1} = 20,7 \frac{\text{kN}}{\text{cm}^2} \quad (\text{DIN 18800-1 El. 829})$$

Lastfallkombinationen nach DIN 18800-1 El. (710)

$$\sigma_{1, \perp, d} = \gamma_F * \bar{\sigma}_{\perp, k} = 1,5 * 6,59 = 9,89 \frac{\text{kN}}{\text{cm}^2}$$

$$\tau_{1, \parallel, d} = \gamma_F * \tau_{\parallel, g, k} + \gamma_F * \tau_{\parallel, k} = 1,35 * 0,04 + 1,5 * 1,10 = 1,70 \frac{\text{kN}}{\text{cm}^2}$$

$$\sigma_{1, v, d} = \sqrt{\sigma_{1, \perp, d}^2 + \tau_{1, \parallel, d}^2} = \sqrt{9,89^2 + 1,70^2} = 10,04 \frac{\text{kN}}{\text{cm}^2}$$

$$\sigma_{2, \perp, d} = \gamma_F * \psi_i * \bar{\sigma}_{\perp, k} = 1,5 * 0,9 * 6,59 = 8,90 \frac{\text{kN}}{\text{cm}^2}$$

$$\tau_{2, \perp, d} = \gamma_F * \psi_i * \bar{\tau}_{\perp, k} = 1,5 * 0,9 * 1,60 = 2,16 \frac{\text{kN}}{\text{cm}^2}$$

$$\tau_{2, \parallel, d} = \gamma_F * \tau_{\parallel, g, k} + \gamma_F * \psi_i * \tau_{\parallel, k} = 1,35 * 0,04 + 1,5 * 0,9 * 1,10 = 1,54 \frac{\text{kN}}{\text{cm}^2}$$

$$\sigma_{2, v, d} = \sqrt{\sigma_{1, \perp, d}^2 + \tau_{2, \perp, d}^2 + \tau_{1, \parallel, d}^2} = \sqrt{8,90^2 + 2,16^2 + 1,54^2} = 9,29 \frac{\text{kN}}{\text{cm}^2}$$

Nachweis

$$\frac{\sigma_{1, v, d}}{\sigma_{w, r, d}} = \frac{10,04}{20,7} = 0,49 < 1,0$$

### 2.1.5.4 Biegedrillknicknachweis

#### ➤ Knickender Obergurt

Querschnittswerte:

- Querschnittswerte HEB300

$$h = 30 \text{ cm}, b = 30 \text{ cm}, s = 1,1 \text{ cm}, t = 1,9 \text{ cm}, A = 149 \text{ cm}^2, I_y = 25170 \text{ cm}^4$$

- Querschnittswerte Obergurt + 1/5 Steg

$$h' = h - 2 * t = 30 - 2 * 1,9 = 26,2 \text{ cm}$$

$$h_{1/5 \text{ Steg}} = \frac{h'}{5} = \frac{26,2}{5} = 5,24 \text{ cm}$$

$$z_{OG} = \frac{h - t}{2} = \frac{30 - 1,9}{2} = 14,05 \text{ cm}$$

$$z_{1/5 \text{ Steg}} = \frac{h' - h_{1/5 \text{ Steg}}}{2} = \frac{26,2 - 5,24}{2} = 10,48 \text{ cm}$$

$$\text{Fläche: } A_{OG} = b \cdot t + \frac{h'}{5} \cdot s = 30 \cdot 1,9 + \frac{26,2}{5} \cdot 1,1 = 62,76 \text{ cm}^2$$

Flächenmomente 1. Grades:

$$S_{y,OG} = h \cdot t \cdot z_{OG} + h_{1/5\text{Steg}} \cdot s \cdot z_{1/5\text{Steg}} = 30 \cdot 1,9 \cdot 14,05 + 5,24 \cdot 1,1 \cdot 10,48 = 861 \text{ cm}^3$$

$$S_{z,OG} = \frac{b^2}{8} \cdot t + \frac{s^2}{8} \cdot h_{1/5\text{Steg}} = \frac{30^2}{8} \cdot 1,9 + \frac{1,1^2}{8} \cdot 5,24 = 214,5 \text{ cm}^3$$

Flächenmoment 2. Grades:

$$I_{z,OG} = \frac{h^3 \cdot t}{12} + \frac{s^3 \cdot h_{1/5\text{Steg}}}{12} = \frac{30^3 \cdot 1,9}{12} + \frac{1,1^3 \cdot 5,24}{12} = 4275,6 \text{ cm}^4$$

Widerstandsmoment:

$$W_{z,OG} = \frac{I_{z,OG}}{\frac{b}{2}} = \frac{4275,6}{\frac{30}{2}} = 285 \text{ cm}^3$$

Trägheitsradius

$$i_{z,OG} = \sqrt{\frac{I_{z,OG}}{A_{OG}}} = \sqrt{\frac{4275,6}{62,76}} = 8,25 \text{ cm}$$

Normalkraft im plastischen Zustand

$$N_{OG,pl,d} = A_{OG} \cdot \frac{f_{y,k}}{\gamma_M} = 62,76 \cdot \frac{24}{1,1} = 1369,3 \text{ kN}$$

Biegemoment im plastischen Zustand

$$M_{z,OG,pl,d} = 2 \cdot S_{z,OG} \cdot \frac{f_{y,k}}{\gamma_M} = 2 \cdot 214,5 \cdot \frac{24}{1,1} = 93,60 \text{ kNm}$$

$$M_{z,OG,pl,d} = 93,60 \text{ kNm} \geq 1,25 \cdot \frac{f_{y,k}}{\gamma_M} \cdot W_{z,OG} = 1,25 \cdot \frac{24}{1,1} \cdot 285 = 77,73 \text{ kNm}$$

$$M_{z,OG,pl,d} = 77,73 \text{ kNm}$$

Schnittgrößen:

– Radlaststellung 1 maxM<sub>y</sub>

$$M_{1,y,k} = 130,48 \text{ kNm} \quad M_{1,y,g,k} = 5,69 \text{ kNm} \quad M_{1,z,k} = 22,79 \text{ kNm}$$

Biegemomente

$$M_{1,z,d} = \gamma_F \cdot \psi \cdot M_{1,z,k} = 1,5 \cdot 0,9 \cdot 22,79 = 30,77 \text{ kNm}$$

$$M_{1,y,d} = \gamma_F \cdot M_{1,y,g,k} + \gamma_F \cdot \psi \cdot M_{1,y,k} = 1,35 \cdot 5,69 + 1,5 \cdot 0,9 \cdot 130,48 = 183,83 \text{ kNm}$$

Normalkraft im Obergurt

$$N_{1,OG,d} = \frac{M_{1,y,d} \cdot S_{y,OG}}{I_y} = \frac{183,83 \cdot 100 \cdot 861}{25170} = 628,8 \text{ kN}$$

– Radlaststellung 2 maxM<sub>z</sub>

$$M_{2,y,k} = 119,52 \text{ kNm} \quad M_{2,y,g,k} = 5,99 \text{ kNm} \quad M_{2,z,k} = 23,92 \text{ kNm}$$

Biegemomente

$$M_{2,z,d} = \gamma_F * \psi * M_{2,z,k} = 1,5 * 0,9 * 23,92 = 32,29 \text{ kNm}$$

Normalkraft im Obergurt

$$N_{2,OG,d} = \frac{M_{2,y,d} * S_{y,OG}}{I_y} = \frac{169,44 * 100 * 861}{25170} = 579,6 \text{ kN}$$

Nachweis des Obergurtes gegen Biegeknicken nach DIN 18800-2 El. (314):

Knicklänge

$$s_k = \beta * l = 1,0 * 6 = 6,0 \text{ m}$$

Schlankheitsgrad

$$\lambda_k = \frac{s_k}{i_{z,OG}} = \frac{600}{8,25} = 72,73$$

Bezogener Schlankheitsgrad

$$\bar{\lambda}_k = \frac{\lambda_k}{\lambda_a} = \frac{72,73}{92,9} = 0,78$$

Knickspannungslinie und Abminderungsfaktor  $\kappa$

$$\text{HEB300} \quad \frac{h}{b} = \frac{300}{300} = 1,0 < 1,2 \quad t = 19 \text{ mm} < 80 \text{ mm}$$

Ausweichen rechtwinklig zur z-Achse  $\rightarrow$  KSL c  $\rightarrow \kappa = 0,675$  für  $\bar{\lambda}_k = 0,78$

Wert  $\Delta n$

$$\Delta n_1 = \frac{N_{1,OG,d}}{\kappa * N_{OG,pl,d}} * \left( 1 - \frac{N_{1,OG,d}}{\kappa * N_{OG,pl,d}} \right) * \kappa^2 * \bar{\lambda}_k^2 \leq 0,1$$

$$\Delta n_1 = \frac{628,8}{0,675 * 1369,3} * \left( 1 - \frac{628,8}{0,675 * 1369,3} \right) * 0,675^2 * 0,78^2 = 0,06 < 0,1$$

$$\Delta n_2 = \frac{N_{2,OG,d}}{\kappa * N_{OG,pl,d}} * \left( 1 - \frac{N_{2,OG,d}}{\kappa * N_{OG,pl,d}} \right) * \kappa^2 * \bar{\lambda}_k^2 \leq 0,1$$

$$\Delta n_2 = \frac{579,6}{0,675 * 1369,3} * \left( 1 - \frac{579,6}{0,675 * 1369,3} \right) * 0,675^2 * 0,78^2 = 0,06 < 0,1$$

Momentenbeiwert für Biegeknicken nach DIN 18800-2 Tab. 11

Momentenverlauf gemäß Spalte 1, Zeile 2

Momentenbeiwert für Biegeknicken gemäß Spalte 2, Zeile 2  $\beta_m = 1,0$



## Nachweise

$$\frac{N_{1,OG,d}}{\kappa * N_{OG,pl,d}} + \frac{\beta_m * M_{1,z,d}}{M_{z,OG,pl,d}} \leq 1,0$$

$$\frac{628,8}{0,675 * 1369,3} + \frac{1,0 * 30,77}{77,73} + 0,06 = 1,14 > 1,0$$

$$\frac{N_{2,OG,d}}{\kappa * N_{OG,pl,d}} + \frac{\beta_m * M_{2,z,d}}{M_{z,OG,pl,d}} \leq 1,0$$

$$\frac{579,6}{0,675 * 1369,3} + \frac{1,0 * 32,29}{77,73} + 0,06 = 1,10 > 1,0$$

Der BDk-Nachweis ist nicht erfüllt! Der Querschnitt muss verstärkt werden!

➤ **Biegedrillknicknachweis nach dem Ersatzstabverfahren**

Querschnittswerte:

HEB 300 mit Schiene (Schiene als nicht mittragend angenommen)

$h = 30 \text{ cm}$ ,  $b = 30 \text{ cm}$ ,  $s = 1,1 \text{ cm}$ ,  $t = 1,9 \text{ cm}$ ,  $A = 149 \text{ cm}^2$ ,  $I_y = 25170 \text{ cm}^4$ ,

$h_{\text{Schiene}} = 40 \text{ mm}$ ,  $b_{\text{Schiene}} = 50 \text{ mm}$

Abstand der Schieneoberkante (Lastangriffspunkt der Schräglaufkraft) zum Schubmittelpunkt (= Schwerpunkt) des Kranbahnträgers HEB 300

$$e_z = \frac{h}{2} + h_{\text{Schiene}} = \frac{30}{2} + 4,0 = 19 \text{ cm}$$

Schnittgrößen:

Schräglauflkraft  $H_{S,k}^* = 15,95 \text{ kN}$

– Radlaststellung 1  $\max M_y$

$M_{1,y,k} = 130,48 \text{ kNm}$      $M_{1,y,g,k} = 5,69 \text{ kNm}$      $M_{1,z,k} = 22,79 \text{ kNm}$

Biegemomente

$$M_{1,z,d} = \gamma_F * \psi * M_{1,z,k} = 1,5 * 0,9 * 22,79 = 30,77 \text{ kNm}$$

$$M_{1,y,d} = \gamma_F * M_{1,y,g,k} + \gamma_F * \psi * M_{1,y,k} = 1,35 * 5,69 + 1,5 * 0,9 * 130,48 = 183,83 \text{ kNm}$$

– Radlaststellung 2  $\max M_z$

$M_{2,y,k} = 119,52 \text{ kNm}$      $M_{2,y,g,k} = 5,99 \text{ kNm}$      $M_{2,z,k} = 23,92 \text{ kNm}$

Biegemomente

$$M_{2,z,d} = \gamma_F * \psi * M_{2,z,k} = 1,5 * 0,9 * 23,92 = 32,29 \text{ kNm}$$

$$M_{2,y,d} = \gamma_F * M_{2,y,g,k} + \gamma_F * \psi * M_{2,y,k} = 1,35 * 5,99 + 1,5 * 0,9 * 119,52 = 169,44 \text{ kNm}$$

Umrechnung des Torsionsmomentes in ein Zusatzquerbiegemoment:

**Anmerkung:**

Das Zusatzquerbiegemoment darf vereinfacht, auf der sicheren Seite liegend, mit  $M_{z,d}^o = M_{z,d}$  angenommen werden. Diese Annahme resultiert aus dem Modell des Tragwirkungssplittings, bei dem die Horizontallast nur durch den Obergurt abgetragen wird, unter Vernachlässigung der Torsion. Da nun der gesamte Querschnitt (Ober- und Untergurt) zur Abtragung der Horizontallast herangezogen wird, wird der Träger, um die Torsion zu berücksichtigen, mit dem doppeltem Querbiegemoment  $M_{z,d}$  belastet.

(Vgl. Seeßelberg, C.: Kranbahnen Bemessung und konstruktive Gestaltung, 3. Auflage, Bauwerk-Verlag, Berlin 2009, S.174)

Torsionsmoment  $M_{T,d} = \gamma_F * \psi * H_{S,k}^* * e_z = 1,5 * 0,9 * 15,95 * 19 = 409,12 \text{ kNcm}$

- Radlaststellung 1 an der Stelle  $x = 2,33 \text{ m}$

Wölbbimoment

$$M_{1,\omega,d} = \frac{M_{T,d}}{\lambda} * \left( \frac{\sinh(\lambda * (1-x))}{\sinh(\lambda * 1)} * \sinh(\lambda * x) \right)$$

$$M_{1,\omega,d} = \frac{409,12}{0,0065} * \left( \frac{\sinh(0,0065 * (600 - 233))}{\sinh(0,0065 * 600)} * \sinh(0,0065 * 233) \right) = 29707 \text{ kNcm}^2$$

zusätzliches Querbiegemoment

$$M_{1,z,d}^* = 2 * \frac{M_{1,\omega,d}}{h-t} = 2 * \frac{29707}{30-1,9} = 21,14 \text{ kNm}$$

- Radlaststellung 2 an der Stelle  $x = l/2 = 3,0 \text{ m}$

Wölbbimoment

$$M_{2,\omega,d} = \frac{M_{T,d}}{\lambda} * \left( \frac{\sinh(\lambda * (1-x))}{\sinh(\lambda * 1)} * \sinh(\lambda * x) \right)$$

$$M_{2,\omega,d} = \frac{409,12}{0,0065} * \left( \frac{\sinh(0,0065 * (600 - 300))}{\sinh(0,0065 * 600)} * \sinh(0,0065 * 300) \right) = 30222 \text{ kNcm}^2$$

zusätzliches Querbiegemoment

$$M_{2,z,d}^* = 2 * \frac{M_{2,\omega,d}}{h-t} = 2 * \frac{30222}{30-1,9} = 21,51 \text{ kNm}$$

BGDK-Nachweis nach DIN 18800-2 EI. (321):

Ideales Biegedrillknickmoment  $M_{ki,y,d}$  vereinfacht nach DIN 18800-2 Gl. (20)

Einschränkung:  $h_{HEB300} = 300 \text{ mm} < 600 \text{ mm}$

$$M_{ki,y,d} = \frac{1,32 \cdot b \cdot t \cdot E \cdot I_y}{l \cdot h^2 \cdot \gamma_M} = \frac{1,32 \cdot 30 \cdot 1,9 \cdot 21000 \cdot 25170}{600 \cdot 30^2 \cdot 1,1} = 669,5 \text{ kNm}$$

Bezogener Schlankheitsgrad

$$\bar{\lambda}_M = \sqrt{\frac{M_{pl,y,d}}{M_{ki,y,d}}} = \sqrt{\frac{418}{669,5}} = 0,79$$

Trägerbeiwert und Abminderungsfaktor  $\kappa_M$

$$n=2,5 \text{ (gewalzte Träger)} \rightarrow \kappa_M = 0,9 \text{ für } \bar{\lambda}_M = 0,79$$

Beiwerte zur Berücksichtigung des Momentenverlaufs

$k_y = 1,0$  und  $k_z = 1,0$ , da  $N=0$

Nachweis

– Radlaststellung 1

$$\frac{M_{1,y,d}}{\kappa_M \cdot M_{pl,y,d}} \cdot k_y + \frac{M_{1,z,d} + M_{1,z,d}^*}{M_{pl,z,d}} \cdot k_z \leq 1,00$$

$$\frac{183,83}{0,9 \cdot 418} \cdot 1,0 + \frac{30,77 + 21,14}{190} \cdot 1,0 = 0,76 < 1,0$$

– Radlaststellung 2

$$\frac{M_{2,y,d}}{\kappa_M \cdot M_{pl,y,d}} \cdot k_y + \frac{M_{2,z,d} + M_{2,z,d}^*}{M_{pl,z,d}} \cdot k_z \leq 1,00$$

$$\frac{169,44}{0,9 \cdot 418} \cdot 1,0 + \frac{32,29 + 21,51}{190} \cdot 1,0 = 0,73 < 1,0$$

Der BGDK-Nachweis ist erfüllt!

### 2.1.5.5 Beulnachweis

Querschnittswerte

Beulfeldlänge  $a = 600 \text{ cm}$ , Beulfeldbreite  $b = h_1 = 20,8 \text{ cm}$ , Beulfeldstärke  $t = s = 1,1 \text{ cm}$ ,  
 $I_y = 25170 \text{ cm}^4$

## Schnittgrößen

$$M_{y,k} = 130,48 \text{ kNm} \quad M_{y,g,k} = 5,69 \text{ kNm} \quad V_{z,k} = 56,00 \text{ kN} \quad V_{z,g,k} = 0,89 \text{ kN}$$

$$\text{Radlast } F_k = 72,48 \text{ kN}$$

$$M_{y,d} = \gamma_F \cdot M_{y,k} + \gamma_G \cdot M_{y,g,k} = 1,35 \cdot 5,69 + 1,5 \cdot 130,48 = 203,4 \text{ kNm}$$

$$Q_{z,d} = \gamma_F \cdot Q_{z,k} + \gamma_G \cdot Q_{z,g,k} = 1,35 \cdot 0,89 + 1,5 \cdot 56 = 85,20 \text{ kN}$$

$$F_d = \gamma_F \cdot F_k = 1,5 \cdot 72,48 = 108,7 \text{ kN}$$

## Radlasteinleitungslänge

$$c = 2 \cdot (t + h_{0,75 \cdot \text{Schiene}} + r) + 5 \text{ cm} = 2 \cdot (1,9 + 3 + 2,7) + 5 = 20,2 \text{ cm}$$

## Spannungen

$$\sigma_{x,d} = \frac{M_{y,d}}{I_y} \cdot \frac{b}{2} = \frac{203,4 \cdot 100}{25170} \cdot \frac{20,8}{2} = 8,40 \frac{\text{kN}}{\text{cm}^2}$$

$$\sigma_{y,d} = \frac{F_d}{c \cdot t} = \frac{108,7}{20,2 \cdot 1,1} = 4,89 \frac{\text{kN}}{\text{cm}^2}$$

$$\tau_{xz,d} = \frac{Q_{z,d}}{A_{\text{Steg}}} = \frac{85,20}{20,8 \cdot 1,1} = 3,72 \frac{\text{kN}}{\text{cm}^2}$$

## Hilfswerte

$$\alpha = \frac{a}{b} = \frac{600}{20,8} = 28,85$$

$$\beta = \frac{c}{a} = \frac{20,2}{600} = 0,034$$

$$\psi = \frac{\sigma_{xu}}{\sigma_{xo}} = -1$$

## Bezugsspannung

$$\sigma_e = 18980 \cdot \left( \frac{t}{b} \right)^2 = 18980 \cdot \left( \frac{1,1}{20,8} \right)^2 = 53,08 \frac{\text{kN}}{\text{cm}^2}$$

## Beulwerte k und ideale Einzelbeulspannungen

$$\alpha = 28,85 > \frac{2}{3} \rightarrow k_{\alpha_x} = 23,9$$

$$\sigma_{x,pi} = k_{\alpha} \cdot \sigma_e = 23,9 \cdot 53,08 = 1268,6 \frac{\text{kN}}{\text{cm}^2}$$

$$\alpha = 28,85 > 1 \rightarrow k_{\tau} = 5,34 + \frac{4,00}{\alpha^2} = 5,34 + \frac{4,00}{28,85^2} = 5,34$$

$$\tau_{pi} = k_{\tau} \cdot \sigma_e = 5,34 \cdot 53,08 = 283,4 \frac{\text{kN}}{\text{cm}^2}$$

$$\alpha^* = \frac{\alpha}{2} = \frac{28,85}{2} = 14,43 \quad \beta^* = 2 * \beta = 2 * 0,034 = 0,068$$

$$k_{\sigma_y}^* = 0,255 \text{ (interpoliert)} \quad k_{\sigma_y} = \frac{k_{\sigma_y}^*}{2} = \frac{0,255}{2} = 0,128$$

$$\sigma_{yPi} = k_{\sigma_y} * \sigma_e * \frac{a}{c} = 0,128 * 53,08 * \frac{600}{20,2} = 201,8 \frac{\text{kN}}{\text{cm}^2}$$

Abminderungsfaktoren  $\kappa$

$$\bar{\lambda}_{p\sigma x} = \sqrt{\frac{f_{y,k}}{\sigma_{Pi}}} = \sqrt{\frac{24}{1268,6}} = 0,138 < 0,673 \rightarrow \kappa_x = 1,00$$

$$\bar{\lambda}_{p\sigma y} = \sqrt{\frac{f_{y,k}}{\sigma_{yPi}}} = \sqrt{\frac{24}{201,8}} = 0,345 < 0,673 \rightarrow \kappa_y = 1,00$$

$$\bar{\lambda}_{p\tau} = \sqrt{\frac{f_{y,k}}{\tau_{Pi} * \sqrt{3}}} = \sqrt{\frac{24}{283,4 * \sqrt{3}}} = 0,221 < 0,673 \rightarrow \kappa_\tau = 1,00$$

Knickstabähnliches Verhalten DIN 18800-3 EI. (602)

In x-Richtung:

Hilfswerte

$$2 \leq \Lambda_{\sigma x} = \bar{\lambda}_{p\sigma x}^2 + 0,5 \leq 4$$

$$\Lambda_{\sigma x} = 0,138^2 + 0,5 = 0,52 \leq 2$$

$$\frac{\sigma_{x,Pi}}{\sigma_{xKi}} = k_{\sigma_x} * \alpha^2 = 23,9 * 28,85^2 = 19892,5$$

Wichtungsfaktor  $\rho_x$

$$\rho_x = \frac{\Lambda_{\sigma x} - \frac{\sigma_{x,Pi}}{\sigma_{xKi}}}{\Lambda_{\sigma x} - 1} > 0$$

$$\rho_x = \frac{2 - 19892,5}{2 - 1} = -19890,5 < 0 \rightarrow \text{kein knickstabähnliches Verhalten}$$

In y-Richtung:

Hilfswerte

$$2 \leq \Lambda_{\sigma y} = \bar{\lambda}_{p\sigma y}^2 + 0,5 \leq 4$$

$$\Lambda_{\sigma y} = 0,345^2 + 0,5 = 0,61 \leq 2$$

$$\sigma_{yki} = 1,88 * \sigma_e = 1,88 * 53,08 = 99,79 \frac{\text{kN}}{\text{cm}^2}$$

Wichtungsfaktor  $\rho_x$

$$\rho_y = \frac{\Lambda_{\sigma y} - \frac{\sigma_{y, Pi}}{\sigma_{yKi}}}{\Lambda_{\sigma y} - 1} > 0$$

$$\rho_y = \frac{2 - \frac{201,8}{99,79}}{2 - 1} = -0,02 \approx 0 \rightarrow \text{knickstabähnliches Verhalten berücksichtigen}$$

Abminderungsfaktor

$$\bar{\lambda}_{p\sigma y} = 0,345 > 0,2$$

$$k = 0,5 * \left( 1 + 0,34 * (\bar{\lambda}_{p\sigma y} - 0,2) + \bar{\lambda}_{p\sigma y}^2 \right) = 0,5 * (1 + 0,34 * (0,345 - 0,2) + 0,345^2) = 0,584$$

$$\kappa_{yK} = \frac{1}{k + \sqrt{k^2 - \bar{\lambda}_{p\sigma y}^2}} = \frac{1}{0,584 + \sqrt{0,584^2 - 0,345^2}} = 0,95$$

$$\kappa_{yPK} = (1 - \rho_y^2) * \kappa_y + \rho_y^2 * \kappa_{yK} = (1 - 0^2) * 1,0 + 0^2 * 0,95 = 1,0$$

$$\kappa_{\Sigma y} = \kappa_{yPK} = 1,0$$

Grenzbeulspannungen

$$\sigma_{xP, R, d} = \kappa_x * \frac{f_{y, k}}{\gamma_M} = 1,0 * \frac{24}{1,1} = 21,8 \frac{\text{kN}}{\text{cm}^2}$$

$$\sigma_{yP, R, d} = \kappa_{\Sigma y} * \frac{f_{y, k}}{\gamma_M} = 1,0 * \frac{24}{1,1} = 21,8 \frac{\text{kN}}{\text{cm}^2}$$

$$\tau_{P, R, d} = \kappa_\tau * \frac{f_{y, k}}{\gamma_M * \sqrt{3}} = 1,0 * \frac{24}{1,1 * \sqrt{3}} = 12,6 \frac{\text{kN}}{\text{cm}^2}$$

Einzelnachweis

$$\frac{\sigma_{x, d}}{\sigma_{xP, R, d}} = \frac{8,40}{21,8} = 0,39 < 1,0$$

$$\frac{\sigma_{y, d}}{\sigma_{yP, R, d}} = \frac{4,89}{21,8} = 0,22 < 1,0$$

$$\frac{\tau_{xz, d}}{\tau_{P, R, d}} = \frac{3,72}{12,6} = 0,30 < 1,0$$

Interaktionsnachweis

Hilfswerte

$$e_1 = 1 + \kappa_x^4 = 1 + 1,0^4 = 2$$

$$e_2 = 1 + \kappa_{\Sigma y}^4 = 1 + 1,0^4 = 2$$

$$e_3 = 1 + \kappa_x * \kappa_{\Sigma y} * \kappa_\tau^2 = 1 + 1,0 * 1,0 * 1,0^2 = 2$$

$$V = (\kappa_x * \kappa_{\Sigma y})^6 = (1,0 * 1,0)^6 = 1,0$$

## Nachweis

$$\left(\frac{|\sigma_{x,d}|}{\sigma_{xP,R,d}}\right)^{e_1} + \left(\frac{|\sigma_{y,d}|}{\sigma_{yP,R,d}}\right)^{e_2} - V * \left(\frac{|\sigma_{x,d} * \sigma_{y,d}|}{\sigma_{xP,R,d} * \sigma_{yP,R,d}}\right) + \left(\frac{\tau_{xz,d}}{\tau_{P,R,d}}\right)^{e_3} \leq 1$$

$$\left(\frac{|8,40|}{21,8}\right)^2 + \left(\frac{|4,89|}{21,8}\right)^2 - 1 * \left(\frac{|8,40 * 4,89|}{21,8 * 21,8}\right) + \left(\frac{3,72}{12,6}\right)^2 = 0,28 < 1$$

## 2.1.5.6 Betriebsfestigkeitsnachweis

## Querschnittswerte

## Flächenmoment 1. Grades der Schiene

$$S_{y,Schiene} = A_{Schiene} * \left(\frac{h_{HEB300}}{2} + \frac{h_{Schiene}}{2}\right) = 4,0 * 5,0 * \left(\frac{30}{2} + \frac{4,0}{2}\right) = 340 \text{ cm}^3$$

## Flächenmoment 2. Grades des Trägers

$$I_y = 25170 \text{ cm}^4$$

## Radlasteinleitungslänge

$$c = 2 * (t + h_{0,75 * Schiene} + r) + 5 \text{ cm} = 2 * (1,9 + 3 + 2,7) + 5 = 20,2 \text{ cm}$$

## Schnittgrößen

$$M_{y,k} = 130,48 \text{ kNm} \quad M_{y,g,k} = 5,69 \text{ kNm} \quad V_{z,k} = 112,08 \text{ kN} \quad V_{z,g,k} = 3,99 \text{ kN}$$

$$\text{Radlast } F_k = 72,48 \text{ kN}$$

$$M_{y,d} = \gamma_F * M_{y,g,k} + \gamma_F * M_{y,k} = 1,0 * 5,69 + 1,0 * 130,48 = 136,17 \text{ kNm}$$

$$V_{z,d} = \gamma * V_{z,g,k} + \gamma * V_{z,k} = 1,0 * 3,99 + 1,0 * 112,08 = 116,07 \text{ kN}$$

$$F_d = \gamma * F_k = 1,0 * 72,48 = 72,48 \text{ kN}$$

Nr.	NW-Stelle in Trägerlängsrichtung	NW-Stelle im Querschnitt	Kerbfall	Nachzuweisende Spannung
1	Überall	Kehlnaht Schiene/Obergurt	K 453	$\bar{\sigma}_\perp$
2	Überall	Kehlnaht Schiene/Obergurt	-	$\bar{\tau}_\perp$
3	Überall	Stegansatz	W 13	$\bar{\sigma}_z$
4	Feld, maxM <sub>y</sub>	Obergurt-Oberseite	K 123	$\sigma_x$
5	Auflager	Kehlnaht Schiene/Obergurt	-	$\bar{\tau}_\parallel + \tau_\parallel$
6	Auflager	Stegansatz	-	$\bar{\tau}_{xz} + \tau_{xz}$

Tabelle 17: Nachweisstellen für den Betriebsfestigkeitsnachweis

Quelle: Eigene Darstellung

Nr. 1:

Spannung

$$\max \bar{\tau}_{\perp} = \max \bar{\sigma}_{\perp} = \frac{F_d}{(2 \cdot h + 5 \text{ cm}) \cdot 2 a_w} = \frac{72,48}{(2 \cdot 3,0 + 5) \cdot 2 \cdot 0,5} = -6,59 \frac{\text{kN}}{\text{cm}^2}$$

$$\max \bar{\sigma}_{\perp} = 0 \frac{\text{kN}}{\text{cm}^2} \quad \kappa = \frac{0}{-6,59} = 0; \text{ Kerbfall K453} \rightarrow \text{grenz } \sigma_{Be} = 15,28 \frac{\text{kN}}{\text{cm}^2}$$

**Anmerkung:**

Die zulässige Spannung grenz  $\sigma_{Be}$  muss nach DIN 4132 Abs. 4.4.5 nicht abgemindert werden, da die Zwängungsspannungen aus Radlasteinleitung berücksichtigt werden.

Nachweis

$$\frac{\max \bar{\sigma}_{\perp}}{\text{grenz } \sigma_{Be}} = \frac{6,59}{15,28} = 0,43 < 1,0$$

Kombinierter Nachweis nach DIN 4132 Abs. 4.4.3

Zwei Lastspiele pro Spannungsspiel (2 Räder mit gleicher Radlast überfahren den Träger)

Kerbfall K 4  $\rightarrow k = 3,323$ 

$$\sum \left( \frac{\max \bar{\sigma}_{\perp}}{\text{grenz } \sigma_{Be}} \right)^k = 2 \cdot \left( \frac{6,59}{15,28} \right)^{3,323} = 0,122 < 1,0$$

Nr. 2:

Spannungen

$$\max \bar{\tau}_{\perp} = -6,59 \frac{\text{kN}}{\text{cm}^2}$$

$$\max \bar{\tau}_{\perp} = 0 \frac{\text{kN}}{\text{cm}^2} \quad \kappa = \frac{0}{-6,59} = 0; \text{ Kehlnaht} \rightarrow \text{grenz } \tau_{Be} = 16,97 \cdot 0,6 = 10,18 \frac{\text{kN}}{\text{cm}^2}$$

**Anmerkung:**

Die zulässige Spannung grenz  $\tau_{Be}$  muss nach DIN 4132 Abs. 4.4.5 mit dem Faktor 0,6 abgemindert werden, da es sich bei der Nachweisstelle um eine Kehlnaht handelt. Des weiteren darf im Schwellbereich  $0 \leq \kappa \leq +1$  mit höheren grenz  $\tau_{Be}$ -Spannungen nach DIN 4132 Tab. 3 gerechnet werden.



$$\kappa = 0; \text{ Beanspruchungsgruppe B3} \rightarrow \text{grenz } \sigma_{\text{Be},z,0} = \frac{5}{3} * \text{grenz } \sigma_{\text{Be},-1} = \frac{5}{3} * 20,18 = 33,63 \frac{\text{kN}}{\text{cm}^2}$$

$$\text{grenz } \tau_{\text{Be},\kappa} = \frac{\text{grenz } \sigma_{\text{Be},z,\kappa}}{\sqrt{2}}$$

Kehlnaht  $\rightarrow$  Faktor 0,6

$$\text{grenz } \tau_{\text{Be},0} = \frac{\text{grenz } \sigma_{\text{Be},z,0}}{\sqrt{2}} * 0,6 = \frac{33,63}{\sqrt{2}} * 0,6 = 14,27 \frac{\text{kN}}{\text{cm}^2}$$

Nachweis

$$\frac{\max \bar{\tau}_{\perp}}{\text{grenz } \tau_{\text{Be},0}} = \frac{6,59}{14,27} = 0,46 < 1,0$$

Kombinierter Nachweis nach DIN 4132 Abs. 4.4.3

Zwei Lastspiele pro Spannungsspiel (2 Räder mit gleicher Radlast überfahren den Träger)

$$\sum \left( \frac{\max \bar{\tau}_{\perp}}{\text{grenz } \tau_{\text{Be},0}} \right)^k = 2 * \left( \frac{6,59}{14,27} \right)^{3,323} = 0,15 < 1,0$$

Nr. 3:

Spannung

$$\max \bar{\sigma}_z = \frac{F_d}{c * s} = \frac{72,48}{20,2 * 1,1} = -3,26 \frac{\text{kN}}{\text{cm}^2}$$

$$\max \bar{\sigma}_z = 0 \frac{\text{kN}}{\text{cm}^2} \quad \kappa = \frac{0}{-3,26} = 0; \text{ Kerbfall W13} \rightarrow \text{grenz } \sigma_{\text{Be}} = 24,0 \frac{\text{kN}}{\text{cm}^2}$$

**Anmerkung:**

Die zulässige Spannung grenz  $\sigma_{\text{Be}}$  muss nach DIN 4132 Abs. 4.4.5 nicht abgemindert werden, da die Zwängungsspannungen aus Radlasteinleitung berücksichtigt werden.

Nachweis

$$\frac{\max \bar{\sigma}_z}{\text{grenz } \sigma_{\text{Be}}} = \frac{3,26}{24} = 0,14 < 1,0$$

Kombinierter Nachweis nach DIN 4132 Abs. 4.4.3

Zwei Lastspiele pro Spannungsspiel (2 Räder mit gleicher Radlast überfahren den Träger)

Kerbfall W1  $\rightarrow k = 6,635$

$$\sum \left( \frac{\max \bar{\sigma}_z}{\text{grenz } \sigma_{\text{Be}}} \right)^k = 2 * \left( \frac{3,26}{24} \right)^{6,635} \approx 0,00 < 1,0$$

Nr. 4:

## Schnittgrößen

$$\max M_{y,d} = M_{y,d} = 136,17 \text{ kNm}$$

$$\min M_{y,d} = \gamma_F * M_{y,g,k} = 1,0 * 5,69 = 5,69 \text{ kNm}$$

$$\kappa = \frac{-5,69}{-136,17} = 0,04; \text{ Kerbfall K123} \rightarrow \text{grenz } \sigma_{Be} = 24 \frac{\text{kN}}{\text{cm}^2} > 16,00 \frac{\text{kN}}{\text{cm}^2}$$

## Spannung

$$\max \sigma_x = \frac{\max M_{y,d}}{W_y} = \frac{136,17 * 100}{1680} = -8,1 \frac{\text{kN}}{\text{cm}^2}$$

## Nachweis

$$\frac{\max \sigma_x}{\text{grenz } \sigma_{Be}} = \frac{8,1}{16} = 0,51 < 1,0$$

Nr. 5:

## Spannungen

$$\tau_{||} = \frac{V_{z,d} * S_{y,Schiene}}{I_y * 2 * a} = \frac{116,07 * 340}{25170 * 2 * 0,5} = 1,57 \frac{\text{kN}}{\text{cm}^2}$$

$$\bar{\tau}_{||} = 0,2 * \bar{\sigma}_{\perp} = 0,2 * 6,59 = 1,32 \frac{\text{kN}}{\text{cm}^2}$$

$$\max \tau_{||} = \tau_{||} + \bar{\tau}_{||} = 1,57 + 1,32 = 2,89 \frac{\text{kN}}{\text{cm}^2}$$

$$\min \tau_{||} = \frac{V_{z,g,d} * S_{y,Schiene}}{I_y * 2 * a} = \frac{3,99 * 340}{25170 * 2 * 0,5} = 0,05 \frac{\text{kN}}{\text{cm}^2}$$

$$\kappa = \frac{0,05}{2,89} = 0,02; \text{ Kehlnaht} \rightarrow \text{grenz } \tau_{Be} = 16,97 * 0,6 = 10,18 \frac{\text{kN}}{\text{cm}^2}$$

## Nachweis

$$\frac{\max \tau_{||}}{\text{grenz } \tau_{Be}} = \frac{2,89}{10,18} = 0,28 < 1,0$$

Nr. 6:

## Spannungen

$$\tau_{xz} = \frac{V_{z,d}}{A_{Steg}} = \frac{116,07}{30,9} = 3,76 \frac{\text{kN}}{\text{cm}^2}$$

$$\bar{\tau}_{xz} = 0,2 * \max \bar{\sigma}_z = 0,2 * 3,26 = 0,65 \frac{\text{kN}}{\text{cm}^2}$$

$$\max \tau_{\text{gesamt}} = 3,76 + 0,65 = 4,41 \frac{\text{kN}}{\text{cm}^2}$$

$$\min \tau_{xz} = \frac{V_{z,g,d}}{A_{\text{Steg}}} = \frac{3,99}{30,9} = 0,13 \frac{\text{kN}}{\text{cm}^2}$$

$$\kappa = \frac{0,13}{4,41} = 0,03; \text{ Schubspannung} \rightarrow \text{grenz } \tau_{\text{Be}} = 13,86 \frac{\text{kN}}{\text{cm}^2}$$

Nachweis

$$\frac{\max \tau_{\text{gesamt}}}{\text{grenz } \tau_{\text{Be}}} = \frac{4,41}{13,86} = 0,32 < 1,0$$

### 2.1.5.7 Gebrauchstauglichkeitsnachweis

Einwirkungen

Eigengewicht  $g_k = 1,33 \frac{\text{kN}}{\text{m}}$

Radlasten (ohne Schwingbeiwert)  $F_{1,k} = R_{1,k} = 60,40 \text{ kN}$

$$F_{2,k} = R_{2,k} = 60,00 \text{ kN}$$

Schräglaufrkraft  $H_{s,k}^* = 15,95 \text{ kN}$

Einwirkungskombination

$$\gamma_F * g_k + \gamma_F * F_{1,k} + \gamma_F * F_{2,k} + \gamma_F * H_{s,k}^* = 1,0 * g_k + 1,0 * F_{1,k} + 1,0 * F_{2,k} + 1,0 * H_{s,k}^*$$

Vorhandene Durchbiegung

Durchbiegungswerte ermittelt mit Statikprogramm RSTAB 5.14

vorh  $\delta_z = 9,9 \text{ mm}$  (Radlaststellung 1 max  $M_{y,k}$ )

vorh  $\delta_y = 4,4 \text{ mm}$  (Radlaststellung 2 max  $M_{z,k}$ )

Zulässige Durchbiegungen nach EC3-6 Tab. 7.1 und 7.2

$$\text{zul } \delta_z = \frac{1}{600} = \frac{6000}{600} = 10 \text{ mm}$$

$$\text{zul } \delta_y = \frac{1}{600} = \frac{6000}{600} = 10 \text{ mm}$$

Nachweis

$$\frac{\text{vorh } \delta_z}{\text{zul } \delta_z} = \frac{9,9}{10} = 0,99 < 1,0$$

$$\frac{\text{vorh } \delta_y}{\text{zul } \delta_y} = \frac{4,4}{10} = 0,44 < 1,0$$

## 2.2 Hallentragwerke aus Stahl in Rahmenbauweise

Typisch für Hallentragwerke aus Stahl ist die Rahmenbauweise als Zweigelenkrahmen, bei der die Rahmenriegel biegesteif mit den Stützen verbunden sind und die Auflager der Stützen als Gelenk ausgebildet werden.

Vorteile des Zweigelenkrahmens gegenüber Hallensystemen mit eingespannten Stützen und gegelenkig gelagerten Riegeln sind:

- einfach zu realisierende Fußkonstruktion
- kleinere Fundamentabmessung, da keine Biegemomente vom Fundament übertragen werden müssen
- geringere Bauhöhe des Riegelquerschnittes aufgrund der Reduzierung des Feldmomentes des Rahmenriegels durch die biegesteifen Riegel-Stützen-Anschlüsse

Nachteilig ist, dass die Stützen neben der Normalkraft durch lotrechte Lasten auch die Eckmomente übertragen müssen, die in der Regel größer sind als die Einspannmomente eingespannter Stützen. Aufgrund dessen müssen hierfür größere Querschnitte gewählt werden.

### 2.2.1 Stabilisierung von Hallentragwerken aus Zweigelenkrahmen

In Rahmenebene werden Zweigelenkrahmen durch die biegesteifen Verbindungen zwischen den Stützen und Riegeln stabilisiert. Die Rahmentragwirkung wird auch für die Aussteifung von Hallentragwerke senkrecht zur Rahmenebene verwendet, wenn ein ungehinderter Durchgang zwischen den Stützen gebäudetechnisch erforderlich ist. In der Regel werden aber Verbände unterschiedlichster konstruktiver Ausbildung verwendet, wobei Verbände mit druckschlaffen Diagonalen bevorzugt werden. Schubfelder bilden neben Verbänden eine weitere Möglichkeit die Dachebene zu stabilisieren. Die Anzahl der Verbandsfelder sollte so gewählt werden, dass maximal 5 Hallenfelder verbandsfrei gehalten werden<sup>8</sup>.

### 2.2.2 Einwirkungen auf Hallentragwerke

Schnee- und Windeinwirkung sind die standardmäßigen Umwelteinflüsse, die für die Dimensionierung der Querschnitte eines Hallentragwerkes berücksichtigt werden müssen. Die DIN 1055-4 regelt die anzusetzenden Kräfte auf das Tragwerk infolge Wind in Abhängigkeit der Geometrie des Gebäudes, der geographischen Lage und der Topographie des Bauortes. In der DIN 1055-5 werden unter Berücksichtigung der Dachneigung, der architektonischen Besonderheiten der Dachform und der geographi-

<sup>8</sup> Vgl. Petersen, C.: Stahlbau, 3. Auflage, Vieweg Verlag, Braunschweig/Wiesbaden 1993, S. 877.

schen Lage des Bauortes die Belastung des Tragwerkes infolge Schnee festgelegt. Wichten und Flächenlasten von Baustoffen und Bauteilen für den Ansatz des Eigengewichts der Konstruktion können in der DIN 1055-1 nachgeschlagen werden.

Produktionshallen werden häufig mit Kranen ausgerüstet, deren Belastungen entweder den Kran-Datenblättern der Hersteller zu entnehmen sind oder nach DIN 1055-10 berechnet werden können. Weitere Belastungen können durch Anprall von Fahrzeugen (DIN 1055-9), durch Erdbebeneinwirkungen (DIN 4149) und Explosionseinwirkungen entstehen. Je nach Gebäudenutzung müssen projektbezogen weitere Einwirkungen eventuell berücksichtigt werden.

### **2.2.3 Normen für die Berechnung von Hallentragwerken aus Stahl**

Stahlkonstruktion können nach DIN 18800 berechnet werden. In dieser Normenreihe werden die notwendigen Tragsicherheitsnachweise, wie Spannungsnachweise (DIN 18800-1) und Stabilitätsnachweise (DIN 18800-2 und DIN 18800-3) geregelt. Jedoch werden keine Grenzwerte für den Gebrauchstauglichkeitsnachweis zur Verfügung gestellt. Wird als Dacheindeckung des Gebäudes Trapezblech verwendet, können der DIN 18807 Teil 3 Verformungsgrenzwerte entnommen werden. Findet in der Halle Kranbetrieb statt, wird nach EC 3-6 (DIN EN 1993-6) die horizontale Schiefstellung der Stützen in Abhängigkeit der Hubklasse begrenzt. Andernfalls sind in Abstimmung mit dem Bauherren Anforderungen an die Gebrauchstauglichkeit festzulegen.

### **2.2.4 Tragsicherheitsnachweise für Hallenrahmen**

Die Rahmenquerschnitte sind mit den maßgebenden (betragsmäßig größten) Schnittgrößen einer Lastfallgruppe auf Tragsicherheit zu untersuchen. Häufig ist es erforderlich, einzelne Querschnitte mit den Schnittgrößen mehrerer Lastfallgruppen zu untersuchen, wenn z.B. das maximale Biegemoment in der einen Lastfallgruppe entsteht und die maximale Normalkraft in einer anderen Lastfallgruppe auftritt. Neben dem Spannungsnachweis sind auch die Stabilitätsnachweise Biegeknicken und Biegedrillknicken für die einzelnen Querschnitte zu führen.

Die Rahmenriegel werden gegen Biegeknicken für die gesamte freispannende Länge nachgewiesen, wohingegen die Biegedrillknicklänge in der Regel verkürzt werden darf. Hierfür wird beim Biegedrillknicknachweis nach dem Ersatzstabverfahren (DIN 18800-2) der Abstand der Anschlusspunkte des Dachverbandes am Riegel angenommen, sofern die Dachverbände eine ausreichende Kippstabilität gewährleisten. Dies ist bei stahlbaumäßig ausgeführten Dachverbänden erfahrungsgemäß erfüllt.<sup>9</sup> Eine Alternative zum Biegedrillknicknachweis stellt der Nachweis eines ausreichenden Drehbettungswi-

<sup>9</sup> Vgl. Lohse, W.: Stahlbau 2, 20. Auflage, Teubner Verlag, Wiesbaden 2005, S. 245.

derstandes dar. Dieser kann durch die aufliegende Hüllkonstruktion, z.B. das Trapezprofil bei pfettenlosen Dächern, gewährleistet werden.

Während beim Biegeknicknachweis nach dem Ersatzstabverfahren (DIN 18800-2) des Riegels die anzusetzende Knicklänge einfach zu bestimmen ist ( $\triangleq$  gesamte freispannende Länge), ist dies für den Nachweis der Rahmenstiele in Rahmenebene nicht ohne weiteres möglich. Die Knicklänge der Stiele ist abhängig vom Steifigkeitsverhältnis Riegel/Stützen sowie deren Abmessungen. Für einfache Rahmenkonstruktionen sind in der Literatur Algorithmen für die Berechnung der Knicklängen angegeben. Um die Ermittlung der Knicklänge zu umgehen, kann der Biegeknicknachweis als Spannungsnachweis nach Theorie II. Ordnung unter Ansatz der Ersatzimperfektionen nach DIN 18800-2 geführt werden. Außerhalb der Rahmenebene ist die Stütze gegen Biegedrillknicken nachzuweisen, wobei die Biegedrillknicklänge über die gesamte Stützhöhe anzunehmen ist, sofern keine zusätzlichen Zwangsdrehpunkte vorhanden sind.

### 2.2.5 Gebrauchstauglichkeitsnachweis

Kriterien für den Gebrauchstauglichkeitsnachweis sind im Allgemeinen:

- „ a) Verformungen und Verschiebungen, die das
  - Erscheinungsbild,
  - das Wohlbefinden der Nutzer oder
  - die Funktion des Tragwerkes (einschließlich der Funktionsfähigkeit von Maschinen und Installationen) beeinflussen oder
  - die Schäden an Belägen, Beschichtungen oder an nichttragenden Bauteilen hervorrufen;
- b) Schwingungen,
  - die bei Personen körperliches Unbehagen hervorrufen oder
  - die Funktionsfähigkeit des Tragwerkes einschränken;
- c) Schäden, die voraussichtlich das
  - Erscheinungsbild,
  - die Dauerhaftigkeit oder
  - die Funktionsfähigkeit des Tragwerkes nachteilig beeinflussen.“<sup>10</sup>

Für einfache Hallentragwerke ist in der Regel nur die Verformung und Verschiebung von Bedeutung. Grenzwerte für die Verformung und Schiefstellung von Stahltragwerken sind in der DIN 18800 nicht vorgeschlagen. Hierfür kann man auf die Grenzwerte der DIN 18807-3 Kap. 3.3.4.2 zurückgreifen, wenn Stahltrapezprofile als Dach- und/oder Wandverkleidung eingesetzt werden.

<sup>10</sup> DIN EN 1990 Kap. 3.4 Abs. 3.

Anwendungsbereich des Trapezblechs	Durchbiegungsbeschränkung
bei Dächern unter Vollast (Eigenlast + Verkehrslast):	
mit oberseitiger Abdichtung (Warmdach)	$l/300$
mit oberseitiger Deckung (zweischaliges Dach, hier Unterschale)	$l/150$
als Deckung (Wetterhaut)	$l/150$
bei Wänden unter Windlast	$l/150$

**Tabelle 18: Verformungsgrenzwerte für Stahltrapezprofile nach DIN 18807-3 Kap. 3.3.4.2**

Quelle: Eigene Darstellung

Werden Bauwerke mit Kranen ausgerüstet, deren Auflager an den Stützen der Tragwerke angeschlossen sind, werden die Stützenschiefstellung nach EC 3 (DIN EN 1993-6) zusammen mit dem Nationalen Anhang begrenzt. In Tabelle 7.1 der DIN EN 1993-6 wird die maximale horizontale Stützenverschiebung in Höhe der Kranauflagerung  $h_c$  mit  $\delta_y \leq h_c/400$  festgelegt. Der Nationale Anhang DIN EN 1993-6/NA relativiert diese Vorgabe und setzt folgende Grenzwerte fest:

Hubklasse	grenz $\delta_y$
HC 1	$h_c / 250$
HC 2	$h_c / 300$
HC 3	$h_c / 350$
HC 4	$h_c / 400$

**Tabelle 19: Grenzwerte für Stützenverschiebung**

Quelle: DIN EN 1993-6/NA Tabelle 2

Für die Ermittlung der horizontalen Verschiebung der Stützen müssen nur Lasten infolge Kranbetrieb angesetzt werden.<sup>11</sup>

Die DIN 18800-1 EI. (722) reduziert den Teilsicherheitsbeiwerte für Widerstandgrößen  $\gamma_M$  im Gebrauchstauglichkeitsnachweis auf 1,0. Die Teilsicherheitsbeiwerte für Einwirkungen werden jedoch nicht geregelt. In der Praxis wird  $\gamma_F = \psi = 1,0$  angesetzt und so das Eigengewicht mit allen veränderlichen Lasten kombiniert.

<sup>11</sup> Vgl. DIN EN 1993-6/NA Kap. 3.10.

### 2.2.6 Ansatz der Dachlasten eines Pfettendaches auf den Rahmenriegel

Ziel der Modellierung eines Stabwerksmodells ist es, das zu berechnende Tragwerk möglichst realistisch abzubilden und alle Randbedingungen ausreichend zu erfassen, um eine sichere und wirtschaftliche Dimensionierung vornehmen zu können.

Bei der Modellierung eines Hallenrahmens mit Pfettendach ist es nur konsequent, an den Lagerstellen der Pfetten auf dem Rahmenriegel Einzellasten anzusetzen, da das Hüllelement, z.B. Trapezprofile, die Lasten aus Wind und Schnee über die Pfetten in den Rahmenriegel einleitet. Die Umrechnung der Lasten vom Trapezprofil über die Pfetten auf den Rahmenriegel ist äußerst aufwendig, nicht zuletzt durch die Einteilung des Daches in unterschiedliche Bereiche bei der Windlastannahme. Eine erhebliche Einsparung des Rechenaufwandes würde die Idealisierung der Einzellasten als Streckenlasten auf den Rahmenriegel bedeuten. Fraglich ist jedoch mit welcher Genauigkeit und Sicherheit.

In Tabelle 20 werden die beiden Lastansätze anhand der Schneelast für die nachfolgend vorgestellte zweischiffige Halle, unter Annahme eines Rahmenabstand von 6 m, gegenübergestellt.

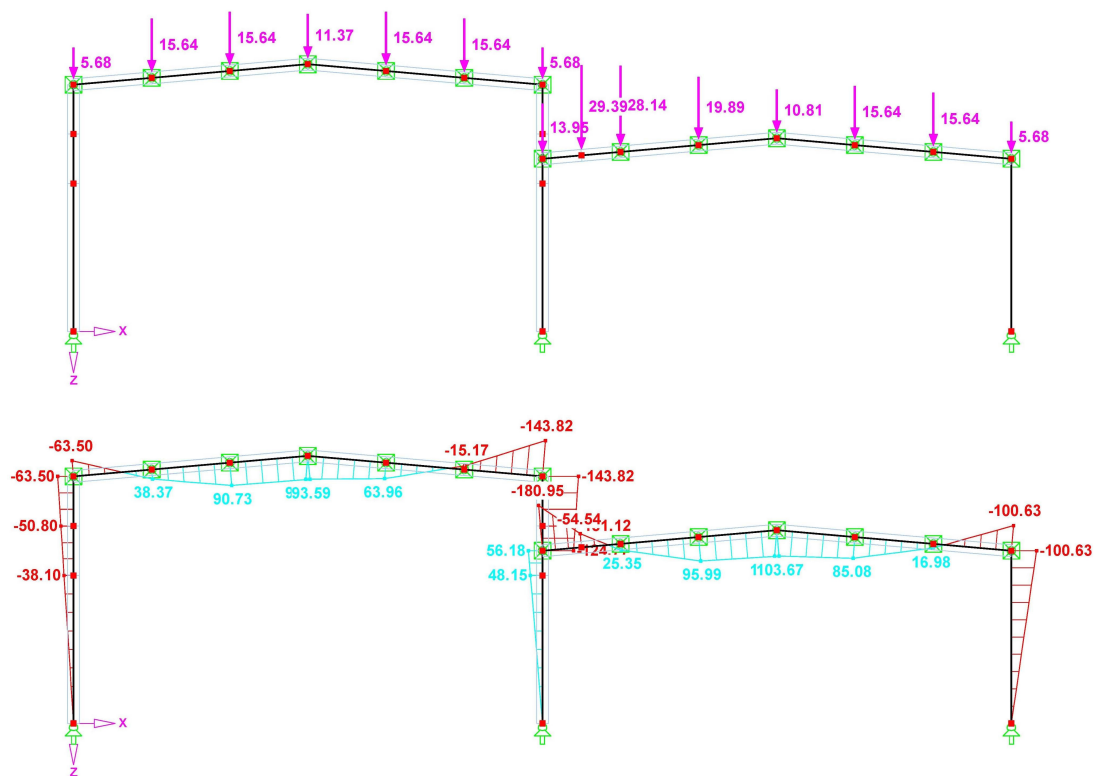
1. Hallenschiff			
Belastung	Eckmoment links	Feldmoment	Eckmoment rechts
Schneelast Knotenlast	-63,50	93,59	-143,82
Schneelast Streckenlast	-63,14	95,45	-145,88
Abweichung	-0,7%	+2,0%	+1.4%
2. Halleschiff			
Schneelast Knotenlast	-180,95	103,67	-100,63
Schneelast Streckenlast	-186,36	107,96	-103,61
Abweichung	+3,0%	+4,1%	+3,0%

**Tabelle 20: Vergleich von Knoten- und Streckenlastansatz auf den Rahmenriegel**

Quelle: Eigene Darstellung

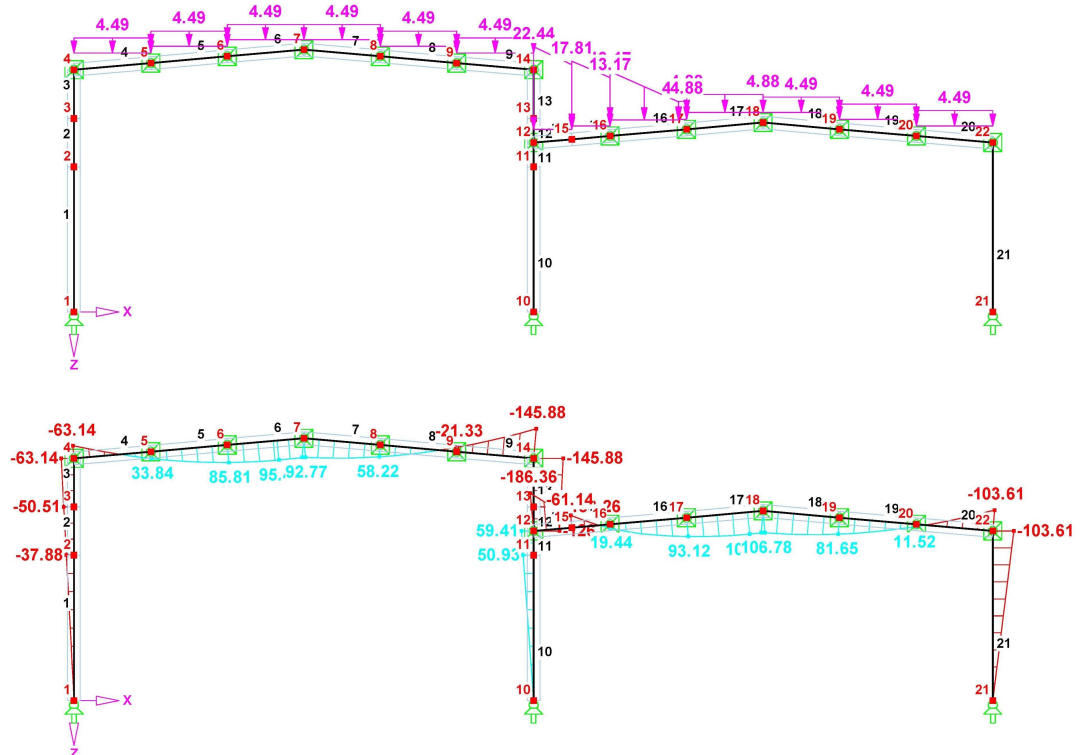
Es zeigt sich, dass beide Lastansätze zu annähernd gleichen Ergebnissen führen, wobei mit dem Ansatz von Streckenlasten meist leicht höhere Schnittgrößen ermittelt werden. Der viel größere Rechenaufwand beim Ansatz von Einzellasten kann deshalb erspart bleiben.





**Abbildung 14: Ansatz der Schneelast als Knotenlast auf die Rahmenriegel**

Quelle: Eigene Darstellung



**Abbildung 15: Ansatz der Schneelast als Streckenlast auf die Rahmenriegel**

Quelle: Eigene Darstellung

### 3 Variantenvergleich einer zweischiffigen Industriehalle aus Stahl

Das nachfolgend vorgestellte zweischiffige Hallentragwerk wird unter dem Gesichtspunkt Materialeinsparung untersucht. Hierfür sind die Rahmenabmessungen festgelegt, wobei der Rahmenabstand und die Belastungen infolge Kranbetrieb variieren.

#### 3.1 Festlegung der Rahmenabmessungen

Diese Rahmenabmessungen gelten für die nachfolgende Untersuchung:

1. Hallenschiff: Hallenbreite (Achismaß): 19,00 m  
 Hallenlänge (Achismaß): 60,00 m  
 Firsthöhe (Achismaß): 10,83 m  
 Traufhöhe (Achismaß): 10,00 m  
 Dachneigung: 5°  
 Höhe der 1. Kranbahnkonsole: 6,00 m  
 Höhe der 2. Kranbahnkonsole: 8,00 m
2. Hallenschiff: Hallenbreite (Achismaß): 19,00 m  
 Hallenlänge (Achismaß): 60,00 m  
 Firsthöhe (Achismaß): 7,83 m  
 Traufhöhe (Achismaß): 7,00 m  
 Dachneigung: 5°

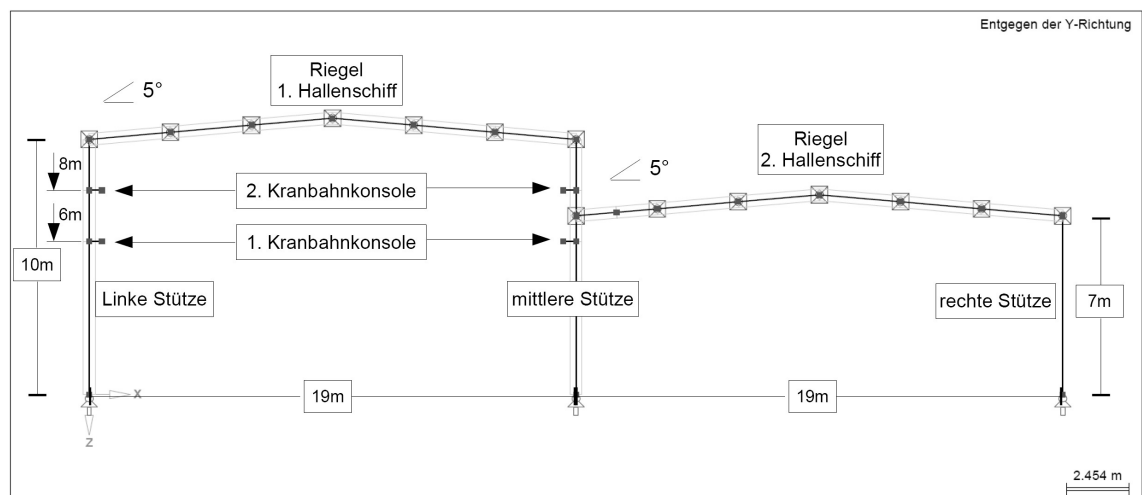


Abbildung 16: Struktur des Hallenrahmens

Quelle: Eigene Darstellung

### 3.2 Festlegung des statischen Systems

Unter dem Gesichtspunkt der Materialeinsparung werden zwei statische Systeme für den Hallenrahmen untersucht. Das System „3-stieliger Rahmen“ wird mit dem System „Zweigelenkrahmen mit gelenkig angeschlossenen 2. Hallenschiff“ verglichen, wobei bei beiden Systemen die Stützenfüße als horizontale Festlager ausgebildet werden. Für die Berechnung der beiden Hallenrahmen werden die Lastfälle Eigengewicht, Wind- und Schneelasten sowie eine Beschränkung der Durchbiegung der Rahmenriegel von  $l/300$  zugrunde gelegt.

Bauteil	Querschnitt	
	3-stieliger Rahmen	Zweigelenkrahmen mit gelenkig angeschlossenen 2. Hallenschiff
Stütze 1. Hallenschiff	HEA 400	HEA 400
Riegel 1. Hallenschiff	IPE 550	IPE 600
Mittlere Stütze	HEA 450	HEA 450
Riegel 2. Hallenschiff	IPE 550	IPE 750 x 137
Stütze 2. Hallenschiff	HEA 340	HEA 340
Gesamtgewicht	7389 kg	8326 kg
Stützenverschiebung horizontal	62 mm	100 mm

**Tabelle 21: Vergleich der statischen Systeme „3-stieliger Rahmen“ und „Zweigelenkrahmen mit gelenkig angeschlossenen 2. Hallenschiff“**

Quelle: Eigene Darstellung

Wie aus Tabelle 21 ersichtlich, kann ohne die Berücksichtigung der erheblich größeren horizontalen Stützenverschiebung des Systemes „Zweigelenkrahmen mit gelenkig angeschlossenen 2. Hallenschiff“ gegenüber dem System „3-stieliger Rahmen“, mit dem System „3-stieliger Rahmen“ knapp 1 t Stahl eingespart werden. Deshalb erfolgt die weitere Untersuchung anhand des System „3-stieliger Rahmen“.

Weiter wird festgelegt, dass die Kranbahnkonsolen im 1. Hallenschiff biegesteif an die Hallenstützen angeschlossen werden. Für den Nachweis der Rahmenriegel gegen Biegedrillknicken wird angenommen, dass diese gegen seitliches Ausweichen an mindestens 7 Punkten durch den Dachverband gehalten sind, so dass die Biegedrillknicklänge für die Berechnung auf  $1/6$  reduziert werden darf. Als Biegedrillknicklänge für die linke und rechte Stütze werden die Stützenhöhen angenommen. An der mittleren Stütze wird die Biegedrillknicklänge in Höhe des Anschlusspunktes des Riegels des 2. Hallenschiffes geteilt.

### 3.3 Bestimmung der Positionen von zwei übereinander angeordneten Kranen mit unterschiedlicher Traglast für eine wirtschaftliche Dimensionierung

Für den Variantenvergleich der zweischiffigen Industriehalle werden Brückenlaufkrane mit unterschiedlicher Hublast angesetzt. Nach DIN 4132 Kap.3.2.3 müssen die Lasten von „zwei übereinander laufenden Kranen je Hallenschiff“<sup>12</sup> gleichzeitig angesetzt werden. Deshalb muss für eine wirtschaftliche Auslegung des Hallenrahmens abgeklärt werden, ob der Kran mit der größeren Traglast unter- oder oberhalb des Kranes mit der kleineren Traglast anzuordnen ist.

In Tabelle 22 werden die errechneten Ausnutzungsgrade der Rahmenquerschnitte des Hallenrahmens für den Spannungs- und Biegedrillknicknachweis für die Krankombination 2 t-Kran (ELK 2 t x 18000 mm) mit 16 t-Kran (ZLK 16 t x 18000 mm) aufgelistet. Die Datenblätter der genannten Krane können der Anlage 1 entnommen werden.

2 t Kran unter dem 16 t Kran angeordnet					
	Linke Stütze	Riegel 1. Hallenschiff	Mittlere Stütze	Riegel 2. Hallenschiff	Rechte Stütze
	HEA 450	IPE 550	HEA 500	IPE 550	HEA 400
Spannungsnachweis	67 %	97 %	<b>84 %</b>	<b>1,16 %<sup>*)</sup></b>	90 %
BGDK-Nachweis	<b>88,4 %</b>	<b>86,6 %</b>	<b>76,3 %</b>	1,02 % <sup>*)</sup>	<b>76,7 %</b>
2 t Kran über dem 16 t Kran angeordnet					
	HEA 450	IPE 550	HEA 500	IPE 550	HEA 400
Spannungsnachweis	<b>68 %</b>	97 %	69 %	1,15 % <sup>*)</sup>	90 %
BGDK-Nachweis	86,9 %	86 %	62,1 %	1,02 % <sup>*)</sup>	76,6 %
*) Die Überschreitung der Auslastung ist nicht zulässig. Es ist erforderlich, den Riegel des 2. Hallenschiffs mit einer Voute am Anschluss zur Mittelstütze zu verstärken. Für die Berechnung ist diese aussteifende Wirkung nicht berücksichtigt.					

**Tabelle 22: Vergleich der Auslastung des Rahmens bei unterschiedlicher Kranposition**

Quelle: Eigene Darstellung

Als Schlussfolgerung aus dem Vergleich der Tabellenwerte lässt sich festhalten, dass es für den Hallenrahmen günstiger ist, den Kran mit der größeren Hublast unterhalb des Kranes mit der geringen Hublast anzuordnen. Dies ist einzig begründet in einer geringeren Auslastung der mittleren Stütze, wohingegen die unterschiedliche Anordnung der beiden Krane kaum Auswirkungen auf die Auslastung der beiden anderen Stützen sowie der Rahmenriegel hat.

<sup>12</sup> DIN 4132 Kranbahnen, Stahltragwerke, Grundsätze für Berechnung, bauliche Durchbildung und Ausführung, Ausgabe 02/1981, Kap. 3.2.3.

### 3.4 Kräfte infolge Verbandswirkung

Für das vorgestellte Hallentragwerk wird, unter Annahme eines Rahmenabstandes von 6 m und Kranbetrieb mit einem 2 t-Kran und einem 10 t-Kran, der Einfluss der Kräfte infolge Verbandswirkung auf die Auslastung der Rahmenquerschnitte untersucht.

Die Verbände werden im ersten und letzten Hallenfeld angeordnet und müssen im Dachbereich zum einen die Kräfte infolge Wind auf die Giebelwände weiterleiten. Zum anderen werden die Dachverbände durch die Abtriebskräfte der Riegelobergurte belastet, da die Knotenpunkte von Dachverband und Rahmenriegel als horizontal gehalten angenommen werden. Die Aufgabe der Wandverbände ist es, die Kräfte der Dachverbände infolge von Wind auf die Giebelwände in den Baugrund abzuleiten und die Abtriebskräfte nach DIN 18800-2 aus der Vorverdrehung der Stützen aufzunehmen. Da die Gurte der Verbandsfelder von den Rahmenriegeln und Stützen gebildet werden, werden die Bauteile zusätzlich zu Wind, Schnee und Kraneinwirkung durch Normalkräfte infolge der Verbandswirkung belastet.

In Tabelle 23 wird anhand des 2. Rahmens bzw. des vorletzten Rahmens der Halle der Einfluss dieser Normalkräfte untersucht.

Nachweis	Linke Stütze		Riegel 1. Hallenschiff		Mittlere Stütze		Riegel 2. Hallenschiff		Rechte Stütze	
	HEA 450		IPE 550		HEA 450		IPE 550		HEA 400	
	Ohne Verband	Mit Verband	Ohne Verband	Mit Verband	Ohne Verband	Mit Verband	Ohne Verband	Mit Verband	Ohne Verband	Mit Verband
Spannungs- nachweis	<b>59 %</b>	57 %	<b>89 %</b>	87 %	<b>78 %</b>	75 %	108 %	<b>110 %</b>	90 %	90 %
BGDK- Nachweis	<b>76,6 %</b>	74 %	<b>79,3 %</b>	76,1 %	69,9 %	<b>72,1 %</b>	95,4 %	<b>95,5 %</b>	<b>82,2 %</b>	81,8 %

**Tabelle 23: Vergleich der Auslastungen des Hallenrahmens mit und ohne Kräfte infolge von Verbandswirkung**

Quelle: Eigene Darstellung

Wie aus Tabelle 23 ersichtlich, führt der Ansatz der Normalkräfte infolge von Verbandswirkung zu keinen oder nur geringfügig höheren Auslastungen des Spannungs- und Biegedrillknicknachweises. Aus diesem Grund kann der Ansatz der Normalkräfte infolge von Verbandswirkung vernachlässigt werden.

### 3.5 Lastannahmen

Das Hallentragwerk wird neben Wind- und Schneeeinwirkung von zwei übereinander angeordneten Brückenlaufkranen belastet. Alle weiteren möglichen Einwirkungen, wie z.B. Erdbebeneinwirkung und Fahrzeuganprall, werden nicht berücksichtigt. Deshalb müssen diese ausgeschlossen oder konstruktiv vermieden werden.

Für die Berechnung der zweischiffigen Halle wird folgende bauortspezifische Annahme getroffen:

- Windzone 2 (Binnenland)
- Schneelastzone 2 bis 285 m ü. d. M.

#### 3.5.1 Eigengewicht

Das Eigengewicht der Hüllkonstruktion im Dachbereich der Halle wird pauschal mit  $q = 0,5 \text{ kN/m}^2$  festgelegt, wobei eine 3-Feldträgerwirkung der Hüllelemente Berücksichtigung findet.

Ausgangspunkt für die Berechnung der Kranbahnträgerquerschnitte aus HEB-Walzprofilen sind die Kran-Datenblätter der Anlage 1. In Tabelle 24 sind die erforderlichen Querschnitte für die vier zu berücksichtigenden Krane aufgeführt. Gemäß den Eigengewichten der HEB-Walzprofile wird eine Einzellast auf den Kranbahnkonsolen berücksichtigt.

Krantyp	statisches System des Kranbahnträgers	Spannweite der Kranbahnträger		
		5 m	6 m	7 m
ELK 2 t x 18000 mm	1-Feldträger	HEB 180	HEB 200	HEB 220
	2-Feldträger	HEB 160	HEB 180	HEB 200
ELK 5 t x 18000 mm	1-Feldträger	HEB 220	HEB 240	HEB 260
	2-Feldträger	HEB 200	HEB 220	HEB 240
ELK 10 t x 18000 mm	1-Feldträger	HEB 280	HEB 300	HEB 340
	2-Feldträger	HEB 260	HEB 280	HEB 300
ZLK 16 t x 18000 mm	1-Feldträger	HEB 360	HEB 450	HEB 800
	2-Feldträger	HEB 320	HEB 400	HEB 450

**Tabelle 24: Erforderliche Kranbahnträgerquerschnitte als HEB-Walzträger in S235**

Quelle: Eigene Darstellung

Die Eigengewichte der Rahmenstäbe werden von dem verwendeten Statikprogramm RSTAB 5.14 automatisch berücksichtigt.

In Abbildung 17 ist exemplarisch der Ansatz der Eigengewichte für einen Kranbahnträger HEB 300 als 1-Feldträger mit 6 m Rahmenabstand dargestellt.

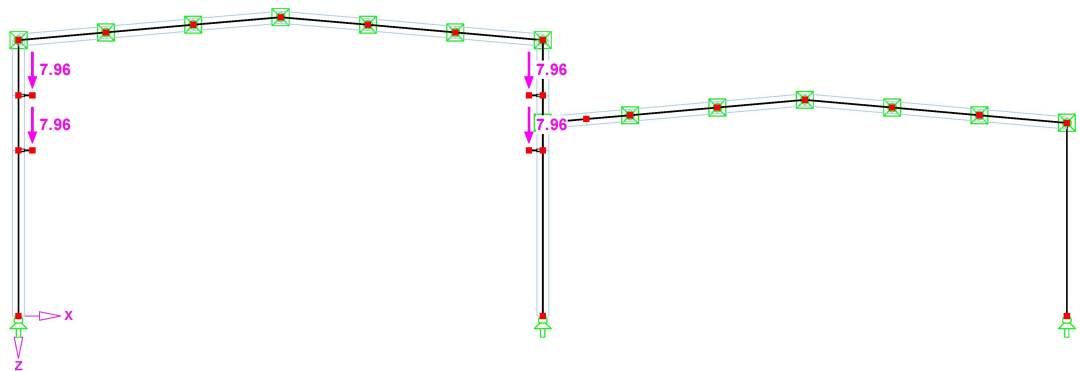


Abbildung 17: Eigengewicht (Kranbahnträger HEB 300 als 1-Feldträger mit 6 m Rahmenabstand)

### 3.5.2 Windlastannahme

Die Windlastannahme für das Hallentragwerk wird nach DIN 1055-4 mit vereinfachten Böengeschwindigkeitsdrücken für Bauwerke bis 25 m Höhe getroffen.

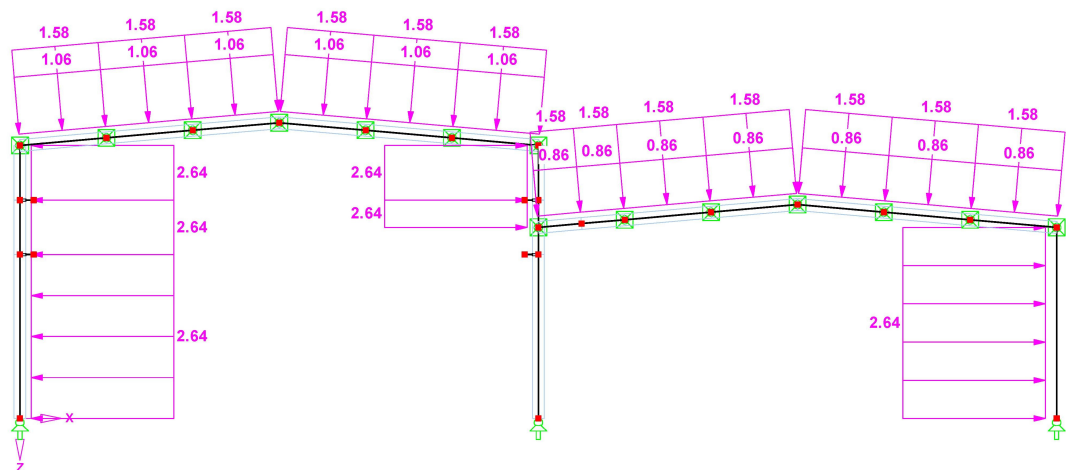
Für die Windzone 2 (Binnenland) gilt:

- 1. Hallenschiff:  $10 \text{ m} < \text{Firsthöhe } h = 10,83 \text{ m} < 18 \text{ m}$   
Geschwindigkeitsdruck  $q = 0,8 \text{ kN/m}^2$
- 2. Hallenschiff: Firsthöhe  $h = 7,83 \text{ m} < 10 \text{ m}$   
Geschwindigkeitsdruck  $q = 0,65 \text{ kN/m}^2$

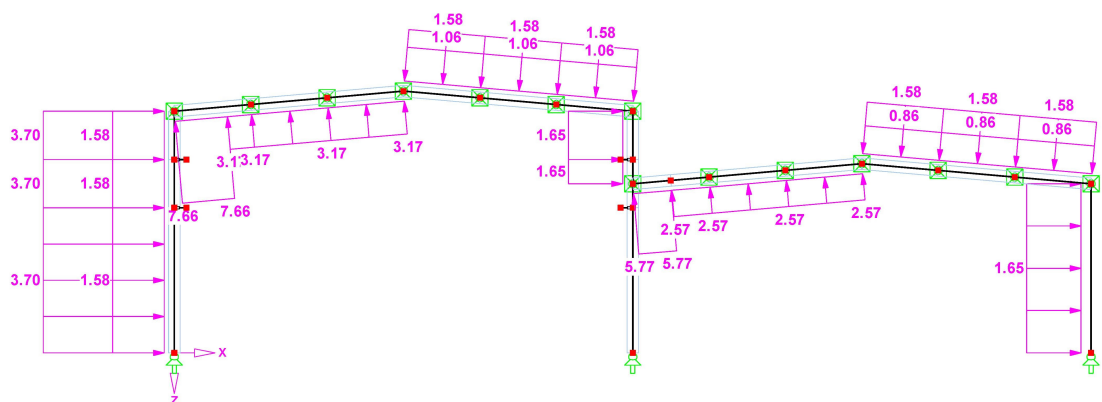
Für den Ansatz der Innendrucke wird ein Flächenparameter  $\mu$  zwischen 0,47 und 0,78 angenommen. Die Kräfte infolge Wind auf die Wände sowie der Innendruck werden vereinfacht, auf der sicheren Seite liegend, für beide Hallenschiffe mit dem Böengeschwindigkeitsdruck des 1. Hallenschiffes ermittelt.

Für die Einteilung der Wand- und Dachflächen wird eine Hallenlänge von 60 m zugrunde gelegt. Des weiteren wird im Dach- und Wandbereich eine 3-Feldträgerwirkung der Hüllelemente berücksichtigt.

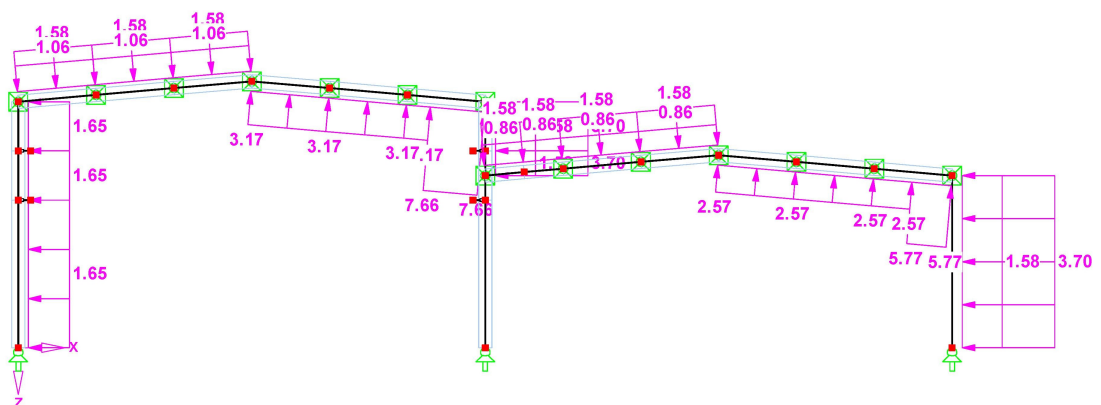
Nachfolgend sind die berücksichtigten Windlastfälle für einen Rahmenabstand von 6 m dargestellt. Alle weiteren nach DIN 1055-4 vorgeschlagenen Lastfälle wurden überprüft und als nicht bemessungsrelevant eingestuft.


 Abbildung 18: Wind  $\theta = 90^\circ$  mit negativem Innendruck (6 m Rahmenabstand)

Quelle: Eigene Darstellung


 Abbildung 19: Wind  $\theta = 0^\circ$  von links mit negativem Innendruck (6 m Rahmenabstand)

Quelle: Eigene Darstellung


 Abbildung 20: Wind  $\theta = 0^\circ$  von rechts mit negativem Innendruck (6 m Rahmenabstand)

Quelle: Eigene Darstellung



### 3.5.3 Schneelastannahme

Für die Schneelastzone 2 bis 285 m ü. d. M. wird nach DIN 1055-5 Bild 2 die Schneelast  $s_k$  auf den Wert  $0,85 \text{ kN/m}^2$  festgelegt. Die Dachneigung der Satteldächer  $\alpha = 5^\circ$  sowie die zusätzliche Belastung des Hallentragwerkes aus Abrutschen und/oder Anwehen von Schnee im Bereich des Höhensprungs zwischen dem 1. und 2. Hallenschiff werden berücksichtigt.

Analog wie bei den Lastannahmen Eigengewicht und Wind wird auch hier eine 3-Feld-trägerwirkung der Hüllelemente im Dachbereich berücksichtigt und nachfolgend der Lastfall Schnee für einen Rahmenabstand von 6 m dargestellt.

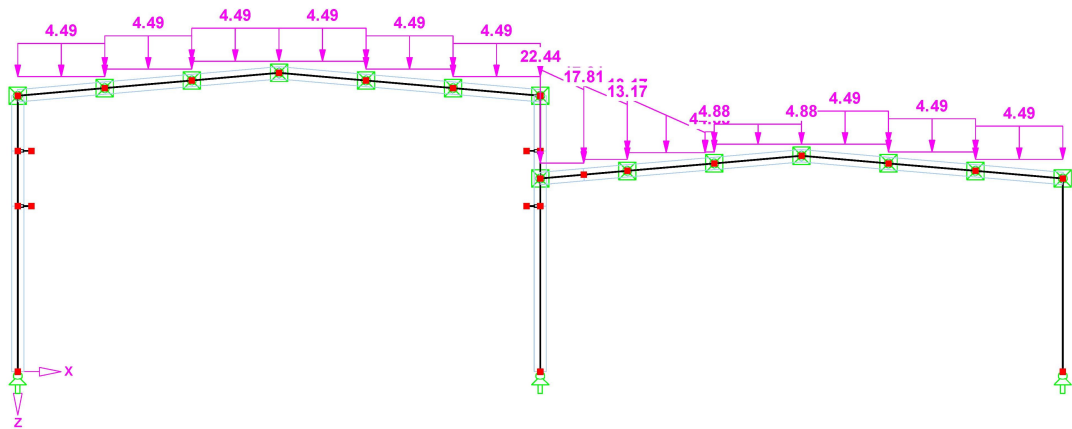


Abbildung 21: Ansatz der Schneelast (6 m Rahmenabstand)

Quelle: Eigene Darstellung

### 3.5.4 Kräfte infolge Kranbetrieb

Die Kran-Datenblätter der Anlage 1 sind Ausgangspunkt der Berechnung der Einwirkungen der Krane auf den Hallenrahmen. Die anzusetzenden Auflagerkäfte auf die Kranbahnkonsolen sind in Tabelle 25 aufgeführt.

Hierfür wird folgendes erläutert:

- Die Bezeichnungen in der Spalte Typ wird am Beispiel erläutert:

2 t                      -                      5 m                      -                      1Feld

Hublast des Kranes:                      -                      Spannweite:                      -                      statisches System:  
ELK 2 t x 18000 mm                      5 m                      Einfeldträger

- „Schräglaufrkraft“ bedeutet: Horizontale Seitenlasten und Führungskraft infolge Schräglaufr von Kranen
- „Massekraft“ bedeutet: Horizontale Lasten quer zur Fahrbahn aus Beschleunigen und Bremsen von Kranen

Die Pufferkräfte infolge Anprall der Kranbrücke gegen die Endanschlüsse der Kranbahn zählen zu den außergewöhnlichen Einwirkungen. Sie werden in Tabelle 25 nicht aufgelistet, da sie für die Berechnung des Hallenrahmens als nicht dimensionierend angenommen werden. Daher muss gewährleistet sein, dass die entstehenden Torsionskräfte aus dem außermittigen Lastangriff der Pufferkräfte zur Schwerachse der Rahmenstütze konstruktiv verhindert werden.

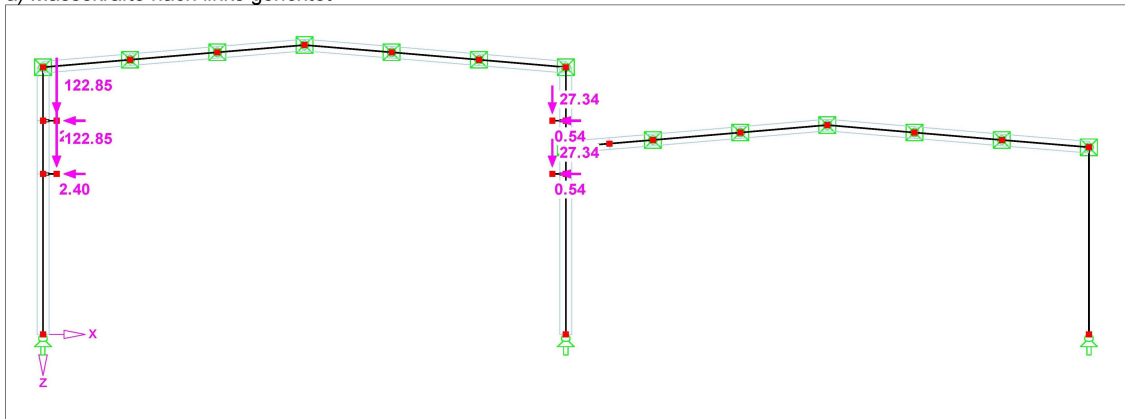
Die Abbildungen 22 und 23 veranschaulichen den Ansatz der Kräfte infolge Kranbetrieb anhand des Kranes ELK 10 t x 18000 mm, gelagert auf einem 2-Feld-Kranbahnträger mit 6 m Spannweite.

Typ	Eigengewicht Kranbahn [kN]	Schräglauflkraft [kN]	Konsole links / Katze links			Konsole rechts / Katze links		
			Radlast $\varphi=1,1$ [kN]	Radlast $\varphi=1,0$ [kN]	Massekraft [kN]	Radlast $\varphi=1,1$ [kN]	Radlast $\varphi=1,0$ [kN]	Massekraft [kN]
2t-5m-1Feld	3,34	4,40	26,45	24,04	1,30	10,29	9,35	0,54
2t-5m-2Feld	3,64	4,40	32,51	29,55	0,86	12,55	11,41	0,36
2t-6m-1Feld	4,62	4,40	28,07	25,52	1,08	10,90	9,91	0,45
2t-6m-2Feld	5,02	4,40	33,57	30,52	0,62	12,95	11,78	0,26
2t-7m-1Feld	6,10	4,40	29,23	26,58	0,93	11,34	10,31	0,39
2t-7m-2Feld	6,74	4,40	34,27	31,16	0,47	13,23	12,03	0,19
5t-5m-1Feld	4,36	8,58	52,04	47,31	2,00	13,76	12,51	0,54
5t-5m-2Feld	4,81	8,58	63,93	58,12	1,33	16,89	15,36	0,36
5t-6m-1Feld	5,94	8,58	55,23	50,21	1,67	14,60	13,28	0,45
5t-6m-2Feld	6,54	8,58	66,01	60,01	0,96	17,44	15,86	0,26
5t-7m-1Feld	7,60	8,58	57,51	52,28	1,43	15,21	13,83	0,39
5t-7m-2Feld	8,65	8,58	67,39	61,27	0,72	17,81	16,19	0,19
10t-5m-1Feld	5,94	15,95	96,80	88,00	5,02	21,58	19,62	1,13
10t-5m-2Feld	6,79	15,95	118,96	108,14	3,34	26,48	24,08	0,75
10t-6m-1Feld	7,96	15,95	102,74	93,40	4,19	22,90	20,82	0,95
10t-6m-2Feld	8,91	15,95	122,85	111,68	2,40	27,34	24,86	0,54
10t-7m-1Feld	10,48	15,95	106,98	97,26	3,59	23,83	21,67	0,81
10t-7m-2Feld	11,62	15,95	125,42	114,02	1,81	27,92	25,38	0,41
16t-5m-1Feld	7,88	26,29	157,96	143,60	7,62	35,13	31,93	1,68
16t-5m-2Feld	8,90	26,29	195,29	177,53	5,20	43,36	39,42	1,15
16t-6m-1Feld	11,20	26,29	168,14	152,85	6,35	37,38	33,98	1,40
16t-6m-2Feld	12,82	26,29	201,94	183,58	3,75	44,83	40,75	0,83
16t-7m-1Feld	19,46	26,29	175,40	159,46	5,44	38,99	35,44	1,20
16t-7m-2Feld	16,35	26,29	206,75	187,95	2,83	45,90	41,73	0,62

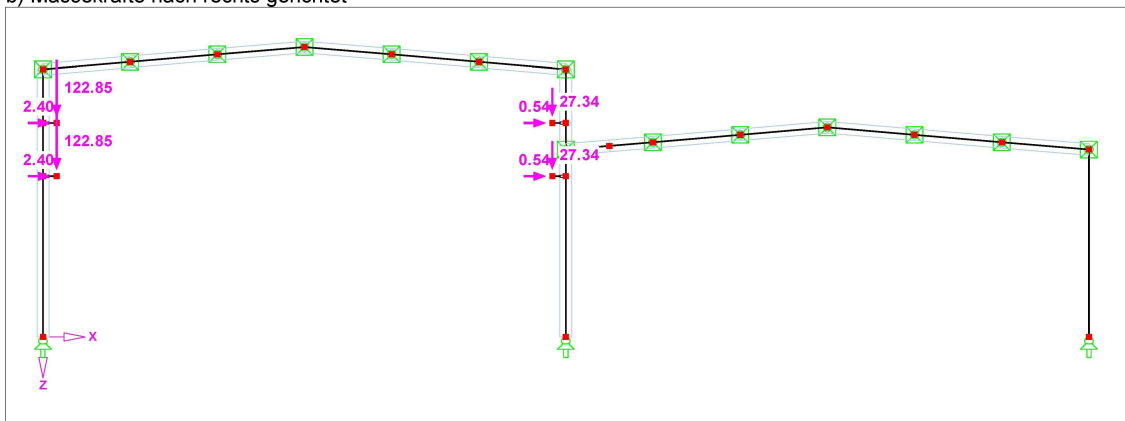
Tabelle 25: Kräfte infolge Kranbetrieb

Quelle: Eigene Darstellung

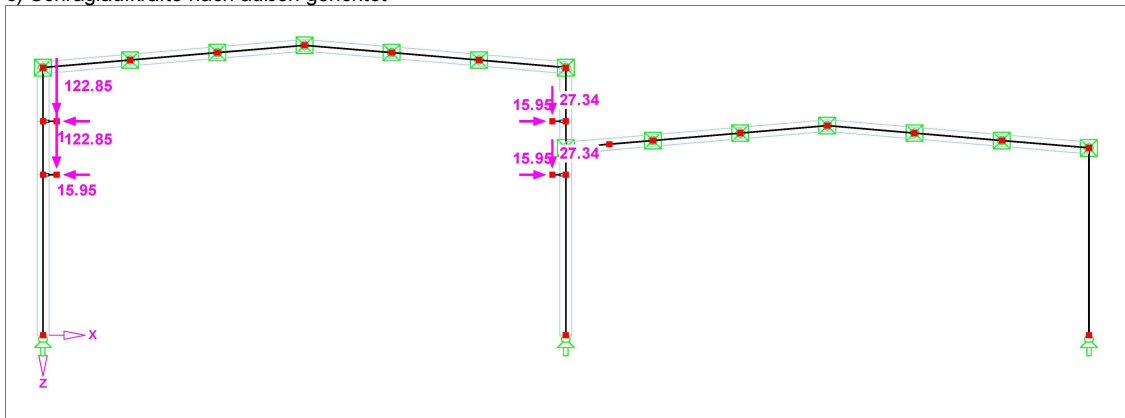
a) Massekräfte nach links gerichtet



b) Massekräfte nach rechts gerichtet



c) Schräglaufkräfte nach außen gerichtet



d) Schräglaufkräfte nach innen gerichtet

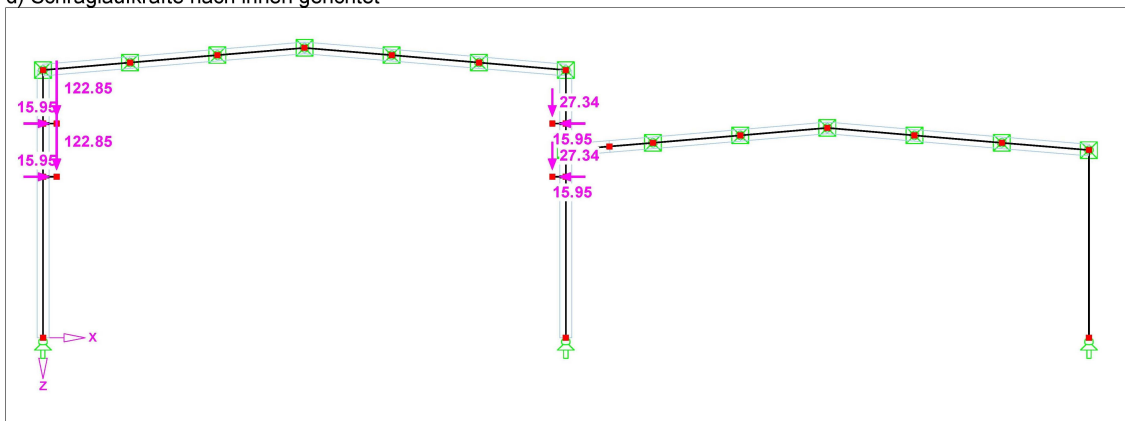
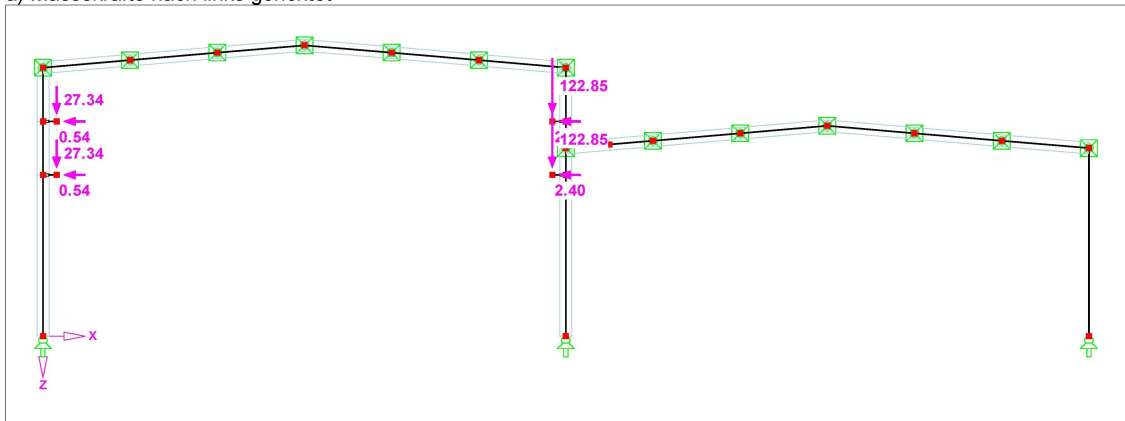


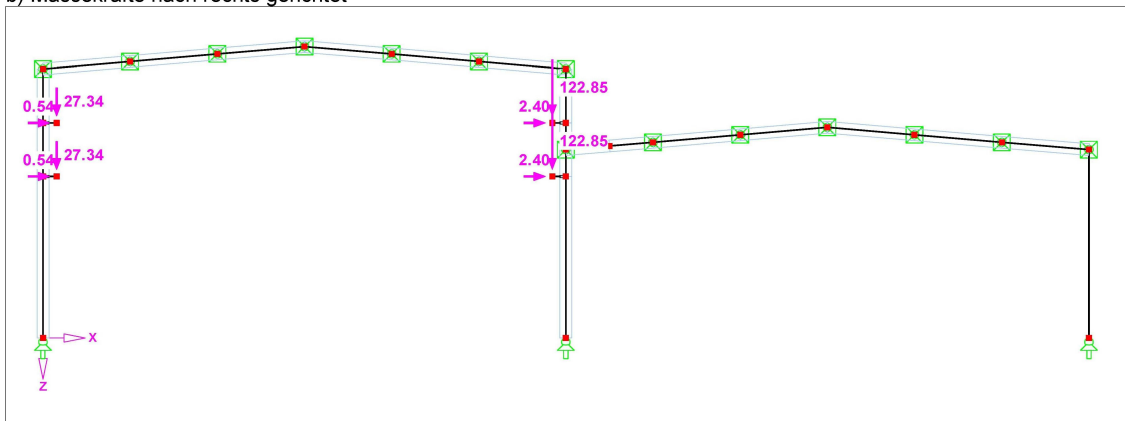
Abbildung 22: Ansatz der Auflagereaktionen des Typs 10t-6m-2Feld mit linker Katzstellung

Quelle: Eigene Darstellung

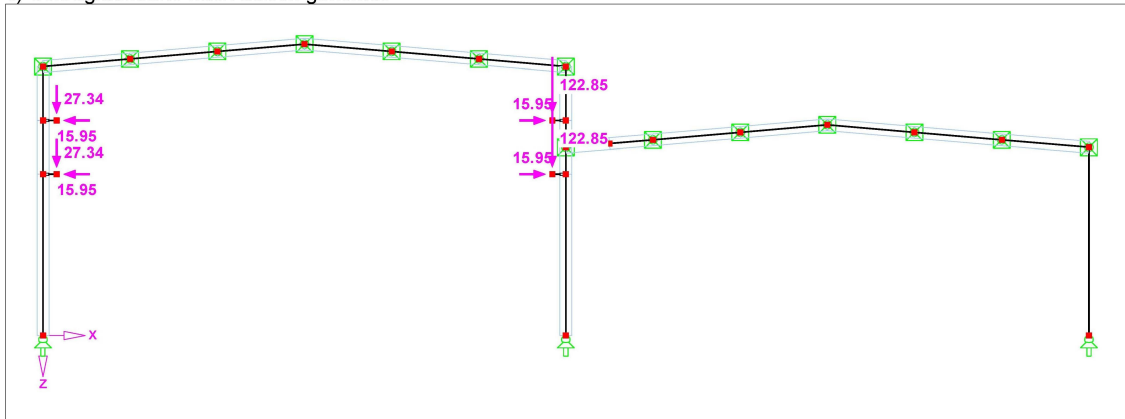
a) Massekräfte nach links gerichtet



b) Massekräfte nach rechts gerichtet



c) Schräglaufkräfte nach außen gerichtet



d) Schräglaufkräfte nach innen gerichtet

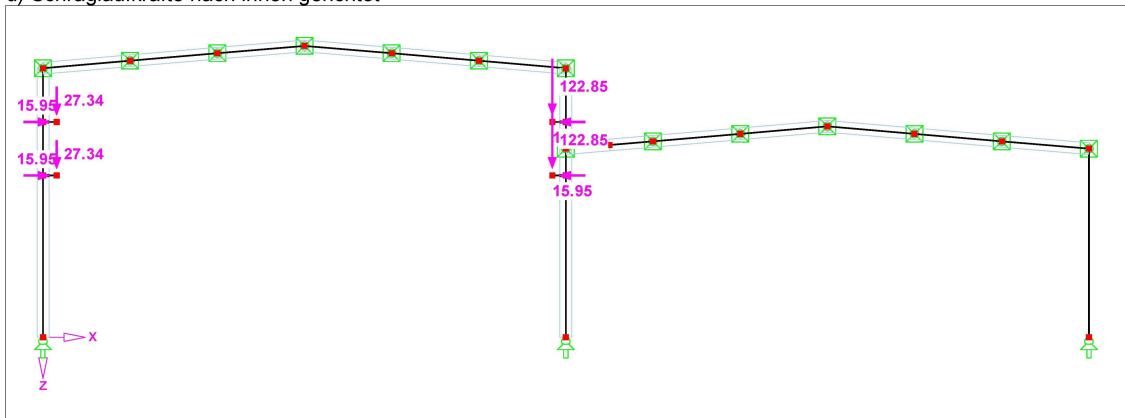


Abbildung 23: Ansatz der Auflagereaktionen des Typs 10t-6m-2Feld mit rechter Katzstellung

Quelle: Eigene Darstellung

### 3.6 Einwirkungskombinationen

Die Einwirkungskombinationen für den Rahmen der zweischiffigen Halle werden aus nachfolgenden Lastfällen LF gebildet:

- ständige Lasten:
  - LF 1 Eigengewichte aus Dachaufbau, Rahmenquerschnitte und Kranbahnträger
- veränderliche Lasten:
  - LF 2 Schneelast (Volle Schneelast auf die gesamte Dachfläche)
  - LF 3 Windlast Anströmrichtung 90° (Winddruck auf Dachfläche; Bereich I)
  - LF 4 Windlast Anströmrichtung 0° (Winddruck auf die linke Außenwand)
  - LF 5 Windlast Anströmrichtung 0° (Winddruck auf die rechte Außenwand)
  - LF 6 Negativer Innendruck
  - LF 7 Radlasten, linke Katzstellung und nach links gerichteten Massekräften
  - LF 8 Radlasten, linke Katzstellung und nach rechts gerichteten Massekräften
  - LF 9 Radlasten, linke Katzstellung und nach außen gerichteten Schräglaufkräften
  - LF 10 Radlasten, linke Katzstellung und nach innen gerichteten Schräglaufkräften
  - LF 11 Radlasten, rechte Katzstellung und nach links gerichteten Massekräften
  - LF 12 Radlasten, rechte Katzstellung und nach rechts gerichteten Massekräften
  - LF 13 Radlasten, rechte Katzstellung und nach außen gerichteten Schräglaufkräften
  - LF 14 Radlasten, rechte Katzstellung und nach innen gerichteten Schräglaufkräften
  - LF 15 und Folgende Imperfektionen: Schiefstellungen und Vorkrümmungen gemäß DIN 18800-2 Kap. 2 in Richtung der Verformungsfiguren der maßgebenden Lastfallgruppen im Spannungsnachweis

Alle weiteren Lastfälle, wie z.B. der Ansatz der Schneelast nach DIN 1055-5 Kap. 4.2.3 Lastbilder b) und c), oder die Windlastfälle unter Berücksichtigung der Sogkräfte im Dachbereich wurden für die Rahmenberechnungen berücksichtigt. Für die Bemessung der Rahmen werden diese Lastfälle jedoch nicht maßgebend. Aus diesem Grund wird auf ihre Auflistung verzichtet.

Die oben nummerierten Lastfälle werden für die Tragsicherheitsnachweise zu Lastfallgruppen nach DIN 18800-1 Kap. 7.2.2 zusammengefasst. Die Gebrauchstauglichkeitsnachweise werden zum einen für den Nachweis der Stützenschiefstellung mit den Kombinationsregeln nach EC 3-6 Kap. 7 (DIN EN 1993-6) geführt. Zum anderen wird für den Nachweis der Durchbiegung des Rahmenriegels die Lastfallgruppen der Tragsicherheitsnachweise verwendet, wobei die Teilsicherheitsbeiwerte  $\gamma_F = \psi = 1,0$  festgelegt werden.

Nachfolgende Lastfallgruppen (LG's) sind für die Berechnung der Rahmenquerschnitte zu untersuchen:

– Lastfallgruppen für die Tragsicherheitsnachweise:

LG 1	$1,35 \text{ LF } 1 + 1,5 [\text{LF } 2 + (\text{LF } 3 + \text{LF } 6) / 2]$
LG 2	$1,35 \text{ LF } 1 + 1,5 * 0,9 [\text{LF } 2 + (\text{LF } 3 + \text{LF } 6)]$
LG 3	$1,35 \text{ LF } 1 + 1,5 [\text{LF } 2 + (\text{LF } 4 + \text{LF } 6) / 2]$
LG 4	$1,35 \text{ LF } 1 + 1,5 * 0,9 [\text{LF } 2 + (\text{LF } 4 + \text{LF } 6)]$
LG 5	$1,35 \text{ LF } 1 + 1,5 [\text{LF } 2 + (\text{LF } 5 + \text{LF } 6) / 2]$
LG 6	$1,35 \text{ LF } 1 + 1,5 * 0,9 [\text{LF } 2 + (\text{LF } 5 + \text{LF } 6)]$
LG 7	$1,35 \text{ LF } 1 + 1,5 * 0,9 [\text{LF } 2 + (\text{LF } 3 + \text{LF } 6) + \text{LF } 7]$
LG 8	$1,35 \text{ LF } 1 + 1,5 * 0,9 [\text{LF } 2 + (\text{LF } 3 + \text{LF } 6) + \text{LF } 8]$
LG 9	$1,35 \text{ LF } 1 + 1,5 * 0,9 [\text{LF } 2 + (\text{LF } 3 + \text{LF } 6) + \text{LF } 9]$
LG 10	$1,35 \text{ LF } 1 + 1,5 * 0,9 [\text{LF } 2 + (\text{LF } 3 + \text{LF } 6) + \text{LF } 10]$
LG 11	$1,35 \text{ LF } 1 + 1,5 * 0,9 [\text{LF } 2 + (\text{LF } 3 + \text{LF } 6) + \text{LF } 11]$
LG 12	$1,35 \text{ LF } 1 + 1,5 * 0,9 [\text{LF } 2 + (\text{LF } 3 + \text{LF } 6) + \text{LF } 12]$
LG 13	$1,35 \text{ LF } 1 + 1,5 * 0,9 [\text{LF } 2 + (\text{LF } 3 + \text{LF } 6) + \text{LF } 13]$
LG 14	$1,35 \text{ LF } 1 + 1,5 * 0,9 [\text{LF } 2 + (\text{LF } 3 + \text{LF } 6) + \text{LF } 14]$
LG 15	$1,35 \text{ LF } 1 + 1,5 * 0,9 [\text{LF } 2 + (\text{LF } 4 + \text{LF } 6) + \text{LF } 7]$
LG 16	...
LG 30	$1,35 \text{ LF } 1 + 1,5 * 0,9 [\text{LF } 2 + (\text{LF } 5 + \text{LF } 6) + \text{LF } 14]$

Zu den Lastfallgruppen, die für den Spannungsnachweis maßgebend werden, ist der Lastfall „LF 11 und Folgende“ zu addieren, um den Biegeknicknachweis, als Spannungsnachweis nach Theorie II. Ordnung zu führen.

– Lastfallgruppen für den Gebrauchstauglichkeitsnachweis:

LG 31	LF 1 + LF 7 mit $\varphi = 1,0$
LG 32	LF 1 + LF 8 mit $\varphi = 1,0$
LG 33	LF 1 + LF 9 mit $\varphi = 1,0$
LG 34	LF 1 + LF 10 mit $\varphi = 1,0$
LG 35	Die Lastfallgruppe des Tragsicherheitsnachweises, bei der die Verformung in z-Richtung von einem der beiden Rahmenriegel den Maximalwert annimmt, wird mit den Teilsicherheitsbeiwerten $\gamma_F = \psi = 1,0$ und mit $\varphi = 1,0$ in diesem Lastfall untersucht.

### 3.7 Erforderliche Rahmenquerschnitte in Abhängigkeit unterschiedlicher Kran-Kombinationen und Rahmenabständen

In diesem Kapitel wird der Einfluss der Krane auf den Stahlbedarf des Hallentragwerkes untersucht. Die erforderlichen Querschnitte für den Hallenrahmen und die Kranbahnkonsolen werden für die unterschiedlichen Kran-Kombinationen und Rahmenabstände ermittelt.

Festgelegt ist, dass die Rahmenriegel aus IPE-Walzprofilen (DIN EN 10034), die Rahmenstützen sowie die Kranbahnkonsolen aus HEA-Walzprofilen (DIN EN 10034) in der Stahlsorte S235 (DIN EN 10025-2) bestehen. Bemessungsgrundlage ist die Normenreihe DIN 18800. Grenzwerte für den Gebrauchstauglichkeitsnachweis werden zum einen für die Durchbiegungsbeschränkung der Rahmenriegel aus der DIN 18807-3, zum anderen für die Begrenzung der horizontalen Stützenverschiebung bei Kranbetrieb aus der DIN EN 1993-6/NA entnommen. Aufgrund der Annahme eines bituminös verklebten Dachaufbaus gilt für die Rahmenriegel eine Durchbiegungsbeschränkung von  $l/300$ . Die Stützenverschiebung wird auf  $\delta_y = h/300$  in Höhe der Kranbahnkonsolen beschränkt, da die zu berücksichtigenden Brückenlaufkrane in die Hubklasse H2 eingestuft sind.

Im Kapitel 3.5.4 sind die Kräfte infolge Kranbetrieb auf das Rahmentragwerk sowohl für das System Einfeldträger- als auch Zweifeldträger-Kranbahn aufgelistet. Beim Vergleich der erforderlichen Rahmenquerschnitte zeigt sich, dass die größeren vertikalen Kräfte infolge der Radlasten beim System Zweifeldträger-Kranbahn im Vergleich zum System Einfeldträger-Kranbahn zu keinen größeren Rahmenquerschnitten führen. Lediglich müssen die Kranbahnträgerkonsolen verstärkt werden. Unter dem Gesichtspunkt Materialeinsparung ist es demnach sinnvoll, die Kranbahn aus Zweifeldträgern zu konstruieren. Hierdurch begründet, wird in den nachfolgenden Tabellen und Diagrammen ausschließlich der Stahlbedarf für die Annahme einer Zweifeldträger-Kranbahn aufgelistet. Des weiteren wird darauf hingewiesen, dass – wie in Kapitel 3.3 festgelegt – der Kran mit der größeren Hublast immer unterhalb des Kranes mit der kleineren Hublast angeordnet ist.

In Tabelle 26 wird der Einfluss der Krane auf den Stahlbedarf für die 60 m lange zweischiffige Halle unter der Annahme aufgezeigt, dass alle Rahmen als Normalrahmen ausgeführt werden. Für die Berechnung des Stahlbedarfes sind die Eigengewichte der Rahmen, Konsolen und Kranbahnträger berücksichtigt. Jedoch wird das Eigengewicht der erforderlichen Vouten ignoriert.



Kranbetrieb	Rahmenabstand 5 m		Rahmenabstand 6 m		Rahmenabstand 7 m	
	Stahlbedarf [t]	Vergleich in %	Stahlbedarf [t]	Vergleich in %	Stahlbedarf [t]	Vergleich in %
ohne Kranbetrieb	90 t	100 %	82 t	100 %	77 t	100 %
ELK 2 t x 18000 mm ELK 2 t x 18000 mm	102 t	114 %	96 t	117 %	94 t	122 %
ELK 2 t x 18000 mm ELK 5 t x 18000 mm	105 t	117 %	99 t	121 %	97 t	126 %
ELK 5 t x 18000 mm ELK 5 t x 18000 mm	109 t	121 %	102 t	125 %	100 t	130 %
ELK 2 t x 18000 mm ELK 10 t x 18000 mm	111 t	123 %	104 t	127 %	104 t	135 %
ELK 5 t x 18000 mm ELK 10 t x 18000 mm	113 t	126 %	106 t	130 %	107 t	139 %
ELK 2 t x 18000 mm ZLK 16 t x 18000 mm	117 t	130 %	112 t	137 %	113 t	146 %
ELK 10 t x 18000 mm ELK 10 t x 18000 mm	119 t	132 %	112 t	137 %	113 t	147 %
ELK 5 t x 18000 mm ZLK 16 t x 18000 mm	122 t	135 %	114 t	140 %	116 t	150 %
ELK 10 t x 18000 mm ZLK 16 t x 18000 mm	131 t	145 %	120 t	147 %	121 t	157 %
ZLK 16 t x 18000 mm ZLK 16 t x 18000 mm	139 t	154 %	129 t	158 %	131 t	170 %

**Tabelle 26: Einfluss der Krane auf den Stahlbedarf bezogen auf 60 m bzw. 63 m Hallenlänge**

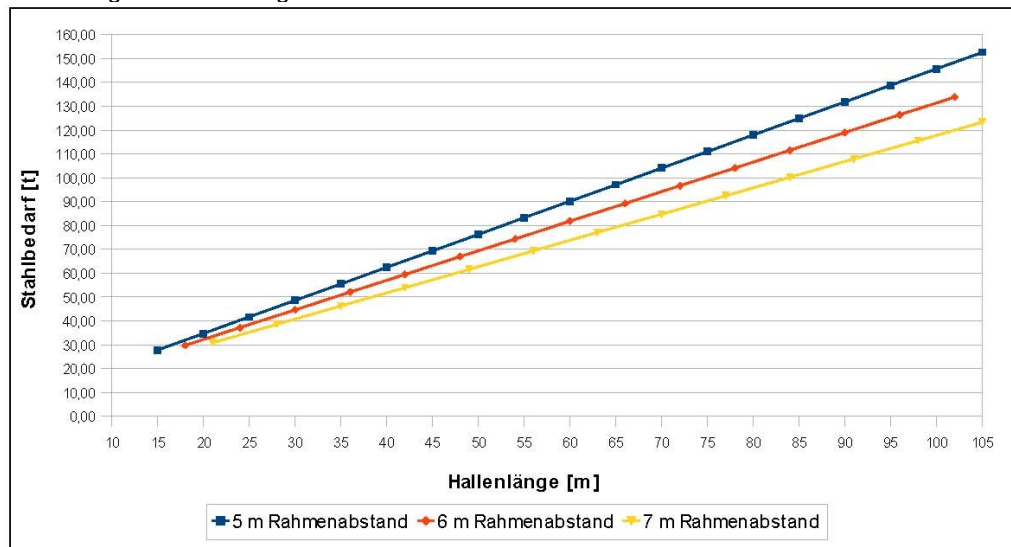
Quelle: Eigene Darstellung

Die erforderlichen Rahmenquerschnitte und Kranbahnträgerkonsolen sowie das Eigengewicht eines Rahmens mit Konsolen sind in den Tabellen 27 bis 37 aufgeführt. Unterhalb jeder dieser Tabellen befindet sich das zugehörige Diagramm, welches den Stahlbedarf für die unterschiedlichen Rahmenabstände bei steigender Hallenlänge von 15 m bis 105 m zeigt – unter der Annahme, dass alle Rahmen als Normalrahmen ausgeführt werden. Bei der Erstellung der Diagramme wurde neben dem Eigengewicht der Rahmen und Konsolen, auch das Eigengewicht der Kranbahnträger gemäß Tabelle 25 berücksichtigt. Allerdings bleibt das Eigengewicht der erforderlichen Vouten unberücksichtigt.

Rahmen- abstand	Rahmenquerschnitte					Kranbahnträgerkonsolen		Eigengewicht eines Rahmens [t]
	linke Stütze	1. Riegel	mittlere Stütze	2. Riegel	rechte Stütze	1. Konsole	2. Konsole	
	HEA	IPE	HEA	IPE	HEA	HEA	HEA	
5 m	360	550	360	550	320	-	-	6,94
6 m	400	550	450	550	360	-	-	7,44
7 m	400	600	400	Voute 550	400	-	-	7,71

**Tabelle 27: Erforderliche Rahmenquerschnitte – ohne Kranbetrieb**

Quelle: Eigene Darstellung

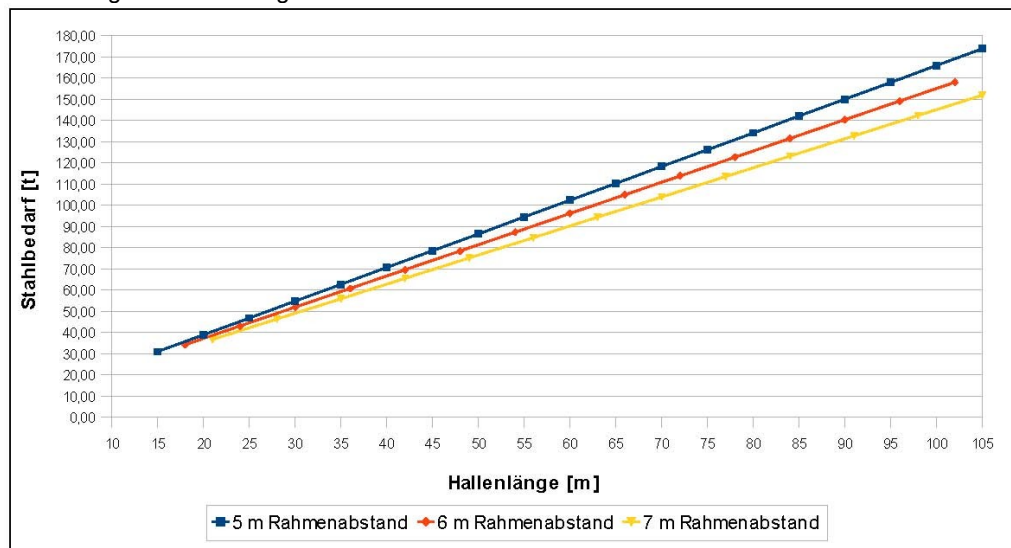

**Abbildung 24: Stahlbedarf in Abhängigkeit der Hallenlänge – ohne Kranbetrieb**

Quelle: Eigene Darstellung

Rahmen- abstand	Rahmenquerschnitte					Kranbahnträgerkonsolen		Eigengewicht eines Rahmens [t]
	linke Stütze	1. Riegel	mittlere Stütze	2. Riegel	rechte Stütze	1. Konsole	2. Konsole	
	HEA	IPE	HEA	IPE	HEA	HEA	HEA	
5 m	360	550	400	550	320	120	120	7,09
6 m	450	550	450	550	360	140	140	7,62
7 m	400	600	450	Voute/550	400	140	140	7,89

**Tabelle 28: Erforderliche Rahmenquerschnitte – Kranbetrieb mit 2 x ELK 2 t x 18000 mm**

Quelle: Eigene Darstellung

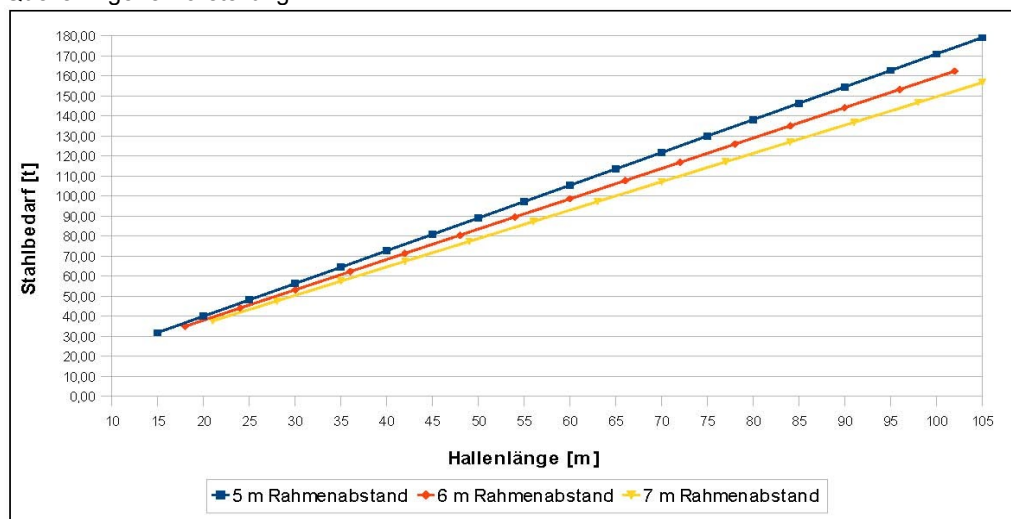

**Abbildung 25: Stahlbedarf in Abhängigkeit der Hallenlänge – Kranbetrieb mit 2 x ELK 2 t x 18000 mm**

Quelle: Eigene Darstellung

Rahmen- abstand	Rahmenquerschnitte					Kranbahnträgerkonsolen		Eigengewicht eines Rahmens [t]
	linke Stütze	1. Riegel	mittlere Stütze	2. Riegel	rechte Stütze	1. Konsole	2. Konsole	
	HEA	IPE	HEA	IPE	HEA	HEA	HEA	
5 m	360	550	400	550	340	180	120	7,15
6 m	450	550	450	550	360	200	140	7,63
7 m	400	600	450	Voute/550	400	200	140	7,90

**Tabelle 29: Erforderliche Rahmenquerschnitte – Kranbetrieb mit ELK 2 t x 18000 mm und ELK 5 t x 18000 mm**

Quelle: Eigene Darstellung



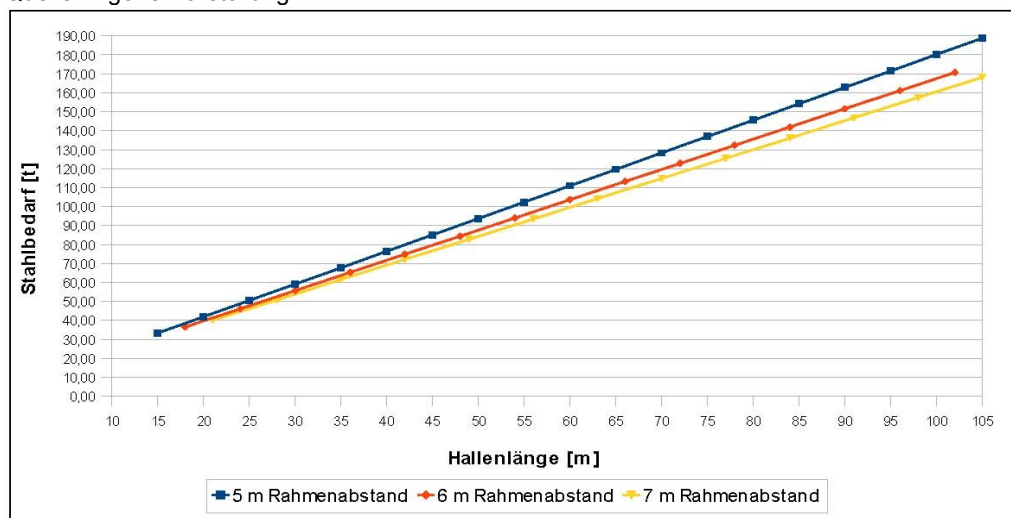
**Abbildung 26: Stahlbedarf in Abhängigkeit der Hallenlänge – Kranbetrieb mit ELK 2 t x 18000 mm und ELK 5 t x 18000 mm**

Quelle: Eigene Darstellung

Rahmen- abstand	Rahmenquerschnitte					Kranbahnträgerkonsolen		Eigengewicht eines Rahmens [t]
	linke Stütze	1. Riegel	mittlere Stütze	2. Riegel	rechte Stütze	1. Konsole	2. Konsole	
	HEA	IPE	HEA	IPE	HEA	HEA	HEA	
5 m	400	550	400	550	340	260	120	7,29
6 m	450	550	450	Voute/550	400	280	140	7,74
7 m	450	600	450	Voute/550	450	280	140	8,17

**Tabelle 30: Erforderliche Rahmenquerschnitte – Kranbetrieb mit ELK 2 t x 18000 mm und ELK 10 t x 18000 mm**

Quelle: Eigene Darstellung



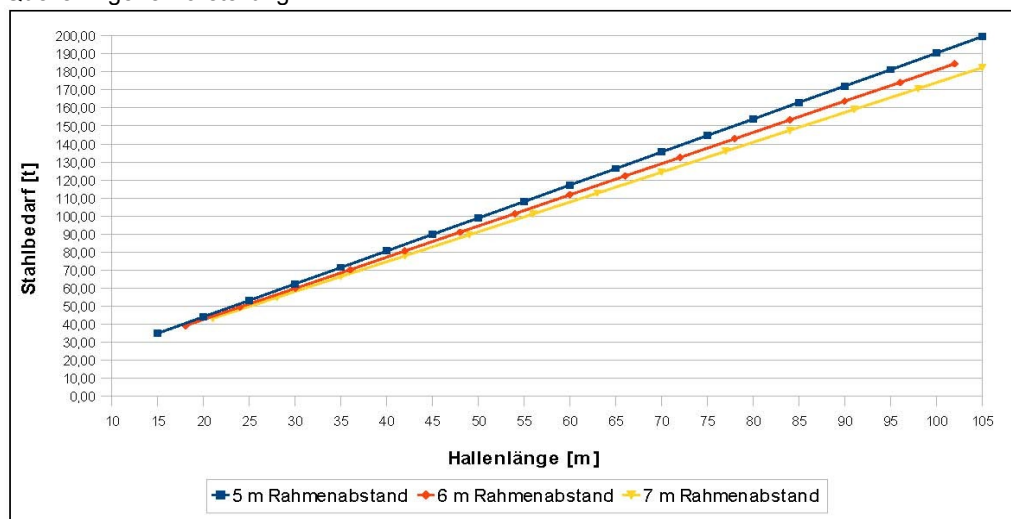
**Abbildung 27: Stahlbedarf in Abhängigkeit der Hallenlänge – Kranbetrieb mit ELK 2 t x 18000 mm und ELK 10 t x 18000 mm**

Quelle: Eigene Darstellung

Rahmen- abstand	Rahmenquerschnitte					Kranbahnträgerkonsolen		Eigengewicht eines Rahmens [t]
	linke Stütze	1. Riegel	mittlere Stütze	2. Riegel	rechte Stütze	1. Konsole	2. Konsole	
	HEA	IPE	HEA	IPE	HEA	HEA	HEA	
5 m	400	550	450	550	340	340	120	7,46
6 m	450	550	500	Voute/550	400	340	140	7,91
7 m	500	600	450	Voute/550	450	360	140	8,35

**Tabelle 31: Erforderliche Rahmenquerschnitte – Kranbetrieb mit ELK 2 t x 18000 mm und ZLK 16 t x 18000 mm**

Quelle: Eigene Darstellung



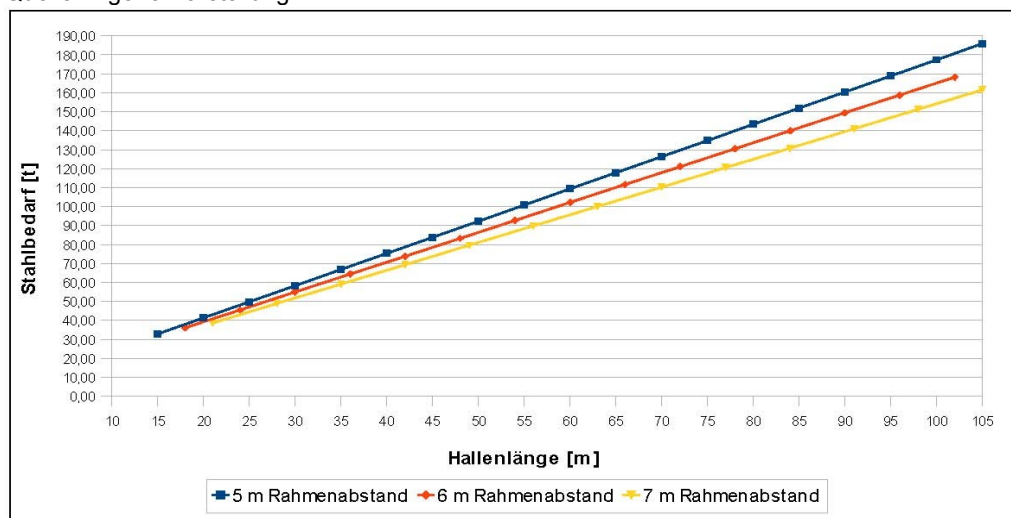
**Abbildung 28: Stahlbedarf in Abhängigkeit der Hallenlänge – Kranbetrieb mit ELK 2 t x 18000 mm und ZLK 16 t x 18000 mm**

Quelle: Eigene Darstellung

Rahmen- abstand	Rahmenquerschnitte					Kranbahnträgerkonsolen		Eigengewicht eines Rahmens [t]
	linke Stütze	1. Riegel	mittlere Stütze	2. Riegel	rechte Stütze	1. Konsole	2. Konsole	
	HEA	IPE	HEA	IPE	HEA	HEA	HEA	
5 m	400	550	400	550	340	180	180	7,28
6 m	450	550	450	550	400	200	200	7,73
7 m	400	600	450	Voute/550	400	200	200	7,91

**Tabelle 32: Erforderliche Rahmenquerschnitte – Kranbetrieb mit 2 x ELK 5 t x 18000 mm**

Quelle: Eigene Darstellung



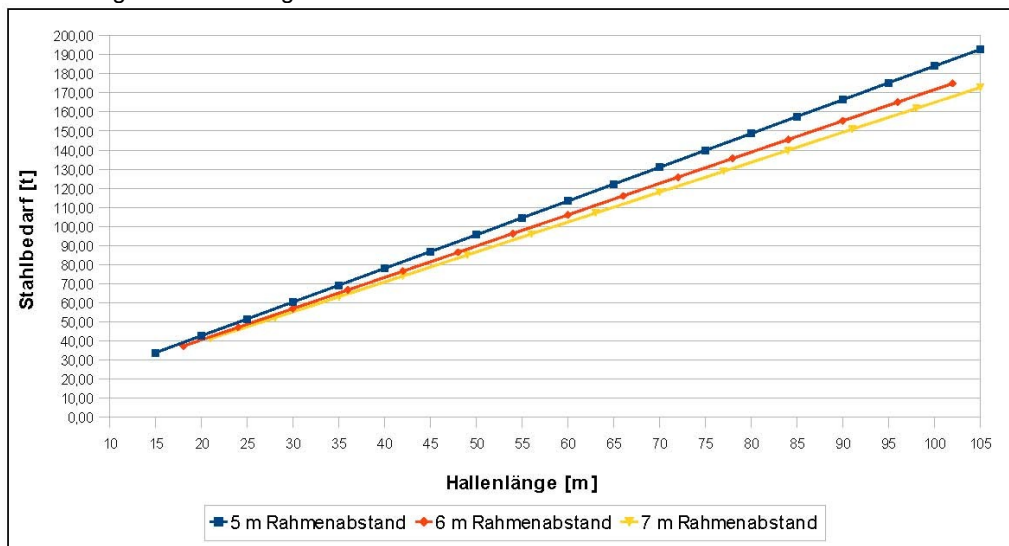
**Abbildung 29: Stahlbedarf in Abhängigkeit der Hallenlänge – Kranbetrieb mit 2 x ELK 5 t x 18000 mm**

Quelle: Eigene Darstellung

Rahmen- abstand	Rahmenquerschnitte					Kranbahnträgerkonsolen		Eigengewicht eines Rahmens [t]
	linke Stütze	1. Riegel	mittlere Stütze	2. Riegel	rechte Stütze	1. Konsole	2. Konsole	
	HEA	IPE	HEA	IPE	HEA	HEA	HEA	
5 m	400	550	400	550	340	260	180	7,3
6 m	450	550	450	Voute/550	400	280	200	7,75
7 m	450	600	450	Voute/550/Voute	450	280	200	8,18

**Tabelle 33: Erforderliche Rahmenquerschnitte – Kranbetrieb mit ELK 5 t x 18000 mm und ELK 10 t x 18000 mm**

Quelle: Eigene Darstellung



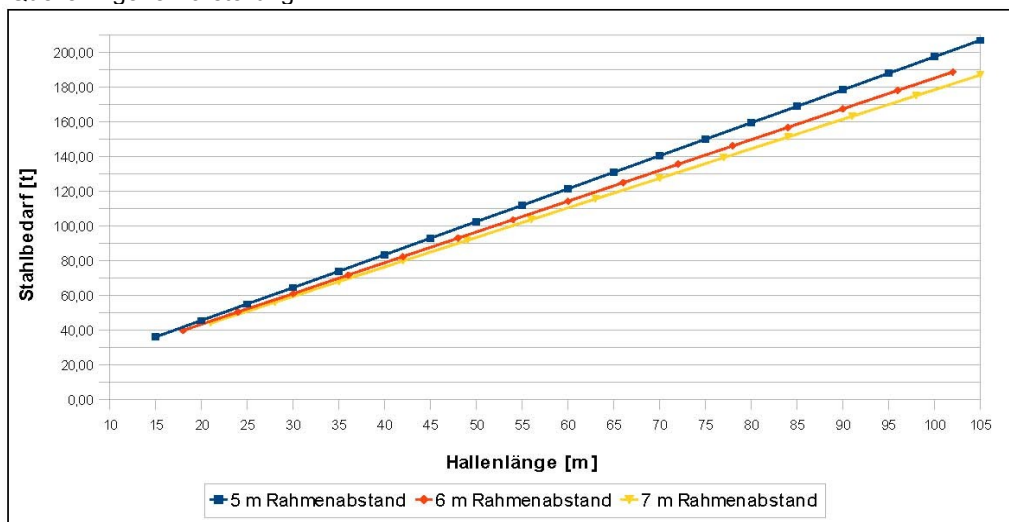
**Abbildung 30: Stahlbedarf in Abhängigkeit der Hallenlänge – Kranbetrieb mit ELK 5 t x 18000 mm und ELK 10 t x 18000 mm**

Quelle: Eigene Darstellung

Rahmen- abstand	Rahmenquerschnitte					Kranbahnträgerkonsolen		Eigengewicht eines Rahmens [t]
	linke Stütze	1. Riegel	mittlere Stütze	2. Riegel	rechte Stütze	1. Konsole	2. Konsole	
	HEA	IPE	HEA	IPE	HEA	HEA	HEA	
5 m	450	550	450	550	340	340	180	7,62
6 m	450	550	500	Voute/550	400	340	200	7,92
7 m	500	600	450	Voute/550/Voute	450	360	200	8,36

**Tabelle 34: Erforderliche Rahmenquerschnitte – Kranbetrieb mit ELK 5 t x 18000 mm und ZLK 16 t x 18000 mm**

Quelle: Eigene Darstellung



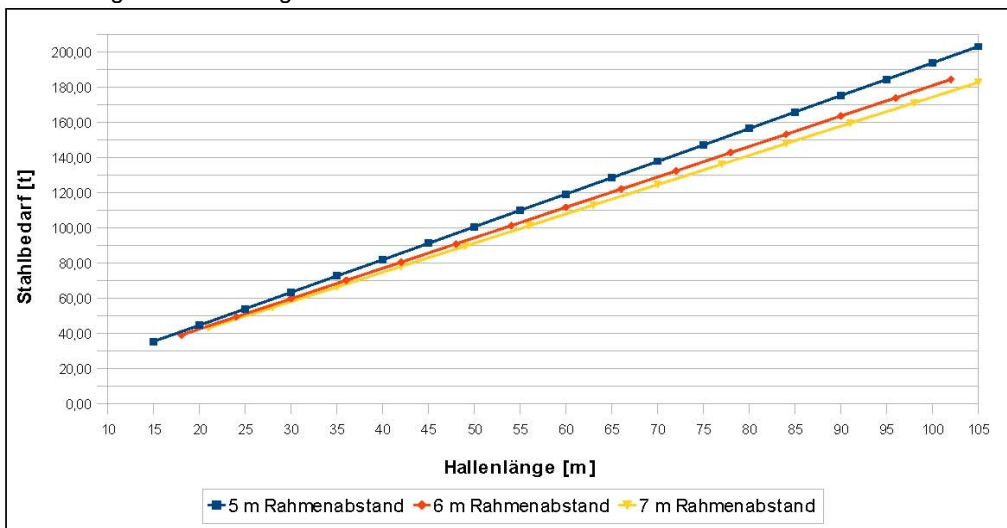
**Abbildung 31: Stahlbedarf in Abhängigkeit der Hallenlänge – Kranbetrieb mit ELK 5 t x 18000 mm und ZLK 16 t x 18000 mm**

Quelle: Eigene Darstellung

Rahmen- abstand	Rahmenquerschnitte					Kranbahnträgerkonsolen		Eigengewicht eines Rahmens [t]
	linke Stütze	1. Riegel	mittlere Stütze	2. Riegel	rechte Stütze	1. Konsole	2. Konsole	
	HEA	IPE	HEA	IPE	HEA	HEA	HEA	
5 m	400	550	450	550	340	260	260	7,47
6 m	450	550	500	Voute/550	400	280	280	7,92
7 m	500	600	450	Voute/550/Voute	450	280	280	8,36

**Tabelle 35: Erforderliche Rahmenquerschnitte – Kranbetrieb mit  
2 x ELK 10 t x 18000 mm**

Quelle: Eigene Darstellung



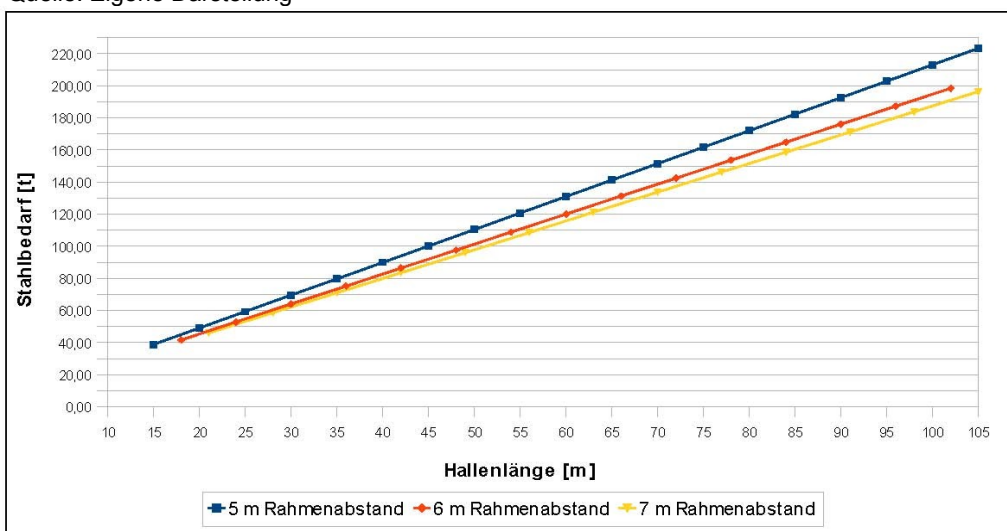
**Abbildung 32: Stahlbedarf in Abhängigkeit der Hallenlänge – Kranbetrieb mit  
2 x ELK 10 t x 18000 mm**

Quelle: Eigene Darstellung

Rahmen- abstand	Rahmenquerschnitte					Kranbahnträgerkonsolen		Eigengewicht eines Rahmens [t]
	linke Stütze	1. Riegel	mittlere Stütze	2. Riegel	rechte Stütze	1. Konsole	2. Konsole	
	HEA	IPE	HEA	IPE	HEA	HEA	HEA	
5 m	500	550	550	550	340	340	260	8,06
6 m	500	550	500	Voute/550	400	340	280	8,1
7 m	550	600	450	Voute/550/Voute	450	360	280	8,49

**Tabelle 36: Erforderliche Rahmenquerschnitte – Kranbetrieb mit  
ELK 10 t x 18000 mm und ZLK 16 t x 18000 mm**

Quelle: Eigene Darstellung



**Abbildung 33: Stahlbedarf in Abhängigkeit der Hallenlänge – Kranbetrieb mit  
ELK 10 t x 18000 mm und ZLK 16 t x 18000 mm**

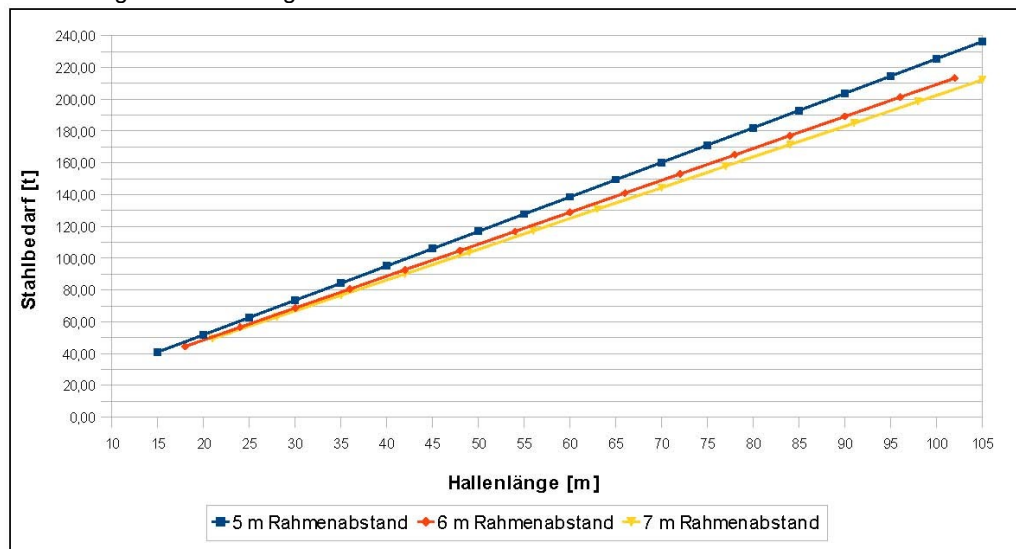
Quelle: Eigene Darstellung



Rahmen- abstand	Rahmenquerschnitte					Kranbahnträgerkonsolen		Eigengewicht eines Rahmens [t]
	linke Stütze	1. Riegel	mittlere Stütze	2. Riegel	rechte Stütze	1. Konsole	2. Konsole	
	HEA	IPE	HEA	IPE	HEA	HEA	HEA	
5 m	550	550	550	Voute/550	400	340	340	8,33
6 m	550	550/Voute	550	Voute/550	400	340	340	8,33
7 m	600	600	500	Voute/550/Voute	450	360	360	8,77

**Tabelle 37: Erforderliche Rahmenquerschnitte – Kranbetrieb mit  
2 x ZLK 16 t x 18000 mm**

Quelle: Eigene Darstellung



**Abbildung 34: Stahlbedarf in Abhängigkeit der Hallenlänge – Kranbetrieb mit  
2 x ZLK 16 t x 18000 mm**

Quelle: Eigene Darstellung

## 4 Fazit

In dieser Arbeit ist eine zweischiffige Industriehalle aus Stahl mit zwei übereinander angeordneten Brückenlaufkränen untersucht worden. Die Hallenabmessungen von 60 m Länge und 2 x 19 m Breite wurden für die Lastannahmen als konstant angenommen, wohingegen die Rahmenabstände und die Traglasten der Krane variierten.

Festzuhalten ist, dass aus statischer Sicht die Einwirkungen auf die Rahmenriegel von Pfettendächern idealisiert als Streckenlasten angesetzt werden können, mit ausreichender Genauigkeit für die Schnittgrößenermittlung. Somit kann die aufwendige Umrechnung der Flächenlasten aus z.B. Windeinwirkung zu Einzellasten, auf die Lagerstellen der Pfetten auf dem Rahmenriegel, erspart bleiben.

Für das vorgestellte Hallentragwerk kann des weiteren auf den Ansatz der Normalkräfte auf den Hallenrahmen infolge Verbandswirkung verzichtet werden, da diese keinen nennenswerten Einfluss auf die Auslastung der Rahmenquerschnitte haben. Konstruktiv, unter dem Gesichtspunkt der Materialeinsparung (wirtschaftlicher Aspekt), wurde das Hallentragwerk als „3-stieliger Rahmen“ ausgebildet. Außerdem erfolgte die Anordnung des Kranes mit der größeren Tragkraft unterhalb des Kranes mit der kleineren Tragkraft. Darüber hinaus ist es sinnvoll, die Kranbahnträger der zweischiffigen

Halle als Zweifeldträger auszubilden.

Den Abbildungen 24 bis 34 ist zu entnehmen, dass für das Hallentragwerk ein Rahmenabstand von 5 m zum größten Stahlbedarf für die Haupttragelemente führt, wohingegen ein Rahmenabstand von 7 m für alle untersuchten Kran-Kombinationen und Hallenlängen den geringsten Stahlbedarf für die Haupttragelemente erfordert. Mit steigender Traglast der Krane nähert sich der Stahlbedarf für 6 m Rahmenabstand dem des 7 m Rahmenabstandes an.

Abschließend bleibt anzumerken, dass für eine kostengünstige Konstruktion neben dem Stahlbedarf für die Haupttragelemente auch die Kosten für die Hüllkonstruktion, Fertigungs- und Montagekosten berücksichtigt werden müssen.



**Anlageverzeichnis**

Anlage 1: Kran-Datenblätter (ABUS).....	X
Anlage 2: Komplexbeispiel einer zweischiffigen Industriehalle aus Stahl mit zwei übereinander angeordneten Kranen.....	XIV

# Anlage 1

## Kran-Datenblätter (ABUS)

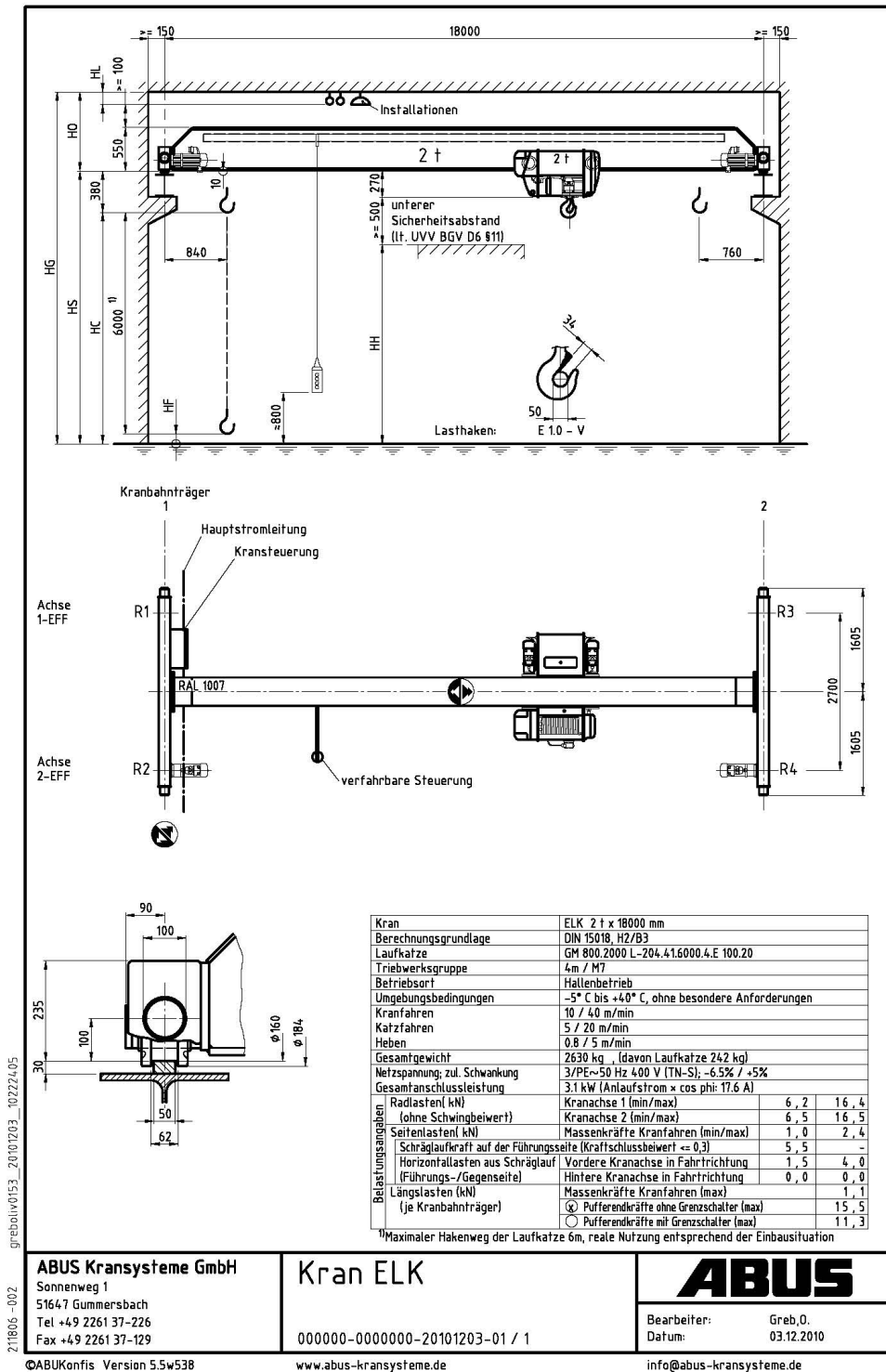


Abbildung 35: Kran-Datenblatt – ELK 2t x 18000 mm

Quelle: ABUS Kransysteme GmbH, Gummersbach

Quelle: ABUS Kransysteme GmbH, Gummersbach

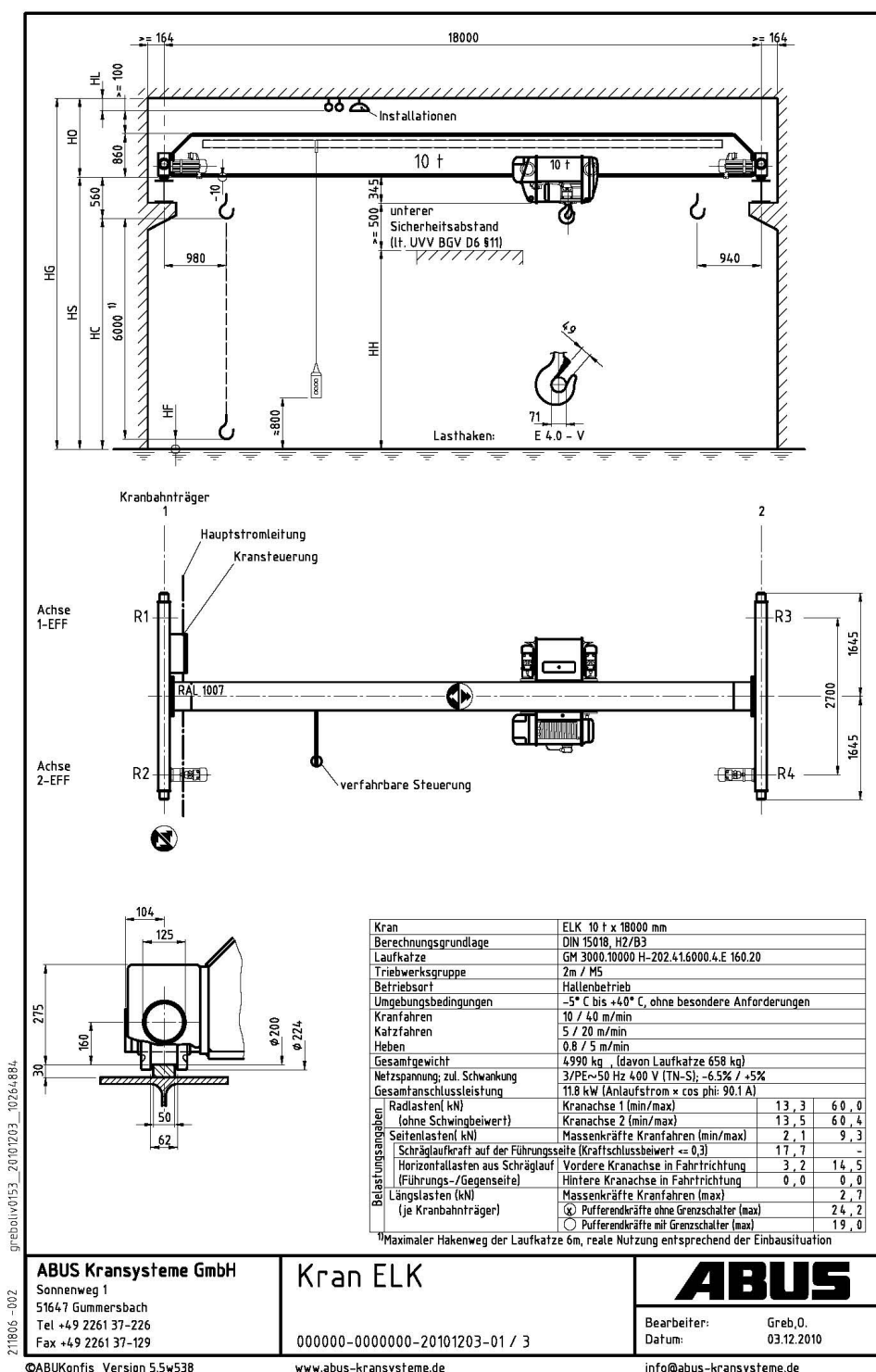


Abbildung 37: Kran-Datenblatt – ELK 10t x 18000 mm

Quelle: ABUS Kransysteme GmbH, Gummersbach

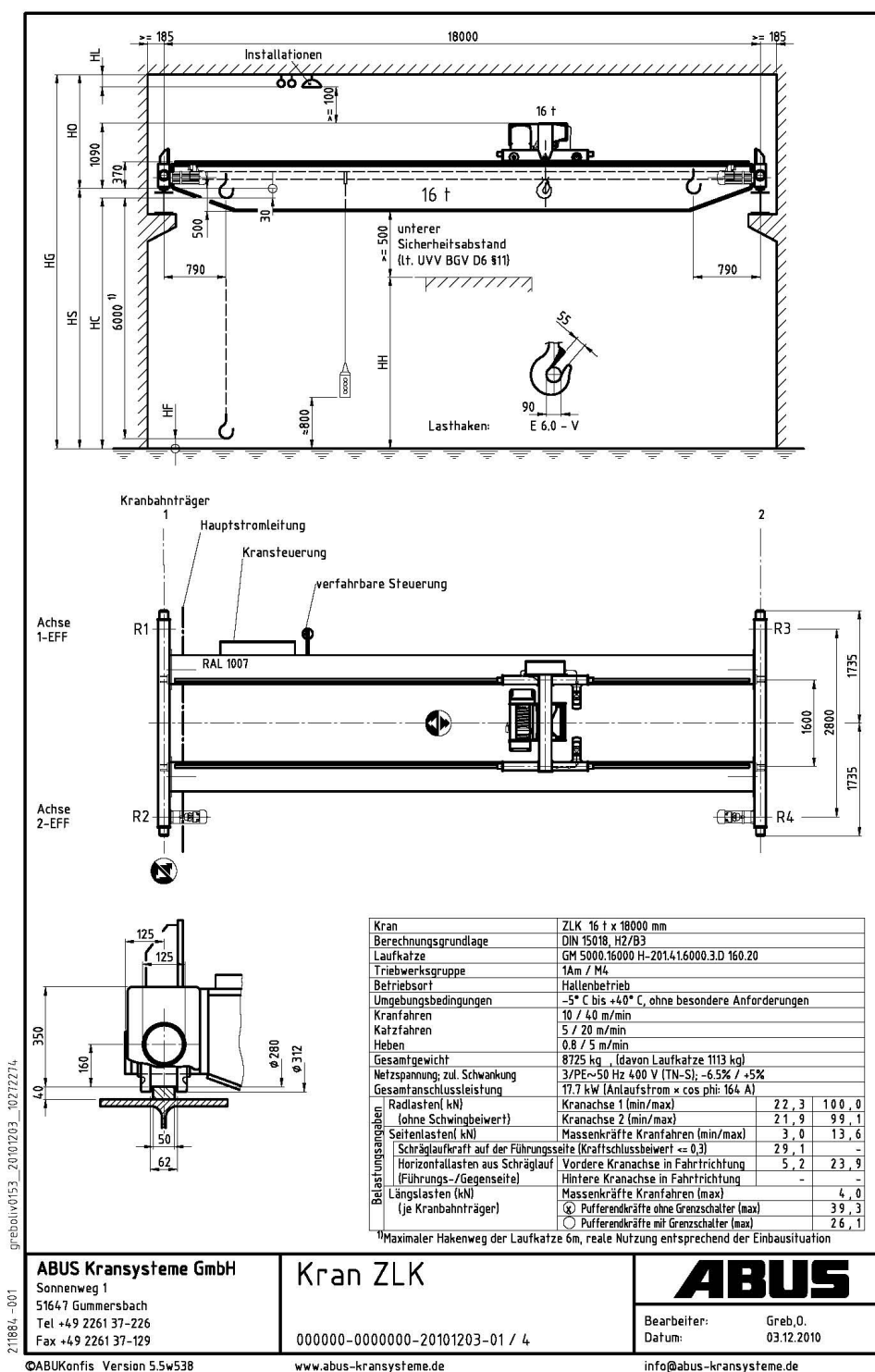


Abbildung 38: Kran-Datenblatt – ZLK 16t x 18000 mm

Quelle: ABUS Kransysteme GmbH, Gummersbach

## Anlage 2

Komplexbeispiel einer zweischiffige Industriehalle aus Stahl  
mit zwei übereinander angeordneten Kranen

**Anlage 2 - Inhaltsverzeichnis**

Tabellenverzeichnis.....	III
1 Baubeschreibung.....	IV
2 Lastannahmen.....	V
2.1 Eigengewicht.....	V
2.2 Windlasten.....	V
2.2.1 Außendrucke für die Außenwände.....	V
2.2.2 Außendrucke für das Satteldach des 1. Hallenschiffes.....	VI
2.2.3 Außendrucke für das Satteldach des 2. Hallenschiffes.....	VI
2.2.4 Innendrucke.....	VII
2.3 Schneelast.....	VII
2.4 Lasten infolge Kranbetrieb.....	VIII
3 Hallenrahmen.....	IX
3.1 Lastfälle.....	IX
3.2 Lastfallgruppen LG.....	X
3.3 Ausdruckprotokoll RSTAB 5.14 - Hallenrahmen.....	XI
3.4 Gebrauchstauglichkeitsnachweise.....	XLIII
3.4.1 Verformungsbeschränkung für Rahmenriegel.....	XLIII
3.4.2 Verformungsbeschränkung für Kranbetrieb.....	XLIII
4 Dachverbände.....	XLIV
4.1 1. Hallenschiff.....	XLIV
4.1.1 Lastfälle.....	XLIV
4.1.2 Ausdruckprotokoll RSTAB 5.14 – Dachverband 1. Hallenschiff.....	XLV
4.2 2. Hallenschiff.....	LI
4.2.1 Lastfälle.....	LI
4.2.2 Ausdruckprotokoll RSTAB 5.14 – Dachverband 2. Hallenschiff.....	LII
5 Wandverbände.....	LVIII
5.1 Wandverband linke Achse.....	LVIII
5.1.1 Lastfälle.....	LVIII
5.1.2 Ausdruckprotokoll RSTAB 5.14 – Wandverband linke Achse.....	LIX
5.2 Wandverband mittlere Achse.....	LXV
5.2.1 Lastfälle.....	LXV
5.2.2 Ausdruckprotokoll RSTAB 5.14 – Wandverband mittlere Achse.....	LXVI

5.3 Wandverband rechte Achse.....	LXXII
5.3.1 Lastfälle .....	LXXII
5.3.2 Ausdruckprotokoll RSTAB 5.14 – Wandverband rechte Achse....	LXXIII
6 Pfette IPE200.....	LXXVII
6.1 Lastfälle.....	LXXVII
6.2 Ausdruckprotokoll RSTAB 5.14 – Pfette IPE200.....	LXXVIII
6.3 Gebrauchstauglichkeitsnachweis.....	LXXXVI
7 Trapezprofil.....	LXXXVII
7.1 Lastfälle.....	LXXXVII
7.2 Ausdruckprotokolle RSTAB 5.14.....	LXXXVIII
7.2.1 Trapezblech 1. Hallenschiff.....	LXXXVIII
7.2.2 Trapezblech 2. Hallenschiff.....	XCII
7.3 Nachweisführung.....	XCVI
7.3.1 Querschnitts- und Widerstandsgrößen des Trapezbleches.....	XCVI
7.3.2 Nachweis des Trapezbleches – 1. Hallenschiff.....	XCVI
7.3.3 Nachweis des Trapezbleches – 2. Hallenschiff.....	XCVII
8 Auszug aus dem Prüfbescheid II B2-543-921 (Hoesch Trapezprofil).....	XCIX

## Tabellenverzeichnis

Tabelle 1: Außenwände - Anströmrichtung $0^\circ$ - Außendruckbeiwerte.....	V
Tabelle 2: Außenwände - Anströmrichtung $90^\circ$ - Außendruckbeiwerte.....	VI
Tabelle 3: Satteldach 1. Hallenschiff- Anströmrichtung $0^\circ$ - Außendruckbeiwerte.....	VI
Tabelle 4: Satteldach 1. Hallenschiff- Anströmrichtung $90^\circ$ - Außendruckbeiwerte.....	VI
Tabelle 5: Satteldach 2. Hallenschiff- Anströmrichtung $0^\circ$ - Außendruckbeiwerte.....	VII
Tabelle 6: Satteldach 2. Hallenschiff- Anströmrichtung $90^\circ$ - Außendruckbeiwerte.....	VII
Tabelle 7: Innendrucke.....	VII
Tabelle 8: Auflagerkräfte der Kranbahnen infolge Kranbetrieb auf die Konsolen.....	VIII



## 1 Baubeschreibung

Bauvorhaben: Zweischiffige Industriehalle aus Stahl

Bauort: Lastannahmen werden für folgende Region getroffen:

Windzone 2 (Binnenland)

Schneelastzone 2 bis 285 m ü. d. M.

Abmessungen:

1. Hallenschiff:	Hallenbreite (Achismaß): 19,00 m
	Hallenlänge (Achismaß): 60,00 m
	Firsthöhe (Achismaß): 10,83 m
	Traufhöhe (Achismaß): 10,00 m
	Satteldach: Dachneigung: 5°
	Höhe der 1. Kranbahnkonsole: 6,00 m
	Höhe der 2. Kranbahnkonsole: 8,00 m
2. Hallenschiff:	Hallenbreite (Achismaß): 19,00 m
	Hallenlänge (Achismaß): 60,00 m
	Firsthöhe (Achismaß): 7,83 m
	Traufhöhe (Achismaß): 7,00 m
	Satteldach: Dachneigung: 5°

Rahmenabstand: 6,00 m

Krane: 1. Kranbahnkonsole: 10 t Hublast (ABUS ELK 2t x 18000 mm)

2. Kranbahnkonsole: 2 t Hublast (ABUS ELK 10t x 18000 mm)

Dachaufbau: Es wird ein Pfettendach als Warmdach mit Trapezblecheindeckung und bituminös verklebtem Dachaufbau ausgeführt. Die Pfetten werden als 3-Feldträger ausgebildet und das Trapezblech spannt als Durchlaufträger über je eine Dachhälfte.

Wandaufbau: Die Wände werden als durchlässig angenommen, deshalb ist der Innendruck nach DIN 1055-4 als Lastfall zu berücksichtigen. Die Wandverkleidung wird als Dreifeldträger angenommen.

Material: Für die Stahlkonstruktion ist der Werkstoff S235 vorgesehen.

Statisches Grundkonzept: Die zweischiffige Halle wird als 3-stieliger Rahmen mit gelenkig gelagerten Stützenfüßen ausgeführt. Die Aussteifung der Halle senkrecht zur Rahmenebene wird durch druckschlaffe Diagonalverbände zwischen dem ersten und letzten Hallenfeld realisiert. Des weiteren wird in den genannten Hallenfeldern die horizontale Verschiebung der Dachebene durch K-Verbände behindert, wobei die Pfetten als Druckpfosten fungieren. Im 1. Hallenschiff werden zwei übereinander angeordneten Brückenlaufkranen eingesetzt, deren Kranbahnen auf Konsolen, die biegesteif an die Hallenstützen anschließen, gelagert sind.

## 2 Lastannahmen

### 2.1 Eigengewicht

Das Eigengewicht des Dachaufbaus setzt sich aus folgenden Anteilen zusammen:

- Abdichtungsbahn 2-lagig 0,11 kN/m<sup>2</sup>
- Dämmung 14 cm 0,14 kN/m<sup>2</sup>
- Dampfsperrbahn 0,05 kN/m<sup>2</sup>
- Trapezblech T50.1 Positivlage t = 0,88 mm 0,088kN/m<sup>2</sup>
- $\Sigma$  Dachaufbau 0,388 kN/m<sup>2</sup>
- Pfetten IPE 200 0,2237 kN/m

Das Statikprogramm RSTAB 5.14 berücksichtigt automatisch den Ansatz der Eigengewichte der Rahmenquerschnitte.

### 2.2 Windlasten

Die Windlastannahme wird mit vereinfachten Böengeschwindigkeitsdrücke für Bauwerke bis 25 m Höhe geführt (DIN 1055-4 Tab. 2).

Für die Windzone 2 (Binnenland) gilt:

- 1. Hallenschiff: 10 m < Firsthöhe h = 10,83 m < 18m  
Geschwindigkeitsdruck q = 0,8 kN/m<sup>2</sup>
- 2. Hallenschiff: Firsthöhe h = 7,83 m < 10 m  
Geschwindigkeitsdruck q = 0,65 kN/m<sup>2</sup>

#### 2.2.1 Außendrucke für die Außenwände

Die Berechnung der Außendruckbeiwerte für die Wände wird vereinfacht, auf der sicheren Seite liegend, mit dem ermittelten Böengeschwindigkeitsdruck q = 0,8 kN/m<sup>2</sup> des 1. Hallenschiffes geführt.

#### Anströmrichtung $\theta = 0^\circ$

$$h = 10,83 \text{ m} \quad d = 38 \text{ m} \quad b = 60 \text{ m}$$

$$e = b = 60 \text{ m} > 2h = 21,66 \text{ m}$$

$$e = 21,66 \text{ m} < d = 38 \text{ m} \quad e/5 = 4,33 \text{ m}$$

h/d = 0,285	A	B	C	D	E
$C_{pe,10}$	-1,2	-0,8	-0,5	+0,705	-0,309
$w_e$ [kN/m <sup>2</sup> ]	-0,96	-0,64	-0,4	+0,56	-0,25

Tabelle 1: Außenwände - Anströmrichtung  $0^\circ$  - Außendruckbeiwerte

**Anströmrichtung  $\theta = 90^\circ$** 

$$h = 10,83 \text{ m} \quad d = 60 \text{ m} \quad b = 38 \text{ m}$$

$$e = b = 38 \text{ m} > 2h = 21,66 \text{ m}$$

$$e = 21,66 \text{ m} < d = 60 \text{ m} \quad e/5 = 4,33 \text{ m}$$

$h/d \leq 0,25$	A	B	C	D	E
$C_{pe,10}$	-1,2	-0,8	-0,5	+0,7	-0,3
$w_e \text{ [kN/m}^2\text{]}$	-0,96	-0,64	-0,4	+0,56	-0,24

**Tabelle 2: Außenwände - Anströmrichtung  $90^\circ$  - Außendruckbeiwerte****2.2.2 Außendrucke für das Satteldach des 1. Hallenschiffes**

$$\text{Geschwindigkeitsdruck } q = 0,8 \text{ kN/m}^2$$

**Anströmrichtung  $\theta = 0^\circ$** 

$$h = 10,83 \text{ m} \quad b = 60 \text{ m}$$

$$e = b = 60 \text{ m} > 2h = 21,66 \text{ m}$$

$$e = 21,66 \text{ m} \quad e/4 = 5,42 \text{ m} \quad e/10 = 2,17 \text{ m}$$

$\alpha = 5^\circ$	F	G	H	I	J
$C_{pe,10}$	-1,7	-1,2	-0,6	-0,6/+0,2	-0,6/+0,2
$w_e \text{ [kN/m}^2\text{]}$	-1,36	-0,96	-0,48	-0,48/+0,16	-0,48/+0,16

**Tabelle 3: Satteldach 1. Hallenschiff- Anströmrichtung  $0^\circ$  - Außendruckbeiwerte****Anströmrichtung  $\theta = 90^\circ$** 

$$h = 10,83 \text{ m} \quad b = 19 \text{ m}$$

$$e = b = 19 \text{ m} > 2h = 21,66 \text{ m}$$

$$e = 19 \text{ m} \quad e/4 = 4,75 \text{ m} \quad e/10 = 1,9 \text{ m}$$

$\alpha = 5^\circ$	F	G	H	I	
$C_{pe,10}$	-1,6	-1,3	-0,7	-0,6/+0,2	
$w_e \text{ [kN/m}^2\text{]}$	-1,28	-1,04	-0,56	-0,48/+0,16	

**Tabelle 4: Satteldach 1. Hallenschiff- Anströmrichtung  $90^\circ$  - Außendruckbeiwerte****2.2.3 Außendrucke für das Satteldach des 2. Hallenschiffes**

$$\text{Geschwindigkeitsdruck } q = 0,65 \text{ kN/m}^2$$

**Anströmrichtung  $\theta = 0^\circ$** 

$$h = 7,83 \text{ m} \quad b = 60 \text{ m}$$

$$e = b = 60 \text{ m} > 2h = 15,66 \text{ m}$$

$$e = 15,66 \text{ m} \quad e/4 = 3,92 \text{ m} \quad e/10 = 1,57 \text{ m}$$

$\alpha = 5^\circ$	F	G	H	I	J
$C_{pe,10}$	-1,7	-1,2	-0,6	-0,6/+0,2	-0,6/+0,2
$w_e$ [kN/m <sup>2</sup> ]	-1,11	-0,78	-0,39	-0,39/+0,13	-0,39/+0,13

Tabelle 5: Satteldach 2. Hallenschiff- Anströmrichtung 0° - Außendruckbeiwerte

**Anströmrichtung  $\theta = 90^\circ$** 

$$h = 7,83 \text{ m} \quad b = 19 \text{ m}$$

$$e = b = 19 \text{ m} > 2h = 15,66 \text{ m}$$

$$e = 15,66 \text{ m} \quad e/4 = 3,92 \text{ m} \quad e/10 = 1,57 \text{ m}$$

$\alpha = 5^\circ$	F	G	H	I	
$C_{pe,10}$	-1,6	-1,3	-0,7	-0,6/+0,2	
$w_e$ [kN/m <sup>2</sup> ]	-1,04	-0,85	-0,46	-0,39/+0,13	

Tabelle 6: Satteldach 2. Hallenschiff- Anströmrichtung 90° - Außendruckbeiwerte

**2.2.4 Innendrucke**

Die Innendrucke werden nach DIN 1055-4 Kap. 12.1.8 für ein Flächenparameter  $\mu$  zwischen 0,47 und 0,7 bestimmt. Vereinfacht, auf der sicheren Seite liegend, wird der Böengeschwindigkeitsdruck  $q = 0,8 \text{ kN/m}^2$  des 1. Hallenschiffes angesetzt.

$C_{pi}$	+0,2	-0,3
$w_i$ [kN/m <sup>2</sup> ]	+0,16	-0,24

Tabelle 7: Innendrucke

**2.3 Schneelast**

Für Bauorte bis zu einer Höhe von 285 m ü. d. M. in der Schneelastzone 2 wird nach DIN 1055-5 Bild 2 die Schneelast  $s_k$  auf den Wert  $0,85 \text{ kN/m}^2$  festgelegt.

Aus der Dachneigung des Satteldaches  $\alpha = 5^\circ$  ergibt sich der Formbeiwert  $\mu_1 = 0,8$ .

Das Produkt aus Schneelast und Formbeiwert ergibt die anzusetzende Schneelast  $s_1$  auf die Satteldächer der beiden Hallenschiffe von  $s_1 = 0,68 \text{ kN/m}^2$ .

An der Mittelstütze der zweischiffigen Halle kommt es zu einem Höhengsprung von 3 m zwischen dem 1. und 2. Hallenschiff. Nach DIN 1055-5 Kap. 4.3.7 muss deshalb das Anwehen und/oder Abrutschen des Schnees vom höher gelegenen Dach berücksichtigt werden.

Höhengsprung  $h = 3 \text{ m} > 0,5 \text{ m} \rightarrow$  zusätzliche Belastung aus Abrutschen und/oder Anwehen von Schnee muss berücksichtigt werden

Formbeiwert  $\mu_s = 0$  für  $\alpha = 5^\circ < 15^\circ$

Formbeiwert  $\mu_4$  :

$$\mu_w = \frac{b_1 + b_2}{2 \cdot h} = \frac{19 \text{ m} + 19 \text{ m}}{2 \cdot 3 \text{ m}} = \underline{6,33} < \mu_w = \frac{\gamma \cdot h}{s_k} - \mu_s = \frac{2 \frac{\text{kN}}{\text{m}^3} \cdot 3 \text{ m}}{0,85 \frac{\text{kN}}{\text{m}^2}} = 7,06$$

$$0,8 < \mu_4 = \mu_w + \mu_s = 6,33 + 0,00 = 6,33 > \underline{4,0}$$

$$\text{Schneelast } s_4 : s_4 = \mu_4 \cdot s_k = 4,0 \cdot 0,85 = 3,4 \frac{\text{kN}}{\text{m}^2}$$

$$\text{Länge des Verwehungskeils: } 5 \text{ m} < l_s = 2 \cdot h = 2 \cdot 3 \text{ m} = \underline{6 \text{ m}} < 15 \text{ m}$$

## 2.4 Lasten infolge Kranbetrieb

Im 1. Hallenschiff wird auf der 1. Konsole ein Brückenlaufkran mit 10 t Traglast installiert und auf der 2. Konsole ein Brückenlaufkran mit 2 t Traglast.

Die maximalen Auflagerkräfte der Kranbahnen infolge Kranbetrieb auf die Konsolen kann nachfolgender Tabelle entnommen werden.

linker Kranbahnträger / linke Katzstellung					
		vertikale Auflagerlasten		horizontale Auflagerlasten	
Hublast	statisches System des Kranbahnträgers	Eigengewicht der Kranbahn [kN]	Radlast [kN] mit $\varphi=1,1$	Schräglaukraft [kN]	Massekraft [kN]
2t	Einfeldträger	4,62	28,07	4,4	1,08
10t	Einfeldträger	7,96	102,74	15,95	4,19
rechter Kranbahnträger / linke Katzstellung					
		vertikale Auflagerlasten		horizontale Auflagerlasten	
Hublast	statisches System des Kranbahnträgers	Eigengewicht der Kranbahn [kN]	Radlast [kN] mit $\varphi=1,1$	Schräglaukraft [kN]	Massekraft [kN]
2t	Einfeldträger	4,62	10,9	4,4	0,45
10t	Einfeldträger	7,96	22,9	15,95	0,95

**Tabelle 8: Auflagerkräfte der Kranbahnen infolge Kranbetrieb auf die Konsolen**

Die Pufferkräfte können den Krاندatenblättern entnommen werden. Für den 2 t-Kran wird eine maximale Pufferkraft von 15,5 kN angegeben, für den 10 t-Kran eine maximale Pufferkraft von 24,2 kN.

### 3 Hallenrahmen

#### 3.1 Lastfälle

Alle im Folgenden nicht aufgeführten Lastfälle wurden untersucht und als nicht bemessungsrelevant eingestuft.

##### LF 1 Eigengewichte

Die Last infolge Dachaufbau wird als Streckenlast auf die Rahmenriegel angesetzt, wohingegen die Pfetten als Einzellasten in ihren Auflagerpunkten auf den Riegeln berücksichtigt werden.

Die auf den Rahmenriegel anzusetzenden Strecken- und Einzellasten errechnen sich zu:

$$g^* = \Sigma g \cdot b \cdot 1,1 = 0,388 \frac{\text{kN}}{\text{m}^2} \cdot 6 \text{ m} \cdot 1,1 = 2,561 \frac{\text{kN}}{\text{m}}$$

$$F_{\text{IPE 200}} = g_{\text{IPE 200}} \cdot b \cdot 1,1 = 0,2237 \frac{\text{kN}}{\text{m}} \cdot 6 \text{ m} \cdot 1,1 = 1,48 \text{ kN}$$

mit

Rahmenabstand  $b = 6 \text{ m}$

Faktor 1,1 resultiert aus der 3-Feldträgerwirkung der Pfetten

Die Eigengewichte der Kranbahnen werden aus Tabelle 8 entnommen.

Das Statikprogramm RSTAB 5.14 berücksichtigt automatisch den Ansatz der Eigengewichte der Rahmenquerschnitte.

##### LF 2 Schnee

Die auf die Rahmenriegel anzusetzende Schneelasten berechnen sich zu:

$$s_1^* = s_1 \cdot b \cdot 1,1 = 0,68 \frac{\text{kN}}{\text{m}^2} \cdot 6 \text{ m} \cdot 1,1 = 4,488 \frac{\text{kN}}{\text{m}}$$

$$s_4^* = s_4 \cdot b \cdot 1,1 = 3,4 \frac{\text{kN}}{\text{m}^2} \cdot 6 \text{ m} \cdot 1,1 = 22,44 \frac{\text{kN}}{\text{m}}$$

mit

Rahmenabstand  $b = 6 \text{ m}$

Faktor 1,1 resultiert aus der 3-Feldträgerwirkung der Pfetten

##### LF 3-5 Windlasten

Die Windlasten werden als Streckenlasten auf den Rahmen angesetzt. Auf die detaillierte Darstellung der Umrechnung der Flächenlasten auf den Hallenrahmen, unter Berücksichtigung der Einteilung von Wand- und Dachflächen nach DIN 1055-4, wird an dieser Stelle verzichtet.

Mit nachfolgenden Gleichungen werden die Flächenlasten zu Streckenlasten auf den Hallenrahmen berechnet:

$$w_e^* = w_e * b * 1,1 \quad \text{bzw.} \quad w_i^* = w_i * b * 1,1$$

mit

Rahmenabstand  $b = 6\text{m}$

Faktor 1,1 resultiert aus der 3–Feldträgerwirkung der Pfetten bzw. Wandriegel

LF 10-17 Kräfte infolge Kranbetrieb

Die anzusetzenden Lasten werden Tabelle 8 entnommen.

LF 20-27 Kräfte infolge Kranbetrieb

Beim Gebrauchstauglichkeitsnachweis nach EC 3 wird der Schwingbeiwert  $\varphi = 1,0$  gesetzt. Deshalb ist es erforderlich die in Tabelle 8 aufgeführten Radlasten mit dem Faktor 1,1 zu dividieren.

LF 30-33

Für die maßgebenden Lastfallgruppen werden die Imperfektionen nach DIN 18800-2 angesetzt, um den Biegeknicknachweis nach Theorie II. Ordnung führen zu können.

### **3.2 Lastfallgruppen LG**

LG 1-6 (Tragsicherheitsnachweise)

Die Lastfälle Eigengewicht, Schnee und Wind werden gemäß DIN 18800-1 überlagert

LG 10-37 (Tragsicherheitsnachweise)

Die Lastfälle Eigengewicht, Schnee, Wind sowie die Kräfte infolge Kranbetrieb mit unterschiedlicher Katzstellung werden überlagert.

LG 40-43 (Tragsicherheitsnachweise)

Die im Spannungsnachweis maßgebenden LG werden mit den nach DIN 18800-2 ermittelten Imperfektionen überlagert.

LG 70-73 (Gebrauchstauglichkeit)

Die Lastfallgruppen, die die größten Verformungen der Rahmenriegel aufweisen, werden auf Gebrauchstauglichkeit untersucht.

LG 80-87 (Gebrauchstauglichkeit)

Nach DIN EN 1993-6 wird der Rahmen mit den Lasten aus Kranbetrieb auf Gebrauchstauglichkeit untersucht.

## 3.3 Ausdruckprotokoll RSTAB 5.14 - Hallenrahmen

Projekt: Bachelorarbeit	Position: Hallenrahmen	Seite: 1
-------------------------	------------------------	----------

## INHALT

Inhalt .....	1
Basisangaben .....	1
Strukturdaten .....	
Knoten .....	1
Materialien .....	2
Querschnitte .....	2
Stäbe .....	2
Auflager .....	3
Exzentrische Anschlüsse .....	3
Stabzüge .....	3
Grafik - Struktur .....	3
Belastungen .....	
Basisangaben der Lastfälle .....	4
LF 1 - Eigengewichte .....	4
LF 2 - Schnee .....	4
LF 3 - Wind 90°; Dach: Druck + negativer Innendruck .....	4
LF 4 - Wind 0° v.links; Dach:Sog/Druck+neg.Innendru .....	4
LF 5 - Wind 0° v.rechts; Dach:Druck/Sog+neg.Innend .....	5
LF 10 - Katzzstellungen links; Massekräfte nach links .....	5
LF 11 - Katzzstellungen links; Massekräfte nach rechts .....	5
LF 12 - Katzzstellungen links; Schräglaufrkräfte n. außen .....	5
LF 13 - Katzzstellungen links; Schräglaufrkräfte n. innen .....	5
LF 14 - Katzzstellungen rechts; Massekräfte nach links .....	5
LF 15 - Katzzstellungen rechts; Massekräfte nach rechts .....	6
LF 16 - Katzzstellungen rechts; Schräglaufrkräfte n. auße .....	6
LF 17 - Katzzstellungen rechts; Schräglaufrkräfte n. inne .....	6
LF 20 - phi=1,0: Katzzstellung links; Massekräfte nach l. .....	6
LF 21 - phi=1,0: Katzzstellung links; Massekräfte nach r. .....	6
LF 22 - phi=1,0: Katzzstellung links; Schräglaufrkr. n. a. .....	6
LF 23 - phi=1,0: Katzzstellung links; Schräglaufrkr. n. i. .....	6
LF 24 - phi=1,0: Katzzstellung rechts; Massekräfte n. l. .....	6
LF 25 - phi=1,0: Katzzstellung rechts; Massekräfte n. r. .....	7
LF 26 - phi=1,0: Katzzstellung rechts; Schräglaufrkr. n. a. .....	7
LF 27 - phi=1,0: Katzzstellung rechts; Schräglaufrkr. n. i. .....	7
LF 30 - Imperfektion LG 11 .....	7
LF 31 - Imperfektion LG 12 .....	7
LF 32 - Imperfektion LG 21 .....	7
LF 33 - Imperfektion LG 34 .....	7
LF-Gruppen .....	8
LF-, LG-Ergebnisse .....	
Schnittgrößen stabbezogen .....	9
Auflagerkräfte und -momente .....	26
Globale Knotenverformungen .....	27
Globale Stabverschiebungen .....	28
STAHL .....	30
STAHL1 - Spannungsanalyse .....	30
Basisangaben .....	30
Grenzspannungen .....	30
Querschnitte .....	30
Ergebnisse .....	30
Max. Spannungen in Querschnitten .....	30
BGDK .....	31
BGDK1 - BGDK-Nachweis .....	31
Basisangaben .....	31
Materialdaten .....	31
Querschnitte .....	31
BGDK-Daten (1,11,21,9,14) .....	32
Ergebnisse .....	32
Nachweis querschnittsweise .....	32

## BASISANGABEN

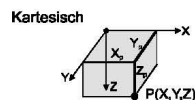
## BERECHNUNGSART

- |  |   |
|--|---|
| <input checked="" type="checkbox"/> Statik     | <input checked="" type="checkbox"/> Theorie I. Ordnung  |
| <input type="checkbox"/> Nachweis              | <input checked="" type="checkbox"/> Theorie II. Ordnung |
| <input type="checkbox"/> Dynamik               | <input type="checkbox"/> Seiltheorie                    |
| <input checked="" type="checkbox"/> Lastfälle  | <input checked="" type="checkbox"/> Bemessungsfälle     |
| <input checked="" type="checkbox"/> LF-Gruppen | <input type="checkbox"/> Dynamikfälle                   |
| <input type="checkbox"/> LF-Kombinationen      | <input type="checkbox"/> Knickfiguren                   |

## STRUKTURKENNWERTE

- |   |                  |                    |
|---|------------------|--------------------|
| <input type="checkbox"/> 1D-Durchlaufträger     | 26 Knoten        | 25 Stäbe           |
| <input type="checkbox"/> 2D-Stabwerk            | 1 Materialien    | 0 Seilstäbe        |
| <input checked="" type="checkbox"/> 3D-Stabwerk | 7 Querschnitte   | 0 Voutenstäbe      |
| <input type="checkbox"/> Trägerrost             | 0 Stabendgelenke | 0 El. gebet. Stäbe |
|   | 0 Stabteilungen  | 7 Stabzüge         |

## STRUKTUR



## KNOTEN

Knoten-Nr.	Koordinatensystem	Bezugs-Knoten	X [m]	Knotenkoordinaten Y [m]	Z [m]
1	Kartesisch	-	0.000	0.000	0.000
2	Gelagert	-	0.000	0.000	-6.000
3	Kartesisch	-	0.000	0.000	-8.000
4	Kartesisch	-	0.000	0.000	-10.000
5	Gelagert	-	3.167	0.000	-10.277
6	Kartesisch	-	6.333	0.000	-10.553
7	Gelagert	-	9.500	0.000	-10.830



Projekt: Bachelorarbeit

Position: Hallenrahmen

Seite: 2

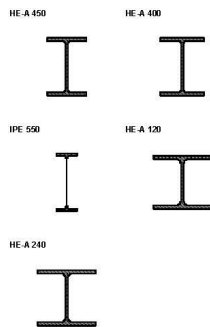
## KNOTEN

Knoten-Nr.	Koordinaten-system	Bezugs-Knoten	Knotenkoordinaten		
			X [m]	Y [m]	Z [m]
8	Kartesisch	-	12.667	0.000	-10.553
9	Gelagert Kartesisch	-	15.833	0.000	-10.277
10	Gelagert Kartesisch	-	19.000	0.000	0.000
11	Kartesisch	-	19.000	0.000	-8.000
12	Kartesisch	-	19.000	0.000	-7.000
13	Gelagert Kartesisch	-	19.000	0.000	-8.000
14	Gelagert Kartesisch	-	19.000	0.000	-10.000
15	Kartesisch	-	20.583	0.000	-7.138
16	Kartesisch	-	22.167	0.000	-7.277
17	Gelagert Kartesisch	-	25.333	0.000	-7.553
18	Gelagert Kartesisch	-	28.500	0.000	-7.830
19	Kartesisch	-	31.667	0.000	-7.553
20	Gelagert Kartesisch	-	34.833	0.000	-7.277
21	Gelagert Kartesisch	-	38.000	0.000	0.000
22	Kartesisch	-	38.000	0.000	-7.000
23	Gelagert Kartesisch	2	0.500	0.000	0.000
24	Kartesisch	3	0.500	0.000	0.000
25	Kartesisch	11	-0.500	0.000	0.000
26	Kartesisch	13	-0.500	0.000	0.000

## MATERIALIEN

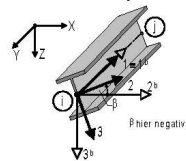
Mater.-Nr.	Material-Bezeichnung	E-Modul [kN/cm <sup>2</sup> ]	Schubmodul [kN/cm <sup>2</sup> ]	Sp. Gewicht [kN/cm <sup>3</sup> ]	Wärmedehn. [1/°C]
1	Stahl	2.100E+04	8.100E+03	7.850E-05	1.200E-05

## QUERSCHNITTE



Quer.-Nr.	Mater.-Nr.	Querschnitts-Bezeichnung	$I_T$ A	$I_2$ A <sub>2</sub>	$I_3$ [cm <sup>4</sup> ] A <sub>3</sub> [cm <sup>2</sup> ]
1	1	HE-A 450	245.00 178.000	63720.00	9470.00
2	1	HE-A 450	245.00 178.000	63720.00	9470.00
3	1	HE-A 400	190.00 159.000	45070.00	8560.00
4	1	IPE 550	124.00 134.000	67120.00	2670.00
5	1	IPE 550	124.00 134.000	67120.00	2670.00
6	1	HE-A 120	6.02 25.300	606.00	231.00
7	1	HE-A 240	41.70 76.800	7760.00	2770.00

## Lokales Stabachsensystem



## STÄBE

Stab-Nr.	Stab-typ	Knoten		Beta [°]	Querschnitt		Gelenk		Teil-Nr.	Länge [m]	Stab-lage
		Anf.	Ende		Anf.	Ende	Anf.	Ende			
1	Balken	1	2	0.00	1	1	-	-	-	6.000	VERT
2	Balken	2	3	0.00	1	1	-	-	-	2.000	VERT
3	Balken	3	4	0.00	1	1	-	-	-	2.000	VERT
4	Balken	4	5	0.00	4	4	-	-	-	3.179	ALLG
5	Balken	5	6	0.00	4	4	-	-	-	3.179	ALLG
6	Balken	6	7	0.00	4	4	-	-	-	3.179	ALLG
7	Balken	7	8	0.00	4	4	-	-	-	3.179	ALLG
8	Balken	8	9	0.00	4	4	-	-	-	3.179	ALLG
9	Balken	9	14	0.00	4	4	-	-	-	3.179	ALLG
10	Balken	10	11	0.00	2	2	-	-	-	6.000	VERT
11	Balken	11	12	0.00	2	2	-	-	-	1.000	VERT
12	Balken	12	13	0.00	2	2	-	-	-	1.000	VERT
13	Balken	13	14	0.00	2	2	-	-	-	2.000	VERT
14	Balken	12	15	0.00	5	5	-	-	-	1.589	ALLG
15	Balken	15	16	0.00	5	5	-	-	-	1.589	ALLG
16	Balken	16	17	0.00	5	5	-	-	-	3.179	ALLG
17	Balken	17	18	0.00	5	5	-	-	-	3.179	ALLG
18	Balken	18	19	0.00	5	5	-	-	-	3.179	ALLG
19	Balken	19	20	0.00	5	5	-	-	-	3.179	ALLG
20	Balken	20	22	0.00	5	5	-	-	-	3.179	ALLG
21	Balken	21	22	0.00	3	3	-	-	-	7.000	VERT
22	Balken	2	23	0.00	7	7	-	-	-	0.280	HORI
23	Balken	3	24	0.00	6	6	-	-	-	0.280	HORI
24	Balken	11	25	0.00	7	7	-	-	-	0.280	HORI

Projekt: Bachelorarbeit	Position: Hallenrahmen	Seite: 3
-------------------------	------------------------	----------

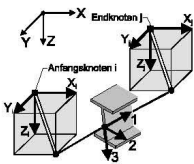
STÄBE

Stab-Nr.	Stab-typ	Knoten Anf.	Knoten Ende	Beta [°]	Querschnitt Anf.	Querschnitt Ende	Gelenk Anf.	Gelenk Ende	Teil.-Nr.	Länge [m]	Stab-lage
25	Balken	13	26	0.00	6	6	-	-	-	0.280	HORI

AUFLAGER

Lager-Nr.	Gelagerte Knoten	Drehung [°]		Festes Auflager bzw. Feder [kN/m] [kNm/rad]			Feder [kN/m] [kNm/rad]		
		Alpha	Beta	in X	in Y	in Z	um X	um Y	um Z
1	1, 10, 21	0.0	0.0	Ja	Ja	Ja	Nein	Nein	Nein
2	4-9, 12, 14, 16-20, 22	0.0	0.0	Nein	Ja	Nein	Nein	Nein	Nein

Exzentrische Anschlüsse



EXZENTRISCHE ANSCHLÜSSE

Exz.-Nr.	Exz. Anschluß an Stäben	Stab-Seite	X [m]	Exzentrizität in Richtung Y [m]	Exzentrizität in Richtung Z [m]
1	22-25	Anfang	0.220	0.000	0.000

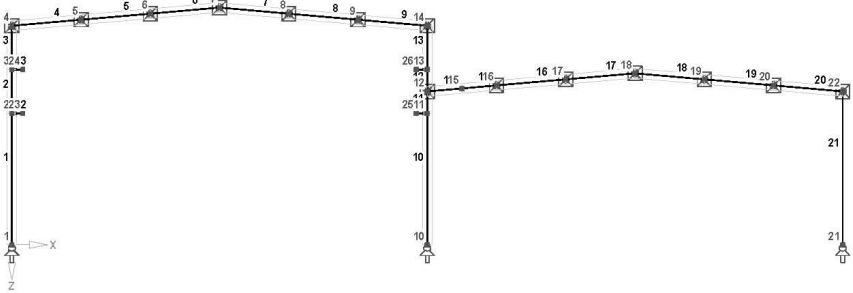
STABZÜGE

Zug-Nr.	Stabzug-Bezeichnung	Stabzug gebildet aus Stäben
1	Stütze links	1-3
2	Stütze mitte, oberer Teil	12, 13
3	Stütze mitte, unterer Teil	10, 11
4	Riegel 1. Hallenschiff	4-9
5	Riegel 2. Hallenschiff	14-20
6	Riegelstück 2.1	14, 15
7	Stütze mitte	10-13

STRUKTUR

Knotennummerierung  
Stabnummerierung

Entgegen der Y-Richtung



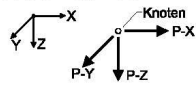
Projekt: Bachelorarbeit

Position: Hallenrahmen

Seite: 4

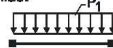
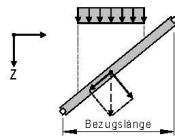
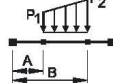
**BELASTUNG****BASISANGABEN DER LASTFÄLLE**

LF-Nr.	LF-Bezeichnung	Faktor	Überlagerungsart	Eigengewicht
1	Eigengewichte	1.00	Ständig	1.00
2	Schnee	1.00	Veränderlich	-
3	Wind 90°; Dach: Druck + negativer Innendruck	1.00	Veränderlich	-
4	Wind 0° v.links;Dach:Sog/Druck+neg.Innendru	1.00	Veränderlich	-
5	Wind 0° v.rechts;Dach:Druck/Sog+neg.Innend	1.00	Veränderlich	-
10	Katzstellungen links; Massekräfte nach links	1.00	Veränderlich	-
11	Katzstellungen links; Massekräfte nach rechts	1.00	Veränderlich	-
12	Katzstellungen links; Schräglaufkräfte n. außen	1.00	Veränderlich	-
13	Katzstellungen links; Schräglaufkräfte n. innen	1.00	Veränderlich	-
14	Katzstellungen rechts; Massekräfte nach links	1.00	Veränderlich	-
15	Katzstellungen rechts; Massekräfte nach rechts	1.00	Veränderlich	-
16	Katzstellungen rechts; Schräglaufkräfte n. auße	1.00	Veränderlich	-
17	Katzstellungen rechts; Schräglaufkräfte n. inne	1.00	Veränderlich	-
20	phi=1.0; Katzstellung links; Massekräfte nach l.	1.00	Veränderlich	-
21	phi=1.0; Katzstellung links; Massekräfte nach r.	1.00	Veränderlich	-
22	phi=1.0; Katzstellung links; Schräglaufkr. n. a.	1.00	Veränderlich	-
23	phi=1.0; Katzstellung links; Schräglaufkr. n. i.	1.00	Veränderlich	-
24	phi=1.0; Katzstellung rechts; Massekräfte n. l.	1.00	Veränderlich	-
25	phi=1.0; Katzstellung rechts; Massekräfte n. r.	1.00	Veränderlich	-
26	phi=1.0; Katzstellung rechts; Schräglaufkr. n. a.	1.00	Veränderlich	-
27	phi=1.0; Katzstellung rechts; Schräglaufkr. n. i.	1.00	Veränderlich	-
30	Imperfektion LG 11	1.00	Imperfektion	-
31	Imperfektion LG 12	1.00	Imperfektion	-
32	Imperfektion LG 21	1.00	Imperfektion	-
33	Imperfektion LG 34	1.00	Imperfektion	-

**Globale Knotenkraft****KNOTENKRÄFTE**

LF 1

Nr.	Belastete Knoten	$P_X$ [kN]	Knotenkräfte $P_Y$ [kN]	$P_Z$ [kN]
1	4-6,8,9,12,14,16,17,19,20,22	0.000	0.000	1.480
2	7,18	0.000	0.000	2.960
3	24,26	0.000	0.000	4.620
4	23,25	0.000	0.000	7.960

**1- Linienlast****Z - Global in Z-Richtung****4 - Trapezlast****STABLASTEN**

LF 1

Nr.	Belastete Stäbe	Last-art	Last-Richtung	Parameter [kN, kNm, m, °C, kN/m, kNm/m]
1	4-9,14-20	1	Z	2.805

**STABLASTEN**

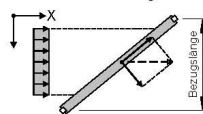
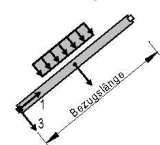
LF 2

Nr.	Belastete Stäbe	Last-art	Last-Richtung	Parameter [kN, kNm, m, °C, kN/m, kNm/m]
1	4-9,18-20	1	Z	4.488
2	14	4	Z	22.440
3	15	4	Z	17.8061
4	16	4	Z	13.1722
5	16	4	Z	4.880
6	17	4	Z	4.880

**STABLASTEN**

LF 3

Nr.	Belastete Stäbe	Last-art	Last-Richtung	Parameter [kN, kNm, m, °C, kN/m, kNm/m]
1	1-3	1	X	-2.640
2	12,13,21	1	X	2.640
3	4-9	1	3	1.056
4	14-20	1	3	0.858
5	4-9,14-20	1	3	1.584

**X - Global in X-Richtung****3 - Lokal in 3-Richtung**

Projekt: Bachelorarbeit

Position: Hallenrahmen

Seite: 5

## STABLASTEN

LF 4

Nr.	Belastete Stäbe	Last-art	Last-Richtung	Parameter [kN, kNm, m, °C, kN/m, kNm/m]			
				P <sub>1</sub>	P <sub>2</sub>	A	B
1	1-3	1	X	3.696			
2	12,13	1	X	1.650			
3	21	1	X	1.650			
4	4	4	3	-7.663	-7.663	0.000	2.170
5	4	4	3	-3.168	-3.168	2.170	3.17873
6	5	4	3	-3.168	-3.168	0.000	3.17873
7	6	4	3	-3.168	-3.168	0.000	3.17873
8	7-9	1	3	1.056			
9	18-20	1	3	0.858			
10	1-3,7-9,18-20	1	3	1.584			
11	14	4	3	-5.770	-5.770	0.000	1.570
12	14	4	3	-2.574	-2.574	1.570	1.58939
13	15	4	3	-2.574	-2.574	0.000	1.58937
14	16	4	3	-2.574	-2.574	0.000	3.17873
15	17	4	3	-2.574	-2.574	0.000	3.17873

## STABLASTEN

LF 5

Nr.	Belastete Stäbe	Last-art	Last-Richtung	Parameter [kN, kNm, m, °C, kN/m, kNm/m]			
				P <sub>1</sub>	P <sub>2</sub>	A	B
1	1-3	1	X	-1.650			
2	12,13	1	X	-3.696			
3	21	1	X	-3.696			
4	4-6	1	3	1.056			
5	7	4	3	-3.168	-3.168	0.000	3.17873
6	8	4	3	-3.168	-3.168	0.000	3.17873
7	9	4	3	-3.168	-3.168	0.000	0.97254
8	9	4	3	-7.663	-7.663	0.97254	3.17873
9	14-17	1	3	0.858			
10	18	4	3	-2.574	-2.574	0.000	3.17873
11	19	4	3	-2.574	-2.574	0.000	3.17873
12	20	4	3	-2.574	-2.574	0.000	1.57254
13	20	4	3	-5.770	-5.770	1.57254	3.17873
14	4-6,14-17	1	3	1.584			
15	12,13,21	1	3	-1.584			

## KNOTENKRÄFTE

LF 10

Nr.	Belastete Knoten	P <sub>X</sub> [kN]	Knotenkräfte		P <sub>Z</sub> [kN]
			P <sub>Y</sub> [kN]		
1	24	-1.080	0.000		28.070
2	26	-0.450	0.000		10.900
3	23	-4.190	0.000		102.740
4	25	-0.950	0.000		22.900

## KNOTENKRÄFTE

LF 11

Nr.	Belastete Knoten	P <sub>X</sub> [kN]	Knotenkräfte		P <sub>Z</sub> [kN]
			P <sub>Y</sub> [kN]		
1	24	1.080	0.000		28.070
2	26	0.000	0.450		10.900
3	23	4.190	0.000		102.740
4	25	0.950	0.000		22.900

## KNOTENKRÄFTE

LF 12

Nr.	Belastete Knoten	P <sub>X</sub> [kN]	Knotenkräfte		P <sub>Z</sub> [kN]
			P <sub>Y</sub> [kN]		
1	24	-4.400	0.000		28.070
2	26	-4.400	0.000		10.900
3	23	-15.950	0.000		102.740
4	25	-15.950	0.000		22.900

## KNOTENKRÄFTE

LF 13

Nr.	Belastete Knoten	P <sub>X</sub> [kN]	Knotenkräfte		P <sub>Z</sub> [kN]
			P <sub>Y</sub> [kN]		
1	24	4.400	0.000		28.070
2	26	0.000	0.450		10.900
3	23	15.950	0.000		102.740
4	25	-15.950	0.000		22.900

## KNOTENKRÄFTE

LF 14

Nr.	Belastete Knoten	P <sub>X</sub> [kN]	Knotenkräfte		P <sub>Z</sub> [kN]
			P <sub>Y</sub> [kN]		
1	26	-1.080	0.000		28.070
2	24	-0.450	0.000		10.900
3	25	-4.190	0.000		102.740
4	23	-0.950	0.000		22.900

Projekt: Bachelorarbeit

Position: Hallenrahmen

Seite: 6

**KNOTENKRÄFTE**

LF 15

Nr.	Belastete Knoten	$P_X$ [kN]	Knotenkräfte $P_Y$ [kN]	$P_Z$ [kN]
1	26	1.080	0.000	28.070
2	24	0.450	0.000	10.900
3	25	4.190	0.000	102.740
4	23	0.950	0.000	22.900

**KNOTENKRÄFTE**

LF 16

Nr.	Belastete Knoten	$P_X$ [kN]	Knotenkräfte $P_Y$ [kN]	$P_Z$ [kN]
1	26	4.400	0.000	28.070
2	24	-4.400	0.000	10.900
3	25	15.950	0.000	102.740
4	23	-15.950	0.000	22.900

**KNOTENKRÄFTE**

LF 17

Nr.	Belastete Knoten	$P_X$ [kN]	Knotenkräfte $P_Y$ [kN]	$P_Z$ [kN]
1	26	-4.400	0.000	28.070
2	24	4.400	0.000	10.900
3	25	-15.950	0.000	102.740
4	23	15.950	0.000	22.900

**KNOTENKRÄFTE**

LF 20

Nr.	Belastete Knoten	$P_X$ [kN]	Knotenkräfte $P_Y$ [kN]	$P_Z$ [kN]
1	24	-1.080	0.000	25.520
2	26	-0.450	0.000	9.910
3	23	-4.190	0.000	93.400
4	25	-0.950	0.000	20.820

**KNOTENKRÄFTE**

LF 21

Nr.	Belastete Knoten	$P_X$ [kN]	Knotenkräfte $P_Y$ [kN]	$P_Z$ [kN]
1	24	1.080	0.000	25.520
2	26	0.450	0.000	9.910
3	23	4.190	0.000	93.400
4	25	0.950	0.000	20.820

**KNOTENKRÄFTE**

LF 22

Nr.	Belastete Knoten	$P_X$ [kN]	Knotenkräfte $P_Y$ [kN]	$P_Z$ [kN]
1	24	-4.400	0.000	25.520
2	26	4.400	0.000	9.910
3	23	-15.950	0.000	93.400
4	25	15.950	0.000	20.820

**KNOTENKRÄFTE**

LF 23

Nr.	Belastete Knoten	$P_X$ [kN]	Knotenkräfte $P_Y$ [kN]	$P_Z$ [kN]
1	24	4.400	0.000	25.520
2	26	-4.400	0.000	9.910
3	23	15.950	0.000	93.400
4	25	-15.950	0.000	20.820

**KNOTENKRÄFTE**

LF 24

Nr.	Belastete Knoten	$P_X$ [kN]	Knotenkräfte $P_Y$ [kN]	$P_Z$ [kN]
1	26	-1.080	0.000	25.520
2	24	-0.450	0.000	9.910
3	25	-4.190	0.000	93.400
4	23	-0.950	0.000	20.820

Projekt: Bachelorarbeit

Position: Hallenrahmen

Seite: 7

**KNOTENKRÄFTE**

LF 25

Nr.	Belastete Knoten	$P_x$ [kN]	Knotenkräfte $P_y$ [kN]	$P_z$ [kN]
1	26	1.080	0.000	25.520
2	24	0.450	0.000	9.910
3	25	4.190	0.000	93.400
4	23	0.950	0.000	20.820

**KNOTENKRÄFTE**

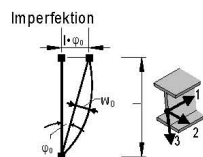
LF 26

Nr.	Belastete Knoten	$P_x$ [kN]	Knotenkräfte $P_y$ [kN]	$P_z$ [kN]
1	26	4.400	0.000	25.520
2	24	-4.400	0.000	9.910
3	25	15.950	0.000	93.400
4	23	-15.950	0.000	20.820

**KNOTENKRÄFTE**

LF 27

Nr.	Belastete Knoten	$P_x$ [kN]	Knotenkräfte $P_y$ [kN]	$P_z$ [kN]
1	26	-4.400	0.000	25.520
2	24	4.400	0.000	9.910
3	25	-15.950	0.000	93.400
4	23	15.950	0.000	20.820

**IMPERFEKTIONEN**

LF 30

Nr.	Imperfektion an Stäben	Richtung	Schiefstellung [1/ $\theta_0$ ]	Vorkrümmung [1/ $w_0$ ]	Aktiviere $w_0$ ab $\varepsilon$
1	21	3	450.077	450.000	1.600
2	1-3	3	537.945	-450.000	1.600
3	10-13	3	537.945	450.000	1.600
4	4-9	3	0.000	450.000	1.600
5	14-20	3	0.000	450.000	1.600

**IMPERFEKTIONEN**

LF 31

Nr.	Imperfektion an Stäben	Richtung	Schiefstellung [1/ $\theta_0$ ]	Vorkrümmung [1/ $w_0$ ]	Aktiviere $w_0$ ab $\varepsilon$
1	21	3	450.077	450.000	1.600
2	1-3	3	537.945	-450.000	1.600
3	10-13	3	537.945	450.000	1.600
4	4-9	3	0.000	450.000	1.600
5	14-20	3	0.000	450.000	1.600

**IMPERFEKTIONEN**

LF 32

Nr.	Imperfektion an Stäben	Richtung	Schiefstellung [1/ $\theta_0$ ]	Vorkrümmung [1/ $w_0$ ]	Aktiviere $w_0$ ab $\varepsilon$
1	21	3	450.077	450.000	1.600
2	1-3	3	537.945	-450.000	1.600
3	10-13	3	537.945	450.000	1.600
4	4-9	3	0.000	450.000	1.600
5	14-20	3	0.000	450.000	1.600

**IMPERFEKTIONEN**

LF 33

Nr.	Imperfektion an Stäben	Richtung	Schiefstellung [1/ $\theta_0$ ]	Vorkrümmung [1/ $w_0$ ]	Aktiviere $w_0$ ab $\varepsilon$
1	21	3	-450.077	450.000	1.600
2	1-3	3	-537.945	-450.000	1.600
3	10-13	3	-537.945	-450.000	1.600
4	4-9	3	0.000	450.000	1.600
5	14-20	3	0.000	450.000	1.600

Projekt: Bachelorarbeit

Position: Hallenrahmen

Seite: 8

## LF-GRUPPEN

LG-Nr.	LG-Bezeichnung	Faktor	Beiwert $\gamma_M$	Lastfälle in LG
1	Eigengewicht+1.5*0.9*(Schnee+Wind 90°)	1.00	1.10	1.35*LF1 + 1.35*LF2 + 1.35*LF3
2	Eigengewicht+1.5*(Schnee+0.5*Wind 90°)	1.00	1.10	1.35*LF1 + 1.50*LF2 + 0.75*LF3
3	Eigengewicht+1.5*0.9*(Schnee+Wind 0° von links)	1.00	1.10	1.35*LF1 + 1.35*LF2 + 1.35*LF4
4	Eigengewicht+1.5*(Schnee+0.5*Wind 0° von links)	1.00	1.10	1.35*LF1 + 1.50*LF2 + 0.75*LF4
5	Eigengewicht+1.5*0.9*(Schnee+Wind 0° von rechts)	1.00	1.10	1.35*LF1 + 1.35*LF2 + 1.35*LF5
6	Eigengewicht+1.5*(Schnee+0.5*Wind 0° von rechts)	1.00	1.10	1.35*LF1 + 1.50*LF2 + 0.75*LF5
10	Eigengewicht+Schnee+Wind 90°+Katzst. l.; Massekr. l.	1.00	1.10	1.35*LF1 + 1.35*LF2 + 1.35*LF3 + 1.35*LF10
11	Eigengewicht+Schnee+Wind 90°+Katzst. l.; Massekr. r.	1.00	1.10	1.35*LF1 + 1.35*LF2 + 1.35*LF3 + 1.35*LF11
12	Eigengewicht+Schnee+Wind 90°+Katzst. l.; Schrägl. a.	1.00	1.10	1.35*LF1 + 1.35*LF2 + 1.35*LF3 + 1.35*LF12
13	Eigengewicht+Schnee+Wind 90°+Katzst. l.; Schrägl. i.	1.00	1.10	1.35*LF1 + 1.35*LF2 + 1.35*LF3 + 1.35*LF13
14	Eigengewicht+Schnee+Wind 90°+Katzst. r.; Massekr. l.	1.00	1.10	1.35*LF1 + 1.35*LF2 + 1.35*LF3 + 1.35*LF14
15	Eigengewicht+Schnee+Wind 90°+Katzst. r.; Massekr. r.	1.00	1.10	1.35*LF1 + 1.35*LF2 + 1.35*LF3 + 1.35*LF15
16	Eigengewicht+Schnee+Wind 90°+Katzst. r.; Schrägl. a.	1.00	1.10	1.35*LF1 + 1.35*LF2 + 1.35*LF3 + 1.35*LF16
17	Eigengewicht+Schnee+Wind 90°+Katzst. r.; Schrägl. i.	1.00	1.10	1.35*LF1 + 1.35*LF2 + 1.35*LF3 + 1.35*LF17
20	Eigengewicht+Schnee+Wind 0° l.+Katzst. l.; Massekr. l.	1.00	1.10	1.35*LF1 + 1.35*LF2 + 1.35*LF4 + 1.35*LF10
21	Eigengewicht+Schnee+Wind 0° l.+Katzst. l.; Massekr. r.	1.00	1.10	1.35*LF1 + 1.35*LF2 + 1.35*LF4 + 1.35*LF11
22	Eigengewicht+Schnee+Wind 0° l.+Katzst. l.; Schrägl. a.	1.00	1.10	1.35*LF1 + 1.35*LF2 + 1.35*LF4 + 1.35*LF12
23	Eigengewicht+Schnee+Wind 0° l.+Katzst. l.; Schrägl. i.	1.00	1.10	1.35*LF1 + 1.35*LF2 + 1.35*LF4 + 1.35*LF13
24	Eigengewicht+Schnee+Wind 0° l.+Katzst. r.; Massekr. l.	1.00	1.10	1.35*LF1 + 1.35*LF2 + 1.35*LF4 + 1.35*LF14
25	Eigengewicht+Schnee+Wind 0° l.+Katzst. r.; Massekr. r.	1.00	1.10	1.35*LF1 + 1.35*LF2 + 1.35*LF4 + 1.35*LF15
26	Eigengewicht+Schnee+Wind 0° l.+Katzst. r.; Schrägl. a.	1.00	1.10	1.35*LF1 + 1.35*LF2 + 1.35*LF4 + 1.35*LF16
27	Eigengewicht+Schnee+Wind 0° l.+Katzst. r.; Schrägl. i.	1.00	1.10	1.35*LF1 + 1.35*LF2 + 1.35*LF4 + 1.35*LF17
30	Eigengewicht+Schnee+Wind 0° r.+Katzst. l.; Massekr. l.	1.00	1.10	1.35*LF1 + 1.35*LF2 + 1.35*LF5 + 1.35*LF10
31	Eigengewicht+Schnee+Wind 0° r.+Katzst. l.; Massekr. r.	1.00	1.10	1.35*LF1 + 1.35*LF2 + 1.35*LF5 + 1.35*LF11
32	Eigengewicht+Schnee+Wind 0° r.+Katzst. l.; Schrägl. a.	1.00	1.10	1.35*LF1 + 1.35*LF2 + 1.35*LF5 + 1.35*LF12
33	Eigengewicht+Schnee+Wind 0° r.+Katzst. l.; Schrägl. i.	1.00	1.10	1.35*LF1 + 1.35*LF2 + 1.35*LF5 + 1.35*LF13
34	Eigengewicht+Schnee+Wind 0° r.+Katzst. r.; Massekr. l.	1.00	1.10	1.35*LF1 + 1.35*LF2 + 1.35*LF5 + 1.35*LF14
35	Eigengewicht+Schnee+Wind 0° r.+Katzst. r.; Massekr. r.	1.00	1.10	1.35*LF1 + 1.35*LF2 + 1.35*LF5 + 1.35*LF15
36	Eigengewicht+Schnee+Wind 0° r.+Katzst. r.; Schrägl. a.	1.00	1.10	1.35*LF1 + 1.35*LF2 + 1.35*LF5 + 1.35*LF16
37	Eigengewicht+Schnee+Wind 0° r.+Katzst. r.; Schrägl. i.	1.00	1.10	1.35*LF1 + 1.35*LF2 + 1.35*LF5 + 1.35*LF17
40	LG 11 + Imperfektion	1.00	1.10	1.35*LF1 + 1.35*LF2 + 1.35*LF3 + 1.35*LF11 + LF30
41	LG 12 + Imperfektion	1.00	1.10	1.35*LF1 + 1.35*LF2 + 1.35*LF3 + 1.35*LF12 + LF31
42	LG 21 + Imperfektion	1.00	1.10	1.35*LF1 + 1.35*LF2 + 1.35*LF4 + 1.35*LF11 + LF32
43	LG 34 + Imperfektion	1.00	1.10	1.35*LF1 + 1.35*LF2 + 1.35*LF5 + 1.35*LF14 + LF33
70	Gebrauchstauglichkeit LG 11	1.00	1.10	LF1 + LF2 + LF3 + LF21
71	Gebrauchstauglichkeit LG 13	1.00	1.10	LF1 + LF2 + LF3 + LF23
72	Gebrauchstauglichkeit LG 15	1.00	1.10	LF1 + LF2 + LF3 + LF25
73	Gebrauchstauglichkeit LG 21	1.00	1.10	LF1 + LF2 + LF4 + LF21
80	Gebrauchstauglichkeit: Katztstellung links; Massekräfte l.	1.00	1.10	LF1 + LF20
81	Gebrauchstauglichkeit: Katztstellung links; Massekräfte r.	1.00	1.10	LF1 + LF21
82	Gebrauchstauglichkeit: Katztstellung links; Schräglautkr. a.	1.00	1.10	LF1 + LF22
83	Gebrauchstauglichkeit: Katztstellung links; Schräglautkr. i.	1.00	1.10	LF1 + LF23
84	Gebrauchstauglichkeit: Katztstellung rechts; Massekräfte l.	1.00	1.10	LF1 + LF24
85	Gebrauchstauglichkeit: Katztstellung rechts; Massekräfte r.	1.00	1.10	LF1 + LF25
86	Gebrauchstauglichkeit: Katztstellung rechts; Schrägl. a.	1.00	1.10	LF1 + LF26
87	Gebrauchstauglichkeit: Katztstellung rechts; Schrägl. i.	1.00	1.10	LF1 + LF27

Projekt: Bachelorarbeit	Position: Hallenrahmen	Seite: 9
-------------------------	------------------------	----------

## SCHNITTGRÖSSEN STABBEZOGEN

Stab-Nr.	LF/LG-Nr.	Knoten-Nr.	x [m]	N	Kräfte [kN] Q <sub>2</sub>	Q <sub>3</sub>	T	Momente [kNm] M <sub>2</sub>	M <sub>3</sub>
1	LG11	Max N	6.00	-338.96	.00	-27.81	.00	-239.71	.00
		Min N	.00	-350.28	.00	-51.44	.00	.00	.00
		Max Q-2	.00	-350.28	.00	-51.44	.00	.00	.00
		Min Q-2	.00	-350.28	.00	-51.44	.00	.00	.00
		Max Q-3	6.00	-338.96	.00	-27.81	.00	-239.71	.00
		Min Q-3	.00	-350.28	.00	-51.44	.00	.00	.00
		Max T	.00	-350.28	.00	-51.44	.00	.00	.00
		Min T	.00	-350.28	.00	-51.44	.00	.00	.00
		Max M-2	.00	-350.28	.00	-51.44	.00	.00	.00
		Min M-2	6.00	-338.96	.00	-27.81	.00	-239.71	.00
		Max M-3	.00	-350.28	.00	-51.44	.00	.00	.00
		Min M-3	.00	-350.28	.00	-51.44	.00	.00	.00
	LG12	Max N	6.00	-339.96	.00	-40.16	.00	-316.53	.00
		Min N	.00	-351.28	.00	-64.47	.00	.00	.00
		Max Q-2	.00	-351.28	.00	-64.47	.00	.00	.00
		Min Q-2	.00	-351.28	.00	-64.47	.00	.00	.00
		Max Q-3	6.00	-339.96	.00	-40.16	.00	-316.53	.00
		Min Q-3	.00	-351.28	.00	-64.47	.00	.00	.00
		Max T	.00	-351.28	.00	-64.47	.00	.00	.00
		Min T	.00	-351.28	.00	-64.47	.00	.00	.00
		Max M-2	.00	-351.28	.00	-64.47	.00	.00	.00
		Min M-2	6.00	-339.96	.00	-40.16	.00	-316.53	.00
		Max M-3	.00	-351.28	.00	-64.47	.00	.00	.00
		Min M-3	.00	-351.28	.00	-64.47	.00	.00	.00
	LG13	Max N	6.00	-340.45	.00	-22.88	.00	-209.17	.00
		Min N	.00	-351.77	.00	-46.26	.00	.00	.00
		Max Q-2	.00	-351.77	.00	-46.26	.00	.00	.00
		Min Q-2	.00	-351.77	.00	-46.26	.00	.00	.00
		Max Q-3	6.00	-340.45	.00	-22.88	.00	-209.17	.00
		Min Q-3	.00	-351.77	.00	-46.26	.00	.00	.00
		Max T	.00	-351.77	.00	-46.26	.00	.00	.00
		Min T	.00	-351.77	.00	-46.26	.00	.00	.00
		Max M-2	.00	-351.77	.00	-46.26	.00	.00	.00
		Min M-2	6.00	-340.45	.00	-22.88	.00	-209.17	.00
		Max M-3	.00	-351.77	.00	-46.26	.00	.00	.00
		Min M-3	.00	-351.77	.00	-46.26	.00	.00	.00
	LG21	Max N	6.00	-285.28	.00	-24.88	.00	-20.18	.00
		Min N	.00	-276.60	.00	18.12	.00	.00	.00
		Max Q-2	.00	-276.60	.00	18.12	.00	.00	.00
		Min Q-2	.00	-276.60	.00	18.12	.00	.00	.00
		Max Q-3	.00	-276.60	.00	18.12	.00	.00	.00
		Min Q-3	6.00	-285.28	.00	-24.88	.00	-20.18	.00
		Max T	.00	-276.60	.00	18.12	.00	.00	.00
		Min T	.00	-276.60	.00	18.12	.00	.00	.00
		Max M-2	2.40	-272.07	.00	.90	.00	22.89	.00
		Min M-2	6.00	-285.28	.00	-24.88	.00	-20.18	.00
		Max M-3	.00	-276.60	.00	18.12	.00	.00	.00
		Min M-3	.00	-276.60	.00	18.12	.00	.00	.00
	LG22	Max N	6.00	-266.26	.00	-37.28	.00	-96.75	.00
		Min N	.00	-277.58	.00	5.18	.00	.00	.00
		Max Q-2	.00	-277.58	.00	5.18	.00	.00	.00
		Min Q-2	.00	-277.58	.00	5.18	.00	.00	.00
		Max Q-3	.00	-277.58	.00	5.18	.00	.00	.00
		Min Q-3	6.00	-266.26	.00	-37.28	.00	-96.75	.00
		Max T	.00	-277.58	.00	5.18	.00	.00	.00
		Min T	.00	-277.58	.00	5.18	.00	.00	.00
		Max M-2	.75	-276.17	.00	-1.18	.00	1.89	.00
		Min M-2	6.00	-266.26	.00	-37.28	.00	-96.75	.00
		Max M-3	.00	-277.58	.00	5.18	.00	.00	.00
		Min M-3	.00	-277.58	.00	5.18	.00	.00	.00
	LG34	Max N	6.00	-204.44	.00	-33.23	.00	-245.17	.00
		Min N	.00	-215.76	.00	-48.02	.00	.00	.00
		Max Q-2	.00	-215.76	.00	-48.02	.00	.00	.00
		Min Q-2	.00	-215.76	.00	-48.02	.00	.00	.00
		Max Q-3	6.00	-204.44	.00	-33.23	.00	-245.17	.00
		Min Q-3	.00	-215.76	.00	-48.02	.00	.00	.00
		Max T	.00	-215.76	.00	-48.02	.00	.00	.00
		Min T	.00	-215.76	.00	-48.02	.00	.00	.00
		Max M-2	.00	-215.76	.00	-48.02	.00	.00	.00
		Min M-2	6.00	-204.44	.00	-33.23	.00	-245.17	.00
		Max M-3	.00	-215.76	.00	-48.02	.00	.00	.00
		Min M-3	.00	-215.76	.00	-48.02	.00	.00	.00
	LG37	Max N	6.00	-203.43	.00	-22.51	.00	-179.41	.00
		Min N	.00	-214.75	.00	-36.94	.00	.00	.00
		Max Q-2	.00	-214.75	.00	-36.94	.00	.00	.00
		Min Q-2	.00	-214.75	.00	-36.94	.00	.00	.00
		Max Q-3	6.00	-203.43	.00	-22.51	.00	-179.41	.00
		Min Q-3	.00	-214.75	.00	-36.94	.00	.00	.00
		Max T	.00	-214.75	.00	-36.94	.00	.00	.00
		Min T	.00	-214.75	.00	-36.94	.00	.00	.00
		Max M-2	.00	-214.75	.00	-36.94	.00	.00	.00
		Min M-2	6.00	-203.43	.00	-22.51	.00	-179.41	.00
		Max M-3	.00	-214.75	.00	-36.94	.00	.00	.00
		Min M-3	.00	-214.75	.00	-36.94	.00	.00	.00
	LG40	Max N	6.00	-338.62	.00	-27.33	.00	-236.68	.00
		Min N	.00	-349.94	.00	-50.92	.00	.00	.00
		Max Q-2	.00	-349.94	.00	-50.92	.00	.00	.00
		Min Q-2	.00	-349.94	.00	-50.92	.00	.00	.00
		Max Q-3	6.00	-338.62	.00	-27.33	.00	-236.68	.00
		Min Q-3	.00	-349.94	.00	-50.92	.00	.00	.00
		Max T	.00	-349.94	.00	-50.92	.00	.00	.00
		Min T	.00	-349.94	.00	-50.92	.00	.00	.00
		Max M-2	.00	-349.94	.00	-50.92	.00	.00	.00
		Min M-2	6.00	-338.62	.00	-27.33	.00	-236.68	.00
		Max M-3	.00	-349.94	.00	-50.92	.00	.00	.00
		Min M-3	.00	-349.94	.00	-50.92	.00	.00	.00
	LG41	Max N	6.00	-339.62	.00	-39.68	.00	-313.50	.00
		Min N	.00	-350.94	.00	-63.95	.00	.00	.00



Projekt: Bachelorarbeit	Position: Hallenrahmen	Seite: 10
-------------------------	------------------------	-----------

## SCHNITTGRÖSSEN STABBEZOGEN

Stab-Nr.	LF/LG-Nr.	Knoten-Nr.	x [m]	N	Kräfte [kN] Q <sub>2</sub>	Q <sub>3</sub>	T	Momente [kNm] M <sub>2</sub>	M <sub>3</sub>
1	LG41	Max Q-2	.00	-350.94	.00	-63.95	.00	.00	.00
		Min Q-2	.00	-350.94	.00	-63.95	.00	.00	.00
		Max Q-3	6.00	-339.62	.00	-39.68	.00	-313.50	.00
		Min Q-3	.00	-350.94	.00	-63.95	.00	.00	.00
		Max T	.00	-350.94	.00	-63.95	.00	.00	.00
		Min T	.00	-350.94	.00	-63.95	.00	.00	.00
		Max M-2	.00	-350.94	.00	-63.95	.00	.00	.00
		Min M-2	6.00	-339.62	.00	-39.68	.00	-313.50	.00
		Max M-3	.00	-350.94	.00	-63.95	.00	.00	.00
		Min M-3	.00	-350.94	.00	-63.95	.00	.00	.00
		Max N	6.00	-265.01	.00	-24.47	.00	-17.61	.00
		Min N	.00	-276.33	.00	18.54	.00	.00	.00
	LG42	Max Q-2	.00	-276.33	.00	18.54	.00	.00	.00
		Min Q-2	.00	-276.33	.00	18.54	.00	.00	.00
		Max Q-3	.00	-276.33	.00	18.55	.00	.00	.00
		Min Q-3	6.00	-265.01	.00	-24.47	.00	-17.61	.00
		Max T	.00	-276.33	.00	18.54	.00	.00	.00
		Min T	.00	-276.33	.00	18.54	.00	.00	.00
		Max M-2	2.70	-271.23	.00	-83	.00	24.01	.00
		Min M-2	6.00	-265.01	.00	-24.47	.00	-17.61	.00
		Max M-3	.00	-276.33	.00	18.54	.00	.00	.00
		Min M-3	.00	-276.33	.00	18.54	.00	.00	.00
		Max N	6.00	-204.71	.00	-33.56	.00	-247.21	.00
		Min N	.00	-216.03	.00	-48.37	.00	.00	.00
	LG43	Max Q-2	.00	-216.03	.00	-48.37	.00	.00	.00
		Min Q-2	.00	-216.03	.00	-48.37	.00	.00	.00
		Max Q-3	6.00	-204.71	.00	-33.56	.00	-247.21	.00
		Min Q-3	.00	-216.03	.00	-48.37	.00	.00	.00
		Max T	.00	-216.03	.00	-48.37	.00	.00	.00
		Min T	.00	-216.03	.00	-48.37	.00	.00	.00
		Max M-2	.00	-216.03	.00	-48.37	.00	.00	.00
		Min M-2	6.00	-204.71	.00	-33.56	.00	-247.21	.00
		Max M-3	.00	-216.03	.00	-48.37	.00	.00	.00
		Min M-3	.00	-216.03	.00	-48.37	.00	.00	.00
6	LG11	Max N	3.18	-23.84	.00	-11.54	.00	330.96	.00
		Min N	.00	-26.95	.00	35.56	.00	292.79	.00
		Max Q-2	.00	-26.95	.00	35.56	.00	292.79	.00
		Min Q-2	.00	-26.95	.00	35.56	.00	292.79	.00
		Max Q-3	.00	-26.95	.00	35.56	.00	292.79	.00
		Min Q-3	3.18	-23.84	.00	-11.54	.00	330.96	.00
		Max T	.00	-26.95	.00	35.56	.00	292.79	.00
		Min T	.00	-26.95	.00	35.56	.00	292.79	.00
		Max M-2	2.38	-24.82	.00	23	.00	335.46	.00
		Min M-2	.00	-26.95	.00	35.56	.00	292.79	.00
		Max M-3	.00	-26.95	.00	35.56	.00	292.79	.00
		Min M-3	.00	-26.95	.00	35.56	.00	292.79	.00
	LG12	Max N	3.18	-1.62	.00	-8.57	.00	355.71	.00
		Min N	.00	-4.73	.00	38.36	.00	308.35	.00
		Max Q-2	.00	-4.73	.00	38.36	.00	308.35	.00
		Min Q-2	.00	-4.73	.00	38.36	.00	308.35	.00
		Max Q-3	.00	-4.73	.00	38.36	.00	308.35	.00
		Min Q-3	3.18	-1.62	.00	-8.57	.00	355.71	.00
		Max T	.00	-4.73	.00	38.36	.00	308.35	.00
		Min T	.00	-4.73	.00	38.36	.00	308.35	.00
		Max M-2	2.54	-2.24	.00	61	.00	358.17	.00
		Min M-2	.00	-4.73	.00	38.36	.00	308.35	.00
		Max M-3	.00	-4.73	.00	38.36	.00	308.35	.00
		Min M-3	.00	-4.73	.00	38.36	.00	308.35	.00
	LG13	Max N	3.18	-38.97	.00	-11.38	.00	311.93	.00
		Min N	.00	-42.07	.00	35.82	.00	273.09	.00
		Max Q-2	.00	-42.07	.00	35.82	.00	273.09	.00
		Min Q-2	.00	-42.07	.00	35.82	.00	273.09	.00
		Max Q-3	.00	-42.07	.00	35.82	.00	273.09	.00
		Min Q-3	3.18	-38.97	.00	-11.38	.00	311.93	.00
		Max T	.00	-42.07	.00	35.82	.00	273.09	.00
		Min T	.00	-42.07	.00	35.82	.00	273.09	.00
		Max M-2	2.38	-39.74	.00	41	.00	316.28	.00
		Min M-2	.00	-42.07	.00	35.82	.00	273.09	.00
		Max M-3	.00	-42.07	.00	35.82	.00	273.09	.00
		Min M-3	.00	-42.07	.00	35.82	.00	273.09	.00
	LG21	Max N	3.18	-57.60	.00	-52	.00	207.71	.00
		Min N	.00	-60.70	.00	21.73	.00	173.99	.00
		Max Q-2	.00	-60.70	.00	21.73	.00	173.99	.00
		Min Q-2	.00	-60.70	.00	21.73	.00	173.99	.00
		Max Q-3	.00	-60.70	.00	21.73	.00	173.99	.00
		Min Q-3	3.18	-57.60	.00	-52	.00	207.71	.00
		Max T	.00	-60.70	.00	21.73	.00	173.99	.00
		Min T	.00	-60.70	.00	21.73	.00	173.99	.00
		Max M-2	3.18	-57.60	.00	-52	.00	207.71	.00
		Min M-2	.00	-60.70	.00	21.73	.00	173.99	.00
		Max M-3	.00	-60.70	.00	21.73	.00	173.99	.00
		Min M-3	.00	-60.70	.00	21.73	.00	173.99	.00
	LG22	Max N	3.18	-35.47	.00	2.42	.00	232.83	.00
		Min N	.00	-38.58	.00	24.58	.00	189.90	.00
		Max Q-2	.00	-38.58	.00	24.58	.00	189.90	.00
		Min Q-2	.00	-38.58	.00	24.58	.00	189.90	.00
		Max Q-3	.00	-38.58	.00	24.58	.00	189.90	.00
		Min Q-3	3.18	-35.47	.00	2.42	.00	232.83	.00
		Max T	.00	-38.58	.00	24.58	.00	189.90	.00
		Min T	.00	-38.58	.00	24.58	.00	189.90	.00
		Max M-2	3.18	-35.47	.00	2.42	.00	232.83	.00
		Min M-2	.00	-38.58	.00	24.58	.00	189.90	.00
		Max M-3	.00	-38.58	.00	24.58	.00	189.90	.00
		Min M-3	.00	-38.58	.00	24.58	.00	189.90	.00
	LG34	Max N	3.18	-23.27	.00	-15.04	.00	228.87	.00
		Min N	.00	-26.37	.00	31.99	.00	201.92	.00
		Max Q-2	.00	-26.37	.00	31.99	.00	201.92	.00
		Min Q-2	.00	-26.37	.00	31.99	.00	201.92	.00

Projekt: Bachelorarbeit	Position: Hallenrahmen	Seite: 11
-------------------------	------------------------	-----------

## SCHNITTGRÖSSEN STABBEZOGEN

Stab-Nr.	LF/LG-Nr.	Knoten-Nr.	x [m]	N	Kräfte [kN]			T	Momente [kNm]		
					Q <sub>2</sub>	Q <sub>3</sub>			M <sub>2</sub>	M <sub>3</sub>	
6	LG34	Max Q-3	.00	-26.37	.00	31.99	.00	201.92	.00		.00
		Min Q-3	3.18	-23.27	.00	-15.04	.00	228.87	.00		.00
		Max T	.00	-26.37	.00	31.99	.00	201.92	.00		.00
		Min T	.00	-26.37	.00	31.99	.00	201.92	.00		.00
		Max M-2	2.23	-24.20	.00	31.99	.00	236.48	.00		.00
		Min M-2	.00	-26.37	.00	31.99	.00	201.92	.00		.00
		Max M-3	.00	-26.37	.00	31.99	.00	201.92	.00		.00
		Min M-3	.00	-26.37	.00	31.99	.00	201.92	.00		.00
	LG37	Max N	3.18	-41.86	.00	-17.70	.00	208.05	.00		.00
		Min N	.00	-44.96	.00	29.42	.00	189.42	.00		.00
		Max Q-2	.00	-44.96	.00	29.42	.00	189.42	.00		.00
		Min Q-2	.00	-44.96	.00	29.42	.00	189.42	.00		.00
		Max Q-3	.00	-44.96	.00	29.42	.00	189.42	.00		.00
		Min Q-3	3.18	-41.86	.00	-17.70	.00	208.05	.00		.00
		Max T	.00	-44.96	.00	29.42	.00	189.42	.00		.00
		Min T	.00	-44.96	.00	29.42	.00	189.42	.00		.00
		Max M-2	1.91	-43.10	.00	1.15	.00	218.58	.00		.00
		Min M-2	.00	-44.96	.00	29.42	.00	189.42	.00		.00
		Max M-3	.00	-44.96	.00	29.42	.00	189.42	.00		.00
		Min M-3	.00	-44.96	.00	29.42	.00	189.42	.00		.00
	LG40	Max N	3.18	-24.04	.00	-11.90	.00	330.97	.00		.00
		Min N	.00	-27.15	.00	35.20	.00	293.94	.00		.00
		Max Q-2	.00	-27.15	.00	35.20	.00	293.94	.00		.00
		Min Q-2	.00	-27.15	.00	35.20	.00	293.94	.00		.00
		Max Q-3	.00	-27.15	.00	35.20	.00	293.94	.00		.00
		Min Q-3	3.18	-24.04	.00	-11.90	.00	330.97	.00		.00
		Max T	.00	-27.15	.00	35.20	.00	293.94	.00		.00
		Min T	.00	-27.15	.00	35.20	.00	293.94	.00		.00
		Max M-2	2.38	-24.82	.00	-1.13	.00	335.76	.00		.00
		Min M-2	.00	-27.15	.00	35.20	.00	293.94	.00		.00
		Max M-3	.00	-27.15	.00	35.20	.00	293.94	.00		.00
		Min M-3	.00	-27.15	.00	35.20	.00	293.94	.00		.00
	LG41	Max N	3.18	-1.83	.00	-8.92	.00	355.72	.00		.00
		Min N	.00	-4.93	.00	38.00	.00	309.51	.00		.00
		Max Q-2	.00	-4.93	.00	38.00	.00	309.51	.00		.00
		Min Q-2	.00	-4.93	.00	38.00	.00	309.51	.00		.00
		Max Q-3	.00	-4.93	.00	38.00	.00	309.51	.00		.00
		Min Q-3	3.18	-1.83	.00	-8.92	.00	355.72	.00		.00
		Max T	.00	-4.93	.00	38.00	.00	309.51	.00		.00
		Min T	.00	-4.93	.00	38.00	.00	309.51	.00		.00
		Max M-2	2.54	-2.45	.00	.46	.00	358.41	.00		.00
		Min M-2	.00	-4.93	.00	38.00	.00	309.51	.00		.00
		Max M-3	.00	-4.93	.00	38.00	.00	309.51	.00		.00
		Min M-3	.00	-4.93	.00	38.00	.00	309.51	.00		.00
	LG42	Max N	3.18	-57.72	.00	-8.1	.00	207.73	.00		.00
		Min N	.00	-60.83	.00	21.45	.00	174.92	.00		.00
		Max Q-2	.00	-60.83	.00	21.45	.00	174.92	.00		.00
		Min Q-2	.00	-60.83	.00	21.45	.00	174.92	.00		.00
		Max Q-3	.00	-60.83	.00	21.45	.00	174.92	.00		.00
		Min Q-3	3.18	-57.72	.00	-8.1	.00	207.73	.00		.00
		Max T	.00	-60.83	.00	21.45	.00	174.92	.00		.00
		Min T	.00	-60.83	.00	21.45	.00	174.92	.00		.00
		Max M-2	3.02	-57.87	.00	.31	.00	207.77	.00		.00
		Min M-2	.00	-60.83	.00	21.45	.00	174.92	.00		.00
		Max M-3	.00	-60.83	.00	21.45	.00	174.92	.00		.00
		Min M-3	.00	-60.83	.00	21.45	.00	174.92	.00		.00
	LG43	Max N	3.18	-23.19	.00	-14.76	.00	228.70	.00		.00
		Min N	.00	-26.29	.00	32.27	.00	200.87	.00		.00
		Max Q-2	.00	-26.29	.00	32.27	.00	200.87	.00		.00
		Min Q-2	.00	-26.29	.00	32.27	.00	200.87	.00		.00
		Max Q-3	.00	-26.29	.00	32.27	.00	200.87	.00		.00
		Min Q-3	3.18	-23.19	.00	-14.76	.00	228.70	.00		.00
		Max T	.00	-26.29	.00	32.27	.00	200.87	.00		.00
		Min T	.00	-26.29	.00	32.27	.00	200.87	.00		.00
		Max M-2	2.23	-24.12	.00	-.66	.00	236.05	.00		.00
		Min M-2	.00	-26.29	.00	32.27	.00	200.87	.00		.00
		Max M-3	.00	-26.29	.00	32.27	.00	200.87	.00		.00
		Min M-3	.00	-26.29	.00	32.27	.00	200.87	.00		.00
7	LG11	Max N	.00	-25.82	.00	-11.22	.00	330.96	.00		.00
		Min N	3.18	-28.93	.00	-58.31	.00	220.42	.00		.00
		Max Q-2	.00	-25.82	.00	-11.22	.00	330.96	.00		.00
		Min Q-2	.00	-25.82	.00	-11.22	.00	330.96	.00		.00
		Max Q-3	.00	-25.82	.00	-11.22	.00	330.96	.00		.00
		Min Q-3	3.18	-28.93	.00	-58.31	.00	220.42	.00		.00
		Max T	.00	-25.82	.00	-11.22	.00	330.96	.00		.00
		Min T	.00	-25.82	.00	-11.22	.00	330.96	.00		.00
		Max M-2	.00	-25.82	.00	-11.22	.00	330.96	.00		.00
		Min M-2	3.18	-28.93	.00	-58.31	.00	220.42	.00		.00
		Max M-3	.00	-25.82	.00	-11.22	.00	330.96	.00		.00
		Min M-3	.00	-25.82	.00	-11.22	.00	330.96	.00		.00
	LG12	Max N	.00	-3.43	.00	-12.14	.00	355.71	.00		.00
		Min N	3.18	-6.54	.00	-59.08	.00	242.50	.00		.00
		Max Q-2	.00	-3.43	.00	-12.14	.00	355.71	.00		.00
		Min Q-2	.00	-3.43	.00	-12.14	.00	355.71	.00		.00
		Max Q-3	.00	-3.43	.00	-12.14	.00	355.71	.00		.00
		Min Q-3	3.18	-6.54	.00	-59.08	.00	242.50	.00		.00
		Max T	.00	-3.43	.00	-12.14	.00	355.71	.00		.00
		Min T	.00	-3.43	.00	-12.14	.00	355.71	.00		.00
		Max M-2	.00	-3.43	.00	-12.14	.00	355.71	.00		.00
		Min M-2	3.18	-6.54	.00	-59.08	.00	242.50	.00		.00
		Max M-3	.00	-3.43	.00	-12.14	.00	355.71	.00		.00
		Min M-3	.00	-3.43	.00	-12.14	.00	355.71	.00		.00
	LG13	Max N	.00	-40.69	.00	-8.44	.00	311.93	.00		.00
		Min N	3.18	-43.80	.00	-55.62	.00	210.07	.00		.00
		Max Q-2	.00	-40.69	.00	-8.44	.00	311.93	.00		.00
		Min Q-2	.00	-40.69	.00	-8.44	.00	311.93	.00		.00
		Max Q-3	.00	-40.69	.00	-8.44	.00	311.93	.00		.00
		Min Q-3	3.18	-43.80	.00	-55.62	.00	210.07	.00		.00

Projekt: Bachelorarbeit

Position: Hallenrahmen

Seite: 12

## SCHNITTGRÖSSEN STABBEZOGEN

Stab-Nr.	LF/LG-Nr.	Knoten-Nr.	x [m]	N	Kräfte [kN]			T	Momente [kNm]		
					Q <sub>2</sub>	Q <sub>3</sub>			M <sub>2</sub>	M <sub>3</sub>	
7	LG13	Max T	.00	-40.69	.00	-8.44	.00	311.93	.00	.00	.00
		Min T	.00	-40.69	.00	-8.44	.00	311.93	.00	.00	.00
		Max M-2	.00	-40.69	.00	-8.44	.00	311.93	.00	.00	.00
		Min M-2	3.18	-43.80	.00	-55.62	.00	210.07	.00	.00	.00
		Max M-3	.00	-40.69	.00	-8.44	.00	311.93	.00	.00	.00
		Min M-3	.00	-40.69	.00	-8.44	.00	311.93	.00	.00	.00
	LG21	Max N	.00	-57.16	.00	5.49	.00	207.71	.00	.00	.00
		Min N	3.18	-60.26	.00	-41.68	.00	150.17	.00	.00	.00
		Max Q-2	.00	-57.16	.00	5.49	.00	207.71	.00	.00	.00
		Min Q-2	.00	-57.16	.00	5.49	.00	207.71	.00	.00	.00
		Max Q-3	.00	-57.16	.00	5.49	.00	207.71	.00	.00	.00
		Min Q-3	3.18	-60.26	.00	-41.68	.00	150.17	.00	.00	.00
		Max T	.00	-57.16	.00	5.49	.00	207.71	.00	.00	.00
		Min T	.00	-57.16	.00	5.49	.00	207.71	.00	.00	.00
		Max M-2	.32	-57.47	.00	.78	.00	208.70	.00	.00	.00
		Min M-2	3.18	-60.26	.00	-41.68	.00	150.17	.00	.00	.00
		Max M-3	.00	-57.16	.00	5.49	.00	207.71	.00	.00	.00
		Min M-3	.00	-57.16	.00	5.49	.00	207.71	.00	.00	.00
	LG22	Max N	.00	-34.86	.00	4.56	.00	232.83	.00	.00	.00
		Min N	3.18	-37.97	.00	-42.54	.00	172.45	.00	.00	.00
		Max Q-2	.00	-34.86	.00	4.56	.00	232.83	.00	.00	.00
		Min Q-2	.00	-34.86	.00	4.56	.00	232.83	.00	.00	.00
		Max Q-3	.00	-34.86	.00	4.56	.00	232.83	.00	.00	.00
		Min Q-3	3.18	-37.97	.00	-42.54	.00	172.45	.00	.00	.00
		Max T	.00	-34.86	.00	4.56	.00	232.83	.00	.00	.00
		Min T	.00	-34.86	.00	4.56	.00	232.83	.00	.00	.00
		Max M-2	.32	-35.17	.00	-.15	.00	233.53	.00	.00	.00
		Min M-2	3.18	-37.97	.00	-42.54	.00	172.45	.00	.00	.00
		Max M-3	.00	-34.86	.00	4.56	.00	232.83	.00	.00	.00
		Min M-3	.00	-34.86	.00	4.56	.00	232.83	.00	.00	.00
	LG34	Max N	.00	-25.87	.00	-14.76	.00	228.87	.00	.00	.00
		Min N	3.18	-28.97	.00	-36.86	.00	146.79	.00	.00	.00
		Max Q-2	.00	-25.87	.00	-14.76	.00	228.87	.00	.00	.00
		Min Q-2	.00	-25.87	.00	-14.76	.00	228.87	.00	.00	.00
		Max Q-3	.00	-25.87	.00	-14.76	.00	228.87	.00	.00	.00
		Min Q-3	3.18	-28.97	.00	-36.86	.00	146.79	.00	.00	.00
		Max T	.00	-25.87	.00	-14.76	.00	228.87	.00	.00	.00
		Min T	.00	-25.87	.00	-14.76	.00	228.87	.00	.00	.00
		Max M-2	.00	-25.87	.00	-14.76	.00	228.87	.00	.00	.00
		Min M-2	3.18	-28.97	.00	-36.86	.00	146.79	.00	.00	.00
		Max M-3	.00	-25.87	.00	-14.76	.00	228.87	.00	.00	.00
		Min M-3	.00	-25.87	.00	-14.76	.00	228.87	.00	.00	.00
	LG37	Max N	.00	-44.63	.00	-14.16	.00	208.05	.00	.00	.00
		Min N	3.18	-47.74	.00	-36.32	.00	127.79	.00	.00	.00
		Max Q-2	.00	-44.63	.00	-14.16	.00	208.05	.00	.00	.00
		Min Q-2	.00	-44.63	.00	-14.16	.00	208.05	.00	.00	.00
		Max Q-3	.00	-44.63	.00	-14.16	.00	208.05	.00	.00	.00
		Min Q-3	3.18	-47.74	.00	-36.32	.00	127.79	.00	.00	.00
		Max T	.00	-44.63	.00	-14.16	.00	208.05	.00	.00	.00
		Min T	.00	-44.63	.00	-14.16	.00	208.05	.00	.00	.00
		Max M-2	.00	-44.63	.00	-14.16	.00	208.05	.00	.00	.00
		Min M-2	3.18	-47.74	.00	-36.32	.00	127.79	.00	.00	.00
		Max M-3	.00	-44.63	.00	-14.16	.00	208.05	.00	.00	.00
		Min M-3	.00	-44.63	.00	-14.16	.00	208.05	.00	.00	.00
	LG40	Max N	.00	-26.08	.00	-11.53	.00	330.97	.00	.00	.00
		Min N	3.18	-29.19	.00	-58.63	.00	219.42	.00	.00	.00
		Max Q-2	.00	-26.08	.00	-11.53	.00	330.97	.00	.00	.00
		Min Q-2	.00	-26.08	.00	-11.53	.00	330.97	.00	.00	.00
		Max Q-3	.00	-26.08	.00	-11.53	.00	330.97	.00	.00	.00
		Min Q-3	3.18	-29.19	.00	-58.63	.00	219.42	.00	.00	.00
		Max T	.00	-26.08	.00	-11.53	.00	330.97	.00	.00	.00
		Min T	.00	-26.08	.00	-11.53	.00	330.97	.00	.00	.00
		Max M-2	.00	-26.08	.00	-11.53	.00	330.97	.00	.00	.00
		Min M-2	3.18	-29.19	.00	-58.63	.00	219.42	.00	.00	.00
		Max M-3	.00	-26.08	.00	-11.53	.00	330.97	.00	.00	.00
		Min M-3	.00	-26.08	.00	-11.53	.00	330.97	.00	.00	.00
	LG41	Max N	.00	-3.69	.00	-12.45	.00	355.72	.00	.00	.00
		Min N	3.18	-6.80	.00	-59.40	.00	241.50	.00	.00	.00
		Max Q-2	.00	-3.69	.00	-12.45	.00	355.72	.00	.00	.00
		Min Q-2	.00	-3.69	.00	-12.45	.00	355.72	.00	.00	.00
		Max Q-3	.00	-3.69	.00	-12.45	.00	355.72	.00	.00	.00
		Min Q-3	3.18	-6.80	.00	-59.40	.00	241.50	.00	.00	.00
		Max T	.00	-3.69	.00	-12.45	.00	355.72	.00	.00	.00
		Min T	.00	-3.69	.00	-12.45	.00	355.72	.00	.00	.00
		Max M-2	.00	-3.69	.00	-12.45	.00	355.72	.00	.00	.00
		Min M-2	3.18	-6.80	.00	-59.40	.00	241.50	.00	.00	.00
		Max M-3	.00	-3.69	.00	-12.45	.00	355.72	.00	.00	.00
		Min M-3	.00	-3.69	.00	-12.45	.00	355.72	.00	.00	.00
	LG42	Max N	.00	-57.32	.00	5.23	.00	207.73	.00	.00	.00
		Min N	3.18	-60.43	.00	-41.94	.00	149.37	.00	.00	.00
		Max Q-2	.00	-57.32	.00	5.23	.00	207.73	.00	.00	.00
		Min Q-2	.00	-57.32	.00	5.23	.00	207.73	.00	.00	.00
		Max Q-3	.00	-57.32	.00	5.23	.00	207.73	.00	.00	.00
		Min Q-3	3.18	-60.43	.00	-41.94	.00	149.37	.00	.00	.00
		Max T	.00	-57.32	.00	5.23	.00	207.73	.00	.00	.00
		Min T	.00	-57.32	.00	5.23	.00	207.73	.00	.00	.00
		Max M-2	.32	-57.63	.00	.52	.00	208.65	.00	.00	.00
		Min M-2	3.18	-60.43	.00	-41.94	.00	149.37	.00	.00	.00
		Max M-3	.00	-57.32	.00	5.23	.00	207.73	.00	.00	.00
		Min M-3	.00	-57.32	.00	5.23	.00	207.73	.00	.00	.00
	LG43	Max N	.00	-25.74	.00	-14.50	.00	228.70	.00	.00	.00
		Min N	3.18	-28.85	.00	-36.60	.00	147.45	.00	.00	.00
		Max Q-2	.00	-25.74	.00	-14.50	.00	228.70	.00	.00	.00
		Min Q-2	.00	-25.74	.00	-14.50	.00	228.70	.00	.00	.00
		Max Q-3	.00	-25.74	.00	-14.50	.00	228.70	.00	.00	.00
		Min Q-3	3.18	-28.85	.00	-36.60	.00	147.45	.00	.00	.00
		Max T	.00	-25.74	.00	-14.50	.00	228.70	.00	.00	.00
		Min T	.00	-25.74	.00	-14.50	.00	228.70	.00	.00	.00

Projekt: Bachelorarbeit

Position: Hallenrahmen

Seite: 13

## SCHNITTGRÖSSEN STABBEZOGEN

Stab-Nr.	LF/LG-Nr.	Knoten-Nr.	x [m]	N	Kräfte [kN]			T	Momente [kNm]	
					Q <sub>2</sub>	Q <sub>3</sub>			M <sub>2</sub>	M <sub>3</sub>
7	LG43	Max M-2	.00	-25.74	.00	-14.50	.00	228.70	.00	.00
		Min M-2	3.18	-28.85	.00	-36.60	.00	147.45	.00	.00
		Max M-3	.00	-25.74	.00	-14.50	.00	228.70	.00	.00
		Min M-3	.00	-25.74	.00	-14.50	.00	228.70	.00	.00
9	LG11	Max N	.00	-32.38	.00	-109.29	.00	-46.07	.00	.00
		Min N	3.18	-35.49	.00	-155.99	.00	-467.86	.00	.00
		Max Q-2	.00	-32.38	.00	-109.29	.00	-46.07	.00	.00
		Min Q-2	.00	-32.38	.00	-109.29	.00	-46.07	.00	.00
		Max Q-3	.00	-32.38	.00	-109.29	.00	-46.07	.00	.00
		Min Q-3	3.18	-35.49	.00	-155.99	.00	-467.86	.00	.00
		Max T	.00	-32.38	.00	-109.29	.00	-46.07	.00	.00
		Min T	.00	-32.38	.00	-109.29	.00	-46.07	.00	.00
		Max M-2	.00	-32.38	.00	-109.29	.00	-46.07	.00	.00
		Min M-2	3.18	-35.49	.00	-155.99	.00	-467.86	.00	.00
		Max M-3	.00	-32.38	.00	-109.29	.00	-46.07	.00	.00
		Min M-3	.00	-32.38	.00	-109.29	.00	-46.07	.00	.00
	LG12	Max N	.00	-9.99	.00	-110.00	.00	-26.31	.00	.00
		Min N	3.18	-13.10	.00	-156.85	.00	-450.56	.00	.00
		Max Q-2	.00	-9.99	.00	-110.00	.00	-26.31	.00	.00
		Min Q-2	.00	-9.99	.00	-110.00	.00	-26.31	.00	.00
		Max Q-3	.00	-9.99	.00	-110.00	.00	-26.31	.00	.00
		Min Q-3	3.18	-13.10	.00	-156.85	.00	-450.56	.00	.00
		Max T	.00	-9.99	.00	-110.00	.00	-26.31	.00	.00
		Min T	.00	-9.99	.00	-110.00	.00	-26.31	.00	.00
		Max M-2	.00	-9.99	.00	-110.00	.00	-26.31	.00	.00
		Min M-2	3.18	-13.10	.00	-156.85	.00	-450.56	.00	.00
		Max M-3	.00	-9.99	.00	-110.00	.00	-26.31	.00	.00
		Min M-3	.00	-9.99	.00	-110.00	.00	-26.31	.00	.00
	LG13	Max N	.00	-47.25	.00	-106.63	.00	-47.92	.00	.00
		Min N	3.18	-50.36	.00	-153.24	.00	-461.14	.00	.00
		Max Q-2	.00	-47.25	.00	-106.63	.00	-47.92	.00	.00
		Min Q-2	.00	-47.25	.00	-106.63	.00	-47.92	.00	.00
		Max Q-3	.00	-47.25	.00	-106.63	.00	-47.92	.00	.00
		Min Q-3	3.18	-50.36	.00	-153.24	.00	-461.14	.00	.00
		Max T	.00	-47.25	.00	-106.63	.00	-47.92	.00	.00
		Min T	.00	-47.25	.00	-106.63	.00	-47.92	.00	.00
		Max M-2	.00	-47.25	.00	-106.63	.00	-47.92	.00	.00
		Min M-2	3.18	-50.36	.00	-153.24	.00	-461.14	.00	.00
		Max M-3	.00	-47.25	.00	-106.63	.00	-47.92	.00	.00
		Min M-3	.00	-47.25	.00	-106.63	.00	-47.92	.00	.00
	LG21	Max N	.00	-63.72	.00	-92.65	.00	-63.44	.00	.00
		Min N	3.18	-66.82	.00	-139.17	.00	-432.08	.00	.00
		Max Q-2	.00	-63.72	.00	-92.65	.00	-63.44	.00	.00
		Min Q-2	.00	-63.72	.00	-92.65	.00	-63.44	.00	.00
		Max Q-3	.00	-63.72	.00	-92.65	.00	-63.44	.00	.00
		Min Q-3	3.18	-66.82	.00	-139.17	.00	-432.08	.00	.00
		Max T	.00	-63.72	.00	-92.65	.00	-63.44	.00	.00
		Min T	.00	-63.72	.00	-92.65	.00	-63.44	.00	.00
		Max M-2	.00	-63.72	.00	-92.65	.00	-63.44	.00	.00
		Min M-2	3.18	-66.82	.00	-139.17	.00	-432.08	.00	.00
		Max M-3	.00	-63.72	.00	-92.65	.00	-63.44	.00	.00
		Min M-3	.00	-63.72	.00	-92.65	.00	-63.44	.00	.00
	LG22	Max N	.00	-41.42	.00	-93.50	.00	-43.84	.00	.00
		Min N	3.18	-44.53	.00	-140.17	.00	-415.38	.00	.00
		Max Q-2	.00	-41.42	.00	-93.50	.00	-43.84	.00	.00
		Min Q-2	.00	-41.42	.00	-93.50	.00	-43.84	.00	.00
		Max Q-3	.00	-41.42	.00	-93.50	.00	-43.84	.00	.00
		Min Q-3	3.18	-44.53	.00	-140.17	.00	-415.38	.00	.00
		Max T	.00	-41.42	.00	-93.50	.00	-43.84	.00	.00
		Min T	.00	-41.42	.00	-93.50	.00	-43.84	.00	.00
		Max M-2	.00	-41.42	.00	-93.50	.00	-43.84	.00	.00
		Min M-2	3.18	-44.53	.00	-140.17	.00	-415.38	.00	.00
		Max M-3	.00	-41.42	.00	-93.50	.00	-43.84	.00	.00
		Min M-3	.00	-41.42	.00	-93.50	.00	-43.84	.00	.00
	LG34	Max N	.00	-32.43	.00	-62.88	.00	-11.81	.00	.00
		Min N	3.18	-35.54	.00	-71.37	.00	-231.80	.00	.00
		Max Q-2	.00	-32.43	.00	-62.88	.00	-11.81	.00	.00
		Min Q-2	.00	-32.43	.00	-62.88	.00	-11.81	.00	.00
		Max Q-3	.00	-32.43	.00	-62.88	.00	-11.81	.00	.00
		Min Q-3	3.18	-35.54	.00	-71.37	.00	-231.80	.00	.00
		Max T	.00	-32.43	.00	-62.88	.00	-11.81	.00	.00
		Min T	.00	-32.43	.00	-62.88	.00	-11.81	.00	.00
		Max M-2	.00	-32.43	.00	-62.88	.00	-11.81	.00	.00
		Min M-2	3.18	-35.54	.00	-71.37	.00	-231.80	.00	.00
		Max M-3	.00	-32.43	.00	-62.88	.00	-11.81	.00	.00
		Min M-3	.00	-32.43	.00	-62.88	.00	-11.81	.00	.00
	LG37	Max N	.00	-51.20	.00	-62.35	.00	-29.13	.00	.00
		Min N	3.18	-54.30	.00	-70.76	.00	-247.33	.00	.00
		Max Q-2	.00	-51.20	.00	-62.35	.00	-29.13	.00	.00
		Min Q-2	.00	-51.20	.00	-62.35	.00	-29.13	.00	.00
		Max Q-3	.00	-51.20	.00	-62.35	.00	-29.13	.00	.00
		Min Q-3	3.18	-54.30	.00	-70.76	.00	-247.33	.00	.00
		Max T	.00	-51.20	.00	-62.35	.00	-29.13	.00	.00
		Min T	.00	-51.20	.00	-62.35	.00	-29.13	.00	.00
		Max M-2	.00	-51.20	.00	-62.35	.00	-29.13	.00	.00
		Min M-2	3.18	-54.30	.00	-70.76	.00	-247.33	.00	.00
		Max M-3	.00	-51.20	.00	-62.35	.00	-29.13	.00	.00
		Min M-3	.00	-51.20	.00	-62.35	.00	-29.13	.00	.00
	LG40	Max N	.00	-32.65	.00	-109.61	.00	-48.07	.00	.00
		Min N	3.18	-35.75	.00	-156.31	.00	-470.86	.00	.00
		Max Q-2	.00	-32.65	.00	-109.61	.00	-48.07	.00	.00
		Min Q-2	.00	-32.65	.00	-109.61	.00	-48.07	.00	.00
		Max Q-3	.00	-32.65	.00	-109.61	.00	-48.07	.00	.00
		Min Q-3	3.18	-35.75	.00	-156.31	.00	-470.86	.00	.00
		Max T	.00	-32.65	.00	-109.61	.00	-48.07	.00	.00
		Min T	.00	-32.65	.00	-109.61	.00	-48.07	.00	.00
		Max M-2	.00	-32.65	.00	-109.61	.00	-48.07	.00	.00
		Min M-2	3.18	-35.75	.00	-156.31	.00	-470.86	.00	.00

Projekt: Bachelorarbeit	Position: Hallenrahmen	Seite: 14
-------------------------	------------------------	-----------

## SCHNITTGRÖSSEN STABBEZOGEN

Stab-Nr.	LF/LG-Nr.	Knoten-Nr.	x [m]	N	Kräfte [kN]			T	Momente [kNm]		
					Q <sub>2</sub>	Q <sub>3</sub>			M <sub>2</sub>	M <sub>3</sub>	
9	LG40	Max M-3	.00	-32.65	.00	-109.61	.00	-48.07	.00	.00	.00
		Min M-3	.00	-32.65	.00	-109.61	.00	-48.07	.00	.00	.00
		Max N	.00	-10.25	.00	-110.32	.00	-28.31	.00	.00	.00
		Min N	3.18	-13.36	.00	-157.17	.00	-453.57	.00	.00	.00
		Max Q-2	.00	-10.25	.00	-110.32	.00	-28.31	.00	.00	.00
		Min Q-2	.00	-10.25	.00	-110.32	.00	-28.31	.00	.00	.00
		Max Q-3	.00	-10.25	.00	-110.32	.00	-28.31	.00	.00	.00
		Min Q-3	3.18	-13.36	.00	-157.17	.00	-453.57	.00	.00	.00
		Max T	.00	-10.25	.00	-110.32	.00	-28.31	.00	.00	.00
		Min T	.00	-10.25	.00	-110.32	.00	-28.31	.00	.00	.00
		Max M-2	.00	-10.25	.00	-110.32	.00	-28.31	.00	.00	.00
		Min M-2	3.18	-13.36	.00	-157.17	.00	-453.57	.00	.00	.00
	LG41	Max M-3	.00	-10.25	.00	-110.32	.00	-28.31	.00	.00	.00
		Min M-3	.00	-10.25	.00	-110.32	.00	-28.31	.00	.00	.00
		Max N	.00	-63.88	.00	-92.91	.00	-65.06	.00	.00	.00
		Min N	3.18	-66.99	.00	-139.42	.00	-434.51	.00	.00	.00
		Max Q-2	.00	-63.88	.00	-92.91	.00	-65.06	.00	.00	.00
		Min Q-2	.00	-63.88	.00	-92.91	.00	-65.06	.00	.00	.00
		Max Q-3	.00	-63.88	.00	-92.91	.00	-65.06	.00	.00	.00
		Min Q-3	3.18	-66.99	.00	-139.42	.00	-434.51	.00	.00	.00
		Max T	.00	-63.88	.00	-92.91	.00	-65.06	.00	.00	.00
		Min T	.00	-63.88	.00	-92.91	.00	-65.06	.00	.00	.00
		Max M-2	.00	-63.88	.00	-92.91	.00	-65.06	.00	.00	.00
		Min M-2	3.18	-66.99	.00	-139.42	.00	-434.51	.00	.00	.00
	LG42	Max M-3	.00	-63.88	.00	-92.91	.00	-65.06	.00	.00	.00
		Min M-3	.00	-63.88	.00	-92.91	.00	-65.06	.00	.00	.00
		Max N	.00	-32.30	.00	-62.62	.00	-10.33	.00	.00	.00
		Min N	3.18	-35.41	.00	-71.12	.00	-229.50	.00	.00	.00
		Max Q-2	.00	-32.30	.00	-62.62	.00	-10.33	.00	.00	.00
		Min Q-2	.00	-32.30	.00	-62.62	.00	-10.33	.00	.00	.00
		Max Q-3	.00	-32.30	.00	-62.62	.00	-10.33	.00	.00	.00
		Min Q-3	3.18	-35.41	.00	-71.12	.00	-229.50	.00	.00	.00
		Max T	.00	-32.30	.00	-62.62	.00	-10.33	.00	.00	.00
		Min T	.00	-32.30	.00	-62.62	.00	-10.33	.00	.00	.00
		Max M-2	.00	-32.30	.00	-62.62	.00	-10.33	.00	.00	.00
		Min M-2	3.18	-35.41	.00	-71.12	.00	-229.50	.00	.00	.00
	LG43	Max M-3	.00	-32.30	.00	-62.62	.00	-10.33	.00	.00	.00
		Min M-3	.00	-32.30	.00	-62.62	.00	-10.33	.00	.00	.00
11	LG11	Max N	1.00	-404.39	.00	-8.73	.00	-76.29	.00	.00	.00
		Min N	.00	-406.28	.00	-8.96	.00	-67.45	.00	.00	.00
		Max Q-2	.00	-406.28	.00	-8.96	.00	-67.45	.00	.00	.00
		Min Q-2	.00	-406.28	.00	-8.96	.00	-67.45	.00	.00	.00
		Max Q-3	1.00	-404.39	.00	-8.73	.00	-76.29	.00	.00	.00
		Min Q-3	.00	-406.28	.00	-8.96	.00	-67.45	.00	.00	.00
		Max T	.00	-406.28	.00	-8.96	.00	-67.45	.00	.00	.00
		Min T	.00	-406.28	.00	-8.96	.00	-67.45	.00	.00	.00
		Max M-2	.00	-406.28	.00	-8.96	.00	-67.45	.00	.00	.00
		Min M-2	1.00	-404.39	.00	-8.73	.00	-76.29	.00	.00	.00
		Max M-3	.00	-406.28	.00	-8.96	.00	-67.45	.00	.00	.00
		Min M-3	.00	-406.28	.00	-8.96	.00	-67.45	.00	.00	.00
	LG12	Max N	1.00	-405.76	.00	-24.12	.00	-60.86	.00	.00	.00
		Min N	.00	-407.65	.00	-24.27	.00	-36.66	.00	.00	.00
		Max Q-2	.00	-407.65	.00	-24.27	.00	-36.66	.00	.00	.00
		Min Q-2	.00	-407.65	.00	-24.27	.00	-36.66	.00	.00	.00
		Max Q-3	1.00	-405.76	.00	-24.12	.00	-60.86	.00	.00	.00
		Min Q-3	.00	-407.65	.00	-24.27	.00	-36.66	.00	.00	.00
		Max T	.00	-407.65	.00	-24.27	.00	-36.66	.00	.00	.00
		Min T	.00	-407.65	.00	-24.27	.00	-36.66	.00	.00	.00
		Max M-2	.00	-407.65	.00	-24.27	.00	-36.66	.00	.00	.00
		Min M-2	1.00	-405.76	.00	-24.12	.00	-60.86	.00	.00	.00
		Max M-3	.00	-407.65	.00	-24.27	.00	-36.66	.00	.00	.00
		Min M-3	.00	-407.65	.00	-24.27	.00	-36.66	.00	.00	.00
	LG13	Max N	1.00	-404.94	.00	2.88	.00	-136.87	.00	.00	.00
		Min N	.00	-406.83	.00	2.42	.00	-139.53	.00	.00	.00
		Max Q-2	.00	-406.83	.00	2.42	.00	-139.53	.00	.00	.00
		Min Q-2	.00	-406.83	.00	2.42	.00	-139.53	.00	.00	.00
		Max Q-3	1.00	-404.94	.00	2.88	.00	-136.87	.00	.00	.00
		Min Q-3	.00	-406.83	.00	2.42	.00	-139.53	.00	.00	.00
		Max T	.00	-406.83	.00	2.42	.00	-139.53	.00	.00	.00
		Min T	.00	-406.83	.00	2.42	.00	-139.53	.00	.00	.00
		Max M-2	1.00	-404.94	.00	2.88	.00	-136.87	.00	.00	.00
		Min M-2	.00	-406.83	.00	2.42	.00	-139.53	.00	.00	.00
		Max M-3	.00	-406.83	.00	2.42	.00	-139.53	.00	.00	.00
		Min M-3	.00	-406.83	.00	2.42	.00	-139.53	.00	.00	.00
	LG21	Max N	1.00	-321.85	.00	5.25	.00	28.20	.00	.00	.00
		Min N	.00	-323.83	.00	5.33	.00	22.90	.00	.00	.00
		Max Q-2	.00	-323.83	.00	5.33	.00	22.90	.00	.00	.00
		Min Q-2	.00	-323.83	.00	5.33	.00	22.90	.00	.00	.00
		Max Q-3	.00	-323.83	.00	5.33	.00	22.90	.00	.00	.00
		Min Q-3	1.00	-321.85	.00	5.25	.00	28.20	.00	.00	.00
		Max T	.00	-323.83	.00	5.33	.00	22.90	.00	.00	.00
		Min T	.00	-323.83	.00	5.33	.00	22.90	.00	.00	.00
		Max M-2	1.00	-321.85	.00	5.25	.00	28.20	.00	.00	.00
		Min M-2	.00	-323.83	.00	5.33	.00	22.90	.00	.00	.00
		Max M-3	.00	-323.83	.00	5.33	.00	22.90	.00	.00	.00
		Min M-3	.00	-323.83	.00	5.33	.00	22.90	.00	.00	.00
	LG22	Max N	1.00	-323.30	.00	-10.01	.00	44.27	.00	.00	.00
		Min N	.00	-325.18	.00	-9.86	.00	54.20	.00	.00	.00
		Max Q-2	.00	-325.18	.00	-9.86	.00	54.20	.00	.00	.00
		Min Q-2	.00	-325.18	.00	-9.86	.00	54.20	.00	.00	.00
		Max Q-3	.00	-325.18	.00	-9.86	.00	54.20	.00	.00	.00
		Min Q-3	1.00	-323.30	.00	-10.01	.00	44.27	.00	.00	.00
		Max T	.00	-325.18	.00	-9.86	.00	54.20	.00	.00	.00
		Min T	.00	-325.18	.00	-9.86	.00	54.20	.00	.00	.00
		Max M-2	.00	-325.18	.00	-9.86	.00	54.20	.00	.00	.00
		Min M-2	1.00	-323.30	.00	-10.01	.00	44.27	.00	.00	.00
		Max M-3	.00	-325.18	.00	-9.86	.00	54.20	.00	.00	.00
		Min M-3	.00	-325.18	.00	-9.86	.00	54.20	.00	.00	.00

Projekt: Bachelorarbeit	Position: Hallenrahmen	Seite: 15
-------------------------	------------------------	-----------

## SCHNITTGRÖSSEN STABBEZOGEN

Stab-Nr.	LF/LG-Nr.	Knoten-Nr.	x [m]	N	Kräfte [kN] Q <sub>2</sub>	Q <sub>3</sub>	T	Momente [kNm] M <sub>2</sub>	M <sub>3</sub>
11	LG34	Max N	1.00	-345.17	.00	-33.48	.00	-364.43	.00
		Min N	.00	-347.06	.00	-34.47	.00	-330.45	.00
		Max Q-2	.00	-347.06	.00	-34.47	.00	-330.45	.00
		Min Q-2	.00	-347.06	.00	-34.47	.00	-330.45	.00
		Max Q-3	1.00	-345.17	.00	-33.48	.00	-364.43	.00
		Min Q-3	.00	-347.06	.00	-34.47	.00	-330.45	.00
		Max T	.00	-347.06	.00	-34.47	.00	-330.45	.00
		Min T	.00	-347.06	.00	-34.47	.00	-330.45	.00
		Max M-2	.00	-347.06	.00	-34.47	.00	-330.45	.00
		Min M-2	1.00	-345.17	.00	-33.48	.00	-364.43	.00
		Max M-3	.00	-347.06	.00	-34.47	.00	-330.45	.00
		Min M-3	.00	-347.06	.00	-34.47	.00	-330.45	.00
	LG37	Max N	1.00	-343.91	.00	-21.06	.00	-373.27	.00
		Min N	.00	-345.80	.00	-22.09	.00	-351.69	.00
		Max Q-2	.00	-345.80	.00	-22.09	.00	-351.69	.00
		Min Q-2	.00	-345.80	.00	-22.09	.00	-351.69	.00
		Max Q-3	1.00	-343.91	.00	-21.06	.00	-373.27	.00
		Min Q-3	.00	-345.80	.00	-22.09	.00	-351.69	.00
		Max T	.00	-345.80	.00	-22.09	.00	-351.69	.00
		Min T	.00	-345.80	.00	-22.09	.00	-351.69	.00
		Max M-2	.00	-345.80	.00	-22.09	.00	-351.69	.00
		Min M-2	1.00	-343.91	.00	-21.06	.00	-373.27	.00
		Max M-3	.00	-345.80	.00	-22.09	.00	-351.69	.00
		Min M-3	.00	-345.80	.00	-22.09	.00	-351.69	.00
	LG40	Max N	1.00	-404.21	.00	-7.97	.00	-61.85	.00
		Min N	.00	-406.10	.00	-8.18	.00	-61.85	.00
		Max Q-2	.00	-406.10	.00	-8.18	.00	-61.85	.00
		Min Q-2	.00	-406.10	.00	-8.18	.00	-61.85	.00
		Max Q-3	1.00	-404.21	.00	-7.97	.00	-61.85	.00
		Min Q-3	.00	-406.10	.00	-8.18	.00	-61.85	.00
		Max T	.00	-406.10	.00	-8.18	.00	-61.85	.00
		Min T	.00	-406.10	.00	-8.18	.00	-61.85	.00
		Max M-2	.00	-406.10	.00	-8.18	.00	-61.85	.00
		Min M-2	1.00	-404.21	.00	-7.97	.00	-61.85	.00
		Max M-3	.00	-406.10	.00	-8.18	.00	-61.85	.00
		Min M-3	.00	-406.10	.00	-8.18	.00	-61.85	.00
	LG41	Max N	1.00	-405.58	.00	-23.36	.00	-54.50	.00
		Min N	.00	-407.47	.00	-23.49	.00	-31.07	.00
		Max Q-2	.00	-407.47	.00	-23.49	.00	-31.07	.00
		Min Q-2	.00	-407.47	.00	-23.49	.00	-31.07	.00
		Max Q-3	1.00	-405.58	.00	-23.36	.00	-54.50	.00
		Min Q-3	.00	-407.47	.00	-23.49	.00	-31.07	.00
		Max T	.00	-407.47	.00	-23.49	.00	-31.07	.00
		Min T	.00	-407.47	.00	-23.49	.00	-31.07	.00
		Max M-2	.00	-407.47	.00	-23.49	.00	-31.07	.00
		Min M-2	1.00	-405.58	.00	-23.36	.00	-54.50	.00
		Max M-3	.00	-407.47	.00	-23.49	.00	-31.07	.00
		Min M-3	.00	-407.47	.00	-23.49	.00	-31.07	.00
	LG42	Max N	1.00	-321.80	.00	5.86	.00	33.37	.00
		Min N	.00	-323.68	.00	5.95	.00	27.45	.00
		Max Q-2	.00	-323.68	.00	5.95	.00	27.45	.00
		Min Q-2	.00	-323.68	.00	5.95	.00	27.45	.00
		Max Q-3	.00	-323.68	.00	5.95	.00	27.45	.00
		Min Q-3	1.00	-321.80	.00	5.86	.00	33.37	.00
		Max T	.00	-323.68	.00	5.95	.00	27.45	.00
		Min T	.00	-323.68	.00	5.95	.00	27.45	.00
		Max M-2	1.00	-321.80	.00	5.86	.00	33.37	.00
		Min M-2	.00	-323.68	.00	5.95	.00	27.45	.00
		Max M-3	.00	-323.68	.00	5.95	.00	27.45	.00
		Min M-3	.00	-323.68	.00	5.95	.00	27.45	.00
	LG43	Max N	1.00	-345.32	.00	-33.94	.00	-369.89	.00
		Min N	.00	-347.21	.00	-34.94	.00	-335.45	.00
		Max Q-2	.00	-347.21	.00	-34.94	.00	-335.45	.00
		Min Q-2	.00	-347.21	.00	-34.94	.00	-335.45	.00
		Max Q-3	1.00	-345.32	.00	-33.94	.00	-369.89	.00
		Min Q-3	.00	-347.21	.00	-34.94	.00	-335.45	.00
		Max T	.00	-347.21	.00	-34.94	.00	-335.45	.00
		Min T	.00	-347.21	.00	-34.94	.00	-335.45	.00
		Max M-2	.00	-347.21	.00	-34.94	.00	-335.45	.00
		Min M-2	1.00	-345.32	.00	-33.94	.00	-369.89	.00
		Max M-3	.00	-347.21	.00	-34.94	.00	-335.45	.00
		Min M-3	.00	-347.21	.00	-34.94	.00	-335.45	.00
13	LG11	Max N	2.00	-160.31	.00	21.01	.00	467.86	.00
		Min N	.00	-164.09	.00	29.32	.00	417.52	.00
		Max Q-2	.00	-164.09	.00	29.32	.00	417.52	.00
		Min Q-2	.00	-164.09	.00	29.32	.00	417.52	.00
		Max Q-3	.00	-164.09	.00	29.32	.00	417.52	.00
		Min Q-3	2.00	-160.31	.00	21.01	.00	467.86	.00
		Max T	.00	-164.09	.00	29.32	.00	417.52	.00
		Min T	.00	-164.09	.00	29.32	.00	417.52	.00
		Max M-2	2.00	-160.31	.00	21.01	.00	467.86	.00
		Min M-2	.00	-164.09	.00	29.32	.00	417.52	.00
		Max M-3	.00	-164.09	.00	29.32	.00	417.52	.00
		Min M-3	.00	-164.09	.00	29.32	.00	417.52	.00
	LG12	Max N	2.00	-159.31	.00	-1.61	.00	450.56	.00
		Min N	.00	-163.09	.00	6.70	.00	445.48	.00
		Max Q-2	.00	-163.09	.00	6.70	.00	445.48	.00
		Min Q-2	.00	-163.09	.00	6.70	.00	445.48	.00
		Max Q-3	.00	-163.09	.00	6.70	.00	445.48	.00
		Min Q-3	2.00	-159.31	.00	-1.61	.00	450.56	.00
		Max T	.00	-163.09	.00	6.70	.00	445.48	.00
		Min T	.00	-163.09	.00	6.70	.00	445.48	.00
		Max M-2	1.60	-160.07	.00	.05	.00	450.86	.00
		Min M-2	.00	-163.09	.00	6.70	.00	445.48	.00
		Max M-3	.00	-163.09	.00	6.70	.00	445.48	.00
		Min M-3	.00	-163.09	.00	6.70	.00	445.48	.00
	LG13	Max N	2.00	-158.83	.00	36.17	.00	481.14	.00
		Min N	.00	-162.60	.00	44.41	.00	380.54	.00

Projekt: Bachelorarbeit	Position: Hallenrahmen	Seite: 16
-------------------------	------------------------	-----------

## SCHNITTGRÖSSEN STABBEZOGEN

Stab-Nr.	LF/LG-Nr.	Knoten-Nr.	x [m]	N	Kräfte [kN] Q <sub>2</sub>	Q <sub>3</sub>	T	Momente [kNm] M <sub>2</sub>	M <sub>3</sub>
13	LG13	Max Q-2	.00	-162.60	.00	44.41	.00	380.54	.00
		Min Q-2	.00	-162.60	.00	44.41	.00	380.54	.00
		Max Q-3	.00	-162.60	.00	44.41	.00	380.54	.00
		Min Q-3	2.00	-158.83	.00	36.17	.00	461.14	.00
		Max T	.00	-162.60	.00	44.41	.00	380.54	.00
		Min T	.00	-162.60	.00	44.41	.00	380.54	.00
		Max M-2	2.00	-158.83	.00	36.17	.00	461.14	.00
		Min M-2	.00	-162.60	.00	44.41	.00	380.54	.00
		Max M-3	.00	-162.60	.00	44.41	.00	380.54	.00
		Min M-3	.00	-162.60	.00	44.41	.00	380.54	.00
	LG21	Max N	2.00	-146.38	.00	54.30	.00	432.08	.00
		Min N	.00	-150.16	.00	59.68	.00	318.06	.00
		Max Q-2	.00	-150.16	.00	59.68	.00	318.06	.00
		Min Q-2	.00	-150.16	.00	59.68	.00	318.06	.00
		Max Q-3	.00	-150.16	.00	59.68	.00	318.06	.00
		Min Q-3	2.00	-146.38	.00	54.30	.00	432.08	.00
		Max T	.00	-150.16	.00	59.68	.00	318.06	.00
		Min T	.00	-150.16	.00	59.68	.00	318.06	.00
		Max M-2	2.00	-146.38	.00	54.30	.00	432.08	.00
		Min M-2	.00	-150.16	.00	59.68	.00	318.06	.00
		Max M-3	.00	-150.16	.00	59.68	.00	318.06	.00
		Min M-3	.00	-150.16	.00	59.68	.00	318.06	.00
	LG22	Max N	2.00	-145.40	.00	31.80	.00	415.38	.00
		Min N	.00	-149.17	.00	37.18	.00	346.38	.00
		Max Q-2	.00	-149.17	.00	37.18	.00	346.38	.00
		Min Q-2	.00	-149.17	.00	37.18	.00	346.38	.00
		Max Q-3	.00	-149.17	.00	37.18	.00	346.38	.00
		Min Q-3	2.00	-145.40	.00	31.80	.00	415.38	.00
		Max T	.00	-149.17	.00	37.18	.00	346.38	.00
		Min T	.00	-149.17	.00	37.18	.00	346.38	.00
		Max M-2	2.00	-145.40	.00	31.80	.00	415.38	.00
		Min M-2	.00	-149.17	.00	37.18	.00	346.38	.00
		Max M-3	.00	-149.17	.00	37.18	.00	346.38	.00
		Min M-3	.00	-149.17	.00	37.18	.00	346.38	.00
	LG34	Max N	2.00	-76.04	.00	28.88	.00	231.80	.00
		Min N	.00	-79.82	.00	14.88	.00	188.06	.00
		Max Q-2	.00	-79.82	.00	14.88	.00	188.06	.00
		Min Q-2	.00	-79.82	.00	14.88	.00	188.06	.00
		Max Q-3	2.00	-76.04	.00	28.88	.00	231.80	.00
		Min Q-3	.00	-79.82	.00	14.88	.00	188.06	.00
		Max T	.00	-79.82	.00	14.88	.00	188.06	.00
		Min T	.00	-79.82	.00	14.88	.00	188.06	.00
		Max M-2	2.00	-76.04	.00	28.88	.00	231.80	.00
		Min M-2	.00	-79.82	.00	14.88	.00	188.06	.00
		Max M-3	.00	-79.82	.00	14.88	.00	188.06	.00
		Min M-3	.00	-79.82	.00	14.88	.00	188.06	.00
	LG37	Max N	2.00	-77.06	.00	47.72	.00	247.33	.00
		Min N	.00	-80.83	.00	33.72	.00	165.89	.00
		Max Q-2	.00	-80.83	.00	33.72	.00	165.89	.00
		Min Q-2	.00	-80.83	.00	33.72	.00	165.89	.00
		Max Q-3	2.00	-77.06	.00	47.72	.00	247.33	.00
		Min Q-3	.00	-80.83	.00	33.72	.00	165.89	.00
		Max T	.00	-80.83	.00	33.72	.00	165.89	.00
		Min T	.00	-80.83	.00	33.72	.00	165.89	.00
		Max M-2	2.00	-77.06	.00	47.72	.00	247.33	.00
		Min M-2	.00	-80.83	.00	33.72	.00	165.89	.00
		Max M-3	.00	-80.83	.00	33.72	.00	165.89	.00
		Min M-3	.00	-80.83	.00	33.72	.00	165.89	.00
	LG40	Max N	2.00	-160.65	.00	21.56	.00	470.86	.00
		Min N	.00	-164.43	.00	29.88	.00	419.42	.00
		Max Q-2	.00	-164.43	.00	29.88	.00	419.42	.00
		Min Q-2	.00	-164.43	.00	29.88	.00	419.42	.00
		Max Q-3	.00	-164.43	.00	29.88	.00	419.42	.00
		Min Q-3	2.00	-160.65	.00	21.56	.00	470.86	.00
		Max T	.00	-164.43	.00	29.88	.00	419.42	.00
		Min T	.00	-164.43	.00	29.88	.00	419.42	.00
		Max M-2	2.00	-160.65	.00	21.56	.00	470.86	.00
		Min M-2	.00	-164.43	.00	29.88	.00	419.42	.00
		Max M-3	.00	-164.43	.00	29.88	.00	419.42	.00
		Min M-3	.00	-164.43	.00	29.88	.00	419.42	.00
	LG41	Max N	2.00	-159.65	.00	-1.06	.00	453.57	.00
		Min N	.00	-163.42	.00	7.26	.00	447.38	.00
		Max Q-2	.00	-163.42	.00	7.26	.00	447.38	.00
		Min Q-2	.00	-163.42	.00	7.26	.00	447.38	.00
		Max Q-3	.00	-163.42	.00	7.26	.00	447.38	.00
		Min Q-3	2.00	-159.65	.00	-1.06	.00	453.57	.00
		Max T	.00	-163.42	.00	7.26	.00	447.38	.00
		Min T	.00	-163.42	.00	7.26	.00	447.38	.00
		Max M-2	1.70	-160.22	.00	19	.00	453.70	.00
		Min M-2	.00	-163.42	.00	7.26	.00	447.38	.00
		Max M-3	.00	-163.42	.00	7.26	.00	447.38	.00
		Min M-3	.00	-163.42	.00	7.26	.00	447.38	.00
	LG42	Max N	2.00	-146.65	.00	54.74	.00	434.51	.00
		Min N	.00	-150.43	.00	60.12	.00	319.62	.00
		Max Q-2	.00	-150.43	.00	60.12	.00	319.62	.00
		Min Q-2	.00	-150.43	.00	60.12	.00	319.62	.00
		Max Q-3	.00	-150.43	.00	60.12	.00	319.62	.00
		Min Q-3	2.00	-146.65	.00	54.74	.00	434.51	.00
		Max T	.00	-150.43	.00	60.12	.00	319.62	.00
		Min T	.00	-150.43	.00	60.12	.00	319.62	.00
		Max M-2	2.00	-146.65	.00	54.74	.00	434.51	.00
		Min M-2	.00	-150.43	.00	60.12	.00	319.62	.00
		Max M-3	.00	-150.43	.00	60.12	.00	319.62	.00
		Min M-3	.00	-150.43	.00	60.12	.00	319.62	.00
	LG43	Max N	2.00	-75.77	.00	28.62	.00	228.50	.00
		Min N	.00	-79.55	.00	14.62	.00	186.27	.00
		Max Q-2	.00	-79.55	.00	14.62	.00	186.27	.00
		Min Q-2	.00	-79.55	.00	14.62	.00	186.27	.00

Projekt: Bachelorarbeit	Position: Hallenrahmen	Seite: 17
-------------------------	------------------------	-----------

## SCHNITTGRÖSSEN STABBEZOGEN

Stab-Nr.	LF/LG-Nr.	Knoten-Nr.	x [m]	N	Kräfte [kN] Q <sub>2</sub>	Q <sub>3</sub>	T	Momente [kNm] M <sub>2</sub>	M <sub>3</sub>
13	LG43	Max Q-3	2.00	-75.77	.00	28.62	.00	229.50	.00
		Min Q-3	.00	-79.55	.00	14.62	.00	186.27	.00
		Max T	.00	-79.55	.00	14.62	.00	186.27	.00
		Min T	.00	-79.55	.00	14.62	.00	186.27	.00
		Max M-2	2.00	-75.77	.00	28.62	.00	229.50	.00
		Min M-2	.00	-79.55	.00	14.62	.00	186.27	.00
		Max M-3	.00	-79.55	.00	14.62	.00	186.27	.00
		Min M-3	.00	-79.55	.00	14.62	.00	186.27	.00
		Max N	1.59	-58.29	.00	154.99	.00	-182.56	.00
		Min N	.00	-62.75	.00	211.09	.00	-472.23	.00
14	LG11	Max Q-2	.00	-62.75	.00	211.09	.00	-472.23	.00
		Min Q-2	.00	-62.75	.00	211.09	.00	-472.23	.00
		Max Q-3	.00	-62.75	.00	211.09	.00	-472.23	.00
		Min Q-3	1.59	-58.29	.00	154.99	.00	-182.56	.00
		Max T	.00	-62.75	.00	211.09	.00	-472.23	.00
		Min T	.00	-62.75	.00	211.09	.00	-472.23	.00
		Max M-2	1.59	-58.29	.00	154.99	.00	-182.56	.00
		Min M-2	.00	-62.75	.00	211.09	.00	-472.23	.00
		Max M-3	.00	-62.75	.00	211.09	.00	-472.23	.00
		Min M-3	.00	-62.75	.00	211.09	.00	-472.23	.00
	LG12	Max N	1.59	-56.41	.00	157.48	.00	-208.44	.00
		Min N	.00	-60.88	.00	213.57	.00	-502.05	.00
		Max Q-2	.00	-60.88	.00	213.57	.00	-502.05	.00
		Min Q-2	.00	-60.88	.00	213.57	.00	-502.05	.00
		Max Q-3	.00	-60.88	.00	213.57	.00	-502.05	.00
		Min Q-3	1.59	-56.41	.00	157.48	.00	-208.44	.00
		Max T	.00	-60.88	.00	213.57	.00	-502.05	.00
		Min T	.00	-60.88	.00	213.57	.00	-502.05	.00
		Max M-2	1.59	-56.41	.00	157.48	.00	-208.44	.00
		Min M-2	.00	-60.88	.00	213.57	.00	-502.05	.00
	LG13	Max M-3	.00	-60.88	.00	213.57	.00	-502.05	.00
		Min M-3	.00	-60.88	.00	213.57	.00	-502.05	.00
		Max N	1.59	-55.35	.00	157.27	.00	-194.02	.00
		Min N	.00	-59.82	.00	213.38	.00	-487.32	.00
		Max Q-2	.00	-59.82	.00	213.38	.00	-487.32	.00
		Min Q-2	.00	-59.82	.00	213.38	.00	-487.32	.00
		Max Q-3	.00	-59.82	.00	213.38	.00	-487.32	.00
		Min Q-3	1.59	-55.35	.00	157.27	.00	-194.02	.00
		Max T	.00	-59.82	.00	213.38	.00	-487.32	.00
		Min T	.00	-59.82	.00	213.38	.00	-487.32	.00
	LG21	Max M-2	1.59	-55.35	.00	157.27	.00	-194.02	.00
		Min M-2	.00	-59.82	.00	213.38	.00	-487.32	.00
		Max M-3	.00	-59.82	.00	213.38	.00	-487.32	.00
		Min M-3	.00	-59.82	.00	213.38	.00	-487.32	.00
		Max N	1.59	-67.03	.00	103.04	.00	-45.31	.00
		Min N	.00	-71.49	.00	141.73	.00	-238.63	.00
		Max Q-2	.00	-71.49	.00	141.73	.00	-238.63	.00
		Min Q-2	.00	-71.49	.00	141.73	.00	-238.63	.00
		Max Q-3	.00	-71.49	.00	141.73	.00	-238.63	.00
		Min Q-3	1.59	-67.03	.00	103.04	.00	-45.31	.00
	LG22	Max T	.00	-71.49	.00	141.73	.00	-238.63	.00
		Min T	.00	-71.49	.00	141.73	.00	-238.63	.00
		Max M-2	1.59	-67.03	.00	103.04	.00	-45.31	.00
		Min M-2	.00	-71.49	.00	141.73	.00	-238.63	.00
		Max M-3	.00	-71.49	.00	141.73	.00	-238.63	.00
		Min M-3	.00	-71.49	.00	141.73	.00	-238.63	.00
		Max N	1.59	-65.21	.00	105.48	.00	-70.87	.00
		Min N	.00	-69.67	.00	144.15	.00	-268.05	.00
		Max Q-2	.00	-69.67	.00	144.15	.00	-268.05	.00
		Min Q-2	.00	-69.67	.00	144.15	.00	-268.05	.00
	LG34	Max Q-3	.00	-69.67	.00	144.15	.00	-268.05	.00
		Min Q-3	1.59	-65.21	.00	105.48	.00	-70.87	.00
		Max T	.00	-69.67	.00	144.15	.00	-268.05	.00
		Min T	.00	-69.67	.00	144.15	.00	-268.05	.00
		Max M-2	1.59	-65.21	.00	105.48	.00	-70.87	.00
		Min M-2	.00	-69.67	.00	144.15	.00	-268.05	.00
		Max M-3	.00	-69.67	.00	144.15	.00	-268.05	.00
		Min M-3	.00	-69.67	.00	144.15	.00	-268.05	.00
		Max N	1.59	-54.42	.00	156.96	.00	-271.91	.00
		Min N	.00	-58.88	.00	213.00	.00	-564.66	.00
	LG37	Max Q-2	.00	-58.88	.00	213.00	.00	-564.66	.00
		Min Q-2	.00	-58.88	.00	213.00	.00	-564.66	.00
		Max Q-3	.00	-58.88	.00	213.00	.00	-564.66	.00
		Min Q-3	1.59	-54.42	.00	156.96	.00	-271.91	.00
		Max T	.00	-58.88	.00	213.00	.00	-564.66	.00
		Min T	.00	-58.88	.00	213.00	.00	-564.66	.00
		Max M-2	1.59	-54.42	.00	156.96	.00	-271.91	.00
		Min M-2	.00	-58.88	.00	213.00	.00	-564.66	.00
		Max M-3	.00	-58.88	.00	213.00	.00	-564.66	.00
		Min M-3	.00	-58.88	.00	213.00	.00	-564.66	.00
	LG40	Max N	1.59	-56.38	.00	154.55	.00	-248.00	.00
		Min N	.00	-60.85	.00	210.60	.00	-536.93	.00
		Max Q-2	.00	-60.85	.00	210.60	.00	-536.93	.00
		Min Q-2	.00	-60.85	.00	210.60	.00	-536.93	.00
		Max Q-3	.00	-60.85	.00	210.60	.00	-536.93	.00
		Min Q-3	1.59	-56.38	.00	154.55	.00	-248.00	.00
		Max T	.00	-60.85	.00	210.60	.00	-536.93	.00
		Min T	.00	-60.85	.00	210.60	.00	-536.93	.00
		Max M-2	1.59	-56.38	.00	154.55	.00	-248.00	.00
		Min M-2	.00	-60.85	.00	210.60	.00	-536.93	.00
	LG40	Max M-3	.00	-60.85	.00	210.60	.00	-536.93	.00
		Min M-3	.00	-60.85	.00	210.60	.00	-536.93	.00
		Max N	1.59	-62.99	.00	210.56	.00	-467.17	.00
		Min N	.00	-62.99	.00	210.56	.00	-467.17	.00
	LG40	Max Q-2	.00	-62.99	.00	210.56	.00	-467.17	.00
		Min Q-2	.00	-62.99	.00	210.56	.00	-467.17	.00
		Max Q-3	.00	-62.99	.00	210.56	.00	-467.17	.00
		Min Q-3	1.59	-58.52	.00	154.46	.00	-178.34	.00



Projekt: Bachelorarbeit	Position: Hallenrahmen	Seite: 18
-------------------------	------------------------	-----------

## SCHNITTGRÖSSEN STABBEZOGEN

Stab-Nr.	LF/LG-Nr.	Knoten-Nr.	x [m]	N	Kräfte [kN]			T	Momente [kNm]		
					Q <sub>2</sub>	Q <sub>3</sub>			M <sub>2</sub>	M <sub>3</sub>	
14	LG40	Max T	.00	-62.99	.00	210.56	.00	-467.17	.00	.00	.00
		Min T	.00	-62.99	.00	210.56	.00	-467.17	.00	.00	.00
		Max M-2	1.59	-58.52	.00	154.46	.00	-178.34	.00	.00	.00
		Min M-2	.00	-62.99	.00	210.56	.00	-467.17	.00	.00	.00
		Max M-3	.00	-62.99	.00	210.56	.00	-467.17	.00	.00	.00
		Min M-3	.00	-62.99	.00	210.56	.00	-467.17	.00	.00	.00
	LG41	Max N	1.59	-56.85	.00	156.94	.00	-204.22	.00	.00	.00
		Min N	.00	-61.11	.00	213.03	.00	-496.99	.00	.00	.00
		Max Q-2	.00	-61.11	.00	213.03	.00	-496.99	.00	.00	.00
		Min Q-2	.00	-61.11	.00	213.03	.00	-496.99	.00	.00	.00
		Max Q-3	.00	-61.11	.00	213.03	.00	-496.99	.00	.00	.00
		Min Q-3	1.59	-56.85	.00	156.94	.00	-204.22	.00	.00	.00
	LG42	Max T	.00	-61.11	.00	213.03	.00	-496.99	.00	.00	.00
		Min T	.00	-61.11	.00	213.03	.00	-496.99	.00	.00	.00
		Max M-2	1.59	-56.85	.00	156.94	.00	-204.22	.00	.00	.00
		Min M-2	.00	-61.11	.00	213.03	.00	-496.99	.00	.00	.00
		Max M-3	.00	-61.11	.00	213.03	.00	-496.99	.00	.00	.00
		Min M-3	.00	-61.11	.00	213.03	.00	-496.99	.00	.00	.00
	LG43	Max N	1.59	-67.16	.00	102.61	.00	-234.54	.00	.00	.00
		Min N	.00	-71.63	.00	141.31	.00	-568.68	.00	.00	.00
		Max Q-2	.00	-71.63	.00	141.31	.00	-568.68	.00	.00	.00
		Min Q-2	.00	-71.63	.00	141.31	.00	-568.68	.00	.00	.00
		Max Q-3	.00	-71.63	.00	141.31	.00	-568.68	.00	.00	.00
		Min Q-3	1.59	-67.16	.00	102.61	.00	-234.54	.00	.00	.00
17	LG11	Max T	.00	-46.46	.00	7.23	.00	-253.06	.00	.00	.00
		Min T	.00	-46.46	.00	7.23	.00	-253.06	.00	.00	.00
		Max M-2	2.70	-46.95	.00	-0.02	.00	-253.06	.00	.00	.00
		Min M-2	.00	-46.95	.00	-0.02	.00	-253.06	.00	.00	.00
		Max M-3	.00	-46.95	.00	-0.02	.00	-253.06	.00	.00	.00
		Min M-3	.00	-46.95	.00	-0.02	.00	-253.06	.00	.00	.00
	LG12	Max N	3.18	-44.58	.00	-4.67	.00	-239.16	.00	.00	.00
		Min N	.00	-47.83	.00	43.37	.00	-300.68	.00	.00	.00
		Max Q-2	.00	-47.83	.00	43.37	.00	-300.68	.00	.00	.00
		Min Q-2	.00	-47.83	.00	43.37	.00	-300.68	.00	.00	.00
		Max Q-3	.00	-47.83	.00	43.37	.00	-300.68	.00	.00	.00
		Min Q-3	3.18	-44.58	.00	-4.67	.00	-239.16	.00	.00	.00
	LG13	Max T	.00	-46.77	.00	43.13	.00	-252.52	.00	.00	.00
		Min T	.00	-46.77	.00	43.13	.00	-252.52	.00	.00	.00
		Max M-2	2.86	-43.85	.00	-1.11	.00	-252.52	.00	.00	.00
		Min M-2	.00	-46.77	.00	43.13	.00	-252.52	.00	.00	.00
		Max M-3	.00	-46.77	.00	43.13	.00	-252.52	.00	.00	.00
		Min M-3	.00	-46.77	.00	43.13	.00	-252.52	.00	.00	.00
	LG21	Max N	3.18	-55.20	.00	-5.46	.00	-219.17	.00	.00	.00
		Min N	.00	-58.45	.00	21.06	.00	-243.96	.00	.00	.00
		Max Q-2	.00	-58.45	.00	21.06	.00	-243.96	.00	.00	.00
		Min Q-2	.00	-58.45	.00	21.06	.00	-243.96	.00	.00	.00
		Max Q-3	.00	-58.45	.00	21.06	.00	-243.96	.00	.00	.00
		Min Q-3	3.18	-55.20	.00	-5.46	.00	-219.17	.00	.00	.00
	LG22	Max T	.00	-56.63	.00	23.56	.00	-205.38	.00	.00	.00
		Min T	.00	-56.63	.00	23.56	.00	-205.38	.00	.00	.00
		Max M-2	2.54	-55.85	.00	-1.06	.00	-205.38	.00	.00	.00
		Min M-2	.00	-56.63	.00	23.56	.00	-205.38	.00	.00	.00
		Max M-3	.00	-56.63	.00	23.56	.00	-205.38	.00	.00	.00
		Min M-3	.00	-56.63	.00	23.56	.00	-205.38	.00	.00	.00

Projekt: Bachelorarbeit	Position: Hallenrahmen	Seite: 19
-------------------------	------------------------	-----------

## SCHNITTGRÖSSEN STABBEZOGEN

Stab-Nr.	LF/LG-Nr.	Knoten-Nr.	x [m]	N	Kräfte [kN]			T	Momente [kNm]	
					Q <sub>2</sub>	Q <sub>3</sub>			M <sub>2</sub>	M <sub>3</sub>
17	LG22	Max M-2	2.86	-53.70	.00	-29	.00	.00	238.66	.00
		Min M-2	.00	-56.63	.00	23.56	.00	.00	205.38	.00
		Max M-3	.00	-56.63	.00	23.56	.00	.00	205.38	.00
		Min M-3	.00	-56.63	.00	23.56	.00	.00	205.38	.00
		Max N	.00	-45.84	.00	42.99	.00	.00	173.59	.00
	LG34	Min N	3.18	-42.59	.00	-4.96	.00	.00	234.08	.00
		Max Q-2	.00	-45.84	.00	42.99	.00	.00	173.59	.00
		Min Q-2	.00	-45.84	.00	42.99	.00	.00	173.59	.00
		Max Q-3	.00	-45.84	.00	42.99	.00	.00	173.59	.00
		Min Q-3	3.18	-42.59	.00	-4.96	.00	.00	234.08	.00
		Max T	.00	-45.84	.00	42.99	.00	.00	173.59	.00
		Min T	.00	-45.84	.00	42.99	.00	.00	173.59	.00
		Max M-2	2.86	-42.91	.00	-16	.00	.00	234.89	.00
		Min M-2	.00	-45.84	.00	42.99	.00	.00	173.59	.00
		Max M-3	.00	-45.84	.00	42.99	.00	.00	173.59	.00
		Min M-3	.00	-45.84	.00	42.99	.00	.00	173.59	.00
	LG37	Max N	3.18	-44.55	.00	-7.43	.00	.00	238.59	.00
		Min N	.00	-47.80	.00	40.55	.00	.00	185.93	.00
		Max Q-2	.00	-47.80	.00	40.55	.00	.00	185.93	.00
		Min Q-2	.00	-47.80	.00	40.55	.00	.00	185.93	.00
		Max Q-3	.00	-47.80	.00	40.55	.00	.00	185.93	.00
		Min Q-3	3.18	-44.55	.00	-7.43	.00	.00	238.59	.00
		Max T	.00	-47.80	.00	40.55	.00	.00	185.93	.00
		Min T	.00	-47.80	.00	40.55	.00	.00	185.93	.00
		Max M-2	2.70	-45.04	.00	-23	.00	.00	240.42	.00
		Min M-2	.00	-47.80	.00	40.55	.00	.00	185.93	.00
		Max M-3	.00	-47.80	.00	40.55	.00	.00	185.93	.00
		Min M-3	.00	-47.80	.00	40.55	.00	.00	185.93	.00
	LG40	Max N	3.18	-46.69	.00	-7.78	.00	.00	306.39	.00
		Min N	.00	-49.94	.00	40.29	.00	.00	254.70	.00
		Max Q-2	.00	-49.94	.00	40.29	.00	.00	254.70	.00
		Min Q-2	.00	-49.94	.00	40.29	.00	.00	254.70	.00
		Max Q-3	.00	-49.94	.00	40.29	.00	.00	254.70	.00
		Min Q-3	3.18	-46.69	.00	-7.78	.00	.00	306.39	.00
		Max T	.00	-49.94	.00	40.29	.00	.00	254.70	.00
		Min T	.00	-49.94	.00	40.29	.00	.00	254.70	.00
		Max M-2	2.70	-47.18	.00	-57	.00	.00	308.38	.00
		Min M-2	.00	-49.94	.00	40.29	.00	.00	254.70	.00
		Max M-3	.00	-49.94	.00	40.29	.00	.00	254.70	.00
		Min M-3	.00	-49.94	.00	40.29	.00	.00	254.70	.00
	LG41	Max N	3.18	-44.82	.00	-5.22	.00	.00	300.60	.00
		Min N	.00	-48.07	.00	42.83	.00	.00	240.81	.00
		Max Q-2	.00	-48.07	.00	42.83	.00	.00	240.81	.00
		Min Q-2	.00	-48.07	.00	42.83	.00	.00	240.81	.00
		Max Q-3	.00	-48.07	.00	42.83	.00	.00	240.81	.00
		Min Q-3	3.18	-44.82	.00	-5.22	.00	.00	300.60	.00
		Max T	.00	-48.07	.00	42.83	.00	.00	240.81	.00
		Min T	.00	-48.07	.00	42.83	.00	.00	240.81	.00
		Max M-2	2.86	-45.14	.00	-41	.00	.00	301.49	.00
		Min M-2	.00	-48.07	.00	42.83	.00	.00	240.81	.00
		Max M-3	.00	-48.07	.00	42.83	.00	.00	240.81	.00
		Min M-3	.00	-48.07	.00	42.83	.00	.00	240.81	.00
	LG42	Max N	3.18	-55.33	.00	-5.90	.00	.00	243.92	.00
		Min N	.00	-58.58	.00	20.63	.00	.00	220.51	.00
		Max Q-2	.00	-58.58	.00	20.63	.00	.00	220.51	.00
		Min Q-2	.00	-58.58	.00	20.63	.00	.00	220.51	.00
		Max Q-3	.00	-58.58	.00	20.63	.00	.00	220.51	.00
		Min Q-3	3.18	-55.33	.00	-5.90	.00	.00	243.92	.00
		Max T	.00	-58.58	.00	20.63	.00	.00	220.51	.00
		Min T	.00	-58.58	.00	20.63	.00	.00	220.51	.00
		Max M-2	2.54	-55.98	.00	-59	.00	.00	245.99	.00
		Min M-2	.00	-58.58	.00	20.63	.00	.00	220.51	.00
		Max M-3	.00	-58.58	.00	20.63	.00	.00	220.51	.00
		Min M-3	.00	-58.58	.00	20.63	.00	.00	220.51	.00
	LG43	Max N	3.18	-42.30	.00	-4.52	.00	.00	234.25	.00
		Min N	.00	-45.55	.00	43.43	.00	.00	172.36	.00
		Max Q-2	.00	-45.55	.00	43.43	.00	.00	172.36	.00
		Min Q-2	.00	-45.55	.00	43.43	.00	.00	172.36	.00
		Max Q-3	.00	-45.55	.00	43.43	.00	.00	172.36	.00
		Min Q-3	3.18	-42.30	.00	-4.52	.00	.00	234.25	.00
		Max T	.00	-45.55	.00	43.43	.00	.00	172.36	.00
		Min T	.00	-45.55	.00	43.43	.00	.00	172.36	.00
		Max M-2	2.86	-42.62	.00	-28	.00	.00	234.92	.00
		Min M-2	.00	-45.55	.00	43.43	.00	.00	172.36	.00
		Max M-3	.00	-45.55	.00	43.43	.00	.00	172.36	.00
		Min M-3	.00	-45.55	.00	43.43	.00	.00	172.36	.00
18	LG11	Max N	.00	-47.35	.00	-3.05	.00	.00	306.47	.00
		Min N	3.18	-50.46	.00	-49.43	.00	.00	223.03	.00
		Max Q-2	.00	-47.35	.00	-3.05	.00	.00	306.47	.00
		Min Q-2	.00	-47.35	.00	-3.05	.00	.00	306.47	.00
		Max Q-3	.00	-47.35	.00	-3.05	.00	.00	306.47	.00
		Min Q-3	3.18	-50.46	.00	-49.43	.00	.00	223.03	.00
		Max T	.00	-47.35	.00	-3.05	.00	.00	306.47	.00
		Min T	.00	-47.35	.00	-3.05	.00	.00	306.47	.00
		Max M-2	.00	-47.35	.00	-3.05	.00	.00	306.47	.00
		Min M-2	3.18	-50.46	.00	-49.43	.00	.00	223.03	.00
		Max M-3	.00	-47.35	.00	-3.05	.00	.00	306.47	.00
		Min M-3	.00	-47.35	.00	-3.05	.00	.00	306.47	.00
	LG12	Max N	.00	-45.06	.00	-85	.00	.00	300.68	.00
		Min N	3.18	-48.17	.00	-47.22	.00	.00	224.25	.00
		Max Q-2	.00	-45.06	.00	-85	.00	.00	300.68	.00
		Min Q-2	.00	-45.06	.00	-85	.00	.00	300.68	.00
		Max Q-3	.00	-45.06	.00	-85	.00	.00	300.68	.00
		Min Q-3	3.18	-48.17	.00	-47.22	.00	.00	224.25	.00
		Max T	.00	-45.06	.00	-85	.00	.00	300.68	.00
		Min T	.00	-45.06	.00	-85	.00	.00	300.68	.00
		Max M-2	.00	-45.06	.00	-85	.00	.00	300.68	.00
		Min M-2	3.18	-48.17	.00	-47.22	.00	.00	224.25	.00

Projekt: Bachelorarbeit

Position: Hallenrahmen

Seite: 20

## SCHNITTGRÖSSEN STABBEZOGEN

Stab-Nr.	LF/LG-Nr.	Knoten-Nr.	x [m]	N	Kräfte [kN]			T	Momente [kNm]	
					Q <sub>2</sub>	Q <sub>3</sub>			M <sub>2</sub>	M <sub>3</sub>
18	LG12	Max M-3	.00	-45.06	.00	-85	.00	300.68	.00	.00
		Min M-3	.00	-45.06	.00	-85	.00	300.68	.00	.00
		Max N	.00	-44.06	.00	-1.28	.00	313.28	.00	.00
	LG13	Min N	3.18	-47.17	.00	-47.65	.00	235.49	.00	.00
		Max Q-2	.00	-44.06	.00	-1.28	.00	313.28	.00	.00
		Min Q-2	.00	-44.06	.00	-1.28	.00	313.28	.00	.00
	Max Q-3	Max Q-3	.00	-44.06	.00	-1.28	.00	313.28	.00	.00
		Min Q-3	3.18	-47.17	.00	-47.65	.00	235.49	.00	.00
		Max T	.00	-44.06	.00	-1.28	.00	313.28	.00	.00
	Min T	Min T	.00	-44.06	.00	-1.28	.00	313.28	.00	.00
		Max M-2	.00	-44.06	.00	-1.28	.00	313.28	.00	.00
	Min M-2	Min M-2	3.18	-47.17	.00	-47.65	.00	235.49	.00	.00
		Max M-3	.00	-44.06	.00	-1.28	.00	313.28	.00	.00
		Min M-3	.00	-44.06	.00	-1.28	.00	313.28	.00	.00
	LG21	Max N	.00	-55.65	.00	-21	.00	243.96	.00	.00
		Min N	3.18	-58.75	.00	-46.15	.00	170.92	.00	.00
	Max Q-2	Max Q-2	.00	-55.65	.00	-21	.00	243.96	.00	.00
		Min Q-2	.00	-55.65	.00	-21	.00	243.96	.00	.00
	Max Q-3	Max Q-3	.00	-55.65	.00	-21	.00	243.96	.00	.00
		Min Q-3	3.18	-58.75	.00	-46.15	.00	170.92	.00	.00
		Max T	.00	-55.65	.00	-21	.00	243.96	.00	.00
	Min T	Min T	.00	-55.65	.00	-21	.00	243.96	.00	.00
		Max M-2	.00	-55.65	.00	-21	.00	243.96	.00	.00
	Min M-2	Min M-2	3.18	-58.75	.00	-46.15	.00	170.92	.00	.00
		Max M-3	.00	-55.65	.00	-21	.00	243.96	.00	.00
		Min M-3	.00	-55.65	.00	-21	.00	243.96	.00	.00
	LG22	Max N	.00	-53.42	.00	2.38	.00	238.15	.00	.00
		Min N	3.18	-56.52	.00	-43.97	.00	172.02	.00	.00
	Max Q-2	Max Q-2	.00	-53.42	.00	2.38	.00	238.15	.00	.00
		Min Q-2	.00	-53.42	.00	2.38	.00	238.15	.00	.00
	Max Q-3	Max Q-3	.00	-53.42	.00	2.38	.00	238.15	.00	.00
		Min Q-3	3.18	-56.52	.00	-43.97	.00	172.02	.00	.00
		Max T	.00	-53.42	.00	2.38	.00	238.15	.00	.00
	Min T	Min T	.00	-53.42	.00	2.38	.00	238.15	.00	.00
		Max M-2	.16	-53.57	.00	0.07	.00	238.34	.00	.00
	Min M-2	Min M-2	3.18	-56.52	.00	-43.97	.00	172.02	.00	.00
		Max M-3	.00	-53.42	.00	2.38	.00	238.15	.00	.00
		Min M-3	.00	-53.42	.00	2.38	.00	238.15	.00	.00
	LG34	Max N	.00	-43.15	.00	-1.48	.00	234.08	.00	.00
		Min N	3.18	-46.26	.00	-26.24	.00	190.00	.00	.00
	Max Q-2	Max Q-2	.00	-43.15	.00	-1.48	.00	234.08	.00	.00
		Min Q-2	.00	-43.15	.00	-1.48	.00	234.08	.00	.00
	Max Q-3	Max Q-3	.00	-43.15	.00	-1.48	.00	234.08	.00	.00
		Min Q-3	3.18	-46.26	.00	-26.24	.00	190.00	.00	.00
		Max T	.00	-43.15	.00	-1.48	.00	234.08	.00	.00
	Min T	Min T	.00	-43.15	.00	-1.48	.00	234.08	.00	.00
		Max M-2	.00	-43.15	.00	-1.48	.00	234.08	.00	.00
	Min M-2	Min M-2	3.18	-46.26	.00	-26.24	.00	190.00	.00	.00
		Max M-3	.00	-43.15	.00	-1.48	.00	234.08	.00	.00
		Min M-3	.00	-43.15	.00	-1.48	.00	234.08	.00	.00
	LG37	Max N	.00	-45.52	.00	-3.57	.00	238.59	.00	.00
		Min N	3.18	-48.62	.00	-28.34	.00	187.86	.00	.00
	Max Q-2	Max Q-2	.00	-45.52	.00	-3.57	.00	238.59	.00	.00
		Min Q-2	.00	-45.52	.00	-3.57	.00	238.59	.00	.00
	Max Q-3	Max Q-3	.00	-45.52	.00	-3.57	.00	238.59	.00	.00
		Min Q-3	3.18	-48.62	.00	-28.34	.00	187.86	.00	.00
		Max T	.00	-45.52	.00	-3.57	.00	238.59	.00	.00
	Min T	Min T	.00	-45.52	.00	-3.57	.00	238.59	.00	.00
		Max M-2	.00	-45.52	.00	-3.57	.00	238.59	.00	.00
	Min M-2	Min M-2	3.18	-48.62	.00	-28.34	.00	187.86	.00	.00
		Max M-3	.00	-45.52	.00	-3.57	.00	238.59	.00	.00
		Min M-3	.00	-45.52	.00	-3.57	.00	238.59	.00	.00
	LG40	Max N	.00	-47.68	.00	-3.54	.00	306.39	.00	.00
		Min N	3.18	-50.78	.00	-49.93	.00	221.38	.00	.00
	Max Q-2	Max Q-2	.00	-47.68	.00	-3.54	.00	306.39	.00	.00
		Min Q-2	.00	-47.68	.00	-3.54	.00	306.39	.00	.00
	Max Q-3	Max Q-3	.00	-47.68	.00	-3.54	.00	306.39	.00	.00
		Min Q-3	3.18	-50.78	.00	-49.93	.00	221.38	.00	.00
		Max T	.00	-47.68	.00	-3.54	.00	306.39	.00	.00
	Min T	Min T	.00	-47.68	.00	-3.54	.00	306.39	.00	.00
		Max M-2	.00	-47.68	.00	-3.54	.00	306.39	.00	.00
	Min M-2	Min M-2	3.18	-50.78	.00	-49.93	.00	221.38	.00	.00
		Max M-3	.00	-47.68	.00	-3.54	.00	306.39	.00	.00
		Min M-3	.00	-47.68	.00	-3.54	.00	306.39	.00	.00
	LG41	Max N	.00	-45.39	.00	-1.35	.00	300.60	.00	.00
		Min N	3.18	-48.50	.00	-47.71	.00	222.60	.00	.00
	Max Q-2	Max Q-2	.00	-45.39	.00	-1.35	.00	300.60	.00	.00
		Min Q-2	.00	-45.39	.00	-1.35	.00	300.60	.00	.00
	Max Q-3	Max Q-3	.00	-45.39	.00	-1.35	.00	300.60	.00	.00
		Min Q-3	3.18	-48.50	.00	-47.71	.00	222.60	.00	.00
		Max T	.00	-45.39	.00	-1.35	.00	300.60	.00	.00
	Min T	Min T	.00	-45.39	.00	-1.35	.00	300.60	.00	.00
		Max M-2	.00	-45.39	.00	-1.35	.00	300.60	.00	.00
	Min M-2	Min M-2	3.18	-48.50	.00	-47.71	.00	222.60	.00	.00
		Max M-3	.00	-45.39	.00	-1.35	.00	300.60	.00	.00
		Min M-3	.00	-45.39	.00	-1.35	.00	300.60	.00	.00
	LG42	Max N	.00	-55.85	.00	-20	.00	243.92	.00	.00
		Min N	3.18	-58.96	.00	-46.56	.00	169.59	.00	.00
	Max Q-2	Max Q-2	.00	-55.85	.00	-20	.00	243.92	.00	.00
		Min Q-2	.00	-55.85	.00	-20	.00	243.92	.00	.00
	Max Q-3	Max Q-3	.00	-55.85	.00	-20	.00	243.92	.00	.00
		Min Q-3	3.18	-58.96	.00	-46.56	.00	169.59	.00	.00
		Max T	.00	-55.85	.00	-20	.00	243.92	.00	.00
	Min T	Min T	.00	-55.85	.00	-20	.00	243.92	.00	.00
		Max M-2	.00	-55.85	.00	-20	.00	243.92	.00	.00
	Min M-2	Min M-2	3.18	-58.96	.00	-46.56	.00	169.59	.00	.00
		Max M-3	.00	-55.85	.00	-20	.00	243.92	.00	.00
		Min M-3	.00	-55.85	.00	-20	.00	243.92	.00	.00

Projekt: Bachelorarbeit	Position: Hallenrahmen	Seite: 21
-------------------------	------------------------	-----------

## SCHNITTGRÖSSEN STABBEZOGEN

Stab-Nr.	LF/LG-Nr.	Knoten-Nr.	x [m]	N	Kräfte [kN]			T	Momente [kNm]		
					Q <sub>2</sub>	Q <sub>3</sub>			M <sub>2</sub>	M <sub>3</sub>	
18	LG43	Max N	.00	-42.79	.00	-1.09	.00	.00	234.25	.00	.00
		Min N	3.18	-45.90	.00	-25.85	.00	.00	191.40	.00	.00
		Max Q-2	.00	-42.79	.00	-1.09	.00	.00	234.25	.00	.00
		Min Q-2	.00	-42.79	.00	-1.09	.00	.00	234.25	.00	.00
		Max Q-3	.00	-42.79	.00	-1.09	.00	.00	234.25	.00	.00
		Min Q-3	3.18	-45.90	.00	-25.85	.00	.00	191.40	.00	.00
		Max T	.00	-42.79	.00	-1.09	.00	.00	234.25	.00	.00
		Min T	.00	-42.79	.00	-1.09	.00	.00	234.25	.00	.00
		Max M-2	.00	-42.79	.00	-1.09	.00	.00	234.25	.00	.00
		Min M-2	3.18	-45.90	.00	-25.85	.00	.00	191.40	.00	.00
		Max M-3	.00	-42.79	.00	-1.09	.00	.00	234.25	.00	.00
		Min M-3	.00	-42.79	.00	-1.09	.00	.00	234.25	.00	.00
		Max N	.00	-151.52	.00	43.36	.00	.00	403.66	.00	.00
		Min N	.00	-163.32	.00	71.15	.00	.00	.00	.00	.00
21	LG11	Max Q-2	.00	-163.32	.00	71.15	.00	.00	.00	.00	.00
		Min Q-2	.00	-163.32	.00	71.15	.00	.00	.00	.00	.00
		Max Q-3	.00	-163.32	.00	71.15	.00	.00	.00	.00	.00
		Min Q-3	7.00	-151.52	.00	43.36	.00	.00	403.66	.00	.00
		Max T	.00	-163.32	.00	71.15	.00	.00	.00	.00	.00
		Min T	.00	-163.32	.00	71.15	.00	.00	.00	.00	.00
		Max M-2	7.00	-151.52	.00	43.36	.00	.00	403.66	.00	.00
		Min M-2	.00	-163.32	.00	71.15	.00	.00	.00	.00	.00
		Max M-3	.00	-163.32	.00	71.15	.00	.00	.00	.00	.00
		Min M-3	.00	-163.32	.00	71.15	.00	.00	.00	.00	.00
	LG12	Max N	7.00	-149.15	.00	41.27	.00	.00	388.38	.00	.00
		Min N	.00	-160.95	.00	68.91	.00	.00	.00	.00	.00
		Max Q-2	.00	-160.95	.00	68.91	.00	.00	.00	.00	.00
		Min Q-2	.00	-160.95	.00	68.91	.00	.00	.00	.00	.00
		Max Q-3	.00	-160.95	.00	68.91	.00	.00	.00	.00	.00
		Min Q-3	7.00	-149.15	.00	41.27	.00	.00	388.38	.00	.00
		Max T	.00	-160.95	.00	68.91	.00	.00	.00	.00	.00
		Min T	.00	-160.95	.00	68.91	.00	.00	.00	.00	.00
		Max M-2	7.00	-149.15	.00	41.27	.00	.00	388.38	.00	.00
		Min M-2	.00	-160.95	.00	68.91	.00	.00	.00	.00	.00
		Max M-3	.00	-160.95	.00	68.91	.00	.00	.00	.00	.00
		Min M-3	.00	-160.95	.00	68.91	.00	.00	.00	.00	.00
	LG13	Max N	7.00	-149.48	.00	40.11	.00	.00	379.96	.00	.00
		Min N	.00	-161.28	.00	67.69	.00	.00	.00	.00	.00
		Max Q-2	.00	-161.28	.00	67.69	.00	.00	.00	.00	.00
		Min Q-2	.00	-161.28	.00	67.69	.00	.00	.00	.00	.00
		Max Q-3	.00	-161.28	.00	67.69	.00	.00	.00	.00	.00
		Min Q-3	7.00	-149.48	.00	40.11	.00	.00	379.96	.00	.00
		Max T	.00	-161.28	.00	67.69	.00	.00	.00	.00	.00
		Min T	.00	-161.28	.00	67.69	.00	.00	.00	.00	.00
		Max M-2	7.00	-149.48	.00	40.11	.00	.00	379.96	.00	.00
		Min M-2	.00	-161.28	.00	67.69	.00	.00	.00	.00	.00
		Max M-3	.00	-161.28	.00	67.69	.00	.00	.00	.00	.00
		Min M-3	.00	-161.28	.00	67.69	.00	.00	.00	.00	.00
	LG21	Max N	7.00	-148.96	.00	52.35	.00	.00	434.47	.00	.00
		Min N	.00	-160.75	.00	70.89	.00	.00	.00	.00	.00
		Max Q-2	.00	-160.75	.00	70.89	.00	.00	.00	.00	.00
		Min Q-2	.00	-160.75	.00	70.89	.00	.00	.00	.00	.00
		Max Q-3	.00	-160.75	.00	70.89	.00	.00	.00	.00	.00
		Min Q-3	7.00	-148.96	.00	52.35	.00	.00	434.47	.00	.00
		Max T	.00	-160.75	.00	70.89	.00	.00	.00	.00	.00
		Min T	.00	-160.75	.00	70.89	.00	.00	.00	.00	.00
		Max M-2	7.00	-148.96	.00	52.35	.00	.00	434.47	.00	.00
		Min M-2	.00	-160.75	.00	70.89	.00	.00	.00	.00	.00
		Max M-3	.00	-160.75	.00	70.89	.00	.00	.00	.00	.00
		Min M-3	.00	-160.75	.00	70.89	.00	.00	.00	.00	.00
	LG22	Max N	7.00	-148.63	.00	50.31	.00	.00	419.55	.00	.00
		Min N	.00	-158.42	.00	68.71	.00	.00	.00	.00	.00
		Max Q-2	.00	-158.42	.00	68.71	.00	.00	.00	.00	.00
		Min Q-2	.00	-158.42	.00	68.71	.00	.00	.00	.00	.00
		Max Q-3	.00	-158.42	.00	68.71	.00	.00	.00	.00	.00
		Min Q-3	7.00	-148.63	.00	50.31	.00	.00	419.55	.00	.00
		Max T	.00	-158.42	.00	68.71	.00	.00	.00	.00	.00
		Min T	.00	-158.42	.00	68.71	.00	.00	.00	.00	.00
		Max M-2	7.00	-148.63	.00	50.31	.00	.00	419.55	.00	.00
		Min M-2	.00	-158.42	.00	68.71	.00	.00	.00	.00	.00
		Max M-3	.00	-158.42	.00	68.71	.00	.00	.00	.00	.00
		Min M-3	.00	-158.42	.00	68.71	.00	.00	.00	.00	.00
	LG34	Max N	7.00	-78.41	.00	45.79	.00	.00	147.09	.00	.00
		Min N	.00	-90.21	.00	-3.86	.00	.00	.00	.00	.00
		Max Q-2	.00	-90.21	.00	-3.86	.00	.00	.00	.00	.00
		Min Q-2	.00	-90.21	.00	-3.86	.00	.00	.00	.00	.00
		Max Q-3	7.00	-78.41	.00	45.79	.00	.00	147.09	.00	.00
		Min Q-3	.00	-90.21	.00	-3.86	.00	.00	.00	.00	.00
		Max T	.00	-90.21	.00	-3.86	.00	.00	.00	.00	.00
		Min T	.00	-90.21	.00	-3.86	.00	.00	.00	.00	.00
		Max M-2	7.00	-78.41	.00	45.79	.00	.00	147.09	.00	.00
		Min M-2	.70	-89.03	.00	1.14	.00	.00	.96	.00	.00
		Max M-3	.00	-90.21	.00	-3.86	.00	.00	.00	.00	.00
		Min M-3	.00	-90.21	.00	-3.86	.00	.00	.00	.00	.00
	LG37	Max N	7.00	-80.69	.00	47.96	.00	.00	162.59	.00	.00
		Min N	.00	-92.48	.00	-1.62	.00	.00	.00	.00	.00
		Max Q-2	.00	-92.48	.00	-1.62	.00	.00	.00	.00	.00
		Min Q-2	.00	-92.48	.00	-1.62	.00	.00	.00	.00	.00
		Max Q-3	7.00	-80.69	.00	47.96	.00	.00	162.59	.00	.00
		Min Q-3	.00	-92.48	.00	-1.62	.00	.00	.00	.00	.00
		Max T	.00	-92.48	.00	-1.62	.00	.00	.00	.00	.00
		Min T	.00	-92.48	.00	-1.62	.00	.00	.00	.00	.00
		Max M-2	7.00	-80.69	.00	47.96	.00	.00	162.59	.00	.00
		Min M-2	.35	-91.90	.00	.87	.00	.00	.13	.00	.00
	LG40	Max N	7.00	-152.04	.00	44.02	.00	.00	408.43	.00	.00
		Min N	.00	-163.84	.00	71.85	.00	.00	.00	.00	.00

Projekt: Bachelorarbeit	Position: Hallenrahmen	Seite: 22
-------------------------	------------------------	-----------

## SCHNITTGRÖSSEN STABBEZOGEN

Stab-Nr.	LF/LG-Nr.	Knoten-Nr.	x [m]	N	Kräfte [kN]			T	Momente [kNm]	
					Q <sub>2</sub>	Q <sub>3</sub>			M <sub>2</sub>	M <sub>3</sub>
21	LG40	Max Q-2	.00	-163.84	.00	71.85	.00	.00	.00	.00
		Min Q-2	.00	-163.84	.00	71.85	.00	.00	.00	.00
		Max Q-3	.00	-163.84	.00	71.85	.00	.00	.00	.00
		Min Q-3	7.00	-152.04	.00	44.02	.00	408.43	.00	.00
		Max T	.00	-163.84	.00	71.85	.00	.00	.00	.00
		Min T	.00	-163.84	.00	71.85	.00	.00	.00	.00
		Max M-2	7.00	-152.04	.00	44.02	.00	408.43	.00	.00
		Min M-2	.00	-163.84	.00	71.85	.00	.00	.00	.00
		Max M-3	.00	-163.84	.00	71.85	.00	.00	.00	.00
		Min M-3	.00	-163.84	.00	71.85	.00	.00	.00	.00
	LG41	Max N	7.00	-149.67	.00	41.93	.00	393.14	.00	.00
		Min N	.00	-161.46	.00	69.61	.00	.00	.00	.00
		Max Q-2	.00	-161.46	.00	69.61	.00	.00	.00	.00
		Min Q-2	.00	-161.46	.00	69.61	.00	.00	.00	.00
		Max Q-3	.00	-161.46	.00	69.61	.00	.00	.00	.00
		Min Q-3	7.00	-149.67	.00	41.93	.00	393.14	.00	.00
		Max T	.00	-161.46	.00	69.61	.00	.00	.00	.00
		Min T	.00	-161.46	.00	69.61	.00	.00	.00	.00
		Max M-2	7.00	-149.67	.00	41.93	.00	393.14	.00	.00
		Min M-2	.00	-161.46	.00	69.61	.00	.00	.00	.00
		Max M-3	.00	-161.46	.00	69.61	.00	.00	.00	.00
		Min M-3	.00	-161.46	.00	69.61	.00	.00	.00	.00
	LG42	Max N	7.00	-149.38	.00	52.89	.00	438.36	.00	.00
		Min N	.00	-161.17	.00	71.47	.00	.00	.00	.00
		Max Q-2	.00	-161.17	.00	71.47	.00	.00	.00	.00
		Min Q-2	.00	-161.17	.00	71.47	.00	.00	.00	.00
		Max Q-3	.00	-161.17	.00	71.47	.00	.00	.00	.00
		Min Q-3	7.00	-149.38	.00	52.89	.00	438.36	.00	.00
		Max T	.00	-161.17	.00	71.47	.00	.00	.00	.00
		Min T	.00	-161.17	.00	71.47	.00	.00	.00	.00
		Max M-2	7.00	-149.38	.00	52.89	.00	438.36	.00	.00
		Min M-2	.00	-161.17	.00	71.47	.00	.00	.00	.00
		Max M-3	.00	-161.17	.00	71.47	.00	.00	.00	.00
		Min M-3	.00	-161.17	.00	71.47	.00	.00	.00	.00
	LG43	Max N	7.00	-78.00	.00	45.26	.00	143.26	.00	.00
		Min N	.00	-89.80	.00	-4.40	.00	.00	.00	.00
		Max Q-2	.00	-89.80	.00	-4.40	.00	.00	.00	.00
		Min Q-2	.00	-89.80	.00	-4.40	.00	.00	.00	.00
		Max Q-3	7.00	-78.00	.00	45.26	.00	143.26	.00	.00
		Min Q-3	.00	-89.80	.00	-4.41	.00	.00	.00	.00
		Max T	.00	-89.80	.00	-4.40	.00	.00	.00	.00
		Min T	.00	-89.80	.00	-4.40	.00	.00	.00	.00
		Max M-2	7.00	-78.00	.00	45.26	.00	143.26	.00	.00
		Min M-2	.00	-88.62	.00	.59	.00	-1.34	.00	.00
		Max M-3	.00	-89.80	.00	-4.40	.00	.00	.00	.00
		Min M-3	.00	-89.80	.00	-4.40	.00	.00	.00	.00
22	LG11	Max N	.28	5.66	.00	149.45	.00	.00	.00	.00
		Min N	.00	5.66	.00	149.67	.00	-41.88	.00	.00
		Max Q-2	.00	5.66	.00	149.67	.00	-41.88	.00	.00
		Min Q-2	.00	5.66	.00	149.67	.00	-41.88	.00	.00
		Max Q-3	.00	5.66	.00	149.67	.00	-41.88	.00	.00
		Min Q-3	.28	5.66	.00	149.45	.00	.00	.00	.00
		Max T	.00	5.66	.00	149.67	.00	-41.88	.00	.00
		Min T	.00	5.66	.00	149.67	.00	-41.88	.00	.00
		Max M-2	.28	5.66	.00	149.45	.00	.00	.00	.00
		Min M-2	.00	5.66	.00	149.67	.00	-41.88	.00	.00
		Max M-3	.00	5.66	.00	149.67	.00	-41.88	.00	.00
		Min M-3	.00	5.66	.00	149.67	.00	-41.88	.00	.00
	LG12	Max N	.28	-21.53	.00	149.51	.00	.00	.00	.00
		Min N	.00	-21.53	.00	149.73	.00	-41.90	.00	.00
		Max Q-2	.00	-21.53	.00	149.73	.00	-41.90	.00	.00
		Min Q-2	.00	-21.53	.00	149.73	.00	-41.90	.00	.00
		Max Q-3	.00	-21.53	.00	149.73	.00	-41.90	.00	.00
		Min Q-3	.28	-21.53	.00	149.51	.00	.00	.00	.00
		Max T	.00	-21.53	.00	149.73	.00	-41.90	.00	.00
		Min T	.00	-21.53	.00	149.73	.00	-41.90	.00	.00
		Max M-2	.28	-21.53	.00	149.51	.00	.00	.00	.00
		Min M-2	.00	-21.53	.00	149.73	.00	-41.90	.00	.00
		Max M-3	.00	-21.53	.00	149.73	.00	-41.90	.00	.00
		Min M-3	.00	-21.53	.00	149.73	.00	-41.90	.00	.00
	LG13	Max N	.00	21.53	.00	149.67	.00	-41.88	.00	.00
		Min N	.00	21.53	.00	149.67	.00	-41.88	.00	.00
		Max Q-2	.00	21.53	.00	149.67	.00	-41.88	.00	.00
		Min Q-2	.00	21.53	.00	149.67	.00	-41.88	.00	.00
		Max Q-3	.00	21.53	.00	149.67	.00	-41.88	.00	.00
		Min Q-3	.28	21.53	.00	149.45	.00	.00	.00	.00
		Max T	.00	21.53	.00	149.67	.00	-41.88	.00	.00
		Min T	.00	21.53	.00	149.67	.00	-41.88	.00	.00
		Max M-2	.28	21.53	.00	149.45	.00	.00	.00	.00
		Min M-2	.00	21.53	.00	149.67	.00	-41.88	.00	.00
		Max M-3	.00	21.53	.00	149.67	.00	-41.88	.00	.00
		Min M-3	.00	21.53	.00	149.67	.00	-41.88	.00	.00
	LG21	Max N	.28	5.66	.00	149.45	.00	.00	.00	.00
		Min N	.00	5.66	.00	149.67	.00	-41.88	.00	.00
		Max Q-2	.00	5.66	.00	149.67	.00	-41.88	.00	.00
		Min Q-2	.00	5.66	.00	149.67	.00	-41.88	.00	.00
		Max Q-3	.00	5.66	.00	149.67	.00	-41.88	.00	.00
		Min Q-3	.28	5.66	.00	149.45	.00	.00	.00	.00
		Max T	.00	5.66	.00	149.67	.00	-41.88	.00	.00
		Min T	.00	5.66	.00	149.67	.00	-41.88	.00	.00
		Max M-2	.28	5.66	.00	149.45	.00	.00	.00	.00
		Min M-2	.00	5.66	.00	149.67	.00	-41.88	.00	.00
		Max M-3	.00	5.66	.00	149.67	.00	-41.88	.00	.00
		Min M-3	.00	5.66	.00	149.67	.00	-41.88	.00	.00
	LG22	Max N	.28	-21.53	.00	149.57	.00	.00	.00	.00
		Min N	.00	-21.53	.00	149.79	.00	-41.91	.00	.00
		Max Q-2	.00	-21.53	.00	149.79	.00	-41.91	.00	.00
		Min Q-2	.00	-21.53	.00	149.79	.00	-41.91	.00	.00

Projekt: Bachelorarbeit	Position: Hallenrahmen	Seite: 23
-------------------------	------------------------	-----------

## SCHNITTGRÖSSEN STABBEZOGEN

Stab-Nr.	LF/LG-Nr.	Knoten-Nr.	x [m]	N	Kräfte [kN] Q <sub>2</sub>	Q <sub>3</sub>	T	Momente [kNm] M <sub>2</sub>	M <sub>3</sub>
22	LG22	Max Q-3	.00	-21.53	.00	149.79	.00	-41.91	.00
		Min Q-3	.28	-21.53	.00	149.57	.00	.00	.00
		Max T	.00	-21.53	.00	149.79	.00	-41.91	.00
		Min T	.00	-21.53	.00	149.79	.00	-41.91	.00
		Max M-2	.28	-21.53	.00	149.57	.00	.00	.00
		Min M-2	.00	-21.53	.00	149.79	.00	-41.91	.00
		Max M-3	.00	-21.53	.00	149.79	.00	-41.91	.00
		Min M-3	.00	-21.53	.00	149.79	.00	-41.91	.00
		Max N	.28	-1.28	.00	41.66	.00	.00	.00
		Min N	.00	-1.28	.00	41.88	.00	-11.70	.00
		Max Q-2	.00	-1.28	.00	41.88	.00	-11.70	.00
		Min Q-2	.00	-1.28	.00	41.88	.00	-11.70	.00
	LG34	Max Q-3	.00	-1.28	.00	41.88	.00	-11.70	.00
		Min Q-3	.28	-1.28	.00	41.66	.00	.00	.00
		Max T	.00	-1.28	.00	41.88	.00	-11.70	.00
		Min T	.00	-1.28	.00	41.88	.00	-11.70	.00
		Max M-2	.28	-1.28	.00	41.66	.00	.00	.00
		Min M-2	.00	-1.28	.00	41.88	.00	-11.70	.00
		Max M-3	.00	-1.28	.00	41.88	.00	-11.70	.00
		Min M-3	.00	-1.28	.00	41.88	.00	-11.70	.00
		Max N	.00	21.53	.00	41.89	.00	-11.70	.00
		Min N	.00	21.53	.00	41.89	.00	-11.70	.00
		Max Q-2	.00	21.53	.00	41.89	.00	-11.70	.00
		Min Q-2	.00	21.53	.00	41.89	.00	-11.70	.00
	LG37	Max Q-3	.00	21.53	.00	41.89	.00	-11.70	.00
		Min Q-3	.28	21.53	.00	41.66	.00	.00	.00
		Max T	.00	21.53	.00	41.89	.00	-11.70	.00
		Min T	.00	21.53	.00	41.89	.00	-11.70	.00
		Max M-2	.28	21.53	.00	41.66	.00	.00	.00
		Min M-2	.00	21.53	.00	41.89	.00	-11.70	.00
		Max M-3	.00	21.53	.00	41.89	.00	-11.70	.00
		Min M-3	.00	21.53	.00	41.89	.00	-11.70	.00
		Max N	.28	5.66	.00	149.45	.00	.00	.00
		Min N	.00	5.66	.00	149.67	.00	-41.88	.00
		Max Q-2	.00	5.66	.00	149.67	.00	-41.88	.00
		Min Q-2	.00	5.66	.00	149.67	.00	-41.88	.00
	LG40	Max Q-3	.00	5.66	.00	149.67	.00	-41.88	.00
		Min Q-3	.28	5.66	.00	149.45	.00	.00	.00
		Max T	.00	5.66	.00	149.67	.00	-41.88	.00
		Min T	.00	5.66	.00	149.67	.00	-41.88	.00
		Max M-2	.28	5.66	.00	149.45	.00	.00	.00
		Min M-2	.00	5.66	.00	149.67	.00	-41.88	.00
		Max M-3	.00	5.66	.00	149.67	.00	-41.88	.00
		Min M-3	.00	5.66	.00	149.67	.00	-41.88	.00
		Max N	.28	-21.53	.00	149.52	.00	.00	.00
		Min N	.00	-21.53	.00	149.74	.00	-41.90	.00
		Max Q-2	.00	-21.53	.00	149.74	.00	-41.90	.00
		Min Q-2	.00	-21.53	.00	149.74	.00	-41.90	.00
	LG41	Max Q-3	.00	-21.53	.00	149.74	.00	-41.90	.00
		Min Q-3	.28	-21.53	.00	149.52	.00	.00	.00
		Max T	.00	-21.53	.00	149.74	.00	-41.90	.00
		Min T	.00	-21.53	.00	149.74	.00	-41.90	.00
		Max M-2	.28	-21.53	.00	149.52	.00	.00	.00
		Min M-2	.00	-21.53	.00	149.74	.00	-41.90	.00
		Max M-3	.00	-21.53	.00	149.74	.00	-41.90	.00
		Min M-3	.00	-21.53	.00	149.74	.00	-41.90	.00
		Max N	.28	5.66	.00	149.45	.00	.00	.00
		Min N	.00	5.66	.00	149.67	.00	-41.88	.00
		Max Q-2	.00	5.66	.00	149.67	.00	-41.88	.00
		Min Q-2	.00	5.66	.00	149.67	.00	-41.88	.00
	LG42	Max Q-3	.00	5.66	.00	149.67	.00	-41.88	.00
		Min Q-3	.28	5.66	.00	149.45	.00	.00	.00
		Max T	.00	5.66	.00	149.67	.00	-41.88	.00
		Min T	.00	5.66	.00	149.67	.00	-41.88	.00
		Max M-2	.28	5.66	.00	149.45	.00	.00	.00
		Min M-2	.00	5.66	.00	149.67	.00	-41.88	.00
		Max M-3	.00	5.66	.00	149.67	.00	-41.88	.00
		Min M-3	.00	5.66	.00	149.67	.00	-41.88	.00
		Max N	.28	-1.28	.00	41.66	.00	.00	.00
		Min N	.00	-1.28	.00	41.88	.00	-11.70	.00
		Max Q-2	.00	-1.28	.00	41.88	.00	-11.70	.00
		Min Q-2	.00	-1.28	.00	41.88	.00	-11.70	.00
	LG43	Max Q-3	.00	-1.28	.00	41.88	.00	-11.70	.00
		Min Q-3	.28	-1.28	.00	41.66	.00	.00	.00
		Max T	.00	-1.28	.00	41.88	.00	-11.70	.00
		Min T	.00	-1.28	.00	41.88	.00	-11.70	.00
		Max M-2	.28	-1.28	.00	41.66	.00	.00	.00
		Min M-2	.00	-1.28	.00	41.88	.00	-11.70	.00
		Max M-3	.00	-1.28	.00	41.88	.00	-11.70	.00
		Min M-3	.00	-1.28	.00	41.88	.00	-11.70	.00
23	LG11	Max N	.00	1.46	.00	44.21	.00	-12.37	.00
		Min N	.00	1.46	.00	44.21	.00	-12.37	.00
		Max Q-2	.00	1.46	.00	44.21	.00	-12.37	.00
		Min Q-2	.00	1.46	.00	44.21	.00	-12.37	.00
		Max Q-3	.00	1.46	.00	44.21	.00	-12.37	.00
		Min Q-3	.28	1.46	.00	44.13	.00	.00	.00
		Max T	.00	1.46	.00	44.21	.00	-12.37	.00
		Min T	.00	1.46	.00	44.21	.00	-12.37	.00
		Max M-2	.28	1.46	.00	44.13	.00	.00	.00
		Min M-2	.00	1.46	.00	44.21	.00	-12.37	.00
		Max M-3	.00	1.46	.00	44.21	.00	-12.37	.00
		Min M-3	.00	1.46	.00	44.21	.00	-12.37	.00
	LG12	Max N	.00	-5.94	.00	44.25	.00	-12.38	.00
		Min N	.00	-5.94	.00	44.25	.00	-12.38	.00
		Max Q-2	.00	-5.94	.00	44.25	.00	-12.38	.00
		Min Q-2	.00	-5.94	.00	44.25	.00	-12.38	.00
		Max Q-3	.00	-5.94	.00	44.25	.00	-12.38	.00
		Min Q-3	.28	-5.94	.00	44.18	.00	.00	.00

Projekt: Bachelorarbeit	Position: Hallenrahmen	Seite: 24
-------------------------	------------------------	-----------

## SCHNITTGRÖSSEN STABBEZOGEN

Stab-Nr.	LF/LG-Nr.	Knoten-Nr.	x [m]	N	Kräfte [kN]			T	Momente [kNm]		
					Q <sub>2</sub>	Q <sub>3</sub>			M <sub>2</sub>	M <sub>3</sub>	
23	LG12	Max T	.00	-5.94	.00	44.25	.00	-12.38	.00	.00	.00
		Min T	.00	-5.94	.00	44.25	.00	-12.38	.00	.00	.00
		Max M-2	.28	-5.94	.00	44.18	.00	.00	.00	.00	.00
		Min M-2	.00	-5.94	.00	44.25	.00	-12.38	.00	.00	.00
		Max M-3	.00	-5.94	.00	44.25	.00	-12.38	.00	.00	.00
		Min M-3	.00	-5.94	.00	44.25	.00	-12.38	.00	.00	.00
	LG13	Max N	.28	5.94	.00	44.13	.00	.00	.00	.00	.00
		Min N	.00	5.94	.00	44.21	.00	-12.37	.00	.00	.00
		Max Q-2	.00	5.94	.00	44.21	.00	-12.37	.00	.00	.00
		Min Q-2	.00	5.94	.00	44.21	.00	-12.37	.00	.00	.00
		Max Q-3	.00	5.94	.00	44.21	.00	-12.37	.00	.00	.00
		Min Q-3	.28	5.94	.00	44.13	.00	.00	.00	.00	.00
		Max T	.00	5.94	.00	44.21	.00	-12.37	.00	.00	.00
		Min T	.00	5.94	.00	44.21	.00	-12.37	.00	.00	.00
		Max M-2	.28	5.94	.00	44.13	.00	.00	.00	.00	.00
		Min M-2	.00	5.94	.00	44.21	.00	-12.37	.00	.00	.00
		Max M-3	.00	5.94	.00	44.21	.00	-12.37	.00	.00	.00
		Min M-3	.00	5.94	.00	44.21	.00	-12.37	.00	.00	.00
	LG21	Max N	.00	1.46	.00	44.21	.00	-12.37	.00	.00	.00
		Min N	.00	1.46	.00	44.21	.00	-12.37	.00	.00	.00
		Max Q-2	.00	1.46	.00	44.21	.00	-12.37	.00	.00	.00
		Min Q-2	.00	1.46	.00	44.21	.00	-12.37	.00	.00	.00
		Max Q-3	.00	1.46	.00	44.21	.00	-12.37	.00	.00	.00
		Min Q-3	.28	1.46	.00	44.13	.00	.00	.00	.00	.00
		Max T	.00	1.46	.00	44.21	.00	-12.37	.00	.00	.00
		Min T	.00	1.46	.00	44.21	.00	-12.37	.00	.00	.00
		Max M-2	.28	1.46	.00	44.13	.00	.00	.00	.00	.00
		Min M-2	.00	1.46	.00	44.21	.00	-12.37	.00	.00	.00
		Max M-3	.00	1.46	.00	44.21	.00	-12.37	.00	.00	.00
		Min M-3	.00	1.46	.00	44.21	.00	-12.37	.00	.00	.00
	LG22	Max N	.00	-5.94	.00	44.24	.00	-12.38	.00	.00	.00
		Min N	.00	-5.94	.00	44.24	.00	-12.38	.00	.00	.00
		Max Q-2	.00	-5.94	.00	44.24	.00	-12.38	.00	.00	.00
		Min Q-2	.00	-5.94	.00	44.24	.00	-12.38	.00	.00	.00
		Max Q-3	.00	-5.94	.00	44.24	.00	-12.38	.00	.00	.00
		Min Q-3	.28	-5.94	.00	44.18	.00	.00	.00	.00	.00
		Max T	.00	-5.94	.00	44.24	.00	-12.38	.00	.00	.00
		Min T	.00	-5.94	.00	44.24	.00	-12.38	.00	.00	.00
		Max M-2	.28	-5.94	.00	44.18	.00	.00	.00	.00	.00
		Min M-2	.00	-5.94	.00	44.24	.00	-12.38	.00	.00	.00
		Max M-3	.00	-5.94	.00	44.24	.00	-12.38	.00	.00	.00
		Min M-3	.00	-5.94	.00	44.24	.00	-12.38	.00	.00	.00
	LG34	Max N	.28	-61	.00	20.95	.00	-5.88	.00	.00	.00
		Min N	.00	-61	.00	21.03	.00	-5.88	.00	.00	.00
		Max Q-2	.00	-61	.00	21.03	.00	-5.88	.00	.00	.00
		Min Q-2	.00	-61	.00	21.03	.00	-5.88	.00	.00	.00
		Max Q-3	.00	-61	.00	21.03	.00	-5.88	.00	.00	.00
		Min Q-3	.28	-61	.00	20.95	.00	.00	.00	.00	.00
		Max T	.00	-61	.00	21.03	.00	-5.88	.00	.00	.00
		Min T	.00	-61	.00	21.03	.00	-5.88	.00	.00	.00
		Max M-2	.28	-61	.00	20.95	.00	.00	.00	.00	.00
		Min M-2	.00	-61	.00	21.03	.00	-5.88	.00	.00	.00
		Max M-3	.00	-61	.00	21.03	.00	-5.88	.00	.00	.00
		Min M-3	.00	-61	.00	21.03	.00	-5.88	.00	.00	.00
	LG37	Max N	.28	5.94	.00	20.95	.00	-5.88	.00	.00	.00
		Min N	.00	5.94	.00	21.03	.00	-5.88	.00	.00	.00
		Max Q-2	.00	5.94	.00	21.03	.00	-5.88	.00	.00	.00
		Min Q-2	.00	5.94	.00	21.03	.00	-5.88	.00	.00	.00
		Max Q-3	.00	5.94	.00	21.03	.00	-5.88	.00	.00	.00
		Min Q-3	.28	5.94	.00	20.95	.00	.00	.00	.00	.00
		Max T	.00	5.94	.00	21.03	.00	-5.88	.00	.00	.00
		Min T	.00	5.94	.00	21.03	.00	-5.88	.00	.00	.00
		Max M-2	.28	5.94	.00	20.95	.00	.00	.00	.00	.00
		Min M-2	.00	5.94	.00	21.03	.00	-5.88	.00	.00	.00
		Max M-3	.00	5.94	.00	21.03	.00	-5.88	.00	.00	.00
		Min M-3	.00	5.94	.00	21.03	.00	-5.88	.00	.00	.00
	LG40	Max N	.00	1.46	.00	44.21	.00	-12.37	.00	.00	.00
		Min N	.00	1.46	.00	44.21	.00	-12.37	.00	.00	.00
		Max Q-2	.00	1.46	.00	44.21	.00	-12.37	.00	.00	.00
		Min Q-2	.00	1.46	.00	44.21	.00	-12.37	.00	.00	.00
		Max Q-3	.00	1.46	.00	44.21	.00	-12.37	.00	.00	.00
		Min Q-3	.28	1.46	.00	44.13	.00	.00	.00	.00	.00
		Max T	.00	1.46	.00	44.21	.00	-12.37	.00	.00	.00
		Min T	.00	1.46	.00	44.21	.00	-12.37	.00	.00	.00
		Max M-2	.28	1.46	.00	44.13	.00	.00	.00	.00	.00
		Min M-2	.00	1.46	.00	44.21	.00	-12.37	.00	.00	.00
		Max M-3	.00	1.46	.00	44.21	.00	-12.37	.00	.00	.00
		Min M-3	.00	1.46	.00	44.21	.00	-12.37	.00	.00	.00
	LG41	Max N	.00	-5.94	.00	44.25	.00	-12.38	.00	.00	.00
		Min N	.00	-5.94	.00	44.25	.00	-12.38	.00	.00	.00
		Max Q-2	.00	-5.94	.00	44.25	.00	-12.38	.00	.00	.00
		Min Q-2	.00	-5.94	.00	44.25	.00	-12.38	.00	.00	.00
		Max Q-3	.00	-5.94	.00	44.25	.00	-12.38	.00	.00	.00
		Min Q-3	.28	-5.94	.00	44.18	.00	.00	.00	.00	.00
		Max T	.00	-5.94	.00	44.25	.00	-12.38	.00	.00	.00
		Min T	.00	-5.94	.00	44.25	.00	-12.38	.00	.00	.00
		Max M-2	.28	-5.94	.00	44.18	.00	.00	.00	.00	.00
		Min M-2	.00	-5.94	.00	44.25	.00	-12.38	.00	.00	.00
		Max M-3	.00	-5.94	.00	44.25	.00	-12.38	.00	.00	.00
		Min M-3	.00	-5.94	.00	44.25	.00	-12.38	.00	.00	.00
	LG42	Max N	.00	1.46	.00	44.21	.00	-12.37	.00	.00	.00
		Min N	.00	1.46	.00	44.21	.00	-12.37	.00	.00	.00
		Max Q-2	.00	1.46	.00	44.21	.00	-12.37	.00	.00	.00
		Min Q-2	.00	1.46	.00	44.21	.00	-12.37	.00	.00	.00
		Max Q-3	.00	1.46	.00	44.21	.00	-12.37	.00	.00	.00
		Min Q-3	.28	1.46	.00	44.13	.00	.00	.00	.00	.00
		Max T	.00	1.46	.00	44.21	.00	-12.37	.00	.00	.00
		Min T	.00	1.46	.00	44.21	.00	-12.37	.00	.00	.00

Projekt: Bachelorarbeit

Position: Hallenrahmen

Seite: 25

## SCHNITTGRÖSSEN STABBEZOGEN

Stab-Nr.	LF/LG-Nr.	Knoten-Nr.	x [m]	N	Kräfte [kN]		T	Momente [kNm]	
					Q <sub>2</sub>	Q <sub>3</sub>		M <sub>2</sub>	M <sub>3</sub>
23	LG42	Max M-2	.28	1.46	.00	44.13	.00	.00	.00
		Min M-2	.00	1.46	.00	44.21	.00	-12.37	.00
		Max M-3	.00	1.46	.00	44.21	.00	-12.37	.00
		Min M-3	.00	1.46	.00	44.21	.00	-12.37	.00
	LG43	Max N	.28	-61	.00	20.95	.00	.00	.00
		Min N	.00	-61	.00	21.03	.00	-5.88	.00
		Max Q-2	.00	-61	.00	21.03	.00	-5.88	.00
		Min Q-2	.00	-61	.00	21.03	.00	-5.88	.00
		Max Q-3	.00	-61	.00	21.03	.00	-5.88	.00
		Min Q-3	.28	-61	.00	20.95	.00	.00	.00
		Max T	.00	-61	.00	21.03	.00	-5.88	.00
		Min T	.00	-61	.00	21.03	.00	-5.88	.00
		Max M-2	.28	-61	.00	20.95	.00	.00	.00
		Min M-2	.00	-61	.00	21.03	.00	-5.88	.00
		Max M-3	.00	-61	.00	21.03	.00	-5.88	.00
		Min M-3	.00	-61	.00	21.03	.00	-5.88	.00

## AUFLAGERKRÄFTE UND -MOMENTE

Knoten-Nr.	LF/LG-Nr.	P <sub>x</sub>	Auflagerkräfte [kN]		P <sub>z</sub>	M <sub>x</sub>	Auflagemomente [kNm]	
			P <sub>y</sub>				M <sub>y</sub>	M <sub>z</sub>
1	LG1	-47.128	.000	176.726	.000	.000	.000	.000
	LG2	-37.668	.000	168.385	.000	.000	.000	.000
	LG3	20.007	.000	103.163	.000	.000	.000	.000
	LG4	-4.406	.000	127.498	.000	.000	.000	.000
	LG5	-40.670	.000	167.251	.000	.000	.000	.000
	LG6	-34.110	.000	163.146	.000	.000	.000	.000
	LG10	-57.216	.000	352.769	.000	.000	.000	.000
	LG11	-50.318	.000	350.278	.000	.000	.000	.000
	LG12	-62.513	.000	351.280	.000	.000	.000	.000
	LG13	-45.014	.000	351.766	.000	.000	.000	.000
	LG14	-52.139	.000	225.107	.000	.000	.000	.000
	LG15	-48.487	.000	222.512	.000	.000	.000	.000
	LG16	-58.083	.000	223.547	.000	.000	.000	.000
	LG17	-41.536	.000	224.071	.000	.000	.000	.000
	LG20	9.279	.000	279.033	.000	.000	.000	.000
	LG21	16.278	.000	276.598	.000	.000	.000	.000
	LG22	3.985	.000	277.582	.000	.000	.000	.000
	LG23	21.578	.000	278.047	.000	.000	.000	.000
	LG24	14.854	.000	151.381	.000	.000	.000	.000
	LG25	18.587	.000	148.826	.000	.000	.000	.000
	LG26	7.904	.000	149.842	.000	.000	.000	.000
	LG27	25.543	.000	150.344	.000	.000	.000	.000
	LG30	-50.417	.000	343.424	.000	.000	.000	.000
	LG31	-43.554	.000	340.893	.000	.000	.000	.000
	LG32	-55.784	.000	341.975	.000	.000	.000	.000
	LG33	-38.199	.000	342.443	.000	.000	.000	.000
	LG34	-45.693	.000	215.762	.000	.000	.000	.000
	LG35	-42.091	.000	213.231	.000	.000	.000	.000
	LG36	-52.695	.000	214.245	.000	.000	.000	.000
	LG37	-35.080	.000	214.749	.000	.000	.000	.000
10	LG1	-17.058	.000	414.904	.000	.000	.000	.000
	LG2	-19.139	.000	405.647	.000	.000	.000	.000
	LG3	-3.419	.000	332.593	.000	.000	.000	.000
	LG4	-11.576	.000	359.904	.000	.000	.000	.000
	LG5	-40.733	.000	329.786	.000	.000	.000	.000
	LG6	-32.283	.000	358.372	.000	.000	.000	.000
	LG10	-15.588	.000	461.409	.000	.000	.000	.000
	LG11	-9.798	.000	459.484	.000	.000	.000	.000
	LG12	-4.516	.000	460.856	.000	.000	.000	.000
	LG13	-20.981	.000	460.037	.000	.000	.000	.000
	LG14	-16.200	.000	593.065	.000	.000	.000	.000
	LG15	-7.300	.000	591.304	.000	.000	.000	.000
	LG16	-3.551	.000	592.574	.000	.000	.000	.000
	LG17	-19.961	.000	591.794	.000	.000	.000	.000
	LG20	-1.811	.000	378.928	.000	.000	.000	.000
	LG21	4.102	.000	377.040	.000	.000	.000	.000
	LG22	9.425	.000	378.390	.000	.000	.000	.000
	LG23	-7.147	.000	377.578	.000	.000	.000	.000
	LG24	-2.821	.000	510.622	.000	.000	.000	.000
	LG25	6.128	.000	508.897	.000	.000	.000	.000
	LG26	9.907	.000	510.146	.000	.000	.000	.000
	LG27	-6.612	.000	509.373	.000	.000	.000	.000
	LG30	-39.414	.000	376.392	.000	.000	.000	.000
	LG31	-33.524	.000	374.494	.000	.000	.000	.000
	LG32	-28.217	.000	375.859	.000	.000	.000	.000
	LG33	-44.732	.000	375.026	.000	.000	.000	.000
	LG34	-39.420	.000	508.052	.000	.000	.000	.000
	LG35	-30.504	.000	506.322	.000	.000	.000	.000
	LG36	-26.736	.000	507.584	.000	.000	.000	.000
	LG37	-43.199	.000	506.790	.000	.000	.000	.000
21	LG1	64.185	.000	159.228	.000	.000	.000	.000
	LG2	56.808	.000	152.934	.000	.000	.000	.000
	LG3	63.102	.000	156.414	.000	.000	.000	.000
	LG4	56.254	.000	151.403	.000	.000	.000	.000
	LG5	1.745	.000	94.763	.000	.000	.000	.000
	LG6	22.138	.000	117.082	.000	.000	.000	.000
	LG10	63.899	.000	158.904	.000	.000	.000	.000
	LG11	69.121	.000	163.319	.000	.000	.000	.000
	LG12	67.030	.000	160.946	.000	.000	.000	.000
	LG13	65.995	.000	161.279	.000	.000	.000	.000
	LG14	59.335	.000	154.910	.000	.000	.000	.000
	LG15	64.791	.000	159.266	.000	.000	.000	.000
	LG16	62.633	.000	156.960	.000	.000	.000	.000
	LG17	61.497	.000	157.217	.000	.000	.000	.000
	LG20	63.218	.000	156.432	.000	.000	.000	.000



Projekt: Bachelorarbeit

Position: Hallenrahmen

Seite: 26

## AUFLAGERKRÄFTE UND -MOMENTE

Knoten-Nr.	LF/LG-Nr.	Auflagerkräfte [kN]			Auflagemomente [kNm]		
		$P_X$	$P_Y$	$P_Z$	$M_X$	$M_Y$	$M_Z$
21	LG21	68.316	.000	160.755	.000	.000	.000
	LG22	66.280	.000	158.421	.000	.000	.000
	LG23	65.259	.000	158.768	.000	.000	.000
	LG24	58.653	.000	152.409	.000	.000	.000
	LG25	63.981	.000	156.670	.000	.000	.000
	LG26	61.879	.000	154.405	.000	.000	.000
	LG27	60.759	.000	154.676	.000	.000	.000
	LG30	1.168	.000	94.208	.000	.000	.000
	LG31	6.424	.000	98.537	.000	.000	.000
	LG32	4.323	.000	96.190	.000	.000	.000
	LG33	3.273	.000	96.555	.000	.000	.000
	LG34	-3.550	.000	90.209	.000	.000	.000
	LG35	1.941	.000	94.471	.000	.000	.000
	LG36	-2.228	.000	92.195	.000	.000	.000
	LG37	-1.379	.000	92.485	.000	.000	.000
	ΣKräfte	.000	.000	750.858			
	ΣLasten	.000	.000	750.859			
22	LG2	.000	.000	726.985			
	ΣKräfte	.000	.000	726.987			
23	LG3	79.690	.000	592.169			
	ΣLasten	79.690	.000	592.170			
24	LG4	44.272	.000	638.805			
	ΣLasten	44.272	.000	638.806			
25	LG5	-79.658	.000	591.800			
	ΣLasten	-79.658	.000	591.801			
26	LG6	-44.255	.000	638.600			
	ΣLasten	-44.255	.000	638.601			
27	LG10	-9.005	.000	973.082			
	ΣLasten	-9.004	.000	973.083			
28	LG11	9.004	.000	973.082			
	ΣLasten	9.005	.000	973.083			
29	LG12	.000	.000	973.082			
	ΣLasten	.000	.000	973.083			
30	LG13	.000	.000	973.082			
	ΣLasten	.000	.000	973.083			
31	LG14	-9.005	.000	973.082			
	ΣLasten	-9.004	.000	973.083			
32	LG15	9.004	.000	973.082			
	ΣLasten	9.005	.000	973.083			
33	LG16	.000	.000	973.082			
	ΣLasten	.000	.000	973.083			
34	LG17	.000	.000	973.082			
	ΣLasten	.000	.000	973.083			
35	LG20	70.686	.000	814.393			
	ΣLasten	70.686	.000	814.394			
36	LG21	88.695	.000	814.393			
	ΣLasten	88.695	.000	814.394			
37	LG22	79.690	.000	814.393			
	ΣLasten	79.690	.000	814.394			
38	LG23	79.690	.000	814.393			
	ΣLasten	79.690	.000	814.394			
39	LG24	70.686	.000	814.393			
	ΣLasten	70.686	.000	814.394			
40	LG25	88.695	.000	814.393			
	ΣLasten	88.695	.000	814.394			
41	LG26	79.690	.000	814.393			
	ΣLasten	79.690	.000	814.394			
42	LG27	79.690	.000	814.393			
	ΣLasten	79.690	.000	814.394			
43	LG30	-88.663	.000	814.024			
	ΣLasten	-88.663	.000	814.025			
44	LG31	-70.654	.000	814.024			
	ΣLasten	-70.654	.000	814.025			
45	LG32	-79.658	.000	814.024			
	ΣLasten	-79.658	.000	814.025			
46	LG33	-79.658	.000	814.024			
	ΣLasten	-79.658	.000	814.025			
47	LG34	-88.663	.000	814.024			
	ΣLasten	-88.663	.000	814.025			
48	LG35	-70.654	.000	814.024			
	ΣLasten	-70.654	.000	814.025			
49	LG36	-79.658	.000	814.024			
	ΣLasten	-79.658	.000	814.025			
50	LG37	-79.658	.000	814.024			
	ΣLasten	-79.658	.000	814.025			

Projekt: Bachelorarbeit

Position: Hallenrahmen

Seite: 27

## GLOBALE KNOTENVERFORMUNGEN

Knoten-Nr.	LF/LG-Nr.	Verschiebungen [mm]			Verdrehungen [mrad]		
		$u_x$	$u_y$	$u_z$	$\phi_x$	$\phi_y$	$\phi_z$
4	LG73	43.62789	.00000	.41109	.00000	-4.82117	.00000
	LG80	-2.38009	.00000	.39077	.00000	-2.55552	.00000
	LG81	9.69853	.00000	.38577	.00000	-2.78340	.00000
	LG82	3.71829	.00000	.38781	.00000	-3.51081	.00000
	LG83	3.60252	.00000	.38874	.00000	-1.82686	.00000
	LG84	-11.60823	.00000	.23221	.00000	-1.98939	.00000
	LG85	5.23822	.00000	.22701	.00000	-2.46703	.00000
	LG86	-5.40934	.00000	.22912	.00000	-3.03126	.00000
14	LG73	-5.67401	.00000	.23010	.00000	-1.34266	.00000
	LG80	49.33226	.00000	.65220	.00000	.86573	.00000
	LG81	1.27005	.00000	.32842	.00000	1.68157	.00000
	LG82	13.12051	.00000	.32715	.00000	1.10698	.00000
	LG83	8.13883	.00000	.32856	.00000	2.18186	.00000
	LG84	6.25172	.00000	.32701	.00000	.62549	.00000
	LG85	-8.09211	.00000	.49233	.00000	2.01642	.00000
	LG86	4.15626	.00000	.49138	.00000	1.74143	.00000
22	LG73	-9.95098	.00000	.49262	.00000	2.64382	.00000
	LG80	-2.98520	.00000	.49109	.00000	1.11255	.00000
	LG81	48.72477	.00000	.28349	.00000	1.96075	.00000
	LG82	5.29085	.00000	.10405	.00000	1.76396	.00000
	LG83	15.00193	.00000	.11107	.00000	1.10122	.00000
	LG84	12.74421	.00000	.10721	.00000	1.13817	.00000
	LG85	7.54632	.00000	.10791	.00000	1.72724	.00000
	LG86	-2.45086	.00000	.09806	.00000	2.27365	.00000
23	LG73	8.30548	.00000	.10484	.00000	1.49272	.00000
	LG80	5.58863	.00000	.10119	.00000	1.58417	.00000
	LG81	-2.6262	.00000	.10181	.00000	2.18252	.00000
	LG82	26.66352	.00000	2.52613	.00000	-4.55249	.00000
	LG83	-7.82138	.00000	.54667	.00000	-6.1797	.00000
	LG84	1.75182	.00000	1.07792	.00000	-1.88847	.00000
	LG85	-5.67315	.00000	.92490	.00000	-1.37803	.00000
	LG86	-4.49178	.00000	.69880	.00000	-9.2686	.00000
24	LG73	-13.23326	.00000	-2.6415	.00000	.82021	.00000
	LG80	-4.56214	.00000	.31433	.00000	-3.4299	.00000
	LG81	-11.42802	.00000	.14068	.00000	.00684	.00000
	LG82	-9.36364	.00000	.09048	.00000	4.7034	.00000
	LG83	34.90865	.00000	2.63130	.00000	-5.13848	.00000
	LG84	-6.25693	.00000	1.24797	.00000	-2.40438	.00000
	LG85	5.04579	.00000	1.53322	.00000	-2.98282	.00000
	LG86	-2.19110	.00000	1.75275	.00000	-3.41894	.00000
25	LG73	.98427	.00000	1.02825	.00000	-1.96815	.00000
	LG80	-13.82479	.00000	.48385	.00000	-.86429	.00000
	LG81	-3.11803	.00000	.91345	.00000	-1.73180	.00000
	LG82	-9.88912	.00000	1.06267	.00000	-2.02706	.00000
	LG83	-6.95052	.00000	.33435	.00000	-5.6867	.00000
	LG84	36.16255	.00000	-2.29811	.00000	-5.50943	.00000
	LG85	1.60550	.00000	-.02795	.00000	-.51034	.00000
	LG86	10.43427	.00000	-5.3689	.00000	-1.52348	.00000
26	LG73	9.13995	.00000	-23277	.00000	-.91873	.00000
	LG80	2.89728	.00000	-33209	.00000	-1.11515	.00000
	LG81	-5.19856	.00000	.69350	.00000	.73993	.00000
	LG82	4.88458	.00000	.20461	.00000	-.23356	.00000
	LG83	3.02292	.00000	.49606	.00000	.34614	.00000
	LG84	-3.34047	.00000	.40211	.00000	1.6035	.00000
	LG85	46.29708	.00000	-1.15683	.00000	-3.18031	.00000
	LG86	2.81538	.00000	.35646	.00000	.41898	.00000
Maxi	LG73	13.30801	.00000	-.02294	.00000	-3.3530	.00000
	LG80	10.45236	.00000	.46815	.00000	.64330	.00000
	LG81	5.66904	.00000	-.13491	.00000	-.56015	.00000
	LG82	-5.57074	.00000	.94185	.00000	1.59083	.00000
	LG83	5.89600	.00000	.68122	.00000	1.07359	.00000
	LG84	2.61597	.00000	1.11131	.00000	1.93058	.00000
	LG85	-2.30392	.00000	.51154	.00000	.73355	.00000
	LG86	49.33226	.00000	42.56837	.00000	6.14944	.00000
Mini	LG73	.00000	.00000	-2.29811	.00000	-11.57390	.00000
	LG80	5.29085	.00000	21.81313	.00000	3.11995	.00000
	LG81	-7.82138	.00000	-.02795	.00000	-3.26028	.00000
	LG82	15.00193	.00000	20.73252	.00000	2.90140	.00000
	LG83	.00000	.00000	-.53689	.00000	-3.76774	.00000
	LG84	12.74421	.00000	25.74613	.00000	3.63282	.00000
	LG85	-5.67315	.00000	-.23277	.00000	-3.85251	.00000
	LG86	7.54632	.00000	19.39028	.00000	2.88907	.00000
Maxi	LG73	-4.9483	.00000	-.33209	.00000	-2.85712	.00000
	LG80	.00000	.00000	21.06049	.00000	3.08169	.00000
	LG81	-13.82479	.00000	-.26415	.00000	-3.08648	.00000
	LG82	8.30548	.00000	21.72717	.00000	3.10597	.00000
	LG83	-4.56232	.00000	.00000	.00000	-3.25021	.00000
	LG84	5.58863	.00000	25.86535	.00000	3.71524	.00000
	LG85	-11.42802	.00000	.00000	.00000	-3.80291	.00000
	LG86	.26262	.00000	18.76835	.00000	2.90384	.00000
Mini	LG73	-6.95307	.00000	-.08048	.00000	-2.64616	.00000
	LG80						
	LG81						
	LG82						
	LG83						
	LG84						
	LG85						
	LG86						

## GLOBALE STABVERSCHIEBUNGEN

Stab-Nr.	LF/LG-Nr.	Knoten-Nr.	x [m]	Stabverschiebungen [mm]		
				$u_x$	$u_y$	$u_z$
6	LG70	Max u-X	2.70	19.13050	.00000	57.61198
		Min u-X	.00	18.55558	.00000	50.80664
		Max u-Y	.00	18.55558	.00000	50.80664
		Min u-Y	.00	18.55558	.00000	50.80664
		Max u-Z	2.70	19.13050	.00000	57.61198
		Min u-Z	.00	18.55558	.00000	50.80664
		Max u-X	2.70	12.29238	.00000	53.62556
		Min u-X	.00	11.74773	.00000	47.03072
	LG71	Max u-Y	.00	11.74773	.00000	47.03072
		Min u-Y	.00	11.74773	.00000	47.03072
		Max u-Z	.00			
		Min u-Z	.00			
		Max u-X	.00			
		Min u-X	.00			
		Max u-Y	.00			
		Min u-Y	.00			

Projekt: Bachelorarbeit	Position: Hallenrahmen	Seite: 28
-------------------------	------------------------	-----------

## GLOBALE STABVERSCHIEBUNGEN

Stab-Nr.	LF/LG-Nr.	Knoten-Nr.	x [m]	Stabverschiebungen [mm]		
				$u_x$	$u_y$	$u_z$
6	LG71	Max u-Z	2.70	12.29238	.00000	53.62556
		Min u-Z	.00	11.74773	.00000	47.03072
		Max u-X	2.86	9.90923	.00000	58.45272
	LG72	Min u-X	.00	9.26174	.00000	50.86545
		Max u-Y	.00	9.26174	.00000	50.86545
		Min u-Y	.00	9.26174	.00000	50.86545
	LG73	Max u-Z	2.86	9.90923	.00000	58.45272
		Min u-Z	.00	9.26174	.00000	50.86545
		Max u-X	2.54	46.50972	.00000	35.23346
		Min u-X	.00	46.18330	.00000	31.00090
		Max u-Y	.00	46.18330	.00000	31.00090
		Min u-Y	.00	46.18330	.00000	31.00090
7	LG70	Max u-Z	2.70	46.50871	.00000	35.25215
		Min u-Z	.00	46.18330	.00000	31.00090
		Max u-X	3.18	20.12527	.00000	45.43341
	LG71	Min u-X	.00	19.10657	.00000	57.37548
		Max u-Y	.00	19.10657	.00000	57.37548
		Min u-Y	.00	19.10657	.00000	57.37548
		Max u-Z	.00	19.10657	.00000	57.37548
		Min u-Z	3.18	20.12527	.00000	45.43341
		Max u-X	3.18	13.19989	.00000	42.35801
	LG72	Min u-X	.00	12.27044	.00000	53.43584
		Max u-Y	.00	12.27044	.00000	53.43584
		Min u-Y	.00	12.27044	.00000	53.43584
		Max u-Z	.00	12.27044	.00000	53.43584
		Min u-Z	3.18	13.19989	.00000	42.35801
		Max u-X	3.18	10.86817	.00000	47.00988
	LG73	Min u-X	.00	9.89717	.00000	58.33278
		Max u-Y	.00	9.89717	.00000	58.33278
		Min u-Y	.00	9.89717	.00000	58.33278
		Max u-Z	.00	9.89717	.00000	58.33278
		Min u-Z	3.18	10.86817	.00000	47.00988
		Max u-X	3.18	47.09988	.00000	27.53458
17	LG70	Min u-X	.00	46.48991	.00000	35.12773
		Max u-Y	.00	46.48991	.00000	35.12773
		Min u-Y	.00	46.48991	.00000	35.12773
	LG71	Max u-Z	.00	46.48991	.00000	35.12773
		Min u-Z	3.18	47.09988	.00000	27.53458
		Max u-X	2.86	27.09246	.00000	51.64748
	LG72	Min u-X	.00	26.45183	.00000	43.85798
		Max u-Y	.00	26.45183	.00000	43.85798
		Min u-Y	.00	26.45183	.00000	43.85798
		Max u-Z	3.02	27.09196	.00000	51.68623
		Min u-Z	.00	26.45183	.00000	43.85798
		Max u-X	3.02	19.17574	.00000	53.19223
18	LG71	Min u-X	.00	18.47689	.00000	44.74101
		Max u-Y	.00	18.47689	.00000	44.74101
		Min u-Y	.00	18.47689	.00000	44.74101
		Max u-Z	.00	19.17388	.00000	53.19390
		Min u-Z	3.18	18.47689	.00000	44.74101
		Max u-X	3.18	20.32324	.00000	50.68163
	LG72	Min u-X	.00	19.61680	.00000	42.12782
		Max u-Y	.00	19.61680	.00000	42.12782
		Min u-Y	.00	19.61680	.00000	42.12782
		Max u-Z	.00	20.32324	.00000	50.68163
		Min u-Z	3.18	19.61680	.00000	42.12782
		Max u-X	2.54	45.22247	.00000	42.76820
	LG73	Min u-X	.00	44.84369	.00000	37.95230
		Max u-Y	.00	44.84369	.00000	37.95230
		Min u-Y	.00	44.84369	.00000	37.95230
		Max u-Z	.00	44.84369	.00000	37.95230
		Min u-Z	2.70	45.22024	.00000	42.77190
		Max u-X	.00	44.84369	.00000	37.95230
18	LG70	Max u-X	3.18	27.86712	.00000	42.20349
		Min u-X	.00	27.08755	.00000	51.64031
		Max u-Y	.00	27.08755	.00000	51.64031
	LG71	Min u-Y	.00	27.08755	.00000	51.64031
		Max u-Z	.00	27.08755	.00000	51.64031
		Min u-Z	3.18	27.86712	.00000	42.20349
	LG72	Max u-X	3.18	19.93082	.00000	44.05038
		Min u-X	.00	19.17388	.00000	53.19390
		Max u-Y	.00	19.17388	.00000	53.19390
		Min u-Y	.00	19.17388	.00000	53.19390
		Max u-Z	.00	19.17388	.00000	53.19390
		Min u-Z	3.18	19.93082	.00000	44.05038
	LG73	Max u-X	3.18	21.02257	.00000	42.20769
		Min u-X	.16	20.32316	.00000	50.65986
		Max u-Y	.00	20.32324	.00000	50.68163
		Min u-Y	.00	20.32324	.00000	50.68163
		Max u-Z	.00	20.32324	.00000	50.68163
		Min u-Z	3.18	21.02257	.00000	42.20769
18	LG73	Max u-X	3.18	45.94468	.00000	33.38781
		Min u-X	.00	45.19491	.00000	42.56937
		Max u-Y	.00	45.19491	.00000	42.56937
	LG73	Min u-Y	.00	45.19491	.00000	42.56937
		Max u-Z	.00	45.19491	.00000	42.56937
		Min u-Z	3.18	45.94468	.00000	33.38781

Projekt: Bachelorarbeit

Position: Hallenrahmen

Seite: 29

**STAHL1 - SPANNUNGSANALYSE****BASISANGABEN****ZU BEMESSENDE STÄBE**  
Alle**ZU BEMESSENDE LASTFÄLLE**

LG1 - Eigengewicht+1.5\*0.9\*(Schnee+Wind 90°)  
 LG2 - Eigengewicht+1.5\*(Schnee+0.5\*Wind 90°)  
 LG3 - Eigengewicht+1.5\*0.9\*(Schnee+Wind 0° von links)  
 LG4 - Eigengewicht+1.5\*(Schnee+0.5\*Wind 0° von links)  
 LG5 - Eigengewicht+1.5\*0.9\*(Schnee+Wind 0° von rechts)  
 LG6 - Eigengewicht+1.5\*(Schnee+0.5\*Wind 0° von rechts)  
 LG10 - Eigengewicht+Schnee+Wind 90°+Katzst. l.; Massekr. l.  
 LG11 - Eigengewicht+Schnee+Wind 90°+Katzst. l.; Massekr. r.  
 LG12 - Eigengewicht+Schnee+Wind 90°+Katzst. l.; Schrägl. a.  
 LG13 - Eigengewicht+Schnee+Wind 90°+Katzst. l.; Schrägl. i.  
 LG14 - Eigengewicht+Schnee+Wind 90°+Katzst. r.; Massekr. l.  
 LG15 - Eigengewicht+Schnee+Wind 90°+Katzst. r.; Massekr. r.  
 LG16 - Eigengewicht+Schnee+Wind 90°+Katzst. r.; Schrägl. a.  
 LG17 - Eigengewicht+Schnee+Wind 90°+Katzst. r.; Schrägl. i.  
 LG20 - Eigengewicht+Schnee+Wind 0° l.+Katzst. l.; Massekr. l.  
 LG21 - Eigengewicht+Schnee+Wind 0° l.+Katzst. l.; Massekr. r.  
 LG22 - Eigengewicht+Schnee+Wind 0° l.+Katzst. l.; Schrägl. a.  
 LG23 - Eigengewicht+Schnee+Wind 0° l.+Katzst. l.; Schrägl. i.  
 LG24 - Eigengewicht+Schnee+Wind 0° r.+Katzst. r.; Massekr. l.  
 LG25 - Eigengewicht+Schnee+Wind 0° r.+Katzst. r.; Massekr. r.  
 LG26 - Eigengewicht+Schnee+Wind 0° r.+Katzst. r.; Schrägl. a.  
 LG27 - Eigengewicht+Schnee+Wind 0° r.+Katzst. r.; Schrägl. i.  
 LG30 - Eigengewicht+Schnee+Wind 0° r.+Katzst. r.; Massekr. l.  
 LG31 - Eigengewicht+Schnee+Wind 0° r.+Katzst. r.; Massekr. r.  
 LG32 - Eigengewicht+Schnee+Wind 0° r.+Katzst. l.; Schrägl. a.  
 LG33 - Eigengewicht+Schnee+Wind 0° r.+Katzst. l.; Schrägl. i.  
 LG34 - Eigengewicht+Schnee+Wind 0° r.+Katzst. r.; Massekr. l.  
 LG35 - Eigengewicht+Schnee+Wind 0° r.+Katzst. r.; Massekr. r.  
 LG36 - Eigengewicht+Schnee+Wind 0° r.+Katzst. r.; Schrägl. a.  
 LG37 - Eigengewicht+Schnee+Wind 0° r.+Katzst. r.; Schrägl. i.  
 LG40 - LG 11 + Imperfektion  
 LG41 - LG 12 + Imperfektion  
 LG42 - LG 21 + Imperfektion  
 LG43 - LG 34 + Imperfektion

**GRENZSPANNUNGEN**

Mat.-Nr.	Material-Bezeichnung	Material-Nom, Kriterium	Grenzspannungen [kN/cm²]		
			Sigma	Tau	Sigma-v
1	Stahl	DIN 18800 t ≤ 40 mm	21.82	12.6	21.82

HE-A 450



HE-A 400



IPE 550



HE-A 120



HE-A 240

**QUERSCHNITTE**

Quer.-Nr.	Mat.-Nr.	Querschnittsbezeichnung Querschnittsrehnung	I-T [cm⁴] A [cm²]	I-2 [cm⁴] Alpha pl. y	I-3 [cm⁴] Alpha pl. z
1	1	HE-A 450	245.00	63720.01	9470.00
2	1	HE-A 450	178.00	63720.01	9470.00
3	1	HE-A 400	190.00	45070.01	8560.00
4	1	IPE 550	159.00	67120.01	2670.00
5	1	IPE 550	134.00	67120.01	2670.00
6	1	HE-A 120	25.30	608.00	231.00
7	1	HE-A 240	41.70	7760.00	2770.00
			76.80	1.14	1.25

**MAX. SPANNUNGEN IN QUERSCHNITTEN**

Spannungsart	Stab-Nr.	x-Stelle [m]	S-Punkt Nr.	LF Nr.	Spannung [kN/cm²] vorn	Spannung [kN/cm²] grenz	Ausnutzung
Querschnitt Nr. 1 - HE-A 450							
Sigma gesamt	1	6.000	6	LG12	-12.84	21.82	0.59
Tau gesamt	3	2.000	13	LG23	-1.68	12.60	0.13
Sigma-v	1	6.000	8	LG12	12.84	21.82	0.59
Querschnitt Nr. 2 - HE-A 450							
Sigma gesamt	13	2.000	1	LG40	-17.16	21.82	0.79
Tau gesamt	13	0.000	13	LG23	1.63	12.60	0.13
Sigma-v	13	2.000	3	LG40	17.16	21.82	0.79
Querschnitt Nr. 3 - HE-A 400							
Sigma gesamt	21	7.000	1	LG42	-19.91	21.82	0.91
Tau gesamt	21	0.000	13	LG40	1.85	12.60	0.15
Sigma-v	21	7.000	3	LG42	19.91	21.82	0.91
Querschnitt Nr. 4 - IPE 550							
Sigma gesamt	9	3.180	6	LG40	-19.56	21.82	0.90

Projekt: Bachelorarbeit	Position: Hallenrahmen	Seite: 30
-------------------------	------------------------	-----------

## MAX. SPANNUNGEN IN QUERSCHNITTEN

Spannungsart	Stab-Nr.	x-Stelle [m]	S-Punkt Nr.	LF Nr.	Spannung [kN/cm <sup>2</sup> ]		Ausnutzung
					vorh	grenz	
Tau gesamt	9	3.180	13	LG41	-2.92	12.60	0.23
Sigma-v	9	3.180	8	LG40	19.59	21.82	0.90
Querschnitt Nr. 5 - IPE 550							
Sigma gesamt	14	0.000	6	LG43	-23.74	21.82	1.09
Tau gesamt	14	0.000	13	LG14	4.10	12.60	0.33
Sigma-v	14	0.000	8	LG43	23.79	21.82	1.09
Querschnitt Nr. 6 - HE-A 120							
Sigma gesamt	23	0.000	6	LG12	-11.88	21.82	0.54
Tau gesamt	23	0.000	13	LG12	8.68	12.60	0.69
Sigma-v	23	0.000	12	LG12	16.17	21.82	0.74
Querschnitt Nr. 7 - HE-A 240							
Sigma gesamt	22	0.000	6	LG22	-6.49	21.82	0.30
Tau gesamt	22	0.000	13	LG22	9.53	12.60	0.76
Sigma-v	22	0.000	13	LG22	16.51	21.82	0.76

## BGDK1 - BGDK-NACHWEIS

## BASISANGABEN

Zu bemessende Stäbe:	4-9 16-21
Zu bemessende Stabzüge:	1-3 6
Zu bemessende LF-Gruppen:	LG1 Eigengewicht+1.5*0.9*(Schnee+Wind 90°) LG2 Eigengewicht+1.5*(Schnee+0.5*Wind 90°) LG3 Eigengewicht+1.5*0.9*(Schnee+Wind 0° von links) LG4 Eigengewicht+1.5*(Schnee+0.5*Wind 0° von links) LG5 Eigengewicht+1.5*0.9*(Schnee+Wind 0° von rechts) LG6 Eigengewicht+1.5*(Schnee+0.5*Wind 0° von rechts) LG10 Eigengewicht+Schnee+Wind 90°+Katzst. l.; Massekr. l. LG11 Eigengewicht+Schnee+Wind 90°+Katzst. l.; Massekr. r. LG12 Eigengewicht+Schnee+Wind 90°+Katzst. l.; Schrägl. a. LG13 Eigengewicht+Schnee+Wind 90°+Katzst. l.; Schrägl. i. LG14 Eigengewicht+Schnee+Wind 90°+Katzst. r.; Massekr. l. LG15 Eigengewicht+Schnee+Wind 90°+Katzst. r.; Massekr. r. LG16 Eigengewicht+Schnee+Wind 90°+Katzst. r.; Schrägl. a. LG17 Eigengewicht+Schnee+Wind 90°+Katzst. r.; Schrägl. i. LG20 Eigengewicht+Schnee+Wind 0° l.+Katzst. l.; Massekr. l. LG21 Eigengewicht+Schnee+Wind 0° l.+Katzst. l.; Massekr. r. LG22 Eigengewicht+Schnee+Wind 0° l.+Katzst. l.; Schrägl. a. LG23 Eigengewicht+Schnee+Wind 0° l.+Katzst. l.; Schrägl. i. LG24 Eigengewicht+Schnee+Wind 0° l.+Katzst. r.; Massekr. l. LG25 Eigengewicht+Schnee+Wind 0° l.+Katzst. r.; Massekr. r. LG26 Eigengewicht+Schnee+Wind 0° l.+Katzst. r.; Schrägl. a. LG27 Eigengewicht+Schnee+Wind 0° l.+Katzst. r.; Schrägl. i. LG30 Eigengewicht+Schnee+Wind 0° r.+Katzst. l.; Massekr. l. LG31 Eigengewicht+Schnee+Wind 0° r.+Katzst. l.; Massekr. r. LG32 Eigengewicht+Schnee+Wind 0° r.+Katzst. l.; Schrägl. a. LG33 Eigengewicht+Schnee+Wind 0° r.+Katzst. l.; Schrägl. i. LG34 Eigengewicht+Schnee+Wind 0° r.+Katzst. r.; Massekr. l. LG35 Eigengewicht+Schnee+Wind 0° r.+Katzst. r.; Massekr. r. LG36 Eigengewicht+Schnee+Wind 0° r.+Katzst. r.; Schrägl. a. LG37 Eigengewicht+Schnee+Wind 0° r.+Katzst. r.; Schrägl. i. 1.10 Lösen des Minimums des elastischen Potentials
Teilsicherheitsbeiwert Gamma-M:	
Ermittlungsart von Zeta für M-KI:	

## MATERIALDATEN

Mat.-Nr.	Material-Bezeichnung	E-Modul E [N/mm <sup>2</sup> ]	Schubmodul G [N/mm <sup>2</sup> ]	Querdehnzahl Nue [-]	Streckgrenze f-yk [N/mm <sup>2</sup> ]	Max-Bauteildicke t [mm]
1	Stahl S 235	2.100E+05	80999.997	0.300	240.000 215.000	40.000 100.000

## QUERSCHNITTE

Quer.-Nr.	Mat.-Nr.	Querschnitts-Bezeichnung	Anmerkung
1	1	HE-A 450	
2	1	HE-A 450	
3	1	HE-A 400	
4	1	IPE 550	
5	1	IPE 550	

HE-A 450



HE-A 450



HE-A 400



IPE 550



IPE 550

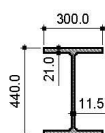


<b>Projekt:</b> Bachelorarbeit	<b>Position:</b> Hallenrahmen	Seite: 31
--------------------------------	-------------------------------	-----------

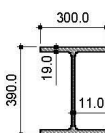
## BGDK-DATEN

Stab-Nr.	Bezeichnung	Parameter
9	Querschnitt Lagerungsart Ermittlungsart M-Ki Lastangriffslage Trägerart	IPE 550 Gabbellagerung Automatisch für alle LF/LG Am Obereut Gewalzter Träger
21	Querschnitt Lagerungsart Ermittlungsart M-Ki Lastangriffslage Trägerart	HE-A 400 Gabbellagerung Automatisch für alle LF/LG Am Obereut Gewalzter Träger
SZ1	Stabzug Querschnitt Lagerungsart Ermittlungsart M-Ki Lastangriffslage Trägerart	Stütze links HE-A 450 Gabbellagerung Automatisch für alle LF/LG Am Obereut Gewalzter Träger
SZ3	Stabzug Querschnitt Lagerungsart Ermittlungsart M-Ki Lastangriffslage Trägerart	Stütze mitte, unterer Teil HE-A 450 Gabbellagerung Automatisch für alle LF/LG Am Obereut Gewalzter Träger
SZ6	Stabzug Querschnitt Lagerungsart Ermittlungsart M-Ki Lastangriffslage Trägerart	Riegelteilstück 2.1 IPE 550 Gabbellagerung Automatisch für alle LF/LG Am Obereut Gewalzter Träger

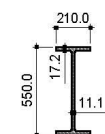
HE-A 450



HE-A 400



IPE 550



### NACHWEIS QUERSCHNITTSWEISE

NACHWEIS QUERSCHNITTVERFORMUNG									
Stab-Nr.	x [mm]	LF LG	Nachweis-kriterium	Kommentar zur Nachweisart					
<b>Querschnitt 1 - HE-A 450</b>									
11	5250.000	LG12	0.766	5) Nachweis nach (27) erbracht					
<b>Querschnittsmaße HE-A 450</b>				bu	300.00 mm	s	11.500 mm		
bo 300.0 mm				tu	21.00 mm	h	440.0 mm		
to 21.0 mm									
<b>Querschnittswerte</b>									
A 178.00 cm²				I-Om	4146000.0 cm⁶	W-z	631.00 cm³		
I-y 63720.00 cm⁴				i-z	7.29 cm	W-pl,v	3220.00 cm³		
I-z 9470.00 cm⁴				i-p	20.26 cm	W-pl,z	965.53 cm³		
I-T 245.00 cm⁴				W-v	2900.00 cm³	KsI-z	b		
<b>Schnittgrößen</b>									
N -343.91 kN				M-y,Anf	0.00 kNm	x-M,y,min	6.000 m		
V-z -43.46 kN				M-y,End	-253.10 kNm				
M-y -285.19 kNm				M-y,min	-316.53 kNm				
<b>Plastische Schnittgrößen</b>									
N-pl,k 4272.00 kN				V-pl,z,k	667.67 kN	M-pl,v,k	772.80 kNm		
N-pl,d 3883.64 kN				V-pl,z,d	606.97 kN	M-pl,y,d	702.55 kNm		
<b>Biegedrillnicklast N-Ki</b>									
Beta-z 1.000				I-O	10.000 m	s-K	10.000 m		
Beta-0 1.000				c	38.06 cm	N-Ki	1962.770 kN		
I 10.000 m				Lambda-V	137.17				
<b>Abminderungsfaktor Kappa-z</b>									
KsI-z b				Lambda-K,z	1.475				
Alpha 0.340				Kappa-z	0.3515				
<b>Biegedrillnickmoment M-Ki</b>									
z-p -220.000 mm				c	38.06 cm				
Zeta 1.339				M-Ki	752.445 kNm				
<b>Abminderungsfaktor Kappa-M</b>									
n 2.500				Lambda-M	1.013 > 0.4				
Q-Last z				Kappa-M	0.748				
<b>Beiwert k-y</b>									
Psi-y 0.000				Beta-M,Q,y	1.400	Lambda-K,z	1.475		
Beta-M,Psi, 1.800				M-Q,y	164.67 kNm	a-y	0.2023		
Q-Last z Ja				Delta-M,y	316.53 kNm	k-y	0.949		
E-Last z Ja				Beta-M,y	1.592				
<b>Nachweis</b>									
D1 0.250 > 0.1				D2	0.515	D	0.766 < 1.0		
<b>Querschnitt 2 - HE-A 450</b>									
11	7000.000	LG37	0.699	5) Nachweis nach (27) erbracht					
<b>Querschnittsmaße HE-A 450</b>				bu	300.00 mm	s	11.500 mm		
bo 300.0 mm				tu	21.00 mm	h	440.0 mm		
to 21.0 mm									
<b>Querschnittswerte</b>									
A 178.00 cm²				I-Om	4146000.0 cm⁶	W-z	631.00 cm³		
I-y 63720.00 cm⁴				i-z	7.29 cm	W-pl,v	3220.00 cm³		
I-z 9470.00 cm⁴				i-p	20.26 cm	W-pl,z	965.53 cm³		
I-T 245.00 cm⁴				W-v	2900.00 cm³	KsI-z	b		
<b>Schnittgrößen</b>									
N -343.91 kN				M-y	-373.27 kNm	M-y,End	-373.27 kNm		
V-z -21.06 kN				M-y,Anf	0.00 kNm				
<b>Plastische Schnittgrößen</b>									
N-pl,k 4272.00 kN				V-pl,z,k	667.67 kN	M-pl,v,k	772.80 kNm		
N-pl,d 3883.64 kN				V-pl,z,d	606.97 kN	M-pl,y,d	702.55 kNm		
<b>Biegedrillnicklast N-Ki</b>									
Beta-z 1.000				I-O	7.000 m	s-K	7.000 m		
Beta-0 1.000				c	30.55 cm	N-Ki	4005.650 kN		
I 7.000 m				Lambda-V	96.02				
<b>Abminderungsfaktor Kappa-z</b>									

Projekt: Bachelorarbeit

Position: Hallenrahmen

Seite: 32

## NACHWEIS QUERSCHNITTSWEISE

Stab-Nr.	x [mm]	LF LG	Nachweis-kriterium	Kommentar zur Nachweisart			
	Ksl-z	b	Lambda-K,z	1,033			
	Alpha	0.340	Kappa-z	0.5764			
	Biegedrillknickmoment M-Ki						
	z-p	-220.000 mm	c	30.55 cm			
	Zeta	2.089	M-Ki	1796.230 kNm			
	Abminderungsfaktor Kappa-M						
	n	2.500	Lambda-M	0.656 > 0.4			
	Q-Last z	Ja	Kappa-M	0.955			
	Beiwert k-y						
	Psi-y	0.000	Beta-M,Q,y	1.400	Lambda-K,z	1,033	
	Beta-M,Psi	1.800	M-Q,y	43.07 kNm	a-y	0.1217	
	Q-Last z	Ja	Delta-M,y	373.27 kNm	k-y	0.981	
	E-Last z	Ja	Beta-M,y	1.754			
	Nachweis						
	D1	0.154 > 0.1	D2	0.546	D	0.699 < 1.0	
<b>Querschnitt 3 - HE-A 400</b>							
21	7000.000	LG21	0.822	11) Nachweis nach (16) und (22) erbracht			
	Querschnittsmaße HE-A 400						
	bo	300.0 mm	bu	300.000 mm	s	11.000 mm	
	to	19.0 mm	tu	19.000 mm	h	390.0 mm	
	Querschnittswerte						
	A	159.00 cm <sup>2</sup>	I-Om	2942000.0 cm <sup>6</sup>	W-z	571.00 cm <sup>3</sup>	
	I-y	45070.000 cm <sup>4</sup>	i-z	7.34 cm	W-pl,y	2560.00 cm <sup>3</sup>	
	I-z	8560.00 cm <sup>4</sup>	i-p	18.33 cm	W-pl,z	872.86 cm <sup>3</sup>	
	I-T	190.000 cm <sup>4</sup>	W-v	2310.00 cm <sup>3</sup>	Ksl-z	b	
	Schnittgrößen						
	N	-148.96 kN	M-v	434.47 kNm	M-v,End	434.47 kNm	
	V-z	52.35 kN	M-v,Anf	0.00 kNm			
	Plastische Schnittgrößen						
	N-pl,k	3616.00 kN	V-pl,z,k	565.48 kN	M-pl,v,k	614.40 kNm	
	N-pl,d	3469.09 kN	V-pl,z,d	514.07 kN	M-pl,v,d	558.55 kNm	
	Biegedrillknicklast N-Ki						
	Beta-z	1.000	I-O	7.000 m	s-K	7.000 m	
	Beta-0	1.000	c	27.73 cm	N-Ki	3620.730 kN	
	l	7.000 m	Lambda-V	95.37			
	Abminderungsfaktor Kappa-z						
	Ksl-z	b	Lambda-K,z	1,027			
	Alpha	0.340	Kappa-z	0.5802			
	Biegedrillknickmoment M-Ki						
	z-p	-195.000 mm	c	27.73 cm			
	Zeta	1.741	M-Ki	1238.410 kNm			
	Abminderungsfaktor Kappa-M						
	n	2.500	Lambda-M	0.704 > 0.4			
	Q-Last z	Ja	Kappa-M	0.938			
	Beiwert k-y						
	Psi-y	0.000	Beta-M,Q,y	1.300	Lambda-K,z	1,027	
	Beta-M,Psi	1.800	M-Q,y	16.25 kNm	a-y	0.1243	
	Q-Last z	Ja	Delta-M,y	434.47 kNm	k-y	0.991	
	E-Last z	Nein	Beta-M,y	1.781			
	Nachweis						
	D1	0.074 < 0.1	D2	0.822	D	0.822 < 1.0	
<b>Querschnitt 4 - IPE 550</b>							
9	3180.000	LG11	0.793	11) Nachweis nach (16) und (22) erbracht			
	Querschnittsmaße IPE 550						
	bo	210.0 mm	bu	210.000 mm	s	11.100 mm	
	to	17.2 mm	tu	17.200 mm	h	550.0 mm	
	Querschnittswerte						
	A	134.00 cm <sup>2</sup>	I-Om	1884000.0 cm <sup>6</sup>	W-z	254.00 cm <sup>3</sup>	
	I-y	67120.000 cm <sup>4</sup>	i-z	4.45 cm	W-pl,y	2780.00 cm <sup>3</sup>	
	I-z	2670.00 cm <sup>4</sup>	i-p	22.74 cm	W-pl,z	400.54 cm <sup>3</sup>	
	I-T	124.000 cm <sup>4</sup>	W-v	2440.00 cm <sup>3</sup>	Ksl-z	b	
	Schnittgrößen						
	N	-35.49 kN	M-v	-467.86 kNm	M-v,End	-467.86 kNm	
	V-z	-155.99 kN	M-v,Anf	-46.07 kNm			
	Plastische Schnittgrößen						
	N-pl,k	3216.00 kN	V-pl,z,k	819.48 kN	M-pl,v,k	667.20 kNm	
	N-pl,d	2923.84 kN	V-pl,z,d	744.98 kN	M-pl,v,d	606.55 kNm	
	Biegedrillknicklast N-Ki						
	Beta-z	1.000	I-O	3.179 m	s-K	3.179 m	
	Beta-0	1.000	c	29.82 cm	N-Ki	5476.750 kN	
	l	3.179 m	Lambda-V	71.43			
	Abminderungsfaktor Kappa-z						
	Ksl-z	b	Lambda-K,z	0.766			
	Alpha	0.340	Kappa-z	0.7450			
	Biegedrillknickmoment M-Ki						
	z-p	-275.000 mm	c	29.82 cm			
	Zeta	1.825	M-Ki	1906.980 kNm			
	Abminderungsfaktor Kappa-M						
	n	2.500	Lambda-M	0.592 > 0.4			
	Q-Last z	Ja	Kappa-M	0.972			
	Beiwert k-y						
	Psi-y	0.098	Beta-M,Q,y	1.300	Lambda-K,z	0.766	
	Beta-M,Psi	1.731	M-Q,y	18.17 kNm	a-y	0.0471	
	Q-Last z	Ja	Delta-M,y	467.86 kNm	k-y	0.999	
	E-Last z	Nein	Beta-M,y	1.714			
	Nachweis						
	D1	0.016 < 0.1	D2	0.793	D	0.793 < 1.0	
<b>Querschnitt 5 - IPE 550</b>							
14	0.000	LG34	0.954	11) Nachweis nach (16) und (22) erbracht			
	Querschnittsmaße IPE 550						
	bo	210.0 mm	bu	210.000 mm	s	11.100 mm	
	to	17.2 mm	tu	17.200 mm	h	550.0 mm	
	Querschnittswerte						
	A	134.00 cm <sup>2</sup>	I-Om	1884000.0 cm <sup>6</sup>	W-z	254.00 cm <sup>3</sup>	
	I-y	67120.000 cm <sup>4</sup>	i-z	4.45 cm	W-pl,y	2780.00 cm <sup>3</sup>	

Projekt: Bachelorarbeit	Position: Hallenrahmen	Seite: 33
-------------------------	------------------------	-----------

## NACHWEIS QUERSCHNITTSGEISE

Stab-Nr.	x [mm]	LF LG	Nachweis-kriterium	Kommentar zur Nachweisart			
	I-z 2670.00 cm <sup>4</sup> I-T 124.000 cm <sup>4</sup>		i-p 22.74 cm W-v 2440.00 cm <sup>3</sup>	W-pl,z 400.54 cm <sup>3</sup> Ksl-z b			
	<b>Schnittgrößen</b> N -58.88 kN V-z 213.00 kN		M-y -564.66 kNm M-y,Anf -564.66 kNm	M-y,End -60.53 kNm			
	<b>Plastische Schnittgrößen</b> N-pl,k 3216.00 kN N-pl,d 2923.64 kN		V-pl,z,k 819.48 kN V-pl,z,d 744.98 kN	M-pl,v,k 667.20 kNm M-pl,v,d 606.55 kNm			
	<b>Biegedrillknicklast N-Ki</b> Beta-z 1.000 Beta-0 1.000 l 3.179 m		I-0 3.179 m c 29.82 cm Lambda-V 71.43	s-K 3.179 m N-Ki 5476.750 kN			
	<b>Abminderungsfaktor Kappa-z</b> Ksl-z b Alpha 0.340		Lambda-K,z 0.766 Kappa-z 0.7450				
	<b>Biegedrillknickmoment M-Ki</b> z-p -275.000 mm Zeta 1.904		c 29.82 cm M-Ki 1989.880 kNm				
	<b>Abminderungsfaktor Kappa-M</b> n 2.500 Q-Last z Ja		Lambda-M 0.579 > 0.4 Kappa-M 0.975				
	<b>Beiwert k-y</b> Psi-y 0.107 Beta-M,Psi 1.725 Q-Last z Ja E-Last z Nein		Beta-M,Q,y 1.300 M-Q,y 40.69 kNm Delta-M,y 564.66 kNm Beta-M,y 1.694	Lambda-K,z 0.766 a-y 0.0448 k-y 0.999			
	<b>Nachweis</b> D1 0.027 < 0.1		D2 0.954	D 0.954 < 1.0			

### 3.4 Gebrauchstauglichkeitsnachweise

#### 3.4.1 Verformungsbeschränkung für Rahmenriegel

Die Grenzwerte der Durchbiegung des Rahmenriegels werden nach DIN 18807-3 Kap. 3.3.4.2 festgelegt.

Grenzwert:

zul  $u_z = l/300 = 19000/300 = 63,3$  mm (Dächer mit oberseitiger Abdichtung)

vorhandene Durchbiegung:

vorh  $u_{z,max} = 58,45$  mm (Globale Stabverschiebung; Stab-Nr. 6; LG 72)

Nachweis:

vorh  $u_{z,max} / \text{zul } u_z = 58,45 / 63,3 = 0,92 < 1$

#### 3.4.2 Verformungsbeschränkung für Kranbetrieb

Die Grenzwerte der horizontalen Verschiebung der Stützen wird nach DIN EN 1993-6/NA festgelegt.

Grenzwerte für Hubklasse H2:

1. Kranbahnkonsole

zul  $u_x = hc / 300 = 6000 / 300 = 20,0$  mm

2. Kranbahnkonsole

zul  $u_x = hc / 300 = 8000 / 300 = 26,7$  mm

vorhandene horizontale Verschiebung:

1. Kranbahnkonsole

vorh  $u_{x,max} = 13,2$  mm (Globale Knotenverformungen; Knoten-Nr. 23; LG84)



## 2. Kranbahnkonsole

vorh  $u_{x,max} = 13,8$  mm (Globale Knotenverformungen; Knoten-Nr. 24; LG84)

Nachweise

## 1. Kranbahnkonsole

vorh  $u_{x,max}$  / zul  $u_x = 13,2 / 20,0 = 0,66 < 1$

## 2. Kranbahnkonsole

vorh  $u_{x,max}$  / zul  $u_x = 13,8 / 26,7 = 0,52 < 1$

## 4 Dachverbände

Die Dachverbände der beiden Hallenschiffe werden als K-Verband ausgeführt, wobei die Pfetten als Druckpfosten fungieren.

### 4.1 1. Hallenschiff

#### 4.1.1 Lastfälle

##### Stabilisierungslast

aus Rahmenriegel IPE 550 ( $h = 550$  mm;  $t = 11,1$  mm)

max  $M = 358,42$  kNm      min  $N = -4,93$  kN (Zweischiffige Halle; Stab 6; LG 41)

Normalkraft im Obergurt des Rahmenriegels:

$$N_{OG} = \frac{\max M}{h-t} - \frac{N}{2} = \frac{358,41 \cdot 1000}{550 - 11,1} + \frac{4,93}{2} = 667,54 \text{ kN}$$

Ersatzbelastung für Vorkrümmung des Rahmenriegels nach DIN 18800-2 EL. 204:

Knickspannungslinie: IPE 550 ausweichen rechtwinklig zur z-Achse → KSL b

Stich der Vorkrümmung:  $w_0 = l/250$

Ersatzbelastung:

$$q_1 = n \cdot \frac{N_{OG} \cdot 8 \cdot w_0}{l^2} = 5,5 \cdot \frac{667,54 \cdot 8}{19 \cdot 250} = 6,18 \frac{\text{kN}}{\text{m}}$$

mit  $n$  = Anzahl der zu stabilisierenden Rahmenriegel je Dachverband

##### Windlasten

Die auf die Giebelwand wirkenden Windkräfte müssen zur Hälfte vom Dachverband weitergeleitet werden, da die Windgiebelstützen als Einfeldträger angenommen werden. Nachfolgend wird die Lasteinzugsbreite des Rahmenriegels bestimmt:

$$\text{Giebelwandfläche } A = b \cdot h_{\text{Taufe}} + \left(\frac{b}{2}\right)^2 \cdot \tan \alpha = 19 \cdot 10 + \left(\frac{19}{2}\right)^2 \cdot \tan 5^\circ = 197,9 \text{ m}^2$$

$$\text{Lasteinzugsbreite } b = \frac{1}{2} \cdot \frac{A}{b} = \frac{1}{2} \cdot \frac{197,9}{19} = 5,21 \text{ m}$$

Die Lastfälle infolge Windbeanspruchung werden in Ansatz gebracht, indem die ermittelten Flächenlasten für Winddruck auf die Wände und die zugehörigen Innendrucke mit der Lasteinzugsbreite multipliziert werden.

## 4.1.2 Ausdruckprotokoll RSTAB 5.14 – Dachverband 1. Hallenschiff

Projekt: Bachelorarbeit	Position: Dachverband 1. Hallenschiff	Seite: 1
-------------------------	---------------------------------------	----------

## INHALT

Inhalt .....	1
Basisangaben .....	1
Strukturdaten .....	
Knoten .....	1
Materialien .....	2
Querschnitte .....	2
Stäbe .....	2
Auflager .....	2
Stabzüge .....	2
Grafik - Struktur .....	3
Belastungen .....	
Basisangaben der Lastfälle .....	3
LF 1 - Stabilisierungslast für Sog auf Giebelwand .....	3
LF 2 - Stabilisierungslast für Druck auf Giebelwand .....	3
LF 3 - Wind 0° von links (Sog auf Giebelwand) .....	3
LF 4 - Wind 0° von rechts (Sog auf Giebelwand) .....	4
LF 5 - Wind 90° (Sog auf Giebelwand) .....	4
LF 6 - Wind 90° (Druck auf Giebelwand) .....	4
LF-Gruppen .....	4
LF-, LG-Ergebnisse .....	
Daten zur Theorie II. Ordnung .....	5
Schnittgrößen querschnittsbezogen .....	5
Auflagerkräfte und -momente .....	5
STAHL .....	5
STAHL1 - Spannungsanalyse .....	5
Basisangaben .....	5
Grenzspannungen .....	5
Querschnitte (3) .....	5
Ergebnisse .....	5
Max. Spannungen in Querschnitten .....	5
KAPPA .....	5
KAPPA1 - Biegeknicknachweis .....	5
Basisangaben .....	5
Materialdaten .....	5
Querschnitte .....	6
KAPPA-Daten (28) .....	6
Ergebnisse .....	6
Nachweis querschnittsweise .....	6

## BASISANGABEN

## BERECHNUNGSART

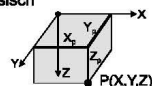
- ☒ Statik  
☐ Nachweis  
☐ Dynamik  
☒ Lastfälle  
☒ LF-Gruppen  
☐ LF-Kombinationen
- ☒ Theorie I. Ordnung  
☒ Theorie II. Ordnung  
☐ Seiltheorie  
☒ Bemessungsfälle  
☐ Dynamikfälle  
☐ Knickfiguren

## STRUKTURKENNWERTE

- ☐ 1D-Durchlaufträger  
☒ 2D-Stabwerk  
☐ 3D-Stabwerk  
☐ Trägerrast
- 21 Knoten  
 1 Materialien  
 4 Querschnitte  
 0 Stabendgelenke  
 0 Stabteilungen
- 40 Stäbe  
 0 Seilstäbe  
 0 Voutenstäbe  
 0 El. gebet. Stäbe  
 2 Stabzüge

## STRUKTUR

Kartesisch



## KNOTEN

Knoten-Nr.	Koordinatensystem	Bezugs-Knoten	X [m]	Knotenkoordinaten Y [m]	Z [m]
1	Kartesisch	-	0.000		0.000
2	Kartesisch	-	0.000		6.000
3	Kartesisch	-	3.167		0.000
4	Kartesisch	-	3.167		6.000
5	Kartesisch	-	6.333		0.000
6	Kartesisch	-	6.333		6.000
7	Kartesisch	-	9.500		0.000
8	Kartesisch	-	9.500		6.000
9	Kartesisch	-	12.667		0.000
10	Kartesisch	-	12.667		6.000
11	Kartesisch	-	15.833		0.000
12	Kartesisch	-	15.833		6.000
13	Kartesisch	-	19.000		0.000
14	Kartesisch	-	19.000		6.000
15	Kartesisch	-	0.000		3.000
16	Kartesisch	-	3.167		3.000
17	Kartesisch	-	6.333		3.000
18	Kartesisch	-	9.500		3.000
19	Kartesisch	-	12.667		3.000
20	Kartesisch	-	15.833		3.000
21	Kartesisch	-	19.000		3.000

Projekt: Bachelorarbeit

Position: Dachverband 1. Hallenschiff

Seite: 2

## MATERIALIEN

Mater.-Nr.	Material-Bezeichnung	E-Modul [kN/cm <sup>2</sup> ]	Schubmodul [kN/cm <sup>2</sup> ]	Sp. Gewicht [kN/cm <sup>3</sup> ]	Wärmedehn. [1/°C]
1	Stahl	2.100E+04	8.100E+03	7.850E-05	1.200E-05

IPE 600



IPE 200



RO 88,9x4



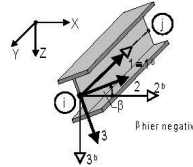
RD 12



## QUERSCHNITTE

Quer.-Nr.	Mater.-Nr.	Querschnitts-Bezeichnung	I <sub>2</sub> [cm <sup>4</sup> ]	A [cm <sup>2</sup> ]	A <sub>3</sub> [cm <sup>2</sup> ]
1	1	IPE 600	92080.00	156.000	
2	1	IPE 200	1940.00	28.500	
3	1	RO 88,9x4	96.34	10.889	
4	1	RD 12	0.10	1.130	

Lokales Stabachsensystem



## STÄBE

Stab-Nr.	Stab-typ	Knoten		Beta [°]	Querschnitt		Gelenk		Teil.-Nr.	Länge [m]	Stab-lage
		Anf.	Ende		Anf.	Ende	Anf.	Ende			
1	Fachwerkstab	1	3	0.00	1	1	-	-	-	3.167	HORI
2	Fachwerkstab	2	4	0.00	1	1	-	-	-	3.167	HORI
3	Fachwerkstab	3	5	0.00	1	1	-	-	-	3.167	HORI
4	Fachwerkstab	4	6	0.00	1	1	-	-	-	3.167	HORI
5	Fachwerkstab	5	7	0.00	1	1	-	-	-	3.167	HORI
6	Fachwerkstab	6	8	0.00	1	1	-	-	-	3.167	HORI
7	Fachwerkstab	7	9	0.00	1	1	-	-	-	3.167	HORI
8	Fachwerkstab	8	10	0.00	1	1	-	-	-	3.167	HORI
9	Fachwerkstab	9	11	0.00	1	1	-	-	-	3.167	HORI
10	Fachwerkstab	10	12	0.00	1	1	-	-	-	3.167	HORI
11	Fachwerkstab	11	13	0.00	1	1	-	-	-	3.167	HORI
12	Fachwerkstab	12	14	0.00	1	1	-	-	-	3.167	HORI
13	Fachwerkstab	1	15	0.00	2	2	-	-	-	3.000	VERT
14	Fachwerkstab	3	16	0.00	2	2	-	-	-	3.000	VERT
15	Fachwerkstab	5	17	0.00	2	2	-	-	-	3.000	VERT
16	Fachwerkstab	7	18	0.00	2	2	-	-	-	3.000	VERT
17	Fachwerkstab	9	19	0.00	2	2	-	-	-	3.000	VERT
18	Fachwerkstab	11	20	0.00	2	2	-	-	-	3.000	VERT
19	Fachwerkstab	13	21	0.00	2	2	-	-	-	3.000	VERT
20	Fachwerkstab	15	2	0.00	2	2	-	-	-	3.000	VERT
21	Fachwerkstab	16	4	0.00	2	2	-	-	-	3.000	VERT
22	Fachwerkstab	17	6	0.00	2	2	-	-	-	3.000	VERT
23	Fachwerkstab	18	8	0.00	2	2	-	-	-	3.000	VERT
24	Fachwerkstab	19	10	0.00	2	2	-	-	-	3.000	VERT
25	Fachwerkstab	20	12	0.00	2	2	-	-	-	3.000	VERT
26	Fachwerkstab	21	14	0.00	2	2	-	-	-	3.000	VERT
27	Fachwerkstab	1	16	0.00	3	3	-	-	-	4.362	ALLG
28	Fachwerkstab	16	2	0.00	3	3	-	-	-	4.362	ALLG
29	Fachwerkstab	3	17	0.00	3	3	-	-	-	4.362	ALLG
30	Fachwerkstab	17	4	0.00	3	3	-	-	-	4.362	ALLG
31	Fachwerkstab	5	18	0.00	3	3	-	-	-	4.362	ALLG
32	Fachwerkstab	18	6	0.00	3	3	-	-	-	4.362	ALLG
33	Fachwerkstab	9	18	0.00	3	3	-	-	-	4.362	ALLG
34	Fachwerkstab	18	10	0.00	3	3	-	-	-	4.362	ALLG
35	Fachwerkstab	11	19	0.00	3	3	-	-	-	4.362	ALLG
36	Fachwerkstab	19	12	0.00	3	3	-	-	-	4.362	ALLG
37	Fachwerkstab	13	20	0.00	3	3	-	-	-	4.362	ALLG
38	Fachwerkstab	20	14	0.00	3	3	-	-	-	4.362	ALLG
39	Fachwerkstab	15	16	0.00	4	4	-	-	-	3.167	HORI
40	Fachwerkstab	20	21	0.00	4	4	-	-	-	3.167	HORI

## AUFLAGER

Lager-Nr.	Gelagerte Knoten	Drehung [°]		Festes Auflager bzw. Feder [kN/m] [kNm/rad]						
		Alpha	Beta	in X	in Y	in Z	um X	um Y	um Z	
1	2	0.0	0.0	Ja				Nein		
2	14	0.0	0.0	Nein		Ja		Nein		

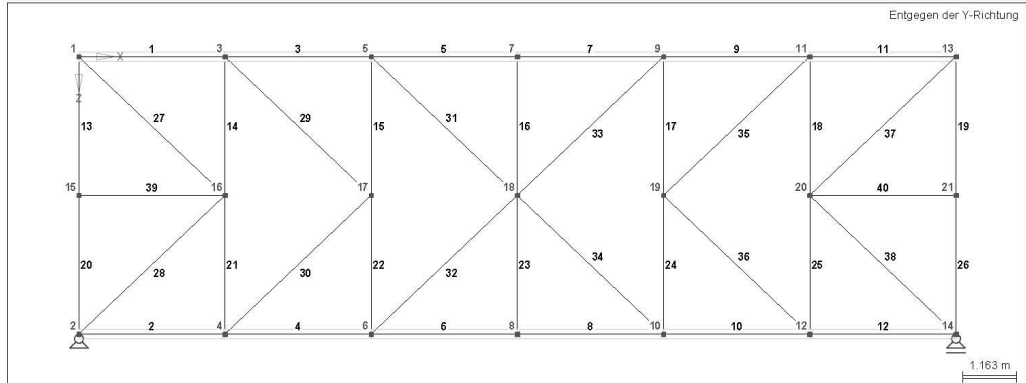
## STABZÜGE

Zug-Nr.	Stabzug-Bezeichnung	Stabzug gebildet aus Stäben
1		1, 3, 5, 7, 9, 11
2		2, 4, 6, 8, 10, 12

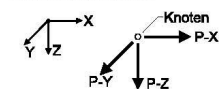
Projekt: Bachelorarbeit

Position: Dachverband 1. Hallenschiff

Seite: 3

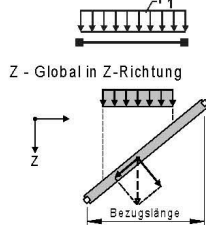
**STRUKTUR****BELASTUNG****BASISANGABEN DER LASTFÄLLE**

LF-Nr.	LF-Bezeichnung	Faktor	Überlagerungsart	Eigengewicht
1	Stabilisierungslast für Sog auf Giebelwand	1.00	Imperfektion	-
2	Stabilisierungslast für Druck auf Giebelwand	1.00	Imperfektion	-
3	Wind 0° von links (Sog auf Giebelwand)	1.00	Veränderlich	-
4	Wind 0° von rechts (Sog auf Giebelwand)	1.00	Veränderlich	-
5	Wind 90° (Sog auf Giebelwand)	1.00	Veränderlich	-
6	Wind 90° (Druck auf Giebelwand)	1.00	Veränderlich	-

**Globale Knotenkraft****KNOTENKRÄFTE**

LF 1

Nr.	Belastete Knoten	$P_X$ [kN]	Knotenkräfte $P_Y$ [kN]	$P_Z$ [kN]
1	2,14	0.000	0.000	-58.710

**1- Linienlast****STABLASTEN**

LF 1

Nr.	Belastete Stäbe	Last-art	Last-Richtung	Parameter [kN, kNm, m, °C, kN/m, kNm/m]
1	1	1	Z	6.180
2	3	1	Z	6.180
3	5	1	Z	6.180
4	7	1	Z	6.180
5	9	1	Z	6.180
6	11	1	Z	6.180

**KNOTENKRÄFTE**

LF 2

Nr.	Belastete Knoten	$P_X$ [kN]	Knotenkräfte $P_Y$ [kN]	$P_Z$ [kN]
1	2,14	0.000	0.000	-58.710

**STABLASTEN**

LF 2

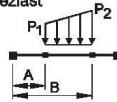
Nr.	Belastete Stäbe	Last-art	Last-Richtung	Parameter [kN, kNm, m, °C, kN/m, kNm/m]
1	2	1	Z	6.180
2	4	1	Z	6.180
3	6	1	Z	6.180
4	8	1	Z	6.180
5	10	1	Z	6.180
6	12	1	Z	6.180

Projekt: Bachelorarbeit

Position: Dachverband 1. Hallenschiff

Seite: 4

4 - Trapezlast



## STABLASTEN

LF 3

Nr.	Belastete Stäbe	Last-art	Last-Richtung	Parameter [kN, kNm, m, °C, kN/m, kNm/m]			
				P <sub>1</sub>	P <sub>2</sub>	A	B
1	2	4	Z	5.000	5.000	0.000	3.16667
2	4	4	Z	5.000	5.000	0.000	1.16333
3	4	4	Z	3.330	3.330	1.16333	3.16667
4	6	4	Z	3.330	3.330	0.000	3.16667
5	8	4	Z	3.330	3.330	0.000	3.16667
6	10	4	Z	3.330	3.330	0.000	3.16667
7	12	4	Z	3.330	3.330	0.000	3.16667
8	2	4	Z	0.830	0.830	0.000	3.16667
9	4	4	Z	0.830	0.830	0.000	3.16667
10	6	4	Z	0.830	0.830	0.000	3.16667
11	8	4	Z	0.830	0.830	0.000	3.16667
12	10	4	Z	0.830	0.830	0.000	3.16667
13	12	4	Z	0.830	0.830	0.000	3.16667

## STABLASTEN

LF 4

Nr.	Belastete Stäbe	Last-art	Last-Richtung	Parameter [kN, kNm, m, °C, kN/m, kNm/m]			
				P <sub>1</sub>	P <sub>2</sub>	A	B
1	2	4	Z	2.080	2.080	0.000	3.16667
2	4	4	Z	2.080	2.080	0.000	3.16667
3	6	4	Z	2.080	2.080	0.000	3.16667
4	8	4	Z	2.080	2.080	0.000	3.16667
5	10	4	Z	2.080	2.080	0.000	3.16667
6	12	4	Z	2.080	2.080	0.000	0.50667
7	12	4	Z	3.330	3.330	0.50667	3.16667
8	2	4	Z	0.830	0.830	0.000	3.16667
9	4	4	Z	0.830	0.830	0.000	3.16667
10	6	4	Z	0.830	0.830	0.000	3.16667
11	8	4	Z	0.830	0.830	0.000	3.16667
12	10	4	Z	0.830	0.830	0.000	3.16667
13	12	4	Z	0.830	0.830	0.000	3.16667

## STABLASTEN

LF 5

Nr.	Belastete Stäbe	Last-art	Last-Richtung	Parameter [kN, kNm, m, °C, kN/m, kNm/m]			
				P <sub>1</sub>	P <sub>2</sub>	A	B
1	2	4	Z	1.250	1.250	0.000	3.16667
2	4	4	Z	1.250	1.250	0.000	3.16667
3	6	4	Z	1.250	1.250	0.000	3.16667
4	8	4	Z	1.250	1.250	0.000	3.16667
5	10	4	Z	1.250	1.250	0.000	3.16667
6	12	4	Z	1.250	1.250	0.000	3.16667
7	2	4	Z	0.830	0.830	0.000	3.16667
8	4	4	Z	0.830	0.830	0.000	3.16667
9	6	4	Z	0.830	0.830	0.000	3.16667
10	8	4	Z	0.830	0.830	0.000	3.16667
11	10	4	Z	0.830	0.830	0.000	3.16667
12	12	4	Z	0.830	0.830	0.000	3.16667

## STABLASTEN

LF 6

Nr.	Belastete Stäbe	Last-art	Last-Richtung	Parameter [kN, kNm, m, °C, kN/m, kNm/m]			
				P <sub>1</sub>	P <sub>2</sub>	A	B
1	1	4	Z	2.920	2.920	0.000	3.16667
2	3	4	Z	2.920	2.920	0.000	3.16667
3	5	4	Z	2.920	2.920	0.000	3.16667
4	7	4	Z	2.920	2.920	0.000	3.16667
5	9	4	Z	2.920	2.920	0.000	3.16667
6	11	4	Z	2.920	2.920	0.000	3.16667
7	1	4	Z	1.250	1.250	0.000	3.16667
8	3	4	Z	1.250	1.250	0.000	3.16667
9	5	4	Z	1.250	1.250	0.000	3.16667
10	7	4	Z	1.250	1.250	0.000	3.16667
11	9	4	Z	1.250	1.250	0.000	3.16667
12	11	4	Z	1.250	1.250	0.000	3.16667

## LF-GRUPPEN

LG-Nr.	LG-Bezeichnung	Faktor	Beiwert $\gamma_M$	Lastfälle in LG
1	Stabilisierungslast + 1.5°Wind 0° von links	1.00	1.10	LF1 + 1.50°LF3
2	Stabilisierungslast + 1.5°Wind 0° von rechts	1.00	1.10	LF1 + 1.50°LF4
3	Stabilisierungslast + 1.5°Wind 90° Sog	1.00	1.10	LF1 + 1.50°LF5
4	Stabilisierungslast + 1.5°Wind 90° Druck	1.00	1.10	LF2 + 1.50°LF6

Projekt: Bachelorarbeit	Position: Dachverband 1. Hallenschiff	Seite: 5
-------------------------	---------------------------------------	----------

**DATEN ZUR THEORIE II. ORDNUNG**

LG-Nr.	Faktor Ny	Anzahl Iterationen	Eps-Konvergenz		Ny-fache Ergebnisse	Entlastung durch Zugkräfte
			vorhanden	gewollt		
LG1	1.000	2		43E-03	0.01	Nein
LG2	1.000	2		32E-03	0.01	Nein
LG3	1.000	2		25E-03	0.01	Nein
LG4	1.000	2		40E-03	0.01	Nein

**SCHNITTGRÖSSEN QUERSCHNITTSBEZOGEN**

Stab-Nr.	LF/LG-Nr.	Knoten-Nr.	x [m]	N	Kräfte [kN]			T	Momente [kNm]	
					Q <sub>2</sub>	Q <sub>3</sub>			M <sub>2</sub>	M <sub>3</sub>
<b>Querschnitt-Nr. 2: IPE 200</b>										
21	LG1	MAX N	.00	55.27	.00	.00				
13	LG1	MIN N	.00	-61.79	.00	.00				
13	LG1	MAX Q-3	.00	-61.79	.00	.00				
13	LG1	MIN Q-3	.00	-61.79	.00	.00				
<b>Querschnitt-Nr. 3: RO 88,9x4</b>										
27	LG1	MAX N	.00	75.67	.00	.00				
28	LG1	MIN N	.00	-75.61	.00	.00				
27	LG1	MAX Q-3	.00	75.67	.00	.00				
27	LG1	MIN Q-3	.00	75.67	.00	.00				

**AUFLAGERKRÄFTE UND -MOMENTE**

Knoten-Nr.	LF/LG-Nr.	P <sub>x</sub>	Auflagerkräfte [kN]		P <sub>z</sub>	Auflagemomente [kNm]		
			P <sub>y</sub>			M <sub>x</sub>	M <sub>y</sub>	M <sub>z</sub>
2	LF3	.000	.000		45.927	.000	.000	.000
	LF4	.000	.000		27.878	.000	.000	.000
	LF5	.000	.000		19.760	.000	.000	.000
	LF6	.000	.000		39.615	.000	.000	.000
14	LF3	.000	.000		40.344	.000	.000	.000
	LF4	.000	.000		30.737	.000	.000	.000
	LF5	.000	.000		19.760	.000	.000	.000
	LF6	.000	.000		39.615	.000	.000	.000
ΣKräfte		.000	.000		86.271			
ΣLasten		.000	.000		86.271			
ΣKräfte	LF4	.000	.000		58.615			
	LF5	.000	.000		39.520			
	LF6	.000	.000		39.520			
	LF6	.000	.000		79.230			
ΣLasten		.000	.000		79.230			

**STAHL 1 - SPANNUNGSANALYSE****BASISANGABEN****ZU BEMESSENDE STÄBE**  
27-38**ZU BEMESSENDE LASTFÄLLE**  
LG1 - Stabilisierungslast + 1.5°Wind 0° von links  
LG2 - Stabilisierungslast + 1.5°Wind 0° von rechts  
LG3 - Stabilisierungslast + 1.5°Wind 90° Sog  
LG4 - Stabilisierungslast + 1.5°Wind 90° Druck**GRENZSPANNUNGEN**

Mat.-Nr.	Material-Bezeichnung	Material-Norm, Kriterium	Grenzspannungen [kN/cm²]		
			Sigma	Tau	Sigma-v
1	Stahl	DIN 18800 t ≤ 40 mm	21.82	12.6	21.82

**QUERSCHNITTE**

Quer.-Nr.	Mat.-Nr.	Querschnittsbezeichnung Querschnittsdrehung	I-T [cm⁴] A [cm²]	I-2 [cm⁴] Alpha pl. y	I-3 [cm⁴] Alpha pl. z
3	1	RO 88,9x4	0.00 10.67	96.34 1.00	0.00 1.00

RO 88,9x4

**MAX. SPANNUNGEN IN QUERSCHNITTEN**

Spannungs- art	Stab- Nr.	x-Stelle [m]	S-Punkt Nr.	LF Nr.	Spannung [kN/cm²]		Aus- nutzung
					vorh	grenz	
Querschnitt Nr. 3 - RO 88,9x4							
Sigma gesamt	27	0.000	1	LG1	7.09	21.82	0.33
Tau gesamt	27	0.000	1	LG1	0.00	12.60	0.00
Sigma-v	27	0.000	1	LG1	7.09	21.82	0.33

Projekt: Bachelorarbeit	Position: Dachverband 1. Hallenschiff	Seite: 6
-------------------------	---------------------------------------	----------

**KAPPA1 - BIEGEKNICKNACHWEIS****BASISANGABEN**

Zu bemessende Stäbe: 27-38  
 Zu bemessende LF-Gruppen: LG1 Stabilisierungslast + 1.5°Wind 0° von links  
 LG2 Stabilisierungslast + 1.5°Wind 0° von rechts  
 LG3 Stabilisierungslast + 1.5°Wind 90° Sog  
 LG4 Stabilisierungslast + 1.5°Wind 90° Druck  
 1.10  
 Teilsicherheitsbeiwert Gamma-M: Nachweismethode 1 nach EI (321)  
 Bemessungsmethode nach DIN 18800: Elastisch-Plastisch nach DIN 18800  
 Nachweisverfahren: ☒  
 Überprüfung von grenz (b/t) ☒

**MATERIALDATEN**

Mat.-Nr.	Material-Bezeichnung	E-Modul E [N/mm <sup>2</sup> ]	Schubmodul G [N/mm <sup>2</sup> ]	Querdehnzahl Nue [-]	Streckgrenze f-yk [N/mm <sup>2</sup> ]	Max-Bauteildicke t [mm]
1	Stahl S 235	210000.000	81000.000	0.300	240.000 215.000	40.000 100.000

RO 88,9x4

**QUERSCHNITTE**

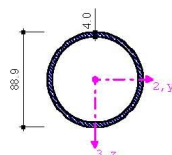
Quer-Nr.	Mat.-Nr.	Querschnitts-Bezeichnung
3	1	RO 88,9x4

**KAPPA-DATEN**

Stab-Nr.	Bezeichnung	Parameter
28	Querschnitt Knicken senkrecht zur Achse 2-2 Knicklängenbeiwert Beta-2 Knicklänge s-K,2 Knicklast N-Ki,2 Schlankheit Lambda-K,2 quer Knickspannungslinie Ksl-2 Imperfektionsfaktor Alpha-2 Abminderungsfaktor Kappa-2 Knicken senkrecht zur Achse 3-3	RO 88,9x4 <input checked="" type="checkbox"/> 1.000 4.362 m 104.94 kN 1.562 a 0.210 0.347 <input type="checkbox"/>

**NACHWEIS QUERSCHNITTSSWEISE**

Stab-Nr.	x [mm]	LF LG	Nachweis-kriterium	Kommentar zur Nachweisart		
Querschnitt 3 - RO 88,9x4	0.000	LG1	0.935	4) Nachweis nach (3) erbracht (Planmäßig mittlerer Druck)		
28	88.9					
	Querschnittsmaße	RO 88,9x4				
	D	88.9 mm	t	4.0 mm		
	Querschnittswerte	RO 88,9x4				
	A	10.67 cm <sup>2</sup>	I-2	96.34 cm <sup>4</sup>	Ksl-2	a
	Schnittgrößen					
	N	-75.61 kN	M-2	0.00 kNm	M-2.End	0.00 kNm
	V-3	0.00 kN	M-2.Anf	0.00 kNm		
	Plastische Grenzschnittgrößen					
	N-pl,k	256.05 kN	N-pl,d	232.77 kN		
	Abminderungsfaktor Kappa					
	s-K,2	4.362 m	Lambda-K,2	1.562	Alpha-2	0.21
	N-Ki,2	104.94 kN	Ksl-2	a	Kappa-2	0.347
	Nachweis					
	D-N	0.935 < 1.0				
	Überprüfung von grenz (b/t) - massgebend Feld Nr. 1					
	Typ	Rohr	t	4.0 mm	vorh (d/t)	21.225 < 70.000
	d	84.9 mm	grenz (d/t)	70.000		



## 4.2 2. Hallenschiff

### 4.2.1 Lastfälle

#### Stabilisierungslasten

aus Rahmenriegel IPE 550 ( $h = 550 \text{ mm}$ ;  $t = 11,1 \text{ mm}$ )

$\max M = 314,07 \text{ kNm}$   $\min N = -46,77 \text{ kN}$  (Zweischiffige Halle; Stab 17 LG 13)

Normalkraft im Obergurt des Rahmenriegels:

$$N_{OG} = \frac{\max M}{h-t} - \frac{N}{2} = \frac{314,07 \cdot 1000}{550 - 11,1} + \frac{46,77}{2} = 606,18 \text{ kN}$$

Ersatzbelastung für Vorkrümmung des Rahmenriegels nach DIN 18800-2 EL. 204:

Knickspannungslinie: IPE 550 ausweichen rechtwinklig zur z-Achse  $\rightarrow$  KSL b

Stich der Vorkrümmung:  $w_0 = l/250$

Ersatzbelastung:

$$q_2 = n \cdot \frac{N_{OG} \cdot 8 \cdot w_0}{l^2} = 5,5 \cdot \frac{606,18 \cdot 8}{19 \cdot 250} = 5,62 \frac{\text{kN}}{\text{m}}$$

mit  $n$  = Anzahl der zu stabilisierenden Rahmenriegel je Dachverband

#### Windlasten

Die auf die Giebelwand wirkenden Windkräfte müssen zur Hälfte vom Dachverband weitergeleitet werden, da die Windgiebelstützen als Einfeldträger angenommen werden. Nachfolgend wird die Lasteinzugsbreite des Rahmenriegels bestimmt:

$$\text{Giebelwandfläche } A = b \cdot h_{\text{Traufe}} + \left(\frac{b}{2}\right)^2 \cdot \tan \alpha = 19 \cdot 7 + \left(\frac{19}{2}\right)^2 \cdot \tan 5^\circ = 140,9 \text{ m}^2$$

$$\text{Lasteinzugsbreite } b = \frac{1}{2} \cdot \frac{A}{b} = \frac{1}{2} \cdot \frac{140,9}{19} = 3,71 \text{ m}$$

Die Lastfälle infolge Windbeanspruchung werden in Ansatz gebracht, indem die ermittelten Flächenlasten für Winddruck auf die Wände und die zugehörigen Innendrucke mit der Lasteinzugsbreite multipliziert werden.



## 4.2.2 Ausdruckprotokoll RSTAB 5.14 – Dachverband 2. Hallenschiff

Projekt: Bachelorarbeit	Position: Dachverband 2. Hallenschiff	Seite: 1
-------------------------	---------------------------------------	----------

**INHALT**

Inhalt .....	1
Basisangaben .....	1
Strukturdaten .....	1
Knoten .....	1
Materialien .....	2
Querschnitte .....	2
Stäbe .....	2
Auflager .....	2
Stabzüge .....	2
Grafik - Struktur .....	3
Belastungen .....	3
Basisangaben der Lastfälle .....	3
LF 1 - Stabilisierungslast für Sog auf Giebelwand .....	3
LF 2 - Stabilisierungslast für Druck auf Giebelwand .....	3
LF 3 - Wind 0° von links (Sog auf Giebelwand) .....	3
LF 4 - Wind 0° von rechts (Sog auf Giebelwand) .....	4
LF 5 - Wind 90° (Sog auf Giebelwand) .....	4
LF 6 - Wind 90° (Druck auf Giebelwand) .....	4
LF-Gruppen .....	4
LF-, LG-Ergebnisse .....	5
Daten zur Theorie II. Ordnung .....	5
Schnittgrößen querschnittsbezogen .....	5
Auflagerkräfte und -momente .....	5
STAHL .....	5
STAHL1 - Spannungsanalyse .....	5
Basisangaben .....	5
Grenzspannungen .....	5
Querschnitte (3) .....	5
Ergebnisse .....	5
Max. Spannungen in Querschnitten .....	5
KAPPA .....	5
KAPPA1 - Biegeknicknachweis .....	6
Basisangaben .....	6
Materialdaten .....	6
Querschnitte .....	6
KAPPA-Daten (36) .....	6
Ergebnisse .....	6
Nachweis querschnittsweise .....	6

**BASISANGABEN****BERECHNUNGSART**

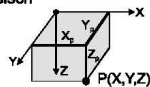
- |  |   |
|--|---|
| <input checked="" type="checkbox"/> Statik     | <input checked="" type="checkbox"/> Theorie I. Ordnung  |
| <input type="checkbox"/> Nachweis              | <input checked="" type="checkbox"/> Theorie II. Ordnung |
| <input type="checkbox"/> Dynamik               | <input type="checkbox"/> Seiltheorie                    |
| <input checked="" type="checkbox"/> Lastfälle  | <input checked="" type="checkbox"/> Bemessungsfälle     |
| <input checked="" type="checkbox"/> LF-Gruppen | <input type="checkbox"/> Dynamikfälle                   |
| <input type="checkbox"/> LF-Kombinationen      | <input type="checkbox"/> Knickfiguren                   |

**STRUKTURKENNWERTE**

- |   |                  |                    |
|---|------------------|--------------------|
| <input type="checkbox"/> 1D-Durchlaufträger     | 21 Knoten        | 40 Stäbe           |
| <input checked="" type="checkbox"/> 2D-Stabwerk | 1 Materialien    | 0 Seilstäbe        |
| <input type="checkbox"/> 3D-Stabwerk            | 4 Querschnitte   | 0 Voutenstäbe      |
| <input type="checkbox"/> Trägerrost             | 0 Stabendgelenke | 0 El. gebet. Stäbe |
|   | 0 Stabteilungen  | 2 Stabzüge         |

**STRUKTUR**

Kartesisch

**KNOTEN**

Knoten-Nr.	Koordinaten-system	Bezugs-Knoten	X [m]	Knotenkoordinaten Y [m]	Z [m]
1	Kartesisch	-	0.000		0.000
2	Kartesisch	-	0.000		6.000
3	Kartesisch	-	3.167		0.000
4	Kartesisch	-	3.167		6.000
5	Kartesisch	-	6.333		0.000
6	Kartesisch	-	6.333		6.000
7	Kartesisch	-	9.500		0.000
8	Kartesisch	-	9.500		6.000
9	Kartesisch	-	12.667		0.000
10	Kartesisch	-	12.667		6.000
11	Kartesisch	-	15.833		0.000
12	Kartesisch	-	15.833		6.000
13	Kartesisch	-	19.000		0.000
14	Kartesisch	-	19.000		6.000
15	Kartesisch	-	0.000		3.000
16	Kartesisch	-	3.167		3.000
17	Kartesisch	-	6.333		3.000
18	Kartesisch	-	9.500		3.000
19	Kartesisch	-	12.667		3.000
20	Kartesisch	-	15.833		3.000
21	Kartesisch	-	19.000		3.000

Projekt: Bachelorarbeit

Position: Dachverband 2. Hallenschiff

Seite: 2

## MATERIALIEN

Mater.-Nr.	Material-Bezeichnung	E-Modul [kN/cm <sup>2</sup> ]	Schubmodul [kN/cm <sup>2</sup> ]	Sp. Gewicht [kN/cm <sup>3</sup> ]	Wärmedehn. [1/°C]
1	Stahl	2.100E+04	8.100E+03	7.850E-05	1.200E-05

IPE 600



IPE 200



RO 88,9x4



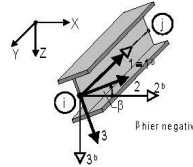
RD 12



## QUERSCHNITTE

Quer.-Nr.	Mater.-Nr.	Querschnitts-Bezeichnung	I <sub>2</sub> [cm <sup>4</sup> ]	A [cm <sup>2</sup> ]	A <sub>3</sub> [cm <sup>2</sup> ]
1	1	IPE 600	92080.00	156.000	
2	1	IPE 200	1940.00	28.500	
3	1	RO 88,9x4	96.34	10.669	
4	1	RD 12	0.10	1.130	

Lokales Stabachsensystem



## STÄBE

Stab-Nr.	Stab-typ	Knoten		Beta [°]	Querschnitt		Gelenk		Teil.-Nr.	Länge [m]	Stab-lage
		Anf.	Ende		Anf.	Ende	Anf.	Ende			
1	Fachwerkstab	1	3	0.00	1	1	-	-	-	3.167	HORI
2	Fachwerkstab	2	4	0.00	1	1	-	-	-	3.167	HORI
3	Fachwerkstab	3	5	0.00	1	1	-	-	-	3.167	HORI
4	Fachwerkstab	4	6	0.00	1	1	-	-	-	3.167	HORI
5	Fachwerkstab	5	7	0.00	1	1	-	-	-	3.167	HORI
6	Fachwerkstab	6	8	0.00	1	1	-	-	-	3.167	HORI
7	Fachwerkstab	7	9	0.00	1	1	-	-	-	3.167	HORI
8	Fachwerkstab	8	10	0.00	1	1	-	-	-	3.167	HORI
9	Fachwerkstab	9	11	0.00	1	1	-	-	-	3.167	HORI
10	Fachwerkstab	10	12	0.00	1	1	-	-	-	3.167	HORI
11	Fachwerkstab	11	13	0.00	1	1	-	-	-	3.167	HORI
12	Fachwerkstab	12	14	0.00	1	1	-	-	-	3.167	HORI
13	Fachwerkstab	1	15	0.00	2	2	-	-	-	3.000	VERT
14	Fachwerkstab	3	16	0.00	2	2	-	-	-	3.000	VERT
15	Fachwerkstab	5	17	0.00	2	2	-	-	-	3.000	VERT
16	Fachwerkstab	7	18	0.00	2	2	-	-	-	3.000	VERT
17	Fachwerkstab	9	19	0.00	2	2	-	-	-	3.000	VERT
18	Fachwerkstab	11	20	0.00	2	2	-	-	-	3.000	VERT
19	Fachwerkstab	13	21	0.00	2	2	-	-	-	3.000	VERT
20	Fachwerkstab	15	2	0.00	2	2	-	-	-	3.000	VERT
21	Fachwerkstab	16	4	0.00	2	2	-	-	-	3.000	VERT
22	Fachwerkstab	17	6	0.00	2	2	-	-	-	3.000	VERT
23	Fachwerkstab	18	8	0.00	2	2	-	-	-	3.000	VERT
24	Fachwerkstab	19	10	0.00	2	2	-	-	-	3.000	VERT
25	Fachwerkstab	20	12	0.00	2	2	-	-	-	3.000	VERT
26	Fachwerkstab	21	14	0.00	2	2	-	-	-	3.000	VERT
27	Fachwerkstab	1	16	0.00	3	3	-	-	-	4.362	ALLG
28	Fachwerkstab	16	2	0.00	3	3	-	-	-	4.362	ALLG
29	Fachwerkstab	3	17	0.00	3	3	-	-	-	4.362	ALLG
30	Fachwerkstab	17	4	0.00	3	3	-	-	-	4.362	ALLG
31	Fachwerkstab	5	18	0.00	3	3	-	-	-	4.362	ALLG
32	Fachwerkstab	18	6	0.00	3	3	-	-	-	4.362	ALLG
33	Fachwerkstab	9	18	0.00	3	3	-	-	-	4.362	ALLG
34	Fachwerkstab	18	10	0.00	3	3	-	-	-	4.362	ALLG
35	Fachwerkstab	11	19	0.00	3	3	-	-	-	4.362	ALLG
36	Fachwerkstab	19	12	0.00	3	3	-	-	-	4.362	ALLG
37	Fachwerkstab	13	20	0.00	3	3	-	-	-	4.362	ALLG
38	Fachwerkstab	20	14	0.00	3	3	-	-	-	4.362	ALLG
39	Fachwerkstab	15	16	0.00	4	4	-	-	-	3.167	HORI
40	Fachwerkstab	20	21	0.00	4	4	-	-	-	3.167	HORI

## AUFLAGER

Lager-Nr.	Gelagerte Knoten	Drehung [°]		Festes Auflager bzw. Feder [kN/m] [kNm/rad]						
		Alpha	Beta	in X	in Y	in Z	um X	um Y	um Z	
1	2	0.0	0.0	Ja				Nein		
2	14	0.0	0.0	Nein		Ja		Nein		

## STABZÜGE

Zug-Nr.	Stabzug-Bezeichnung	Stabzug gebildet aus Stäben
1		1, 3, 5, 7, 9, 11
2		2, 4, 6, 8, 10, 12

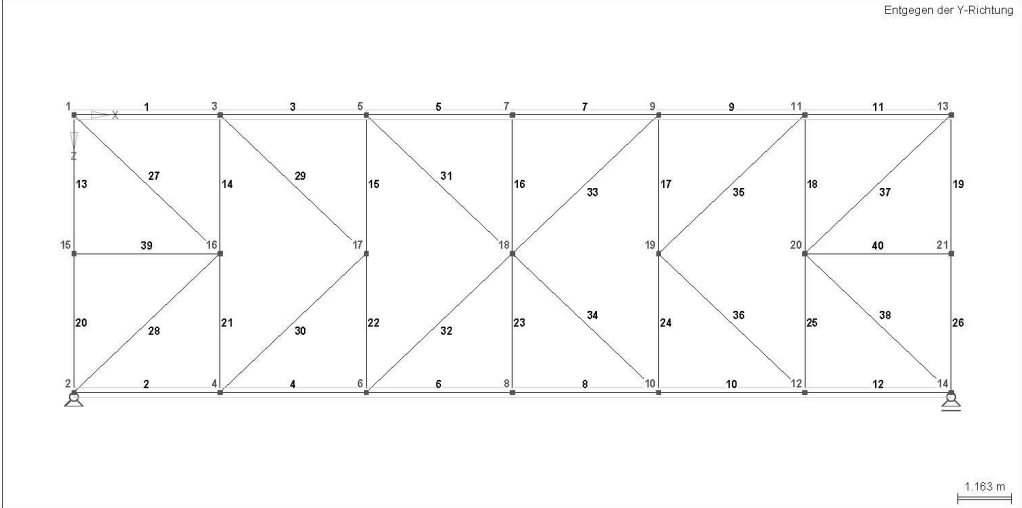
Projekt: Bachelorarbeit

Position: Dachverband 2. Hallenschiff

Seite: 3

STRUKTUR

Entgegen der Y-Richtung

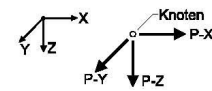


BELASTUNG

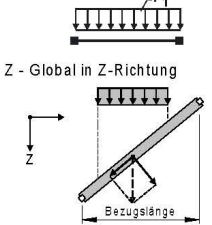
BASISANGABEN DER LASTFÄLLE

LF-Nr.	LF-Bezeichnung	Faktor	Überlagerungsart	Eigengewicht
1	Stabilisierungslast für Sog auf Giebelwand	1.00	Imperfektion	-
2	Stabilisierungslast für Druck auf Giebelwand	1.00	Imperfektion	-
3	Wind 0° von links (Sog auf Giebelwand)	1.00	Veränderlich	-
4	Wind 0° von rechts (Sog auf Giebelwand)	1.00	Veränderlich	-
5	Wind 90° (Sog auf Giebelwand)	1.00	Veränderlich	-
6	Wind 90° (Druck auf Giebelwand)	1.00	Veränderlich	-

Globale Knotenkraft



1- Linienlast



KNOTENKRÄFTE

LF 1

Nr.	Belastete Knoten	P <sub>X</sub> [kN]	Knotenkräfte P <sub>Y</sub> [kN]	P <sub>Z</sub> [kN]
1	2,14	0.000	0.000	-53.390

STABLASTEN

LF 1

Nr.	Belastete Stäbe	Last-art	Last-Richtung	Parameter [kN, kNm, m, °C, kN/m, kNm/m]	P <sub>1</sub>		
1	1	1	Z	5.620			
2	3	1	Z	5.620			
3	5	1	Z	5.620			
4	7	1	Z	5.620			
5	9	1	Z	5.620			
6	11	1	Z	5.620			

KNOTENKRÄFTE

LF 2

Nr.	Belastete Knoten	P <sub>X</sub> [kN]	Knotenkräfte P <sub>Y</sub> [kN]	P <sub>Z</sub> [kN]
1	2,14	0.000	0.000	-53.390

STABLASTEN

LF 2

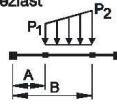
Nr.	Belastete Stäbe	Last-art	Last-Richtung	Parameter [kN, kNm, m, °C, kN/m, kNm/m]	P <sub>1</sub>		
1	2	1	Z	5.620			
2	4	1	Z	5.620			
3	6	1	Z	5.620			
4	8	1	Z	5.620			
5	10	1	Z	5.620			
6	12	1	Z	5.620			

Projekt: Bachelorarbeit

Position: Dachverband 2. Hallenschiff

Seite: 4

4 - Trapezlast



## STABLASTEN

LF 3

Nr.	Belastete Stäbe	Last-art	Last-Richtung	Parameter [kN, kNm, m, °C, kN/m, kNm/m]			
				P <sub>1</sub>	P <sub>2</sub>	A	B
1	2	4	Z	2.370	2.370	0.000	2.660
2	2	4	Z	1.480	1.480	2.660	3.16667
3	4	4	Z	1.480	1.480	0.000	3.16667
4	6	4	Z	1.480	1.480	0.000	3.16667
5	8	4	Z	1.480	1.480	0.000	3.16667
6	10	4	Z	1.480	1.480	0.000	3.16667
7	12	4	Z	1.480	1.480	0.000	3.16667
8	2	1	Z	0.590			
9	4	1	Z	0.590			
10	6	1	Z	0.590			
11	8	1	Z	0.590			
12	10	1	Z	0.590			
13	12	1	Z	0.590			

## STABLASTEN

LF 4

Nr.	Belastete Stäbe	Last-art	Last-Richtung	Parameter [kN, kNm, m, °C, kN/m, kNm/m]			
				P <sub>1</sub>	P <sub>2</sub>	A	B
1	2	4	Z	2.370	2.370	0.000	3.16667
2	4	4	Z	2.370	2.370	0.000	3.16667
3	6	4	Z	2.370	2.370	0.000	3.16667
4	8	4	Z	2.370	2.370	0.000	3.16667
5	10	4	Z	2.370	2.370	0.000	2.00333
6	10	4	Z	3.560	3.560	2.00333	3.16667
7	12	4	Z	3.560	3.560	0.000	3.16667
8	2	1	Z	0.590			
9	4	1	Z	0.590			
10	6	1	Z	0.590			
11	8	1	Z	0.590			
12	10	1	Z	0.590			
13	12	1	Z	0.590			

## STABLASTEN

LF 5

Nr.	Belastete Stäbe	Last-art	Last-Richtung	Parameter [kN, kNm, m, °C, kN/m, kNm/m]			
				P <sub>1</sub>			
1	2	1	Z	0.590			
2	4	1	Z	0.590			
3	6	1	Z	0.590			
4	8	1	Z	0.590			
5	10	1	Z	0.590			
6	12	1	Z	0.590			
7	2	1	Z	0.890			
8	4	1	Z	0.890			
9	6	1	Z	0.890			
10	8	1	Z	0.890			
11	10	1	Z	0.890			
12	12	1	Z	0.890			

## STABLASTEN

LF 6

Nr.	Belastete Stäbe	Last-art	Last-Richtung	Parameter [kN, kNm, m, °C, kN/m, kNm/m]			
				P <sub>1</sub>			
1	1	1	Z	2.080			
2	3	1	Z	2.080			
3	5	1	Z	2.080			
4	7	1	Z	2.080			
5	9	1	Z	2.080			
6	11	1	Z	2.080			
7	1	1	Z	0.890			
8	3	1	Z	0.890			
9	5	1	Z	0.890			
10	7	1	Z	0.890			
11	9	1	Z	0.890			
12	11	1	Z	0.890			

## LF-GRUPPEN

LG-Nr.	LG-Bezeichnung	Faktor	Beiwert $\gamma_M$	Lastfälle in LG
1	Stabilisierungslast + 1.5°Wind 0° von links	1.00	1.10	LF1 + 1.50°LF3
2	Stabilisierungslast + 1.5°Wind 0° von rechts	1.00	1.10	LF1 + 1.50°LF4
3	Stabilisierungslast + 1.5°Wind 90° Druck	1.00	1.10	LF1 + 1.50°LF5
4	Stabilisierungslast + 1.5°Wind 90° Sog	1.00	1.10	LF2 + 1.50°LF6

Projekt: Bachelorarbeit	Position: Dachverband 2. Hallenschiff	Seite: 5
-------------------------	---------------------------------------	----------

## DATEN ZUR THEORIE II. ORDNUNG

LG-Nr.	Faktor Ny	Anzahl Iterationen	Eps-Konvergenz		Ny-fache Ergebnisse	Entlastung durch Zugkräfte
			vorhanden	gewollt		
LG1	1.000	2		23E-03	0.01	Ja
LG2	1.000	2		31E-03	0.01	Ja
LG3	1.000	2		19E-03	0.01	Ja
LG4	1.000	2		30E-03	0.01	Ja

## SCHNITTGRÖSSEN QUERSCHNITTSBEZOGEN

Stab-Nr.	LF/LG-Nr.	Knoten-Nr.	x [m]	N	Kräfte [kN] Q <sub>2</sub>	Q <sub>3</sub>	T	Momente [kNm] M <sub>2</sub>	M <sub>3</sub>
<b>Querschnitt-Nr. 2: IPE 200</b>									
25	LG2	MAX N	.00	42.23	.00	.00			
19	LG2	MIN N	.00	-50.74	.00	.00			
13	LG1	MAX Q-3	.00	-44.06	.00	.00			
13	LG1	MIN Q-3	.00	-44.06	.00	.00			
<b>Querschnitt-Nr. 3: RO 88,9x4</b>									
37	LG2	MAX N	4.36	60.88	.00	.00			
38	LG2	MIN N	.00	-60.84	.00	.00			
27	LG1	MAX Q-3	.00	51.16	.00	.00			
27	LG1	MIN Q-3	.00	51.16	.00	.00			

## AUFLAGERKRÄFTE UND -MOMENTE

Knoten-Nr.	LF/LG-Nr.	P <sub>x</sub>	Auflagerkräfte [kN] P <sub>y</sub>	P <sub>z</sub>	M <sub>x</sub>	Auflagemomente [kNm] M <sub>y</sub>	M <sub>z</sub>
2	LF3	.000	.000	21.867	.000	.000	.000
	LF4	.000	.000	28.707	.000	.000	.000
	LF5	.000	.000	14.060	.000	.000	.000
	LF6	.000	.000	28.215	.000	.000	.000
14	LF3	.000	.000	19.831	.000	.000	.000
	LF4	.000	.000	32.686	.000	.000	.000
	LF5	.000	.000	14.060	.000	.000	.000
	LF6	.000	.000	28.215	.000	.000	.000
ΣKräfte	LF3	.000	.000	41.697			
	ΣLasten	.000	.000	41.697			
	LF4	.000	.000	61.393			
	ΣLasten	.000	.000	61.393			
ΣKräfte	LF5	.000	.000	28.120			
	ΣLasten	.000	.000	28.120			
	LF6	.000	.000	56.430			
	ΣLasten	.000	.000	56.430			

## STAHL1 - SPANNUNGSANALYSE

## BASISANGABEN

ZU BEMESSENDE STÄBE  
27-38ZU BEMESSENDE LASTFÄLLE  
LG1 - Stabilisierungslast + 1.5°Wind 0° von links  
LG2 - Stabilisierungslast + 1.5°Wind 0° von rechts  
LG3 - Stabilisierungslast + 1.5°Wind 90° Druck  
LG4 - Stabilisierungslast + 1.5°Wind 90° Sog

## GRENZSPANNUNGEN

Mat.-Nr.	Material-Bezeichnung	Material-Norm, Kriterium	Grenzspannungen [kN/cm²]		
			Sigma	Tau	Sigma-v
1	Stahl	DIN 18800 t ≤ 40 mm	21.82	12.6	21.82

## QUERSCHNITTE

Quer.-Nr.	Mat.-Nr.	Querschnittsbezeichnung Querschnittsdrehung	I-T [cm⁴] A [cm²]	I-2 [cm⁴] Alpha pl. y	I-3 [cm⁴] Alpha pl. z
3	1	RO 88,9x4	0.00 10.67	96.34 1.00	0.00 1.00

RO 88,9x4



## MAX. SPANNUNGEN IN QUERSCHNITTEN

Spannungsart	Stab-Nr.	x-Stelle [m]	S-Punkt Nr.	LF Nr.	Spannung [kN/cm²] vorh	Spannung [kN/cm²] grenz	Ausnutzung
Querschnitt Nr. 3 - RO 88,9x4							
	Sigma gesamt	27	0.000	1	LG2	5.71	21.82
	Tau gesamt	27	0.000	1	LG1	0.00	12.60
Sigma-v	37	0.000	1	LG2	5.71	21.82	0.26

Projekt: Bachelorarbeit	Position: Dachverband 2. Hallenschiff	Seite: 6
-------------------------	---------------------------------------	----------

**KAPPA1 - BIEGEKNICKNACHWEIS****BASISANGABEN**

Zu bemessende Stäbe: 27-38  
 Zu bemessende LF-Gruppen: LG1 Stabilisierungslast + 1.5°Wind 0° von links  
 LG2 Stabilisierungslast + 1.5°Wind 0° von rechts  
 LG3 Stabilisierungslast + 1.5°Wind 90° Druck  
 LG4 Stabilisierungslast + 1.5°Wind 90° Sog  
 1.10  
 Teilsicherheitsbeiwert Gamma-M: Nachweismethode 1 nach EI, (321)  
 Bemessungsmethode nach DIN 18800: Elastisch-Plastisch nach DIN 18800  
 Nachweisverfahren: ☒  
 Überprüfung von grenz (b/t) ☒

**MATERIALDATEN**

Mat.-Nr.	Material-Bezeichnung	E-Modul E [N/mm <sup>2</sup> ]	Schubmodul G [N/mm <sup>2</sup> ]	Querdehnzahl Nue [-]	Streckgrenze f-yk [N/mm <sup>2</sup> ]	Max-Bauteildicke t [mm]
1	Stahl S 235	210000.000	81000.000	0.300	240.000 215.000	40.000 100.000

RO 88,9x4

**QUERSCHNITTE**

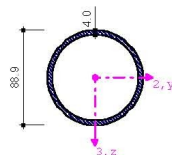
Quer-Nr.	Mat.-Nr.	Querschnitts-Bezeichnung
3	1	RO 88,9x4

**KAPPA-DATEN**

Stab-Nr.	Bezeichnung	Parameter
38	Querschnitt Knicken senkrecht zur Achse 2-2 Knicklängenbeiwert Beta-2 Knicklänge s-Ki,2 Knicklast N-Ki,2 Schlankheit Lambda-K,2 quer Knickspannungslinie Ksl-2 Imperfektionsfaktor Alpha-2 Abminderungsfaktor Kappa-2 Knicken senkrecht zur Achse 3-3	RO 88,9x4 <input checked="" type="checkbox"/> 1.000 4.362 m 104.94 kN 1.562 a 0.210 0.347 <input type="checkbox"/>

**NACHWEIS QUERSCHNITTSSWEISE**

Stab-Nr.	x [mm]	LF LG	Nachweis-kriterium	Kommentar zur Nachweisart		
Querschnitt 3 - RO 88,9x4	0.000	LG2	0.752	4) Nachweis nach (3) erbracht (Planmäßig mittlerer Druck)		
38	88.9					
	Querschnittsmaße RO 88,9x4					
	D 88.9 mm			t 4.0 mm		
	Querschnittswerte RO 88,9x4					
	A 10.67 cm <sup>2</sup>		I-2	96.34 cm <sup>4</sup>	Ksl-2	a
	Schnittgrößen					
	N -60.84 kN		M-2	0.00 kNm	M-2.End	0.00 kNm
	V-3 0.00 kN		M-2.Anf	0.00 kNm		
	Plastische Grenzschnittgrößen					
	N-pl,k 256.05 kN		N-pl,d	232.77 kN		
	Abminderungsfaktor Kappa					
	s-Ki,2 4.362 m		Lambda-K,2	1.562	Alpha-2	0.21
	N-Ki,2 104.94 kN		Ksl-2	a	Kappa-2	0.347
	Nachweis					
	D-N 0.752 < 1.0					
	Überprüfung von grenz (b/t) - massgebend Feld Nr. 1					
	Typ Rohr		t 4.0 mm	vord (d/t)		21.225 < 70.000
	d 84.9 mm		grenz (d/t) 70.000			



## 5 Wandverbände

### 5.1 Wandverband linke Achse

#### 5.1.1 Lastfälle

##### Stabilisierungslast

infolge Stützenschiefstellung nach DIN 18800-2 El. 205 Ansatz von Vorverdrehungen  
Normalkräfte in den linken Stützen:

$N_1 = 352,769 \text{ kN}$  (zweischiffige Halle; Auflagerkraft  $P_z$  Knoten 1; LG10)

$N_2 = 176,726 \text{ kN}$  (zweischiffige Halle; Auflagerkraft  $P_z$  Knoten 1; LG1)

Anmerkung: Mit  $N_1$  wird die maximale Last infolge Kranbetrieb berücksichtigt.

$$\text{Vorverdrehung für einteilige Stäbe } \varphi_0 = \frac{1}{200} * r_1 * r_2 = \frac{1}{200} * \sqrt{\frac{5}{10}} * \frac{1}{2} * \left(1 + \sqrt{\frac{1}{5,5}}\right) = 0,00252$$

$$\text{mit } r_1 = \sqrt{\frac{5}{1}} = \sqrt{\frac{5}{10}} \quad \text{und} \quad r_2 = \frac{1}{2} \left(1 + \sqrt{\frac{1}{n}}\right) = \frac{1}{2} \left(1 + \sqrt{\frac{1}{5,5}}\right)$$

$n$  = Anzahl der zu stabilisierenden Stützen

##### Ersatzbelastung

$$F = (N_1 + (n - 1) * N_2) * \varphi_0 = (353,606 + (5,5 - 1) * 176,964) * 0,00252 = 2,90 \text{ kN}$$

##### Windlasten

Wind  $0^\circ$  von links

$F_k = -45,927 \text{ kN}$  (Dachverband 1. Hallenschiff; Auflagerkraft  $P_z$  Knoten 2; LF 3)

Wind  $0^\circ$  von rechts

$F_k = -27,878 \text{ kN}$  (Dachverband 1. Hallenschiff; Auflagerkraft  $P_z$  Knoten 2; LF 4)

Wind  $90^\circ$  (Sog auf Giebelwand)

$F_k = -19,76 \text{ kN}$  (Dachverband 1. Hallenschiff; Auflagerkraft  $P_z$  Knoten 2; LF 5)

Wind  $90^\circ$  (Druck auf Giebelwand)

$F_k = +39,615 \text{ kN}$  (Dachverband 1. Hallenschiff; Auflagerkraft  $P_z$  Knoten 2; LF 6)

##### Pufferkräfte

infolge Kranbetrieb

2 t-Kran  $P = 15,5 \text{ kN}$  (gemäß Kran-Datenblatt der Anlage 1)

10 t-Kran  $P = 24,2 \text{ kN}$  (gemäß Kran-Datenblatt der Anlage 1)

## 5.1.2 Ausdruckprotokoll RSTAB 5.14 – Wandverband linke Achse

Projekt: Bachelorarbeit	Position: Wandverband linke Achse	Seite: 1
-------------------------	-----------------------------------	----------

## INHALT

Inhalt .....	1
Basisangaben .....	1
Strukturdaten .....	
Knoten .....	1
Materialien .....	1
Querschnitte .....	2
Stabendgelenke .....	2
Stäbe .....	2
Auflager .....	2
Grafik - Struktur .....	3
Belastungen .....	
Basisangaben der Lastfälle .....	3
LF 2 - Wind 0° von links (Sog auf Giebelwand) .....	3
LF 3 - Wind 0° von rechts (Sog auf Giebelwand) .....	3
LF 4 - Wind 90° (Sog auf Giebelwand) .....	3
LF 5 - Wind 90° (Druck auf Giebelwand) .....	3
LF 6 - Stabilisierungslast für Sog auf Giebelwand .....	4
LF 7 - Stabilisierungslast für Druck auf Giebelwand .....	4
LF 8 - Pufferkraft 2t-Kran .....	4
LF 9 - Pufferkraft 10t-Kran .....	4
LF-Gruppen .....	4
LF-, LG-Ergebnisse .....	
Daten zur Theorie II. Ordnung .....	4
Schnittgrößen querschnittsbezogen .....	4
STAHL .....	5
STAHL1 - Spannungsanalyse .....	5
Basisangaben .....	5
Grenzspannungen .....	5
Querschnitte (5.6) .....	5
Ergebnisse .....	5
Max. Spannungen in Querschnitten .....	5
KAPPA .....	5
KAPPA1 - Biegeknicknachweis .....	6
Basisangaben .....	6
Materialdaten .....	6
Querschnitte .....	6
KAPPA-Daten (10) .....	6
Ergebnisse .....	6
Nachweis querschnittsweise .....	6

## BASISANGABEN

## BERECHNUNGSART

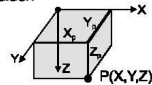
- |  |   |
|--|---|
| <input checked="" type="checkbox"/> Statik     | <input checked="" type="checkbox"/> Theorie I. Ordnung  |
| <input type="checkbox"/> Nachweis              | <input checked="" type="checkbox"/> Theorie II. Ordnung |
| <input type="checkbox"/> Dynamik               | <input type="checkbox"/> Seiltheorie                    |
| <input checked="" type="checkbox"/> Lastfälle  | <input checked="" type="checkbox"/> Bemessungsfälle     |
| <input checked="" type="checkbox"/> LF-Gruppen | <input type="checkbox"/> Dynamikfälle                   |
| <input type="checkbox"/> LF-Kombinationen      | <input type="checkbox"/> Knickfiguren                   |

## STRUKTURKENNWERTE

- |   |                  |                    |
|---|------------------|--------------------|
| <input type="checkbox"/> 1D-Durchlaufträger     | 10 Knoten        | 19 Stäbe           |
| <input type="checkbox"/> 2D-Stabwerk            | 1 Materialien    | 0 Seilstäbe        |
| <input checked="" type="checkbox"/> 3D-Stabwerk | 6 Querschnitte   | 0 Voutenstäbe      |
| <input type="checkbox"/> Trägerrost             | 2 Stabendgelenke | 0 El. gebet. Stäbe |
|   | 0 Stabteilungen  | 0 Stabzüge         |

## STRUKTUR

Kartesisch



## KNOTEN

Knoten-Nr.	Koordinatensystem	Bezugs-Knoten	X [m]	Knotenkoordinaten Y [m]	Z [m]
1	Kartesisch	-	0.000	0.000	0.000
2	Kartesisch	-	6.000	0.000	0.000
3	Kartesisch	-	0.000	0.000	-6.000
4	Kartesisch	-	6.000	0.000	-6.000
5	Kartesisch	-	0.000	0.000	-8.000
6	Kartesisch	-	6.000	0.000	-8.000
7	Kartesisch	-	0.000	0.000	-10.000
8	Kartesisch	-	6.000	0.000	-10.000
9	Kartesisch	3	0.000	0.500	0.000
10	Kartesisch	5	0.000	0.500	0.000

## MATERIALIEN

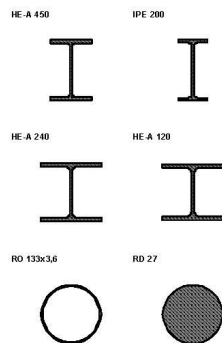
Mater.-Nr.	Material-Bezeichnung	E-Modul [kN/cm <sup>2</sup> ]	Schubmodul [kN/cm <sup>2</sup> ]	Sp. Gewicht [kN/cm <sup>3</sup> ]	Wärmedehn. [1/°C]
1	Stahl	2.100E+04	8.100E+03	7.850E-05	1.200E-05



Projekt: Bachelorarbeit

Position: Wandverband linke Achse

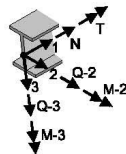
Seite: 2



## QUERSCHNITTE

Quer.-Nr.	Mater.-Nr.	Querschnittsbezeichnung Querschnitts-drehung	$I_T$ A	$I_2$ A <sub>2</sub>	$I_3$ [cm <sup>4</sup> ] A <sub>3</sub> [cm <sup>2</sup> ]
1	1	HE-A 450 $\alpha = 90,00^\circ$	245,00 178,000	63720,00	9470,00
2	1	IPE 200	7,02 28,500	1940,00	142,00
3	1	HE-A 240	41,70 76,800	7760,00	2770,00
4	1	HE-A 120	8,02 25,300	606,00	231,00
5	1	RO 133x3,6	612,63 14,635	306,55	306,55
6	1	RD 27	5,22 5,730	2,61	2,61

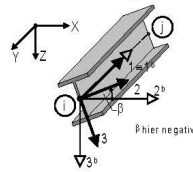
## Lokale Gelenkdefinition



## STABENDGELENKE

Gelenk-Nr.	Bezugs-Achse	N/Q-Gelenk bzw. Feder [kN/m]			T/M-Gelenk bzw. Feder [kNm/rad]		
		1-Normal	2-Schub	3-Schub	1-Torsion	2-Biegung	3-Biegung
1	Lokal	Nein	Nein	Nein	Nein	Nein	Ja
2	Lokal	Nein	Nein	Nein	Nein	Ja	Ja

## Lokales Stabachsensystem



## STÄBE

Stab-Nr.	Stab-typ	Knoten		Beta [°]	Querschnitt		Gelenk		Teil.-Nr.	Länge [m]	Stab-lage
		Anf.	Ende		Anf.	Ende	Anf.	Ende			
1	Balken	1	3	0,00	1	1	-	-	-	6,000	VERT
2	Balken	3	5	0,00	1	1	-	-	-	2,000	VERT
3	Balken	5	7	0,00	1	1	-	-	-	2,000	VERT
4	Balken	2	4	0,00	1	1	-	-	-	6,000	VERT
5	Balken	4	6	0,00	1	1	-	-	-	2,000	VERT
6	Balken	6	8	0,00	1	1	-	-	-	2,000	VERT
7	Balken	7	8	0,00	2	2	2	2	-	6,000	HORI
8	Balken	3	9	0,00	3	3	1	-	-	0,500	HORI
9	Balken	5	10	0,00	4	4	1	-	-	0,500	HORI
10	Balken	3	4	0,00	5	5	2	-	-	6,000	HORI
11	Balken	5	6	0,00	5	5	2	2	-	6,000	HORI
12	Zugstab	1	4	0,00	6	6	-	-	-	8,485	ALLG
13	Zugstab	2	3	0,00	6	6	-	-	-	8,485	ALLG
14	Zugstab	3	6	0,00	6	6	-	-	-	6,325	ALLG
15	Zugstab	4	5	0,00	6	6	-	-	-	6,325	ALLG
16	Zugstab	5	8	0,00	6	6	-	-	-	6,325	ALLG
17	Zugstab	6	7	0,00	6	6	-	-	-	6,325	ALLG
18	Fachwerkstab	4	9	0,00	6	6	-	-	-	6,021	HORI
19	Fachwerkstab	6	10	0,00	6	6	-	-	-	6,021	HORI

## AUFLAGER

Lager-Nr.	Gelagerte Knoten	Drehung [°]		Festes Auflager bzw. Feder [kN/m] [kNm/rad]					
		Alpha	Beta	in X	in Y	in Z	um X	um Y	um Z
1	1,2	0,0	0,0	Ja	Ja	Ja	Nein	Nein	Nein
2	7,8	0,0	0,0	Nein	Ja	Nein	Nein	Nein	Ja

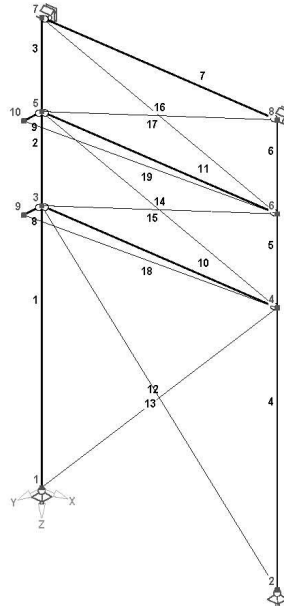
Projekt: Bachelorarbeit

Position: Wandverband linke Achse

Seite: 3

**STRUKTUR**Knotennummerierung  
Stabnummerierung

Isometrie

**BELASTUNG****BASISANGABEN DER LASTFÄLLE**

LF-Nr.	LF-Bezeichnung	Faktor	Überlagerungsart	Eigengewicht
1	Eigengewicht	1.00	Ständig	1.00
2	Wind 0° von links (Sog auf Giebelwand)	1.00	Veränderlich	-
3	Wind 0° von rechts (Sog auf Giebelwand)	1.00	Veränderlich	-
4	Wind 90° (Sog auf Giebelwand)	1.00	Veränderlich	-
5	Wind 90° (Druck auf Giebelwand)	1.00	Veränderlich	-
6	Stabilisierungslast für Sog auf Giebelwand	1.00	Imperfektion	-
7	Stabilisierungslast für Druck auf Giebelwand	1.00	Imperfektion	-
8	Pufferkraft 2t-Kran	1.00	Außergewöhnlich	-
9	Pufferkraft 10t-Kran	1.00	Außergewöhnlich	-

**KNOTENKRÄFTE**

LF 2

Nr.	Belastete Knoten	$P_x$ [kN]	Knotenkräfte $P_y$ [kN]	$P_z$ [kN]
1	7	-45.927	0.000	0.000

**KNOTENKRÄFTE**

LF 3

Nr.	Belastete Knoten	$P_x$ [kN]	Knotenkräfte $P_y$ [kN]	$P_z$ [kN]
1	7	-27.878	0.000	0.000

**KNOTENKRÄFTE**

LF 4

Nr.	Belastete Knoten	$P_x$ [kN]	Knotenkräfte $P_y$ [kN]	$P_z$ [kN]
1	7	-19.760	0.000	0.000

**KNOTENKRÄFTE**

LF 5

Nr.	Belastete Knoten	$P_x$ [kN]	Knotenkräfte $P_y$ [kN]	$P_z$ [kN]
1	7	39.615	0.000	0.000

Projekt: Bachelorarbeit	Position: Wandverband linke Achse	Seite: 4
-------------------------	-----------------------------------	----------

**KNOTENKRÄFTE** LF 6

Nr.	Belastete Knoten	$P_X$ [kN]	Knotenkräfte $P_Y$ [kN]	$P_Z$ [kN]
1	8	-2.900	0.000	0.000

**KNOTENKRÄFTE** LF 7

Nr.	Belastete Knoten	$P_X$ [kN]	Knotenkräfte $P_Y$ [kN]	$P_Z$ [kN]
1	8	2.900	0.000	0.000

**KNOTENKRÄFTE** LF 8

Nr.	Belastete Knoten	$P_X$ [kN]	Knotenkräfte $P_Y$ [kN]	$P_Z$ [kN]
1	10	-15.500	0.000	0.000

**KNOTENKRÄFTE** LF 9

Nr.	Belastete Knoten	$P_X$ [kN]	Knotenkräfte $P_Y$ [kN]	$P_Z$ [kN]
1	9	-24.200	0.000	0.000

**LF-GRUPPEN**

LG-Nr.	LG-Bezeichnung	Faktor	Beiwert $\gamma_M$	Lastfälle in LG
1	1.5°Wind 0° von links + Stabilisierungslast	1.00	1.10	1.35°LF1 + 1.50°LF2 + LF6
2	1.5°Wind 0° von rechts + Stabilisierungslast	1.00	1.10	1.35°LF1 + 1.50°LF3 + LF6
3	1.5°Wind 90° Sog + Stabilisierungslast	1.00	1.10	1.35°LF1 + 1.50°LF4 + LF6
4	1.5°Wind 90° Druck + Stabilisierungslast	1.00	1.10	1.35°LF1 + 1.50°LF5 + LF7
5	Wind 0° von links+Stabilisierungslast+Pufferkraft 2t-Kran	1.00	1.10	LF1 + LF2 + LF6 + LF8
6	Wind 0° von links+Stabilisierungslast+Pufferkraft 10t-Kran	1.00	1.10	LF1 + LF2 + LF6 + LF9

**DATEN ZUR THEORIE II. ORDNUNG**

LG-Nr.	Faktor $N_y$	Anzahl Iterationen	Eps-Konvergenz vorhanden	Eps-Konvergenz gewollt	Ny-fache Ergebnisse	Entlastung durch Zugkräfte
LG1	1.000	5	89E-04	0.01	Ja	Nein
LG2	1.000	5	49E-04	0.01	Ja	Nein
LG3	1.000	5	39E-04	0.01	Ja	Nein
LG4	1.000	5	19E-03	0.01	Ja	Nein
LG5	1.000	5	55E-04	0.01	Ja	Nein
LG6	1.000	5	44E-04	0.01	Ja	Nein

**SCHNITTGRÖSSEN QUERSCHNITTSBEZOGEN**

Stab-Nr.	LF/LG-Nr.	Knoten-Nr.	x [m]	N	Kräfte [kN] $Q_2$	$Q_3$	T	Momente [kNm] $M_2$	$M_3$
<b>Querschnitt-Nr. 5: RO 133x3.6</b>									
11	LG3	MAX N	.00	-29.67	.00	.55	.00	.00	.00
10	LG6	MIN N	.00	-71.15	.00	.57	.00	.00	.00
10	LG1	MAX Q-2	.00	-70.76	.00	.77	.00	.00	.00
10	LG1	MIN Q-2	.86	-70.76	.00	.60	.00	.58	.00
10	LG1	MAX Q-3	.00	-70.76	.00	.77	.00	.00	.00
10	LG1	MIN Q-3	6.00	-70.76	.00	.77	.00	.00	.00
10	LG1	MAX T	6.00	-70.76	.00	.77	.00	.00	.00
11	LG5	MIN T	.00	-58.60	.00	.51	-.01	.00	.00
10	LG1	MAX M-2	3.00	-70.76	.00	.00	.00	1.28	.00
10	LG1	MIN M-2	6.00	-70.76	.00	.77	.00	.00	.00
10	LG1	MAX M-3	1.50	-70.76	.00	.44	.00	.93	.00
10	LG1	MIN M-3	6.00	-70.76	.00	.77	.00	.00	.00
<b>Querschnitt-Nr. 6: RD 27</b>									
13	LG1	MAX N	8.49	104.68	.00	-.18			
18	LG1	MIN N	.00	.00	.00	.18			
12	LG4	MAX Q-2	.00	90.56	.00	.18			
12	LG4	MIN Q-2	.00	90.56	.00	.18			
12	LG4	MAX Q-3	.00	90.56	.00	.18			
12	LG4	MIN Q-3	8.49	90.92	.00	-.18			

Projekt: Bachelorarbeit	Position: Wandverband linke Achse	Seite: 5
-------------------------	-----------------------------------	----------

STAHL1 - SPANNUNGSANALYSE

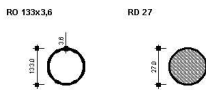
BASISANGABEN

ZU BEMESSENDE STÄBE  
10-21

ZU BEMESSENDE LASTFÄLLE  
LG1 - 1.5°Wind 0° von links + Stabilisierungslast  
LG2 - 1.5°Wind 0° von rechts + Stabilisierungslast  
LG3 - 1.5°Wind 90° Sog + Stabilisierungslast  
LG4 - 1.5°Wind 90° Druck + Stabilisierungslast  
LG5 - Wind 0° von links+Stabilisierungslast+Pufferkraft 2t-Kran  
LG6 - Wind 0° von links+Stabilisierungslast+Pufferkraft 10t-Kran

GRENZSPANNUNGEN

Mat.-Nr.	Material-Bezeichnung	Material-Norm, Kriterium	Grenzspannungen [kN/cm²]		
			Sigma	Tau	Sigma-v
1	Stahl	DIN 18800 t <= 40 mm	21.82	12.6	21.82



QUERSCHNITTE

Quer.-Nr.	Mat.-Nr.	Querschnittsbezeichnung Querschnitts-drehung	I-T [cm⁴] A [cm²]	I-2 [cm⁴] Alpha pl. y	I-3 [cm⁴] Alpha pl. z
5	1	RO 133x3,6	612.63 14.63	306.55 1.00	306.55 1.00
6	1	RD 27	5.22 5.73	2.61 1.00	2.61 1.00

MAX. SPANNUNGEN IN QUERSCHNITTEN

Spannungs-art	Stab-Nr.	x-Stelle [m]	S-Punkt Nr.	LF Nr.	Spannung [kN/cm²]		Aus-nutzung
					vorh	grenz	
Querschnitt Nr. 5 - RO 133x3,6							
Sigma gesamt	10	3.000	10	LG1	-7.57	21.82	0.35
Tau gesamt	10	0.000	1	LG1	0.11	12.60	0.01
Sigma-v	10	3.000	10	LG1	7.57	21.82	0.35
Querschnitt Nr. 6 - RD 27							
Sigma gesamt	13	8.490	1	LG1	18.27	21.82	0.84
Tau gesamt	12	0.000	37	LG4	-0.04	12.60	0.00
Sigma-v	13	8.490	37	LG1	18.27	21.82	0.84

Projekt: Bachelorarbeit	Position: Wandverband linke Achse	Seite: 6
-------------------------	-----------------------------------	----------

## KAPPA1 - BIEGEKNICKNACHWEIS

## BASISANGABEN

Zu bemessende Stäbe:	10,11
Zu bemessende LF-Gruppen:	LG1 1.5°Wind 0° von links + Stabilisierungslast LG2 1.5°Wind 0° von rechts + Stabilisierungslast LG3 1.5°Wind 90° Sog + Stabilisierungslast LG4 1.5°Wind 90° Druck + Stabilisierungslast LG5 Wind 0° von links+Stabilisierungslast+Pufferkraft 2t-Kran LG6 Wind 0° von links+Stabilisierungslast+Pufferkraft 10t-Kran
Teilsicherheitsbeiwert Gamma-M:	1.10
Bemessungsmethode nach DIN 18800:	Nachweismethode 1 nach EI. (321)
Nachweisverfahren:	Elastisch-Plastisch nach DIN 18800
Überprüfung von grenz (b/t)	<input checked="" type="checkbox"/>

## MATERIALDATEN

Mat.-Nr.	Material-Bezeichnung	E-Modul E [N/mm²]	Schubmodul G [N/mm²]	Querdehnzahl $\nu$	Streckgrenze $f_{yk}$ [N/mm²]	Max-Bauteildicke t [mm]
1	Stahl S 235	210000.000	81000.000	0.300	240.000 215.000	40.000 100.000

RO 133x3,6



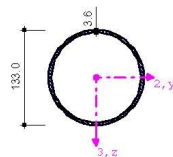
## QUERSCHNITTE

Quer.-Nr.	Mat.-Nr.	Querschnitts-Bezeichnung
5	1	RO 133x3,6

## KAPPA-DATEN

Stab-Nr.	Bezeichnung	Parameter
10	Querschnitt Knicken senkrecht zur Achse 2-2 Knicklängenbeiwert Beta-2 Knicklänge s-Ki,2 Knicklast N-Ki,2 Schlankheit Lambda-K,2 quer Knickspannungslinie Ksl-2 Imperfektionfaktor Alpha-2 Abminderungsfaktor Kappa-2 Knicken senkrecht zur Achse 3-3	RO 133x3,6 <input checked="" type="checkbox"/> 1.000 6.000 m 176.49 kN 1.411 a 0.210 0.413 <input type="checkbox"/>

## NACHWEIS QUERSCHNITTSGRÖßEN



Stab-Nr.	x [mm]	LF LG	Nachweis-kriterium	Kommentar zur Nachweisart			
Querschnitt 5 - RO 133x3,6							
10	0.000	LG1	0.717	2) Nachweis nach (3) und (24) erbracht			
Querschnittsmaße RO 133x3,6							
			D 133.0 mm	t	3.6 mm		
Querschnittswerte RO 133x3,6							
			A 14.63 cm²	I-2	306.55 cm⁴	Ksl-2	a
Schnittgrößen							
			N -70.76 kN	M-2,Anf	0.00 kNm	x-M2,max	3.000 m
			V-3 0.77 kN	M-2,End	0.00 kNm		
			M-2 0.00 kNm	M-2,max	1.26 kNm		
Plastische Grenzschnittgrößen							
			N-pl,k 351.24 kN	V-pl,3,d	117.36 kN	M-pl,2,d	13.15 kNm
			N-pl,d 319.30 kN	Delta-VT3	0.007 <= 0.25		
			V-pl,3,k 129.10 kN	M-pl,2,k	14.47 kNm		
Abminderungsfaktor Kappa							
			s-K,2 6.000 m	Lambda-K,2	1.411	Alpha-2	0.21
			N-Ki,2 176.49 kN	Ksl-2	a	Kappa-2	0.413
Beiwert Beta-m,2							
			u Ja	Beta-m,2	1.000		
Nachweis							
			D-N,2 0.537 > 0.1	Delta-n	0.084 <= 0.1		
			D-M,2 0.096	D-NM	0.717 < 1.0		
Überprüfung von grenz (b/t) - massgebend Feld Nr. 1							
			Typ Rohr	t	3.6 mm	vorh (d/t)	35.944 < 70.000
			d 129.4 mm	grenz (d/t)	70.000		

## 5.2 Wandverband mittlere Achse

### 5.2.1 Lastfälle

#### Stabilisierungslast

infolge Stützenschiefstellung nach DIN 18800-2 El. 205 Ansatz von Vorverdrehungen  
Normalkräfte in den linken Stützen:

$N_1 = 593,065 \text{ kN}$  (zweischiffige Halle; Auflagerkraft  $P_z$  Knoten 10; LG14)

$N_2 = 414,904 \text{ kN}$  (zweischiffige Halle; Auflagerkraft  $P_z$  Knoten 10; LG1)

Anmerkung: Mit  $N_1$  wird die maximale Last infolge Kranbetrieb berücksichtigt.

Vorverdrehung für einteilige Stäbe  $\varphi_0 = \frac{1}{200} * r_1 * r_2 = \frac{1}{200} * \sqrt{\frac{5}{10}} * \frac{1}{2} * \left(1 + \sqrt{\frac{1}{5,5}}\right) = 0,00252$

mit  $r_1 = \sqrt{\frac{5}{1}} = \sqrt{\frac{5}{10}}$  und  $r_2 = \frac{1}{2} \left(1 + \sqrt{\frac{1}{n}}\right) = \frac{1}{2} \left(1 + \sqrt{\frac{1}{5,5}}\right)$

$n$  = Anzahl der zu stabilisierenden Stützen

#### Ersatzbelastung

$F = (N_1 + (n - 1) * N_2) * \varphi_0 = (593,065 + (5,5 - 1) * 414,904) * 0,00252 = 6,20 \text{ kN}$

#### Windlasten

Wind  $0^\circ$  von links

$F_k = -40,344 \text{ kN}$  (Dachverband 1. Hallenschiff; Auflagerkraft  $P_z$  Knoten 14; LF 3)

$F_k = -21,867 \text{ kN}$  (Dachverband 2. Hallenschiff; Auflagerkraft  $P_z$  Knoten 2; LF 3)

Wind  $0^\circ$  von rechts

$F_k = -30,737 \text{ kN}$  (Dachverband 1. Hallenschiff; Auflagerkraft  $P_z$  Knoten 14; LF 4)

$F_k = -28,707 \text{ kN}$  (Dachverband 2. Hallenschiff; Auflagerkraft  $P_z$  Knoten 2; LF 4)

Wind  $90^\circ$  (Sog auf Giebelwand)

$F_k = -19,76 \text{ kN}$  (Dachverband 1. Hallenschiff; Auflagerkraft  $P_z$  Knoten 14; LF 5)

$F_k = -14,06 \text{ kN}$  (Dachverband 2. Hallenschiff; Auflagerkraft  $P_z$  Knoten 2; LF 5)

Wind  $90^\circ$  (Druck auf Giebelwand)

$F_k = +39,615 \text{ kN}$  (Dachverband 1. Hallenschiff; Auflagerkraft  $P_z$  Knoten 14; LF 6)

$F_k = +28,215 \text{ kN}$  (Dachverband 2. Hallenschiff; Auflagerkraft  $P_z$  Knoten 2; LF 6)

#### Pufferkräfte

infolge Kranbetrieb

2 t-Kran  $P = 15,5 \text{ kN}$  (gemäß Kran-Datenblatt der Anlage 1)

10 t-Kran  $P = 24,2 \text{ kN}$  (gemäß Kran-Datenblatt der Anlage 1)

## 5.2.2 Ausdruckprotokoll RSTAB 5.14 – Wandverband mittlere Achse

Projekt: Bachelorarbeit	Position: Wandverband mittlere Achse	Seite: 1
-------------------------	--------------------------------------	----------

### INHALT

Inhalt .....	1
Basisangaben .....	1
Strukturdaten .....	1
Knoten .....	1
Materialien .....	1
Querschnitte .....	1
Stabendgelenke .....	2
Stäbe .....	2
Auflager .....	2
Grafik - Struktur .....	3
Belastungen .....	3
Basisangaben der Lastfälle .....	3
LF 2 - Wind 0° von links (Sog auf Giebelwand) .....	3
LF 3 - Wind 0° von rechts (Sog auf Giebelwand) .....	3
LF 4 - Wind 90° (Sog auf Giebelwand) .....	3
LF 5 - Wind 90° (Druck auf Giebelwand) .....	4
LF 6 - Stabilisierungslast für Sog auf Giebelwand .....	4
LF 7 - Stabilisierungslast für Druck auf Giebelwand .....	4
LF 8 - Pufferkraft 2t-Kran .....	4
LF 9 - Pufferkraft 10t-Kran .....	4
LF-Gruppen .....	4
LF-, LG-Ergebnisse .....	4
Schnittgrößen querschnittsbezogen .....	4
STAHL .....	5
STAHL1 - Spannungsanalyse .....	5
Basisangaben .....	5
Grenzspannungen .....	5
Querschnitte (5,6) .....	5
Ergebnisse .....	5
Max. Spannungen in Querschnitten (5,6) .....	5
KAPPA .....	5
KAPPA1 - Biegeknicknachweis .....	6
Basisangaben .....	6
Materialdaten .....	6
Querschnitte .....	6
KAPPA-Daten (11) .....	6
Ergebnisse .....	6
Nachweis querschnittsweise .....	6

### BASISANGABEN

#### BERECHNUNGSART

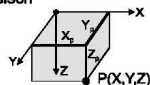
- ☒ Statik  
☐ Nachweis  
☐ Dynamik  
☒ Lastfälle  
☒ LF-Gruppen  
☐ LF-Kombinationen  
☒ Theorie I. Ordnung  
☒ Theorie II. Ordnung  
☐ Seiltheorie  
☒ Bemessungsfälle  
☐ Dynamikfälle  
☐ Knickfiguren

#### STRUKTURKENNWERTE

- ☐ 1D-Durchlaufträger  
☐ 2D-Stabwerk  
☒ 3D-Stabwerk  
☐ Trägerrost  
 12 Knoten  
 1 Materialien  
 6 Querschnitte  
 2 Stabendgelenke  
 0 Stabteilungen  
 24 Stäbe  
 0 Seilstäbe  
 0 Voutenstäbe  
 0 El. gebet. Stäbe  
 0 Stabzüge

### STRUKTUR

Kartesisch



### KNOTEN

Knoten-Nr.	Koordinaten-system	Bezugs-Knoten	X [m]	Knotenkoordinaten Y [m]	Z [m]
1	Kartesisch Gelagert	-	0.000	0.000	0.000
2	Kartesisch Gelagert	-	6.000	0.000	0.000
3	Kartesisch	-	0.000	0.000	-6.000
4	Kartesisch	-	6.000	0.000	-6.000
5	Kartesisch	-	0.000	0.000	-7.000
6	Kartesisch	-	6.000	0.000	-7.000
7	Kartesisch	-	0.000	0.000	-8.000
8	Kartesisch	-	6.000	0.000	-8.000
9	Kartesisch Gelagert	-	0.000	0.000	-10.000
10	Kartesisch Gelagert	-	6.000	0.000	-10.000
11	Kartesisch	-	0.000	0.500	-6.000
12	Kartesisch	-	0.000	0.500	-8.000

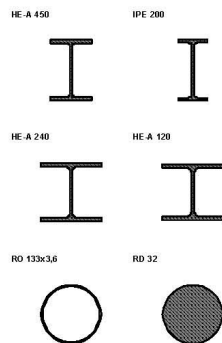
### MATERIALIEN

Mater.-Nr.	Material-Bezeichnung	E-Modul [kN/cm <sup>2</sup> ]	Schubmodul [kN/cm <sup>2</sup> ]	Sp. Gewicht [kN/cm <sup>3</sup> ]	Wärmedehn. [1/°C]
1	Stahl	2.100E+04	8.100E+03	7.850E-05	1.200E-05

Projekt: Bachelorarbeit

Position: Wandverband mittlere Achse

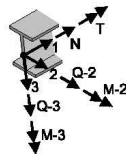
Seite: 2



## QUERSCHNITTE

Quer.-Nr.	Mater.-Nr.	Querschnittsbezeichnung Querschnittsdrehung	$I_T$ A	$I_2$ A <sub>2</sub>	$I_3$ [cm <sup>4</sup> ] A <sub>3</sub> [cm <sup>2</sup> ]
1	1	HE-A 450 $\alpha = 90,00^\circ$	245,00 178,000	63720,00	9470,00
2	1	IPE 200	7,02 28,500	1940,00	142,00
3	1	HE-A 240	41,70 76,800	7760,00	2770,00
4	1	HE-A 120	8,02 25,300	606,00	231,00
5	1	RO 133x3,6	612,63 14,635	306,55	306,55
6	1	RD 32	10,29 8,040	5,15	5,15

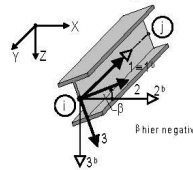
## Lokale Gelenkdefinition



## STABENDGELENKE

Gelenk-Nr.	Bezugs-Achse	N/Q-Gelenk bzw. Feder [kN/m]			T/M-Gelenk bzw. Feder [kNm/rad]		
		1-Normal	2-Schub	3-Schub	1-Torsion	2-Biegung	3-Biegung
1	Lokal	Nein	Nein	Nein	Nein	Nein	Ja
2	Lokal	Nein	Nein	Nein	Nein	Ja	Ja

## Lokales Stabachsensystem



## STÄBE

Stab-Nr.	Stab-typ	Knoten		Beta [°]	Querschnitt		Gelenk		Teil.-Nr.	Länge [m]	Stab-lage
		Anf.	Ende		Anf.	Ende	Anf.	Ende			
1	Balken	1	3	0,00	1	1	-	-	-	6,000	VERT
2	Balken	3	5	0,00	1	1	-	-	-	1,000	VERT
3	Balken	5	7	0,00	1	1	-	-	-	1,000	VERT
4	Balken	7	9	0,00	1	1	-	-	-	2,000	VERT
5	Balken	2	4	0,00	1	1	-	-	-	6,000	VERT
6	Balken	4	6	0,00	1	1	-	-	-	1,000	VERT
7	Balken	6	8	0,00	1	1	-	-	-	1,000	VERT
8	Balken	8	10	0,00	1	1	-	-	-	2,000	VERT
9	Balken	9	10	0,00	2	2	2	2	-	6,000	HORI
10	Balken	7	8	0,00	5	5	-	-	-	6,000	HORI
11	Balken	5	6	0,00	5	5	-	-	-	6,000	HORI
12	Balken	3	4	0,00	5	5	2	2	-	6,000	HORI
13	Balken	7	12	0,00	4	4	1	-	-	0,500	HORI
14	Balken	3	11	0,00	3	3	1	-	-	0,500	HORI
15	Fachwerkstab	4	11	0,00	6	6	-	-	-	6,021	HORI
16	Fachwerkstab	8	12	0,00	6	6	-	-	-	6,021	HORI
17	Zugstab	1	4	0,00	6	6	-	-	-	8,485	ALLG
18	Zugstab	2	3	0,00	6	6	-	-	-	8,485	ALLG
19	Zugstab	3	6	0,00	6	6	-	-	-	6,083	ALLG
20	Zugstab	4	5	0,00	6	6	-	-	-	6,083	ALLG
21	Zugstab	5	8	0,00	6	6	-	-	-	6,083	ALLG
22	Zugstab	7	6	0,00	6	6	-	-	-	6,083	ALLG
23	Zugstab	7	10	0,00	6	6	-	-	-	6,325	ALLG
24	Zugstab	8	9	0,00	6	6	-	-	-	6,325	ALLG

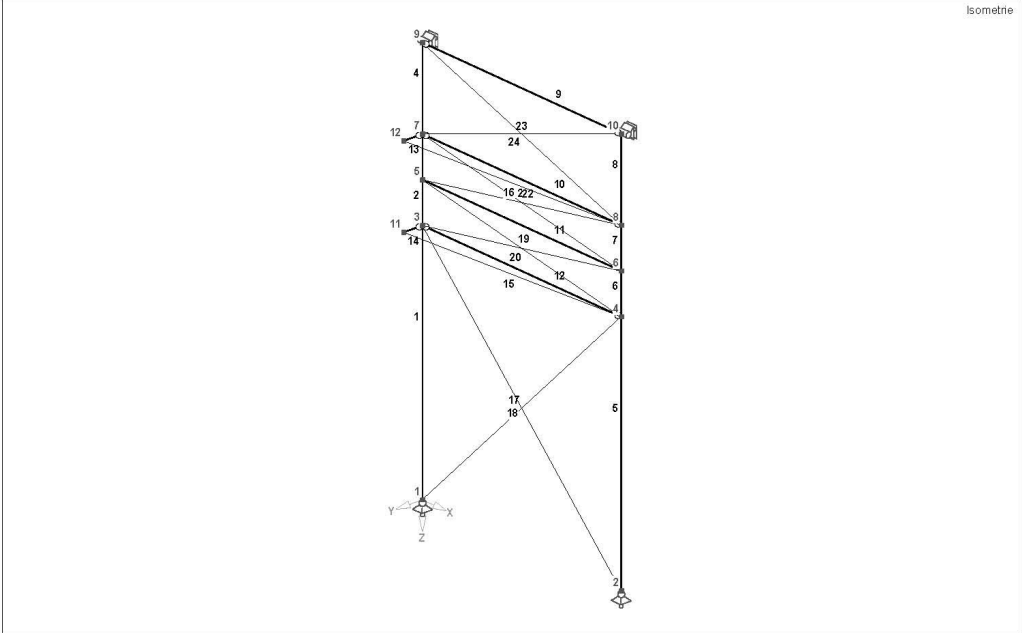
## AUFLAGER

Lager-Nr.	Gelagerte Knoten	Drehung [°]		in X	Festes Auflager bzw. Feder [kN/m] [kNm/rad]				
		Alpha	Beta		in Y	in Z	um X	um Y	um Z
1	1,2	0,0	0,0	Ja	Ja	Ja	Nein	Nein	Nein
2	9,10	0,0	0,0	Nein	Ja	Nein	Nein	Nein	Ja



Projekt: Bachelorarbeit	Position: Wandverband mittlere Achse	Seite: 3
-------------------------	--------------------------------------	----------

STRUKTUR



BELASTUNG

BASISANGABEN DER LASTFÄLLE

LF-Nr.	LF-Bezeichnung	Faktor	Überlagerungsart	Eigengewicht
1	Eigengewicht	1.00	Ständig	1.00
2	Wind 0° von links (Sog auf Giebelwand)	1.00	Veränderlich	-
3	Wind 0° von rechts (Sog auf Giebelwand)	1.00	Veränderlich	-
4	Wind 90° (Sog auf Giebelwand)	1.00	Veränderlich	-
5	Wind 90° (Druck auf Giebelwand)	1.00	Veränderlich	-
6	Stabilisierungslast für Sog auf Giebelwand	1.00	Imperfektion	-
7	Stabilisierungslast für Druck auf Giebelwand	1.00	Imperfektion	-
8	Pufferkraft 2t-Kran	1.00	Außergewöhnlich	-
9	Pufferkraft 10t-Kran	1.00	Außergewöhnlich	-

KNOTENKRÄFTE

LF 2

Nr.	Belastete Knoten	$P_x$ [kN]	Knotenkräfte $P_y$ [kN]	$P_z$ [kN]
1	9	-40.344	0.000	0.000
2	5	-21.867	0.000	0.000

KNOTENKRÄFTE

LF 3

Nr.	Belastete Knoten	$P_x$ [kN]	Knotenkräfte $P_y$ [kN]	$P_z$ [kN]
1	9	-30.737	0.000	0.000
2	5	-28.707	0.000	0.000

KNOTENKRÄFTE

LF 4

Nr.	Belastete Knoten	$P_x$ [kN]	Knotenkräfte $P_y$ [kN]	$P_z$ [kN]
1	9	-19.760	0.000	0.000
2	5	-14.060	0.000	0.000

Projekt: Bachelorarbeit

Position: Wandverband mittlere Achse

Seite: 4

**KNOTENKRÄFTE**

LF 5

Nr.	Belastete Knoten	$P_X$ [kN]	Knotenkräfte $P_Y$ [kN]	$P_Z$ [kN]
1	9	39.615	0.000	0.000
2	5	28.215	0.000	0.000

**KNOTENKRÄFTE**

LF 6

Nr.	Belastete Knoten	$P_X$ [kN]	Knotenkräfte $P_Y$ [kN]	$P_Z$ [kN]
1	10	-6.200	0.000	0.000

**KNOTENKRÄFTE**

LF 7

Nr.	Belastete Knoten	$P_X$ [kN]	Knotenkräfte $P_Y$ [kN]	$P_Z$ [kN]
1	10	6.200	0.000	0.000

**KNOTENKRÄFTE**

LF 8

Nr.	Belastete Knoten	$P_X$ [kN]	Knotenkräfte $P_Y$ [kN]	$P_Z$ [kN]
1	12	-15.500	0.000	0.000

**KNOTENKRÄFTE**

LF 9

Nr.	Belastete Knoten	$P_X$ [kN]	Knotenkräfte $P_Y$ [kN]	$P_Z$ [kN]
1	11	-24.200	0.000	0.000

**LF-GRUPPEN**

LG-Nr.	LG-Bezeichnung	Faktor	Beiwert $\gamma_M$	Lastfälle in LG
1	1.5°Wind 0° von links + Stabilisierungslast	1.00	1.10	1.35°LF1 + 1.50°LF2 + LF6
2	1.5°Wind 0° von rechts + Stabilisierungslast	1.00	1.10	1.35°LF1 + 1.50°LF3 + LF6
3	1.5°Wind 90° Sog + Stabilisierungslast	1.00	1.10	1.35°LF1 + 1.50°LF4 + LF6
4	1.5°Wind 90° Druck + Stabilisierungslast	1.00	1.10	1.35°LF1 + 1.50°LF5 + LF7
5	Wind 0° von links+Stabilisierungslast+Pufferkraft 2t-Kran	1.00	1.10	LF1 + LF2 + LF6 + LF8
6	Wind 0° von links+Stabilisierungslast+Pufferkraft 10t-Kran	1.00	1.10	LF1 + LF2 + LF6 + LF9

**SCHNITTGRÖSSEN QUERSCHNITTSBEZOGEN**

Stab-Nr.	LF/LG-Nr.	Knoten-Nr.	x [m]	N	Kräfte [kN] $Q_2$	$Q_3$	T	Momente [kNm] $M_2$	$M_3$
<b>Querschnitt-Nr. 5: RO 133x3.6</b>									
10	LG3	MAX N	.00	-29.19	.00	.55	.00	.00	.00
12	LG4	MIN N	.00	-82.63	.00	.87	.00	.00	.00
10	LG1	MAX Q-2	.86	-53.59	.00	.50	.00	.00	.00
10	LG1	MIN Q-2	.00	-53.59	.00	.66	.00	.00	.00
11	LG1	MAX Q-3	.86	-55.21	.00	.95	.00	-1.64	.00
11	LG4	MIN Q-3	4.50	-75.74	.00	-1.00	.00	-1.18	.00
10	LG1	MAX T	6.00	-53.59	.00	-.66	.00	.00	.00
10	LG5	MIN T	.00	-48.67	.00	.47	-.01	.00	.00
11	LG4	MAX M-2	.30	-75.74	.00	-.05	.00	1.58	.00
11	LG4	MIN M-2	6.00	-75.74	.00	-.86	.00	-2.61	.00
11	LG6	MAX M-3	.00	-44.27	.00	.71	-.01	-1.84	.01
11	LG6	MIN M-3	6.00	-44.27	.00	.03	-.01	1.07	-.01
<b>Querschnitt-Nr. 6: RD 32</b>									
17	LG4	MAX N	8.49	160.20	.00	-.26			
15	LG1	MIN N	.00	.00	.00	.26			
15	LG1	MAX Q-2	.00	.00	.00	.26			
15	LG1	MIN Q-2	.00	.00	.00	.26			
15	LG1	MAX Q-3	.00	.00	.00	.26			
15	LG1	MIN Q-3	6.02	.00	.00	-.26			

Projekt: Bachelorarbeit	Position: Wandverband mittlere Achse	Seite: 5
-------------------------	--------------------------------------	----------

STAHL1 - SPANNUNGSANALYSE

BASISANGABEN

ZU BEMESSENDE STÄBE  
10-12,15-24

ZU BEMESSENDE LASTFÄLLE  
LG1 - 1.5°Wind 0° von links + Stabilisierungslast  
LG2 - 1.5°Wind 0° von rechts + Stabilisierungslast  
LG3 - 1.5°Wind 90° Sog + Stabilisierungslast  
LG4 - 1.5°Wind 90° Druck + Stabilisierungslast  
LG5 - Wind 0° von links+Stabilisierungslast+Pufferkraft 2t-Kran  
LG6 - Wind 0° von links+Stabilisierungslast+Pufferkraft 10t-Kran

GRENZSPANNUNGEN

Mat.-Nr.	Material-Bezeichnung	Material-Norm, Kriterium	Grenzspannungen [kN/cm²]		
			Sigma	Tau	Sigma-v
1	Stahl	DIN 18800 t <= 40 mm	21.82	12.6	21.82

RO 133x3,6



RD 32



QUERSCHNITTE

Quer.-Nr.	Mat.-Nr.	Querschnittsbezeichnung Querschnitts-drehung	I-T [cm⁴] A [cm²]	I-2 [cm⁴] Alpha pl. y	I-3 [cm⁴] Alpha pl. z
5	1	RO 133x3,6	612.63 14.63	306.55 1.00	306.55 1.00
6	1	RD 32	10.29 8.04	5.15 1.00	5.15 1.00

MAX. SPANNUNGEN IN QUERSCHNITTEN

Spannungs-art	Stab-Nr.	x-Stelle [m]	S-Punkt Nr.	LF Nr.	Spannung [kN/cm²]		Aus-nutzung
					vorh	grenz	
Querschnitt Nr. 5 - RO 133x3,6							
Sigma gesamt	11	6.000	28	LG4	-10.84	21.82	0.50
Tau gesamt	11	4.290	1	LG4	-0.14	12.60	0.01
Sigma-v	11	6.000	28	LG4	10.84	21.82	0.50
Querschnitt Nr. 6 - RD 32							
Sigma gesamt	17	8.490	1	LG4	19.93	21.82	0.91
Tau gesamt	15	0.000	37	LG1	-0.04	12.60	0.00
Sigma-v	17	8.490	37	LG4	19.93	21.82	0.91

Projekt: Bachelorarbeit	Position: Wandverband mittlere Achse	Seite: 6
-------------------------	--------------------------------------	----------

**KAPPA1 - BIEGEKNICKNACHWEIS****BASISANGABEN**

Zu bemessende Stäbe:	10-12
Zu bemessende LF-Gruppen:	LG1 1.5°Wind 0° von links + Stabilisierungslast LG2 1.5°Wind 0° von rechts + Stabilisierungslast LG3 1.5°Wind 90° Sog + Stabilisierungslast LG4 1.5°Wind 90° Druck + Stabilisierungslast LG5 Wind 0° von links+Stabilisierungslast+Pufferkraft 2t-Kran LG6 Wind 0° von links+Stabilisierungslast+Pufferkraft 10t-Kran
Teilsicherheitsbeiwert Gamma-M:	1.10
Bemessungsmethode nach DIN 18800:	Nachweismethode 1 nach EI. (321)
Nachweisverfahren:	Elastisch-Plastisch nach DIN 18800
Überprüfung von grenz (b/t)	<input checked="" type="checkbox"/>

**MATERIALDATEN**

Mat.-Nr.	Material-Bezeichnung	E-Modul E [N/mm²]	Schubmodul G [N/mm²]	Querdehnzahl $\nu$	Streckgrenze $f_{yk}$ [N/mm²]	Max-Bauteildicke t [mm]
1	Stahl S 235	210000.000	81000.000	0.300	240.000 215.000	40.000 100.000

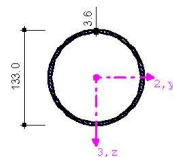
RO 133x3,6

**QUERSCHNITTE**

Quer.-Nr.	Mat.-Nr.	Querschnitts-Bezeichnung
5	1	RO 133x3,6

**KAPPA-DATEN**

Stab-Nr.	Bezeichnung	Parameter
11	Querschnitt Knicken senkrecht zur Achse 2-2 Knicklängenbeiwert Beta-2 Knicklänge s-K,2 Knicklast N-Ki,2 Schlankheit Lambda-K,2 quer Knickspannungslinie Ksl-2 Imperfektionfaktor Alpha-2 Abminderungsfaktor Kappa-2 Knicken senkrecht zur Achse 3-3	RO 133x3,6 <input checked="" type="checkbox"/> 1.000 6.000 m 176.49 kN 1.411 a 0.210 0.413 <input type="checkbox"/>

**NACHWEIS QUERSCHNITTSSWEISE**

Stab-Nr.	x [mm]	LF LG	Nachweis-kriterium	Kommentar zur Nachweisart		
<b>Querschnitt 5 - RO 133x3,6</b>						
11	0.000	LG4	0.856	2) Nachweis nach (3) und (24) erbracht		
<b>Querschnittsmaße RO 133x3,6</b>						
D	133.0 mm		t	3.6 mm		
<b>Querschnittswerte RO 133x3,6</b>						
A	14.63 cm²		I-2	306.55 cm⁴	Ksl-2	a
<b>Schnittgrößen</b>						
N	-75.74 kN		M-2	1.58 kNm	M-2.End	-2.61 kNm
V-3	0.06 kN		M-2,Anf	1.58 kNm		
<b>Plastische Grenzschnittgrößen</b>						
N-pl,k	351.24 kN		V-pl,3,d	117.36 kN	M-pl,2,d	13.15 kNm
N-pl,d	319.30 kN		Delta-VT3	0.001 <= 0.25		
V-pl,3,k	129.10 kN		M-pl,2,k	14.47 kNm		
<b>Abminderungsfaktor Kappa</b>						
s-K,2	6.000 m		Lambda-K,2	1.411	Alpha-2	0.21
N-Ki,2	176.49 kN		Ksl-2	a	Kappa-2	0.413
<b>Beiwert Beta-m,2</b>						
u	Ja		Beta-m,2	1.000		
<b>Nachweis</b>						
D-N,2	0.575 > 0.1		Delta-n	0.083 <= 0.1		
D-M,2	0.198		D-NM	0.856 < 1.0		
<b>Überprüfung von grenz (b/t) - massgebend Feld Nr. 1</b>						
Typ	Rohr		t	3.6 mm	vorf (d/t)	35.944 < 70.000
d	129.4 mm		grenz (d/t)	70.000		

### 5.3 Wandverband rechte Achse

#### 5.3.1 Lastfälle

##### Stabilisierungslast

infolge Stützenschiefstellung nach DIN 18800-2 El. 205 Ansatz von Vorverdrehungen  
Normalkräfte in den linken Stützen:

$N = 163,319 \text{ kN}$  (zweischiffige Halle; Auflagerkraft  $P_z$  Knoten 21; LG11)

Vorverdrehung für einteilige Stäbe  $\varphi_0 = \frac{1}{200} * r_1 * r_2 = \frac{1}{200} * \sqrt{\frac{5}{7}} * \frac{1}{2} * \left(1 + \sqrt{\frac{1}{5,5}}\right) = 0,00301$

mit  $r_1 = \sqrt{\frac{5}{1}} = \sqrt{\frac{5}{7}}$  und  $r_2 = \frac{1}{2} \left(1 + \sqrt{\frac{1}{n}}\right) = \frac{1}{2} \left(1 + \sqrt{\frac{1}{5,5}}\right)$

$n = \text{Anzahl der zu stabilisierenden Stützen}$

Ersatzbelastung

$$F = n * N * \varphi_0 = 5,5 * 163,319 * 0,00301 = 2,70 \text{ kN}$$

##### Windlasten

Wind  $0^\circ$  von links

$F_k = -19,831 \text{ kN}$  (Dachverband 2. Hallenschiff; Auflagerkraft  $P_z$  Knoten 14; LF 3)

Wind  $0^\circ$  von rechts

$F_k = -32,686 \text{ kN}$  (Dachverband 2. Hallenschiff; Auflagerkraft  $P_z$  Knoten 14; LF 4)

Wind  $90^\circ$  (Sog auf Giebelwand)

$F_k = -14,060 \text{ kN}$  (Dachverband 2. Hallenschiff; Auflagerkraft  $P_z$  Knoten 14; LF 5)

Wind  $90^\circ$  (Druck auf Giebelwand)

$F_k = +28,215 \text{ kN}$  (Dachverband 2. Hallenschiff; Auflagerkraft  $P_z$  Knoten 14; LF 6)

## 5.3.2 Ausdruckprotokoll RSTAB 5.14 – Wandverband rechte Achse

Projekt: Bachelorarbeit	Position: Wandverband rechte Achse	Seite: 1
-------------------------	------------------------------------	----------

## INHALT

Inhalt .....	1
Basisangaben .....	1
Strukturdaten .....	
Knoten .....	1
Materialien .....	1
Querschnitte .....	1
Stabengelenke .....	2
Stäbe .....	2
Auflager .....	2
Grafik - Struktur .....	2
Belastungen .....	
Basisangaben der Lastfälle .....	3
LF 1 - Wind 0° von links (Sog auf Giebelwand) .....	3
LF 2 - Wind 0° von rechts (Sog auf Giebelwand) .....	3
LF 3 - Wind 90° (Sog auf Giebelwand) .....	3
LF 4 - Wind 90° (Druck auf Giebelwand) .....	3
LF 5 - Stabilisierungslast für Sog auf Giebelwand .....	3
LF 6 - Stabilisierungslast für Druck auf Giebelwand .....	3
LF-Gruppen .....	3
LF-, LG-Ergebnisse .....	
Schnittgrößen stabbezogen .....	4
STAHL .....	4
STAHL 1 - Spannungsanalyse .....	4
Basisangaben .....	4
Grenzspannungen .....	4
Querschnitte (3) .....	4
Ergebnisse .....	4
Max. Spannungen in Stäben .....	4

## BASISANGABEN

## BERECHNUNGSART

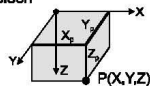
- |  |   |
|--|---|
| <input checked="" type="checkbox"/> Statik     | <input checked="" type="checkbox"/> Theorie I. Ordnung  |
| <input type="checkbox"/> Nachweis              | <input checked="" type="checkbox"/> Theorie II. Ordnung |
| <input type="checkbox"/> Dynamik               | <input type="checkbox"/> Seiltheorie                    |
| <input checked="" type="checkbox"/> Lastfälle  | <input checked="" type="checkbox"/> Bemessungsfälle     |
| <input checked="" type="checkbox"/> LF-Gruppen | <input type="checkbox"/> Dynamikfälle                   |
| <input type="checkbox"/> LF-Kombinationen      | <input type="checkbox"/> Knickfiguren                   |

## STRUKTURKENNWERTE

- |   |                 |                    |
|---|-----------------|--------------------|
| <input type="checkbox"/> 1D-Durchlaufträger     | 4 Knoten        | 5 Stäbe            |
| <input checked="" type="checkbox"/> 2D-Stabwerk | 1 Materialien   | 0 Seilstäbe        |
| <input type="checkbox"/> 3D-Stabwerk            | 3 Querschnitte  | 0 Voutenstäbe      |
| <input type="checkbox"/> Trägerrast             | 1 Stabengelenke | 0 El. gebet. Stäbe |
|   | 0 Stabteilungen | 0 Stabzüge         |

## STRUKTUR

Kartesisch



## KNOTEN

Knoten-Nr.	Koordinatensystem	Bezugs-Knoten	X [m]	Knotenkoordinaten Y [m]	Z [m]
1	Kartesisch Gelagert	-	0.000		0.000
2	Kartesisch Gelagert	-	6.000		0.000
3	Kartesisch Gelagert	-	0.000		-7.000
4	Kartesisch	-	6.000		-7.000

## MATERIALIEN

Mater.-Nr.	Material-Bezeichnung	E-Modul [kN/cm <sup>2</sup> ]	Schubmodul [kN/cm <sup>2</sup> ]	Sp. Gewicht [kN/cm <sup>3</sup> ]	Wärmedehn. [1/C]
1	Stahl	2.100E+04	8.100E+03	7.850E-05	1.200E-05

## QUERSCHNITTE

Quer.-Nr.	Mater.-Nr.	Querschnitts-Bezeichnung	I <sub>2</sub> [cm <sup>4</sup> ]	A [cm <sup>2</sup> ]	A <sub>s</sub> [cm <sup>2</sup> ]
1	1	HE-A 400	45070.00	159.000	
2	1	IPE 200	1940.00	28.500	
3	1	RD 24	1.63	4.520	

HE-A 400



IPE 200

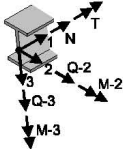


RD 24



Projekt: Bachelorarbeit	Position: Wandverband rechte Achse	Seite: 2
-------------------------	------------------------------------	----------

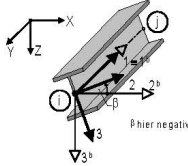
Lokale Gelenkdefinition



STABENGELENKE

Gelenk-Nr.	Bezugs-Achse	N/Q-Gelenk bzw. Feder [kN/m]			T/M-Gelenk bzw. Feder [kNm/rad]		
		1-Normal	2-Schub	3-Schub	1-Torsion	2-Biegung	3-Biegung
1	Lokal	Nein	Nein	Nein	Nein	Ja	Nein

Lokales Stabachsensystem



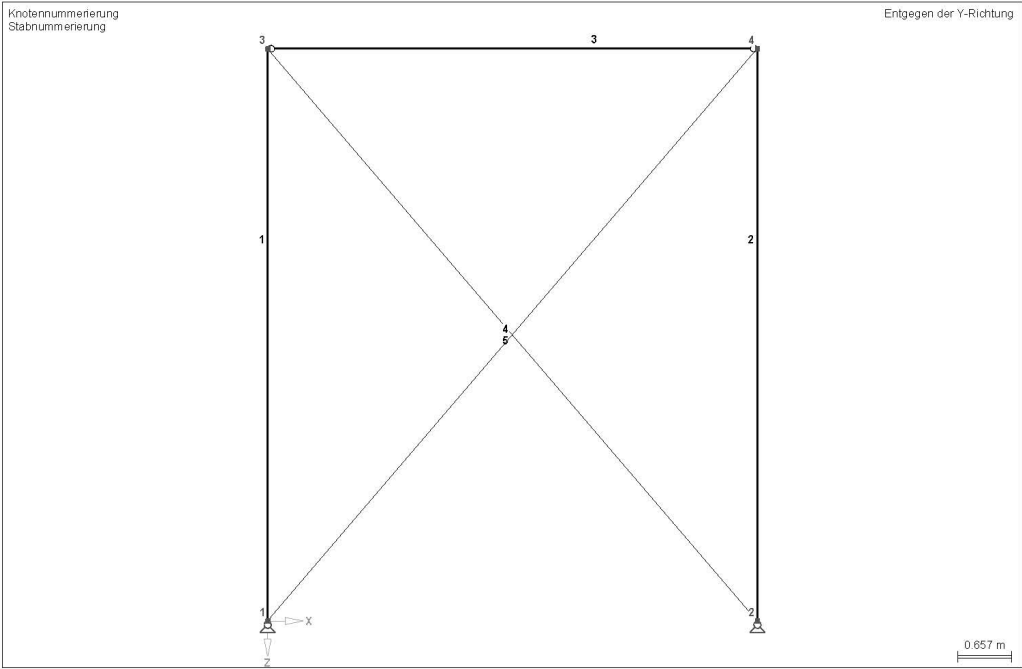
STÄBE

Stab-Nr.	Stab-typ	Knoten		Beta [°]	Querschnitt		Gelenk		Teil.-Nr.	Länge [m]	Stab-lage
		Anf.	Ende		Anf.	Ende	Anf.	Ende			
1	Balken	1	3	0.00	1	1	-	-	-	7.000	VERT
2	Balken	2	4	0.00	1	1	-	-	-	7.000	VERT
3	Balken	3	4	0.00	2	2	1	1	-	6.000	HORI
4	Zugstab	1	4	0.00	3	3	-	-	-	9.220	ALLG
5	Zugstab	2	3	0.00	3	3	-	-	-	9.220	ALLG

AUFLAGER

Lager-Nr.	Gelagerte Knoten	Drehung [°]		Festes Auflager bzw. Feder [kN/m] [kNm/rad]					
		Alpha	Beta	in X	in Y	in Z	um X	um Y	um Z
1	1,2			Ja		Ja		Nein	

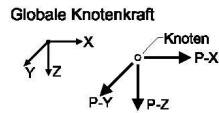
STRUKTUR



Projekt: Bachelorarbeit

Position: Wandverband rechte Achse

Seite: 3

**BELASTUNG****BASISANGABEN DER LASTFÄLLE**

LF-Nr.	LF-Bezeichnung	Faktor	Überlagerungsart	Eigengewicht
1	Wind 0° von links (Sog auf Giebelwand)	1.00	Veränderlich	-
2	Wind 0° von rechts (Sog auf Giebelwand)	1.00	Veränderlich	-
3	Wind 90° (Sog auf Giebelwand)	1.00	Veränderlich	-
4	Wind 90° (Druck auf Giebelwand)	1.00	Veränderlich	-
5	Stabilisierungslast für Sog auf Giebelwand	1.00	Imperfektion	-
6	Stabilisierungslast für Druck auf Giebelwand	1.00	Imperfektion	-

**KNOTENKRÄFTE**

LF 1

Nr.	Belastete Knoten	$P_X$ [kN]	Knotenkräfte $P_Y$ [kN]	$P_Z$ [kN]
1	3	-19.831	0.000	0.000

**KNOTENKRÄFTE**

LF 2

Nr.	Belastete Knoten	$P_X$ [kN]	Knotenkräfte $P_Y$ [kN]	$P_Z$ [kN]
1	3	-32.686	0.000	0.000

**KNOTENKRÄFTE**

LF 3

Nr.	Belastete Knoten	$P_X$ [kN]	Knotenkräfte $P_Y$ [kN]	$P_Z$ [kN]
1	3	-14.060	0.000	0.000

**KNOTENKRÄFTE**

LF 4

Nr.	Belastete Knoten	$P_X$ [kN]	Knotenkräfte $P_Y$ [kN]	$P_Z$ [kN]
1	3	28.215	0.000	0.000

**KNOTENKRÄFTE**

LF 5

Nr.	Belastete Knoten	$P_X$ [kN]	Knotenkräfte $P_Y$ [kN]	$P_Z$ [kN]
1	4	-2.700	0.000	0.000

**KNOTENKRÄFTE**

LF 6

Nr.	Belastete Knoten	$P_X$ [kN]	Knotenkräfte $P_Y$ [kN]	$P_Z$ [kN]
1	4	2.700	0.000	0.000

**LF-GRUPPEN**

LG-Nr.	LG-Bezeichnung	Faktor	Beiwert $\gamma_M$	Lastfälle in LG
1	1.5°Wind 0° von links + Stabilisierungslast	1.00	1.10	1.50°LF1 + LF5
2	1.5°Wind 0° von rechts + Stabilisierungslast	1.00	1.10	1.50°LF2 + LF5
3	1.5°Wind 90° Sog + Stabilisierungslast	1.00	1.10	1.50°LF3 + LF5
4	1.5°Wind 90° Druck + Stabilisierungslast	1.00	1.10	1.50°LF4 + LF6



Projekt: Bachelorarbeit	Position: Wandverband rechte Achse	Seite: 4
-------------------------	------------------------------------	----------

## SCHNITTGRÖSSEN STABBEZOGEN

Stab-Nr.	LF/LG-Nr.	Knoten-Nr.	x [m]	Kräfte [kN]			Momente [kNm]		
				N	Q <sub>2</sub>	Q <sub>3</sub>	T	M <sub>2</sub>	M <sub>3</sub>
4	LG1	Druck -> Ausfall	-	-	-	-	-	-	-
	LG2	Druck -> Ausfall	-	-	-	-	-	-	-
	LG3	Druck -> Ausfall	-	-	-	-	-	-	-
	LG4	Max N	0.00	69.31	0.00	0.00			
5	LG1	Min N	0.00	69.31	0.00	0.00			
		Max Q-3	0.00	69.31	0.00	0.00			
		Min Q-3	9.22	69.31	0.00	0.00			
		Max N	9.22	49.93	0.00	0.00			
	LG2	Min N	0.00	49.93	0.00	0.00			
		Max Q-3	0.00	49.93	0.00	0.00			
		Min Q-3	9.22	49.93	0.00	0.00			
		Max N	9.22	79.66	0.00	0.00			
	LG3	Min N	0.00	79.66	0.00	0.00			
		Max Q-3	0.00	79.66	0.00	0.00			
		Min Q-3	9.22	79.66	0.00	0.00			
		Max N	0.00	36.59	0.00	0.00			
6	LG4	Min N	0.00	36.59	0.00	0.00			
		Max Q-3	0.00	36.59	0.00	0.00			
		Min Q-3	9.22	36.59	0.00	0.00			
		Druck -> Ausfall	-	-	-	-	-	-	-

## STAHL1 - SPANNUNGSANALYSE

## BASISANGABEN

## ZU BEMESSENDE STÄBE

4.5

## ZU BEMESSENDE LASTFÄLLE

LG1 - 1.5°Wind 0° von links + Stabilisierungslast  
 LG2 - 1.5°Wind 0° von rechts + Stabilisierungslast  
 LG3 - 1.5°Wind 90° Sog + Stabilisierungslast  
 LG4 - 1.5°Wind 90° Druck + Stabilisierungslast

## GRENZSPANNUNGEN

Mat.-Nr.	Material-Bezeichnung	Material-Nom, Kriterium	Grenzspannungen [kN/cm²]		
			Sigma	Tau	Sigma-v
1	Stahl	DIN 18800 t <= 40 mm	21.82	12.6	21.82

RD 24



## QUERSCHNITTE

Quer.-Nr.	Mat.-Nr.	Querschnittsbezeichnung Querschnittsrehung	I-T [cm⁴] A [cm²]	I-2 [cm⁴] Alpha pl. y	I-3 [cm⁴] Alpha pl. z
3	1	RD 24	0.00 4.52	1.63 1.00	0.00 1.00

## MAX. SPANNUNGEN IN STÄBEN

Spannungs-art	x-Stelle [m]	S-Punkt Nr.	LF Nr.	Spannung [kN/cm²]		Aus-nutzung
				vorrh	grenz	
Stab Nr. 4: Querschnitt Nr. 3 - RD 24						
Sigma gesamt	0.000	1	LG4	15.33	21.82	0.70
Tau gesamt	0.000	1	LG1	0.00	12.60	0.00
Sigma-v	0.000	1	LG4	15.33	21.82	0.70
Stab Nr. 5: Querschnitt Nr. 3 - RD 24						
Sigma gesamt	0.000	1	LG2	17.62	21.82	0.81
Tau gesamt	0.000	1	LG1	0.00	12.60	0.00
Sigma-v	0.000	1	LG2	17.62	21.82	0.81

## **6 Pfette IPE200**

Für den Nachweis der Pfetten werden die maximal auftretenden Schnittgrößen verwendet. Da diese Schnittgrößen nicht gleichzeitig an einer Pfette auftreten, liegt der Nachweis auf der sicheren Seite.

### **6.1 Lastfälle**

maximale Streckenlasten

$q_d = 7,296 \text{ kN/m}$  (Trapezblech 1. Hallenschiff; Auflager 2; LG 2)

$q_d = 8,488 \text{ kN/m}$  (Trapezblech 2. Hallenschiff; Auflager 3; LG 2)

maximale Normalkraft infolge Dachverbandswirkung

$N_d = -62,01 \text{ kN}$  (Dachverband 1. Hallenschiff; Stab 13; LG 1)

$N_d = -49,80 \text{ kN}$  (Dachverband 2. Hallenschiff; Stab 19; LG 2)

## 6.2 Ausdruckprotokoll RSTAB 5.14 – Pfette IPE200

Projekt: Bachelorarbeit

Position: Pfette IPE200

Seite: 1

## INHALT

Inhalt .....	1
Basisangaben .....	1
Strukturdaten .....	
Knoten .....	1
Materialien .....	1
Querschnitte .....	2
Stäbe .....	2
Auflager .....	2
Stabzüge .....	2
Grafik - Struktur .....	2
Belastungen .....	
Basisangaben der Lastfälle .....	2
LF 2 - Stablast: Trapezblech-NW 1.Hallenschiff LG 2 .....	2
LF 3 - Stablast: Trapezblech-NW 2.Hallenschiff LG 2 .....	2
LF 4 - N-Kraft: NW-Dachverband 1.Hallenschiff LG1 .....	3
LF 5 - N-Kraft: NW-Dachverband 2.Hallenschiff LG1 .....	3
LF-Gruppen .....	3
LF- LG-Ergebnisse .....	
Daten zur Theorie II. Ordnung .....	3
Schnittgrößen stabbezogen .....	3
Auflagerkräfte und -momente .....	4
Globale Stabverschiebungen .....	4
Grafik - Gebrauchstauglichkeit .....	4
STAHL - Spannungsanalyse .....	
Basisangaben .....	5
Grenzspannungen .....	5
Querschnitte .....	5
Max. Spannungen in Querschnitten .....	5
BGDK .....	5
BGDK1 - BGDK-Nachweis .....	5
Basisangaben .....	5
Materialdaten .....	5
Querschnitte .....	6
BGDK-Daten .....	6
Ergebnisse .....	7
Nachweis stabweise .....	7
KAPPA .....	8
KAPPA1 - Biegeknicknachweis .....	8
Basisangaben .....	8
Materialdaten .....	8
Querschnitte .....	8
KAPPA-Daten .....	9
Ergebnisse .....	9
Nachweis querschnittsweise .....	9

## BASISANGABEN

## BERECHNUNGSART

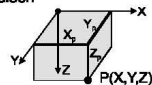
- ☒ Statik  
☐ Nachweis  
☐ Dynamik
- ☒ Theorie I. Ordnung  
☒ Theorie II. Ordnung  
☐ Seiltheorie
- ☒ Lastfälle  
☒ LF-Gruppen  
☐ LF-Kombinationen
- ☒ Bemessungsfälle  
☐ Dynamikfälle  
☐ Knickfiguren

## STRUKTURKENNWERTE

- ☐ 1D-Durchlaufträger  
☐ 2D-Stabwerk  
☒ 3D-Stabwerk  
☐ Trägerrost
- 5 Knoten  
 1 Materialien  
 1 Querschnitte  
 0 Stabendgelenke  
 0 Stabteilungen
- 4 Stäbe  
 0 Seilstäbe  
 0 Voutenstäbe  
 0 El. gebet. Stäbe  
 1 Stabzüge

## STRUKTUR

Kartesisch



## KNOTEN

Knoten-Nr.	Koordinatensystem	Bezugs-Knoten	X [m]	Knotenkoordinaten Y [m]	Z [m]
1	Kartesisch Gelagert	-	0.000	0.000	0.000
2	Kartesisch Gelagert	-	3.000	0.000	0.000
3	Kartesisch Gelagert	-	6.000	0.000	0.000
4	Kartesisch Gelagert	-	12.000	0.000	0.000
5	Kartesisch Gelagert	-	18.000	0.000	0.000

## MATERIALIEN

Mater.-Nr.	Material-Bezeichnung	E-Modul [kN/cm <sup>2</sup> ]	Schubmodul [kN/cm <sup>2</sup> ]	Sp. Gewicht [kN/cm <sup>3</sup> ]	Wärmedehn. [1/°C]
1	Stahl	2.100E+04	8.100E+03	7.850E-05	1.200E-05

Projekt: Bachelorarbeit

Position: Pfette IPE200

Seite: 2

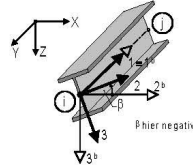
IPE 200



## QUERSCHNITTE

Quer.-Nr.	Mater.-Nr.	Querschnitts-Bezeichnung	$I_T$ A	$I_2$ A <sub>2</sub>	$I_3$ [cm <sup>4</sup> ] A <sub>3</sub> [cm <sup>2</sup> ]
1	1	IPE 200	7.02 28.500	1940.00	142.00

Lokales Stabachsensystem



## STÄBE

Stab-Nr.	Stab-typ	Knoten Anf.	Knoten Ende	Beta [°]	Querschnitt Anf.	Querschnitt Ende	Gelenk Anf.	Gelenk Ende	Teil.-Nr.	Länge [m]	Stab-lage
1	Balken	1	2	0.00	1	1	-	-	-	3.000	HORI
2	Balken	2	3	0.00	1	1	-	-	-	3.000	HORI
3	Balken	3	4	0.00	1	1	-	-	-	6.000	HORI
4	Balken	4	5	0.00	1	1	-	-	-	6.000	HORI

## AUFLAGER

Lager-Nr.	Gelagerte Knoten	Drehung [°]		Festes Auflager bzw. Feder [kN/m] [kNm/rad]						
		Alpha	Beta	in X	in Y	in Z	um X	um Y	um Z	
1	1	0.0	0.0	Ja	Ja	Ja	Ja	Nein	Nein	
2	3-5	0.0	0.0	Nein	Ja	Ja	Ja	Nein	Nein	
3	2	0.0	0.0	Nein	Ja	Nein	Nein	Nein	Nein	

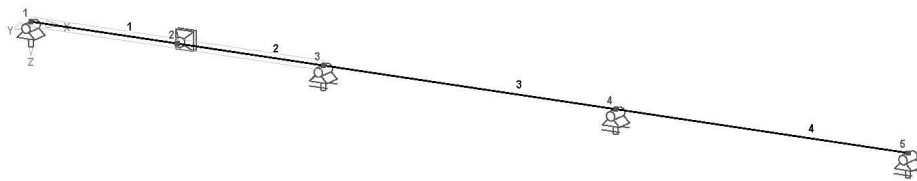
## STABZÜGE

Zug-Nr.	Stabzug-Bezeichnung	Stabzug gebildet aus Stäben
1	Pfette im Verbandsfeld	1,2

## STRUKTUR

Knotennummerierung  
Stabnummerierung

Isometrie

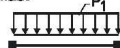


## BELASTUNG

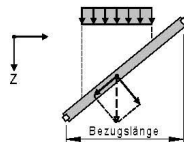
## BASISANGABEN DER LASTFÄLLE

LF-Nr.	LF-Bezeichnung	Faktor	Überlagerungsart	Eigengewicht
1	Eigengewicht	1.00	Ständig	1.00
2	Stablast: Trapezblech-NW 1.Hallenschiff LG 2	1.00	Veränderlich	-
3	Stablast: Trapezblech-NW 2.Hallenschiff LG 2	1.00	Veränderlich	-
4	N-Kraft: NW-Dachverband 1.Hallenschiff LG1	1.00	Veränderlich	-
5	N-Kraft: NW-Dachverband 2.Hallenschiff LG1	1.00	Veränderlich	-

## 1- Linienlast



Z - Global in Z-Richtung



## STABLASTEN

LF 2

Nr.	Belastete Stäbe	Last-art	Last-Richtung	Parameter [kN, kNm, m, °C, kN/m, kNm/m]
1	1-4	1	Z	7.296

Projekt: Bachelorarbeit	Position: Pfette IPE200	Seite: 3
-------------------------	-------------------------	----------

## STABLASTEN

LF 3

Nr.	Belastete Stäbe	Last-art	Last-Richtung	Parameter [kN, kNm, m, °C, kN/m, kNm/m]		
1	1-4	1	Z	8.488		

## KNOTENKRÄFTE

LF 4

Nr.	Belastete Knoten	P <sub>X</sub> [kN]	Knotenkräfte P <sub>Y</sub> [kN]	P <sub>Z</sub> [kN]
1	3	-27.525	0.000	0.000
2	4	-34.470	0.000	0.000

## KNOTENKRÄFTE

LF 5

Nr.	Belastete Knoten	P <sub>X</sub> [kN]	Knotenkräfte P <sub>Y</sub> [kN]	P <sub>Z</sub> [kN]
1	3	-19.590	0.000	0.000
2	4	-30.200	0.000	0.000

## LG GRUPPEN

LG-Nr.	LG-Bezeichnung	Faktor	Beiwert γ <sub>M</sub>	Lastfälle in LG
1	Gebrauchstauglichkeit	1.00	1.10	1.35*LF1 + 0.74*LF3 + 0.74*LF5
2	Pfette 1. Hallenschiff	1.00	1.10	1.35*LF1 + LF2 + LF4
3	Pfette 2. Hallenschiff	1.00	1.10	1.35*LF1 + LF3 + LF5

## DATEN ZUR THEORIE II. ORDNUNG

LG-Nr.	Faktor N <sub>y</sub>	Anzahl Iterationen	Eps-Konvergenz		Ny-fache Ergebnisse	Entlastung durch Zugkräfte
			vorhanden	gewollt		
LG2	1.000	2	.00E+00	0.01	Ja	Nein
LG3	1.000	2	.00E+00	0.01	Ja	Nein

## SCHNITTGRÖSSEN STABBEZOGEN

Stab-Nr.	LF/LG-Nr.	Knoten-Nr.	x [m]	N	Kräfte [kN]			T	Momente [kNm]	
					Q <sub>2</sub>	Q <sub>3</sub>			M <sub>2</sub>	M <sub>3</sub>
1	LG2	Max N	.00	-61.99*	.00	18.86	.00	.00	.00	.00
		Min N	.00	-61.99*	.00	18.86	.00	.00	.00	.00
		Max Q-2	.00	-61.99	.00*	18.86	.00	.00	.00	.00
		Min Q-2	.00	-61.99	.00*	18.86	.00	.00	.00	.00
		Max Q-3	.00	-61.99	.00	18.86*	.00	.00	.00	.00
		Min Q-3	3.00	-61.99	.00	-4.77*	.00	21.41	.00	.00
		Max T	.00	-61.99	.00	18.86	.00*	.00	.00	.00
		Min T	.00	-61.99	.00	18.86	.00*	.00	.00	.00
		Max M-2	2.40	-61.99	.00	.02	.00	22.84*	.00	.00
		Min M-2	.00	-61.99	.00	18.86	.00	.00	.00	.00
		Max M-3	.00	-61.99	.00	18.86	.00	.00	.00	.00
		Min M-3	.00	-61.99	.00	18.86	.00	.00	.00	.00
	LG3	Max N	3.00	-49.79*	.00	-5.47	.00	24.56	.00	.00
		Min N	.00	-49.79*	.00	21.67	.00	.00	.00	.00
		Max Q-2	.00	-49.79	.00*	21.67	.00	.00	.00	.00
		Min Q-2	.00	-49.79	.00*	21.67	.00	.00	.00	.00
		Max Q-3	.00	-49.79	.00	21.67*	.00	.00	.00	.00
		Min Q-3	3.00	-49.79	.00	-5.47*	.00	24.56	.00	.00
		Max T	.00	-49.79	.00	21.67	.00*	.00	.00	.00
		Min T	.00	-49.79	.00	21.67	.00*	.00	.00	.00
		Max M-2	2.40	-49.79	.00	.02	.00	26.20*	.00	.00
		Min M-2	.00	-49.79	.00	21.67	.00	.00	.00	.00
		Max M-3	.00	-49.79	.00	21.67	.00	.00	.00	.00
		Min M-3	.00	-49.79	.00	21.67	.00	.00	.00	.00
2	LG2	Max N	.00	-61.99*	.00	-4.77	.00	21.41	.00	.00
		Min N	.00	-61.99*	.00	-4.77	.00	21.41	.00	.00
		Max Q-2	.00	-61.99	.00*	-4.77	.00	21.41	.00	.00
		Min Q-2	.00	-61.99	.00*	-4.77	.00	21.41	.00	.00
		Max Q-3	.00	-61.99	.00	-4.77*	.00	21.41	.00	.00
		Min Q-3	3.00	-61.99	.00	-27.69*	.00	-27.89	.00	.00
		Max T	.00	-61.99	.00	-4.77	.00*	21.41	.00	.00
		Min T	.00	-61.99	.00	-4.77	.00*	21.41	.00	.00
		Max M-2	.00	-61.99	.00	-4.77	.00	21.41*	.00	.00
		Min M-2	3.00	-61.99	.00	-27.69	.00	-27.89*	.00	.00
		Max M-3	.00	-61.99	.00	-4.77	.00	21.41	.00	.00
		Min M-3	.00	-61.99	.00	-4.77	.00	21.41	.00	.00
	LG3	Max N	3.00	-49.79*	.00	-31.95	.00	-32.13	.00	.00
		Min N	.00	-49.79*	.00	-5.47	.00	24.56	.00	.00
		Max Q-2	.00	-49.79	.00*	-5.47	.00	24.56	.00	.00
		Min Q-2	.00	-49.79	.00*	-5.47	.00	24.56	.00	.00
		Max Q-3	.00	-49.79	.00	-5.47*	.00	24.56	.00	.00
		Min Q-3	3.00	-49.79	.00	-31.95*	.00	-32.13	.00	.00
		Max T	.00	-49.79	.00	-5.47	.00*	24.56	.00	.00
		Min T	.00	-49.79	.00	-5.47	.00*	24.56	.00	.00
		Max M-2	.00	-49.79	.00	-5.47	.00	24.56*	.00	.00
		Min M-2	3.00	-49.79	.00	-31.95	.00	-32.13*	.00	.00
		Max M-3	.00	-49.79	.00	-5.47	.00	24.56	.00	.00
		Min M-3	.00	-49.79	.00	-5.47	.00	24.56	.00	.00
3	LG2	Max N	6.00	-34.47*	.00	-22.55	.00	-27.22	.00	.00

Projekt: Bachelorarbeit	Position: Pfette IPE200	Seite: 4
-------------------------	-------------------------	----------

## SCHNITTGRÖSSEN STABBEZOGEN

Stab-Nr.	LF/LG-Nr.	Knoten-Nr.	x [m]	N	Kräfte [kN]			T	Momente [kNm]	
					Q <sub>2</sub>	Q <sub>3</sub>			M <sub>2</sub>	M <sub>3</sub>
3	LG2	Min N	.00	-34.47	.00	22.77	.00	-27.89	.00	.00
		Max Q-2	.00	-34.47	.00	22.77	.00	-27.89	.00	.00
		Min Q-2	.00	-34.47	.00	22.77	.00	-27.89	.00	.00
		Max Q-3	.00	-34.47	.00	22.77	.00	-27.89	.00	.00
		Min Q-3	6.00	-34.47	.00	-22.55	.00	-27.22	.00	.00
		Max T	.00	-34.47	.00	22.77	.00	-27.89	.00	.00
		Min T	.00	-34.47	.00	22.77	.00	-27.89	.00	.00
		Max M-2	3.00	-34.47	.00	.11	.00	6.68	.00	.00
		Min M-2	.00	-34.47	.00	22.77	.00	-27.89	.00	.00
		Max M-3	.00	-34.47	.00	22.77	.00	-27.89	.00	.00
		Min M-3	.00	-34.47	.00	22.77	.00	-27.89	.00	.00
	LG3	Max N	6.00	-30.20	.00	-26.14	.00	-31.52	.00	.00
		Min N	.00	-30.20	.00	26.34	.00	-32.13	.00	.00
		Max Q-2	.00	-30.20	.00	26.34	.00	-32.13	.00	.00
		Min Q-2	.00	-30.20	.00	26.34	.00	-32.13	.00	.00
		Max Q-3	.00	-30.20	.00	26.34	.00	-32.13	.00	.00
		Min Q-3	6.00	-30.20	.00	-26.14	.00	-31.52	.00	.00
		Max T	.00	-30.20	.00	26.34	.00	-32.13	.00	.00
		Min T	.00	-30.20	.00	26.34	.00	-32.13	.00	.00
		Max M-2	3.00	-30.20	.00	.10	.00	7.77	.00	.00
		Min M-2	.00	-30.20	.00	26.34	.00	-32.13	.00	.00
		Max M-3	.00	-30.20	.00	26.34	.00	-32.13	.00	.00
		Min M-3	.00	-30.20	.00	26.34	.00	-32.13	.00	.00
4	LG2	Max N	.00	.00	.00	27.33	.00	-27.22	.00	.00
		Min N	.00	.00	.00	27.33	.00	-27.22	.00	.00
		Max Q-2	.00	.00	.00	27.33	.00	-27.22	.00	.00
		Min Q-2	.00	.00	.00	27.33	.00	-27.22	.00	.00
		Max Q-3	.00	.00	.00	27.33	.00	-27.22	.00	.00
		Min Q-3	6.00	.00	.00	-18.26	.00	.00	.00	.00
		Max T	.00	.00	.00	27.33	.00	-27.22	.00	.00
		Min T	.00	.00	.00	27.33	.00	-27.22	.00	.00
		Max M-2	3.60	.00	.00	-.02	.00	21.94	.00	.00
		Min M-2	.00	.00	.00	27.33	.00	-27.22	.00	.00
		Max M-3	.00	.00	.00	27.33	.00	-27.22	.00	.00
		Min M-3	.00	.00	.00	27.33	.00	-27.22	.00	.00
	LG3	Max N	.00	.00	.00	31.62	.00	-31.52	.00	.00
		Min N	.00	.00	.00	31.62	.00	-31.52	.00	.00
		Max Q-2	.00	.00	.00	31.62	.00	-31.52	.00	.00
		Min Q-2	.00	.00	.00	31.62	.00	-31.52	.00	.00
		Max Q-3	.00	.00	.00	31.62	.00	-31.52	.00	.00
		Min Q-3	6.00	.00	.00	-21.12	.00	.00	.00	.00
		Max T	.00	.00	.00	31.62	.00	-31.52	.00	.00
		Min T	.00	.00	.00	31.62	.00	-31.52	.00	.00
		Max M-2	3.60	.00	.00	-.02	.00	25.37	.00	.00
		Min M-2	.00	.00	.00	31.62	.00	-31.52	.00	.00
		Max M-3	.00	.00	.00	31.62	.00	-31.52	.00	.00
		Min M-3	.00	.00	.00	31.62	.00	-31.52	.00	.00

## AUFLAGERKRÄFTE UND -MOMENTE

Knoten-Nr.	LF/LG-Nr.	P <sub>x</sub>	Auflagerkräfte [kN]		P <sub>z</sub>	Auflagemomente [kNm]		
			P <sub>y</sub>			M <sub>x</sub>	M <sub>y</sub>	M <sub>z</sub>
1	LG2	-61.995	.000	.000	18.147	.000	.000	.000
	LG3	-49.790	.000	.000	21.014	.000	.000	.000
2	LG2	.000	.000	.000	.000	.000	.000	.000
	LG3	.000	.000	.000	.000	.000	.000	.000
3	LG2	.000	.000	.000	50.347	.000	.000	.000
	LG3	.000	.000	.000	58.199	.000	.000	.000
4	LG2	.000	.000	.000	50.013	.000	.000	.000
	LG3	.000	.000	.000	57.891	.000	.000	.000
5	LG2	.000	.000	.000	18.258	.000	.000	.000
	LG3	.000	.000	.000	21.117	.000	.000	.000
ΣKräfte	LG2	-61.995	.000	.000	136.765			
ΣKräfte	LG3	-61.995	.000	.000	136.765			
ΣLasten		-49.790	.000	.000	158.221			
ΣLasten		-49.790	.000	.000	158.221			

## GLOBALE STABVERSCHIEBUNGEN

Stab-Nr.	LF/LG-Nr.	Knoten-Nr.	x [m]	u <sub>x</sub>	Stabverschiebungen [mm]		u <sub>z</sub>
					u <sub>y</sub>		
1	LG1	Max u-X	.00	.00000	.00000	.00000	.00000
		Min u-X	3.00	-20315	.00000	.00000	16.00299
		Max u-Y	.00	.00000	.00000	.00000	.00000
		Min u-Y	.00	.00000	.00000	.00000	.00000
		Max u-Z	2.70	-18284	.00000	.00000	16.26770
		Min u-Z	.00	.00000	.00000	.00000	.00000

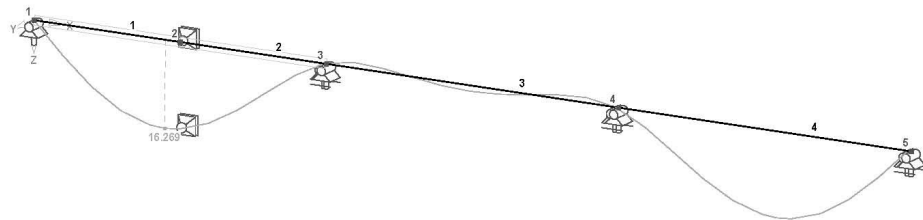
Projekt: Bachelorarbeit

Position: Pfette IPE200

Seite: 5

**GEBRAUCHSTAUGLICHKEIT**LG 1 - Gebrauchstauglichkeit  
Verschiebungen

Isometrie

Max u: 16.27 mm  
Faktor für Verschiebungen: 100**STAHL1 - SPANNUNGSANALYSE****BASISANGABEN**ZU BEMESSENDE STÄBE  
AlleZU BEMESSENDE LASTFÄLLE  
LG2 - Pfette 1. Hallenschiff  
LG3 - Pfette 2. Hallenschiff**GRENZSPANNUNGEN**

Mat.-Nr.	Material-Bezeichnung	Material-Norm, Kriterium	Grenzspannungen [kN/cm <sup>2</sup> ]		
			Sigma	Tau	Sigma-v
1	Stahl	DIN 18800 t ≤ 40 mm	21.82	12.6	21.82

IPE 200

**QUERSCHNITTE**

Quer.-Nr.	Mat.-Nr.	Querschnittsbezeichnung Querschnittsdrehung	I-T [cm <sup>4</sup> ] A [cm <sup>2</sup> ]	I-2 [cm <sup>4</sup> ] Alpha pl. y	I-3 [cm <sup>4</sup> ] Alpha pl. z
1	1	IPE 200	7.02 28.50	1940.00 1.14	142.00 1.25

**MAX. SPANNUNGEN IN QUERSCHNITTEN**

Spannungsart	Stab-Nr.	x-Stelle [m]	S-Punkt Nr.	LF Nr.	Spannung [kN/cm <sup>2</sup> ] vorh	Spannung [kN/cm <sup>2</sup> ] grenz	Ausnutzung
Querschnitt Nr. 1 - IPE 200							
Sigma gesamt	2	3.000	6	LG3	-18.31	21.82	0.84
Tau gesamt	2	3.000	13	LG3	-3.23	12.60	0.26
Sigma-v	2	3.000	8	LG3	18.36	21.82	0.84

**BGDK1 - BGDK-NACHWEIS****BASISANGABEN**

Zu bemessende Stäbe: Alle  
 Zu bemessende LF-Gruppen: LG2 Pfette 1. Hallenschiff  
 LG3 Pfette 2. Hallenschiff  
 Teilsicherheitsbeiwert Gamma-M: 1.10  
 Ermittlungsart von Zeta für M-Ki: Lösen des Minimums des elastischen Potentials

**MATERIALDATEN**

Mat.-Nr.	Material-Bezeichnung	E-Modul E [N/mm <sup>2</sup> ]	Schubmodul G [N/mm <sup>2</sup> ]	Querdehnzahl Nue [-]	Streckgrenze f-yk [N/mm <sup>2</sup> ]	Max-Bauteildicke t [mm]
1	Stahl S 235	2.100E+05	80999.997	0.300	240.000 215.000	40.000 100.000

Projekt: Bachelorarbeit

Position: Pfette IPE200

Seite: 6

IPE 200



## QUERSCHNITTE

Quer.-Nr	Mat.-Nr.	Querschnitts-Bezeichnung	Anmerkung
1	1	IPE 200	

## BGDK-DATEN

Stab-Nr.	Bezeichnung	Parameter
1	Querschnitt Lagerungsart Ermittlungsart M-Ki Lastangriffslage Trägerart	IPE 200 Gabellagerung Automatisch für alle LF/LG Am Obergurt Gewalzter Träger
2	Querschnitt Lagerungsart Ermittlungsart M-Ki Lastangriffslage Trägerart	IPE 200 Gabellagerung Automatisch für alle LF/LG Am Obergurt Gewalzter Träger
3	Querschnitt Lagerungsart Drehbettung Drehbettungstyp Material Elastizitätsmodul E Bezeichnung des Bauteils Trapezblechdicke t Trapezblechlage Trägheitsmoment I-a Ermittlungsart von c-ThA,k c-ThA,k quer LG2 - Pfette 1. Hallenschiff LG3 - Pfette 2. Hallenschiff Abstand Riegel a Durchlaufwirkung Nachweis über Drehbettung Drehbettsbeiwert k-Theta Nachweisverfahren Beanspruchung Verbindungsmittel Ermittlungsart M-Ki Lastangriffslage Trägerart	IPE 200 Gabellagerung Ja Kontinuierlich (z.B. Trapezblech) Stahl S 235 210000.000 N/mm <sup>2</sup> 1.250 mm Positivlage 59.800 cm <sup>4</sup> /m Nach DIN 18800, Tabelle 7 3.100 kNm/m 3.100 kNm/m 3.180 m Innenfeld Ja Automatisch für alle LF/LG Elastisch - Elastisch Nein Automatisch für alle LF/LG Am Obergurt Gewalzter Träger
4	Querschnitt Lagerungsart Drehbettung Drehbettungstyp Material Elastizitätsmodul E Bezeichnung des Bauteils Trapezblechdicke t Trapezblechlage Trägheitsmoment I-a Ermittlungsart von c-ThA,k c-ThA,k quer LG2 - Pfette 1. Hallenschiff LG3 - Pfette 2. Hallenschiff Abstand Riegel a Durchlaufwirkung Nachweis über Drehbettung Drehbettsbeiwert k-Theta Nachweisverfahren Beanspruchung Verbindungsmittel Ermittlungsart M-Ki Lastangriffslage Trägerart	IPE 200 Gabellagerung Ja Kontinuierlich (z.B. Trapezblech) Stahl S 235 210000.000 N/mm <sup>2</sup> 1.250 mm Positivlage 59.800 cm <sup>4</sup> /m Nach DIN 18800, Tabelle 7 3.100 kNm/m 3.100 kNm/m 3.180 m Innenfeld Ja Automatisch für alle LF/LG Elastisch - Elastisch Nein Automatisch für alle LF/LG Am Obergurt Gewalzter Träger

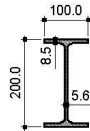


Projekt: Bachelorarbeit

Position: Pfette IPE200

Seite: 7

IPE 200



## NACHWEIS STABWEISE

Stab-Nr.	x [mm]	LF LG	Nachweis-kriterium	Kommentar zur Nachweisart			
1	2400.000	LG3	0.947	5) Nachweis nach (27) erbracht			
<b>Querschnittsmaße IPE 200</b>							
bo	100.0 mm		bu	100.000 mm	s	5.600 mm	
to	8.5 mm		tu	8.500 mm	h	200.0 mm	
<b>Querschnittswerte</b>							
A	28.50 cm²		I-Om	12990.0 cm⁴	W-z	28.50 cm³	
I-y	1940.000 cm⁴		i-z	2.24 cm	W-pl,y	220.00 cm³	
I-z	142.00 cm⁴		i-p	8.56 cm	W-pl,z	44.61 cm³	
I-T	7.020 cm⁴		W-y	194.00 cm³	Ksl-z	b	
<b>Schnittgrößen</b>							
N	-49.79 kN		M-v,Anf	0.00 kNm	x-My,max	2.400 m	
V-z	0.02 kN		M-v,End	24.56 kNm			
M-v	26.20 kNm		M-v,max	26.20 kNm			
<b>Plastische Schnittgrößen</b>							
N-pl,k	684.00 kN		V-pl,z,k	148.60 kN	M-pl,v,k	52.80 kNm	
N-pl,d	621.82 kN		V-pl,z,d	135.09 kN	M-pl,y,d	48.00 kNm	
<b>Biegedrillnicklast N-Ki</b>							
Beta-z	1.000		I-O	3.000 m	s-K	3.000 m	
Beta-0	1.000		c	16.29 cm	N-Ki	327.013 kN	
I	3.000 m		Lambda-V	133.93			
<b>Abminderungsfaktor Kappa-z</b>							
Ksl-z	b		Lambda-K,z	1.446			
Alpha	0.340		Kappa-z	0.3628			
<b>Biegedrillnickmoment M-Ki</b>							
z-p	-100.000 mm		c	16.29 cm			
Zeta	1.212		M-Ki	47.713 kNm			
<b>Abminderungsfaktor Kappa-M</b>							
n	2.500		Lambda-M	1.052 > 0.4			
Q-Last z	Ja		Kappa-M	0.718			
<b>Beiwert k-y</b>							
Psi-v	0.000		Beta-M,Q,v	1.300	Lambda-K,z	1.446	
Beta-M,Psi	1.800		M-Q,v	9.80 kNm	a-v	0.1999	
Q-Last z	Ja		Delta-M,y	26.20 kNm	k-y	0.956	
E-Last z	Nein		Beta-M,v	1.613			
Nachweis							
D1	0.221 > 0.1		D2	0.727	D	0.947 < 1.0	
2	3000.000	LG3	0.883	5) Nachweis nach (27) erbracht			
<b>Querschnittsmaße IPE 200</b>							
bo	100.0 mm		bu	100.000 mm	s	5.600 mm	
to	8.5 mm		tu	8.500 mm	h	200.0 mm	
<b>Querschnittswerte</b>							
A	28.50 cm²		I-Om	12990.0 cm⁴	W-z	28.50 cm³	
I-y	1940.000 cm⁴		i-z	2.24 cm	W-pl,y	220.00 cm³	
I-z	142.00 cm⁴		i-p	8.56 cm	W-pl,z	44.61 cm³	
I-T	7.020 cm⁴		W-y	194.00 cm³	Ksl-z	b	
<b>Schnittgrößen</b>							
N	-49.79 kN		M-v	-32.13 kNm	M-v,End	-32.13 kNm	
V-z	-31.95 kN		M-v,Anf	24.56 kNm			
<b>Plastische Schnittgrößen</b>							
N-pl,k	684.00 kN		V-pl,z,k	148.60 kN	M-pl,v,k	52.80 kNm	
N-pl,d	621.82 kN		V-pl,z,d	135.09 kN	M-pl,y,d	48.00 kNm	
<b>Biegedrillnicklast N-Ki</b>							
Beta-z	1.000		I-O	3.000 m	s-K	3.000 m	
Beta-0	1.000		c	16.29 cm	N-Ki	327.013 kN	
I	3.000 m		Lambda-V	133.93			
<b>Abminderungsfaktor Kappa-z</b>							
Ksl-z	b		Lambda-K,z	1.446			
Alpha	0.340		Kappa-z	0.3628			
<b>Biegedrillnickmoment M-Ki</b>							
z-p	-100.000 mm		c	16.29 cm			
Zeta	2.748		M-Ki	108.209 kNm			
<b>Abminderungsfaktor Kappa-M</b>							
n	2.500		Lambda-M	0.699 > 0.4			
Q-Last z	Ja		Kappa-M	0.940			
<b>Beiwert k-y</b>							
Psi-v	-0.764		Beta-M,Q,v	1.300	Lambda-K,z	1.446	
Beta-M,Psi	2.335		M-Q,v	9.59 kNm	a-v	0.3186	
Q-Last z	Ja		Delta-M,v	56.69 kNm	k-v	0.930	
E-Last z	Nein		Beta-M,v	2.160			
Nachweis							
D1	0.221 > 0.1		D2	0.662	D	0.883 < 1.0	
3	0.000	LG3	1.005	18) Nachweis nach El. (309) sowie nach Gl. (27) nicht erbracht			
<b>Querschnittsmaße IPE 200</b>							
bo	100.0 mm		bu	100.000 mm	s	5.600 mm	
to	8.5 mm		tu	8.500 mm	h	200.0 mm	
<b>Querschnittswerte</b>							
A	28.50 cm²		I-Om	12990.0 cm⁴	W-z	28.50 cm³	
I-y	1940.000 cm⁴		i-z	2.24 cm	W-pl,y	220.00 cm³	
I-z	142.00 cm⁴		i-p	8.56 cm	W-pl,z	44.61 cm³	
I-T	7.020 cm⁴		W-y	194.00 cm³	Ksl-z	b	
<b>Schnittgrößen</b>							
N	-30.20 kN		M-v,Anf	-32.13 kNm	x-My,max	3.000 m	
V-z	26.34 kN		M-v,End	-31.52 kNm			
M-v	-32.13 kNm		M-v,max	7.77 kNm			
<b>Plastische Schnittgrößen</b>							
N-pl,k	684.00 kN		V-pl,z,k	148.60 kN	M-pl,v,k	52.80 kNm	
N-pl,d	621.82 kN		V-pl,z,d	135.09 kN	M-pl,y,d	48.00 kNm	
<b>Drehbettung</b>							
c-TH,k	157.96 kNm/m		c-TH,P,k	49.23 kNm/m	I-T,Th	38.56 cm⁴	
c-TH,A,k	8.61 kNm/m		c-TH,k	7.00 kNm/m			
<b>Biegedrillnicklast N-Ki</b>							
Beta-z	1.000		I-O	6.000 m	s-K	6.000 m	
Beta-0	1.000		c	62.55 cm	N-Ki	81.753 kN	
I	6.000 m		Lambda-V	267.86			
<b>Nachweis über Drehbettung</b>							
Ksl-z	b		Kappa-z	0.1065	D1	0.456 > 0.1	

Projekt: Bachelorarbeit	Position: Pfette IPE200	Seite: 8
-------------------------	-------------------------	----------

NACHWEIS STABWEISE

Stab-Nr.	x [mm]	LF LG	Nachweis-kriterium	Kommentar zur Nachweisart			
	Alpha	0.340	N	-30.20 kN			
	Lambda-K,z	2.893	N-pl.d	621.82 kN			
	Biegedrillnickmoment M-Ki						
	z-p	-100.000 mm	c	62.55 cm			
	Zeta	4.785	M-Ki	225.902 kNm			
	Abminderungsfaktor Kappa-M						
	n	2.500	Lambda-M	0.483 > 0.4			
	Q-Last z	Ja	Kappa-M	0.990			
	Beiwert k-y						
	Psi-y	0.981	Beta-M,Q,y	1.300	Lambda-K,z	2.893	
	Beta-M,Psi	1.113	M-Q,y	39.60 kNm	a-y	0.4134	
	Q-Last z	Ja	Delta-M,y	39.90 kNm	k-y	0.811	
	E-Last z	Nein	Beta-M,y	1.299			
	Nachweis						
D1	0.456 > 0.1		D2	0.549	D	1.005 > 1.0	
4	0.000 LG3		0.907	3) Nachweis über Drehbettung nach El. (309) erbracht			
	Querschnittsmaße IPE 200						
	bo	100.0 mm	bu	100.000 mm	s	5.600 mm	
	to	8.5 mm	tu	8.500 mm	h	200.0 mm	
	Querschnittswerte						
	A	28.50 cm²	I-Om	12990.0 cm⁴	W-z	28.50 cm³	
	I-y	1940.000 cm⁴	i-z	2.24 cm	W-pl,y	220.00 cm³	
	I-z	142.00 cm⁴	i-p	8.56 cm	W-pl,z	44.61 cm³	
	I-T	7.020 cm⁴	VV-y	194.00 cm³	Kst-z	b	
	Schnittgrößen						
	N	0.00 kN	M-y,Anf	-31.52 kNm	x-Mly,max	3.600 m	
	V-z	31.62 kN	M-y,End	0.00 kNm			
	M-y	-31.52 kNm	M-y,max	25.37 kNm			
	Plastische Schnittgrößen						
	N-pl,k	684.00 kN	V-pl,z,k	148.60 kN	M-pl,v,k	52.80 kNm	
	N-pl,d	621.82 kN	V-pl,z,d	135.09 kN	M-pl,v,d	48.00 kNm	
	Drehbettung						
	c-ThM,k	157.96 kNm/m	c-ThP,k	49.23 kNm/m	I-T,Th	38.56 cm⁴	
	c-ThA,k	8.61 kNm/m	c-Th,k	7.00 kNm/m			
	Biegedrillnicklast N-Ki						
	Beta-z	1.000	I-O	6.000 m	s-K	6.000 m	
	Beta-O	1.000	c	62.55 cm	N-Ki	81.753 kN	
		6.000 m	Lambda-V	267.86			
	Nachweis über Drehbettung						
	N	0.00 kN	erf c-Th,k	11.452 kNm/cm	erf c-Th,k.re	6.351 kNm/cm	
	GebDrAchs	Nein	Sigma-max	162.5 N/mm²	vorh c-Th,k	7.004 kNm/cm	
	k-Th	3.500	f-yk	240.000 N/mm²	erf / vorh	0.907 < 1.0	
	k-v	0.35	RedFaktor	0.555			

KAPPA1 - BIEGEKNICKNACHWEIS

BASISANGABEN

Zu bemessende Stäbe:	1-3
Zu bemessende Stabzüge:	1
Zu bemessende LF-Gruppen:	LG2 Pfette 1. Hallenschiff
	LG3 Pfette 2. Hallenschiff
Teilsicherheitsbeiwert Gamma-M:	1.10
Bemessungsmethode nach DIN 18800:	Nachweismethode 1 nach El. (321)
Nachweisverfahren:	Elastisch-Plastisch nach DIN 18800
Überprüfung von grenz (b/t)	<input checked="" type="checkbox"/>

MATERIALDATEN

Mat.-Nr.	Material-Bezeichnung	E-Modul E [N/mm²]	Schubmodul G [N/mm²]	Querdehnzahl Nue [-]	Streckgrenze f-yk [N/mm²]	Max-Bauteildicke t [mm]
1	Stahl S 235	210000.000	81000.000	0.300	240.000 215.000	40.000 100.000



QUERSCHNITTE

Quer.-Nr	Mat.-Nr.	Querschnitts-Bezeichnung
1	1	IPE 200

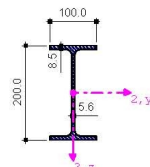
Projekt: Bachelorarbeit

Position: Pfette IPE200

Seite: 9

## KAPPA-DATEN

Stab-Nr.	Bezeichnung	Parameter
1	Querschnitt	IPE 200
	Knicken senkrecht zur Achse 2-2	<input checked="" type="checkbox"/>
	Knicken senkrecht zur Achse 3-3	<input checked="" type="checkbox"/>
	Knicklängenbeiwert Beta-3	1,000
	Knicklänge s-K,3	3,000 m
	Knicklast N-Ki,3	327,01 kN
	Schlankheit Lambda-K,3 quer	1,446
	Knickschwingungslinie Ksl-3	b
	Imperfektionsfaktor Alpha-3	0,340
	Abminderungsfaktor Kappa-3	0,363
2	Querschnitt	IPE 200
	Knicken senkrecht zur Achse 2-2	<input checked="" type="checkbox"/>
	Knicken senkrecht zur Achse 3-3	<input checked="" type="checkbox"/>
	Knicklängenbeiwert Beta-3	1,000
	Knicklänge s-K,3	3,000 m
	Knicklast N-Ki,3	327,01 kN
	Schlankheit Lambda-K,3 quer	1,446
	Knickschwingungslinie Ksl-3	b
	Imperfektionsfaktor Alpha-3	0,340
	Abminderungsfaktor Kappa-3	0,363
3	Querschnitt	IPE 200
	Knicken senkrecht zur Achse 2-2	<input checked="" type="checkbox"/>
	Knicken senkrecht zur Achse 3-3	<input checked="" type="checkbox"/>
	Knicklängenbeiwert Beta-2	1,000
	Knicklänge s-K,2	6,000 m
	Knicklast N-Ki,2	1116,91 kN
	Schlankheit Lambda-K,2 quer	0,783
	Knickschwingungslinie Ksl-2	a
	Imperfektionsfaktor Alpha-2	0,210
	Abminderungsfaktor Kappa-2	0,806
SZ1	Stabzug	Pfette im Verbandsfeld
	Querschnitt	IPE 200
	Knicken senkrecht zur Achse 2-2	<input checked="" type="checkbox"/>
	Knicken senkrecht zur Achse 3-3	<input checked="" type="checkbox"/>
	Knicklängenbeiwert Beta-2	1,000
	Knicklänge s-K,2	6,000 m
	Knicklast N-Ki,2	1116,91 kN
	Schlankheit Lambda-K,2 quer	0,783
	Knickschwingungslinie Ksl-2	a
	Imperfektionsfaktor Alpha-2	0,210



## NACHWEIS QUERSCHNITTSSWEISE

Stab-Nr.	x [mm]	LF LG	Nachweis-kriterium	Kommentar zur Nachweisart	
1	0,000   LG2		0,748   2) Nachweis nach (3) und (24) erbracht		
	Querschnittsmaße IPE 200				
	b	100,0 mm	s	5,6 mm	
	t	8,5 mm	h	200,0 mm	
	Querschnittswerte IPE 200				
	A	28,50 cm²	I-2	1940,00 cm⁴	
	Delta-A, St	0,36 > 0,18	Ksl-2	a	
	Schnittgrößen				
	N	-61,99 kN	M-2, Anf	0,00 kNm	x-M2,max 2,400 m
	V-3	18,86 kN	M-2, End	-27,89 kNm	
	Plastische Grenzschnittgrößen				
	N-pl,k	684,00 kN	V-pl,3,d	135,09 kN	M-pl,2,d 48,00 kNm
	N-pl,d	621,82 kN	Delta-V/3	0,140 <= 0,33	
	V-pl,3,k	148,60 kN	M-pl,2,k	52,80 kNm	
	Abminderungsfaktor Kappa				
	s-K,2	6,000 m	Lambda-K,2	0,783	Alpha-2 0,21
	N-Ki,2	1116,91 kN	Ksl-2	a	Kappa-2 0,806
	Beiwert Beta-m,2				
	Q-Last 3	Ja	u	Nein	Beta-m,2 1,000
	Nachweis				
	D-N,2		0,124 > 0,1	Delta-n	0,043 <= 0,1
	D-M,2		0,581	D-NM	0,748 < 1,0
	Überprüfung von grenz (b/t) - massgebend Feld Nr. 5				
	Typ	Beidseitig	t	5,6 mm	grenz (b/t) 56,099
			Alpha	0,660	vorh (b/t) 28,393 < 56,099

## 6.3 Gebrauchstauglichkeitsnachweis

Die Grenzwerte der Durchbiegung des Rahmenriegels werden nach DIN 18807-3 Kap. 3.3.4.2 festgelegt.

Grenzwert:

zul  $u_z = l/300 = 6000/300 = 20,0$  mm (Dächer mit oberseitiger Abdichtung)

vorhandene Durchbiegung:

vorh  $u_{z,max} = 16,27$  mm (Globale Stabverschiebung; Stab-Nr. 6; LG 72)

Nachweis:

vorh  $u_{z,max} / \text{zul } u_z = 16,27 / 20 = 0,81 < 1$

## 7 Trapezprofil

### 7.1 Lastfälle

#### Eigengewicht

$\Sigma$  Dachaufbau 0,388 kN/m je m

#### Schneelast

1. Hallenschiff: 0,68 kN/m je m

2. Hallenschiff: Trapezlast:  $s_1 = 0,68$  kN/m je m

$s_4 = 3,4$  kN/m je m mit  $l_s = 6$  m

#### Windlasten

1. Hallenschiff: Winddruck  $\theta = 90^\circ$  Bereich I +0,16 kN/m je m

Windsog  $\theta = 90^\circ$  Bereich F/G -1,28 / -1,04 kN/m je m

mit  $e/4 = 4,75$  m

positiver Innendruck +0,16 kN/m je m

negativer Innendruck -0,24 kN/m je m

2. Hallenschiff: Winddruck  $\theta = 90^\circ$  Bereich I +0,13 kN/m je m

Windsog  $\theta = 90^\circ$  Bereich F/G -1,04 / -0,85 kN/m je m

mit  $e/4 = 3,92$  m

positiver Innendruck +0,16 kN/m je m

negativer Innendruck -0,24 kN/m je m

## 7.2 Ausdruckprotokolle RSTAB 5.14

### 7.2.1 Trapezblech 1. Hallenschiff

Projekt: Bachelorarbeit	Position: Trapezblech 1. Hallenschiff	Seite: 1
-------------------------	---------------------------------------	----------

#### INHALT

Inhalt .....	1
Basisangaben .....	1
Strukturdaten .....	
Knoten .....	1
Materialien .....	1
Querschnitte .....	1
Stäbe .....	1
Auflager .....	2
Stabzüge .....	2
Grafik - Struktur .....	2
Belastungen .....	
Basisangaben der Lastfälle .....	2
LF 1 - Eigengewicht .....	2
LF 2 - Schnee .....	2
LF 3 - Winddruck .....	2
LF 4 - Windsog .....	2
LF 5 - negativer Innendruck .....	3
LF 6 - positiver Innendruck .....	3
LF-Gruppen .....	3
LF-, LG-Ergebnisse .....	
Daten zur Theorie II. Ordnung .....	3
Schnittgrößen stabbezogen .....	3
Auflagerkräfte und -momente .....	4
Globale Stabverschiebungen .....	4
Grafik - Ergebnisse .....	4

#### BASISANGABEN

##### BERECHNUNGSART

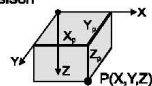
- |  |   |
|--|---|
| <input checked="" type="checkbox"/> Statik     | <input checked="" type="checkbox"/> Theorie I. Ordnung  |
| <input type="checkbox"/> Nachweis              | <input checked="" type="checkbox"/> Theorie II. Ordnung |
| <input type="checkbox"/> Dynamik               | <input type="checkbox"/> Seiltheorie                    |
| <input checked="" type="checkbox"/> Lastfälle  | <input type="checkbox"/> Bemessungsfälle                |
| <input checked="" type="checkbox"/> LF-Gruppen | <input type="checkbox"/> Dynamikfälle                   |
| <input type="checkbox"/> LF-Kombinationen      | <input type="checkbox"/> Knickfiguren                   |

##### STRUKTURKENNWERTE

- |   |                  |                    |
|---|------------------|--------------------|
| <input type="checkbox"/> 1D-Durchlaufträger     | 4 Knoten         | 3 Stäbe            |
| <input checked="" type="checkbox"/> 2D-Stabwerk | 1 Materialien    | 0 Seilstäbe        |
| <input type="checkbox"/> 3D-Stabwerk            | 1 Querschnitte   | 0 Voutenstäbe      |
| <input type="checkbox"/> Trägerrost             | 0 Stabendgelenke | 0 El. gebet. Stäbe |
|   | 0 Stabteilungen  | 1 Stabzüge         |

#### STRUKTUR

Kartesisch



#### KNOTEN

Knoten-Nr.	Koordinatensystem	Bezugs-Knoten	X [m]	Knotenkoordinaten Y [m]	Z [m]
1	Kartesisch	-	0.000		0.000
2	Gelagert	-	3.180		0.000
3	Kartesisch	-	6.360		0.000
4	Gelagert	-	9.540		0.000

#### MATERIALIEN

Mater.-Nr.	Material-Bezeichnung	E-Modul [kN/cm <sup>2</sup> ]	Schubmodul [kN/cm <sup>2</sup> ]	Sp. Gewicht [kN/cm <sup>3</sup> ]	Wärmedehn. [1/C]
1	Stahl	2.100E+04	8.100E+03	7.850E-05	1.200E-05

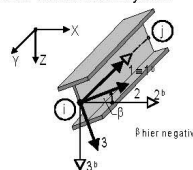
#### QUERSCHNITTE

Quer.-Nr.	Mater.-Nr.	Querschnitts-Bezeichnung	I <sub>2</sub> [cm <sup>4</sup> ]	A [cm <sup>2</sup> ]	A <sub>3</sub> [cm <sup>2</sup> ]
1	1	HSW E 50 - 1,25 Positivlage (b: 1000.0 mm)	59.80	15.100	

#### STÄBE

Stab-Nr.	Stab-typ	Knoten Anf.	Knoten Ende	Beta [°]	Querschnitt Anf.	Querschnitt Ende	Gelenk Anf.	Gelenk Ende	Teil.-Nr.	Länge [m]	Stab-lage
1	Balken	1	2	0.00	1	1	-	-	-	3.180	HORI
2	Balken	2	3	0.00	1	1	-	-	-	3.180	HORI
3	Balken	3	4	0.00	1	1	-	-	-	3.180	HORI

Lokales Stabachsensystem



Projekt: Bachelorarbeit

Position: Trapezblech 1. Hallenschiff

Seite: 2

**AUFLAGER**

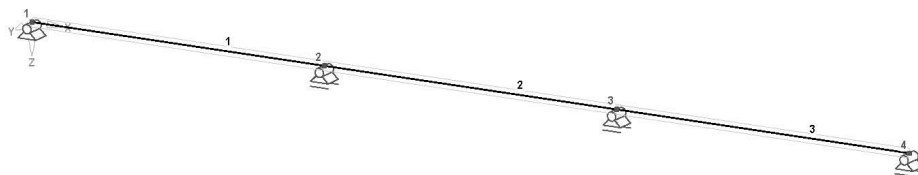
Lager-Nr.	Gelagerte Knoten	Drehung [°]		Festes Auflager bzw. Feder [kN/m] [kNm/rad]					
		Alpha	Beta	in X	in Y	in Z	um X	um Y	um Z
1	1	0.0	0.0	Ja					
2	2-4	0.0	0.0	Nein		Ja		Nein	

**STABZÜGE**

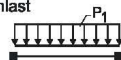
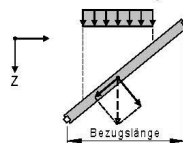
Zug-Nr.	Stabzug-Bezeichnung	Stabzug gebildet aus Stäben
1	1	1-3

**STRUKTUR**Knotennummerierung  
Stabnummerierung

Isometrie

**BELASTUNG****BASISANGABEN DER LASTFÄLLE**

LF-Nr.	LF-Bezeichnung	Faktor	Überlagerungsart	Eigengewicht
1	Eigengewicht	1.00	Ständig	1.00
2	Schnee	1.00	Veränderlich	-
3	Winddruck	1.00	Veränderlich	-
4	Windsog	1.00	Veränderlich	-
5	negativer Innendruck	1.00	Veränderlich	-
6	positiver Innendruck	1.00	Veränderlich	-

**1- Linienlast****Z - Global in Z-Richtung****STABLASTEN**

LF 1

Nr.	Belastete Stäbe	Last-art	Last-Richtung	Parameter [kN, kNm, m, °C, kN/m, kNm/m]
1	1-3	1	Z	0.300

**STABLASTEN**

LF 2

Nr.	Belastete Stäbe	Last-art	Last-Richtung	Parameter [kN, kNm, m, °C, kN/m, kNm/m]
1	1-3	1	Z	0.680

**STABLASTEN**

LF 3

Nr.	Belastete Stäbe	Last-art	Last-Richtung	Parameter [kN, kNm, m, °C, kN/m, kNm/m]
1	1-3	1	Z	0.160

**STABLASTEN**

LF 4

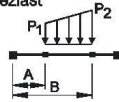
Nr.	Belastete Stäbe	Last-art	Last-Richtung	Parameter [kN, kNm, m, °C, kN/m, kNm/m]			
				P <sub>1</sub>	P <sub>2</sub>	A	B
1	1	4	Z	-1.280	-1.280	0.000	3.180
2	2	4	Z	-1.280	-1.280	0.000	1.570
3	2	4	Z	-1.040	-1.040	1.570	3.180

Projekt: Bachelorarbeit

Position: Trapezblech 1. Hallenschiff

Seite: 3

4 - Trapezlast



STABLASTEN

LF 4

Nr.	Belastete Stäbe	Last-art	Last-Richtung	Parameter [kN, kNm, m, °C, kN/m, kNm/m]			
				P <sub>1</sub>	P <sub>2</sub>	A	B
4	3	4	Z	-1.040	-1.040	0.000	3.180

STABLASTEN

LF 5

Nr.	Belastete Stäbe	Last-art	Last-Richtung	Parameter [kN, kNm, m, °C, kN/m, kNm/m]			
				P <sub>1</sub>	P <sub>2</sub>	A	B
1	1-3	1	Z	0.240			

STABLASTEN

LF 6

Nr.	Belastete Stäbe	Last-art	Last-Richtung	Parameter [kN, kNm, m, °C, kN/m, kNm/m]			
				P <sub>1</sub>	P <sub>2</sub>	A	B
1	1-3	1	Z	-0.160			

LF-GRUPPEN

LG-Nr.	LG-Bezeichnung	Faktor	Beiwert $\gamma_M$	Lastfälle in LG
1	1.35 Eigen.+1.5 (Schnee+Winddruck+neg. Innendr.)	1.00	1.10	1.35*LF1 + 1.50*LF2 + 0.75*LF3 + 0.75*LF5
2	1.35 Eigen.+1.5*0.9 (Schnee+Winddruck+neg. Innendr.)	1.00	1.10	1.50*LF1 + 1.35*LF2 + 1.35*LF3 + 1.35*LF5
3	1.35*0.9 Eigen.+1.5 (Windsog+pos. Innendruck)	1.00	1.10	1.215*LF1 + 1.50*LF4 + 1.50*LF6
4	Gebrauchstauglichkeit	1.00	1.10	LF1 + LF2 + LF3 + LF5

DATEN ZUR THEORIE II. ORDNUNG

LG-Nr.	Faktor $N_y$	Anzahl Iterationen	Eps-Konvergenz		Ny-fache Ergebnisse		Entlastung durch Zugkräfte
			vorhanden	gewollt			
LG1	1.000	1	.00E+00	0.01	Ja		Nein
LG2	1.000	1	.00E+00	0.01	Ja		Nein
LG3	1.000	1	.00E+00	0.01	Ja		Nein

SCHNITTGRÖSSEN STABBEZOGEN

Stab-Nr.	LF/LG-Nr.	Knoten-Nr.	x [m]	N	Kräfte [kN]			T	Momente [kNm]	
					Q <sub>2</sub>	Q <sub>3</sub>			M <sub>2</sub>	M <sub>3</sub>
1	LG1	Max N	.00	.00	.00	2.40	.00	.00	.00	.00
		Min N	.00	.00	.00	2.40	.00	.00	.00	.00
		Max Q-3	.00	.00	.00	2.40	.00	.00	.00	.00
		Min Q-3	3.18	.00	.00	-3.60	.00	.00	-1.91	.00
		Max M-2	1.27	.00	.00	.00	.00	.00	1.52	.00
		Min M-2	3.18	.00	.00	-3.60	.00	.00	-1.91	.00
	LG2	Max N	.00	.00	.00	2.65	.00	.00	.00	.00
		Min N	.00	.00	.00	2.65	.00	.00	.00	.00
		Max Q-3	.00	.00	.00	2.65	.00	.00	.00	.00
		Min Q-3	3.18	.00	.00	-3.98	.00	.00	-2.11	.00
		Max M-2	1.27	.00	.00	.00	.00	.00	1.69	.00
		Min M-2	3.18	.00	.00	-3.98	.00	.00	-2.11	.00
	LG3	Max N	.00	.00	.00	-2.10	.00	.00	.00	.00
		Min N	.00	.00	.00	-2.10	.00	.00	.00	.00
		Max Q-3	3.18	.00	.00	3.15	.00	.00	1.66	.00
		Min Q-3	.00	.00	.00	-2.10	.00	.00	.00	.00
		Max M-2	3.18	.00	.00	3.15	.00	.00	1.69	.00
		Min M-2	1.27	.00	.00	.00	.00	.00	-1.34	.00
2	LG1	Max N	.00	.00	.00	3.00	.00	.00	-1.91	.00
		Min N	.00	.00	.00	3.00	.00	.00	-1.91	.00
		Max Q-3	.00	.00	.00	3.00	.00	.00	-1.91	.00
		Min Q-3	3.18	.00	.00	-3.00	.00	.00	-1.91	.00
		Max M-2	1.59	.00	.00	.00	.00	.00	.48	.00
		Min M-2	.00	.00	.00	3.00	.00	.00	-1.91	.00
	LG2	Max N	.00	.00	.00	3.32	.00	.00	-2.11	.00
		Min N	.00	.00	.00	3.32	.00	.00	-2.11	.00
		Max Q-3	.00	.00	.00	3.32	.00	.00	-2.11	.00
		Min Q-3	3.18	.00	.00	-3.32	.00	.00	-2.11	.00
		Max M-2	1.59	.00	.00	.00	.00	.00	.53	.00
		Min M-2	.00	.00	.00	3.32	.00	.00	-2.11	.00
	LG3	Max N	.00	.00	.00	-2.59	.00	.00	1.66	.00
		Min N	.00	.00	.00	-2.59	.00	.00	1.66	.00
		Max Q-3	3.18	.00	.00	2.09	.00	.00	1.32	.00
		Min Q-3	.00	.00	.00	-2.59	.00	.00	1.66	.00
		Max M-2	.00	.00	.00	-2.59	.00	.00	1.69	.00
		Min M-2	1.59	.00	.00	.00	.00	.00	-3.7	.00
3	LG1	Max N	.00	.00	.00	3.60	.00	.00	-1.91	.00
		Min N	.00	.00	.00	3.60	.00	.00	-1.91	.00
		Max Q-3	.00	.00	.00	3.60	.00	.00	-1.91	.00
		Min Q-3	3.18	.00	.00	-2.40	.00	.00	1.00	.00
		Max M-2	1.91	.00	.00	.00	.00	.00	1.52	.00
		Min M-2	.00	.00	.00	3.60	.00	.00	-1.91	.00
	LG2	Max N	.00	.00	.00	3.98	.00	.00	-2.11	.00
		Min N	.00	.00	.00	3.98	.00	.00	-2.11	.00

Projekt: Bachelorarbeit

Position: Trapezblech 1. Hallenschiff

Seite: 4

## SCHNITTGRÖSSEN STABBEZOGEN

Stab-Nr.	LF/LG-Nr.	Knoten-Nr.	x [m]	N	Kräfte [kN]		T	Momente [kNm]	
					Q <sub>2</sub>	Q <sub>3</sub>		M <sub>2</sub>	M <sub>3</sub>
3	LG2	Max Q-3	.00	.00	.00	3.98*	.00	-2.11	.00
		Min Q-3	3.18	.00	.00	-2.65*	.00	.00	.00
		Max M-2	1.91	.00	.00	.00	.00	1.69*	.00
		Min M-2	.00	.00	.00	3.98	.00	-2.11*	.00
	LG3	Max N	.00	.00*	.00	-2.47	.00	1.32	.00
		Min N	.00	.00	.00	-2.47	.00	1.32	.00
		Max Q-3	3.18	.00	.00	1.64*	.00	.00	.00
		Min Q-3	.00	.00	.00	-2.47*	.00	1.32	.00
		Max M-2	.00	.00	.00	-2.47	.00	1.32*	.00
		Min M-2	1.91	.00	.00	.00	.00	-1.04*	.00

## AUFLAGERKRÄFTE UND -MOMENTE

Knoten-Nr.	LF/LG-Nr.	P <sub>X</sub>	Auflagerkräfte [kN]		P <sub>Z</sub>	Auflagemomente [kNm]		
			P <sub>Y</sub>			M <sub>X</sub>	M <sub>Y</sub>	M <sub>Z</sub>
1	LG1	.000	.000	.000	2.398	.000	.000	.000
	LG2	.000	.000	.000	2.653	.000	.000	.000
	LG3	.000	.000	.000	-2.105	.000	.000	.000
2	LG1	.000	.000	.000	6.594	.000	.000	.000
	LG2	.000	.000	.000	7.296	.000	.000	.000
	LG3	.000	.000	.000	-5.733	.000	.000	.000
3	LG1	.000	.000	.000	6.594	.000	.000	.000
	LG2	.000	.000	.000	7.296	.000	.000	.000
	LG3	.000	.000	.000	-4.553	.000	.000	.000
4	LG1	.000	.000	.000	2.398	.000	.000	.000
	LG2	.000	.000	.000	2.653	.000	.000	.000
	LG3	.000	.000	.000	-1.640	.000	.000	.000
ΣKräfte	LG1	.000	.000	.000	17.983			
ΣLasten		.000	.000	.000	17.983			
ΣKräfte	LG2	.000	.000	.000	19.899			
ΣLasten		.000	.000	.000	19.899			
ΣKräfte	LG3	.000	.000	.000	-14.031			
ΣLasten		.000	.000	.000	-14.031			

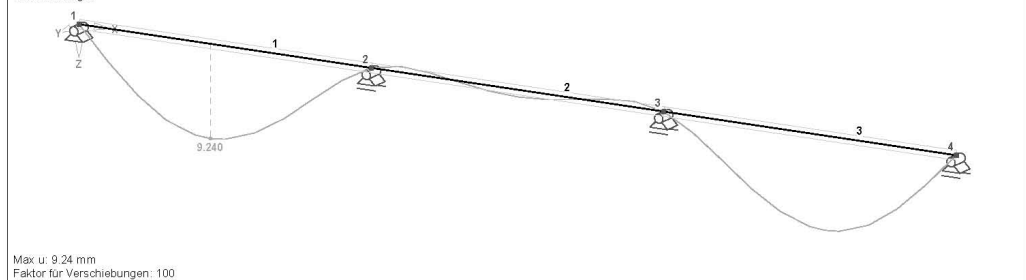
## GLOBALE STABVERSCHIEBUNGEN

Stab-Nr.	LF/LG-Nr.	Knoten-Nr.	x [m]	Stabverschiebungen [mm]		
				u <sub>X</sub>	u <sub>Y</sub>	u <sub>Z</sub>
1	LG4	Max u-X	.00	.00000	.00000	.00000
		Min u-X	.00	.00000	.00000	.00000
		Max u-Z	1.43	.00000	.00000	9.23981
		Min u-Z	.00	.00000	.00000	.00000
2	LG4	Max u-X	.00	.00000	.00000	.00000
		Min u-X	.00	.00000	.00000	.00000
		Max u-Z	1.59	.00000	.00000	.69911
		Min u-Z	.32	.00000	.00000	-55370
3	LG4	Max u-X	.00	.00000	.00000	.00000
		Min u-X	.00	.00000	.00000	.00000
		Max u-Z	1.75	.00000	.00000	9.23981
		Min u-Z	.00	.00000	.00000	.00000

## ERGEBNISSE

LG 4 – Gebrauchstauglichkeit  
Verschiebungen

Isometrie





## 7.2.2 Trapezblech 2. Hallenschiff

Projekt: Bachelorarbeit	Position: Trapezblech 2. Hallenschiff	Seite: 1
		12.04.2011

## INHALT

Inhalt .....	1
Basisangaben .....	1
Strukturdaten .....	
Knoten .....	1
Materialien .....	1
Querschnitte .....	1
Stäbe .....	1
Auflager .....	2
Stabzüge .....	2
Grafik - Struktur .....	2
Belastungen .....	
Basisangaben der Lastfälle .....	2
LF 1 - Eigengewicht .....	2
LF 2 - Schnee .....	2
LF 3 - Winddruck .....	2
LF 4 - Windsog .....	2
LF 5 - negativer Innendruck .....	3
LF 6 - positiver Innendruck .....	3
LF-Gruppen .....	3
LF-, LG-Ergebnisse .....	
Daten zur Theorie II. Ordnung .....	3
Schnittgrößen stabbezogen .....	3
Auflagerkräfte und -momente .....	4
Globale Stabverschiebungen .....	4
Grafik - Ergebnisse .....	4

## BASISANGABEN

## BERECHNUNGSART

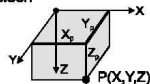
- ☒ Statik  
☐ Nachweis  
☐ Dynamik
- ☒ Theorie I. Ordnung  
☒ Theorie II. Ordnung  
☐ Seiltheorie
- ☒ Lastfälle  
☒ LF-Gruppen  
☐ LF-Kombinationen
- ☐ Bemessungsfälle  
☐ Dynamikfälle  
☐ Knickfiguren

## STRUKTURKENNWERTE

- ☐ 1D-Durchlaufträger  
☒ 2D-Stabwerk  
☐ 3D-Stabwerk  
☐ Trägerrost
- 5 Knoten  
 1 Materialien  
 1 Querschnitte  
 0 Stabendgelenke  
 0 Stabteilungen
- 4 Stäbe  
 0 Seilstäbe  
 0 Voutenstäbe  
 0 El. gebet. Stäbe  
 1 Stabzüge

## STRUKTUR

Kartesisch



## KNOTEN

Knoten-Nr.	Koordinatensystem	Bezugs-Knoten	X [m]	Knotenkoordinaten Y [m]	Z [m]
1	Kartesisch	-	0.000		0.000
2	Gelagert	-	1.590		0.000
3	Kartesisch	-	3.180		0.000
4	Gelagert	-	6.360		0.000
5	Kartesisch	-	9.540		0.000

## MATERIALIEN

Mater.-Nr.	Material-Bezeichnung	E-Modul [kN/cm <sup>2</sup> ]	Schubmodul [kN/cm <sup>2</sup> ]	Sp. Gewicht [kN/cm <sup>3</sup> ]	Wärmedehn. [1/°C]
1	Stahl	2.100E+04	8.100E+03	7.850E-05	1.200E-05

HSW E 50 - 1,25 Positivlage (b: 1000.0 mm)

## QUERSCHNITTE

Quer.-Nr.	Mater.-Nr.	Querschnitts-Bezeichnung	I <sub>2</sub> [cm <sup>4</sup> ]	A [cm <sup>2</sup> ]	A <sub>3</sub> [cm <sup>2</sup> ]
1	1	HSW E 50 - 1,25 Positivlage (b: 1000.0 mm)	59.80	15.100	

## STÄBE

Stab-Nr.	Stab-typ	Knoten Anf.	Knoten Ende	Beta [°]	Querschnitt Anf.	Querschnitt Ende	Gelenk Anf.	Gelenk Ende	Teil.-Nr.	Länge [m]	Stab-lage
1	Balken	1	2	0.00	1	1	-	-	-	1.590	HORI
2	Balken	2	3	0.00	1	1	-	-	-	1.590	HORI
3	Balken	3	4	0.00	1	1	-	-	-	3.180	HORI
4	Balken	4	5	0.00	1	1	-	-	-	3.180	HORI

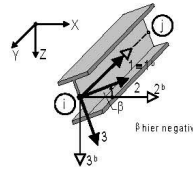
Projekt: Bachelorarbeit

Position: Trapezblech 2. Hallenschiff

Seite: 2

12.04.2011

Lokales Stabachsensystem



## AUFLAGER

Lager-Nr.	Gelagerte Knoten	Drehung [°]		Festes Auflager bzw. Feder [kN/m] [kNm/rad]					
		Alpha	Beta	in X	in Y	in Z	um X	um Y	um Z
1	1	0,0	0,0	Ja		Ja		Nein	
2	2-5	0,0	0,0	Nein		Ja		Nein	

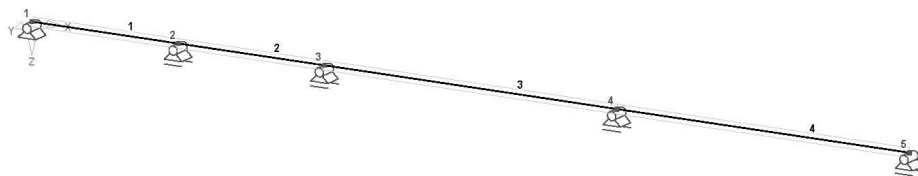
## STABZÜGE

Zug-Nr.	Stabzug-Bezeichnung	Stabzug gebildet aus Stäben
1	1	1-4

## STRUKTUR

Knotennummerierung  
Stabnummerierung

Isometrie

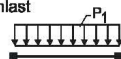


## BELASTUNG

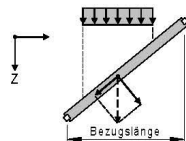
## BASISANGABEN DER LASTFÄLLE

LF-Nr.	LF-Bezeichnung	Faktor	Überlagerungsart	Eigengewicht
1	Eigengewicht	1.00	Ständig	1.00
2	Schnee	1.00	Veränderlich	-
3	Winddruck	1.00	Veränderlich	-
4	Windsog	1.00	Veränderlich	-
5	negativer Innendruck	1.00	Veränderlich	-
6	positiver Innendruck	1.00	Veränderlich	-

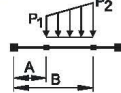
## 1- Linienlast



## Z - Global in Z-Richtung



## 4 - Trapezlast



## STABLASTEN

LF 1

Nr.	Belastete Stäbe	Last-art	Last-Richtung	Parameter [kN, kNm, m, °C, kN/m, kNm/m]			
				P1			
1	1-4	1	Z	0.300			

## STABLASTEN

LF 2

Nr.	Belastete Stäbe	Last-art	Last-Richtung	Parameter [kN, kNm, m, °C, kN/m, kNm/m]			
				P1	P2	A	B
1	1	4	Z	3.400	2.6792	0.000	1.590
2	2	4	Z	2.6792	1.9584	0.000	1.590
3	3	4	Z	1.9584	0.680	0.000	2.820
4	4	4	Z	0.680	0.680	2.820	3.180
5	4	4	Z	0.680	0.680	0.000	3.180

Projekt: Bachelorarbeit	Position: Trapezblech 2. Hallenschiff	Seite: 3
		12.04.2011

## STABLASTEN

LF 3

Nr.	Belastete Stäbe	Last-art	Last-Richtung	Parameter [kN, kNm, m, °C, kN/m, kNm/m]			
1	1-4	1	Z	0.130			

## STABLASTEN

LF 4

Nr.	Belastete Stäbe	Last-art	Last-Richtung	Parameter [kN, kNm, m, °C, kN/m, kNm/m]			
				P <sub>1</sub>	P <sub>2</sub>	A	B
1	1	4	Z	-1.040	-1.040	0.000	1.590
2	2	4	Z	-1.040	-1.040	0.000	1.590
3	3	4	Z	-1.040	-1.040	0.000	0.740
4	3	4	Z	-0.850	-0.850	0.740	3.180
5	4	4	Z	-0.850	-0.850	0.000	3.180

## STABLASTEN

LF 5

Nr.	Belastete Stäbe	Last-art	Last-Richtung	Parameter [kN, kNm, m, °C, kN/m, kNm/m]			
1	1-4	1	Z	0.240			

## STABLASTEN

LF 6

Nr.	Belastete Stäbe	Last-art	Last-Richtung	Parameter [kN, kNm, m, °C, kN/m, kNm/m]			
1	1-4	1	Z	-0.160			

## LF-GRUPPEN

LG-Nr.	LG-Bezeichnung	Faktor	Beiwert $\gamma_M$	Lastfälle in LG
1	1.35 Eigen.+1.5 (Schnee+Winddruck+neg. Innendr.)	1.00	1.10	1.35*LF1 + 1.50*LF2 + 0.75*LF3 + 0.75*LF5
2	1.35 Eigen.+1.5*0.9 (Schnee+Winddruck+neg. Innendr.)	1.00	1.10	1.50*LF1 + 1.35*LF2 + 1.35*LF3 + 1.35*LF5
3	1.35*0.9 Eigen.+1.5 (Windsog+pos. Innendr.)	1.00	1.10	1.215*LF1 + 1.50*LF4 + 1.50*LF6
4	Gebrauchstauglichkeit	1.00	1.10	LF1 + LF2 + LF3 + LF5

## DATEN ZUR THEORIE II. ORDNUNG

LG-Nr.	Faktor $\eta_y$	Anzahl Iterationen	Eps-Konvergenz vorhanden	Eps-Konvergenz gewollt	Ny-fache Ergebnisse	Entlastung durch Zugkräfte
LG1	1.000	1	.00E+00	0.01	Ja	Nein
LG2	1.000	1	.00E+00	0.01	Ja	Nein
LG3	1.000	1	.00E+00	0.01	Ja	Nein

## SCHNITTGRÖSSEN STABBEZOGEN

Stab-Nr.	LF/LG-Nr.	Knoten-Nr.	x [m]	Kräfte [kN]			Momente [kNm]		
				N	Q <sub>2</sub>	Q <sub>3</sub>	T	M <sub>2</sub>	M <sub>3</sub>
1	LG1	Max N	.00	.00	.00	3.76	.00	.00	.00
		Min N	.00	.00	.00	3.76	.00	.00	.00
		Max Q-3	.00	.00	.00	3.76	.00	.00	.00
		Min Q-3	1.59	.00	.00	-4.83	.00	-1.08	.00
		Max M-2	.64	.00	.00	.11	.00	1.22	.00
		Min M-2	1.59	.00	.00	-4.83	.00	-1.08	.00
	LG2	Max N	.00	.00	.00	3.63	.00	.00	.00
		Min N	.00	.00	.00	3.63	.00	.00	.00
		Max Q-3	.00	.00	.00	3.63	.00	.00	.00
		Min Q-3	1.59	.00	.00	-4.68	.00	-1.04	.00
		Max M-2	.64	.00	.00	.12	.00	1.18	.00
		Min M-2	1.59	.00	.00	-4.68	.00	-1.04	.00
	LG3	Max N	.00	.00	.00	-86	.00	.00	.00
		Min N	.00	.00	.00	-86	.00	.00	.00
		Max Q-3	1.59	.00	.00	1.19	.00	.26	.00
		Min Q-3	.00	.00	.00	-86	.00	.00	.00
		Max M-2	1.59	.00	.00	1.19	.00	.26	.00
		Min M-2	.64	.00	.00	-.04	.00	-.29	.00
2	LG1	Max N	.00	.00	.00	3.12	.00	-1.08	.00
		Min N	.00	.00	.00	3.12	.00	-1.08	.00
		Max Q-3	.00	.00	.00	3.12	.00	-1.08	.00
		Min Q-3	1.59	.00	.00	-3.75	.00	-1.81	.00
		Max M-2	.64	.00	.00	.17	.00	-.05	.00
		Min M-2	1.59	.00	.00	-3.75	.00	-1.81	.00
	LG2	Max N	.00	.00	.00	3.02	.00	-1.04	.00
		Min N	.00	.00	.00	3.02	.00	-1.04	.00
		Max Q-3	.00	.00	.00	3.02	.00	-1.04	.00
		Min Q-3	1.59	.00	.00	-3.75	.00	-1.83	.00
		Max M-2	.64	.00	.00	.12	.00	-.06	.00
		Min M-2	1.59	.00	.00	-3.75	.00	-1.83	.00
	LG3	Max N	.00	.00	.00	-.81	.00	.26	.00
		Min N	.00	.00	.00	-.81	.00	.26	.00

Projekt: Bachelorarbeit

Position: Trapezblech 2. Hallenschiff

Seite: 4

12.04.2011

## SCHNITTGRÖSSEN STABBEZOGEN

Stab-Nr.	LF/LG-Nr.	Knoten-Nr.	x [m]	N	Kräfte [kN]			T	Momente [kNm]	
					Q <sub>2</sub>	Q <sub>3</sub>			M <sub>2</sub>	M <sub>3</sub>
2	LG3	Max Q-3	1.59	.00	.00	.00	1.24*	.00	.60	.00
		Min Q-3	.00	.00	.00	.00	-.81*	.00	.26	.00
		Max M-2	1.59	.00	.00	.00	1.24	.00	.60*	.00
		Min M-2	.64	.00	.00	.00	.01	.00	.00*	.00
		Min N	.00	.00*	.00	.00	4.69	.00	-1.81	.00
3	LG1	Max N	.00	.00*	.00	.00	4.69	.00	-1.81	.00
		Min N	.00	.00	.00	.00	4.69*	.00	-1.81	.00
		Max Q-3	.00	.00	.00	.00	4.69*	.00	-2.39	.00
		Min Q-3	3.18	.00	.00	.00	-3.94*	.00	1.35*	.00
		Max M-2	1.43	.00	.00	.00	-.03	.00	-2.39*	.00
	LG2	Max N	.00	.00*	.00	.00	-3.94	.00	-1.83	.00
		Min N	.00	.00	.00	.00	4.74	.00	-1.83	.00
		Max Q-3	.00	.00	.00	.00	4.74*	.00	-2.56	.00
		Min Q-3	3.18	.00	.00	.00	-4.20*	.00	1.38*	.00
		Max M-2	1.43	.00	.00	.00	-.03	.00	-2.56*	.00
	LG3	Max N	.00	.00*	.00	.00	-4.20	.00	-1.83	.00
		Min N	.00	.00	.00	.00	4.74	.00	-1.83	.00
		Max Q-3	.00	.00	.00	.00	4.74*	.00	-2.56	.00
		Min Q-3	3.18	.00	.00	.00	-1.79*	.00	1.14	.00
		Max M-2	3.18	.00	.00	.00	1.79	.00	1.14*	.00
4	LG1	Max N	.00	.00*	.00	.00	.03	.00	-1.62	.00
		Min N	.00	.00	.00	.00	-1.62	.00	-2.39	.00
		Max Q-3	.00	.00	.00	.00	3.71	.00	-2.39	.00
		Min Q-3	3.18	.00	.00	.00	-2.21*	.00	1.31*	.00
		Max M-2	2.07	.00	.00	.00	-.14	.00	-2.39*	.00
	LG2	Max N	.00	.00*	.00	.00	3.71	.00	-2.39	.00
		Min N	.00	.00	.00	.00	4.08	.00	-2.56	.00
		Max Q-3	.00	.00	.00	.00	4.08*	.00	-2.56	.00
		Min Q-3	3.18	.00	.00	.00	-2.45*	.00	1.46*	.00
		Max M-2	1.91	.00	.00	.00	-.16	.00	-2.56*	.00
	LG3	Max N	.00	.00*	.00	.00	4.08	.00	-1.46	.00
		Min N	.00	.00	.00	.00	-1.96	.00	1.14	.00
		Max Q-3	.00	.00	.00	.00	-1.96*	.00	1.14	.00
		Min Q-3	3.18	.00	.00	.00	1.24*	.00	1.14	.00
		Max M-2	.00	.00	.00	.00	-1.96	.00	1.14*	.00

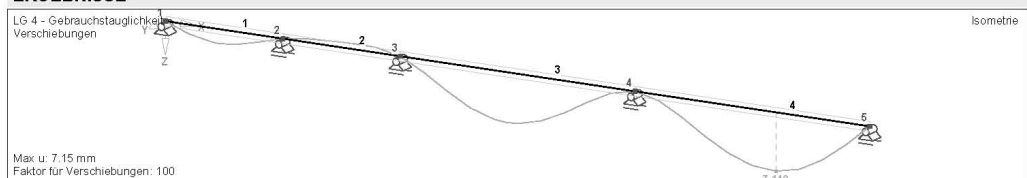
## AUFLAGERKRÄFTE UND -MOMENTE

Knoten-Nr.	LF/LG-Nr.	P <sub>X</sub>	Auflagerkräfte [kN]			Auflagemomente [kNm]		
			P <sub>Y</sub>	P <sub>Z</sub>		M <sub>X</sub>	M <sub>Y</sub>	M <sub>Z</sub>
1	LG1	.000	.000	3.757	.000	.000	.000	.000
	LG2	.000	.000	3.632	.000	.000	.000	.000
	LG3	.000	.000	-.865	.000	.000	.000	.000
2	LG1	.000	.000	7.952	.000	.000	.000	.000
	LG2	.000	.000	7.702	.000	.000	.000	.000
	LG3	.000	.000	-1.999	.000	.000	.000	.000
3	LG1	.000	.000	8.435	.000	.000	.000	.000
	LG2	.000	.000	8.488	.000	.000	.000	.000
	LG3	.000	.000	-2.860	.000	.000	.000	.000
4	LG1	.000	.000	7.653	.000	.000	.000	.000
	LG2	.000	.000	8.261	.000	.000	.000	.000
	LG3	.000	.000	-3.753	.000	.000	.000	.000
5	LG1	.000	.000	-2.211	.000	.000	.000	.000
	LG2	.000	.000	2.446	.000	.000	.000	.000
	LG3	.000	.000	-1.242	.000	.000	.000	.000
Σ Kräfte	LG1	.000	.000	30.008				
Σ Lasten	LG2	.000	.000	30.008				
Σ Kräfte	LG3	.000	.000	30.528				
Σ Lasten		.000	.000	-10.719				
Σ Kräfte		.000	.000	-10.719				

## GLOBALE STABVERSCHIEBUNGEN

Stab-Nr.	LF/LG-Nr.	Knoten-Nr.	x [m]	Stabverschiebungen [mm]		
				u <sub>X</sub>	u <sub>Y</sub>	u <sub>Z</sub>
4	LG4	Max u-X	.00	.00000	.00000	.00000
		Min u-X	.00	.00000	.00000	.00000
		Max u-Z	1.91	.00000	.00000	7.14830
		Min u-Z	.00	.00000	.00000	.00000

## ERGEBNISSE



### 7.3 Nachweisführung

#### 7.3.1 Querschnitts- und Widerstandsgrößen des Trapezbleches

Trapezblech: ThyssenKrupp Hoesch Baussysteme T 50.1 Positivlage  $t_N = 1,25 \text{ mm}$

Grenzstützweite  $l_{gr} = 4,5 \text{ m}$

Widerstandsgrößen für nach unten gerichtete und andrückende Flächenlast mit

$b_{A+Ü} = 40 \text{ mm}$ ;  $b_B > 60 \text{ mm}$  (vorh  $b_{IPE 200} = 100 \text{ mm}$ ) und  $\varepsilon = 1$

$$M_{F,d} = \frac{M_{F,k}}{\gamma_M} = \frac{5,64}{1,1} = 5,13 \text{ kNm}$$

$$R_{A,G,d} = \frac{R_{A,G,k}}{\gamma_M} = \frac{26,4}{1,1} = 24,00 \text{ kN}$$

$$\max M_{B,d} = \frac{\max M_{B,k}}{\gamma_M} = \frac{6,33}{1,1} = 5,75 \text{ kNm}$$

$$\max R_{B,d} = \frac{\max R_{B,k}}{\gamma_M} = \frac{29,9}{1,1} = 27,18 \text{ kN}$$

$$M_{B,d}^0 = \frac{M_{B,k}^0}{\gamma_M} = \frac{7,19}{1,1} = 6,54 \text{ kNm}$$

$$R_{B,d}^0 = \frac{R_{B,k}^0}{\gamma_M} = \frac{93,47}{1,1} = 84,97 \text{ kN}$$

$$N_{Z,d} = \frac{A_g \cdot f_{y,k}}{\gamma_M} = \frac{15,1 \cdot 32}{1,1} = 439,3 \text{ kN}$$

Widerstandsgrößen für nach oben gerichtete und abhebende Flächenlast mit

Befestigung in jedem 2. Gurt und  $\varepsilon = 1$

$$M_{F,d} = \frac{M_{F,k}}{\gamma_M} = \frac{6,47}{1,1} = 5,88 \text{ kNm}$$

$$R_{A,d} = \frac{R_{A,k}}{\gamma_M} = \frac{17,3}{1,1} = 15,73 \text{ kN}$$

$$\max M_{B,d} = \frac{\max M_{B,k}}{\gamma_M} = \frac{2,65}{1,1} = 2,41 \text{ kNm}$$

$$\max R_{B,d} = \frac{\max R_{B,k}}{\gamma_M} = \frac{13,6}{1,1} = 12,36 \text{ kN}$$

$$M_{B,d}^0 = \frac{M_{B,k}^0}{\gamma_M} = \frac{2,92}{1,1} = 2,65 \text{ kNm}$$

$$R_{B,d}^0 = \frac{R_{B,k}^0}{\gamma_M} = \frac{62,78}{1,1} = 57,07 \text{ kN}$$

#### 7.3.2 Nachweis des Trapezbleches – 1. Hallenschiff

Schnittgrößen LG 2 (nach unten gerichtete und andrückende Flächenlast)

$$M_{F,S,d} = 1,69 \text{ kNm} \quad R_{A,S,d} = 2,653 \text{ kN}$$

$$M_{B,S,d} = -2,11 \text{ kNm} \quad R_{B,S,d} = 7,296 \text{ kN}$$

$$\Sigma R_d = 2 \cdot (2,653 + 7,296) = 19,90 \text{ kN}$$

$$\rightarrow \text{Dachschub infolge Dachneigung } \alpha = 5^\circ \quad N_{Z,S,d} = \sin \alpha \cdot \Sigma R_d = \sin 5^\circ \cdot 19,90 = 1,73 \text{ kN}$$

Nachweis

$$\frac{M_{F,S,d}}{M_{F,d}} = \frac{1,69}{5,13} = 0,33 < 1 \quad \frac{R_{A,S,d}}{R_{A,G,d}} = \frac{2,653}{24,00} = 0,11 < 1$$

$$\frac{M_{B,S,d}}{\max M_{B,d}} = \frac{2,11}{5,75} = 0,37 < 1 \quad \frac{R_{B,S,d}}{\max R_{B,d}} = \frac{7,296}{27,18} = 0,27 < 1$$

$$\frac{N_{Z,S,d}}{N_{Z,d}} = \frac{1,73}{439,3} = 0,004 \ll 1 \rightarrow \text{vernachlässigbar}$$

Interaktion

$$\frac{M_{B,S,d}}{M_{B,d}^0} + \left( \frac{R_{B,S,d}}{R_{B,d}^0} \right)^{\epsilon} = \frac{2,11}{5,75} + \left( \frac{7,296}{84,97} \right)^1 = 0,41 < 1$$

Schnittgrößen LG 3 (nach oben gerichtete und abhebende Flächenlast)

$$M_{F,S,d} = -1,340 \text{ kNm} \quad R_{A,S,d} = -2,105 \text{ kN}$$

$$M_{B,S,d} = -1,660 \text{ kNm} \quad R_{B,S,d} = -5,733 \text{ kN}$$

Nachweis

$$\frac{M_{F,S,d}}{M_{F,d}} = \frac{1,340}{5,88} = 0,23 < 1 \quad \frac{R_{A,S,d}}{R_{A,G,d}} = \frac{2,105}{15,73} = 0,13 < 1$$

$$\frac{M_{B,S,d}}{\max M_{B,d}} = \frac{1,66}{2,41} = 0,69 < 1 \quad \frac{R_{B,S,d}}{\max R_{B,d}} = \frac{5,733}{12,36} = 0,46 < 1$$

Interaktion

$$\frac{M_{B,S,d}}{M_{B,d}^0} + \left( \frac{R_{B,S,d}}{R_{B,d}^0} \right)^{\epsilon} = \frac{1,66}{2,65} + \left( \frac{5,733}{57,07} \right)^1 = 0,73 < 1$$

Begehrbarkeit: vorh  $l = 3,18 \text{ m} < l_{gr} = 4,50 \text{ m}$

Gebrauchstauglichkeit: vorh  $u_z = 9,24 \text{ mm} < \text{zul } u_z = \text{vorh } l/300 = 10,6 \text{ mm}$

### 7.3.3 Nachweis des Trapezbleches – 2. Hallenschiff

Schnittgrößen LG 2 (nach unten gerichtete und andrückende Flächenlast)

$$M_{F,S,d} = 1,46 \text{ kNm} \quad R_{A,S,d} = 3,632 \text{ kN}$$

$$M_{B,S,d,1} = -2,56 \text{ kNm} \quad R_{B,S,d,1} = 8,261 \text{ kN}$$

$$M_{B,S,d,2} = -1,83 \text{ kNm} \quad R_{B,S,d,2} = 8,488 \text{ kN}$$

$$\Sigma R_d = 3,632 + 7,702 + 8,488 + 8,261 + 2,446 = 30,53 \text{ kN}$$

$$\rightarrow \text{Dachschub infolge Dachneigung } \alpha = 5^\circ \quad N_{Z,S,d} = \sin \alpha * \Sigma R_d = \sin 5^\circ * 30,53 = 2,66 \text{ kN}$$

Nachweis

$$\frac{M_{F,S,d}}{M_{F,d}} = \frac{1,46}{5,13} = 0,28 < 1 \quad \frac{R_{A,S,d}}{R_{A,G,d}} = \frac{3,632}{24,00} = 0,15 < 1$$

$$\frac{M_{B,S,d,1}}{\max M_{B,d}} = \frac{2,56}{5,75} = 0,45 < 1 \quad \frac{R_{B,S,d,1}}{\max R_{B,d}} = \frac{8,26}{27,18} = 0,30 < 1$$

$$\frac{M_{B,S,d,2}}{\max M_{B,d}} = \frac{1,83}{5,75} = 0,32 < 1 \quad \frac{R_{B,S,d,1}}{\max R_{B,d}} = \frac{8,488}{27,18} = 0,31 < 1$$

$$\frac{N_{Z,S,d}}{N_{Z,d}} = \frac{2,66}{439,3} = 0,006 \ll 1 \rightarrow \text{vernachlässigbar}$$

Interaktion

$$\frac{M_{B,S,d,1}}{M_{B,d}^0} + \left( \frac{R_{B,S,d,1}}{R_{B,d}^0} \right)^{\epsilon} = \frac{2,56}{5,75} + \left( \frac{8,26}{84,97} \right)^1 = 0,49 < 1$$

Schnittgrößen LG 3 (nach oben gerichtete und abhebende Flächenlast)

$$M_{F,S,d} = -0,77 \text{ kNm} \quad R_{A,S,d} = -1,242 \text{ kN}$$

$$M_{B,S,d} = -1,14 \text{ kN} \quad R_{B,S,d} = -3,753 \text{ kN}$$

Schnittgrößen kleiner als beim Trapezblechnachweis des 1. Hallenschiffs → Nachweis offensichtlich erfüllt!

Begehbarkeit: vorh  $l = 3,18 \text{ m} < l_{gr} = 4,50 \text{ m}$

Gebrauchstauglichkeit: vorh  $u_z = 7,15 \text{ mm} < \text{zul } u_z = \text{vorh } l/300 = 10,6 \text{ mm}$





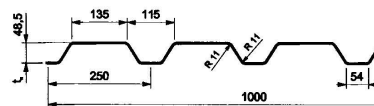
## T 50.1 Positivlage

## ThyssenKrupp Hoesch Bausysteme

Stahltrapezprofil Typ

T 50.1

Querschnitts- und Widerstandsgrößen nach DIN 18807 und der Anpassungsrichtlinie Stahlbau.

Profiltafel in  
Maße in [mm]

Anlage 4.2

Als Typenentwurf

in bautechnischer Hinsicht geprüft

Prüfbescheid-Nr. II B2-543-921  
Ministerium für Städtebau und Wohnen,  
Kultur und Sport  
- Prüfamt für Baustatik -  
Düsseldorf, den 21.04.2004

Im Auftrag:

Der Bearbeiter:

## Charakteristische Werte der Widerstandsgrößen

bei nach unten gerichteter und andrückender Flächenlast <sup>1)</sup>

Nennblechdicke	Feldmoment	Endauflagerkräfte		Zwischenaufleger: Nachweisverfahren E-E				Zwischenaufleger: Nachweisverfahren P-P		
		Tragfähigkeit	Gebrauchstauglichkeit	Interaktion Biegemoment/Auflagerkraft <sup>5)</sup>				Reststützmomente <sup>6)</sup>		
				$\frac{\gamma_F \cdot M_{B,S,k}}{M_{B,k}^0 / \gamma_M} + \left( \frac{\gamma_F \cdot R_{B,S,k}}{R_{B,k}^0 / \gamma_M} \right)^\epsilon \leq 1$				$M_{R,k} = 0 \text{ für } L \leq \min \ell$ $M_{R,k} = \frac{L - \min \ell}{\max \ell - \min \ell} \cdot \max M_{R,k}$ $M_{R,k} = \max M_{R,k} \text{ für } L \geq \max \ell$		
$t_N$ [mm]	$M_{F,k}$ [kNm/m]	$R_{A,T,k}$ [kN/m]	$R_{A,G,k}$ [kN/m]	$M_{B,k}^0$ [kNm/m]	$R_{B,k}^0$ [kN/m]	$\max M_{B,k}$ [kNm/m]	$\max R_{B,k}$ [kN/m]	$\min \ell$ [m]	$\max \ell$ [m]	$\max M_{R,k}$ [kNm/m]
		<sup>2)</sup> $b_A + \bar{u} = 40 \text{ mm}$		Zwischenauflegerbreite $b_B = 0 \text{ mm}$ , $\epsilon = 1$						
0,63	1,80	9,59	7,33	1,64	11,30	1,28	5,19			
0,75	2,30	13,8	10,5	2,39	12,60	1,81	7,02			
0,88	3,07	18,2	13,9	3,33	15,78	2,45	9,11			
1,00	3,77	22,4	17,2	4,21	18,73	3,03	11,0			
1,25	5,64	34,5	26,4	6,55	36,09	4,96	19,1			
1,50	7,52	46,6	35,6	8,89	53,34	6,90	27,0			
		<sup>2)</sup> $b_A + \bar{u} = 40 \text{ mm}$		<sup>4)</sup> Zwischenauflegerbreite $b_B \geq 60 \text{ mm}$ , $\epsilon = 1$						
0,63	1,80	9,59	7,33	2,45	16,39	1,88	7,83			
0,75	2,30	13,8	10,5	3,24	20,64	2,42	9,96			
0,88	3,07	18,2	13,9	4,13	33,12	3,33	14,1			
1,00	3,77	22,4	17,2	4,94	44,51	4,19	18,0			
1,25	5,64	34,5	26,4	7,19	93,47	6,33	29,9			
1,50	7,52	46,6	35,6	9,42	142,2	8,46	41,7			

## Charakteristische Werte der Widerstandsgrößen

bei nach oben gerichteter und abhebender Flächenlast <sup>1)</sup>

Nennblechdicke	Feldmoment	Befestigung in jedem anliegenden Gurt						Befestigung in jedem 2. Gurt			
		Endauflager	<sup>5)</sup> Zwischenaufleger, $\epsilon = 1$				Endauflager	<sup>5)</sup> Zwischenaufleger, $\epsilon = 1$			
			$M_{B,k}^0$	$R_{B,k}^0$	$\max M_{B,k}$	$\max R_{B,k}$		$M_{B,k}^0$	$R_{B,k}^0$	$\max M_{B,k}$	$\max R_{B,k}$
$t_N$ [mm]	$M_{F,k}$ [kNm/m]	$R_{A,k}$ [kN/m]	[kNm/m]	[kN/m]	[kNm/m]	[kN/m]	$R_{A,k}$ [kN/m]	[kNm/m]	[kN/m]	[kNm/m]	[kN/m]
0,63	1,84	9,59	1,94	22,89	1,53	7,34	4,79	0,969	11,43	0,765	3,67
0,75	2,48	13,8	2,67	23,10	2,16	9,55	6,88	1,33	11,50	1,08	4,78
0,88	3,57	18,2	3,40	41,14	2,94	13,3	9,10	1,70	20,57	1,48	6,68
1,00	4,58	22,4	4,08	57,94	3,64	16,8	11,2	2,04	28,97	1,82	8,42
1,25	6,47	34,5	5,85	125,8	5,30	27,2	17,3	2,92	62,78	2,65	13,6
1,50	8,34	46,6	7,60	193,0	6,97	37,6	23,3	3,81	96,77	3,48	18,9

<sup>1)</sup> An den Stellen von Linienlasten quer zur Spannrichtung und von Einzellasten ist der Nachweis nicht mit dem Feldmoment  $M_{F,k}$ , sondern mit dem Stützmoment  $M_{B,k}$  für die entgegengesetzte Lastrichtung zu führen.<sup>2)</sup>  $b_A + \bar{u}$  = Endauflagerbreite einschließlich Profiltafelüberstand.<sup>3)</sup> Für kleinere Auflagerbreiten müssen die charakteristischen Werte der Widerstandsgrößen linear im entsprechenden Verhältnis reduziert werden. Dabei darf für Auflagerbreiten kleiner als 10 mm, z.B. bei Rohren, 10 mm eingesetzt werden.<sup>4)</sup> Bei Auflagerbreiten, die zwischen den aufgeführten liegen, dürfen die charakteristischen Werte der Widerstandsgrößen linear interpoliert werden.<sup>5)</sup> Interaktion wie oben dargestellt. Sind keine Werte für  $M_{B,k}^0$  und  $R_{B,k}^0$  gegeben, gilt nur  $\gamma_F \cdot M_{B,S,k} \leq \max M_{B,k} / \gamma_M$  und  $\gamma_F \cdot R_{B,S,k} \leq \max R_{B,k} / \gamma_M$ .<sup>6)</sup> L = kleinere der benachbarten Stützweiten. Sind keine Werte für Reststützmomente angegeben, ist beim Tragsicherheitsnachweis  $M_{R,k} = 0$  zu setzen oder ein Nachweis nach dem Verfahren Elastisch-Elastisch zu führen.

## Literaturverzeichnis

### a) Literatur

- [1] Lohse, W.: Stahlbau 2, 20. Aufl., Teubner Verlag, Wiesbaden 2005
- [2] Petersen C.: Stahlbau, 3. Aufl., Vieweg Verlag, Braunschweig/Wiesbaden 1993
- [3] Schneider K.-J., Goris A.: Bautabellen für Ingenieure, 18. Aufl., Werner Verlag, Köln 2008
- [4] Seeßelberg, C.: Kranbahnen Bemessung und konstruktive Gestaltung, 3. Aufl., Bauwerk Verlag, Berlin 2009

### b) Normen

- [5] DIN 1055-1 Einwirkungen auf Tragwerke – Teil 1: Wichten und Flächenlasten von Baustoffen, Bauteilen und Lagerstoffen, Ausgabe 06/2002
- [6] DIN 1055-4 Einwirkungen auf Tragwerke – Teil 4: Windlasten, Ausgabe 03/2005
- [7] DIN 1055-5 Einwirkungen auf Tragwerke – Teil 5: Schnee- und Eislasten, Ausgabe 07/2005
- [8] DIN 1055-9 Einwirkungen auf Tragwerke – Teil 9: Außergewöhnliche Einwirkungen, Ausgabe 08/2003
- [9] DIN 1055-10 Einwirkungen auf Tragwerke – Teil 10: Einwirkungen infolge Krane und Maschinen, Ausgabe 07/2004
- [10] DIN 4132 Kranbahnen, Stahltragwerke, Grundsätze für Berechnung, bauliche Durchbildung und Ausführung, Ausgabe 02/1981
- [11] DIN 4132, Beiblatt 1 Kranbahnen, Stahltragwerke, Grundsätze für Berechnung, bauliche Durchbildung und Ausführung, Erläuterungen, Ausgabe 02/1981
- [12] DIN 15 018-1 Krane; Grundsätze für Stahltragwerke, Berechnung, Ausgabe 11/1984
- [13] DIN 18 800-1 Stahlbauten – Teil 1: Bemessung und Konstruktion, Ausgabe 11/2008
- [14] DIN 18 800-2 Stahlbauten – Teil 2: Stabilitätsfälle – Knicken von Stäben und Stabwerken, Ausgabe 11/2008
- [15] DIN 18 800-3 Stahlbauten – Teil 3: Stabilitätsfälle – Plattenbeulen, Ausgabe 11/2008
- [16] DIN 18 807 Teil 3 Trapezprofile im Hochbau; Stahltrapezprofile; Festigkeitsnachweis und konstruktive Ausbildung; Ausgabe 06/1987
- [17] DIN EN 1993-6 Eurocode 3: Bemessung und Konstruktion von Stahlbauten – Teil 6: Kranbahnen, Ausgabe 12/2010
- [18] DIN EN 1993-6/NA Nationaler Anhang – National festgelegte Parameter – Eurocode 3: Bemessung und Konstruktion von Stahlbauten – Teil 6: Kranbahnen, Ausgabe 12/2010

### c) Software

- [19] BEM 10 – Programm zur Berechnung von Kranbahnträger, Version 2.4, LSS Entwicklungs- und Vertriebs-GmbH & Co.KG, Dortmund, [www.lss.de](http://www.lss.de)
- [20] RSTAB 5 – Statikprogramm zur Berechnung von ebenen und räumlichen Stabwerken, Version 5.14, Ing.-Software Dlubal GmbH, Tiefenbach, [www.dlubal.de](http://www.dlubal.de)

**Erklärung zur selbstständigen Anfertigung der Arbeit**

Ich erkläre, dass ich die vorliegende Arbeit selbstständig und nur unter Verwendung der angegebenen Literatur und Hilfsmittel angefertigt habe.

Mittweida,

.....

Ort, Datum

.....

Peter Schneider